

**O'ZBEKISTON RESPUBLIKASI OLIY VA O'RTA MAXSUS  
TA'LIM VAZIRLIGI**

**N.A.SULTANOV**

## **FIZIKA KURSI**

**O'zbekiston Respublikasi Oliy va o'rta maxsus ta'lif  
vazirligi tomonidan oliy texnika o'quv yurtlari uchun  
darslik sifatida tavsiya etilgan**

**TOSHKENT – 2007**

22.39'23

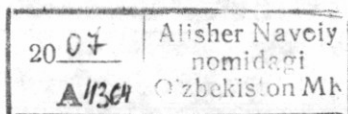
N. A. Sultanov. Fizika kursi. Oliy o'quv yurtlari uchun darslik. – T., «Fan va texnologiya», 2007. 304 bet.

Darslikda oliy texnika o'quv yurtlari uchun tasdiqlangan o'quv dasturi asosida umumiy fizika kursining nazariy asoslari qisqa bayon etilgan. Muallif bu darslikni tayyorlashda o'zining oliy o'quv yurtlarida talabalarga dars berish jarayonida orttirgan boy tajribasidan foydalandi. Darslik oliy texnika o'quv yurtlari uchun mo'ljallangan bo'lib, undan shu sohada ishlovchi mutaxassislar ham foydalanishi mumkin.

**Taqrizchilar:** M. Ulug'bek nomli O'zbekiston Milliy universiteti, fizika fakulteti, umumiy fizika kafedrasi mudiri, prof. U. Abdurahmonov;

Farg'onan Davlat universitetining umumiy fizika kafedrasi professori, f-m., f.d., Beruniy mukofotining lauriati B.Otaqulov; «Nazariy fizika» kafedrasi mudiri, f-m., f.d., professor R. Rasulov;

Farg'onan Politexnika institutining «Elektr yuritma» kafedrasi mudiri, t.f.d., N. Aripov; «Fizika» kafedrasi mudiri, fiz-mat f.d., prof. N.X.Yuldashev, dots. A.X.Haydarov



10 33482  
2

ISON 978-9943-10-035-0

© «Fan va texnologiya» nashriyoti, 2007.

## SO'Z BOSHI

Olyi texnika o'quv yurtlari uchun mo'ljallangan ushbu darslikda umumiy fizikaning uslubiy dasturida ko'zda tutilgan nazariy asoslarini bayon etilgan.

Fizika kursini qisqa muddatda bir yoki ikki semestr o'qitiladigan yo'naliishlarni inobatga olgan holda uslubiy dastur asosida eng zarur bo'lgan nazariy va amaliy ma'lumotlarni qisqa muddat ichida samarali o'zlashtirib olishga imkon bera oladigan fizika kursi darsligi zaruriyatini tug'ildi.

Shu munosabat bilan tavsija qilinayotgan «fizika kursi» kichik hajmda (bir tomlik) yozilgan va unda olyi matematikaning eng sodda hosilalar va integrallarining jadvallarida berilgan formulalaridangina foydalanilgan xolos. Ko'pgina fizikaviy qonuniyatlarning matematik ko'rinishlarini keltirib chiqarilishi sodda shaklda berilgan. O'rganilayotgan fizik jarayonlar va hodisalarini yaxshiroq tushunib olish uchun keltirilgan misollar ishlab chiqarishi bilan bog'liq bo'lgan sohalardan olingan.

Ushbu darslikda fizikaviy kattaliklarning faqat bitta birliklar sistemasi (SI)dan foydalanilgan bo'lib, bu birliklar bilan bir qatorda sistemaga kirmaydigan (litr, millimetr, simob ustini, angstrem, elektronvolt va shunga o'xshashlar) berilgan. Taqdim qilinayotgan kitob yetti bo'limdan iborat. Birinchi bo'limda klassik mexanikani fizik asoslarining sistemali bayoni va nisbiylik nazariya asoslar berilgan. Ikkinci bo'lim, asosan, statistik fizika va termodinamikaga bag'ishlanadi. Uchinchi bo'limda elektrostatika, o'zgarmas elektr toki va elektromagnetizm o'rganiladi. To'rtinchi bo'lim tebranishlar va to'lqinlar, elektromagnit va mexanik tebranishlarni parallel qarab chiqishga bag'ishlanadi. Besinchi bo'limda to'lqin optika va nurlanishning kvant tabiatini qarab chiqiladi. Oltinchi bo'lim atomlar, molekulalar va qattiq jism kvant fizikasi elementlariga bag'ishlanadi. Yettinchi bo'limda yadro va elementlar zarrachalar fizikasi bayon etiladi.

Muallif ushbu kitobni yozishda, uning sifatini yaxshilash maqsadida o'zlarining qimmatli fikr va ko'rsatmalarini bergen hamda katta yordam ko'rsatgan Farg'onan politexnika instituti «fizika» kafedrasining barcha professor - o'qituvchilariga va yordamchi xodimlariga chuqur minnatdorchilik bildirishni o'zining burchi deb hisoblaydi.

### Darslikni ikkinchi nashriga muallifning so'z boshi

Ushbu ikkinchi nashrda «Fizika kursi» darsligini yangitdan qayta ishlandi. Ba'zi paragraflarga qo'shimchalar kiritildi. Birinchi nashrda yo'l qo'yilgan ba'zi kamchiliklar bartaraf qilindi.

Masalan, IV bobni oxiriga 4.4-qilib, «Uzluksizlik. Bernulli tenglamasi» mavzusini kiritildi. Chunki 4.2- Energiya. Energiya saqlanish qonuniga bag'ishlanadi. Suyuqliklarda esa energiya saqlanish qonunini bajarilishi Bernulli tenglamasida o'z aksini topadi.

Bulardan tashqari har bir bobni oxirida o'zlashtiruvchi savollar va shu yuqorida boblar temalariga muvofiq masalalar yechish namunalari berilgan.

Bularni berilishi, birinchidan, yuqorida temalarni mustahkamlasa, ikkinchidan, talabalarni shu mavzularga qiziqishini, e'tiborini orttiradi, masalalar yechishga bo'lgan harakatlarni jonlanadiradi, qizilishlarini esa kuchaytiradi.

Masala yechish namunalarini berganimizda biz, bizgacha bo'lgan masala

yechish namunalaridagi berilgan fizik kattaliklar bilan, ularning o'Ichov birliklarini aralashtirib yozilishiga yo'l qo'ymadik, ya'ni berilganlarni yozganda, biz avvalo, ularni bir sistemaga keltirib oldik, so'ngra masala yechishga kirishdik. Bu holda son qiymatlar bilan o'Ichov birliklarini ifodalovchi qisqartirilgan harflar (metr - m: kilogrammi - kg: sekundni - s va hokazo) aralashib ketmaydi va fikrni chalg'itmaydi.

Bularni e'tiborga olib biz ana shu usulga qat'iy yondashdik va yaxshi natijalar beradi degan umiddamiz.

Masalalar tanlashda juda murakkab masalalar emas, balki «soddadan-murakkab»ga prinsipini saqlashga harakat qildik. Shunungdek, tanlangan masalalarni berilgan mavzularga mosligi nazarda tutildi va hokazo.

Muallif bu nashrn tayyorlashda ba'zi kamchiliklarni ko'rsatgan va ularni yo'qotishga yaqindan yordam bergan fizika kafedrasи professor-o'qituvchilariga va taqrizchilarimiz prof. N.X. Yuldashev dots. A.X. Haydarovga o'z minnatdorchiligini bildirishni lozim deb topdi.

## KIRISH

### Fizika fani va uning boshqa fanlar bilan aloqasi

Biz yashab turgan, hayot kechirayotgan gallaktikamiz (Quyosh va uni atrofida aylanayotgan to'qqiza planeta va yulduzlar sistemasi) juda ko'p asrlardan beri mavjud. Yerimiz, tabiatimiz, yetti osmonimiz gallaktikaning bir bo'lagi bo'lib, tirik organizmlar va odamzod maskani sifatida paydo bo'ldi. Tabiat hodisalarini, jarayonlarini va qonunlarini o'rganish juda qadimdan boshlangan. Tabiat sirlarini o'rganish, qonunlarini ochish asosida insoniyat o'zining turmush sharoitini, yashash imkoniyatlarni yaxshilab bordi. Tabiat sirlarini o'rganish o'z navbatida, o'z zamoniadagi fikrli, mulohazali, ilg'or kishilarni o'ziga tortdi. Qadimgi Yunonistonda tabiat hodisalarini o'rganuvchi tabiatshunoslik fani vujudga keldi.

Fizika yunoncha so'z bo'lib, «*phusis*» – tabiat degan ma'noni anglatadi. Fizika fanini birinchi bo'lib, qadimgi yunon mutafakkiri Aristotel (eramizdan avvalgi 384–322-yil) o'zining kitoblarida bayon etgan. O'sha davrda fizikaning tarkibiga hozirgi kimyo, astronomiya, biologiya, geologiya deb nom olgan bir qator tabiiy fanlar kirgan. Keyinchalik, ular mustaqil fanlar bo'lib ajralib chiqqan, lekin ular o'rtasida keskin chegara yo'q, ular doimo bir-birlarini to'ldirib hamisha aloqada bo'ladilar. Bu so'zlarni isboti sifatida tabiatdan yangi-yangi hodisalarning kashf qilinishi va ularning amalda qo'llanishi natijasida fizikaviy-kimyo, astrofizika, geofizika, biofizika kabi birlashgan fanlarning vujudga kelishimi ko'satish mumkin. Shuning uchun fizika – barcha tabiiy va amaliy fanlarning poydevoridir deyish mumkin.

Fizika fanining boshqa fanlar bilan aloqasi ikki tomonlamadir: Bu fanlar fizika asboblari yordamida taraqqiy qilib, yangi fan cho'qqlarini egallasha, o'zining yutuqlari bilan fizikani ham boyitadi va uni oldiga yangi vazifalar, yangi mukammal asboblar yaratishni qo'yadi, shu tariqa o'zi ham, fizika ham rivojlanib boradi.

**Masalan:** astranomlarga yangi teleskoplarni yaratib berish, osmon jismlarini mukammalroq o'rganishga, biologlarga elektron mikroskoplarni yaratilishi, hayotni qanday paydo bo'lish sirini ochilishiga olib keldi, ximiklarga spektroskopni yasab berilishi davriy sistemadagi 24 ta elementni kashf etilishiga sabab bo'ldi va hokazo.

Fizika fani rivojlanishida buyuk o'zbek mutafakkir olimlarimizning boy ilmiy meroslarni ham ahamiyati katta bo'lgan. Ayniqsa, Abu Rayhon Beruniyning falsafiy qarashlari, dunyo xaritasini yaratishdagi urinislari «Amerika»-qit'asi borligini bashorat (Kolumbning Amerikani ochishida asos bo'lgan), shuningdek, Ahmad al-Farg'oniyning Yer meridianini o'lchab chiqishlari, tutash idish qonunidan foydalanan Nil daryosi suvini o'lchab beradigan qurilmani yaratgani (u hozirgacha saqlanganligi), Al-Xorazmiy bilan birgalikda osmon jismlarini o'rganishdagi tadqiqotlari hozirgacha ham o'z qiyamatini yo'qotganicha yo'q.

Bizning atrofimizni o'rab olgan moddiy dunyo doimo uzlusiz harakatda bo'lgan materiyadan iboratdir. Materiya ikki ko'rinishda namoyon bo'ladi:

1) modda ko'rinishda, masalan, qattiq, suyuq, gazsimon va plazma holatidagi jismlar;

2) maydon ko'rinishda, masalan, gravitatsion maydon, elektromagnit maydon, yadroviy kuchlar maydoni va boshqalar.

Fizika fani materiyaning tuzulishini va materiya harakatining eng oddiy ko'rinishidan tortib, to eng umumiy ko'rinishlarigacha o'rganadi: mekanik, atom-molekular, gravitatsion, elektromagnit, atom va yadro ichidagi jarayonlar.

Harakat deganda, materiyaning tabiatda bo‘ladigan barcha o‘zgarishlari, bir turdan ikkinchi turga aylanishlari, barcha jarayonlar tushiniladi.

**Fizikaviy tadqiqot usullari.** Fizika hodisalarini tabiat sharoitida o‘rganish *kuzatishdan* boshlanadi. Hodisalarни sun’iy ravishda laboratoriya sharoitida amalga oshirib, tajriba o‘tkazishni *eksperiment* deb ataladi. Eksperimentni kuzatishga qaraganda, bir qator afzal tomoni bor, chunki tabiiy sharoitlarda biror hodisa ro‘y berishi uchun sutkalab, oylab, hatto, yillab kutishga to‘g‘ri keladi. Laboratoriya sharoitida esa bu hodisani xohlagan qisqa vaqtida amalga oshirish mumkin.

Kuzatish va tajriba natijalaridan hodisani tushuntirish uchun mulohaza va mantiqiy umumlashtirishlar asosida *gipoteza* (ilmiy faraz) lar yaratiladi. Agar gipoteza eksperimentda tasdiqlansa, u haqiqiy fizik nazariyaga aylanadi, aks holda gipoteza sinovdan o‘tmagan gipotezaligicha qoladi.

Fizik *nazariya* atrofimizda sodir bo‘layotgan bir qator hodisalarini, ularning mexanizmi va qonuniyatlarini tushuntira olishi kerak. Eksperiment asbob - uskunalarini zamонавиляшуvi va o’sishi bilan yangi hodisalar kashf etiladi, bu esa o‘z navbatida yangi fizik nazariyalar yaratilishini taqozo qiladi.

**Fizik kattaliklarni** o‘lhash uchun o‘lchov birliliklari tanlab olinadi. O‘lhash mumkin bo‘lgan fizik kattaliklarning birliliklari etalon (namuna) larga ega. Fizik kattaliklarning qiymati deganda, mazkur kattalik etalonдан (eski uning nusxasidan) necha marta farqlanishini ko‘rsatadigan son tushuniladi. Har bir fizik kattalik o‘lchov birligini boshqa fizik kattaliklarga bog‘liq bo‘lmagan holda mustaqil tanlash mumkin.

**Masalan**, yettita fizik kattalik uchungina, o‘lchov birligi ixtiyoriy tanlanadi. Bu fizik kattaliklarning o‘lchov birliliklari *asosiy birliklar* deb yuritiladi. Qolgan barcha fizik kattaliklarning o‘lchov birliliklari bu ularni asosiy kattaliklar bilan bog‘lovchi qonunlar (formulalar) asosida tanlanadi. Bunday kattaliklarning o‘lchov birliliklari *hosilaviy birliklar* deb yuritiladi.

1960-yil oktabrda Xalqaro sistema qabul qilingan.

1961-yilning 24-avgustida sobiq Sovet Ittifoqida «Sistema Internatsionalnaya» so‘zlarini bosh harflari bo‘yicha SI «Es-I»deb o‘qiladi) tarzda belgilangan birliklar sistemasi tasdiqlandi. SI da *yettita asosiy birlik va ikki qo’shimcha birlik* qabul qilingan:

#### **Asosiy birliklar**

**Uzunlik, metr (m).** Kripton -86 atomining  $2r_{10}$  va  $5d_5$  sathlari orasida o‘tishga mos bo‘lgan nurlanishning vakuumdagи to‘lqin uzunligidan 1650763,73 marta katta bo‘lgan uzunlik *1 metr* deb qabul qilingan.

**Massa, kilogramm (kg).** Kilogrammini xalqaro prototipining massasi *1 kilogramm* deb qabul qilingan.

**Vaqt, sekund (s).** Seziy – 133 atomi asosiy holatining ikki o‘ta nozik sathlari orasidagi o‘tishga mos bo‘lgan nurlanish davridan 9192631770 marta katta vaqt *1 sekund* deb qabul qilingan.

#### **Elektr tokining kuchi, Amper (A).**

1 amper tok vakuumdagи bir-biridan 1m masofada joylashgan ikki parallel cheksiz uzun, lekin kesimi juda kichik to‘g‘ri o‘tkazgichlardan o‘tganda o‘tkazgichning har bir metr uzunligiga  $2 \times 10^{-7}$  N kuch ta’sir qiladi.

#### **Termodinamik temperatura, Kelvin (K).**

Suvning uchlanma nuqtasini xarakterlovchi termodinamik temperaturaning 1/273.16 ulushi 1 kelvin deb qabul qilingan.

#### **Modda miqdori, mol(mol).**

Uglerod -12 atomining 0,012 kg massasidagi atomlar soniga teng strukturaviy element (masalan, atom, molekula yoki boshqa zarra)lardan tashkil topgan sistemadagi moddaning miqdori 1 mol deb qabul qilingan.

#### **Yorug'lik kuchi, kandela (kd).**

- $540 \cdot 10^{12}$  Gs chastotali monoxromatik nurlanish chiqarayotgan manba yorug'lining energetik kuchi  $1/683$   $Vt/sr$  ga teng bo'lган yo'nalishdagi yorug'lik kuchi 1 **kandela** deb qabul qilingan.

#### **Qo'shimcha birliklar**

##### **Yassi burchak, radian (rad).**

Aylanma uzunligi radiusga teng bo'lган yoyni ajratadigan ikki radius orasidagi burchak **1 radian** deb qabul qilingan.

##### **Fazoviy burchak, steradian (sr).**

Uchi sfera markazida joylashgan va shu sfera sirtidan radius kvadratiga teng yuzli sirtni ajratuvchi fazoviy burchak **1 steradian** deb qabul qilingan.

#### **Hosilaviy birliklar**

##### **Tezlik, metr taqsim sekund (m/s).**

$1m/s$  tezlik bilan to'g'ri chiziqli tekis harakat qilayotgan moddiy nuqta **Is davomida**  $1m$  masofaga ko'chadi.

##### **Tezlanish, metr taqsim sekund kvadrat ( $m/s^2$ )**

$1m/s^2$  tezlanish bilan to'g'ri chiziqli tekis o'zgaruvchan harakat qilayotgan moddiy nuqtaning **tezlanishi**  $1s$  da  $1m/s^2$  ga o'zgaradi.

**Impuls, kilogramm - metr taqsim sekund ( $kg.m/s$ ).  $1kg.m/s$  - $1m/s$  tezlik bilan harakatlanyotgan  $1kg$  massali jismning impulsi**

##### **Kuch, Nyuton (N).**

**$IN$ - massasi  $1kg$  bo'lган jismga ta'sir qilib, unga ta'sir yo'nalishida  $1m/s^2$  tezlanishni beradigan kuch.**

##### **Kuch impulsi, Nyuton sekund (N.S).**

**$IN.s$ - $1s$  davomida ta'sir etuvchi  $IN$  kuchning impulsi.**

## 1. MEXANIKANING FIZIK ASOSLARI

**Mexanika** – fizika bo‘limi bo‘lib, materiya harakatining eng sodda va eng umumiy shakllarini o‘rganar ekan, u jismlarning yoki jismlar qismlarining fazoda bir-biriga nisbatan sijjishini ifodalovchi mexanik harakat haqidagi ta’limotdir.

Mexanikani fan sifatida rivojlanishi eramizdan oldingi III asrlarga borib taqaladi. O’sha davrdayoq qadimgi yunon olimi Arximed (287–212 eramizdan oldingi yillar) richagning muvozanatlik qonunini shakkantirishi uning mexanika fanini rivojlanishiga dastlabki qo’shilgan hissasi deb qarash mumkin. Mexanikaning asosiy qonunlarini Italia olimi Galiley (1564–1642) aniqlagan bo‘lsa, ingлиз олими Nyuton (1643–1727) bu qonunlarni uzil-kesil ta’riflab berdi va fundamental qonun sifatida shakkantirdi.

Galiley va Nyuton mexanikasi **klassik mexanika** deb yuritiladi va yorug‘lik tezligiga qaraganda ancha kichik tezliklarda harakat qilayotgan makroskopik jismlar harakat qonunini o‘rganadi.

Yorug‘lik tezligiga yaqin tezliklarda harakat qilayotgan makroskopik jismlar harakat qonunlarini A.Eynshteyn (1879–1955) kashf etgan **nisbiylik nazariysi** o‘rganadi. Mikroskopik jismlar (alohiba atomlar va elementar zarrachalar) harakat qonuniariga keلسак, бўларни klassik mexanika tushuntira olmaydi. Ularni **kvant mexanika** o‘rganadi.

Mexanika quydagi uch bo‘limni o‘z ichiga oladi: kinematika, dinamika va statika.

**Kinematika** – jismlar harakatini uni vujudga keltirgan sabablarga qarab emas, balki ularni harakat davomida qoldirgan izlariiga (trayektoriyasiga) qarab o‘rganadi.

**Dinamika** – jismlarning harakat qonunlarini uni vujudga keltirgan sabablarga qarab, ya’ni kuch ta’sirida jismlar harakatini o‘rganadi.

**Statika** – jismlar sistemasining muvozanatlik qonunlarini o‘rganadi. Agar jismlar harakat qonunlari ma’lum bo‘lsa, ulardan muvozantlik qonunlarini ham aniqlash mumkin.

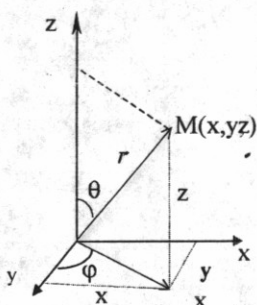
### I bob. KINEMATIKA ASOSLARI

#### 1.1. Sanoq sistemasi. Moddiy nuqta kinematikasi

Mexanik harakatda bir jismning vaziyati boshqa jismlarga nisbatan o‘zgaradi. Mexanik harakatning eng sodda ko‘rinishi sifatida moddiy nuqta harakatini ko‘raylik. Ko‘rilayotgan masalalarda shakli va o‘lchamlari hisobga olinmaydigan jism **moddiy nuqta** deb ataladi. Moddiy nuqta tushunchasi abstrakt tushuncha bo‘lib, tabiatdagi real jismlarni ideallashtirish natijasida vujudga keladi va uni kiritilishi tekshirilayotgan aniq masalalarni yechishni yengillashtiradi.

Masalan: Yerning va boshqa planetalarning Quyosh atrofida harakatlarini o‘rganayotganimizda Yer planetalar va Quyoshni moddiy nuqtalar deb hisoblash mumkin.

Jismlar harakati **fazo** va **vaqtida** amalga oshadi. Fazo abadiy mavjud, cheksiz katta, qo‘zg‘almas materiya ko‘rinishida tasvirlanadi.



1.1-rasm

Fazoning xossalari vaqt o'tishi bilan o'zgarmaydi. Vaqt fazoning istalgan nuqtasida birday o'tadi deb hisoblanadi, ya'ni o'z-o'zicha, tekis va biror boshqa borliqqa bog'liq bo'limgan holda o'tadi deb qaraladi. Har qanday fizik hodisa yoki jarayon fazoning qayerdadir va qachondir sodir bo'ladi. Mexanika nuqtayi nazarida harakat jismlarning fazodagi vaziyatini vaqt o'tishi bilan o'zgarishidan iboratdir. Moddiy nuqtaning fazodagi holatini biror ixtiyoriy tanlab olingen sanoq sistemasiga nisbatan qaraladi.

Fazoda moddiy nuqta holatini to'g'ri burchakli **uch o'lchovli Dekart x, y, z-koordinatalar sistemasi** yordamida aniqlash mumkin (1.1-rasm). Bu holda  $M$  moddiy nuqtani vaqtning istalgan payitidagi vaziyati  $x, y, z$  koordinatalar bilan yoki koordinata boshidan  $M$  nuqtaga o'tkazilgan radius vektor  $\vec{r}$  - orqali, ya'ni **sferik koordinatalar** bilan aniqlanadi. Radius vektorning moduli  $r$  - kesma bilan, yo'nalishi esa  $\theta$  va  $\phi$  burchaklar yordamida ifodalanadi. Bu ikkala koordinatalar sistemasi moddiy nuqta vaziyatini koordinatalar va radius - vektor orqali ifodalashga ekvivalentdir. Shuning uchun ham sferik koordinatalardan Dekart koordinatalarga va aksincha o'tishlarni amalga oshirish mumkin.

1) sferik koordinatalar  $-r, \theta, \phi$  lardan Dekart koordinatalar  $-x, u, z$  larga o'tish quydigicha amalga oshiriladi:

$$\begin{aligned} x &= r \sin \theta \cos \varphi \\ y &= r \sin \theta \sin \varphi \\ z &= r \cos \theta \end{aligned} \quad (1.1)$$

2)  $x, u, z$  lardan  $r, \theta, \phi$  larga o'tish uchun quyidagi ifodalardan foydalanish kerak:

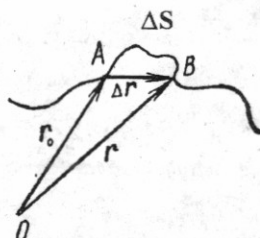
$$\left. \begin{aligned} r &= \sqrt{x^2 + y^2 + z^2} \\ \cos \theta &= \frac{z}{\sqrt{x^2 + y^2 + z^2}} \\ \operatorname{tg} \varphi &= \frac{y}{x} \end{aligned} \right\} \quad (1.2)$$

Harakatlanayotgan moddiy nuqta qoldirgan izi **trayektoriya** deb ataladi.

Agar trayektoriya to'g'ri chiziqdan iborat bo'lsa, **harakat to'g'ri chiziqli**, trayektoriya egrisi chiziqdan iborat bo'lsa, **harakat egrisi chiziqli deb ataladi**.

Ixtiyoriy trayektoriya bo'ylab harakatlanayotgan moddiy nuqtani kuzataylik. Kuzatishni moddiy nuqta A nuqtadagi holatidan boshlaymiz.

Biror  $\Delta t$  vaqtidan keyin moddiy nuqta V nuqtaga kelib qolsin, u  $\Delta S$  yo'lni o'tadi (1.2-rasm). Moddiy nuqtaning boshlang'ich (A) va oxirgi (V) vaziyatlarini ifodalovchi  $r$  va  $r_0$  radius vektorlar ayirmsami



1.2-rasm.

$$\vec{r} - \vec{r}_0 = \Delta \vec{r} \quad (1.3)$$

vektor moddiy nuqta **ko'chishini** ifodalaydi. Moddiy nuqta ko'chishining shu ko'chishni o'tilgandagi vaqt oralig'iga nisbati harakatning o'rtacha tezligi  $v_o$  deyiladi.

$$\vec{v}_{yp} = \frac{\Delta \vec{r}}{\Delta t} \quad (1.4)$$

Vaqt oralig'ini cheksiz kichraytira borsak, ya'ni  $\Delta t \rightarrow 0$  deb olsak, (1.4) ifoda intilgan limitni moddiy nuqtaning oniy tezligi yoki haqiqiy tezligi deb ataladi.

$$\vec{v} = \lim_{\Delta t \rightarrow 0} \frac{\Delta \vec{r}}{\Delta t} = \frac{d \vec{r}}{dt} \quad (1.5)$$

To'g'ri chiziqli harakatda  $|\Delta \vec{r}|$  ko'chish va bosib o'tilgan yo'l  $\Delta s$  bir xildir, u holda:

$$v = |\vec{v}| = \frac{|d \vec{r}|}{dt} = \frac{ds}{dt} \quad (1.6)$$

shunday qilib, **moddiy nuqtaning tezligi vektor kattalik bo'lib, u radius vektoridan vaqt bo'yicha olingan birinchi tartibli hosila tarzida, moduli esa yo'ldan vaqt bo'yicha olingan birinchi tartibli hosila tarzida ham aniqlanishi mumkin.**

Moddiy nuqtaning harakat tezligi vaqt o'tishi bilan o'zgarmasa, uning harakati **tekis harakat** deyiladi; aks holda harakat **o'zgaruvchan harakat** deyiladi. O'zgaruvchan harakatda tezlik o'zgarishini ifodalash uchun **tezlanish** deb ataluvchi fizik kattalik kiritiladi. Moddiy nuqtaning tezligi  $\Delta t$  vaqtida  $\Delta v = v_2 - v_1$  ga o'zgarsa, uning tezlanishi

$$\vec{a} = \lim_{\Delta t \rightarrow 0} \frac{\Delta \vec{v}}{\Delta t} = \frac{d \vec{v}}{dt} = \frac{d}{dt} \left( \frac{d \vec{r}}{dt} \right) = \frac{d^2 \vec{r}}{dt^2} \quad (1.7)$$

ifoda bilan aniqlanadi. Demak, **tezlanish – moddiy nuqta tezligining vaqt birligi davomida o'zgarishini ifodalaydigan vektor kattalik bo'lib, u tezlik vektoridan vaqt bo'yicha olingan birinchi tartibli hosila yoki radius vektoridan vaqt bo'yicha olingan ikkinchi tartibli hosila tarzida ifodalanadi.**

## 1.2. Moddiy nuqtaning to'g'ri chiziqli harakati

To'g'ri chiziqli harakatda trayektoriya to'g'ri chiziqdan iborat bo'ladi. Moddiy nuqtaning to'g'ri chiziqli harakatini

1) to'g'ri chiziqli **tekis harakat**;

2) to'g'ri chiziqli **o'zgaruvchan harakat** ko'rinishlarida ko'rib chiqaylik.

O'zgarmas tezlik bilan bo'layotgan harakat ( $v = \text{const}$ ) **tekis harakat** deb ataladi.

**Moddiy nuqtaning to'g'ri chiziq bo'ylab har qanday teng vaqtlar oraliqlaridan bir xilda ko'chishiga to'g'ri chiziqli tekis harakat deb ataladi.**

$$\vec{v} = \frac{\vec{S}}{t} \quad (1.8)$$

Moddiy nuqta harakati to'g'ri chiziqli bo'lgani uchun koordinatalar o'qini mana shu to'g'ri chiziq bo'ylab yo'naltirish kerak. Bu o'qni  $X$  bilan belgilaylik. Moddiy

nuqta tezligining vektori ham ko'chish vektori ham mana shu o'q bo'ylab yo'naladi,  $\vec{S}$  va  $\vec{v} \cdot t$  vektorlar teng bo'lgani sababli ularning x o'qidagi proyeksiyalari ham teng bo'ladi, ya'ni

$$S_x = v_x \cdot t \quad (1.9)$$

$S_x$  va  $v_x$  o'miga  $S$  va  $v$  deb yozish mumkin. U holda to'g'ri chiziqli **tekis harakat tenglamasi** hosil bo'ladi:

$$S = v \cdot t \quad (1.10)$$

$S$  o'miga 1 mni, t o'miga 1 s qo'ysak, tezlikning birligini hosil qilamiz:

$$v = \frac{S}{t} = 1 \text{ m/s}$$

To'g'ri chiziqli tekis harakatda tezlik grafigi abssissa o'qiga parallel chiziqlardan iborat bo'ladi. To'g'ri chiziqli tekis harakatda, yo'l grafigi esa koordinatlar boshidan o'tuvchi to'g'ri chiziqdan iborat bo'ladi.

O'zgarmas tezlanish bilan bo'layotgan harakat ( $a=const$ ) tekis o'zgaruvchan ( $a>0$  bolsa, tekis tezlanuvchan va  $a<0$  bolsa, tekis sekinlanuvchan) harakat deyliladi. Bu vaqtida oniy tezlanish istalgan vaqt oralig'idagi o'rtacha tezlanishga teng bo'ladi

$$a = a_{yp} = \frac{\Delta v}{\Delta t} = \frac{v - v_0}{t},$$

$$v = v_0 + at, \quad (1.11)$$

bu yerda,  $v_0$  – harakatning boshlang'ich tezligi,  $v$  – vaqtning  $t$  paytidagi tezligi.

Tekis o'zgaruvchan harakatda tezlik  $v_0$  qiymatdan  $v$  qiymatgacha tekis o'zgarsa, bunday harakatning o'rtacha tezligi boshlang'ich va oxirgi tezliklarning o'rtacha arifmetik qiymatiga teng bo'ladi:

$$v_{ort} = \frac{v + v_0}{2} \quad \text{bunda,} \quad S = \frac{v_0 + v}{2} t$$

(1.11) formuladan  $v$  ning ifodasini qo'yib, quyidagini hosil qilamiz:

$$S = \frac{v_0 + v_0 + at}{2} t$$

yoki

$$S = v_0 t + \frac{at^2}{2} \quad (1.12)$$

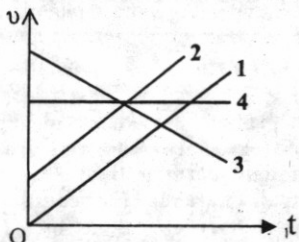
Bu ifoda tekis o'zgaruvchan harakat tenglamasidir.

(1.11) va (1.12) tenglamalarni birgalikda yechib va ulardan  $t$  ni chiqarib tashlab yo'l, tezlik va tezlanishni bog'lovchi munosabatni hosil qilamiz:

$$v^2 - v_0^2 = 2aS, \quad (1.13)$$

bu formulalardan foydalanib, tekis o'zgaruvchan harakatning tezlik va yo'l grafiklarini chizish mumkin (1.3-rasm). Tezlik grafigini chizish uchun abssissa

o'qiga vaqtning ordinata o'qiga esa tezlikning qiymatini qo'yamiz. Agar  $\vec{v}_0 = 0$  bo'lса, (1.3-rasm, 1-to'g'ri chiziq) u holda tezlik grafigi koordinata boshidan o'tgan to'g'ri chiziqdan iborat bo'ladi.  $\vec{v}_0 \neq 0$  bo'lganda esa tezlik grafigi ordinata o'qida  $\vec{v}_0$  ga teng kesmadan boshlanadi. 1.3-rasmdagi 1,2-to'g'ri chiziqlar  $a > 0$ ; 3-to'g'ri chiziq tekis ( $a < 0$ ) sekinlanuvchan harakatni, 4-to'g'ri chiziq esa ( $v = const$ ) to'g'ri chiziqli tekis harakatni ifodalaydi ( $a = 0$ ).



1.3-rasm.

Tekis o'zgaruvchan harakatning yo'l grafigi esa yarim parabola shaklida bo'ladi, chunki  $y^2 = 2px$  parabola tenglamasıdır. Agar  $y^2 = ax$  ( $a = 4, 5, 6$ ) qiymatlarni olganda tenglama grafigini chizadigan bo'lsak, u holda xuddi biz  $S = \frac{at^2}{2}$  tenglama yordamida hosil qilgan grafikka o'xshash grafik hosil qiladi.

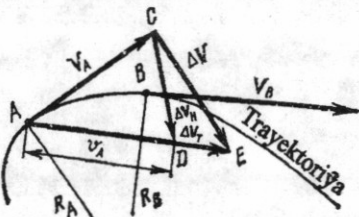
### 1.3. Moddiy nuqtaning egri chiziqli harakati. Tangensial va normal tezlanishlar

Trayektoriyasi egri chiziqdan iborat bo'lgan harakat *egri chiziqli harakat* deyiladi. Bunga misol qilib, yer yuzidagi barcha transport vositalarini, mashina va mexanizm qismlarini, oqar suvni, atmosferadagi havo zarralarini, kosmik fazodagi barcha planetalar va sun'iy yo'ldoshlarning harakatini olish mumkin. Egri chiziqli harakat to'g'ri chiziqli harakatga nisbatan murakkabroqdir.

Egri chiziqli harakatda vaqt o'tishi bilan tezlik vektorining faqat yo'nalishigina emas, balki miqdori ham o'zgarishi mumkin. Kuzatish boshlanganda egri chiziqli harakat qilayotgan moddiy nuqta trayektoriyaning  $A$  nuqtasidan o'tayotgan bo'lсин (1.4-rasm).

Biror kichik  $\Delta t$  vaqt ichida kichik yoyni bosib  $V$  nuqtaga keladi.  $A$  va  $V$  nuqtalardagi tezliklarni mos ravishda  $\vec{v}_A$  va  $\vec{v}_B$  deb belgilaylik. Tezlik o'zgarishini aniqlash uchun  $\vec{v}_B$  tezlik vektorini o'z-o'ziga parallel holda  $A$  nuqtaga ko'chiraylik, u holda  $\vec{v}_A$  vektor uchini ko'chirilgan  $\vec{v}_B$  vektor uchi bilan tutashtiruvchi vektor ( $\Delta \vec{v} = \vec{v}_B - \vec{v}_A$ ) izlanayotgan tezlik o'zgarishini

ifodalaydi.  $\Delta \vec{v}$  tezlik o'zgarishini ikki tezlik vektorlarining yig'indisi shaklida ham qarash mumkin. Buning uchun AE kesma ustida A dan  $\vec{v}_A$  vektor kesmasiga teng kesma ajratib  $\vec{v}_B$  yo'nalishida D nuqtani tanlaylik. S va D nuqtalarni birlashtiruvchi vektorni  $\Delta \vec{v}_n$  bilan, D va E nuqtalarni birlashtiruvchi vektorni esa  $\Delta \vec{v}_t$  bilan belgilaylik. U holda  $\Delta \vec{v}$  ni ana shu ikki vektorning yig'indisidan iborat deb hisoblash mumkin.



1.4-rasm.

$$\Delta \vec{v} = \Delta \vec{v}_n + \Delta \vec{v}_t \quad (1.14)$$

Egri chiziqli harakatda moddiy nuqta tezlanishi

$$\vec{a} = \lim_{\Delta t \rightarrow 0} \frac{\Delta \vec{v}}{\Delta t} = \lim_{\Delta t \rightarrow 0} \frac{\Delta \vec{v}_n}{\Delta t} + \lim_{\Delta t \rightarrow 0} \frac{\Delta \vec{v}_t}{\Delta t} \quad (1.15)$$

yozish mumkin. (1.15) ifodadagi yig'indining birinchi limitini markazga **intilma tezlanish** yoki **normal tezlanish** deb ataladi.

$$\vec{a} = \lim_{\Delta t \rightarrow 0} \frac{\Delta \vec{v}_n}{\Delta t} \quad (1.16)$$

Geometrik mulohazalar asosida normal tezlanishning moduli tezlik kvadratining trayektoriya ayni sohasining egrilik radiusiga ( $R$ ) bo'lgan nisbatiga tengligini aniqlash mumkin:

$$a_n = \frac{v^2}{R} \quad (1.17)$$

(1.15) ifodadagi yig'indining ikkinchi limitini **urinma tezlanish** yoki **tangensial tezlanish** deb ataladi.

$$a_t = \lim_{\Delta t \rightarrow 0} \frac{|\Delta \vec{v}_t|}{\Delta t} = \frac{dv}{dt} \quad (1.18)$$

Shunday qilib, egri chiziqli harakat qilayotgan moddiy nuqtaning to'liq tezlanishi normal va urinma tezlanishlarning vektor yig'indisidan iborat.

$$\vec{a}^2 = \vec{a}_n^2 + \vec{a}_t^2, \quad \vec{a} = \sqrt{\vec{a}_n^2 + \vec{a}_t^2}. \quad (1.19)$$

Normal tezlanish tezlikning yo'naliш bo'yicha o'zgarishini, urinma tezlanish esa tezlikning miqdoriy jihatdan o'zgarish jadalligini ifodalaydi.

#### 1.4. Moddiy nuqtaning aylana bo'ylab harakati

Egri chiziqli harakatning xususiy holi bo'lgan moddiy nuqtaning *aylana bo'ylab tekis harakatini* ko'raylik. Bu holda tezlanishning urinma tashkil etuvchisi bo'lmaydi ( $a_r = 0$ ) va tezlanish o'zining markazga intilma tezlanishiga teng bo'ladi ( $\vec{a} = \vec{a}_n$ ).

Moddiy nuqtaning aylanma bo'ylab tekis harakatini *burchak tezlik* deb ataluvchi fizik kattalik  $\omega$  bilan ifodalash mumkin, bunda, burchak tezlik deb R radiusning burilish burchagi  $\Delta\varphi$  ning bu burilish bo'lgan vaqt oralig'i  $\Delta t$  ga nisbatini tushunish kerak

$$\omega = \frac{\Delta\varphi}{\Delta t} \quad (1.20)$$

Notekis harakat uchun oniy burchak tezligi tushunchasi kiritiladi.

$$\omega = \lim_{\Delta t \rightarrow 0} \frac{\Delta\varphi}{\Delta t} = \frac{d\varphi}{dt}$$

Burchak tezlikning o'lchov birligi radian taqsim sekunddir(rad/sekund).  $R \cdot \Delta\varphi = \Delta S$  ekanligini e'tiborga olib, chiziqli tezlikni burchak tezlik bilan bog'lovchi munosabatni topamiz:

$$v = \omega R \quad (1.21)$$

Moddiy nuqtaning aylana bo'ylab bir aylanish vaqtı *aylanma davri T* va *vaqt birligidagi ayanishlar soni v* (aylanish chastotasi) ni kiritaylik.

$$T = \frac{1}{v} \quad (1.22)$$

T ning o'lchov birligi sekund (s), v ning o'lchov birligi esa  $s^{-1}$  bo'lib, *Gers* deb nomlangan; *Gers* sekundiga bir marta ayanishdir.

Moddiy nuqta bilan bog'langan aylana radiusi T davr ichida  $2\pi$  burchakka burilgani uchun (1.20) formulaga muvofiq

$$\omega = \frac{2\pi}{T} \quad (1.23)$$

(1.21), (1.22), (1.23) formulalardan foydalanim quydagini hosil qilamiz:

$$v = \frac{2\pi}{T} R = 2\pi v R. \quad (1.24)$$

Moddiy nuqta aylana bo'ylab notekis harakatlanganda, chiziqli tezlik bilan birga burchak tezlik ham o'zgaradi. Burchak tezligi o'zgarishi  $\Delta\omega$  ning shu o'zgarish bo'lgan vaqt oralig'i  $\Delta t$  ga nisbati o'rtacha burchak tezlanish  $\varepsilon_{o'r}$  deb ataladi.

$$\varepsilon_{o'r} = \frac{\Delta\omega}{\Delta t}. \quad (1.25)$$

$\varepsilon_{o'r}$  ning vaqt oralig'i nolga intilgandagi limiti *oniy burchak tezlanishi*  $\varepsilon$  deyiladi:

$$\varepsilon = \lim_{\Delta t \rightarrow 0} \frac{\Delta\omega}{\Delta t} = \frac{d\omega}{dt} \quad (1.26)$$

Demak, burchak tezlanish burchak tezlikdan vaqt bo'yicha olingan birinchi tartibli hosilaga teng ekan,  $\varepsilon$  ning o'lchov birligi radian taqsim sekund kvadrat ( $\text{rad/s}^2$ ) dir.

### Savollar

1. Fizika fanining boshqa fanlar bilan aloqasida fizika fanining tutgan o'rni qanday?
2. Fizika fani rivojlanishida buyuk o'zbek mutafakkir olimlarimizning qo'shgan hissalari nimadan iborat?
3. Materiya deganda nimani tushunasiz?
4. Fizika fanining predmeti nima va uning qanday tadqiqot usullari mavjud?
5. Xalqaro birliklar sistemasida nechta asosiy va qo'shimcha birliklar qabul qilingan?
6. Kinematikada jismilar harakati nimalarga asoslanib o'rganiladi?
7. Inersial va noinersial sanoq sistemalarida jismilar harakati qanday qonuniyat asosida bo'ladi?
8. Moddiy nuqtaning to'g'ri chiziqli tekis, to'g'ri chiziqli tekis o'zgaruvchan va egri chiziqli harakatlarda harakat qonuniyatilari qanday o'zgaradi?

### Masalalar

**1-masala.**  $v_0 = 16 \text{ m/s}$  tezlik bilan ketayotgan poyezd tormozlangandan boshlab to'xtaguncha  $S=128 \text{ m}$  yo'l bosadi. Harakatning  $a$  tezlanishi va poyezd to'xtaguncha ketgan t vaqt topilsin.

$$v_0 = 16 \text{ m/s}$$

Berilgan:

$$S = 128 \text{ m}$$

$$\overline{a \sim? \quad t \sim?}$$

**Yechish.** Tekis o'zgaruvchan harakatni ifodalovchi  $v_t^2 - v_0^2 = 2aS$

$$\text{formuladan tezlanish } (a) \text{ ni topamiz: } a = \frac{v_t^2 - v_0^2}{2S}$$

Masalani shartiga asosan harakatning oxirgi tezligi nolga teng, ya'ni  $v_t = 0$  u

$$\text{holda} \quad a = -\frac{v_0^2}{2S} = -\frac{16^2}{2 \cdot 128} = -\frac{256}{256} = -1 \text{m/s}^2$$

(-) minus ishora harakatning tekis sekinlanuvchan ekanligini ko'rsatadi.

Poyezd to'xtaguncha o'tgan vaqt  $t$  ni  $S = \frac{v_0 \cdot t}{2}$  dan aniqlash mumkin, chunki

$$v_{o'r} = \frac{v_t + v_0}{2}$$

$$t = \frac{2S}{v_0} = \frac{2 \cdot 128}{16} = \frac{256}{16} = 16 \text{s}$$

**Javobi**  $a = -1 \text{m/s}^2$ ,  $t = 16 \text{s}$ .

**2-masala.** Tramvay yo'lning burilish qismidan tekis tezlanuvchan harakat qilib  $S = 250 \text{m}$  masofani o'tgandan keyin uning tezligi 36 km/soatga yetdi. Tramvay harakat qila boshlagandan 40 s o'tgandan keyin uning urinma, markazga intilma va to'la tezlanishini toping. Yo'lning burilish qismining radiusi  $R = 200 \text{m}$ .

**Berilgan.**  $S = 250 \text{ m}$   $= 250 \text{ m}$

$$v = 36 \text{ km/soat} = 36 \frac{1000 \text{ m}}{3600 \text{ s}} = 10 \frac{\text{m}}{\text{s}}$$

$$t = 40 \text{ s} \quad = 40 \text{ s}$$

$a \sim a_N \sim a_t \sim ?$

**Yechish.** Boshlang'ich tezliksiz tekis tezlanuvchan harakatda,  $v^2 - v_0^2 = 2aS$  formulaga muvofiq  $v^2 = 2a_t S$  bo'ladi, bu yerda,  $a_t$  – urinma tezlanish. U holda

$$a_t = \frac{v^2}{2S} = \frac{100}{2 \cdot 250} = 0,2 \text{ m/s}^2$$

$t = 40 \text{ s}$  vaqt o'tgandan keyin tramvay erishadigan tezlik ( $v_1$ )  $v = v_0 + at$  muvofiq

$$v_1 = a_t t = 0,2 \cdot 40 = 8 \text{ m/s}.$$

U holda  $a_{mi} = a_n = \frac{v^2}{R}$  muvofiq markazga intilma yoki normal tezlanish

$$a_n = \frac{v^2}{R} = \frac{64}{200} = 0,32 \text{ m/s}^2$$

to'la tezlanish

$$a = \sqrt{a_t^2 + a_n^2} = \sqrt{(0,04 + 0,102)^2} = 0,37 \text{ m/s}^2.$$

**3-masala.** Tasmali uzatgich asosida ishaydigan yog'och tilish qurilmasining g'ildiragi  $v_0 = 180 \text{ aif/min}$  chastotaga mos bo'lgan o'zgarmas tezlik bilan aylanayapti. Harakatlantirish tasmasi chiqib ketgan paytdan boshlab g'ildirak

tormozlana boshlaydi va  $\varepsilon = 3 \text{ rad/s}^2$  burchak tezlanish bilan tekis sekinlanuvchan harakat qiladi. G'ildirak qancha  $t$  vaqtidan keyin to'xtaydi, u to'xtaguncha necha  $n$  marta aylanadi?

$$\text{Berilgan: } V_0 = 180 \text{ ail/min} = 180 \frac{\text{ail}}{60\text{s}} = 3 \frac{\text{ail}}{\text{s}}$$

$$\frac{\varepsilon = 3 \text{ rad/s}^2}{t \sim ? n \sim ?}$$

**Yechish.** Tekis sekinlanuvchan harakatda  $\omega = \omega_0 + \varepsilon t$  formulaga muvofiq g'ildirakning burchak tezligi tormozlanish oxirida  $\omega = \omega_0 - \varepsilon t$  bo'ladi, bu yerda,  $\omega_0$  – g'ildirakning boshlang'ich burchak tezligi. Masalaning shartiga ko'ra  $\omega = 0$  bo'lgani uchun  $\omega_0 = \varepsilon t$ . Ammo (1.22) va (1.23) formulalarga muvofiq  $\omega_0 = 2\pi V_0$ . Shuning uchun

$$t = \frac{2\pi V_0}{\varepsilon} = \frac{2\pi \cdot 3}{3} = 6,3 \text{ s}$$

Demak, g'ildirakning tormozlanish boshlangandan to to'xtaguncha o'tgan burchak yo'li quyidagi ifodaga teng

$$\varphi = \omega_0 t - \frac{\varepsilon t^2}{2} = 2\pi V_0 t - \frac{\varepsilon t^2}{2}$$

bu ifodaga  $t$  ning qiymatini qo'yib va  $\varphi = 2\pi n$  ekanligini e'tiborga olib quyidagin topamiz:

$$2\pi n = \frac{4\pi^2 V_0^2}{\varepsilon} - \frac{2\pi^2 V_0^2}{\varepsilon}$$

bundan

$$2\pi n = \frac{2\pi^2 V_0^2}{\varepsilon} n = \frac{\pi \cdot 9}{3} = 9,4 \text{ marta}.$$

**4-masala.** Ekvatorda chuqurligi 180m bo'lgan shaxtaga sharcha tashlab yuborildi, bu vaqtida sharcha sharq tomonga qancha og'adi? Havoning qarshiligi hisobga olinmasin. Shu asosda Yerning inersial yoki noinersial sistema ekanligi haqida xulosa chiqaring

$$\begin{aligned} \text{Berilgan: } h &= 180 \text{ m} \\ g &= 10 \text{ m/s}^2 \\ S &\sim ? \end{aligned}$$

**Yechish.** Sharcha inersiyasi bilan sharqqa tomon  $S = \Delta v t$  masofaga og'adi, bu yerda,  $\Delta v$  Yer sirti va shaxta tubidagi nuqtalar harakati tezliklarining farqi,  $t$  sharchanining tushish vaqtisi.

$$\Delta v = \frac{2\pi R}{T} - \frac{2\pi(R-h)}{T} = \frac{2\pi h}{T}$$

bu yerda,  $R$ -Yerning ekvatorial radiusi,  $T$ -Yerning aylanish davri va  $h$ -shaxtaning chuqurligi

$$h = \frac{gt^2}{2} \text{ bo'lgani uchun } t = \frac{\sqrt{2gh}}{g} \text{ va}$$

$$S = \frac{2\pi h \sqrt{2gh}}{Tg} = \frac{2 \cdot 3,14 \cdot 180 \cdot \sqrt{2 \cdot 10 \cdot 180}}{24 \cdot 3600 \cdot 10} \approx 0,08m$$

jismga sharqqa tomon yo'nalgan kuchlar ta'sir qilmasa ham, uning vertikal yo'nalishdan sharqqa og'ishi, Yer noinersial sistema ekanligini ko'rsatadi.

## *II bob. DINAMIKANING ASOSIY QONUNLARI*

### **2.1. Nyutonning birinchi qonuni. Massa va kuch**

O'tgan kinematika asoslari bobida moddiy nuqtaning harakatini, bu harakatni vujudga keltirgan sabablarga bog'liq bo'limgan holda o'rgandik. **Dinamika** bo'limida esa jismlarning harakati qonunlari va bu harakatni keltirib chiqargan yoki o'zgartiradigan fizik sabablar o'rganiladi. Dinamika mexanikaning asosiy bo'limi bo'lib, uning assosida Nyuton qonunlari yotadi.

*Nyutonning birinchi qonuni: agar jismga boshqa jismlar ta'sir etmasa, u o'zining tinch holatini yoki to'g'ri chiziqli tekis harakatini saqlaydi.*

Tashqi ta'sir bo'limganda jismlar o'zlarining tinchlik holatini yoki to'g'ri chiziqli tekis harakatini saqlash qobiliyati **inersiya** deyliladi. Shuning uchun ham Nyutonning birinchi qonuni **inersiya qonuni** deb ham yuritiladi. Inersiya lotincha so'z bo'lib, «**qotib qolganlik**», «**harakatsizlik**» degan ma'noni bildiradi.

Ammo Nyutonning birinchi qonununu tajriba yo'li bilan tekshirishga tashqi ta'sirlar xalal beradi, masalan, Yerning tortish gravitatsion maydoni, muhitning qarshiligi, atrofdagi harakatlanyotgan jismlar. Nyutonning birinchi qonununda aytigan tinch va to'g'ri chiziqli tekis harakat qaysi sanoq sistemasiga nisbatan hisoblanishi muhimdir. Nyutonning birinchi qonuni barcha sanoq sistemalarda ham bajarilavermaydi. Lekin shunday sanoq sistemasi mavjudki, unda jism o'zining tinch holatini yoki to'g'ri chiziqli tekis harakatini saqlaydi. Bunday sanoq sistemasini **inersial sanoq** sistemasi deb ataladi. Biror inersial sanoq sistemaga nisbatan to'g'ri chiziqli tekis harakat qilayotgan ixtiyoriy sanoq sistemasi ham inersial sanoq sistemasi bo'ladi.

Yer sirti bilan bog'liq sanoq sistema, amalda inersial sanoq sistemasi deb hisoblanadi, aslida bu sistema inersial sanoq sistemasi emas, chunki Yer o'z o'qi atrofida aylanadi va Quyosh atrofida egori chiziqli trayektoriya bo'yicha harakatlanadi. Shuning uchun Yer sirtidagi tinch turgan jismlar tezlanish oladi. Lekin ba'zi amaliy hollarda, bu **noinersiallikni** hisobga olmasa ham bo'ladi. Umuman, «inersial sanoq sistemasi» abstrakt tushunchadir. Lekin koordinata boshi Quyoshda, koordinata o'qlari esa uzoqda joylashgan va bir tekislikda yotmagan yulduzlar tomon yo'nalgan sanoq sistemasini inersial sanoq sistemasi deb hisoblasa bo'ladi.

Inersial sanoq sistemasida mexanikaning hamma qonunlari bajariladi. Inersial sistemasiga nisbatan tezlanishga ega bo'lgan sanoq sistemalarda esa mexanika qonunlari bajarilmaydi.

Tajribalarni ko'rsatishicha, ayni bir xil ta'sir tufayli turli jismlar turliha tezlanish oladi. Jismning olgan tezlanishining kattaligi faqat ta'sirning kattaligigagina emas, balki shu bilan birga jismning ba'zi xususiy xossasiga ham bog'liq bo'lar ekan. Jismning bu xossasi **massa** deb ataladigan fizik kattalik bilan ifodalanadi. **Massa jismning inersiya o'chovidir**. Bir xil ta'sir tufayli jism massasi katta bo'lsa, inersiyasi ham katta bo'ladi, jism massasi kichik bo'lsa, inersiyasi ham kichik bo'ladi.

Jismning massasini biror ixtiyoriy tanlab olingen etalon jismning massasiga solishtirish bilan aniqlanadi. Xalqaro kelishuvga muvofiq bunday etalon sifatida Parida saqlanadigan platinairdiy qotishmasidan tayyorlangan silindir olingen, uning massasi kilogramm massa (kg) deyliladi. **Massa m harfi** bilan belgilanadi va massa birligi **1 kg** deb qabul qilingan.  $1\text{m}^3$  distillangan suvning  $4^\circ\text{C}$  dagi massasi  $1\text{ g}$  ga teng.

Kuzatishlarning ko'rsatishicha, jismga ko'rsatilayotgan ta'sir bu jismning tezlanish olishi tarzidagina emas, balki jismning deformatsiyalanishi shaklida ham namoyon bo'lishi mumkin. Masalan, devorga urilgan o'q devorga tezlanish bermasada, lekin devorda chuquurcha hosil qiladi, ya'ni o'q ham, devor ham deformatsiyalanadi va issiqlik miqdorining ajralishi kuzatiladi.

Umuman, jismga beriladigan ta'sirni **kuch** deb ataladigan kattalik bilan ifodalanadi va uning miqdori jism erishadigan tezlanish yoki deformatsiya bilan aniqlanadi. **Kuch F harfi** bilan belgilanadi va kuch birligi SI sistemasida **Nyuton** deb qabul qilingan bo'lib, dinomometrlarda o'chanadi.

## 2.2. Nyutoning ikkinchi qonuni

Nyutoning ikkinchi qonuni ilgarilanma harakat dinamikasining asosiy qonununi bo'lib, kuch ta'sirida moddiy nuqtaning mexanik harakati qanday o'zgarishini ifodalaydi.

Agar o'zgarmas massali ( $m=const$ ) jismning kuch ta'sirida olgan tezlanishi shu kuchga to'g'ri proporsional bo'lса:

$$\vec{a} \sim \vec{F} \quad (2.1)$$

Agar bir xil kuch ta'sirida ( $F=const$ ) har xil jismlar turli xil tezlanish olsa, bunda, jism massasi qancha katta bo'lsa, ularning inersiyasi ham shuncha katta bo'ladi, tezlanishi esa shuncha kichik bo'ladi:

$$\vec{a} \sim \frac{1}{m} \vec{F} \quad (2.2)$$

(2.1) va (2.2) dan foydalanib, kuch va tezlanishni vektor kattalik ekanligini hisobga olib, quyidagini yozamiz:

$$\vec{a} = \kappa \frac{\vec{F}}{m} \quad (2.3)$$

Bu tenglama Nyutoning ikkinchi qonunini ifodalaydi, u quyidagicha ta'riflanadi: **Kuch ta'sirida jism erishgan tezlanish ta'sir etuvchi kuchga to'g'ri, jism massasiga esa teskarı proporsionaldir va u kuchning ta'sir tomoniga qarab yo'nalgan.**

(2.3) da  $\kappa$  – proporsionallik koefitsiyenti bo'lib,  $\vec{a}$ ,  $\vec{F}$  va  $m$  kattaliklarni qaysi birliklar sistemasida o'changaniga bog'liq. SI sistemasida proporsionallik koefitsiyenti  $\kappa=1$  ga teng. U holda

$$\vec{a} = \vec{F} / m \quad (2.4)$$

Agar jismga bir vaqtini o'zida bir necha kuch ta'sir qilsa, u holda Nyuton ikkinchi qonunini matematik ifodasini quyidagi ko'rinishda yozish mumkin.

$$m\vec{a} = \vec{F}_1 + \vec{F}_2 + \dots + \vec{F}_n = \sum_{i=1}^n \vec{F}_i \quad (2.5)$$

Demak, inersial sanoq sistemasida harakatlanayotgan jism tezlanishini uning massasiga ko'paytmasi jismga ta'sir etayotgan hamma kuchlarning vektor yig'indisiga tengdir.

### 2.3. Nyutonning uchinchi qonuni

Nyutonning uchinchi qonuni jismlarning o'zaro ta'sirini ifodalaydi va quyidagicha ta'riflaydi: *Ta'sir etuvchi va aks ta'sir etuvchi kuchlar miqdor jihatidan teng bo'lib, yo'naliш jihatdan qarama-qarshidir.*

$$\vec{F}_{12} = -\vec{F}_{21} \quad (2.6)$$

bu yerda,  $\vec{F}_{12}$  – ta'sir etuvchi kuch,  $\vec{F}_{21}$  – aks ta'sir etuvchi kuch.

Nyutonning ikkinchi qonuniga asosan quyidagilarni yozish mumkin: birinchi jism  $\vec{a}_1 = \frac{\vec{F}_{21}}{m_1}$ , ikkinchi jism esa  $\vec{a}_2 = \frac{\vec{F}_{12}}{m_1}$  tezlanish oladi, yuqoridagi ikki tezlanish ifodasidan

$$\vec{a}_1 = -\frac{m_2}{m_1} \vec{a}_2 \quad (2.7)$$

hosil qilamiz. Bu munosabat, o'zaro ta'sirlashuvchi ikki jism o'zlarining massalariga teskari proporsional bo'lgan va qarama-qarshi tomonlarga yo'nalgan tezlanishlar oлganini ko'rsatadi. Misol ko'raylik, porox gazining ta'siri natijasida snaryad to'p stvoldidan otilib chiqadi (katta tezlanish bilan) va ta'sir natijasida to'p orqaga (kichik tezlanish bilan) harakat qiladi.

Aylana bo'ylab Oyning Yer atrofidagi harakatida Oy markazga intilma tezlanishga ega bo'ladi. Bu tezlanish markazga intilma kuch tufayli vujudga keladi

$$F_{m.i.} = m \frac{v^2}{R} \quad (2.8)$$

Bu kuch R radusli aylana bo'ylab harakatlanayotgan Oyga qo'yilgan. Nyutonning uchunchi qonuniga asosan markazga intilma kuchga miqdor jihatdan teng, lekin teskari tomonga yo'nalgan markazdan qochma kuch ham bo'lishi kerak. Markazdan qochma kuch esa Yerga qo'yilgan. Demak, kuch o'zining kattaligi va yo'naliшidan tashqari qo'yilish nuqtasi bilan ham ifodalanan ekan.

Shunday qilib, shuni esda tutish kerakki, jismlarning o'zaro ta'sirida yuzaga keladigan kuchlar boshqa-boshqa jismlarga qo'yilgan bo'ladi va shuning uchun ular bir-birini muvozanatlay olmaydi. Ayni bir jismga qo'yilgan kuchlarga muvozanatlasha oladi.

### 2.4. Impuls va uning saqlanish qonuni

Agar tezlanishi jism tezligining o'zgarishi jadalligiga yoki bo'lmasa, tezlanish tezlikdan vaqt bo'yicha olingen birinchi tartibli hosilaga teng ekanligini hisobga olsak, Nyutonning ikkinchi qonunini ifodalaydigan  $\vec{F} = m\vec{a}$  formulani

$$\vec{F} = m \frac{d\vec{v}}{dt} \quad (2.9)$$

ko'rinishda ham yozish mumkin. Bu yerda massa o'zgarmas kattalik bo'lgani tufayli uni differensial belgisi ostiga kiritish mumkin.

$$\frac{d(m\vec{v})}{dt} = \vec{F} \quad (2.10)$$

Bu tenglamadagi jism massasi va tezligini ko'paytmasi

$$P = mv \quad (2.11)$$

jismning *impulsi* yoki *harakat miqdori* deb ataladi. (2.11) dan foydalanib (2.10) ni quyidagi ko'rinishda yozamiz:

$$\frac{d\vec{P}}{dt} = \vec{F}. \quad (2.12)$$

Demak, jism impulsidan vaqt bo'yicha olingan birinchi tartibli hosila jismga ta'sir etayotgan kuchga teng.

Agar jismga hech qanday kuch ta'sir etmasa (2.12), ifoda

$$\frac{d\vec{P}}{dt} = 0$$

ko'rinishga keladi. Impulsning hosilasi nolga teng bo'lsa, uning o'zi o'zgarmas miqdorga teng bo'ladi, ya'ni

$$\vec{P} = const \quad (2.13)$$

Bu ifoda impulsining saqlanish qonunini ifodalaydi: *kuch ta'sir etmaguncha moddiy nuqtaning impulsi o'zgarmaydi*.

(2.12) ifodani quyidagi ko'rinishda qayta yozamiz:

$$d\vec{P} = \vec{F} \cdot dt \quad (2.14)$$

Bu tenglikdagi  $\vec{F} \cdot dt$  kattalikni elementar *kuch impuls* deyiladi. (2.14) dan ko'rinaliki, moddiy nuqta impulsining o'zgarishi kuch impulsiga teng ekan.

Endi izolatsiyalangan berk sistemalarda impuls saqlanish qonuni o'rinni bo'lishini ko'rsataylik. Tashqi muhit bilan ta'sirlashmaydigan sistema *berk sistema* deyiladi.

Jismlarga tashqaridan berilgan ta'sirlarni mos holda  $F_1, F_2, F_3$  ga ichki kuchlarini esa  $f_1, f_2, f_3$  ga teng deb hisoblaylik, uchala jism uchun dinamika tenglamasini mos holda quyidagicha yozaylik:

$$\frac{d}{dt} P_1 = f_1 + f_2 + F_1,$$

$$\frac{d}{dt} P_2 = f_2 + f_3 + F_2,$$

$$\frac{d}{dt} P_3 = f_3 + f_1 + F_3.$$

Bu ifodalarni hadma-had qo'shib va ichki kuchlarning yig'indisi nolga teng ekanligidan quyidagi tenglik kelib chiqadi:

$$\frac{d}{dt} (P_1 + P_2 + P_3) = F_1 + F_2 + F_3$$

umumiy holda:

$$\frac{d}{dt} \sum_{i=1}^n P_i = \sum_{i=1}^n F_i \quad (2.15)$$

Demak, moddiy nuqtalar sistemasining impulsidan vaqt bo'yicha olingan birinchi tartibli hosila shu sistema moddiy nuqtalariga ta'sir etuvchi barcha tashqi

kuchlarni vektor yig'indisiga teng. (2.15) formulaga asosan tashqi kuchlar nolga teng  $\left( \sum_{i=1}^n F_i = 0 \right)$  deb hisoblasak,

$$\frac{dP_c}{dt} = 0 \quad (2.16)$$

bundan

$$P_c = \text{const} \quad (2.17)$$

hosil bo'ladi. Bu ifoda **moddiy nuqtalar sistemasi impulsining saqlanish qonunidir**. Demak, **berk sistemalarda impuls o'zgarmas ekan**, ichki kuchlar sistema impulsini o'zgartira olmaydi. Masalan, raketaning harakati impuls saqlanish qonuniga asoslangan.

### 2.5. Moddiy nuqtalar sistemasining massa markazi harakati

2.4 da impulsni saqlanish qonunini o'rganganimizda moddiy nuqtalar sistemasi iborasini ishlatdik. Endi moddiy nuqtalar sistemasi bilan yaqinroq tanishaylik  $n$ -ta o'zaro ta'sirlashuvchi moddiy nuqtalar to'plami, moddiy nuqtalar sistemasi yoki mexanik sistema deb ataladi. Moddiy nuqtalar sistemasining harakatini bir butun sistema harakati deb tushunish uchun sistemani ifodalovchi bir necha tushunchalar kiritaylik:

1) moddiy nuqtalar sistemasining **massasi ( $m_c$ )** shu sistemaga kiruvchi barcha moddiy nuqtalar massalarining yig'indisiga teng, ya'ni:

$$m_c = \sum_{i=1}^n m_i \quad (2.18)$$

2) moddiy nuqtalar sistemasining **massa markazi** deganda fazoning shunday nuqtasi olinadiki, ushbu nuqtaning vaziyati koordinata boshiga nisbatan

$$\mathbf{r}_{mm} = \frac{\sum_{i=1}^n m_i \mathbf{r}_i}{m_c} \quad (2.19)$$

radius-vektor bilan aniqlanadi.

3) **massa markazining tezligi ( $v_{mm}$ )**. Moddiy nuqtalar sistemasi massa markazining radius-vektoridan birinchi tartibli hosila olsak, **massa markazining tezligi ( $v_{mm}$ )** ni topamiz, ya'ni

$$v_{mm} = \frac{dr_{mm}}{dt} = \frac{\sum_{i=1}^n m_i \frac{dr_i}{dt}}{m_c} = \frac{\sum_{i=1}^n m_i v_i}{m_c}$$

$m_i v_i = R_i$  impulsga teng ekanligini hisobga olsak, massa markazining tezligi

$$v_{mm} = \frac{\sum_{i=1}^n P_i}{m_c} = \frac{P_c}{m_c} \quad (2.20)$$

bundagi

$$P_c = \sum_{i=1}^n P_i \quad (2.21)$$

sistemani tashkil etuvchi moddiy nuqtalar impulslarining vektor yig'indisidir. (2.20) ni

$$P_c = m_c v_{mm} \quad (2.22)$$

ko'rinishida yozaylik. Demak, sistema massasi bilan sistema massa markazi tezligining ko'paytmasi **moddiy nuqtalar sistemasining impulsi** deb ataladi.

4) sistemani tashkil etuvchi moddiy nuqtalar orasidagi ta'sir etuvchi kuchlarni *ichki kuchlar* deb ataladi. Moddiy nuqtalar sistemasi barcha ichki kuchlarning to'liq yig'indisi nolga teng.

Sistemaga taalluqli bo'limgan jismlar tomonidan sistemadagi jismlarga ta'sir etuvchi kuchlarni *tashqi kuchlar* deb ataladi. Tashqi kuchlar ta'sir etmaydigan moddiy nuqtalar sistemasi *berk sistema* deb ataladi.

$$F_1 + F_2 + \dots + F_n = 0 \quad (2.23)$$

(2.15) va (2.21) tenglamalardan foydalabanib:

$$m_c \frac{dv_{mm}}{dt} = F_1 + F_2 + \dots + F_n \quad (2.24)$$

deb yozish mumkin. (2.24) ifodadan ko'rindiki, sistemaning massa markazi moddiy nuqtadek harakat qilar ekan. Aslida, bu yerda, sistemaning hamma massalari mujassamlashgan va sistemaga ta'sir etuvchi kuch, hamma tashqi kuchlarning geometrik yig'indisiga tengdir. (2.24) tenglama esa **massa markazining harakat qonunini ifodalaydi**.

## 2.6. Massasi o'zgaruvchi jismning harakat tenglamasi

Ba'zi jismlarning harakati, ularning massalari o'zgarib borishi bilan amalga oshadi, masalan, raketalar massalari yoqilg'ilar yonib gazlar chiqib ketishi hisobiga kamayib boradi. Agar sistema o'z massasining bir qismini biror yo'nalish bo'ylab kamaytirib borsa, u holda u qarama - qarsha yo'nalishda impuls (harakat miqdori) oladi. Bu raketa texnikasi asosida yotuvchi reaktiv harakat prinsipining fizik mohiyatini ifodalaydi.

Raketa harakati misolida massasi o'zgarayotgan jism harakat tenglamasini chiqaraylik. Agar  $t$  vaqt momentida raketa massasi  $m$ , uning tezligi  $v$  bo'lsa, u holda  $dt$  vaqt o'tishi bilan uning massasi  $m-dm$  ga, tezligi esa  $v+dv$  bo'lib qoladi. Impulsning o'zgarishi

$$dP = (m - dm) \cdot (v + dv) + (v + dv - u)dm - mv$$

yoki

$$dP = mdv - udm \quad (2.25)$$

bu yerda,  $u$  – raketadan chiqayotgan gazlar tezligi.

Agar sistemaga tashqi kuch ta'sir qilayotgan bo'lsa,  
 $dP = Fdt$

bo'ladi.

Buni (2.25) ga qo'ysak,

$$F \cdot dt = mdv - u dm$$

yoki

$$m \frac{dv}{dt} = F + u \frac{dm}{dt} \quad (2.26)$$

(2.26) dagi  $u \frac{dm}{dt}$  ifoda *qo'shimcha kuch* bo'lib, uni *reaktiv kuch* ( $F_r$ ) deb ataladi. Shunday qilib, biz massasi o'zgarayotgan jism harakat tenglamasini hosil qildik, buni birinchi bo'lib I.V.Meo'erskiy (1859–1935) tomonidan keltirib chiqarilgan.

$$ma = F + F_r \quad (2.27)$$

Reaktiv kuchlarni uchuvchi apparatlarga qo'llash fikrini 1881-yili N.I.Kibalchich (1854–1881) tomonidan aytilgan, ammo kosmonavtikaning asoschisi K.E.Siolkovskiy (1857–1935) hisoblanadi. U 1903-yildayoq o'z maqolasida raketa harakatining nazariyasini asosladи.

(2.26) tenglamani hech qanday tashqi kuch ta'sir qilmayotgan ( $F=0$ ) raketa harakatiga tabbiq qilaylik

$$m \frac{dv}{dt} = -u \frac{dm}{dt}$$

Undan

$$v = -u \int \frac{dm}{m} = -u \ln m + C$$

integral doimiysi  $S$  ning qiymatini boshlang'ich shartlardan topamiz. Agar boshlang'ich holatda raketa tezligi nolga teng bo'lsa, massasi  $m_0$  teng deb olamiz.

U holda  $C = u \ln m_0$ . Shunday qilib,

$$v = u \ln(m_0 / m) \quad (2.28)$$

bu formulani Siolkovskiy formulasi deb yuritiladi. Bu shuni ko'rsatadiki: a) agar foydali yuk qancha katta bo'lsa, raketaning boshlang'ich massasi ham shuncha katta bo'lishi kerak; b) agar gazning chiqish tezligi qancha katta bo'lsa, raketa massasidan foydali yuk ham shuncha katta bo'lishi mumkin.

### Savollar

1. Nyutonning birinchi qonunini nima uchun inersiya qonuni deb yuritiladi?
2. Agar jismga bir vaqt ni o'zida bir necha kuch ta'sir qilayotgan bo'lsa, u holda Nyuton ikkinchi qonuning matematik ifodasi qanday ko'rinishda bo'ladi?
3. Nyuton uchinchi qonunida kuch nega o'zining kattaligi va yo'nalishidan tashqari qo'yilish nuqtasi bilan ifodalanadi?

4. Moddiy nuqta va moddiy nuqtalar sistemasining impulsi va impulsning saqlanish qonunini ta'riflang va matematik ifodasini yozing?

5. Moddiy nuqtalar sistemasining massa markazi deganda fazoning qanday nuqtasi olinadi?

6. Massasi o'zgaruvchi jismning harakat tenglamasi qanday ifodalanadi?

### Masalalar

**5-masala.** Jismga  $t=10s$  davomida  $F=50N$  o'zgarmas kuch ta'sir qilayapti. Agar bu vaqt ichida jism harakatining tezligi  $v_1 = 25m/s$  dan  $v_2 = 20m/s$  gacha o'zgargan bo'lsa, jismning massasi  $m$  ni toping.

Berilgan:  $v_1 = 25m/s$ ,  $v_2 = 20m/s$

$$\begin{array}{c} t=10s, \quad F=50N \\ m \sim ? \end{array}$$

**Yechish.** Impulsning o'zgarish qonuni (2.14) dan foydalanib,  $Ft = m(v_1 - v_2)$  bundan

$$m = \frac{Ft}{v_1 - v_2} = \frac{50 \cdot 10}{25 - 20} = \frac{500}{5} = 100kg.$$

**6-masala.** Raketening reaktiv dvigateli yonish mahsulotlarini yonib bo'lgandan keyin otib tashqariqa chiqaradi. Otib chiqarayotgan chiqindi mahsulotning massasi  $m=0,4 kg$ , otilib chiqish tezligi  $v = 1km/s$  bo'lib, dvigatelda sekundiga 20 marta ( $V = 20s^{-1}$ ) otib chiqarish yuz bersa,  $t=5s$  ning oxirida raket qanday  $v_n$  tezlikka erishadi? Raketening boshlang'ich massasi  $M=300kg$  ga, boshlang'ich tezligi esa nolga teng. Havoning qarshiligi hisobga olinmasin.

Berilgan:  $m=0,4 kg = 0,4 kg$ ,  $v = 1km/s = 1000m/s$ ,

$$\begin{array}{c} v = 20s^{-1} = 20 l/s, \quad t = 5s = 5s \\ M = 300kg = 300kg \end{array}$$

$$v_n \sim ?$$

**Yechish.** Raketadan otib chiqarilgan gazining birinchi ulushining tezligi  $v_1$ , ikkinchi, uchinchi va hokazo  $n$ -ulushi tezliklarini mos ravishda  $v_1$ ,  $v_2$  va  $v_n$  bilan belgilaymiz. Harakat boshlanguncha impulsning yig'indisi nolga teng bo'lgani uchun impuls saqlanish qonuniga asosan, birinchi ulush gaz chiqqandan keyin:

$$(M - m)v_1 - mv = 0, \text{ bundan (1)} v_1 = \frac{mv}{M - m};$$

ikkinci ulush gaz chiqqandan keyingi tezlik:

$$(M - m)v_1 = (M - 2m)v_2 - mv \text{ bundan (1) ga asosan}$$

$$v_2 = \frac{2mv}{M - 2m} \tag{2}$$

bunda,  $(M - m)v_1$  – ikkinchi ulush gaz chiqqunga qadar raketaning impulsi.

Uchinchi ulush gaz chiqqunga qadar raketaning  $(M - 2m)v_2$  impulsi  
quyidagi teng bo‘ladi:  $(M - 2m)v_2 = (M - 3m)v_3 - mv$  bundan (2) ga

asosan  $v_3 = \frac{3mv}{M - 3m}$  (3) shunday qilib, (1), (2), (3) tenglamalarni inobatga olib

$v_n$  uchun quyidagini yozamiz

$$v_n = \frac{nmv}{M - nm}$$

$n = vt$  bo‘lgani uchun  $t=5s$  oxiridagi raketa tezligi:

$$v_5 = \frac{vtmv}{M - mv} = \frac{0,4 \cdot 20 \cdot 5 \cdot 10^3}{300 - 0,4 \cdot 20 \cdot 5} = \frac{4 \cdot 10^4}{260} = 153,4 \text{ m/s} .$$

### III bob. QATTIQ JISM MEXANIKASI

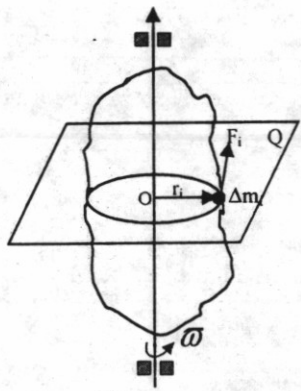
#### 3.1. Kuch momenti va impuls momenti

Bir-biriga nisbatan siljimaydigan moddiy nuqtalar to'plami *qattiq jism* deb yuritiladi. Tashqi kuch ta'sirida deformatsiyalanmaydigan jism *absolut qattiq jism* deyiladi. Ixtiyoriy shakldagi qattiq jism qo'zg'almas OZ o'q atrofida  $F$  kuch ta'sirida aylanayotgan bo'lsin. Uning zarralari markazi OZ o'qda yotgan aylanalar chizadi. Jismni kuch qo'yilgan nuqta chizgan aylanaga urinma bo'lgan  $F$  kuch aylantiradi.  $F$  kuchning ta'siri faqat uning kattaligiga bog'liq bo'lmay, u qo'yilgan  $A$  nuqtadan aylanish o'qigacha bo'lgan masofa  $\vec{r}$  ga ham bog'liqdir.  $\vec{F}$  aylantiruvchi kuchning kuch qo'yilgan nuqtadan aylanish o'qigacha bo'lgan masofa -  $\vec{r}$  - radius - vektorga ko'paytmasi aylantiruvchi kuchning momenti deb ataladi va  $M$  harfi bilan belgilanadi:

$$\bar{M} = \vec{F} \cdot \vec{r} \quad (3.1)$$

$M$  ning moduli

$$M = Fr \sin \alpha = Fl \quad (3.2)$$



3.1-rasm.

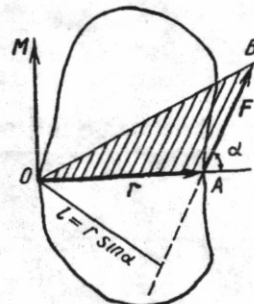
Jismning harakat tezligi  $\vec{v}$ , impulsi  $\vec{p}$  va uning fazodagi o'rnnini ifodalovchi radius - vektor  $\vec{r}$  bo'lsin (3.3-rasm). Moddiy nuqtaning berilgan  $O$  nuqtaga nisbatan impuls momenti deganda, radius-vektorni impuls vektoriga vektor ko'paytmasi tushuniladi:

$$\vec{L} = [\vec{r} \cdot \vec{p}] \quad (3.3)$$

L vektorining yo'nalishini,  $M$  ga o'xshab o'ng vint qoidasi asosida topiladi.  $O$  nuqtaga joylashtirilgan o'ng vint  $\vec{r}$  dan  $R$  yo'nalishiga

ifoda yordamida aniqlanadi. 3.2-rasmda,  $O$  nuqtadan tushirilgan perpendikularlarning uzunligi  $l = r \sin \alpha$  bo'ladi va uni  $F$  uchning  $O$  nuqtaga nisbatan *yelkasi* deb ataladi.  $\alpha$  -  $F$  bilan  $r$  orasidagi burchak.  $M$  ning moduli  $OAV$  uchburchak (rasmda shtrixlangan) yuzaning ikkilanganiga teng.  $M$  vektorining yo'nalishini o'ng vint qoidasi asosida aniqlanadi.  $O$  nuqtaga joylashgan o'ng vintni

$\vec{r}$  dan  $\vec{F}$  ga tomon burGANIMIZDA vint ilgarilanma harakatining yo'nalishi  $M$  ning yo'nalishini ko'rsatadi.

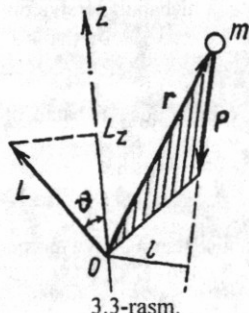


3.2-rasm.

burilganda vintning ilgarilanma harakati  $\vec{L}$  ning yo'nalishini ko'rsatadi  $\vec{L}$  ning modulini

$$L = r p |\sin(\vec{r}\vec{p})| = lp \quad (3.4)$$

deb yozish mumkin.



3.3-rasm.

### 3.2. Qattiq jismning aylanish o'qiga nisbatan inersiya momenti. Shteyner teoremasi

Qattiq jismning aylanma harakatini o'rganishda inersiya momenti tushunchasidan foydalananiz. Qattiq jism *i*-elementar bo'lakchasing massasi ( $\Delta m_i$ ) bilan aylanish o'qidan  $O$  nuqtagacha bo'lgan masofa ( $r_i$ ) kvadratining ko'paytmasini

$$I_{Zi} = \Delta m_i r_i^2 \quad (3.5)$$

*i* - elementar bo'lakchaning  $OZ$  o'qqa nisbatan **inersiya momenti** deb ataladi (3.1-rasm).  $n$ -ta elementar bo'lakchalardan tashkil topgan sistemaning inersiya momenti elementar inersiya momentlarining yig'indisiga teng, ya'ni

$$I_Z = \sum_{i=1}^n \Delta m_i r_i^2 \quad (3.6)$$

SI da inersiya momenti  $kg\cdot m^2$  (kilogramm-metr kvadrat) larda o'lchanadi. Qattiq jism uchun (3.6) ni quyidagicha yozish mumkin:

$$I = \int_V r^2 dm \quad (3.7)$$

Integral qattiq jism egallagan butun hajm bo'yicha olinadi. Jismning berilgan nuqtadagi zichligi  $\rho = const$ , ya'ni jism bir jinsli bo'lsa,

$$I = \rho \int_V r^2 dV \quad (3.8)$$

hosil bo'ladi.

(3.8) ifoda har qanday qattiq jismning istalgan o'qqa nisbatan inersiya momentini aniqlash imkoniyatini beradi. Misol tariqasida ba'zi jismalarning inersiya momentlarini aniqlashni ko'raylik.

1. Devori juda yupqa trubaning halqa markazidan o'tgan o'qqa nisbatan inersiya momenti

$$I = m R^2$$

2. Devorlari qalin trubaning markazidan o'tgan o'qqa nisbatan inersiya momenti

$$I = \frac{1}{2} m (R_1^2 + R_2^2)$$

Trubaning  $R_1$  va  $R_2$  ichki va tashqi devorlarining radiuslari.

3. Butun silindr (disk) ning markazidan o'tgani o'qqa nisbatan inersiya momenti

$$I = \frac{1}{2} m R^2$$

4. Butun sharning massalar markazidan o'tuvchi o'qqa nisbatan inersiya momenti

$$I = \frac{2}{5} m R^2$$

5. Sferaning massalar markazidan o'tuvchi o'qqa nisbatan inersiya momenti

$$I = \frac{2}{3} m R^2$$

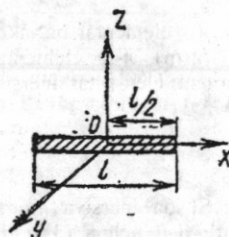
6.  $l$  – uzunlikdagi ingichka sterjenning uzunligiga tik va massalar markazidan o'tuvchi  $OZ$  o'qqa nisbatan inersiya momenti (3.4-rasm).

$$I = \frac{1}{12} m l^2$$

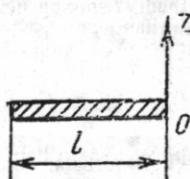
7.  $l$  uzunlikdagi ingichka sterjenning uzunligiga tik va uning bir uchidan o'tuvchi  $OZ$  o'qqa nisbatan inersiya momenti (3.5-rasm).

$$I = \frac{1}{3} m l^2$$

Agar berilgan jismning massalar markazidan o'tuvchi o'qqa nisbatan inersiya momenti aniqlangan bo'lса, бу о'qqa parallel istalgan o'qqa



3.4-rasm.



3.5-rasm.

nisbatan inersiya momenti aniqlash uchun Shteyner teoremasidan foydalanamiz. U quyidagicha ta'riflanadi: *berilgan jismning istalgan o'qqa nisbatan inersiya momenti*, *I* shu o'qqa parallel va  $S$  - jism massalar markazidan o'tuvchi o'qqa nisbatan inersiya momenti  $I_s$  bilan jism massasining o'qlar orasidagi masofa kvadratiga ko'paytmasining yig'indisiga teng:

$$I = I_s + m a^2 \quad (3.9)$$

### 3.3. Aylanma harakat qilayotgan qattiq jismning kinetik energiyasi

3.1-rasmga qarasak,  $OZ$  o'q atrofida aylanayotgan qattiq jismning biror i-bo'lakchasingin kinetik energiyasi

$$\Delta W_{ki} = \frac{\Delta m_i v_i^2}{2} \quad (3.10)$$

tenglama bilan ifodalanishini bilamiz. Bu yerda,  $\Delta m_i$  va  $v_i$  – mos ravishda  $i$ -bo'lakchaning massasi va chiziqli tezligidir. Chiziqli tezlik bilan burchakli tezlik o'rtasidagi bog'lanishni eslasak ( $v_i = \omega r_i$ ) va buni (3.10) ga qo'sak

$$\Delta W_{ki} = \frac{\Delta m_i r_i^2}{2} \omega^2 \quad (3.11)$$

hosil qilamiz.

Qattiq jism kinetik energiyasi uni tashkil etuvchi hamma bo'lakchalar kinetik energiyalarining yig'indisidan iborat

$$W_k = \sum \Delta W_{ki} = \frac{1}{2} \omega^2 \sum \Delta m_i r_i^2 \quad (3.12)$$

(3.6) ga asosan  $\sum \Delta m_i r_i^2 = I_z$  jismning aylanish o'qiga nisbatan inersiya momenti ekanligini e'tiborga olsak,

$$W_k = \frac{I_z \omega^2}{2} \quad (3.13)$$

ifoda hosil bo'ladi.

Demak, qo'zg'almas o'q atrofida aylanayotgan qattiq jismning kinetik energiyasi shu jismning aylanish o'qiga nisbatan inersiya momentining burchak tezlik kvadratiga ko'paytmasining yarmiga teng.

Agar jism qo'zg'aluvchan o'qqa nisbatan aylanma harakat qilsa, ya'ni ham aylanma, ham ilgarilanma harakat qilsa, uning kinetik energiyasi aylanma va ilgarilanma harakat kinetik energiyasining yig'indisi orqali aniqlanadi.

$$W_k = \frac{I_z \omega^2}{2} + \frac{m v_m^2}{2} \quad (3.14)$$

Bunda,  $v_m$  – massa markazi ilgarilanma harakatning tezligi.

### 3.4. Aylanma harakat dinamikasining asosiy qonuni

3.1-rasmidagi aylanayotgan qattiq jismning tekshirilayotgan elementar bo'lakchasi impulsining OZ o'qqa nisbatan momenti ( $L_{zi}$ ) (3.4) munosabatga asoslanib hisoblanadi.

$$L_{zi} = P_i r_i = \Delta m_i r_i \omega r_i = \Delta m_i r_i^2 \omega \quad (3.15)$$

Bu ifodani qattiq jismning barcha elementar bo'lakchalari uchun qo'llab, so'ng ularning yig'indisini olsak, jism impulsining OZ o'qqa nisbatan momentini hosil qilamiz:

$$L_z = \sum_{i=1}^n L_{zi} = \omega \sum_{i=1}^n \Delta m_i r_i^2 \quad (3.16)$$

Bunda  $\omega = \text{const}$  bo'lganligi uchun yig'indi belgisidan tashqariga chiqarib yozdik. (3.16) bilan (3.6) ifodani birlashtirib

$$L_z = I_z \omega \quad (3.17)$$

ni hosil qilamiz.

Shunday qilib, qattiq jism impulsining qo'zg'almas aylanish o'qiga nisbatan momenti jismning shu aylanish o'qqa nisbatan inersiya momenti bilan burchak tezlik ko'paytmasiga teng ekan.

Ikkinchisi tomonidan  $L_{zi} = [r_i R_i]$  ekanligini eslab, unda vaqt bo'yicha differensiallash amalini bajarsak:

$$\frac{dL_z}{dt} = \frac{d}{dt} [r_i P_i] \quad (3.18)$$

$r=const$  bo'lganda  $\frac{dP_i}{dt} = F_i$  ga teng deb olib bularni (3.18) ga qo'yamiz va yig'indiga o'tib quyidagini hosil qilamiz:

$$\frac{dL_z}{dt} = \sum_{i=1}^n [r_i F_i] = \sum_{i=1}^n M_{zi} \quad (3.19)$$

(3.17) va (3.19) ifodalarni solishtirsak

$$\frac{d}{dt} (I_z \omega) = M_z \quad \text{yoki} \quad M = I_z \varepsilon \quad (3.20)$$

Bu yerda,  $\varepsilon = \frac{d\omega}{dt}$  teng bo'lib, burchak tezlanishdir.

(3.20) munosabat qattiq jismning qo'zg'almas o'q atrofida aylanma harakatning asosiy tenglamasi deb yuritiladi. U quyidagicha ta'riflanadi: Ixtiyoriy qo'zg'almas aylanish o'qiga nisbatan jism inersiya momenti bilan burchak tezlanishning ko'paytmasi jismga ta'sir etayotgan kuchlarning shu o'qqa nisbatan momentlarining algebraik yig'indisiga teng.

### 3.5. Impuls momenti va uning saqlanish qonuni

Aylanma harakat qonunlarini ilgarilanma harakat qonunlari bilan solishtirsak, ilgarilanma harakatdagi massa- $m$  o'rnida aylanma harakatda  $I$  - inersiya momenti, kuch o'rnida, kuch momenti, kattaligi rol o'yaydi.

$m$ -massali moddiy nuqta  $r$  radiusli aylana bo'ylab  $v$  chiziqli tezlikka erishsa impuls momenti

$$L = mvr = pr \quad (3.21)$$

ga teng bo'ladi.

(3.21) tenglamadagi chiziqli tezlikni  $v=\omega r$  ifoda bilan almashtirsak:

$$L = m\omega r \cdot r = mr^2\omega$$

Bu ifodadagi  $I = mr^2$  harakatlanayotgan moddiy nuqtaning inersiya momenti ekanligini eslasak, moddiy nuqtaning impuls momenti uchun quyidagi ifodani hosil qilamiz:

$$L = I\omega \quad \text{yoki} \quad \vec{L} = I\vec{\omega}, \quad (3.22)$$

bu yerda,  $L$  – yo‘nalishi bilan  $\omega$ ni yo‘nalishi mos keladi.

Endi impuls momentining o‘zgarish tezligi nimaga bog‘liqligini aniqlaylik. Buning uchun inersiya momentini ( $I=const$ ) o‘zgarmas deb (3.22) tenglamadan vaqt bo‘yicha hosila olamiz:

$$\frac{d\vec{L}}{dt} = I \frac{d\vec{\omega}}{dt} = I\vec{\epsilon} \quad (3.23)$$

Bu tenglamani aylanma harakat dinamikasining asosiy tenglamasi (3.20) bilan taq qoslab

$$\frac{d\vec{L}}{dt} = \vec{M} \quad (3.24)$$

munosabatni hosil qilamiz. Demak, moddiy nuqtaning impuls momentining o‘zgarish tezligi unga ta’sir qiluvchi kuch momentiga teng ekan.

Agar kuch momenti ( $\vec{M} = 0$ ) nolga teng bo‘lsa,

$$\frac{dL}{dt} = 0 \quad (3.25)$$

hosil qilamiz. Bu ifoda

$$L = const \quad \text{yoki} \quad I\omega = const \quad (3.26)$$

bo‘lgandagina bajariladi. Bu (3.25) ifoda moddiy nuqtalar sistemasi uchun impuls momentining saqlanish qonunini ifodalaydi: *moddiy nuqtalar berk sistemasi impulsining ixtiyorli nuqtaga nisbatan momenti o‘zgarmaydi*.

### Savollar

1. Qattiq jism larning kuch momenti va impuls momenti qanday qonuniyat asosida bog‘langan?
2. Qattiq jismning aylanish o‘qiga nisbatan inersiya momenti va Shteyner teoremlarini tenglamalarini yozib, ta’riflarni bayon qiling.
3. Ba’zi jism larni inersiya momentlarini aniqlashda jism larni shakli va o‘lchamlarining ta’siri qanday hisobga olinadi?
4. Agar jism qo‘zg‘aluvchan o‘qqa nisbatan aylanma harakat qilsa, uning kinetik energiyasi qanday ifodalanadi?
5. Impuls momenti va uning saqlanish qonunlari qanday ifodalar bilan xarakterlanadi?

### Masalalar

**7-masala.** Elektromotorning g‘ildiragi tormozlangandan keyin tekis

sekinlanuvchan harakat qilib,  $t=1$  min keyin davomida o'zining aylanish chastotasini  $\nu_0 = 300 \text{ ail/min}$ . dan  $\nu = 180 \text{ ail/min}$ . gacha kamaytirdi. G'ildirakning inersiya momenti  $J = 2 \text{ kgm}^2$  a) g'ildirakning burchak tezlanishi  $\mathcal{E}$  ni; b) tormozlovchi momenti  $M$  ni d) tormozlash ishi  $A$  ni toping?

$$\text{Berilgan: } t = 1 \text{ daqqa} = 60 \text{ s}$$

$$\nu_0 = 300 \text{ ail/min} = 300 \text{ ayl/60s} = 5 \text{ ayl/s}$$

$$\nu = 180 \text{ ail/min} = 180 \text{ ayl/60s} = 3 \text{ ayl/s}$$

$$\begin{array}{l} J = 2 \text{ kgm}^2 \\ \hline \mathcal{E} \sim ? \quad M \sim ? \quad A \sim ? \end{array}$$

**Yechish.** a) g'ildirakning burchak tezlanishini uning burchak tezligi o'zgarishning shu o'zgarish sodir bo'lган vaqt oralig'iga nisbati sifatida topamiz

$$\mathcal{E} = \frac{\omega_0 - \omega}{t} = \frac{2\pi(\nu_0 - \nu)}{t} = \frac{2\pi(5 - 3)}{60} = 0,21 \text{ rad/s}^2$$

b) aylanma harakat dinamikasining asosiy qonuni (3.20) dan, kuchning tormozlovchi momenti

$$M = J\mathcal{E} = 2 \cdot 0,21 = 0,42 J$$

d) g'ildirak tormozlanganda uning aylanish kinetik energiyasi tormozlovchi kuchlariga qarshi ish bajarishga sarf bo'ladi. Shuning uchun (3.13) dan foydalabimiz:

$$A = \frac{J\omega_0^2}{2} - \frac{J\omega^2}{2} = \frac{J}{2} 4\pi^2 (\nu_0^2 - \nu^2) = 2 \cdot 2\pi^2 \cdot 16 = 640 J$$

**8-masala.** Radiusi  $R=1,5 \text{ m}$  va massasi  $m_i=180 \text{ kg}$  bo'lган disk tik o'q atrofida inersiya bo'yicha  $\nu = 10 \text{ min}^{-1}$  chastota bilan aylanmoqda. Disk markazida  $m_2=60 \text{ kg}$  massali odam turibdi. Odam diskning chetiga o'tsa, unda odamni bino poliga nisbatan chiziqli tezligi qanday bo'ladi?

$$\text{Berilgan: } R = 1,5 \text{ m} = 1,5 \text{ m}$$

$$m_i = 180 \text{ kg} = 180 \text{ kg}$$

$$\nu = 10 \text{ min}^{-1}$$

$$m_2 = 60 \text{ kg} = 60 \text{ kg}$$

$$\mathcal{O} \sim ?$$

**Yechish.** Impuls momentining saqlanish qonuniga asosan:

$$(J_1 + J_2)\omega = (J_1 + J_2^1)\omega \quad (1)$$

Bunda,  $J_1$  – diskning inersiya momenti;  $J_2$  – disk markazida turgan odamning inersiya momenti;  $\omega$  – markazida odam bo'lган diskning burchak tezligi,  $J_2^1$  – diskning chekkasida turgan odamning inersiya momenti;  $\omega$  odam chekkasida turgan paytdagi diskning burchak tezligi.

Disk chekkasida turgan odamning chiziqli tezligi burchak tezlik bilan quyidagicha munosabat orqali bog'langan

$$v = \omega^1 R \quad (2)$$

(1) tenglamadan  $\omega^1$  ni aniqlab va olingan ifodani (2) formulaga qo'yib quyidagini olamiz :

$$v = \frac{(J_1 + J_2)\omega R}{J_1 + J_2^1}. \quad (3)$$

Diskning inersiya momenti  $J_1 = \frac{1}{2}m_1R^2$ . Odamning inersiya momentini esa moddiy nuqtanikidek hisoblaymiz. Shuning uchun

$$J_2 = 0 \quad J_2^1 = M_2R^2.$$

Odam chetiga o'tgan diskning burchak tezligi  $\omega = 2\pi\nu$  (3) formuladagi

$J_1, J_2, J_2^1$  va  $\omega$  kattaliklarni almashtirib, quyidagini olamiz:

$$v = \frac{\frac{1}{2}m_1R^2}{\frac{1}{2}m_1R^2 + m_2R^2} \cdot 2\pi\nu R = \frac{m_1}{m_1 + 2m_2} \cdot 2\pi\nu R$$

$m_1, m_2, \nu, R$  va  $\pi$  larning qiymatlarini o'rniga qo'yib, odamning chizqli tezligini topamiz:

$$v = \frac{180}{180+120} \cdot 2 \cdot 3,14 \frac{10}{60} \cdot 1,5 = 0,942 m/s.$$

#### IV bob. ISH, QUVVAT, ENERGIYA

##### 4.1. Ish va quvvat

Agar jism o'zgarmas  $F$  kuch ta'sirida to'g'ri chiziqli harakat qilib biror  $S$ -masofani bosib o'tsa, bu jarayonda kuchning siljitisht ta'sirini ifodalash uchun ish tushunchasi kiritiladi. Jismning to'g'ri chiziqli harakatida o'zgarmas kuchni bajargan ishi **kuch bilan yo'l ko'paytmasiga proporsional bo'ladi**. Agar kuch bilan jism harakat yo'nalishi orasida  $\alpha$  burchak hosil bo'lsa, ish (4.1-rasm)

$$A = F \cdot S \cos \alpha \quad (4.1)$$

formula bilan aniqlanadi.  $\alpha < \frac{\pi}{2}$  bo'lsa ish

musbat,  $\alpha > \frac{\pi}{2}$  bo'lganda ish manfiy,

$\alpha = \frac{\pi}{2}$  bo'lganda  $A=0$  bo'ladi, ya'ni kuch

berilgan yo'lida jismning siljishi bo'yicha hech qanday ish bajarmaydi. Ishqalanish kuchi ko'chish yo'nalishiga teskari tomonga yo'nalgan va u manfiy ish bajaradi.  $sos\alpha=0$ , ya'ni ta'sir etuvchi kuch siljishiga perpendikular bo'lganda kuch mexanik ish bajarmaydi. Biroq biror og'irlikdagi yukni ko'tarib turish, aqliy mehnat qilish (masala yechish, mutolaa qilish, fikr yuritish) da ham mexanik ish bajarilmaydi, oddiy ish bajariladi.

Agar skolar ko'paytma tushunchasidan foydalansak, (4.1) ni quyidagi ko'rinishda yozish mumkin:

$$A = \vec{F} \cdot \vec{S} \quad (4.2)$$

*Demak, mexanik ish kuch vektori va ko'chish vektorining skolar ko'paytmasiga teng.*

SI da ish birligi sifatida Joule ( $J$ ) qabul qilingan: **1 Joul - 1 Nyuton kuch ta'sirida jismni 1 metr masofaga ko'chirishda bajarilgan ishning miqdoridir.**

Eng umumiy hol uchun ishni aniqlaylik. Jism o'zgaruvchan kuch ta'sirida egri chiziqli harakat qilib  $S_1$  nuqtadan  $S_2$  nuqtaga o'tsin (4.2-rasm).

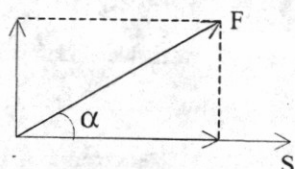
Bu holda yo'lni xayolan cheksiz kichik elementar  $dS$  bo'lakchalarga ajratamiz. Ajratgan elementar yo'lida, kuchni o'zgarmas deb olib, ko'chishni esa to'g'ri chiziqdan iborat deb olamiz. Bu vaqtida elementar bajarilgan ish

$$dA = F dS \cos \alpha \quad (4.3)$$

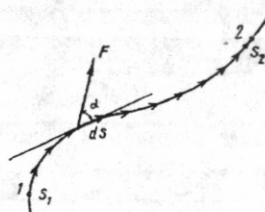
$S_1, S_2$  yo'lida bajarilgan to'la ish

$$A = \int F dS \cos \alpha \quad (4.4)$$

Bu integralni yechish uchun grafik usulidan foydalamaniz. Absissa o'qi bo'ylab  $S$  ning



4.1-rasm.



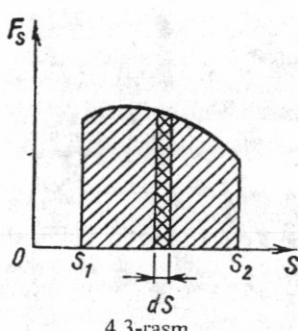
4.2-rasm.

qiyatlarini, ordinata o'qi bo'ylab  $F_s$  ning qiyatlarini joylashtiramiz va  $F_s = f(S)$  funksiya grafigini chizamiz (4.3-rasm). Jismning  $dS$  elementar ko'chish uchun bajargan elementar ishning miqdori

$$dA = F_s dS = F dS \cos \alpha$$

rasmidagi ikki marta shtrixlangan yuzachaning qiyatiga teng. Jismni  $S_1$  va  $S_2$  nuqtalar orasida ko'chirishda bajarilgan ish esa rasmida  $S_1 S_2$  bilan chegaralangan va chap tomonidan qiyalatib shtrixlangan yuzaga teng.

Bajarilgan ishning bajarilish tezligini ifodalash uchun quvvat tushunchasi kiritiladi. Demak, vaqt birligida bajarilgan ish bilan o'lchanadigan kattalik **quvvat** deb ataladi, ya'ni



4.3-rasm.

$$N = \frac{dA}{dt} \quad (4.5)$$

(4.5) ga  $dA$  ning (4.3) formuladagi qiyatini qo'syak,

$$N = F \frac{dS}{dt} \cos \alpha$$

yoki

$$N = F \cdot v \cos \alpha = \vec{F} \cdot \vec{v} \quad (4.6)$$

ni hosil qilamiz.

Demak, quvvat ta'sir etuvchi  $\vec{F}$  kuch vektorining shu kuch ta'sirida jism olgan  $\vec{v}$

tezlik vektoriga skolar ko'paytmasiga teng ekan.

SI da quvvat birligi sifatida Watt ( $Vt$ ) qabul qilingan: **1 Watt - 1 sekund davomida 1 Joul ish bajaradigan mashinaning quvvati**.

$$1 \text{ Vt} = 1 \text{J}/\text{s}.$$

#### 4.2. Energiya. Energiyaning saqlanish qonuni

a) Energiya – materiyaning barcha turdag'i harakati va ularning barcha turdag'i o'zar o'stirishishlarining miqdoriy o'lchovidir. b) energiya-jismning yoki jismlar sistemasining ish bajara olish qobiliyatini ifodalovchi fizik kattalikdir. Energiya ma'lum sharoitlarda sistema bajarishi mumkin bo'lgan ish miqdori bilan o'lchanadi.

Energiyaning eng sodda shakllaridan biri **mexanik energiya**, ya'ni **kinetik** va **potensial** energiyalardir. Qisqacha qilib kinetik energiyani – **harakat energiyasi**, potensial energiyani esa – **holat energiyasi** deb atash mumkin.

**Kinetik energiya.** Jism  $v$  tezlik bilan harkatlanayotgan bo'lsin. Uning kinetik energiyasi harakatlanayotgan jism to'xtaguncha bajargan ishlarining yig'indisidan iborat bo'ladi. Agar ish musbat bo'lsa, ( $A > 0$ ) jismning kinetik energiyasi ortadi, aksincha ( $A < 0$ ) bo'lsa, jismning kinetik energiyasi kamayadi. Agar jism  $F$  kuch ta'sirida  $dS$  masofani bosib o'tsa, ishqalanish kuchi manfiy ish bajaradi, u holda ishlasi uning kinetik energiyasining kamayishiga tenglashtirish mumkin:

$$dA = -dW_k,$$

yoki

$$dA = F \, dS = -m \, adS = -m \frac{dv}{dt} \, dS = -m \frac{dv}{dt} v \cdot dt = -mv \, dv. \quad (4.7)$$

Bunda minus ishora harakat tormozlanish tufayli tezlanish manfiy ekanligini ko'rsatadi. To'la bajarilgan ishni hisoblash uchun oxirgi tenglikni  $v_1$  dan  $v_2$  integrallaymiz. Bu ish o'z navbatida kinetik energiyaga teng bo'ladi.

$$W_k = -A = \int_{v_1}^{v_2} mv \, dv = m \int_{v_1}^{v_2} v \, dv = \frac{mv_2^2}{2} - \frac{mv_1^2}{2}$$

yoki

$$W_k = \frac{mv_2^2}{2} - \frac{mv_1^2}{2} \quad (4.8)$$

Demak, jism kinetik energiyasining o'zgarishi uning tezligini  $v_1$  dan  $v_2$  ga o'zgarishi uchun jismga ta'sir etadigan kuch bajarishi lozim bo'lgan ishga teng. Oxirgi ifodadan umumiy holda  $W_k = mv^2/2$  yozish mumkin. **Demak, massa bilan tezlik kvadrati ko'paytmasining yarimiga teng bo'lgan kattalik jismning kinetik energiyasi deb ataladi.**

**Potensial energiya.** *Potensial energiya jism yoki jism qismlarini holatlarining bir-biriga nisbatan o'zgarishi natijasida bajarilgan ishdir.*

Masalan, Yer sathidan  $h$  balandlikda turgan jismga  $P=mg$  og'irlilik kuch ta'sir etadi. Agar jismni  $h$  balandlikdan tashlab yuborilsa, u og'irlilik kuchi ta'sirida Yerga tushadi. Yer sirti yaqinida jism  $v$  tezlikka erishadi va og'irlilik kuchining  $h$  tushadi. Yer sirti yaqinida jism  $v$  tezlikka erishadi va og'irlilik kuchining  $h$  tushadi. Yer sirtidan  $h$  balandlikka  $mg$  potensial energiyasiga teng.

U holda quyidagini yozishimiz mumkin:

$$A = P \, h = mg \, h = mv^2/2 \quad (4.9)$$

Bu ish esa o'z navbatida jismning Yer sirtidan  $h$  balandlikka ko'tarilgandagi potensial energiyasiga teng.

$$W = mg \, h \quad (4.10)$$

**Demak, Yer sirtidan  $h$  balandlikka ko'tarilgan jismning potensial energiyasi jism og'irligi ( $mg$ ) va balandlik ( $h$ ) ning ko'paytmasiga teng ekan.**

Endi elastik deformatsiyalangan jismning potensial energiyasini topaylik. Elastiklik kuchi Guk qonuniga asosan deformatsiyaga proporsional bo'ladi.

$$\vec{F}_{el} = -k\vec{x}$$

bunda,  $k$  – elastiklik koeffitsiyenti bo'lib, prujinaning bikrliji deb yuritiladi,  $x$  – siljishidir, formuladagi manfiy ishora elastiklik kuchining yo'naliishi siljish yo'naliishi qarama-qarshi ekanligini ifodalaydi.

Kichik deformatsiyalarda ( $dx$ )  $F_{el}$  kuchining elementar ishi

$$dA = F_{el} \, dx = -kx \, dx,$$

to'la ish

$$A = - \int_x^0 kx \, dx = \frac{1}{2} kx^2. \quad (4.11)$$

Shunday qilib, elastik deformatsiya natijasida yuzaga kelgan potensial energiya prujina tarkibidagi zarrachalarning bir-biridan uzoqlashishi yoki bir-biriga yaqinlashishi va shunga mos ular orasida o'zaro tortishish yoki itarishish kuchlarining hosil bo'lishi oqibatidir.

**To'la mexanik energiya va uning saqlanish qonuni.** Ko'p hollarda jism bir vaqtning o'zida ham kinetik energiyaga, ham potensial energiyaga ega bo'ladi. **Kinetik va potensial energiyalarining yig'indisi to'la mexanik energiya deb ataladi.** Masalan, Yer sirtidagi h balandlikda Yerga nisbatan  $v$  tezlik bilan harakatlanayotgan jism

$$W = \frac{mv^2}{2} + mgh \quad (4.12)$$

to'la energiyaga ega bo'ladi.

Agar moddiy nuqtaga faqat konservativ (bajarilgan ish yo'lni shakliga bog'liq bo'lmaydi) kuchlar ta'sir etsa, bu kuchlarning elementar dr ko'chishida bajargan isjni moddiy nuqta potensial energiyasining kamayishiga teng, ya'ni

$$dA = -dW_P.$$

Ikkinci tomondan moddiy nuqtaning bu ko'chishda bajargan ishi uning kinetik energiyasining ortishiga teng, ya'ni

$$dA = -dW_k.$$

Bu ikki ifodani taqqoslash tufayli

$$dW_k = -dW_P \quad \text{yoki} \quad d(W_k + W_P) = 0 \quad (4.13)$$

hosil qilamiz.

Oxirgi ifodadagi ( $W_k + W_P$ ) moddiy nuqta kinetik va potensial energiyalarining yig'indisidir, ya'ni to'la mexanik energiyasiga teng. Undan

$$W_T = W_k + W_P = \text{const} \quad (4.14)$$

hosil bo'ladi.

$$W = \frac{mv^2}{2} + mgh = \text{const} \quad (4.15)$$

Bu mexanik energyaning saqlanish qonunining matematik ifodasıdir. Bu qonun quyidagicha ta'riflanadi: *faqat konservativ kuchlar ta'sir etayotgan jismalar yopiq sistemasining to'la mexanik energiyasi o'zgarmaydi.*

SI sistemada energiya ish birligida, ya'ni Joulda o'chanadi.

#### 4.3. Absolut elastik va noelastik urilishlar

Jismarning o'zaro urilishida ularning sirtlari bevosita bir-biriga tegadi va deformatsiya yuz beradi. Bunda jismarning urilishidan oldingi kinetik energiyasi qisman yoki to'la ravishda elastik deformatsiya potensial energiyasiga va jismarning ichki energiyasiga aylanadi. Ichki energiyani ortishi o'z navbatida jismning haroratini ortishiga sabab bo'ladi.

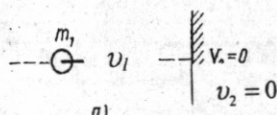
*Urilishlarning ikki xil turi mavjud bo'lib, bular – absolut elastik va absolut noelastik urilishlardir.*

Avval *absolut noelastik urilishni* qarab chiqaylik. Plastilin, loy, qo'rg'oshin va boshqa shular kabi moddalarning urilishi absolut noelastik urilishga yaqin bo'ladi. Absolut noelastik urilish shu bilan ifodalanadi, bunda, deformatsiya potensial energiyasi vujudga kelmaydi; jismlarning kinetik energiyasi batamom yoki qisman ichki energiyaga aylanadi, urilishdan so'ng to'qnashgan sharlar yo bir xil tezlik bilan harakatlanadi, yo tinch holatda qoladi. Bu to'qnashuvda faqat impulsning saqlanish qonuni bajariladi xolos. Massalarini  $m_1$  va  $m_2$  bo'lgan sharlar  $v_1$  va  $v_2$  tezliklari bilan harakatlanib absolut noelastik to'qnashsin. Impuls saqlanish qonuniga binoan sharlarning urilishdan keyingi impulsi ularning urilishdan oldindi impulsiga teng bo'lishi kerak, ya'ni  $m_1 v_1 + m_2 v_2 = (m_1 + m_2) v'$ .

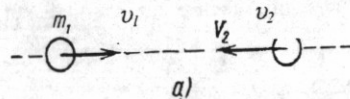
Bundan

$$v' = \frac{m_1 v_1 + m_2 v_2}{m_1 + m_2} \quad (4.16)$$

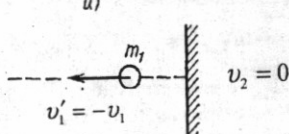
$v_1$  va  $v_2$  vektorlar bir to'g'ri chiziq bo'ylab yo'nalgaligi uchun  $v'$  vektorining yo'nalishi ham shu to'g'ri chiziq yo'nalishida bo'ladi. 4.4 - rasmidagi hol uchun qaysi bir sharning impulsi katta bo'ssa, urilishdan so'ng ikkala sharning birgalikdagi



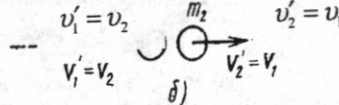
a)



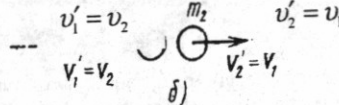
a)



4.5-rasm.



a)



4.6-rasm.

harakatining yo'nalishi o'sha  $v'$  vektor yo'nalishida bo'ladi, ya'ni impuls katta sharning yo'nalishida bo'ladi. Bu holda sharlarning urilishidan oldindi impulslarini teng bo'ssa, urilishdan so'ng harakat to'xtaydi, ya'ni  $v' = 0$  bo'ladi.

Endi *absolut elastik urilishni* ko'rib chiqaylik. Po'lat, fil suyagi va boshqa moddalardan iborat jismlarning urilishi absolut elastik urilishga ancha yaqin bo'ladi. Bunday urilishda impulsning saqlanish qonuni bilan mexanik energiyaning saqlanish qonuni bajariladi.

Massalari  $m_1$  va  $m_2$ , urilishga qadar tezliklari  $v_1$  va  $v_2$ , urilishdan keyingi tezliklari  $v'_1$  va  $v'_2$  bilan belgilangan sharlarni olamiz. Impuls va energiyaning saqlanish qonunlarini yozaylik:

$$m_1 v_1 + m_2 v_2 = m_1 v'_1 + m_2 v'_2 \quad (4.17)$$

$$\frac{m_1 v_1^2}{2} + \frac{m_2 v_2^2}{2} = \frac{m_1 v'^2_1}{2} + \frac{m_2 v'^2_2}{2} \quad (4.18)$$

(4.17) va (4.18) ni birgalikda yechib

$$v'_1 = \frac{2m_2 v_2 + (m_1 - m_2) v_1}{m_1 + m_2}; \quad v'_2 = \frac{2m_1 v_1 + (m_2 - m_1) v_2}{m_1 + m_2} \quad (4.19)$$

ifodalarni hosil qilamiz.

Ba'zi xususiy hollarni ko'rib chiqaylik.

1. Sharchalarning massalari har xil bo'lib, ulardan ikkinchisi tinch holatda bo'lsin ( $v_2 = 0$ ). U holda (4.19) tenglik yordamida urilishdan keyingi tezliklarni aniqlaylik:

$$v'_1 = \frac{m_1 - m_2}{m_1 + m_2} v_1; \quad v'_2 = \frac{2m_1}{m_1 + m_2} v_1. \quad (4.20)$$

(4.20) dan ko'rindaniki, sharlarning to'qnashishidan keyingi tezliklari ular massalarining nisbatiga bog'liq bo'lar ekan.

Agar  $m_2 >> m_1$  shart bajarilsa, (4.20) ga asosan:

$$v'_1 = -v_1, \quad v'_2 = 0 \quad (4.21)$$

bo'ladi. Bunday hol elastik shar devoriga urilganda amalga oshishi mumkin (4.5-rasm). Devorga urilgan absolut elastik shar tezligining qiymati o'zgarmaydi, yo'nalishi esa qarama-qarshi tomonga o'zgaradi. Bu toifadagi urilishlar ideal gaz molekulalarining idish devoriga elastik urilishini va orqasiga qaytishini eslatadi.

2. Urilishda ishtirok etayotgan sharlarning massalari bir xil bo'lsin (ya'ni  $m_1 = m_2$ ). U holda (4.19) ifodalari

$$v'_1 = v_2, \quad v'_2 = v_1$$

ko'rinishga keladi. Demak, massalari teng bo'lib to'qnashganda ular o'z tezliklarini almashadi (4.6-rasm).

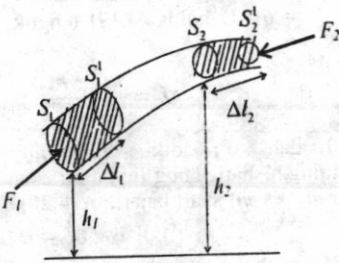
#### 4.4. Uzlusizlik va Bernulli tenglamasi

1. Mexanik energiyaning saqlanish qonunini suyuqliklarda qanday kechishini ko'raylik. Mexanikaning suyuq muhit harakatinining qonunlarini va uning shu oqayotgan muhitdag'i holatlarini ifodalovchi **gidrodinamika** deyiladi. Suyuqliklarning harakatini oqish deyilib, harakatlanayotgan suyuqlik zarralarining quylishini oqim deb yuritiladi.

Suyuqliklar, gazlar singari, ma'lum shaklga ega emas va qanday idishga quyligan bo'lsa, o'sha idish shaklini egallaydi. Gaz aniq bir hajmga ega emas va u berilgan hajmnini egallaydi, suyuqlik esa to'laligicha ma'lum xususiy hajmga ega. Gazlar nisbatan oson siqildi, suyuqliklar esa amalda deyarli siqilmaydi. Suyuqlik molekulalari orasidagi masofa kichik bo'lgani uchun molekulalarning bir-biriga tortishish kuchi katta bo'ladi.

Real suyuqlikni **siqish** mumkin, ya'ni bosimning ortishi bilan uning hajmi kamayib, zichligi ortadi, biroq suyuqlikni siqilishi juda kam bo'ladi. Masalan, 100 m. ga ortganda sunving zichligi, faqat 0.5% ga ortadi. Bundan tashqari, real suyuqliklar yopishqoq bo'lib, ularda hamma vaqt ichki ishqalanish kuchlari bo'ladi. Yopishqoqligi mutlaqo bo'limgan xayoliy suyuqlik ideal yoki **siqilmaydigan** suyuqlik deyiladi. 0°C dan yuqori haroratlarda ba'zi real suyuqliklar (efir, atseton, spirt, suv, simob) ning yopishqoqligi juda kam bo'ladi, shuning uchun ularni ideal suyuqliklar deb qarash mumkin. Ideal suyuqlik zarralarining harakat tezligini vektorlar bilan tasvirlaylik. Ideal suyuqlik zarralarining harakatini ifodalovchi shuday chiziqlar o'tkazaylikki, bu chiziqlarning har bir nuqtasidagi urinma, suyuqlik zarralarining harakat tezligi vektori bilan ustma-ust tushsin. Bunday chiziqlar oqim **chiziqlari** deyiladi. Oqim chiziqlarining soni shu sohadagi suyuqlik zarralarini tezligining qiyatiga proporsional bo'ladi. Demak, tezligi kattaroq bo'lgan sohalarda oqim chiziqlari zinchroq bo'lishi mumkin.

Agar suyuqliking tezligi oqim egallagan hajmning har bir nuqtasida vaqt o'tishi bilan o'zgarmasa, bu suyuqliking harakati barqaror (statsionar) harakat deyiladi. Barqaror harakatda suyuqlik zarralarining trayektoriyasi oqim chiziqlari bilan mos keladi. Suyuqlik oqimining barqaror harakatini tekshirish uchun uni xayolan oqim naylariga ajratiladi va har bir oqim nayidagi harakat o'r ganiladi. 4.7-rasmida  $S_1$  va  $S_2$  kesimlardagi suyuqlik oqimining tezliklari mos ravishda  $V_1$  va  $V_2$ , suyuqliking zichliklari esa  $S_1$  va  $S_2$  bo'lsin. Oqim nayining  $S_1$  va  $S_2$  kesimlaridan  $\Delta t$  vaqtida bir xil massali suyuqlik o'tadi, ya'ni:



4.7-rasm.

$$\Delta m_1 = \rho_1 S_1 v_1 \Delta t \quad \Delta m_2 = \rho_2 S_2 v_2 \Delta t \quad (4.22)$$

$\Delta m_1 = \Delta m_2$  bo'lgani uchun  $\rho_1 v_1 S_1 = \rho_2 v_2 S_2$  siqilmas suyuqliklar uchun

$\rho_1 = \rho_2$  bo'ladi. U holda (4.22) quyidagi ko'rinishda yoziladi.

$$v_1 S_1 = v_2 S_2 \quad (4.23)$$

(4.22) ifoda siqiluvchan suyuqliklar uchun (4.23) esa siqilmas suyuqliklar uchun uzuliksizlik tenglamasi deb yuritiladi. Bu yerda kesimlar ixtiyoriy tanlanganligi uchun

$$Sv = const \quad (4.24)$$

deb yozish mumkin, ya'ni berilgan oqim nayi uchun nay ko'ndalang kesim yuzining suyuqliking oqim tezligiga ko'paytimasi o'zgarmas kattalikdir.

2. O'zgaruvchan kesimli qiya oqim nayi bo'ylab suyuqlik chapdan o'ngga harakatlanayotgan bo'lsin. (4.7-rasm) nay bo'ylab harakatlanayotgan suyuqlikni ideal (siqilmaydigan) suyuqlik deb, bu suyuqliking oqim tezligi bilan bosimi orasidagi bog'lanishni aniqlaylik. Oqim nayining  $S_1$  kesimidagi suyuqlik tezligi va bosimini mos ravishda  $v_1$  va  $\rho_1$  bilan,  $S_2$  kesimidagilarni esa  $v_2$  va  $\rho_2$  lar bilan belgilaylik  $S_1$  va  $S_2$  kesimlar markazlarning biror gorizontal sathdan balandliklari

mos ravishda  $h_1$  va  $h_2$  bo'lsin,  $S_1$  va  $S_2$  kesimlar bilan chegaralangan oqim nayi ichidagi suyuqlik massasining  $\Delta t$  vaqttagi to'liq energiyasining o'zgarishini aniqlaylik. Siqilmaydigan ideal suyuqliknинг to'liq energiyasi uning  $W_k$  kinetik energiyasi bilan  $W_p$  potensial energiyasi yig'indisidan iborat bo'ladi:

$$\Delta W = (W_k + W_p)_2 - (W_k + W_p)_1 \quad (4.25)$$

yoki

$$\Delta W = \frac{\Delta m v_2^2}{2} + g h_2 - \frac{\Delta m v_1^2}{2} - \Delta m g h_1 \quad (4.26)$$

bu yerda,  $g$ -erkin tushish tezlanish.

Energiyaning bu o'zgarishi, mexanik energiyaning saqlanish qonuniga asosan, tashqi kuchlarning bajargan ishiga teng bo'lishi lozim. Tashqi bosim kuchi  $F_1$  oqib kiruvchi massani  $v_1 \Delta t = \Delta l_1$  yo'lida ko'chirishda bajargan  $\Delta A_1$  ishini,  $F_2$  bosim kuchi esa  $v_2 \Delta t = \Delta l_2$  yo'lida  $\Delta A_2$  ni bajaradi. U holda:

$$\Delta A_1 = F_1 \Delta l_1 = p_1 S_1 v_1 \Delta t$$

$F_2$  kuch va suyuqlik zarralarining ko'chish yo'naliishlari teskari bo'lganligi tufayli u bajargan ish manfiy bo'ladi.

$$\Delta A_2 = F_2 \Delta l_2 = p_2 S_2 v_2 \Delta t,$$

Natijada, tashqi kuchlarning to'liq ishi quyidagi ifoda bilan aniqlanadi.

$$\Delta A = \Delta A_1 + \Delta A_2 = p_1 S_1 v_1 \Delta t - p_2 S_2 v_2 \Delta t \quad (4.27)$$

biroq

$$S_1 v_1 \Delta t = S_2 v_2 \Delta t = \Delta V$$

bu yerda,  $\Delta V S_1$  va  $S_2$  kesimlardan chiqayotgan suyuqliknинг hajmidir.

Natijada (4.27) ni quyidagicha yozamiz:

$$\Delta A = p_1 \Delta V - p_2 \Delta V \quad (4.28)$$

yuqorida aytiganidek ideal suyuqliknинг barqaror oqimida  $\Delta W = \Delta A$  shart bajarilishi kerak. Binabarin, (4.26) va (4.28) ifodalarni birlashtirib quyidagi tenglikni hosil qilamiz:

$$\frac{m v_1^2}{2} + m g h_1 + p_1 \Delta V = \frac{m v_2^2}{2} + m g h_2 + p_2 \Delta V$$

Bu tenglikning ikkala tomonini  $\Delta V$  ga bo'lib yuborsak va  $\frac{m}{\Delta V} = S$  suyuqlik zichligi ekanligini hisobga olsak:

$$\frac{\rho v_1^2}{2} + \rho g h_1 + p_1 = \frac{\rho v_2^2}{2} + \rho g h_2 + p_2 \quad (4.29)$$

munosabat vujudga keladi.

Demak, barqaror oqayotga ideal suyuqliknинг ixtiyoriy oqish chizig'i bo'ylab

$$\frac{\rho v^2}{2} + \rho g h + p = const \quad (4.30)$$

hosil qilamiz. (4.30) ifoda Bernulli tenglamasi deb yuritiladi.

1. Bu yerda – harakatlanuvchi suyuqlik ichidagi bosimni anglatadi va uni **statik bosim** deb yuritiladi.

$$2. \frac{\rho v^2}{2} - \text{dinamik bosim. U suyuqlik ichidagi bosimni kamaytirishini ifodalaydi.}$$

3.  $\rho gh$  – **gidravlik bosim**. U oqim nayi  $h$  balandlikka ko'tarilgan taqdirda statik bosimning qanchaga kamayishini ifodalaydi.

Bernulli tenglamasi energiyaning saqlanish qonunini ifodalaydi va quyidagicha ta'riflanadi:

**Siqilmaydigan ideal suyuqlikning barqaror harakatida bosim solishtirma energiyasi, kinetik va potensial solishtirma energiyalar yig'indisi oqimning har qanday ko'ndalang kesimida o'zgarmaydi.**

Yoki boshqacha ta'rif berish mumkin: **ideal suyuqlikning barqaror oqishidagi to'liq bosim dinamik, gidravlik va statik bosimlarning yig'indisidan iborat bo'lib, uning qiymati oqim nayining barcha qismlari uchun birday bo'ladi.**

Gorizontal oqim nayi uchun Bernulli tenglamasi quyidagi ko'rinishdi bo'ladi:

$$\frac{\rho v^2}{2} + p = \text{const} \quad (4.31)$$

chunki  $\rho gh = 0$ .

Bernulli (4.30) va uzlusiz (4.24) tenglamalarini, faqat suyuqlik uchungina emas, balki siqilishini va yopishqoqligini e'tiborga olmasa ham, bo'ladigan gazlarga ham tabbiq qilish mumkin. Bu vaqtida gazning harakat tezligi 150–200 m/s dan ortmasligi kerak, chunki bu holda havoni bema'lol siqilmaydigan ideal suyuqlikka o'xshash deb hisoblab unga uzlusizlik tenglamasi va Bernulli tenglamasini qo'llash mumkin. Shunung uchun ham, Bernulli tenglamasi gidro va aerodinamikaning asosiy qonunlaridan biri hisoblanadi va uning amaliy ahamiyati katta. Misol. **Gidroturbinada** Bernulli tenglamasiga muvofiq, suv bosimining potensial energiyasi tor suv chiqarish joyida (soploda) kinetik energiyaga aylanadi, bu kinetik energiya ishchi g'ildirakni aylantiradi.

### Savollar

1. Mexanik ish formulasini ifodalang va qanday kuchlar manfiy ish bajarishini ko'rsating?

2. O'zgaruvchan kuch ta'sirida jismning bajargan to'la ishini hisoblashda qanday usuldan foydalilanadi?

3. Quvvatni ishning bajarilish tezligi bilan bog'liqligini ifodalang.

4. Energiya, energiyaning turlari va to'la energiyaning saqlanish qonunlarini ifodalang?

5. Elastik deformatsiyalangan jismning potensial energiyasi qanday ifodalananadi?

6. Sharlnarni absolut elastik va noelastik urilishlarida qanday saqlanish qonunları bajariladi?

7. Uzlusizlik va Bernulli tenglamalarini mohiyatini aytинг va misollar keltiring.

### Masalalar

**9-masala.** Lemexlarining egallash eni  $l=1,2\text{m}$  bo'lgan traktor  $t=8$  soat davomida  $S=2$  hektar yer haydaydi. Tuproqning qarshiligi  $F_{ishq}=17640\text{N}$  ga teng. Traktorning foydali ish koefitsiyenti  $\eta = 80\%$  traktor motorining quvvati  $N$  ni aniqlang.

$$\begin{aligned} \text{Berilgan: } F_{ishq} &= 17640\text{N} &= 17640\text{ N} \\ t &= 8 \text{ soat} = 8 \cdot 60 \cdot 60 = 28800 \text{ s} \\ S &= 2 \text{hektar} &= 2 \cdot 10^4 \text{ m}^2 \\ \eta &= 80\% \\ \frac{l=1,2\text{m}}{N \sim ?} &= 1,2 \text{ m} \end{aligned}$$

**Yechish.** Traktorni tuproqning qarshilik kuchiga qarshi bajargan ishi foydali ish koefitsiyentni hisobga olganda quyidagicha bo'ladi:

$$A = F_{ishq} \frac{S}{l \cdot \eta}$$

bu yerda,  $\frac{S}{l}$  – traktorning bosib o'tgan yo'li, u holda traktor motorining quvvati

$$N = \frac{A}{t} = \frac{F_{ishq} S}{tl\eta} = \frac{17640 \cdot 2 \cdot 10^4}{8 \cdot 3600 \cdot 1,2 \cdot 0,8} = 1,28 \cdot 10^4 \text{ vt.}$$

**10-masala.** Massasi  $m = 3 \cdot 10^3 \text{kg}$  bo'lgan vagonetka qiyaligi gorizont bilan  $\alpha = 30^\circ$  burchak tashkil qiluvchi rels bo'ylab tepalikka ko'tarilmoxda. Agar vagonetka  $a = 0,2\text{m/s}^2$  tezlanish bilan harakatlanayotgan bo'lsa, tortish kuchini  $S=50\text{m}$ , yo'lda bajargan  $A$  ishi topilsin. Ishqalanish koefitsiyenti  $k=0,1$  ga va  $g=10\text{m/s}^2$  teng deb olinsin.

$$\begin{aligned} \text{Berilgan: } m &= 3 \cdot 10^3 \text{kg}, \quad \alpha = 30^\circ, \quad a = 0,2\text{m/s}^2 \\ S &= 50\text{m} \quad k = 0,1, \quad g = 10\text{m/s}^2 \\ A \sim ? \end{aligned}$$

**Yechish.** Vagonetkaga ta'sir qiluvchi  $F_T$  tortishish kuchini aniqlash uchun  $p$  og'irlik kuchini  $F_S = P \sin \alpha$  pastga sudrovchi va  $F_N = P \cos \alpha$  normal bosim kuchlaridan iborat ikki tashkil etuvchi kuchlarga ajratamiz hamda dinamikaning ikkinchi qonuniga binoan quyidagi harakat tenglamasini yozamiz:

$$ma = F_T - P \sin \alpha - P \cos \alpha$$

bunda, ishqalanish kuchi  $F_{ishq} = kP = kg$  ekanligini hisobga olib tenglamani quyidagicha yozamiz:

$$F_T = m(a + g \sin \alpha + kg \cos \alpha)$$

u vaqtida  $F_T$  tortishish kuchining bajargan  $A$  ishi quyidagiga teng bo'ladi:

$$\begin{aligned}
 A &= m(a + g \sin \alpha + kg \cos \alpha) \cdot S = \\
 &= 3 \cdot 10^2 (0,2 + 10 \sin 30^\circ + 0,1 \cdot 10 \cos 30^\circ) \cdot 50 = \\
 &= 3 \cdot 10^3 \cdot 6,066 \cdot 50 = 910 \cdot 10^3 J = 910 kJ.
 \end{aligned}$$

**11-masala.** Agar biz tanlagan prujina  $F_0 = 3 \cdot 10^4 N$  kuch ta'sirida  $x_0 = 1 sm$  siqilsa, prujinani  $x = 5 sm$  ga siqish uchun qancha  $A$  ish bajariladi?

$$\begin{array}{lcl}
 \text{Berilgan:} & x_0 = 1 sm = 1 \cdot 10^{-2} m \\
 & x = 5 sm & = 5 \cdot 10^{-2} m \\
 & F_0 = 3 \cdot 10^4 N & = 3 \cdot 10^4 N \\
 \hline
 & A \sim ? &
 \end{array}$$

**Yechish.** Prujinani siqishda unga o'zgaruvchan kuch ta'sir qiladi. Prujinani siquvchi kuch  $F$  Guk qonuniga binoan siliishga proporsional bo'tib, bajarilgan ish

$$F_{el} = \frac{kx}{2} :$$

$$dA = F dx \quad \text{yoki} \quad A = \frac{kx^2}{2}$$

Bunda,  $k$  – prujinaning bikrili yoki elastiklik koefitsiyenti deb yuritiladi, u quyidagicha aniqlanadi  $k = \frac{F_0}{x_0}$

bu ifodani formulaga qo'yib quyidagini hosil qilamiz:

$$A = \frac{F_0}{x_0} \frac{x^2}{2} = \frac{3 \cdot 10^4}{1 \cdot 10^{-2}} \cdot \frac{25 \cdot 10^{-4}}{2} = 3750 N \cdot m = 3750 J.$$

**12-masala.** Massasi  $m_1$  bo'lgan, muayyan  $V_1$  tezlik bilan harakatlanayotgan shar  $m_2$  massali harakatsiz shar bilan to'qnashdi. Urilishni bir to'g'ri chiziq bo'ylab absolut elastik deb qaralsin. Birinchi shar o'z kinetik energiyasining qancha qismi  $w$  ni ikkinchi sharga beradi.

$$\begin{array}{lcl}
 \text{Berilgan:} & V_1, m_1, m_2 \\
 & \hline
 & w \sim ?
 \end{array}$$

**Yechish.** Birinchi shar energiyasining qancha qismi ikkinchi sharga berilganligini quyidagi munosabat orqali ifodalanadi

$$w = \frac{W_2^1}{W_1} = \frac{m_2 u_2^2}{m_1 V_1^2} = \frac{m_2}{m_1} \left( \frac{u_2^2}{V^2} \right) \quad (1)$$

bu yerda,  $W_1$  – birinchi sharning urilishgacha bo'lgan kinetik energiyasi;  $u_2$  va  $W_2^1$  – ikkinchi sharning urilishdan keyingi tezligi va kinetik energiyasi. (1) ifodadan

ko'rinish turibdiki,  $w$  ni aiqlash uchun  $u_2$  ni topish kerak. Absolut elastik to'qashganda bir paytning o'zida ikkita impulsning saqlanish qonunlari bajarilishidan foydalananamiz.

Urlishgacha ikkinchi shar harakatsiz bo'lganligini hisobga olib, impuls saqlanish qonunini  $m_1 v_1 = m_1 v_1 + m_2 u_2$  va energiya saqlanish qonunini  $\frac{m_1 v_1^2}{2} = \frac{m_1 u_1^2}{2} + \frac{m_2 u_2^2}{2}$  ko'rinishda yozamiz. Bu ikki tenglamani birlashtirishda yechib, quyidagini topamiz:

$$u_2 = \frac{2m_1 v_1}{(m_1 + m_2)},$$

$u_2$  ning bu ifodasini (1) tenglamaga qo'yib  $\omega$  ni topamiz :

$$w = \frac{m_2}{m_1} \left[ \frac{(2m_1 v_1)^2}{v_1 (m_1 + m_2)^2} \right] = \frac{4m_1 m_2}{(m_1 + m_2)^2}.$$

**13-masala.** Purkagichdan suyuqlik  $v = 25 \text{ m/s}$  tezlik bilan otilib chiqmoqda, suyuqlikning zinchligi  $\rho = 1 \frac{\text{g}}{\text{sm}^3}$ . Purkagich idishining hajmida kompressor qanday  $p_1$  bosim hosil qiladi?

Berilgan:  $v = 25 \text{ m/s} = 25 \text{ m/s}$

$$\rho = 1 \frac{\text{g}}{\text{sm}^3} = 1 \frac{10^{-3} \text{kg}}{10^{-6} \text{m}^3} = 1 \cdot 10^3 \text{kg/m}^3$$


---


$$p_1 \sim ?$$

**Yechish.** Bernulli tenglamasi (4.30) ga muvofiq  $\rho g h = \text{const}$  deb hisoblab quyidagini yozamiz:

$$\frac{\rho v_1^2}{2} + p_1 = \frac{\rho v_2^2}{2} + p_2,$$

bu yerda,  $v_1$  – purkagich idishidagi suyuqlikning tezligi,  $p_2$  – purkagichdan chiqishda suyuqlik oqimidagi bosim.  $v_1 = 0$ , chunki idishda suyuqlikning tezligi  $v_2$  ga nisbatan kichik,  $p_2=0$ , chunki Bernulli bosimida ortiq. Shuning uchun

$$p_1 = \frac{\rho v_2^2}{2} = \frac{1 \cdot 10^3 \cdot 625}{2} = 3,12 \cdot 10^5 \text{ N/m}^2 = 3,1 \text{ atm}.$$

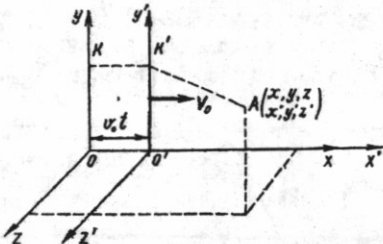
## V bob. NISBIYLIK NAZARIYASI ELEMENTLARI

### 5.1. Galileyning nisbiylik prinsipi

Agar sanoq-sistemalari bir-biriga nisbatan to'g'ri chiziqli tekis harakat qilsa, bu sistemalarni **inersial sanoq sistemalari** deyiladi. Bunday sanoq sistemalarida Nyuton dinamikasining barcha qonunlari bajariladi. Fikrimizni oydinlashtirish uchun ikki sanoq sistemasini tekshiraylik. K sistemanini tinch holatda deb olib, ikkinchi  $K'$  sistema unga nisbatan o'zgarmas  $v_0$  tezlik bilan  $OX$  o'qi yo'nalishida to'g'ri chiziqli tekis harakatlansin (5.1-rasm).

$t=0$  vaqtida ikkala sanoq sistemasi bir-birining ustiga tushadi. Agar vaqtini ikkala sistemaning koordinata boshlari ustma-ust tushgan paytdan boshlab hisoblasak, u vaqtida 5.1-rasmga binoan  $X=X'+v_0t$ ,  $U=U'$ ,  $Z=Z'$  bo'ladi. Ikkala sistemada ham vaqt bir tarzda o'tadi ( $t=t'$ ) deb faraz qilsak, u holda quyidagi ifodalarga ega bo'lamiz.

$$\left. \begin{array}{l} x = x' + v_0 t \\ y = y' \\ z = z' \\ t = t' \end{array} \right\} \quad (5.1)$$



5.1-rasm.

$$\left. \begin{array}{l} x' = x - v_0 t \\ y' = y \\ z' = z \\ t' = t \end{array} \right\} \quad (5.2)$$

(5.1) va (5.2) ifodalar Galiley almashtirishlari deb ataladi. Bu ifoda o'z navbatida moddiy nuqta ( $A$ ) ning ictiyoriy paytda ikkala sanoq sistemasi dagi koordinatalarini o'zaro bog'laydi. (5.1) munosabatlarni vaqt bo'yicha differensiallasak,  $A$  nuqtaning  $K$  va  $K'$  sanoq sistemalaridagi tezliklar orasidagi bog'lanishni topamiz.

$$\left. \begin{array}{l} v_x = \frac{dx}{dt} = \frac{d}{dt}(x' + v_0 t) = v'_x + v_0 \\ v_y = \frac{dy}{dt} = \frac{d}{dt}(y') = v'_y \\ v_z = \frac{dz}{dt} = \frac{d}{dt}(z') = v'_z \end{array} \right\} \quad (5.3)$$

Bu munosabatni vektor ko'rinishida

$$\vec{v} = \vec{v}' + \vec{v}_0 \quad (5.4)$$

yozish mumkin. (5.4) ifoda tezliklarni qo'shish qoidasi deb ataladi.

Umuman, bir sanoq sistemadan ikkinchi sistemaga o'tganda biror kattalikning qiymati o'zgarmassa, bu kattalik shu almashtirishga nisbatan **invariant** deb ataladi.

Masalan, uzunlik ( $l = l'$ ), massa ( $m = m'$ ), kuch ( $F=F'$ ), tezlanish ( $a=a'$ ) kabi kattaliklar Galiley almashtirishlariga nisbatan invariantdir.

Demak, turli inersial sanoq sistemalarida barcha mexanik hodisalar bir xil sodir bo'lganligi sababli hech qanday mexanik tajribalar yordamida berilgan sanoq sistemasi tinch turganligi yoki to'g'ri chiziqli tekis harakatlanayotganini aniqlab bo'lmaydi. Bu Galiley nisbiylik prinsipidir.

### 5.2. Nisbiylik prinsipining postulatlari

Fizika fanining asosiy qonunlaridan bo'lgan elektrodinamika qonunlarini umumlashtiruvchi Maksvell tenglamalari sistemasi 1865-yilda yaratildi. Lekin Maksvell tenglamalarini Galiley almashtirishlaridan foydalanim, bir inersial sanoq sistemadan ikkinchisiga o'tkazilsa, tenglamalar mutlaqo boshqacha ko'rinishga ega bo'lib qolishi aniqlanadi. Bundan quyidagi xulosa kelib chiqadi, demak, Maksvell tenglamalari Galiley almashtirishlariga nisbatan invariant emas ekan.

O'sha davrdayoq Eynshteyn va boshqa olimlar tomonidan Maksvell tenglamalarining ifodalarini o'z ko'rinishlarini o'zgartirmasligi uchun yangi almashtirishlardan foydalanan zarurligi aytildi. Eynshteyn bunday almashtirishlar quyidagi ikki prinsip, ya'ni postulat asosida bo'lishini ko'tarib chiqadi:

**I Nisbiylik prinsipi.** *Barcha inersial sanoq sistemalarida hamma fizik hodisalar (mexanik, elektromagnit, optik va boshqalar) bir xilda ro'y beradi.*

**II Yorug'lik tezligining doimiylik prinsipi.** *Yorug'likning bo'shlig'dagi tezligi barcha inersial sanoq sistemalarida bir xil bo'lib o'zgarmas kattalikdir, ya'ni  $S$  ga tengdir.*

Galiley almashtirishlariga asosan  $K$  sanoq sistemasidagi kuzatuvchi uchun yorug'ilk tezligi  $S + v_0$  bo'lishi lozim edi. Lekin  $K$  sanoq sistemasida ham,  $K'$  sanoq sistemasida ham yorug'lik tezligi bir xil bo'lib, u doimiy  $S$  ga teng bo'ladi.

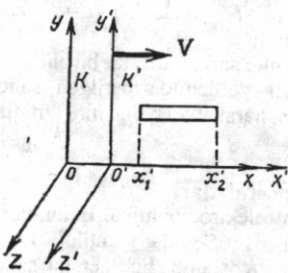
### 5.3. Lorens almashtirishlari

Yuqorida ko'rib chiqqan nisbiylik nazariyasining prinsiplaridan ravshanki, klassik mexanika nisbiylik prinsiplariga mos bo'lgan Galiley almashtirishlari Eynshteyn postulatlarini qanoatlanitmaydi. Shuning uchun nisbiylik prinsiplariga mos bo'lgan Lorens almashtirishlaridan foydalanamiz, u quyidagi ko'rinishda yoziladi:

$$x = \frac{x' + v_0 t'}{\sqrt{1 - \frac{v_0^2}{c^2}}}; y = y'; z = z'; t = \frac{t' + \frac{v_0}{c^2} x'}{\sqrt{1 - \frac{v_0^2}{c^2}}} \quad (5.5)$$

Bu munosabatlardan foydalanib  $K'$  sanoq sistemasidagi koordinatalar ( $x', u', z'$ ) va vaqt ( $t'$ ) dan  $K$  sanoq sistemasidagi koordinatalar ( $x, u, z$ ) hamda vaqt ( $t$ ) ga o'tish mumkin.  $K$  sistemadan  $K'$  sistemaga o'tish uchun (5.5) ifodani quyidagi ko'rinishda yozamiz:

$$x' = \frac{x - v_0 t}{\sqrt{1 - \frac{v_0^2}{c^2}}}; y' = y; z' = z; t' = \frac{t - \frac{v_0}{c^2} x}{\sqrt{1 - \frac{v_0^2}{c^2}}} \quad (5.6)$$



5.2-rasm.

harakatlanadi. Ixtiyoriy  $t'$  vaqtida sterjen uchlarining koordinatalari mos ravishda  $X_1'$  va  $X_2'$  bo'lsin. U holda sterjen uzunligi  $K'$  sistemada  $l_0 = X_2' - X_1'$  ifoda bilan aniqlanadi.  $K$  sistemadagi kuzatuvchi uchun sterjen uzunligi ( $l = X_2 - X_1$ ) ni aniqlaylik. Lorens almashtirishlariga asosan  $X_1$  va  $X_2$  koordinatalar ifodalangan sterjenning  $K'$ dagi koordinatalar  $X_1'$  va  $X_2'$ lar quyidagicha bog'langan:

$$x_1' = \frac{x_1 - v_0 t}{\sqrt{1 - \frac{v_0^2}{c^2}}}; \quad x_2' = \frac{x_2 - v_0 t}{\sqrt{1 - \frac{v_0^2}{c^2}}}.$$

Bundan  $x_2' - x_1' = \frac{x_2 - x_1}{\sqrt{1 - \frac{v_0^2}{c^2}}}$  yoki  $l_0 = \frac{l}{\sqrt{1 - \frac{v_0^2}{c^2}}}.$

Demak,

$$l = l_0 \sqrt{1 - \frac{v_0^2}{c^2}}. \quad (5.7)$$

$K$  sistemadagi sterjen uzunligi  $K'$  sistemadagiga nisbatan qisqaroq bo'lar ekan. Buni uzunlikning **Lorens qisqarishi** deb ataladi.

b) vaqt intervalini o'zgarishi. Lorens almashtirishlariga asosan  $t_1$  va  $t_2$  vaqtlar  $K'$  sanoq sistemasidagi soat bo'yicha qayd qilinadigan  $t_1'$  va  $t_2'$  vaqtlar bilan quyidagicha bog'langan:

$$\Delta t = t_2 - t_1 = \frac{t_2' - t_1'}{\sqrt{1 - \frac{v_0^2}{c^2}}} = \frac{\Delta t_0}{\sqrt{1 - \frac{v_0^2}{c^2}}} \quad (5.8)$$

Demak, nisbiylik nazariyaga asoslanib aynan bir voqeanning o'tish vaqtini bir-biriga nisbat harakatlanayotgan inersial sanoq sistemalarida turlicha davom etadi. Bu effektni harakatlanuvchi sanoq sistemalarda **vaqt o'tishning sekinlashishi** deb

Yuqoridagi tenglamalardan ko'rindiki  $v < c$  shart bajarilganda Lorens almashtirishlari Galiley almashtirishlariga o'tadi. Endi Lorens almashtirishlaridan kelib chiqadigan natijalarni ko'rib chiqaylik.

a) jism uzunligining o'zgarishi.  $K$  sistemaga nisbatan  $X$  yo'naliishida  $\vec{V}$  tezlik bilan harakatlanayotgan  $K'$  sistemada sterjen tinch holatda bo'lsin.  $K'$  sistemada turgan kuzatuvchi sterjenning uzunligini  $l_0$  ga teng ekanligini e'tirof etadi.  $K$  sistemadagi kuzatuvchi uchun sterjen  $\vec{V}_0$  tezlik bilan

ataladi.  $K'$  sistemada, ya'ni harakatdagi sanoq sistemasida vaqtning o'tishi tinch turgan  $K$  sanoq sistemasiga nisbatan sekinroq o'tganligi aniqlanadi.

d) **Tezliklarni qo'shish.** Klassik mexanikada tezliklarni qo'shishda [(5.4)] ifodaga qarang]  $v = v' + v_0$  tenglamadan foydalangan bo'lsak, katta tezliklarda undan foydalinish xatolikka olib keladi.

Lorens almashtirishlaridan foydalanim, tezliklarning qo'shish qoidasini aniqlaylik. Jismning  $K$  sanoq sistemadagi tezligi  $v = dx/dt$  bo'lsa,  $K'$  sanoq sistemadagi tezligi esa  $v' = dx'/dt'$  teng bo'ladi. Bularni aniqlash uchun Lorens almashtirishlarini ifodalovchi (5.5) tenglamadan hosilaga o'taylik:

$$dx = \frac{dx' + v_0 dt'}{\sqrt{1 - \frac{v_0^2}{c^2}}}; \quad dt = \frac{dt' + \frac{v_0}{c^2} dx'}{\sqrt{1 - \frac{v_0^2}{c^2}}}.$$

Bu ifodalardan foydalanim, tezlikni topaylik:

$$v = \frac{dx}{dt} = \frac{dx' + v_0 dt'}{dt' + \frac{v_0}{c^2} dx'} = \frac{\frac{dx'}{dt'} + v_0}{1 + \frac{v_0}{c^2} \frac{dx'}{dt'}} = \frac{v' + v_0}{1 + \frac{v_0 v'}{c^2}}. \quad (5.9)$$

Masalan,  $v_0 = 2 \cdot 10^8 \text{ m/s}$ ,  $v' = 1,5 \cdot 10^8 \text{ m/s}$  bo'lsa, (5.4) ga asosan  $v = v' + v_0 = 3,5 \cdot 10^8 \text{ m/s}$ , ya'ni  $v > c$  bo'lganligi uchun nisbiylik prinsipiga ziddir. (5.9) dan foydalansak:

$$v = \frac{v' + v_0}{1 + \frac{v_0 v'}{c^2}} = \frac{3,5 \cdot 10^8}{1 + \frac{3 \cdot 10^{16}}{9 \cdot 10^{16}}} \approx 262500 \text{ km/s}.$$

Agar  $v' = v_0 = c$  bo'lsa,

$$v = \frac{v' + v_0}{1 + \frac{v_0 v'}{c^2}} = \frac{c + c}{1 + \frac{c^2}{c^2}} = c.$$

Demak, (5.9) tenglama katta tezliklar uchun nisbiylik nazariyaning prinsiplarni, ya'ni yorug'lik tezligi hamma inersial sistemalarda o'zgarmaslik prinsipini to'la qanoatlantiradi.

#### 5.4. Relativistik dinamikaning asosiyligini qonuni

Lorens almashtirishlariga asoslangan mexanikani Nyuton mexanikasidan farqlash maqsadida **relativistik mexanika** deb yuritiladi.

Klassik mexanika ko'sratmalariga, asosan jism massasi o'zgarmas kattalikdir. Biroq XX asrning boshlarida katta tezliklarda harakatlanayotgan elektronlar ustida o'tkazilgan tajribalar shuni ko'rsatdiki, jism massasi uning harakat tezligiga bog'liq ekan, ya'ni tezlik ortishi bilan massa quyidagi qonunga asosan ortib boradi:

$$m = \frac{m_0}{\sqrt{1 - v^2/c^2}}, \quad (5.10)$$

bu yerda,  $m_0$  – tinch holatdagi massa deb ataladi,  $m$  – ni esa **relativistik massa** deb yuritiladi. Jism harakatining tezligi yorug'lik tezligiga yaqinlashgan sari relativistik effekt keskinroq namoyon bo'la boshlaydi va jism massasi nihoyatda tez ortib boradi.  $v=s$  da massaning qiymati cheksizlikka intiladi.  $m$  massali  $v$  tezlikka ega bo'lgan yakkalangan jismning impulsi  $\vec{p} = m\vec{v}$  ga tengdir. Bu tenglikdagi  $m$  massa o'rniga relativistik massa (5.10) qiymatini qo'syak, Lorens almashtirishlariga asoslangan **relativistik impuls** quydagicha aniqlanadi:

$$\vec{p} = \frac{m_0}{\sqrt{1 - v_0^2/c^2}} \cdot \vec{v}. \quad (5.11)$$

Nyuton II qonunini eslasak, ta'sir etuvchi kuch impulsning o'zgarish tezligiga proporsional bo'ladi, ya'ni

$$\vec{F} = \frac{d\vec{p}}{dt}$$

bu qonun Lorens almashtirishlariga nisbatan kovariant deb qarab, Nyuton qonuning umumiyo ko'rinishi relativistik shaklda quydagicha ifodalanadi:

$$F = \frac{d}{dt} \left( \frac{m_0 \vec{v}}{\sqrt{1 - \vec{v}^2/c^2}} \right). \quad (5.12)$$

Bu **relativistik dinamikaning asosiy qonuni** ifodasi bo'lib, ko'pincha moddiy nuqtaning relativistik **dinamikadagi harakat tenglamasi** deb ham yuritiladi.

### 5.5. Massa, energiya va impuls orasidagi bog'lanish

Eynshteyn nisbiylik nazariyasining eng ahamiyatli natijalaridan biri massa va energiya orasidagi universal bog'lanish ifodasidir:

$$W = mc^2 = \frac{m_0 c^2}{\sqrt{1 - v^2/c^2}}. \quad (5.13)$$

(5.13) tenglama tabiatning fundamental qonuni deb yuritiladi. (5.13) ifodani qatorga yoysak va  $v < c$  holat uchun ikkinchi tartibli yig'indilarni e'tiborga olmasak, quydagini hosil qilamiz:

$$W = m_0 c^2 + m_0 v^2/2 + \dots \quad (5.14)$$

bu yerda,  $m_0 c^2$  – tinch holatdagi jism energiyasini,  $m_0 v^2/2$  – harakatlanayotgan jismning kinetik energiyasini ifodalaydi (5.14) ifodadagi

$$W_0 = m_0 c^2 \quad (5.15)$$

kattalikni **tinch holatdagi jism energiyasi** deb ataladi. Klassik mexanikada tinch holatdagi jism energiyasi  $W_0$  hisobga olinmaydi, chunki  $v=0$  da tinch holatdagi jism energiyasi nolga teng bo'ladi.

Relativistik kinetik energiya uchun quydagi ifodani yozamiz

$$W_k = mc^2 - m_0 c^2 = m_0 c^2 \left( \frac{1}{\sqrt{1 - v^2/c^2}} - 1 \right) \quad (5.16)$$

$mc^2$  ni  $W$  bilan belgilab (5.16) ni quyidagi shaklni yozamiz:

$$W = mc^2 = m_0 c^2 + W_k. \quad (5.17)$$

Bu tenglama Eynshteyn kashf etgan energiya va massaning o'zaro bog'lanish qonunini ifodalaydi va jismning ictiyoriy holatdagi to'liq relativistik energiyasi deb yuritiladi. (5.17) tenglama o'z navbatida jism massasining o'zgarishi uning energiyasini o'zgarishi bilan birlgilikda yuz berishini ko'rsatadi.

Endi energiya bilan impuls orasidagi bog'lanishni aniqlaylik. Buning uchun relativistik massa ifodasi (5.10)ni kvadratga ko'tarib, quyidagicha o'zgartirib yozamiz:

$$m^2 c^2 - m^2 v^2 = m_0^2 c^2 \quad (5.18)$$

Bu ifodaning ikki tomonini  $s^2$  ga ko'paytirib, (5.11), (5.15) va (5.17) larni e'tiborga olsak

$$W^2 = P^2 c^2 + m_0^2 c^4$$

yoki

$$W = \sqrt{p^2 c^2 + m_0^2 c^4} \quad (5.19)$$

hosil bo'ladi. Bu munosabat *to'liq energiya va impuls orasidagi bog'lanishni* ifodalaydi.

(5.19) dan kelib chiqadigan xulosalardan biri shundan iboratki, tinch holatda massaga ega bo'lmaydigan neytrino va foton kabi zarrachalar ham relativistik energiyaga ega bo'lislari mumkin ekan.  $m_0=0$  bo'lsa (5.19) quyidagi ko'rinishga keladi.

$$W = p \cdot c \quad (5.20)$$

### 5.6. Klassik mexanikaning qo'llanish chegaralari

Relativistik mexanika qonunlari  $v < c$  bo'lgan hollarda klassik mexanika qonunlariga o'tadi. Misol uchun tovush tezligi ( $v_0 \approx 300 \text{ m/s}$ ) da uchayotgan reaktiv samolyot harakati uchun

$$\frac{v_0^2}{c^2} = \left( \frac{3 \cdot 10^2 \text{ m/s}}{3 \cdot 10^8 \text{ m/s}} \right)^2 = 10^{-12}$$

nisbatni hosil qilamiz.

Kosmik tezliklarda harakatlanayotgan kemalar uchun  $\frac{v_0^2}{c^2} \sim 10^{-9}$  atrofida

bo'ladi. Demak,  $v_0 < c$  bo'lgan hollarda  $\sqrt{1 - \frac{v^2}{c^2}}$  ning qiymati 1 dan deyarli farqlanmas ekan. Shuning uchun kichik tezliklarda Lorens almashtirishlari Galiley

almashtirishlariga o'tadi. Klassik mexanika kichik tezliklarda  $\frac{v_0^2}{c^2} \ll 1$  shart

bajarilganda o'rini bo'ladi, bu hol o'z navbatida klassik mexanikaning qo'llanish chegarasini belgilaydi. Shunday qilib, kichik tezliklarda klassik mexanika relativistik mexanikaning xususiy holi hisoblanishi mumkin.

Biroq elektronlar bilan qilingan tajribalarda shu narsa aniqlandi, klassik mexanika tasavvurlariga qarama-qarshi jismning massasi o'zgarmas kattalik emas ekan, balki tezlik ortishi bilan relativistik dinamika qonuni asosida ortar ekan.

Uncha katta bo'limgan harakat tezliklarida ( $3000 \text{ km/s}$  gacha tezliklarda) jismning massasi deyarli o'zgarmaydi. Katta tezliklarda massa sezilarli ortib ketadi, masalan,  $v=270\,000 \text{ km/s}$  da tinch holatdagi massadan ikki baravarga ortib ketadi.

Massa va energiyaning o'zaro bog'liqligi qonunining ifodasidagi,  $S'$  ning son qiymati juda katta bo'lganligi uchun jism energiyasining o'zgarishi juda katta bo'lganda ham massaning o'zgarishi juda kichik amalda payqab bo'lmaydigan darajada bo'ladi. Masalan, Oyga tomon ikkinchi kosmik tezlik  $v_2 = 11,2 \text{ km/s}$  bilan uchirilgan tinch holatdagi massa  $m_0 = 1500 \text{ kg}$  bo'lgan kosmik raketaning energiyasi

$$\Delta W = \frac{m_0 v_2^2}{2} = \frac{1500 \cdot 11200^2}{2} = 9,4 \cdot 10^{10} \text{ J}$$

ga ortadi, uning massasi esa

$$\Delta m = \frac{9,4 \cdot 10^{10}}{(3 \cdot 10^8)^2} \approx 10^{-6} \text{ kg}$$

ortadi xolos.

Shunday qilib, raketa massasining nisbiy o'zgarishi

$$\frac{\Delta m}{m_0} = \frac{10^{-6}}{1500} < 10^{-9} = 10^{-7}\%,$$

buni eksperimental yo'l bilan aniqlab bo'lmaydi.

Shuning uchun massa va energiyaning o'zaro bog'liqlik qonunini faqat mikroham hodisalarida, ya'ni yadro jarayonlarida va elementar zarrachalarning bir turdan ikkinchi turga aylanishda eksperimental tekshirish mumkin.

Ayniqsa, yadro reaksiyalarida massaning energiya bilan o'zaro bog'liqligi juda sezilarli bo'ladi.

Shunday qilib, nisbiylik nazariysi Galiley, Nyuton va boshqa olimlar tomonidan asoslangan klassik mexanikaning qonun va prinsiplarini inkor etmaydi, aksincha, ularni rivojlantiradi va umumlashtiradi hamda klassik mexanikaning qo'llanish chegaralarini belgilab beradi.

### Savollar

1. Galileyning nisbiylik prinsipini va uni qo'llanish chegarasini aytинг?
2. Qanday kattaliklar Galiley almashtirishlarga nisbiy invariant bo'ladi?
3. Eynshteyn postulatlarini va Lorens almashtirishlarini aytинг?

4. Lorens almashtirishlari, Eynshteyn postulatlarini qanoatlantirishini, uzunlikning Lorens qisqarishi va vaqt o'tishining sekinlashishlari asosida yetganligini ifodalang.

5. Relativistik dinamikaning asosiy qonunlarini, massa, energiya va impuls orasidagi bog'lanishlarni ifodalang.

### Masalalar

**14-masala.** Fazoviy kema  $v = 0,9m/s$  tezlik bilan Yer markazi tomon harakatlanmoqda. Kema o'zida joylashtirilgan ( $K'$  sistema) soat bilan hisoblangan  $\Delta t_0 = 1s$  vaqt oralig'iда Yer bilan bog'langan ( $K'$  sistema) hisob tizimida qanday  $l$  masofani o'tadi. Yerning sutkalik aylanishi va Quyosh atrofidagi orbital harakati hisobga olinmasin.

$$\text{Berilgan: } v = 0,9m/s \quad \Delta t_0 = 1$$

$l \sim ?$

**Yechish.** Fazoviy kemaning Yer bilan bog'langan ( $K'$  sistema) hisob tizimida o'tgan  $l$  masofasini ushbu formula orqali aniqlaymiz:

$$l = v \cdot \Delta t \quad (1)$$

bu yerda,  $\Delta t - K'$  sanoq sistemasida hisoblangan vaqt oralig'i. Bu vaqt oralig'i  $K'$  sistemada hisoblangan vaqt oralig'i bilan

$$\Delta t = \frac{\Delta t_0}{\sqrt{1 - (v/c)^2}}$$

munosabatga bog'langan  $\Delta t$  ning ifodasini (1) formulaga qo'yib quydagini olamiz:

$$l = \frac{v \cdot \Delta t_0}{\sqrt{1 - (v/c)^2}}$$

hisoblashlarni bajarsak  $l = 619$  mm.

**15-masala.** Elektronning kinetik energiyasi  $W_k = 1\text{MeV}$ . Elektronning tezligi aniqlansin.

$$\text{Berilgan: } W_k = 1\text{MeV}$$

$v_0 \sim ?$

**Yechish.** Kinetik energiyaning relativistik formulasi

$$W_k = W_0 \left( \frac{1}{\sqrt{1 - \beta^2}} - 1 \right)$$

$\beta$  ga nisbatan o'zgarishlar qilib zarraning yorug'lilik tezligining ulushlarida

$(\beta = \frac{v}{c})$  ifodalangan tezligini topamiz:

$$\beta = \frac{\sqrt{(2W_0 + W_k)W_k}}{W_0 + W_k}$$

bu yerda,  $W_0$  – elektronning tinchlikdagi energiyasi ( $W_0 = 8,16 \cdot 10^{-14} J$  yoki  $W_0 = 0,511 \text{ MeV}$ ). Bu formula bo'yicha hisoblashlarni energiyaning istalgan birliliklarda bajarish mumkin, chunki formulaning o'ng tomonidagi birliklar qisqarib ketadi va hisoblash natijasida birliksiz son olinadi.

$W_0$  va  $W_k$  larning son qiymatlarini megaelektronovoltlarga qo'yib, quyidagini olamiz:

$$\beta = 0,941 \quad v = \beta c \text{ ekanligidan } v = 2,82 \cdot 10^8 m/s.$$

**16-masala.**  $v = 0,9m/s$  tezlik bilan harakatlanayotgan elektronning relativistik impulsi  $p$  va kinetik energiyasi  $W_k$  aniqlansin (bunda,  $s$  – yorug'likning vakuumdagi tezligi)

Berilgan:  $v = 0,9m/s$

$$p \sim ? \quad W_k \sim ?$$

**Yechish.** Relativistik impuls

$$p = m_0 c \frac{\beta}{\sqrt{1 - \beta^2}} \quad (1)$$

(1) formula bo'yicha hisoblab quyidagini olamiz:

$$p = 5,6 \cdot 10^{-22} kg \cdot m/s.$$

Relativistik mexanikada to'la energiya quyidagicha aniqlanadi

$$W = W_k / W_0$$

$W_k = mc^2$  va  $W_0 = m_0 c^2$  ekanligidan, massaning tezlikka bog'liqligini nazarda tutib, quyidagini olamiz:

$$W = \frac{m_0 c^2}{\sqrt{1 - \beta^2}} - m_0 c^2$$

yoki

$$W = m_0 c^2 \left( \frac{1}{\sqrt{1 - \beta^2}} - 1 \right) \quad (2)$$

hisoblashlarni bajarsak ( $W_0 = m_0 c^2 = 0,51 \text{ MeV}$ )

$$W = 106 \cdot 10^{-15} \cdot \frac{1}{1,6} \cdot 10^{19} eV = 66,25 \cdot 10^4 eV = 0,66 MeV.$$

## 2. STATISTIK FIZIKA VA TERMODINAMIKA

### VI bob. MAKROSKOPIK HOLATLAR

#### 6.1. Fizika hodisalarini tekshirishda dinamik, statistik va termodinamik usullar

Agar sistema faqat bitta yoki son jihatidan cheklangan jismlardan yoki jism qismalaridan tashkil topgan bo'lsa, **dinamik** qonuniyatlaridan foydalanib, sistemadagi fizik hodisalar va jarayonlarni o'rganish mumkin.

Alovida olingen atom va molekul harakati ham dinamika qonuniyatlariga bo'ysunadi. Shuning uchun  $1 \text{ sm}^3$  hajmdagi tartibsiz harakatlanayotgan molekulalar bilan bog'liq hodisalarini dinamik qonuniyatlar asosida tekshirish mumkin. Buning uchun, avvalo, alovida olingen molekulalarni o'rganib chiqib, keyin hamma molekulalarning fazodagi o'rinnarini, tezliklarini, ular orasidagi o'zaro va idish devoriga ko'ssatayotgan ta'sir kuchlarining ifodalarini aniqlash mumkin.

Chunki bir sekunda bir millionga yaqin amalni bajaradigan elektron hisoblash mashinasida  $1 \text{ sm}^3$  dagi barcha molekulalarning o'rinnarini va tezliklarini qayd qilish uchun kamida 6 million yil sarflanishi kerak. Bunday hollarda alovida matematik usulga – **statistik usulga** tayanish maqsadga muvofiq bo'ladi. Statistik usul ehtimollik nazarasiyidan foydalanishga asoslangan. **Statistik usul** bir-biriga o'xshagan juda ko'p, lekin bir-biridan mustaqil bo'lgan hodisalar to'plamini tekshirish uchun qo'llaniladigan usuldir. Juda ko'p sonli zarrachalardan tashkil topgan sistemaning fizik xususiyatlarini statistik usuldan foydalaniib o'rganuvchi fizikaning bo'limi – **statistik fizika** deb ataladi.

Statistik usul yordamida tabiat hodisalarini yetarlicha chuqur va aniq tekshirish mumkin bo'lganligi uchun bunga asoslangan statistik fizika hozirgi davrda fizika fanining turli sohalariga muvoffaqiyatlari tatbiq etilmoqda. Masalan, molekular fizikada issiqlik hodisalarini; elektromagnetizmda jismlarning elektr o'tkazuvchanlik va magnit xususiyatlarini; optikada issiqlik nurlanish va boshqa hodisalarni statistik fizika asosida o'rganiladi.

Fizik hodisalar va jarayonlarni o'rganadigan dinamik va statistik usuldan tashqari **termodinamik** usul ham mayuddir. Statistik usulidan farqli termodinamik usul jismlarni va tabiat hodisalarini makroskopik xossalarni, ularning mikroskopik manzarasiga, ya'ni o'rganilayotgan sistemaning ichki tuzilishi va sistemani tashkil etuvchi qismlarining harakat holatlariga e'tibor qilmay o'rganadi. Fizik hodisalarga termodinamik usulni qo'llash imkoniyati ularda energiyaning bir turdan boshqa turiga aylanish jarayonlari bilan bog'liqidir.

Jismlarning fizik xususiyatlarini termodinamik usul bilan o'rganadigan fizikaning bo'limiga **termodinamika** deb ataladi. Termodinamika tajribalaridan aniqlangan juda ko'p ma'lumotlarni umumlashtirgan ikki fundamental qonunga tayanadi.

Shunday qilib, mikroskopik zarrachalardan tashkil topgan sistemaga oid tadqiqotlarda har ikkala usul ham statistik va termodinamik usullar keng qo'llaniladi va ular o'zaro bir-birini to'ldiradi.

#### 6.2. Makroskopik sistema parametrlari

Juda ko'p sonli atom va molekulalardan tashkil topgan sistema – **makroskopik sistema** deb ataladi. Makroskopik sistema holatini to'la ravishda aniqlay oladigan fizik kattaliklar **makroskopik parametrlar** deb ataladi. Shu parametrlar va ularning o'chov birliklari bilan tanishaylik.

**Hajm.** Tashqi kuchlar ta'siriga qaramay qattiq jism molekulalari orasida o'zaro ta'sir kuchli bo'lgani uchun o'zlarining hajmlari va shaklini, suyuqliklar esa o'z hajmlarini saqlaydilar. Gazlar esa molekulalar orasida o'zaro ta'sir kuchsiz bo'lgani uchun o'zi solingan idish hajmini egallaydi. Shunday qilib, **sistema hajmi** degan fizik kattalik kiritiladi, hajm  $M^3$  larda o'lchanadi.

**Harorat.** Moddaning issiqlik holatini xarakterlash uchun termodinamik kattalik **harorat** tushunchasi kiritiladi.

SI da haroratning absolut termodinamik shkalasi, ya'ni **Kelvin shkalasi** asosiy birlik sifatida qabul qilingan. *Suvning uchlanma nuqtasi, ya'ni qattiq, suyuq va gazsimon fazalarining muvozanatli holatini aniqlovchi nuqta haroratigacha bo'lgan harorat intervalining 1/273,16 qismi bir kelvin (K) deb qabul qilingan.* Bu birlilikdosh tashqari, haroratni o'lchashda **Selsiy shkalasi** keng qo'llaniladi. Normal bosimda muzning erishi va suvning qaynash haroratlari intervalining 1/100 ulishi Selsiy shkalasidagi 1 °C ni beradi. Suvning muzlash, erish va bug'lanish fazalarining muvozanatli holatiga to'g'ri kelgan haroratni 0 °C deb olsak, u vaqtida uchlanma nuqtaning harorati kelvin shkalasida 273,16 K shu sharoitda suvning qaynash harorati esa 273,16 K teng bo'ladi.

Demak, Kelvin va Selsiy shkalalari orasidagi bog'lanish quyidagi tenglama bilan ifodalanadi:

$$T = 273, 16 + t \quad (6.1)$$

bunda, sistemaning Kelvin shkalasi bo'yicha o'lchanang harorat  $T$  harfi bilan, Selsiy shkalasi bo'yicha o'lchanang harorat esa  $t$  harfi bilan belgilanadi.

**Bosim.** Bosim ( $R=F/S$ ) yuza birligiga normal ta'sir etuvchi kuch bilan o'lchanuvchi fizik kattalikdir. Bosimning asosiy birligi sifatida **paskal (Pa)** qabul qilingan. Bosimning **millimetrik simob ustuni (mm.sim.ust)** birligidan ham foydalaniлади. Bu birliklar orasida quyidagicha bog'lanish bor 1 mm.sim.ust = 133,322 Pa.

**Modda miqdori.** Modda miqdorini o'lchash uchun asosiy birlik sifatida Mol qabul qilingan. Moddaning bir molining massasiga uning **molyar massasi** deyiladi. *Ublerod - 12 ning 0,012 kg massasidagi atomlar soniga teng strukturaviy element (masalan, atom, molekula) lardan tashkil topgan moddaning miqdori bir mol ( $\mu$ ) deb ataladi.* Molar massa kg/mol da o'lchanadi va  $\mu$  harfi bilan belgilanadi. Masalan, kislrorod ( $O_2$ ) ning molar massasi  $\mu=0,032 \text{ kg/mol}$ , vodorod ( $N_2$ ) uchun  $\mu=0,02 \text{ kg/mol}$ , azot ( $N_2$ ) uchun  $\mu=0,028 \text{ kg/mol}$ . 1 mol moddadagi molekulalar soni moddaning turiga bog'liq bo'lmagan o'zgarmas kattalik bo'lib **Avagadro soni** deb ataladi va odatda,  $N_A$  deb belgilanadi, u  $N_A = 6,0222 \cdot 10^{23} \text{ 1/mol}$  teng bo'ladi.

Molekulalarining soni  $N$  ga teng bo'lgan modda miqdorida necha mol borligini aniqlash uchun quyidagi ifodadan foydalananiz:

$$V = \frac{N}{N_A}, \quad V = \frac{m}{\mu} \quad (6.2)$$

Bitta gaz molekulaning massasi  $m_m$  kg bo'lsa, bir mol gazning massasi, ya'ni molar massasi

$$\mu = m_M \cdot N_A \text{ kg/mol} \quad (6.3)$$

teng bo'ladi.  $N$  ta molekulalardan tashkil topgan gazning massasi:  $M=m_m N$ . Bu ikki massaning nisbatidan foydalaniб, biror  $V$  hajmdagi molekulalarning sonini aniqlaylik:

$$N = \frac{M}{\mu \cdot N_A} \quad (6.4)$$

Demak,  $N$  ta gaz molekulasi egallagan hajm ma'lum bo'lsa, birlik hajmdagi molekulalar soni, ya'ni **molekulalar konsentratsiyasini** aniqlash mumkin

$$n = \frac{N}{V} \quad (6.5)$$

Normal sharoitda 1 kilomol gazning egallagan hajmi  $V_v = 22,4 \text{ m}^3$  ekanligini e'tiborga olib,  $1 \text{ m}^3$  hajmdagi molekulalar soni  $n_0 = N_A/V_m = 2,7 \cdot 10^{25} \text{ m}^{-3}$  ga teng ekanligi aniqlanadi. Bu esa **Loshmidt soni** deb ataladi.

Molekulalar massa  $\sim 10^{-26} \text{ kg}$  juda kichik bo'lganligi sababli, odatda, atom va molekulalarning massalarini atom birligi (m.a.b) da ifodalanadi. M.a.b. qiymat jihatdan uglerod - 12 atomi massasining  $1/12$  ulishiga teng qilib olinadi:

$$1 \text{ m.a.b.} = \frac{1}{12} m_c = 1,6607 \cdot 10^{-27} \text{ kg.} \quad (6.6)$$

### 6.3. Issiqlik harakati

Tabiatdagi barcha moddalar molekulalardan tashkil topgan. Moddaning barcha kimyoviy xossasini o'zida saqlab qola oladigan eng kichik zarrasiga **molekula** deb ataladi. Kimyoviy usul bilan tarkibiy qismlarga ajratib bo'lmaydigan moddalar **kimyoviy elementlar** deb ataladi. Molekulalar orasida o'zarotasi kuchlari bo'lib, bu kuchlarning katta-kichikligiga qarab aynan bir moddani o'zi qattiq, suyuq va gaz holatlarida bo'lishi mumkin. Molekulalar orasidagi tutinish kuchlari nolga intilayotgan gaz ideal gazga aylana boshlaydi. Moddalarning xususiyatlarni va xossalarni molekulalarning harakati va o'zarotasi asosida o'rganuvchi nazarイヤaga **molekular - kinetik naziariya** deb ataladi.

Moddaning issiqlik holati molekulalarining **issiqlik** (xaotik) **harakati** intensivligi bilan ifodalanadi. Issiqlik harakat intensivligi o'zgarganda jismning ichki energiyasi va issiqlik holati o'zgaradi.

Issiqlik holatlari har xil bo'lgan ikki moddani olaylik. Birinchi modda molekulalarining issiqlik harakati ikkinchisiniidan intensivroq bo'lsin. Bu moddalarni bir-biriga tekkizsak, birinchi moddaning molekulalari moddalarning tegishish chegarasida ikkinchi modda molekulalariga urilib, ularning issiqlik harakati intensivligini oshiradi. Natijada, moddalarning issiqlik holatlari o'zagaradi: birinchi moddaning ichki energiyasi kamayadi, ikkinchisini esa ortadi. Aslida, moddaning issiqlik holatini harorat belgilaydi. Harorat o'z navbatida modda molekulalari issiqlik harakati intensivligini miqdoriy jihatdan ifodalovchi fizik kattalikdir.

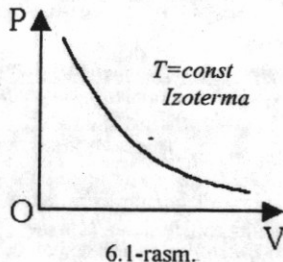
Demak, modda molekulalarining issiqlik harakati qanchalik intensiv bo'lsa, uning harorati shunchalik yuqori bo'ladi.

### 6.4. Ideal gazning holat tenglamasi

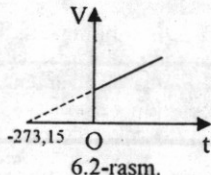
Gazlar bilan bog'liq bo'lgan hodisalarini o'rganishni soddalashtirish maqsadida **ideal gaz** tushunchasi kiritiladi. Quyidagi soddalashtirishlarni kiritaylik:

- a) gaz molekulalari orasida o'zarotasi sirlashish kuchlari mavjud emas;
- b) gaz molekulalarining o'lchamlari hisobga olmaslik darajasida kichik;
- d) gaz molekulalarining o'zarotasi to'qnashishlari elastik sharlarning

to'qnashuvidek sodir bo'ladi.



Siyraklashtirilgan real gazlarning xossalari ideal gazga yaqin bo'ladi. Masalan, atmosfera bosimida vodorod va geliy gazlari ideal gazga juda yaqin bo'ladi. Gaz bir holatdan ikkinchi holatga o'tganda parametrлari o'zgaradi. O'zgarmas m massali gaz holatini o'zgarishida parametrлar (bosim  $R$ , hajm  $V$  va harorat  $T$ ) dan bir o'zgarmasdan saqlanib qolgan ikkitasi o'zgarishi mumkin.



1) **Izotermik jarayon ( $T=const$ )** da gaz holatining o'zgarishi Boyl-Mariot qonuni bilan aniqlanadi.

$$RV = const \quad (6.7)$$

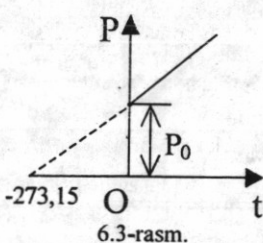
2) **Izobarik jarayon ( $P=const$ )** Gey-Lyussak qonuniga bo'yusunadi.

$$V = V_0(1 + \alpha_V t) \quad (6.8)$$

bundan

$$\frac{V}{T} = const \quad (6.9)$$

hosil qilamiz (6.2-rasm). Bu yerda,  $\alpha_V$  – gazning hajm kengayish termik koefitsiyenti,



$$\alpha_V = \frac{1}{273,15} K^{-1}$$

3) **Izoxorik jarayon ( $V=const$ )** da amalga oshadi va Sharl qonuni bo'yicha aniqlanadi (6.3-rasm).

$$P = P_0(1 + \alpha_p t) \quad (6.10)$$

bundan

$$\frac{P}{T} = const \quad (6.11)$$

ni hosil qilamiz. Bu yerda, ideal gaz uchun  $\alpha_v = \alpha_r$ .  $\alpha_r$  - bosimning termik koeffitsiyentidir.

Endi ideal gaz parametrining har uchalasi  $R_1, V_1, T_1$  holatdan o'zagarib  $R_2, V_2, T_2$  holatga o'tsin.

Bu vaqtida ( $T_1 = const$ ) da gaz bosimini  $R_2$  gacha o'zgartiraylik. Natijada gaz hajmi ham o'zgaradi ( $V'$ ). Izotermik jarayonda

$$P_1 V_1 = P_2 V'$$

bunda,

$$V' = \frac{P_1 V_1}{P_2} \quad (6.12)$$

ifodani hosil qilamiz. Ikkinci jarayonda ( $R_2 = const$ ) da haroratni  $T_2$  gacha orttiramiz. Natijada gaz  $V_2$  hajmga izobarik kengayadi. Gey-Lyussak qonuniga asosan quyidagini yozamiz:

$$\frac{V'}{T_1} = \frac{V_2}{T_2}$$

Bunda

$$V' = \left( \frac{V_2}{T_2} \right) T_1 \quad (6.13)$$

ifoda hosil bo'ladi. (6.12) va (6.13) lardan

$$\frac{P_1 V_1}{T_1} = \frac{P_2 V_2}{T_2}$$

tenglikni yozamiz. Demak, o'zgarmas massali gaz uchun bosim va hajm ko'paytmasini haroratga nisbati

$$\frac{PV}{T} = B \quad (6.14)$$

o'zgarmas miqdorga teng bo'lib, bu tenglamani Klapeyron tenglamasi deb ataladi. Bu yerda  $V$  gaz massasi va turiga bog'liq gaz doimiysi idir. (6.14) tenglamani D.I.Mendeleyev normal sharoitda 1 mol gaz uchun quyidagi o'zgartiradi:

$$PV_M = RT \quad (6.15)$$

Bunda,  $R$  – gazning universal doimiysi deb ataladi.

$$R = 8,31 \text{ J/molK} \quad (6.16)$$

$$V_M = 22,41 \cdot 10^{-3} \text{ m}^3/\text{mol}$$

1 mol ideal gazning hajmidir.

Agar (6.15) tenglamaning har ikki tomoniga  $m/\mu$  ni ko'paytirib va  $(m/\mu) V_M = V$  teng deb olsak,

$$PV = \left( \frac{m}{\mu} \right) RT \quad (6.17)$$

Klapeyron - Mendeleyev tenglamasini hosil qilamiz. Bu yerda,  $\mu$  – molar massa,  $m$  – ixtiyorli olingan gaz massasi.

## 6.5. Ideal gaz molekular - kinetik nazariyaning asosiy tenglamasi

Molekulalar issiqqliq harakati tartibsiz bo'lib, bu harakat natijasida ular har doim bir-biri bilan va idish devori bilan to'qnashib turadi. Gaz molekulalari bilan idish devori hosil qilingan o'zaro ta'sirlaridan foydalaniib, gazning devorga bergen ta'sir kuchi – bosimi baholanadi. Birlik vaqt ichida idish devorining birlik yuziga molekulalar tomonidan berilayotgan impulslar yig'indisi bosimni hosil qiladi. Har bir molekula harakat yo'nalishiga perpendikular yuzaga kelib elastik urilganda uning impulsi

$$m_M v_i - (-m_M v_i) = 2m_M v_i$$

ga o'zgaradi. Agar qirralarining uzunligi  $l$ , bo'lgan kubning birlik hajmidagi molekulalar sonini  $n$  deb belgilasak, kubning qarama-qarshi devorlari orasida harakatlanayotgan molekulalar soni

$$N = \frac{1}{3} nl^3 \quad (6.18)$$

ifoda bilan aniqlanishi mumkin. Kub qirrasining uzunligi  $l$  bo'lganligi uchun molekulalarning u yoki bu devorga urilishlari har  $\tau = 2l/v_i$  vaqtida takrorlanib turadi. Bularni hisobga olib  $i$  - molekula tomonidan devorga berilayotgan o'rtacha ta'sir kuchini aniqlaymiz:

$$F_i = \frac{2m_M v_i}{\tau} = \frac{m_M v_i^2}{l} \quad (6.19)$$

Devorga ta'sir etuvchi umumiy kuch esa

$$F = \sum_{i=1}^n \frac{m_i v_i^2}{l}$$

teng bo'ladi. Bu ifodaning surat va maxrajini  $N$  ga ko'paytirsak,

$$F = \frac{Nm_i \sum_{i=1}^n v_i^2}{lN} \quad (6.20)$$

Bundagi

$$\frac{\sum_{i=1}^n v_i^2}{N} = v_{o'r.kv.}^2 \quad (6.21)$$

kattalikni *o'rtacha kvadratik tezlik* deb yuritiladi.

(6.18) va (6.21) larni e'tiborga olib (6.20) ifodani quyidagicha yozamiz:

$$F = \frac{1}{3} nl^2 m_M v_{o'r.kv.}^2$$

Bundan

$$P = \frac{F}{l^2} = \frac{1}{3} nm_M v_{o'r.kv.}^2 \quad (6.22)$$

hosil qilamiz.

Bu tenglama *ideal gaz molekular - kinetik nazariyasining asosiy tenglamasi* deb yuritiladi. (6.22) quyidagicha o'zgartirib yozamiz:

$$P = \frac{2}{3} n \frac{m_u < v_{o'r.kv.}^2 >}{2} \quad (6.23)$$

Demak, ideal gaz bosimi birlik hajmdagi gaz molekulalari o'rtacha kinetik energiyasining 2/3 qismiga teng. Ikkinci tomondan teng bo'lgani uchun (6.23) quyidagicha yozamiz:

$$\frac{m_u v^2}{2} = \frac{3}{2} KT \quad \text{yoki} \quad P = nkT \quad (6.23')$$

## 6.6. Gaz molekulalarining tezliklari va energiyalari bo'yicha taqsimlanishiga oid Maksvell qonuni

Molekular-kinetik nazariya natijalarini eslasak, gaz molekulalari har xil tezliklar bilan tartibsiz harakat qilishlari ayon bo'ldi. Molekulalarning o'zarotiqnashishlari tufayli ularning tezliklari miqdor va yo'nalish jihatdan uzlusiz ravishda o'zgarib turadi. Keyinchalik tekshirishlardan ma'lum bo'ldiki, normal sharoitda har bir molekula bir sekunda taxminan  $10^{10}$  marta to'qnashar ekan. Shu sababli, juda qisqa vaqt ichida ham tezligi aniq qiymatga ega bo'lgan molekulalarning sonini aniqlash mumkin emas. Lekin ixtiyoriy yo'nalishda tezligi  $v$  dan  $v+dv$  gacha intervalda yotgan molekulalar sonini aniqlash mumkin. Tezliklarning butun sohasini tezlikning juda kichik  $dv$  ga teng intervallariga ajrataylik. Bunda har bir tezliklar intervaliga dN molekulalar soni to'g'ri keladi deb olaylik.  $dN$  sistemadagi barcha molekulalar soni  $N$  ga va tezlik intervali  $dv$  ga proporsional bo'ladi.

$$dN \sim N dv \quad (6.24)$$

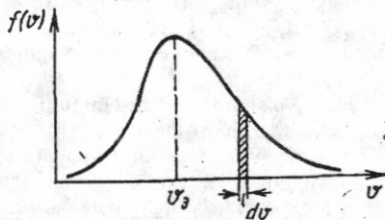
tezlik funksiyasi kattaligini kiritib (6.24) ni quyidagicha yozish mumkin.

$$dN = f(v) N dv$$

yoki

$$\frac{dN}{N dv} = f(v) \quad (6.25)$$

(6.25) ifodani molekulalarning tezliklar bo'yicha taqsimot funksiyasi deyiladi.



6.4-rasm.

$f(v)$  – funksiya  $dv$  tezliklarga ega bo'lgan, molekulalar qolgan barcha molekulalarning qanday ulushini tashkil etish ehtimolligini ko'rsatadi.

Bu taqsimot funksiyasini birinchi bo'lib, ingliz fizigi Maksvell nazariy yo'l bilan – ehtimollar nazariyasi asosida aniqlagan edi. Taqsimot funksiyasi Maksvell tomonidan 6.4-rasmda chizilgan egri chiziq sifatida tasvirlangan. Maksvell  $f(v)$  funksiyasining analitik ifodasi quyidagi ko'rinishda keltirib chiqariladi:

$$f(v) = \frac{4}{\sqrt{\pi}} \left( \frac{m_m}{2kT} \right)^{3/2} e^{-\frac{m_m v^2}{2kT}} v^2 \quad (6.26)$$

bu yerda,  $m_m$  – molekulaning massasi,  $T$  – gazning absolut harorati.

Biror hajmdagi gazning  $v$  dan  $v + dv$  gacha tezliklar bilan harakatlanayotgan molekulalarning nisbiy soni quyidagi munosabatdan foydalanib topiladi:

$$\frac{dN}{N} = f(v)dv = \frac{4}{\sqrt{\pi}} \left( \frac{m_m}{2kT} \right)^{3/2} e^{-\frac{m_m v^2}{2kT}} v^2 dv \quad (6.27)$$

Uning qiymati 6.4-rasmdagi Maksvell egri chizig'i ostidagi shtrixlangan yuzachaga teng. (6.27) ifoda **molekulalarning tezliklari bo'yicha taqsimlanishiga oid Maksvell qonuni deylidi.**

Maksvell egri chizig'ining maksimumga to'g'ri kelgan tezligini eng katta **ehtimollari tezlik ( $v_e$ )** deb ataladi.  $v_e$  ning qiymatini topish uchun  $f(v)$  funksiyadan  $v$  bo'yicha olingan hosilani nolga tenglashtiramiz va

$$v_e = \sqrt{\frac{2kT}{m_m}} \quad (6.28)$$

ekanligini topamiz.

Harorat yuqorilashgan sari Maksvell egri chizig'i pasayib katta tezliklar sohasiga cho'ziladi.

Ideal gaz molekulalarining energiya bo'yicha taqsimoti  $\frac{dN}{N}$ ,  $w$  dan  $w+dw$

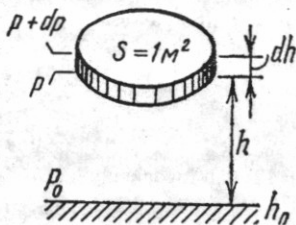
energiya oraliq'ida  $w=m v^2/2$  kinetik energiyaga ega bo'lgan gaz molekulalari umumiy soni  $N$  ning qanday ulishini tashkil qilishi bilan aniqlanadi:

$$\frac{dN}{N} = f(w)dw = \frac{2}{\sqrt{\pi}} (kT)^{-3/2} e^{-w/kT} \sqrt{w} dw \quad (6.29)$$

Bu ifoda gaz molekulalarining issiqlik harakat energiyalari bo'yicha taqsimlanishiga oid Maksvell qonuni deb ataladi. Maksvell nazariyasinining to'g'riligi 1920-yilda nemis olimi Shtern tajribasida isbotlangan.

## 6.7. Bolsman taqsimot qonuni

Ideal gaz molekular-kinetik nazariyasinining asosiy tenglamasi va gazning holat tenglamasini keltirib chiqarishda hamda molekulalarning tezliklari bo'yicha taqsimlanishiga oid Maksvell qonunida gaz molekulalariga tashqi kuchlar ta'sir qilmaydi va shular sababli molekulalar berilgan hajmda bir tekis taqsimlangan deb hisoblanadi. Aslida atmosferamiz ostidagi gazning har bir molekulasi birinchidan Yerning tortish kuchi maydonida bo'lsa, ikkinchidan havo molekulalari doimo issiqlik harakatida bo'ladi. Havo molekulalarining issiqlik harakati bo'lmaganda edi, barcha molekulalar Yer sirtida to'planib 10 metr qalinlikdagidagi qatlarni hosil



6.5-rasm.

qilgan bo'lar edi. Shunday qilib, havo molekulalarining issiqlik harakati va Yer tortish kuchining bir vaqtning o'zida ta'siri tufayli Yer atrofida bizni doimo o'rab turgan atmosfera mayjud. Atmosferamizdagi havo molekulalarining balandlik bo'yicha taqsimlanishi shu ikki ta'sir kuchlarining natijasidir.

Yer sirtida balandlikni  $h_0$ , bosimni  $r_0$  va hajm birligidagi molekulalar sonini  $n_0$  deb olaylik.  $h$  balandlikda  $R$  bosim ostida birlik hajmda  $n$  dona molekula mavjud deb

hisoblaylik.  $h$  balandlikda qalinligi  $dh$  va asosining yuzi  $S=1 \text{ m}^2$  bo'lgan qatlamni ajrataylik. Gazni bir jinsli deb, uning haroratin esa o'zgarmas deb olaylik (6.5-rasm). Bu qatlamning quyi va yuqori asoslariga ta'sir etuvchi atmosfera bosimini  $R$  va  $R + dR$  deb belgilaylik. Bu elementar hajmdagi molekulalar soni hajm birligidagi molekulalar sonining ( $n$ ), uning hajmiga  $dv = Sdh$  ko'paytmasi bilan ifodalanadi. Qatlamning umumiy og'irligi esa

$$dp = n \cdot Sdh \cdot m_{\text{av}} g \quad (6.30)$$

teng bo'ladi va quyidagi bosimni hosil qiladi

$$\frac{dP}{S} = \frac{dp}{S} = -\frac{n m_{\text{av}} g Sdh}{S} = -n m_{\text{av}} g dh \quad (6.31)$$

Minus ishorasi  $h$  orta borishi bilan bosimni kamayotganligini ko'rsatadi. Ikkinci tomondan (6.23') ni eslasak,

$$P = n k T \quad (6.32)$$

(6.31) ni (6.32) ga taqsimlasak

$$\frac{dP}{P} = -\frac{m_{\text{av}} g dh}{kT}$$

hosil qilamiz, uni  $g$ ,  $T$  o'zgarmas deb hisoblab  $h_0$  dan  $h$  gacha va  $R_0$  dan  $R$  gacha integrallaylik

$$\int_{p_0}^p \frac{dp}{P} = -\frac{m_{\text{av}} g}{kT} \int_{h_0}^h dn$$

$$\ln p - \ln p_0 = -\frac{m_{\text{av}} g}{kT} (h - h_0)$$

tenglamani hosil qilamiz. Bu ifoda ustida potensiallashni bajarsak:

$$\frac{P}{P_0} = e^{-\frac{m_{\text{av}} g}{kT} (h - h_0)}$$

yoki  $h_0=0$  da

$$P = P_0 e^{-\frac{m_{\text{av}} g}{kT} h} \quad (6.33)$$

ifodaga erishamiz,  $K = \frac{R}{N_A}$ ,  $m_m \cdot N_A = \mu$  ekanliklarini e'tiborga olsak (6.33) ni quyidagi ko'rinishda yozamiz:

$$P = P_0 e^{-\frac{\mu g h}{RT}} \quad (6.34)$$

Bu tenglama **barometrik formula** deb ataladi. (6.32) dan foydalaniq:

$$\frac{P}{P_0} = \frac{n}{n_0}$$

deb hisoblab (6.33) ni quyidagicha ifodalaymiz:

$$n = n_0 e^{-\frac{m_M gh}{kT}} \quad (6.35)$$

Bu ifodadagi  $m_M gh = U$  potensial energiyani ifodalaydi.  $U$  holda (6.35) munosabat

$$n = n_0 e^{-\frac{U}{kT}} \quad (6.36)$$

ko'rinishda yoziladi. Bu munosabatni **Bolsman taqsimoti** deb ataladi.

(6.35) ifoda balandlik ortishi bilan havo zarrachalarining konsentratsiyasi kamayib borishini ko'rsatadi.

### Savollar

1. Fizik hodisalarни tekshirishda statik va termodynamik usullar qanday nazariya va qonuniyatlar asosida yaratilganini izohlang.
2. Makroskopik sistema parametrlari deganda nimalar nazarda tutiladi?
3. Moddaning issiqlik holati nima bilan xarakterlanadi?
4. Ideal gazning holat tenglamasi va uning shakllanishida Klapeyron va Mendeleyevlarning ishtiroti.
5. Ideal gaz molekular – kinetik nazariyaning asosiy tenglamasi nimani ifodalaydi?
6. Gaz molekulalarini tezliklari va energiyalari bo'yicha taqsimlanishiga oid Maksvell qonunini matematik ifodasini tajribalarda isbotlanishini ko'rsating.
7. Atmosferadagi havo molekulalarining balandlik bo'yicha taqsimlanishi Bolsman taqsimot qonunida qanday aks ettirilgan?

### Masalalar

**17-masala.** Pastki qismi berk bo'lgan vertikal nayda  $h_1=30$  sm balandlikdagi simob ustuni bilan o'ralgan havo ustuni bor. Temperatura  $t_1=27^\circ\text{C}$  dan  $t_2=-23^\circ\text{C}$  gacha o'zgarganda simob ustuni qancha  $\Delta h$  pastga tushadi?

**Berilgan:**  $h_1=30 \text{ sm} = 0,3 \text{ m}$ ,  $t_1=27^\circ\text{C}$   $T_1=(273+27) \text{ K}=300 \text{ K}$   
 $t_2=-23^\circ\text{C}$   $T_2=(273-23) \text{ K}=250 \text{ K}$

$\Delta h \sim ?$

**Yechish.** Agar naydagи havo ustunining  $T_1$  temperaturadagi hajmi  $V_1$  va  $T_2$  temperaturadagi hajmi esa  $V_2$  bo'lsa, Gey-Lyussak qonuniga ko'ra, quyidagi

munosabatni yozish mumkin.

$$\frac{V_1}{T_1} = \frac{V_2}{T_2}$$

bunda,  $V_1=Sh_1$  va  $V_2=Sh_2$  ( $S$ - nayning ko'ndalang kesim yuzi) bo'lganidan

$\frac{Sh_1}{T_1} = \frac{Sh_2}{T_2}$  yoki  $h_2 = h_1 \frac{T_2}{T_1}$  bo'ladi. Bundan naydagi simob ustunining pasayishi quyidagiga teng bo'ladi:

$$\Delta h = h_1 - h_2 = h_1 - h_1 \frac{T_2}{T_1} = h_1 \left(1 - \frac{T_2}{T_1}\right) = h_1 \frac{T_1 - T_2}{T_1}$$

berilganlarning son qiymatlari o'rniga qo'yib hisoblansa, quyidagi kelib chiqadi:

$$\Delta h = h_1 \frac{T_1 - T_2}{T_1} = 0,3 \frac{300 - 250}{300} = 0,05m = 5sm.$$

**18-masala.** Gazni o'zgarmas hajmi ( $V_1=const$ ) da  $\Delta T = 30K$  ga isitilganda uning bosimi uch marta ortgan bo'lsa, gazning boshlang'ich  $T_1$  va oxirgi  $T_2$  temperaturalari topilsin.

Berilgan:  $\Delta T = 30K$ ,  $\frac{p_1}{p_2} = 3$

$$\overline{T_1 \sim ? \quad T_2 \sim ?}$$

Yechish. Sharl qonuniga muvofiq o'zgarmas hajmda gazning bosimi absolut temperaturaga proporsional, ya'ni:

$$\frac{p_1}{T_1} = \frac{p_2}{T_2}$$

bunda,  $T_2 = T_1 + \Delta T = T_1 \left(1 + \frac{\Delta T}{T_1}\right)$  bo'lgani uchun  $\frac{p_1}{T_1} = \frac{p_2}{T_1 \left(1 + \frac{\Delta T}{T_1}\right)}$ ,

bundan gazning boshlang'ich  $T_1$ -temperaturasi quyidagiga teng bo'ladi:

$$T_1 = \frac{\Delta T}{\frac{p_2}{p_1} + 1} = \frac{30}{3 - 1} = 15K$$

u vaqtda gazning oxirgi  $T_2$  temperaturasini osongina aniqlash mumkin:

$$T_2 = T_1 + \Delta T = 15 + 30 = 45K.$$

**19-masala.**  $V=10l$  hajmli ballonda  $p_1=1MPa$  bosim ostida  $T_1=300K$  haroratda geliy bor. Ballondagi  $m=10g$  geliy sarflangandan keyin ballondagi harorat  $T_2=290K$  gacha pasaydi. Ballonda qolgan geliyning bosimi  $p_2$  aniqlansin.

$$\text{Berilgan: } V=10l = 10 \cdot 10^{-3} m^3 = 10^{-2} m^3, p_1=1\text{MPa} = 10^6 \text{Pa}, \\ T_1=300\text{K} = 300\text{K}, m=10\text{g} = 10^{-2}\text{kg} \\ \underline{T_2=290\text{K} = 290\text{K}} \\ p_2=?$$

**Yechish.** Masala yechish uchun ikki marta gazning boshlang'ich va oxirgi holatlari uchun Klapeyron-Mendeleyev formulasidan foydalanamiz. Boshlang'ich holat uchun tenglama

$$p_1V = \frac{m_1}{M} RT_1 \quad (1)$$

ko'rinishga ega, oxirgi holat uchun esa

$$p_2V = \frac{m_2}{M} RT_2 \quad (2)$$

bunda,  $m_1$  va  $m_2$  boshlang'ich va oxirgi holatlardagi geliy massasi, (1) va (2) tenglamalardan  $m_1$  va  $m_2$  massalarini topamiz:

$$m_1 = \frac{Mp_1V}{RT_1} \quad (3)$$

$$m_2 = \frac{Mp_2V}{RT_2} \quad (4)$$

(3) dan (4) ni ayirsak,

$$m = m_1 - m_2 = \frac{Mp_1V}{RT_1} - \frac{Mp_2V}{RT_2}$$

bundan  $p_2$  ni topamiz

$$p_2 = \frac{RT_2}{MV} \left( \frac{Mp_1V}{RT_1} - m \right) = \frac{T_2}{T_1} p_1 - \frac{m}{M} \frac{RT_2}{V} \quad (5)$$

(5) formuladagi geliyning molar massasi  $M$  dan boshqa barcha kattaliklar ma'lum.

$$M = 4 \cdot 10^{-3} \text{kg/mol}$$

kattaliklarning qiymatlarini (5) ga qo'yib natijani olamiz:

$$p_2 = \frac{290}{300} \cdot 10^6 - \frac{10^{-2} \cdot 8,31 \cdot 290}{4 \cdot 10^{-3} \cdot 10^{-2}} = 3,64 \cdot 10^5 = 364 \text{kPa.}$$

**20-masala.** Sig'imi  $V=6,9l$  bo'lgan ballonda  $m=2,3\text{g}$  massali azot bor. Qizdirishda molekulalarning bir qismi atomlarga dissotsilanadi. Dissotsilanish koefitsiyenti  $\alpha = 0,2$  1) qizdirishdan avvalgi azot molekulalarining umumiyligi  $N_1$  va azot molekulalarining konsentratsiyasi  $n_1 : 2$ ) qizdirilgandan keyin azot molekulalarining konsentratsiyasi  $n_2$  va atomlarning  $n_3$  konsentratsiyalari aniqlansin.

**Berilgan:**

$$V = 6,9l = 6,9 \cdot 10^{-3} m^3, m = 2,3\text{g} = 2,3 \cdot 10^{-3} \text{kg}, \alpha = 0,2;$$

$$\underline{n_1 \sim ? \ n_2 \sim ? \ n_3 \sim ?}$$

**Yechish.** Ta'rifga binoan, gaz zarralarining konsentratsiyasi zarralar sonini gaz egallagan idish sig'imi nisbatiga tengdir.

$$n = \frac{N}{V} \quad (1)$$

a) qizdirishdan avvalgi gaz molekulalari soni  $N_1$  ni topamiz:

$$N_1 = \nu N_A = \frac{m}{M} N_A = \frac{m}{KM_G} N_A \quad (2)$$

Bunda,  $\nu$  – azotning modda miqdori;  $N_A$  – Avagadro doimiysi;  $M$  – azotning molar massasi;  $M_G$  – azotning nisbiy molar massasi;  $K=10^3$  kg/mol kattaliklarning qiymatlarini (2) ga qo'yjak,

$$N_1 = \frac{2,3 \cdot 10^{-3}}{10^{-3} \cdot 8} \cdot 6,02 \cdot 10^{23} = 4,94 \cdot 10^{23} \text{ dona molekula}$$

$n_1$  konsentratsiyani (1) dan topamiz:

$$n_1 = \frac{N_1}{V} = \frac{4,94 \cdot 10^{23}}{6,9 \cdot 10^{-3}} = 7,16 \cdot 10^{25} \text{ m}^{-3}$$

b) qizdirilgandan keyingi konsentratsiya  $n_2 = \frac{N_1(1-\alpha)}{V}$  (3) munosabatdan

topiladi. Bunda  $N_2$  atomlarga ajralmagan molekulalarning soni. Kattaliklarning qiymatlarini (3) ga qo'yib quyidagini olamiz:

$$n_2 = \frac{4,94 \cdot 10^{23} (1 - 0,2)}{6,9 \cdot 10^{-3}} \text{ m}^{-3} = 5,73 \cdot 10^{23} \text{ m}^{-3}.$$

Azot qizdirilgandan keyin atomlarning konsentratsiyasi

$$n_3 = \frac{2N_1\alpha}{V} \quad (4)$$

(4) formuladagi 2 soni har bir molekula ikkitadan atomga parchalanishini ifodalaydi. (4) ga kattaliklarni qiymatlarini qo'yib

$$n_3 = \frac{2 \cdot 4,94 \cdot 10^{23} \cdot (1 - 0,2)}{6,9 \cdot 10^{-3}} \text{ m}^{-3} = 0,286 \cdot 10^{26} \text{ m}^{-3} = 2,86 \cdot 10^{25} \text{ m}^{-3}$$

**21-masala.** Idishda modda miqdori  $V = 1,2$  mol bo'lgan gaz saqlanadi. Bu gazni ideal gaz sifatida qarab, tezliklari  $\nu$  eng katta ehtimoliy tezlik  $u_E$  ning 0,001 qismidan kam bo'lgan molekulalar soni  $\Delta N$  aniqlansin.

Berilgan:  $\nu = 1,2$  mol

$$\frac{\frac{\nu_{\max}}{u_e}}{\Delta N \sim ?} = 0,001$$

**Yechish.** Masalani yechish uchun molekulalarning nisbiy tezliklar ( $u = \frac{v}{v_0}$ )

bo'yicha taqsimotidan foydalanish qulay. Nisbiy tezliklari  $u$  dan  $u + \Delta u$  gacha oraliqda joylashgan molekulalarning soni

$$dN(u) = \frac{4N}{\sqrt{\pi}} e^{-u^2} u^2 du \quad (1)$$

formula bilan aniqlanadi; bu yerda,  $N$  – molekulalarning to'liq soni.

Masalaning shartiga ko'ra, bizni qiziqtiradigan molekulalarning maksimal tezligi  $v_{max} = 0,001v_e$ , bundan  $U_{max} = \frac{v_{max}}{v_e} = 0,001$ .  $u \ll 1$  ning bunday qiymatlari uchun (1) ifodada  $e^{-u^2} \approx 1 - u^2$  deb olamiz.  $u = (0,001)^2 = 10^{-6}$  qiymatni e'tiborga olmay, (1) ifodani

$$dN(u) = \frac{dN}{\sqrt{\pi}} u^2 du \quad (2)$$

ko'rinishda yozamiz. Bu ifodani  $u$  bo'yicha 0 dan  $u_{max}$  gacha integrallab, quyidagini olamiz:

$$\Delta N = \frac{4N}{\sqrt{\pi}} \int_0^{max} u^2 du = \frac{4N}{\sqrt{\pi}} \left| \frac{u^3}{3} \right|_0^{max} \text{ yoki } \Delta N = \frac{4N}{3\sqrt{\pi}} u_{max}^3 \quad (3)$$

(3) molekulalar soni  $N$  ni modda miqdori va Avagadro doimisi orqali ifodalab, hisoblash formulasini topamiz:

$$\Delta N = \frac{4N_A}{3\sqrt{\pi}} u_{max}^3 \quad (4)$$

$\nu, N_A$  – kattaliklarning qiymatlarini (4) ga qo'yib hisoblasak:

$$\Delta N = \frac{4 \cdot 1,2 \cdot 6,02 \cdot 10^{23}}{3 \cdot 1,77} (10^{-3}) = 5,44 \cdot 10^{14} \text{ ta molekula.}$$

**22-masala.**  $m = 10^{-18}$  g massali chang zarrachasi havoda muallaq turibdi. Havo qatlamining chang zarrachalarining konsentratsiyasi 1% dan ko'pga farq qilmaydigan qalinligi aniqlansin. Butun hajmda havoning harorati T bir xil va 300 K ga teng.

Berilgan:  $T=300K, m=10^{-18}, g=10^{-21}kg$

$$\frac{\Delta n}{n} = 0,01$$

$\Delta z \sim ?$

**Yechish.** Chang zarrachalarining muvozanatli taqsimotida ularning konetratsiyasi faqatgina tik yo'nalgan o'q bilan mos keluvchi f ning koordinatasiga bog'liq bo'ladi. Bu holda chang zarrachalarining taqsimotiga

Bolsman formulasini qo'llash mumkin:

$$N = n_0 e^{\frac{U}{kT}} \quad (1)$$

Bir jinsli maydonda  $U=mgz$  bo'lganligidan

$$n = n_0 e^{\frac{-mgz}{(kT)}} \quad (2)$$

Masalaning shartiga ko'ra, konsentratsiyaning  $\Delta h$  balandlik bo'yicha o'zgarishi  $n$  ga nisbatan kam  $\left(\frac{\Delta h}{n} = 0,01\right)$ , shuning uchun ham konsentratsiyaning o'zgarishi  $\Delta n$  ni uncha katta bo'limgan xatolik bilan differensial  $dn$  ga almashtirish mumkin.

(2) ifodani  $z$  bo'yicha differensiallab, quyidagini olamiz.

$$dn = -n_0 \frac{mg}{kT} e^{\frac{-mgz}{(kT)}} \cdot dz$$

$$N_0 e^{\frac{-mgz}{(kT)}} = n \text{ ekanligidan } dn = -\frac{mg}{kT} ndz.$$

Bundan bizni qiziqtiruvchi koordinata o'zgarishini topamiz:

$$dz = -\frac{kT}{mg} \frac{dn}{n}$$

$dz, dn$  larni  $\Delta z, \Delta n$  chekli orttirmalar bilan almashtirsak,

$$\Delta z = \frac{kT}{mg} \cdot \frac{\Delta n}{n} = 0,01, K = 1,38 \cdot 10^{-23} J/K = 9,81 m/s^2, T = 300 K$$

$$\Delta z = 4,23 mm.$$

## VII bob. TERMODINAMIKA ASOSLARI

### 7.1. Ichki energiya

Biror moddaning bir butun energiyasi deganda, shu moddaning kinetik energiyasi bilan moddaning tashqi kuchlar maydonidagi potensial energiyasi hamda shu moddani tashkil etgan mikrozarrachalar energiyasi, ya'ni moddaning ichki energiyalarining yig'indisi tushuniladi.

$$W = W_K + W_p + U \quad (7.1)$$

$U$  – ichki energiya tushunchasi molekulalar issiqlik harakatining kinetik energiyasini, molekulalar orasidagi o'zaro ta'sir potensial energiyasini va molekulalar ichidagi boshqa energiyalar (atomning molekulalardagi tebranma harakat energiyasi, atom va ionlarning elektron sathlari energiyasi va boshqalar) ni o'z ichiga oladi.

Ichki energiya sistema holatini belgilaydi. Agar sistema holatining o'zgarishi holat parametrлари  $R, V, T$  bilan ifodalansa, u vaqtida ichki energiya shu holat parametrларининг funksiyasi bo'ladi, ya'ni  $U=f(R, V, T)$ .

Ichki energiya holatning bir qiymatli funksiyasi hisoblanadi. Bu shu narsani anglatadiki, sistemaning aniq bir tayinli holatiga ichki energiyaning aniq bir qiymati mos keladi. Sistema bir holatdan boshqa holatga o'tganda uning ichki energiyasining o'zgarishi ichki energiyaning bu holatlaridagi qiyamtari ayirmasiga teng bo'lib, bir holatdan boshqa holatga o'tiladigan yo'l shakliga bog'liq emas. Shuning uchun ichki energiyaning hisob boshini tanlash ahamiyatlidir. Ko'pincha  $T=0$  da ichki energiya nolga teng deb olinadi.

Ideal gaz ichki energiyasi ta'rifiga binoan ichki energiya faqat molekulalar kinetik energiyalarining yig'indisiga teng.  $V$  – hajmdagi gaz molekulalarining soni  $N$  ga teng bo'lsa, gazning ichki energiyasi

$$U = W_K N = \frac{i}{2} kT \frac{m}{\mu} N_A = \frac{i}{2} \frac{m}{\mu} RT. \quad (7.2)$$

Bir mol gaz uchun ushbu ifoda

$$U = \frac{i}{2} RT \quad (7.3)$$

Bu ifodada  $i$  – erkinlik darajalari soni. Bir atomli gaz uchun  $i=3$  ga ikki atomli gaz uchun  $i=5$  ga uch yoki ko'p atomli bo'lsa,  $i=6$  ga teng. (7.2) munosabat *ixtiyoriy m masalli ideal gazning ichki energiyasini ifodalaydi*.

Real gazning molekulalari bir-biri bilan o'zaro ta'sirlashadi, shuning uchun potensial energiyaga ega. Binobarin, real gazning ichki energiyasi molekulalar issiqlik harakatining kinetik energiyasi bilan o'zaro potensial energiyalarining yig'indisiga teng:

$$U = W_K + W_p \quad (7.4)$$

Molekulalarning o'zaro ta'sir potensial energiyasi molekulalar orasidagi masofaga, demak, gaz egallagan hajmga bog'liq bo'ldi. Shuning uchun real gazlar ichki energiyasi faqat haroratgagina emas, balki gaz egallagan hajmga ham bog'liq bo'ladi.

Real gaz molekulalari ilgarilama harakatdan tashqari, aylanma va tebranma

harakat qilishi mumkin. Shu harakat tufayli molekulalar shakliga bog'liq bo'lgan ma'lum energiya mavjud bo'ladi. Molekulalar shakli molekula tarkibiga kiruvchi atomlar soniga va ularning joylanishiga ham bog'liq.

Shunday qilib, real gazning ichki energiyasi uning haroratiga, hajmiga va molekulalar strukturasiga bog'liq bo'ladi.

$$U_{p.e.} = \frac{1}{2} NkT + W_{ayl} + W_p + W_{teb} \quad (7.5)$$

### 7.2. Issiqlik miqdori. Issiqlik sig'imi

Issiqliknin ichki energiyaning sifat belgilarni anglatuvchi kattalik deyish mumkin, chunki issiqlik orqali berilgan moddaning harorati yuqori yoki past ekanligi to'g'risida ma'lumot olamiz. Issiqliknin kontakt yoki nurlanish tufayli uzatish mumkin. Birinchidan, haroratlar har xil bo'lgan moddalar o'zaro bir-biriga tekizilsa, ma'lum vaqtidan keyin har ikki moddaning haroratlari sekin-asta bir xil qiymatga o'zgarishini kuzatish mumkin. Ikkinchidan, Quyosh nurlari ta'sirida atrof-muhit isiydi.

*Bir-biriga tekizish yoki nurlanish orqali bir sistemadan ikkinchi sistemaga berilgan yoki undan olingan energiya issiqlik miqdori deyladi.*

Issiqlik miqdori ham energiya birliklarida o'chanadi. Issiqlik miqdori **joulda** o'chanadi. Issiqlik miqdori ham, xuddi bajarilgan ish kabi, holat funksiyasidir. U faqat moddaning boshlang'ich va oxirgi holatlari bilan emas, balki modda holatlarining o'zgarishi amalga oshgan jarayon bilan ham aniqlanadi.

Moddaning **issiqlik sig'imi**, modda haroratini bir kelvinga oshirish uchun unga berilgan issiqlik miqdori bilan xarakterlanadi. Gazlarning issilik sig'imi o'rganishda solishtirma issiqlik sig'imi va molar issiqlik sig'imi tushunchalaridan foydalananamiz.

a)  $1 \text{ kg}$  gaz haroratini  $1 \text{ K}$  ga oshirish uchun kerak bo'lgan issiqlik miqdori bilan o'chanadigan kattalikka **solishtirma issiqlik sig'imi** deb ataladi. Solishtirma issiqlik sig'imi kichik s harfi bilan belgilanadi va  $J/kg \text{ K}$  da o'chanadi.

b)  $1 \text{ mol}$  gaz haroratini  $1 \text{ K}$  ga oshirish uchun kerak bo'lgan issiqlik miqdori bilan o'chanadigan kattalikka **molar issiqlik sig'imi** deb ataladi. Molar issiqlik sig'imi katta  $S$  harfi bilan belgilanadi va  $J/mol \text{ K}$  da o'chanadi. Bu ikki issiqlik sig'imirasida quyidagicha bog'lanish bor. Molar massa  $\mu \text{ kg/mol}$  ekanligini eslasak

$$C = \mu c \quad \text{yoki} \quad c = \frac{1}{\mu} C \quad (7.6)$$

munosabat hosil bo'ladi. Ixtiyoriy  $m$  massali gazning issiqlik sig'imi esa

$$mc = \frac{m}{\mu} C \text{ ga teng bo'ladi.} \quad \text{O'zgarmas hajmdagi ideal gazning molar}$$

issiqlik sig'imi deganda,  $1 \text{ mol}$  ideal gaz haroratining  $1 \text{ K}$  ga o'zgarishiga mos keladigan ichki energiya o'zgarishi tushuniladi. Odatda, o'zgarmas hajmdagi gazning molar issiqlik sig'imi  $S_v$  bilan belgilanadi

$$C_V = \frac{dU_v}{dT} = \frac{d}{dT} \left( \frac{i}{2} RT \right) = \frac{i}{2} R \quad (7.7)$$

Gazning o'zgarmas bosimda molar issiqlik sig'i imini

$$C_p = \frac{\delta Q}{dT} = \frac{dU_m}{dT} + \frac{\delta A}{dT}$$

yoki

$$C_p = C_V + \frac{pdV_m}{dt} \quad (7.8)$$

shaklda yozish mumkin.  $1 \text{ mol}$  gaz uchun yozilgan holat tenglamasi ( $RV_m = RT$ ) ga differensiayllash amalini qo'llab  $RdV_m = RdT$  tenglikni hosil qilamiz. Uni (7.8) ga qo'syak

$$C_p = C_V + R = \frac{i+2}{2} R \quad (7.9)$$

hosil bo'ladi.

(7.7) ning (7.9) ga nisbatini olsak va  $\gamma$  bilan belgilasak,

$$\gamma = \frac{C_p}{C_V} = \frac{i+2}{i} \quad (7.10)$$

hosil bo'ladi. Bir atomli gaz uchun  $i=3$ ,  $\gamma=5/3=1,67$ ; ikki atomli gaz uchun  $i=5$ ,  $\gamma=7/5=1,4$ ; ko'p atomli gaz uchun  $i=6$ ,  $\gamma=8/6=1,33$ .

### 7.3. Termodinamikaning birinchi bosh qonuni va uni gaz izojarayonlariga tatbig'i

Issiqlik, ish va energiya orasidagi munosabatni issiqlikning mexanik harakatga va ishga aylanish jarayoniga bog'lab o'rganadigan fizikaning bo'limiga **termodinamika** deyiladi. Demak, tabiat hodisalariga energiyaning saqlanish va bir turdan ikkinchi turga o'tish qonuni asosida qarash termodinamikaning mazmunini tashkil qiladi.

Termodinamika o'zining ikki fundamental qonuniga tayanadi. Termodinamikaning birinchi bosh qonuni issiqlik hodisalariga energiyaning saqlanish va bir turdan ikkinchi turga aylanish qonuning tatbig'idan iboratdir. Silindrning qo'zg'oluvchan porsheni ostida turgan gazni qizdiraylik. Gazga berilgan  $Q$  issiqlik miqdori uning ichki energiyasini  $\Delta U$  ortirishga va porshenni  $\Delta h$  balandlikka ko'tarishda (ya'ni  $\Delta V$  hajmga o'zgarishda)  $A$  ish bajarishga sarflanadi.

Ish energiyaning bir turidan boshqa turiga aylanish o'lchovi bo'lganligi uchun  $A$  ish sistema porshenning ko'tarilganligi natijasida olgan mexanik energiyaga teng. Energiyaning saqlanish qonuniga ko'ra

$$Q = \Delta U + A \quad (7.11)$$

Bu bog'lanish **termodinamika birinchi bosh qonunining matematik ifodasi bo'lib** quyidagicha ta'riflanadi:

*Sistemaga atrofdagi jismlar bergen issiqlik miqdori sistema ichki energiyasini o'zgarishiga va sistemaning tashqi jismlar ustida ish bajarishga sarflanadi.*

Agar sitema o'zining dastlabki holatiga har doim qaytsa, uning ichki energiyasining o'zgarishi  $\Delta U=0$  bo'ladi. U holda termodinamikaning birinchi asosiy qonuni quyidagicha yoziladi:

$$A = Q$$

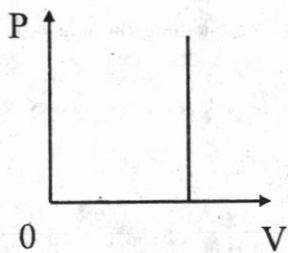
Bundan o'zi olgan energiyadan ko'proq ish bajara oladigan davriy harakatlanuvchi sistema (*birinchi tur abadiy dvigatel*) yaratish mumkin emasligi kelib chiqadi. Bu xulosalardan foydalanib, termodinamikaning birinchi bosh qonunini yana shunday ta'riflash mumkin: *birinchi tur abadiy dvigatel qurish mumkin emas.*

Termodinamikning birinchi bosh qonunini differensial ko'rinishi

$$dQ = dU + dA \quad (7.12)$$

ifodaga ega bo'ladi.

Endi termodinamika birinchi bosh qonuni ideal gazdagiz izojarayonlarga tatbiq qilaylik.



7.1-rasm.

1) Izoxorik jarayon ( $V=const$ ) hajm o'zgarmaganligi uchun izoxorik jarayonda ish bajarilmaydi, ya'ni  $A=0$ . Natijada termodinamikaning birinchi bosh qonunining ifodasi izoxorik jarayon uchun

$$Q=\Delta U \quad (7.13)$$

ko'rinishda yoziladi.

Izoxorik jarayonning ( $P,V$ ) diagrammadagi grafigi ordinata o'qiga parallel to'g'ri chiziqdandan iborat bo'ladi (7.1-rasm). Izoxorik jarayonda solishtirma issiqlik sig'im:

$$C_V = dU_M / dT$$

bunda va (7.6) ni hisobga olib, quyidagini hosil qilamiz:

$$dU_M = \mu C_V dT \quad (7.14)$$

bunda,  $S_V$  – izoxorik molar issiqlik sig'im.

Demak, gazning ichki energiyasi o'zgarishi uning harorati o'zgarishi  $dT$  ga to'g'ri proporsional ekan.

## 2) Izobarik jarayon ( $P = const$ )

Izobarik jarayonning ( $P,V$ ) diagrammadagi grafigi absissa o'qiga parallel to'g'ri chiziqdandan iborat bo'ladi (7.2-rasm). Bu jarayonda hajm  $V_1$  dan  $V_2$  gacha izobarik kengayganda bajarilgan ishning qiymati  $A = R(V_2 - V_1)$  to'g'ri to'rt burchakning yuziga teng bo'ladi. Elementar hajmlarda bajarilgan ish esa  $dA = RdV$  shaklida yoziladi.

Bundan foydalanib, 1 mol gaz uchun termodinamikaning birinchi bosh qonunini quyidagicha yozishimiz mumkin:

$$dQ = C_v dT + Rdv \quad (7.15)$$

izobarik molar issiqlik sig'im (7.8) ni eslasak

$$C_p = \frac{dQ}{dT};$$

hosil qilamiz. Buni (7.15) qo'yib

$$S_p dT = S_v dT + Rdv \quad (7.16)$$

munosabat olinadi.

*1 mol* gaz uchun olingan holat tenglamasidan defferensial olsak,  $RdV=RdT$  hosil bo'ladi. Buni (7.16) ga qo'yib quyidagi munosabatni yozamiz.

$$S_v dT = S_v dT + RdT$$

yoki

$$S_r = S_v + R \quad (7.17)$$

Bu ifoda Robert - Mayer tenglamasi deyiladi va  $S_r$  ning  $S_v$  bilan farqi  $R$  ga teng ekanligini ko'rsatadi. Demak, *1 mol* gazni  $1K$  ga isitganda, bosim o'zgarmas bo'lган holda sarf qilingan issiqlik miqdorining farqi bajarilgan ish  $RdV$  ga teng bo'lib, uning qiymati  $R$  ga teng.

3). **Izotermik jarayon ( $T=const$ )**. Ideal gazning ichki energiyasi o'zgarmaydi. Demak,  $dT=0$   $dU=\mu C_v$   $dT=0$  bo'ladi. U holda termodinamikaning birinchi bosh qonuni

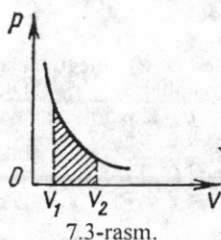
$$dA = dQ = RdV \quad (7.18)$$

ko'rinishida yoziladi. Klapeyron-Mendeleyev tenglamasidan foydalaniб,

$$P = \frac{m RT}{\mu V}$$

munosabatni hosil qilamiz. Uni ideal gazning hajmi  $V_1$  va  $V_2$  gacha o'zgarganda bajarilgan ishni hisoblash formulasiga qo'syak,

$$A = \int_{V_1}^{V_2} pdV = \frac{m}{\mu} RT \int_{V_1}^{V_2} \frac{dV}{V} = \frac{m}{\mu} RT \ln \frac{V_2}{V_1} \quad (7.19)$$



Bu ifodadagi  $\frac{m}{\mu} RT$  izotermik jarayon uchun o'zgarmas kattalikdir.

Izotermik jarayonning ( $P, V$ ) diagrammadagi grafigi giperbolik egri chiziqdır (7.3-rasm).

4. **Adiabatik jarayon ( $dQ=0$ )**. Gaz tashqaridan hech qanday issiqlik miqdori olmaydi va uni tashqariga bermaydi.

Gazlarda adiabatik jarayon juda tez o'tadi, shuning uchun issiqlik almashinuvi deyarli amalga oshmaydi. Termodinamikaning birinchi bosh qonuni quyidagi ko'rinishda yoziladi:

$$dA = -dU \quad (7.20)$$

Demak, adiabatik jarayon tashqi jismlar ustida bajarilgan ish ichki energiyaning kamayishi hisobiga bajariladi. Agar  $dA > 0$  bo'lsa,  $dU < 0$  va aksincha bo'ladi. (7.15) formulada  $dU=C_v dT$  ekanligini e'tiborga olib (7.20) ni quyidagicha ko'rinishda yozish mumkin

$$P \cdot dV = -C_v dT \quad (7.21)$$

Bundan

$$dT = -\frac{1}{C_v} P dV \quad (7.22)$$

munosabatni hosil qilamiz.

Ideal gaz holat tenglamasi ( $RV_m = RT$ ) ga differensiallash amalini qo'llaylik

$$PdV_m + V_m dP = RdT$$

Bu yerdagи  $dT$  ni оrniga (7.22) dagi qiymatini qo'ysak,

$$PdV_m + V_m dP = -\frac{R}{C_V} PdV_m$$

yoki

$$\left(1 + \frac{R}{C_V}\right) PdV_m + V_m dP = 0 \quad (7.23)$$

ifodani hosil qilamiz. Bundagi

$$1 + \frac{R}{C_V} = \frac{C_V + R}{C_V} = \gamma$$

ekanligini ((7.10) qarang) e'tiborga olsak, (7.23) ni quyidagicha yozamiz:

$$\gamma PdV_m + V_m dP = 0$$

Bu ifodani  $PdV_m$  ga hadlab bo'lsak

$$\gamma \frac{dV_m}{V_m} + \frac{dP}{P} = 0$$

hosil bo'ladi. Oxirgi munosabat  $\ln PV_m^\gamma$  funksiyaning differensialidir. Shuning uchun

$$d(\ln PV_m^\gamma) = 0$$

ko'rinishda yozishimiz mumkin. Bu tenglikni

$$PV_m^\gamma = const$$

(7.24)

shaklida ham yozish mumkin.

(7.24) tenglama Puasson tenglamasi deb ataladi.

Bunda  $\gamma = \frac{C_p}{C_v}$  adiabata ko'rsatgichi bo'lib, adiabatik jarayon uchun  $\gamma > 1$ ,

izobarik jarayon uchun esa  $\gamma = 1$ . (7.24) tenglamani

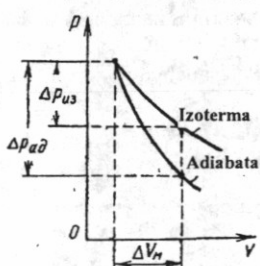
$$\begin{aligned} TV^{\gamma-1} &= const \\ TP^{\frac{1-\gamma}{\gamma}} &= const \end{aligned} \quad (7.25)$$

ko'rinishida ham yozish mumkin.

Adiabatik jarayonning ( $R, V$ ) diagrammadagi grafigi 7.4-rasmda tasvirlangan. Grafikdan ko'rindiki, adiabata izotermadan tikroq bo'lar ekan. Gaz adiabatik kengayganda uning harorati  $T_1$  dan  $T_2$  gacha o'zgarsa, bajargan ishi

$$A = S_v(T_1 - T_2) \quad (7.26)$$

teng bo'ladi.



7.4-rasm.

#### 7.4. Issiqlik sig'imating klassik nazariyasi va uning chegaralanganligi

Gaz molekulasining *erkinlik darajasi* deganda, shu gaz holatini to'la aniqlovchi va bir-biriga bog'liq bo'lidan *koordinatalar soni* tushuniladi. Agar molekula bir to'g'ri chiziq bo'ylab harakatlanayotgan bo'lsa, uning vaziyati bitta koordinata bilan aniqlanadi, demak ( $i=1$ ) erkinlik darajalar soni birga teng. Molekula tekislikda harakatlanayotgan bo'lsa, uning holatini ikkita koordinata bilan aniqlash mumkin, demak  $i=2$ . Fazoda molekula vaziyati uchta koordinata bilan aniqlanadi,  $i=3$  ga teng. Gaz ikki atomli bo'lgan holda molekulaning erkinlik darajasi ortadi ( $i=5$ ). Molekulalar 3 va undan ortiq atomlardan iborat bo'lsa,  $i=6$  bo'ladi. Umumiy erkinlik darajasi nechaga teng bo'lishidan qat'i nazar, uning uchtasi ilgarilama harakatga mos keladi.

Klassik nazariyaga asosan molekulaning to'la mexanik energiyasi erkinlik darajalari bo'yicha bir tekis taqsimlanadi va bitta erkinlik darajasiga to'g'ri kelgan

energiya  $\frac{1}{2} kT$  ga teng. U holda (7.7) va (7.9) formulalarga asoslanib molekulalari bitta, ikkita va ko'p atomdan iborat bo'lgan ideal gazning o'zgarmas hajmdagi molar issiqlik sig'imi ( $S_v$ ) va o'zgarmas bosimdagи molar issiqlik sig'imi ( $S_r$ ) uchun quyidagi hisoblashlarni bajaraylik  $i=3$  bir atomli gaz molekulasi uchun

$$C_V = \frac{i}{2} R = \frac{3}{2} R = \frac{3}{2} 8,31 \text{ J/mol K} = 12,47 \text{ J/mol}$$

$$C_p = \frac{i+2}{2} R = \frac{5}{2} 8,31 \text{ J/mol K} = 20,78 \text{ J/mol K} \quad (7.27)$$

$i=5$  ikki atomli gaz molekulasi uchun

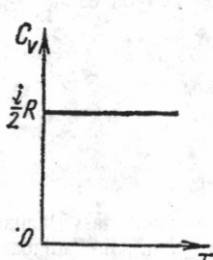
$$C_V = \frac{i}{2} R = \frac{5}{2} R = 20,78 \text{ J/mol K};$$

$$C_p = \frac{i+2}{2} R = \frac{7}{2} R = 29,09 \text{ J/mol K} \quad (7.28)$$

$i=6$  uch va undan ortiq atomlardan tashkil topgan molekulalar uchun

$$C_V = \frac{i}{2} R = \frac{6}{2} R = 24,94 \text{ J/mol K};$$

$$C_p = \frac{i+2}{2} R = \frac{8}{2} R = 33,25 \text{ J/mol K} \quad (7.29)$$



7.5-rasm.

Bu topilgan natijalarni ba'zi gazlar uchun tajribada topilgan molar issiqlik sig'imirli ( $S_v$  va  $S_r$ ) bilan solishtiraylik. Bir atomli gazlar geliy uchun  $S_v = 12,48$ ,  $S_r = 20,94$  va argon uchun  $S_v = 12,48$ ,  $S_r = 21,23$  bu tajriba natijalari klassik nazariya asosida hisoblangan (7.26) ifodaga juda yaxshi mos kelganligini ko'ramiz. Molekula ikki atomdan

tashkil topgan  $N_2$ ,  $N_2$  gazlar uchun  $C_V^{H_2} = 20,39$ ,  $C_P^{H_2} = 28,76$ ;  $C_V^{N_2} = 20,77$ ,  $S_r = 28,64$ ] ham tajriba va nazariya natijalari orasida yetarlichcha moslik (7.27) qarang mavjudligiga qanoat hosil qilamiz. Lekin molekulalari uch va undan ortiq atomdan tashkil topgan gazlar uchun tajriba natijalari  $C_V^{H_2O} = 27,84$ ,  $C_P^{H_2O} = 36,22$ ;

$$C_V^{CH_4} = 27,26, C_P^{CH_4} = 35,63 \quad \text{suv}$$

bug'lari va metan gazlari uchun nazariy hisoblarga ((7.28) qarang) mos kelmasligini ko'rib turibmiz.

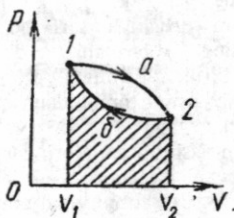
Endi issiqlik sig'imning haroratga bog'liqligini tekshiraylik. Klassik nazariyaga asosan issiqlik sig'im haroratga bog'liq emas (7.5-rasm).

Tajriba natijalari esa issiqlik sig'imning haroratga bog'liq ekanligini ko'rsatdi (7.6-rasm). Rasmagi grafikda molekulalari ikki atomdan iborat bo'lgan gazlar uchun o'zgarmas hajmdagi molar issiqlik sig'imning haroratga bog'liqligi tasvirlangan. Grafikdan shu narsa ko'rindaniki,  $S_v$  ning qiymati faqat ayrim harorat oraliqlaridagina o'zgarmaydi va ular  $i$  ning turli qiymatlariغا mos keladi. Past va yuqori haroratlarda amaliy qiymatlarning nazariy qiymatlardan farqi yetarli drajada kattadir. Amalda harorat ko'tarilsa,  $S_v$  oshadi, harorat pasaysa  $S_v$  kamayadi. Bulardan ko'rindaniki, tajriba yo'li bilan olingan natijalarni nazariy qiymatlardan farqini klassik nazariya tushuntirishga ojizdir. Klassik nazariya molekula va atomlarning aylanma va tebranma harakat energiyalari harorat o'zgarishiga mos bo'lgan  $kT$  energiyaning *uzlksiz* qiymatlarini qabul qiladi deb tushintiradi. Kvant mexanikasida esa atom sistemalar energiyasi *diskret* (uzlukli) qiymatlarga ega bo'la oladi deb yoki boshqacha aytganda, atom sistemalar energiyasining o'zgarishi *sakrashsimon tarzda* amalgal oshadi deb o'rganadi.

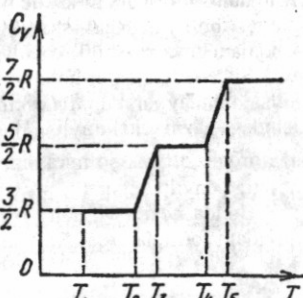
Shunday qilib, gaz issiqlik sig'imini tushuntirishdagi ba'zi qiyinchiliklar klassik nazariyaning chegaralanganligini ko'rsatadi. Bu esa molekulalarning harakati kvant mexanikasidagina to'la tushuntirilish mumkinligini ifodalarydi.

### 7.5. Qaytar va qaytmas jarayonlar

Berk sistemada kechadigan barcha jarayonlarni ikki xil, qaytar va qaytmas jarayonlarga ajratish mumkin. Agar jism bir qancha holatlar orqali bir holatdan ikkinchi holatga o'tganda va ya'ni o'zining dastlabki holatiga to'la qaytganda atrof-muhitda hech qanday o'zgarishlar yuz bermasa, bunday jarayonlar **qaytar jarayonlar** deyiladi. Aksincha, jism boshlang'ich holatga qaytgandan so'ng atrofdagi jismarda qandaydir o'zgarishlar sodir bo'lgan jarayoni qaytmas jarayon deb ataladi. Agar ipga osilgan matematik mayatnikni muvozanatlari holatdan chiqarib qo'yib yuborsak, u muvozanatlari holatga aynan shu yo'l bilan qaytib, yana shu yo'l bilan muvozanatsiz holatga o'tadi.



7.7-rasm.



7.6 -rasm.

Ishqalanish va qarshilik kuchlaridan xoli bo'lgan hamma mexanik sistemalar ideal qaytar bo'ladi. Real sharoitda faqat qaytmas jarayon amalga oshadi, chunki ishqalanish va qarshilik kuchlariga sarflangan energiya atrof-muhitga tarqalib ketadi.

Sistema bir qator holatlarni o'tishi natijasida o'zining dastlabki holatiga qaytib kelsa, bunday jarayon **aylanma jarayon** yoki sikl deb ataladi. Porshenli silindr idish ichidagi gazni tekshiraylik. Hajm kengayish natijasida sistema 1- holatdan 2-holatga *a* orqali o'tsin, so'ngra hajmi sifilishi natijasida *b* orqali o'zining dastlabki holatiga qaytib kelsin (7.7-rasm).

Bunda bosim va hajm o'zgarishi orqali yuz bergan jarayonda bajarilgan ishni quyidagi formula orqali aniqlasak:

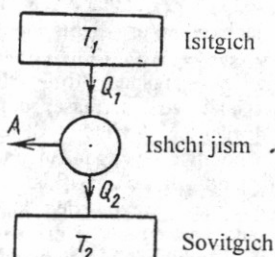
$$dA = R dV \quad \text{yoki} \quad A = \int_1^2 P dV \quad (7.30)$$

u musbat bo'lib, son jihatdan  $1a - 2V_2 V_1 l$  egri chizig' bilan chegaralangan yuzaga teng. Gazning sifilishi bajarilgan ish manfiy bo'lib, u son jihatdan  $2V_2 V_1 b - 2$  egri chiziq ostidagi yuza orqali aniqlanadi. U holda aylanma jarayonda bajarilgan ish  $1a - 2V_1 V_2 l$  holda  $2V_2 V_1 l - b$  2 egri chiziqlar bilan chegaralangan yuzalarning ayirmasini, ya'ni  $1a - 2b - l$  egri chiziq bilan chegaralangan yuza bilan ifodalanadi. Jarayonning qanday o'tishi yo'naliishiga qarab bajarilgan ish musbat ( $1a - 2b - l$ ) va manfiy ( $1b - 2a - l$ ) bo'lishi mumkin.

Sikl tugagandan keyin sistema dastlabki holatiga qaytib keladi. Shuning uchun holatning har qanday funksiyasi, masalan, ichki energiya, siklning boshi va oxirida bir xil qiymatga ega bo'ladi.

## 7.6. Termodinamikaning ikkinchi bosh qonuni

Termodinamikaning birinchi bosh qonuni sistemaning ichki energiyasining o'zgarishi, bajarilgan ish va issiqlik miqdori orasidagi miqdoriy bog'lanishlarni aniqlaydi. Shuningdek, termodinamikaning birinchi qonuni energiyaning saqlanish va aylanish qonuni deb ham yuritiladi. Lekin termodinamikaning birinchi qonuni sistemadagi jarayon qaysi yo'naliishida sodir bo'lishini ko'sratmaydi. Faraz qilaylik, massalari  $m_1, m_2$ , haroratlari  $T_1 > T_2$  ikkita jismdan tashkil topgan berk sistema berilgan bo'lsin. Sistema tarkibidagi jismalar kontaktga keltirilganda, harorati yuqoriroq bo'lgan birinchi jism ichki energiyasining bir qismi pastroq haroratl



7.8-rasm.

ikkinchi jismga o'tadi, teskari yo'naliishda energiya o'tish kuzatilmaydi. Birinchi jismdan o'tgan energiyaning bir qismi ikkinchi jism ustida ish bajarishga va uning ichki energiyasini ortishiga sarf bo'ladi. Termodinamikaning birinchi qonuni bajarilishi uchun birinchi jismning yo'qtgan issiqligi ikkinchi jism tomonidan qabul qilingan issiqlikka teng bo'lishi yetarli. Ammo bu qonun issiqlik miqdori harorati katta bo'lgan j. harorati nisbatdan kichik bo'lgan jismga o'tadimi yoki jarayon, aksincha, yo'naliishda sodir bo'ladimi buni

aniqlab bera olmaydi. Chunki berk sistema uchun  $dQ = 0$  va  $dA=0$  bo'lganligidan bu qonunga asosan sistemadagi har qanday jarayonda uning ichki energiyasi o'zgarmasdan qolishi kerak, ya'ni  $du=0$ . Bu muammoni termodinamikaning ikkinchi qonuni hal qiladi.

Termodinamikaning ikkinchi bosh qonuni tabiatda sodir bo'ladigan jarayonlarning amalga oshishi mumkin bo'lgan yo'nalishini aniqlaydi. Termodinamikaning ikkinchi qonunini issiqlik mashinalarining ishlash prinsipini tahlil qilish orqali tushunishga harakat qilaylik. Davriy jarayon amalga oshiriladigan qurilmalar uch qismidan – isitgich, ishchi jism va sovitgichdan iborat bo'ladi. Issiqlik mashina (7.8-rasm) isitgichdan  $Q_1$  issiqlik miqdori olib uning bir qismini ishga aylantiradi, qolgan qismi  $Q_2$  ni sovitgichga beradi.

Termodinamikaning ikkinchi bosh qonuni *Plank* tomonidan quyidagicha ta'riflangan: *birdan-bir natijasi issiqlik miqdorini ishga aylantirishdan iborat bo'lgan davriy jarayon amalga oshmaydi*. Demak, ta'rifa ko'ra isitgichdan olingan  $Q_1$  issiqlikni batamom ishga aylantirishdan iborat bo'lgan jarayonni amalga oshirib bo'lmaydi. Aslida issiqlik mashinasini davriy ishlab turishi uchun issiqlik miqdorining qandaydir  $Q_2$  qismi sovitgichga berilishi kerak. Isitgichdan olingan issiqliknинг qanchalik ko'p qismi ishga aylantirilsa, bu dvigateler shunchalik foydali hisoblanadi. Issiqlik mashinasining foydali ish koefitsiyenti (*FIK*)

$$\eta = \frac{A}{Q_1} = \frac{Q_1 - Q_2}{Q_1} < 1 \quad (7.31)$$

bo'ladi, chunki  $Q_1 - Q_2 < Q_1$

Bundan ko'rindaniki,  $\eta$  ning qiymati eng yuqori bo'ladigan ideal issiqlik mashinada ham isitgichdan olingan issiqlik miqdorining barcha qismi foydali ishga aylanmaydi.

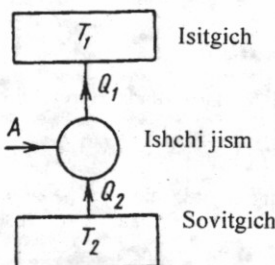
*FIK*  $\eta=1$  bo'lgan dvigatellar abadiy dvigatellar yoki *ikkinchi tur perpetuum mobile* deb ataladi. Osvald ta'rifi: *ikkinchi tur perpetuum mobileni qurish mumkin emas*.

Termodinamikaning ikkinchi bosh qonuni *Kelvin* tomonidan quyidagicha ta'riflangan: *sistemaga oid bo'lgan eng sovuq jismlarning issiqligini ishga aylantira oladigan issiqlik mashina yaratib bo'lmaydi*.

Termodinamikaning ikkinchi bosh qonunini *Klauzius* quyidagicha ta'riflaydi:

*issiqlik miqdori o'z-o'zicha sovuq jismdan issiq jismga o'ta olmaydi*. Ta'rifa ko'rsatilgandek, issiqlik miqdorini sovuqroq jismdan uzatilishi sodir bo'lishi uchun sovitgich mashinalarda (7.9-rasm) ishchi jism ustida ish bajarish kerak. Demak, tashqi kuchlarning bajargan A ishi hisobiga gaz (ishchi jism) sovitgichdan  $Q_2$  issiqlik miqdorini oladi va isitgichga  $Q_1$  issiqlik miqdori beradi.

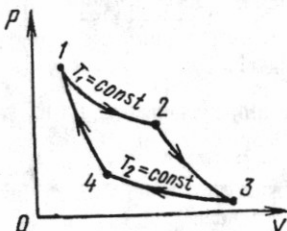
Shunday qilib, quyidagi xulosaga kelamiz, yuqorida aytilan termodinamika ikkinchi bosh qonuning ta'riflari mazmunlari bir xil bo'lib, faqat shakkular bilan farqlanib hammasi ham tabiatdagisi jarayonlarning sodir bo'lish yo'nalishini ko'rsatadi.



7.9-rasm.

## 7.7. Kärno sikli va uning foydali ish koefitsiyenti

1824-yilda fransuz muhandisi Sadi Kärno termodinamikaning ikkinchi qonuni asosida ishllovchi eng yuqori F.I.K li ikki izotermaga va ikki adiabatadan iborat aylanma sikli ideal issiqlik mashinasini nazariy ishlash chiqdi. **Kärno sikli** deb nom olgan bu ideal issiqlik mashinasining ishlash prinsipi bilan tanishaylik. Ishchi jism sifatida 1 mol ideal gazdan foydalaniib, amalgal oshirilgan Kärno siklining ( $R, V$ ) diagrammadagi grafigi 7-10-rasmda tasvirlangan.



7.10-rasm.

Gazning boshlang'ich holati  $R_1, V_1, T_1$  parametrlar bilan xarakterlansin. Dastlab gazni izotermik ravishda ( $T_1 = \text{const}$ ) kengaytiraylik. Bu jarayonda gaz isitgichidan  $Q_1$  issiqlik miqdori oladi va  $A_1$  ish bajaradi (7.19) ga asosan

$$Q_1 = A_1 = RT_1 \ln \frac{V_2}{V_1} \quad (7.32)$$

hosil qilamiz. Gaz  $1 \rightarrow 2$  holatga o'tganda termodinamik parametrlari o'zgaradi. Gazning  $2 \rightarrow 3$  holatga o'tkazishda adiabatik kengaytiraylik. 3 holatda uning parametrlari  $R_2, V_2, T_2$  qiymatlarni oladi. Adiabatik kengayishda, ishchi jismning bajargan ishi (7.25) ga asosan quyidagicha bo'ladi.

$$A_2 = \frac{i}{2} R(T_1 - T_2) = C_V(T_1 - T_2) \quad (7.33)$$

Sistemanı  $3 \rightarrow 4$  holat bo'yicha izotermik siqaylik, bunda bajarilgan ish

$$A_3 = -Q_2 = RT_2 \ln \frac{V_4}{V_3} \quad (7.34)$$

ga teng. 4 holatda gazning parametrlari  $R_4, V_4, T_2$  qiymatlarni oladi. Harorat  $T_2$  dan  $T_1$  ga o'zgarganda adiabatik jarayonning bajargan ishi

$$A_4 = C_V(T_2 - T_1) \quad (7.35)$$

teng bo'ladi (7.32) va (7.34) lardan ko'rindan, sikl davomida adiabatik jarayonlarda bajarilgan ishlarning yig'indisi nolga teng bo'lar ekan. Buni hisobga olib sikl davomidagi to'liq ish

$$A = A_1 + A_3 = Q_1 - Q_2 \quad (7.36)$$

teng bo'ladi. Bulardan foydalaniib, Kärno issiqlik mashinasining F.I.K ni topaylik

$$\eta = \frac{Q_1 - Q_2}{Q_1} = \frac{RT_1 \ln \frac{V_2}{V_1} - RT_2 \ln \frac{V_4}{V_3}}{RT_1 \ln \frac{V_2}{V_1}}. \quad (7.37)$$

(7.25) Puasson tenglamasidan foydalansak, 2 va 3 holatlarning parametri orasidagi bog'lanish  $T_1 V_2^{\gamma-1} = T_2 V_3^{\gamma-1}$ , ideal gazning 4 va 1 holatlari uchun

$$T_1 V_1^{\gamma-1} = T_2 V_4^{\gamma-1}$$

ko'rinishga ega bo'ladi. Har ikkala tenglamani hadma-had bo'lib, qolgan qiyatlardan ( $\gamma-1$ ) darajali ildiz chiqarsak

$$\frac{V_2}{V_1} = \frac{V_3}{V_4}$$

munosabat hosil bo'ladi. Bundan foydalanib (7.36) ni quyidagicha yozamiz:

$$\eta = \frac{T_1 - T_2}{T_1} \quad (7.38)$$

Demak, ideal gaz bilan ishlaydigan Karno issiqlik mashinaning F.I.K. faqat isitgich va sovitgich haroratlarining qiyatlari bilan aniqlanar ekan.

Real, qaytmaydigan siklning F.I.K. esa

$$\eta' = \frac{Q_1 - Q_2}{Q_1} \prec \frac{T_1 - T_2}{T_1} \quad (7.39)$$

bo'ladi. Real mashinalarda energiyaning bir-qismi qaytmaydigan tarzda sarflanadi.

Demak, real mashinaning FIK ideal mashinaning FIK dan kichikroq bo'ladi.

### Savollar

1. Ideal va real gazlar ichki energiyalari gazlarni ifodalovchi qanday kattaliklarga bog'liq?
2. Issiqlik sig'imi, solishtirma issiqlik sig'im va molar issiqlik sig'imlar orasidagi bog'lanishlarni izohlang.
3. Termodinamikaning birinchi bosh qonuni va uni gaz izojarayonlariga tatbig'ini grafiklar va matematik ifodalar orqali tushuntiring.
4. Klassik nazariyaga asosan issiqlik sig'im temperaturaga bog'liq emas, tajriba natijalari esa issiqlik sig'imi temperaturaga bog'liq ekanligini ko'rsatadi. Bu qarama-qarshilik qanday bartaraf qilinadi?
5. Qaytar va qaytmas jarayonlar qanday sharotlarda amalga oshishini ko'rsating.
6. Termodinamikaning ikkinchi bosh qonuni tabiatda sodir bo'ladigan jarayonlarning amalga oshishi mumkin bo'lgan yo'nalishlarini qanday aniqlaydi va bu haqda taniqli olimlarni ta'riflarini keltiring.
7. Karno sikli va uning foydali ish koeffitsiyentini grafik orqali izohlang va tenglamasini yozing.

### Masalalar

**23-masala.** Neon va vodorodni ideal gaz deb hisoblab, ularning o'zgarmas hajm ( $C_V$ ) va bosim ( $C_P$ ) dagi solishtirma issiqlik sig'imlari hisoblansin.

**Yechish.** Ideal gazning solishtirma issiqlik sig'imlari

$$C_V = \frac{i}{2} \frac{R}{M} : \quad (1)$$

$$C_P = \frac{i+2}{2} \frac{R}{M} : \quad (2)$$

formulalar bilan ifodalanadi. Neon (bir atomli gaz) uchun  $i_1=3$ ,  $M_i = 20 \cdot 10^{-3} \text{ kg/mol}$ ,  $i, M_i$  va R larning qiymatlarini (1) va (2) formulalarga qo'yib hisoblasak;  $C_{V_i} = 624 \text{ J/(kg}\cdot\text{K)}$ ;  $C_{P_i} = 1,04 \text{ kJ/(kg}\cdot\text{K)}$ . Vodorod (ikki atomli gaz) uchun  $i=5$ ;  $M_2=2 \cdot 10^{-3} \text{ kg/mol}$  (1) va (2) formulalar bo'yicha hisoblash vodorodning solishtirma issiqlik sig'imi uchun quyidagi qiymatlarni beradi:

$$C_{V_2} = 10,4 \text{ kJ/(kg}\cdot\text{K)}; \quad C_{P_2} = 14,6 \text{ kJ/(kg}\cdot\text{K)}$$

**24-masala.**  $m=0,2 \text{ kg}$  massali vodorod o'zgarmas bosimda  $t=0^\circ\text{C}$  haroratdan  $t_2=100^\circ\text{C}$  haroratgacha qizdirilganda yutadigan issiqlik miqdori aniqlansin. Shuningdek, gaz ichki energiyasining o'zgarishi va bajargan ishi topilsin.

|                               |                                   |
|-------------------------------|-----------------------------------|
| Berilgan:                     | $m=0,2 \text{ kg}=0,2 \text{ kg}$ |
| $t_2=100^\circ\text{C}$       | $=373 \text{ K}$                  |
| $t=0^\circ\text{C}$           | $=273 \text{ K}$                  |
| $\Delta U \sim ? \text{ A-?}$ |                                   |

**Yechish.** Izobarik qizitishda gaz yutadigan issiqlik miqdori

$$Q = mC_p\Delta T \quad (1)$$

formula bo'yicha aniqlanadi: bunda,  $m$  – qizdirilayotgan gazning massasi;  $S$  – uning o'zgarmas bosimdagi solishtirma issiqlik sig'imi,  $\Delta T$  – gaz haroratining o'zgarishi.

Ma'lumki,  $C_p = \frac{i+2}{2} \frac{R}{M}$ ,  $S$  ning bu ifodasini (1) formulaga qo'ysak.

$$Q = m \frac{i+2}{2} \frac{R}{M} \Delta T$$

Bu formula bo'yicha hisoblash o'tkazsak,

$$Q = 291 \text{ kJ}.$$

Ichki energiya  $U = \frac{i}{2} \frac{m}{M} RT$  formula bilan ifodalanadi, demak, ichki energiyaning o'zgarishi

$$\Delta U = \frac{i}{2} \frac{m}{M} R \Delta T$$

bu formulaga kattaliklarning son qiymatlarini qo'yib hisoblashni bajarsak,

$$\Delta U = 208 \text{ kJ}.$$

Gazning kengayishdagi bajargan ishini termodinamikaning birinchi qonunini ifodalovchi formula  $Q = \Delta U + A$  dan aniqlaymiz:

$$A = Q - \Delta U$$

$Q$  va  $\Delta U$  ularning qiymatlarini o'rniغا qo'ysak

$$A = 83 \text{ kJ}.$$

**25-masala.** Teskari Karko sikli bo'yicha ishlaydigan issiqlik mashinasining isitgichi  $t_1=200^\circ\text{C}$  haroratga ega. Agar isitgichdan  $Q_1=1 \text{ J}$  issiqlik miqdori olinganda mashina  $A=0,4 \text{ J}$  ish bajarsa, sovitgichning harorati  $T_2$  aniqlansin. Ishqalanishdagi va

issiqlik berishdagi yo'qotish hisobga olinmasin.

Berilgan:  $t_1=200^\circ\text{C} = 473 K$   
 $Q_1=1J = 1 J$   
 $A=0.4J = 0.4J$   
 $T_2?$

Yechish. Sovitgichning haroratini Karno sikli bo'yicha ishlaydigan mashinalarning FIK uchun yozilgan  $\eta = (T_1 - T_2) / T_1$  ifodadan foydalanib topamiz. Bundan

$$T_2 = T_1(1 - \eta). \quad (1)$$

Issiqlik mashinasining FIK mekanik ish A ga aylantirilgan issiqlik miqdorini, issiqlik mashinasining r isitgichdan oladigan issiqlik miqdori  $Q_1$  ga nisbatini ifodalaydi, ya'ni  $\eta = \frac{A}{Q_1}$ . Bu ifodani (1) formulaga qo'yib, quyidagini topamiz:

$$T_2 = T_1 \left( \frac{1 - A}{Q_1} \right) \quad (2)$$

$T_1=473K$  ekanligini hisobga olsak,  $T_2=284K$ .

## VIII bob. REAL GAZLAR

### 8.1. Molekulalar orasidagi o'zaro ta'sir kuchlari

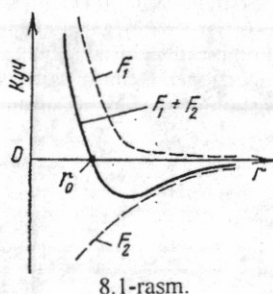
Molekular-kinetik nazariyani o'rganganimizda ideal gazlar bilan ish ko'rdik. Bunda molekulalar bir-birlari bilan o'zaro ta'sirlashmaydigan va ularning o'lchamлari hamda hajmlari hisobga olmaslik darajada kichik deb soddalashtirilgan edi.

Real gazlar bilan ish ko'rganda esa molekulalarning xususiy hajmlarini hisobga olishga to'g'ri keladi. Bir dona molekulaning hajmi  $V' = \frac{4}{3}\pi r^3 \approx 4 \cdot 10^{-30} m^3$ .

Normal sharoitda  $1 m^3$  hajmdagi molekulalar xususiy hajmi

$$nV' = 2,69 \cdot 10^{25} \cdot 4 \cdot 10^{-30} m^3 \quad (8.1)$$

Bu ancha kichik hajm, lekin bosim bir necha ming marta oshganda molekulalarni xususiy hajmi gaz egallagan hajmi bilan taqqoslanarli darajada bo'ladi. Bunday hollarda molekulalarning xususiy hajmini hisobga olmaslik katta xatolarga olib keladi.



8.1-rasm.

Ideal gazdagagi ikkinchi soddalashtirish molekulalar orasida o'zaro ta'sir kuchlari yo'q deb faraz qilingan edi. Real gazlarda molekulalar orasida o'zaro tortishish va itarishish kuchlari mayjud (8.1-rasm).

Bu kuchlarning qiymatlari molekulalar orasidagi masofaga bog'liq. O'zaro itarishadigan  $F_1$  kuch va o'zaro tortishadigan  $F_2$  kuch bir vaqtida ta'sir etadi. O'zaro itarishish kuchlari musbat, o'zaro tortishish kuchlarini manfiy deb olamiz. Bu ikki kuchning yig'indisi rasmida uzluksz chiziq bilan tasvirlangan  $F$  ga teng,  $r = r_0$  da  $F_1$  va  $F_2$  lar bir-birini muvozanatlaydi va

natijaviy kuch nolga teng bo'ladi.

$r < r_0$  da natijaviy kuch itarishish holatiga,  $r > r_0$  da esa tortishish holatiga ega bo'ladi. Molekulalar bir-biriga  $d_{eff}$  (molekulalar markazlari orasidagi masofa) masofagacha yaqinlashgach, ular o'zaro itarishish kuchlari ta'sirida yana bir-biridan uzoqlasha boshlaydi.

Shunday qilib, real gaz molekulalarining o'zaro ta'sirlarini va ularning shaxsiy hajmlarini hisobga olish ideal gaz uchun ko'rib chiqilgan barcha qonuniyatlarini real gaz uchun yaroqsizdek qilib qo'yadi.

### 8.2. Van-der-Vaals tenglamasi

Bir mol ideal gazning holat tenglamasi, ya'ni Mendeleyev-Klapeyron tenglamasini eslasak, u

$$P = \frac{RT}{V_M} \quad (8.2)$$

munosabat bilan ifodalanar edi. Real gazning holat tenglamasini hosil qilish uchun bu tenglamaga molekulalarni xususiy hajmlari, itarishish va tortishish kuchlarini e'tibor oluvchi tuzatmalarni kiritishga to'g'ri keladi.

Real gaz juda kuchli bosim ta'sirida bo'lsa, molekulalar zinchashishib idishda shu gazning tabiatiga mos bo'lgan qandaydir «taqiqlangan» « $b$ » hajmi egallaydi. Chunki real gazning ikki molekulasi bir-biriga o'zaro itarishish kuchlari keskin namoyon bo'ladigan  $d_{eff}$  masofagacha yaqinlasha oladilar xolos. Boshqacha

aytganda, radiusi  $d_{eff}$  bo'lgan shar hajmi  $\left(\frac{4}{3}\pi d_{eff}^3\right)$  o'zaro ta'sirlashayotgan ikki

molekula markazlari uchun «taqiqlangan hajm» bo'ladi. Bu hajm molekulaning xususiy hajmi  $V'$  dan 4 marta kattadir, ya'ni  $b = 4N_A V'$  bo'ladi. U holda molekulalar harakatlana olishlari mumkin bo'lgan umumi hajm  $V_m - b$  ko'rinishda bo'ladi. Bundan foydalanimiz (8.2) ni quyidagi ko'rinishda yozamiz:

$$P = \frac{RT}{V_M - b} \quad (8.3)$$

(8.3) ifoda real gaz molekulalarining idish devoriga ko'rsatgan bosimidir.

Endi molekulalar orasidagi o'zaro tortishish kuchi ta'sirini aniqlaylik.

Real gaz molekulalarining idish devoriga ko'rsatgan bosimi, ideal gaz molekulalari ko'rsatgan bosimga nisbatan kichikroq bo'ladi. Idish devoriga yaqinlashayotgan va u bilan to'qnashayotgan molekulalar soni  $n$  ga proporsional bo'ladi, shuningdek, idish devoriga yaqinlashayotgan molekulalarni idishning ichki tomoniga tortayotgan molekulalar soni ham  $n$  ga proporsional. Demak, molekulalar o'zaro tortishish kuchining ta'siri tufayli real gaz bosimining kamaygan qismi  $R_i \sim$

$n^2$  proporsional bo'ladi. Birlik hajmdagi molekulalar soni  $n = \frac{1}{V_M}$  ekanligini

e'tiborga olsak, ( $n = N_A / V_M$ ) va proporsionallikni tenglikka aylantirish maqsadida koeffitsiyent kiritsak, tortishish kuchi tufayli yuzaga kelgan ichki bosim quyidagicha aniqlanadi:

$$P_i = -\frac{a}{V_M^2} \quad (8.4)$$

bunda,  $(-)$  ishorasi ichki bosim real gaz bosimi  $R$  ga teskari yo'naliishda ekanligini ko'rsatadi.

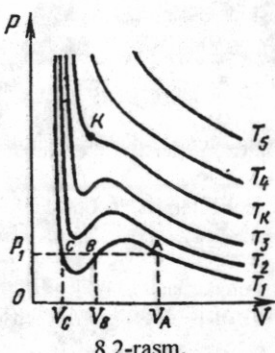
Shunday qilib, (8.3) va (8.4) tenglamalarga asosan real gazning bosimi

$$P = \frac{RT}{V_M - b} - \frac{a}{V_M^2}$$

ga teng bo'lib, bundan bir mol real gaz holat tenglamasini

$$\left( P + \frac{a}{V_M^2} \right) (V_M - b) = RT \quad (8.5)$$

shaklda yozish mumkin. Bu munosabat *Van-der-Vaals tenglamasi* deb ataladi,  $a$  va  $b$  lar esa



8.2-rasm.

muayyan gaz molekulalarini ifodarlovchi doimiylar bo'lib, ularni *Van-der-Vaals tuzatmaları* deb yuritiladi. (8.5) tenglama  $V_M$  ga nisbatan uchinchi darajali bo'lgani uchun u uchta ildizga ega bo'ladi, ya'ni bitta bosimga uchta hajm to'g'ri keladi (8.2-rasm). Bu grafiklarni *Van-der-Vaals izotermalari* deb ataladi. Past haroratlarda Van-der-Vaals tenglamasining uchala ildizi haqiqiy, lekin turli qiymatlarga ega bo'ladi.  $T_1$  haroratga mos bo'lgan izotermani  $A$ ,  $V$ ,  $S$  nuqtalarida  $R_1$  mos to'g'ri chiziq kesadi. Bu uch nuqta turli izotermik holatlarni ifodalaydi. Bu holatlarni bosimning  $R_1$  qiymati, hajmnинг esa turli  $V_A$ ,  $V_V$ ,  $V_S$  qiymatlari bilan xarakterlanadi. Yuqoriqo haroratdagи  $T_k$  ga mos izotermada uchala nuqta ustma-ust tushadi (8.2-rasmida  $K$  deb belgilangan). Ko'pincha,  $T_k$  kritik harorat deb, unga mos bo'lgan izotermani esa *kritik izoterna* deb ataladi. Kritik nuqtadan pastda gaz hajmi qisqartirilganda, u kondensatsiyalana boshlaydi. Gaz hajmi  $V=b$  ga yetganda, u to'liq suyuqlik fazasiga o'tadi.

Gazning harorati  $K$  nuqtadan o'tgan izoterna haroratidan yuqori bo'lsa, u suyuqlikka kondensatsiyalananmaydi. Kritik nuqtaga mos kelgan hajm va bosim qiymatlari *kritik hajm* ( $V_K$ ), *kritik bosim* ( $R_K$ ) deb ataladi. Masalan, azot gazining kritik parametrlari,  $V_K^N = 9 \cdot 10^{-2} \text{ m}^3/\text{kmol}$ ;  $P_K^N = 33,5 \cdot 10^5 \text{ Pa}$ ;  $T_K^N = 126 \text{ K}$  ni tashkil etadi. Normal sharoitda bir kilomol azot gazining parametrlari  $V_0 = 22,414 \text{ m}^3/\text{kmol}$ ,  $r_0 = 10^5 \text{ Pa}$ ,  $T_0 = 273 \text{ K}$  ekanligini e'tiborga olsak, azot gazini suyuq fazaga o'tkazish uchun uni kuchli sovitish kerakligini ko'ramiz. Bularni kritik parametrlar bilan solishtirsak, hajmi 250 marta kichik, bosimi 33,5 marta kattaligi ko'rinadi. 126 K harorat gazni qisimda davom ettirsak, azot kondensatsiyalana boshlaydi.

### 8.3. Real gazning ichki energiyasi. Joule-Tomson effekti

Ideal gaz molekulalari o'zaro ta'sirlashmaydi deb bir mol gazning ichki energiyasi uchun quyidagi ifodani hosil qilgan edik (7.1 ga qarang):

$$U = \frac{i}{2} RT = C_V T \quad (8.6)$$

Real gaz molekulalari issiqlik harakatidan tashqari bir-biri bilan o'zaro ta'sirlashadi, shuning uchun uning ichki energiyasi molekulalar issiqlik harakat kinetik energiyasi va o'zaro ta'sir potensial energiyalarining yig'indisidan iborat bo'ladi.

Molekulalarning potensial energiyasini aniqlash maqsadida bir mol gazning hajmi  $V_{M1}$  dan  $V_{M2}$  gacha kengaytirilganda bajarilgan ishni aniqlaylik:

$$A = - \int_{V_{M1}}^{V_{M2}} P_M dV_M = - \int_{V_{M1}}^{V_{M2}} \frac{a}{V_M^2} dV_M = \frac{a}{V_{M2}} - \frac{a}{V_{M1}} \quad (8.7)$$

Bu ish sistema potensial energiyasining o'zgarishiga teng. Shuning uchun bir mol gazning potensial energiyasi  $\left( -\frac{a}{V_M} \right)$  ga teng deb olamiz. Yuqoridagilarni hisobga olib, bir mol real gazning ichki energiyasi uchun

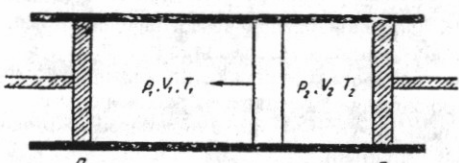
$$U_{r.g.} = C_V T - \frac{a}{V_M} \quad (8.8)$$

munosabatni hosil qilamiz.

Demak, *real gazning ichki energiyasi haroratga ham, hajmga ham bog'liq*.

Ideal gaz adiabatik ( $dQ=0$ ) kengayganda bajarilgan tashqi ish nolga teng bo'ladi. Termodinamikaning birinchi qonuniga asosan, bunday adiabatik kengayishda sistemaning ichki energiyasi o'zgarmaydi, ya'ni

$$U_1 = U_2 \quad (8.9)$$



8.3 -rasm.

*Joul-Tomson effekti* deyiladi.

Gazning harorati pasayganda ( $\Delta T < 0$ ) **musbat Joul-Tomson effekti**, aksincha, harorat ortgan hollarda ( $\Delta T > 0$ ) **manfiy Joul-Tomson effekti** sodir bo'ladi. Xona haroratidagi ko'pchilik gazlar uchun musbat Joul-Tomson effekti kuzatiladi. Faqat vodorod va gelyi uchun manfiy Joul-Tomson effekti kuzatilgan.

Joul va Tomson quyidagi tajribani o'tkazishdi. Izolatsiyalangan silindr ichida ishqlanishsiz harakatlana oladigan ikkita  $P_1$  va  $P_2$  porshenlar joylashtirilgan. Porshenlar orasiga g'ovak to'siq (paxta tiqini) qo'yildi. To'siqning chap tomonida joylashgan gaz parametrlari  $R_1$ ,  $V_1$ ,  $T_1$  bo'lsa, g'ovak to'siqdan o'ngga o'tgan gazning parametrlari mos ravishda  $R_2$ ,  $V_2$ ,  $T_2$  bo'lsin. Birinchi porshen sijiganda gaz g'ovak to'siq orqali o'ngga o'tadi va bunda, bajarilgan ish  $A_1 = R_1 V_1$  ga teng bo'ladi. Ikkinci porshen harakatlangunda bajarilgan ish esa  $A_2 = R_2 V_2$  bo'ladi. Bu bajarilgan ishlarning ifodalalarini adiabatik jarayon uchun yozilgan termodinamikaning birinchi qonungi qo'ysak:

$$U_1 + P_1 V_1 = U_2 + P_2 V_2 \quad (8.10)$$

Bundan ko'rindiki, Joul-Tomson tajribasida  $U+RV$  kattalik o'zgarmay qolar ekan. Bu kattalik gazning issiqlik funksiyasi yoki **entalpiyasi** deb ataladi. Real gazlarda entalpiyaning teng bo'lishi haroratlarning tengligini ko'rsatmaydi.

#### 8.4. Gazlarni suyultirish

Kritik harorat mavjudligi tufayli har qanday gazni dastlab kritik haroratdan past haroratgacha sovitib, siqish yo'li bilan suyuqlikka aylantirish mumkinligini 8.2 da tanishgan edik.

Umuman, gazlarni suyultirishning asosan ikkita usuli mavjud.

1. Musbat Joul-Tomson effektiga asoslangan usul (Dyuar-Linde usuli);

2. Tashqi bosim kuchlariga qarshi ish bajarib adiabatik kengaytirish usuli (Klod usuli).

Shveysariya fizigi Pikte past bosimda bug'lanayotgan harorati 143 K karbonat angidrid vositasida kislород va azotni dastlab kritik haroratdan past haroratgacha sovitish va siqish natijasida *suyuq kislород* (154,4 K) va *azot* (126,1 K) oldi. 1884-yilda polsha fiziklari Vroblevskiy va Olshevskiy dastlabki sovituvchi sifatida gaynab turgan suyuq kislорoddan foydalab, suyuq vodorod (33 K) oldilar. Nihoyat,

Ideal gazlarning adiabatik kengayishida ichki energiyadan tashqari harorat ham o'zgarmasdan qoladi.

Adiabatik jarayonda real gazlar tashqi bosimga qarshi ish bajarmagan holda kengaytirlisa, gaz isishi yoki sovishi mumkin. Real gazning adiabatik kengayishida gaz haroratining o'zgarishi

1908-yilda golland fizigi Kamerling-Onnes kritik harorati  $4,2\text{ K}$  bo'lgan suyuq geliy oldi.

Texnikada gazlarni suyultirish uchun Linde mashinasi keng ishlataladi. Uning ishlash prinsipini quyidagicha talqin qilish mumkin. Gaz, masalan, havo kompressorda  $200\text{ atm}$ .ga yaqin bosimgacha siqiladi va sovitgichda oqar suv bilan sovitiladi, chunki ko'pchilik gazlar siqilganda qiziydi. So'ngra siqilgan havo to'lqinsimon ikki qatlami nayning ichki nayidan o'tadi va uning oxirgi uchidagi keng idishda kondensatorda  $1\text{ atm}$  bosimgacha kengayadi. Bunda gaz, taxminan,  $20^\circ\text{C}$  ga soviydi. Kengaygan havo to'lqinsimon nayning tashqi nayi orqali yana kompressorga so'rildi, u o'z navbatida kompressorgacha oraliqda, ichki naydag'i siqilgan havoni ikkinchi qismini ham sovitib boradi. Shunday qilib, gazning ikkinchi qismi to'lqinsimon nayning o'zidayoq  $20^\circ\text{C}$  ga soviydi va so'ngra kondensatorda kengayganida yana  $20^\circ\text{C}$  soviydi. Bunday jarayon ko'p marta takrorlanadi. Natijada havo kritik haroratdan past haroratgacha sovitiladi.

Navbatdagi kengaygan havoning bir qismi suyuqlikka aylanadi va kondensator tubiga tomib tusha boshlaydi.

Suyuq havo amalda juda keng ishlataladi, undan sof kislorod olinadi.

### Savollar

- Real gazlarda molekulalar orasidagi o'zaro ta'sir kuchlarini mavjudligi ideal gaz qonuniyatlarini real gaz uchun yaroqsizdek qilib qo'yishini ko'rsating.
- Van-der-Vaals tenglamasini tuzatmalar bilan ifodalang va izotermalarni grafik orqali izohlang.
- Gazlarni suyultirishda Joul-Tomson effektining ahamiyati haqida gapiring.

### Masalalar

**26-masala.** Silindrda porshen ostida  $m=20\text{g}$  massali xlor bor. Hajmi  $V_1=200\text{sm}^3$  dan to  $V_2=500\text{sm}^3$  gacha izotermik kengaytirilganda xlor ichki energiyasining ortishi  $\Delta U$  aniqlansin

|  |                                 |                              |
|--|---------------------------------|------------------------------|
| Berilgan:  | $m=20\text{g}$                  | $=20 \cdot 10^{-3}\text{kg}$ |
| $V_1=200\text{sm}^3$   | $=200 \cdot 10^{-6}\text{m}^3$  |                              |
| $V_2 = 500\text{sm}^3$   | $= 500 \cdot 10^{-6}\text{m}^3$ |                              |
| <hr style="border-top: 1px solid black; border-bottom: none; border-left: none; border-right: none; margin-top: 10px;"/> |                                 |                              |
| $\Delta U \sim ?$  |                                 |                              |

**Yechish.** Real gazning (Van-der-Vaals gazining) ichki energiyasi

$$U = \nu(C_V T - a/V_m) \quad (1)$$

ifoda bilan aniqlanadi.

$$(1) \text{ tenglamadagi molar } V_m \text{ hajjni } V \text{ hajm va modda miqdori } V(V_m - V/\nu) \quad (1)$$

orqali ifodalab va  $V = \frac{m}{M}$  ekanligini hisobga olib, quyidagini hosil qilamiz:

$$U = \frac{m}{M} \left( C_V T - \frac{ma}{MV} \right) \quad (2)$$

Izotermik kengayish natijasida ichki energiyaning o'zgarishi  $\Delta U$  ni  $V_1$  va  $V_2$  hajmlarga mos keluvchi ichki energiyaning ikki qiymati orasidagi farq sifatida aniqlaymiz:

$$\Delta U = U_2 - U_1 = \frac{m^2 a (V_2 - V_1)}{M^2 V_1 \cdot V_2} \quad (3)$$

(3) ga kattaliklarning qiymatlarini qo'yib hisoblasak:

$$\Delta U = U_2 - U_1 = \frac{(20 \cdot 10^{-3}) \cdot 0,650 \cdot (5 - 2) 10^{-4}}{(71 \cdot 10^{-3}) 2 \cdot 10^{-4} \cdot 5 \cdot 10^{-4}} J = 154 J.$$

**27-masala.** Diametri  $d = 10\text{sm}$  bo'lgan sovun pufagining ichidagi qo'shimcha  $p$  bosimi topilsin. Bu pufakni puflash uchun bajarishi kerak bo'lgan ish  $A$  aniqlansin.

Berilgan:  $\frac{d = 10\text{sm}}{p \sim ? A \sim ?}$

**Yechish.** Sovun pufagining pardasi ikkita tashqi va ichki sferik sirtga ega. Har ikkala sirt ham pufak ichidagi havoga bosim beradi. Parda qalinligi juda kam bo'lganligidan har ikkala sirtlarning ham diametrлari amalda teng. Shuning uchun bosim  $p = 2 \cdot 2\sigma / r$ , bunda,  $r$  – pufak radiusi.  $r = \frac{d}{2}$  ekanligidan:

$$p = \frac{8\sigma}{d}$$

Bu formulaga  $\sigma = 40 \cdot 10^{-3} N/m$  va  $d = 0,1\text{m}$  kattaliklarni qo'yib hisoblasak,

$$p = 3,2 \text{Pa.}$$

Pardani cho'zib, uning sirtini  $\Delta S$  ga orttirish uchun bajarilishi zarur bo'lgan ish

$$A = \sigma \Delta S \quad \text{yoki} \quad A = \sigma (S - S_0)$$

formula bilan aniqlanadi.

Bu holda  $S$  – sovun pufagining har ikkala sirtining umumiy yuzasi:  $S_0$  – pufakni puflab bo'lguncha naycha teshigini qoplab turuvchi yassi parda ikkala sirtining umumiy yuzasi,  $S_0$  ni inobatga olmay, quyidagini hosil qilamiz:

$$A = \sigma \cdot S = 3\pi d^2 \sigma$$

kattaliklarni qiymatlarini o'rniqa qo'yib,  $A = 2,5\text{mJ}$  topamiz.

**28-masala.**  $P = 28$  atm. da hajmi  $V = 90\text{sm}^3$  bo'lgan  $m = 3,5\text{g}$  massali kislordning temperaturasini  $T$  qanday bo'ladi? Kislород учун doimiy kattaliklarning qiymati

$$\text{Berilgan: } V = 90\text{sm}^3 = 90 \cdot 10^{-6} \text{m}^3$$

$$m = 3,5\text{g} = 3,5 \cdot 10^{-3} \text{kg}$$

$$a = 1,36 \cdot 10^5 \text{N m}^4/\text{kmol}$$

$$b = 3,16 \cdot 10^{-2} \text{m}^3/\text{kmol}$$

$$t = ?$$

**Yechish.** Katta bosim ostidagi gazni real gaz deb hisoblash zarur va uning uchun Van-der Vaals tenglamasi (8.5)ni qo'llash kerak:

$$\left( p + \frac{m^2}{M^2} \frac{a}{V^2} \right) V - \frac{m}{M} b = \frac{m}{M} RT$$

bu yerda,  $M = 32 \text{ kg / mol}$  – kilomol kislorodning massasi, u holda

$$T = \frac{1}{R} \left( p + \frac{m^2}{M} \frac{a}{V^2} \right) \left( \frac{M}{m} V - b \right) = \frac{1}{8,32 \cdot 10^3}.$$

$$\left( 28 \cdot 1,013 \cdot 10^5 + \frac{1,225 \cdot 10^{-5} \cdot 1,36 \cdot 10^5}{1024 \cdot 8,1 \cdot 10^{-9}} \cdot \frac{32 \cdot 9 \cdot 10^{-5}}{3,5 \cdot 10^{-3}} - 3,16 \cdot 10^{-2} \right) = 289K$$

$t=16^\circ\text{C}$

Taqqoslash uchun azotni ideal gaz deb olib, uning temperatursasini Klapeyron-Mendeleyev formulasidan aniqlaymiz. U holda

$$T = \frac{M}{m} \frac{pV}{R} = \frac{32 \cdot 28 \cdot 1,013 \cdot 10^5 \cdot 9 \cdot 10^{-5}}{3,5 \cdot 10^{-3} \cdot 8,32 \cdot 10^3} = 281K$$

$t=8^\circ\text{C}$

Demak, real gaz uchun Klapeyron-Mendeleyev tenglamasini qo'llash bu gazning parametrini hisoblashda anchagina noaniqlikka olib kelar ekan.

### 3. ELEKTR VA MAGNETIZM

#### IX bob. ELEKTROSTATIKA

##### 9.1. Kulon qonuni

Qadimgi yunon olimlari qahraboni junga ishqalaganda turli yengil buyumlarni o'ziga tortishini payqaganlar. Yunon tilida qahrabo *elektron* degan ma'noni anglatadi. «Elektr» degan so'z shundan kelib chiqqan. Keyinchalik qahraboden tashqari shisha, ebonit, olmos, oltingugurt, smola va boshqa jismlar ham yumshoq materiallarga - ipak, charm, jun, mo'yanga ishqalanganda ikki xil elektrlanish hosil bo'lishi aniqlangan. Charmga ishqalangan shishada – musbat elektr zaryadi, charmda esa manfiy elektr zaryadi vujudga kelishi shartli belgilandi. Bir xil ishorali zaryadlar bir-birini itaradi, har xil ishoralilar esa o'zaro tortishadi. Barcha elementar zarrachalarning zaryadi absolut qiymati jihatdan birday bo'ladi. Bu zaryadni e harfi bilan belgilanadi. Tabiatdagi jismlar tarkibida turli ishorali zaryadlarga ega bo'lgan zarralar miqdori teng bo'ladi. Bunday jismlarning har biri elektr nuqtayi nazaridan neytral bo'ladi.

*Demak, har qanday izolatsiyalangan sistemada elektr zaryadlarining algebraik yig'indisi o'zgarmaydi.*

$$\sum q_i = \text{const} \quad (9.1)$$

Bunda,  $q_i$  – sistema tarkibidagi ayrim jismlar elektr zaryadlarining miqdori.

(9.1) munosabat *elektr zaryadining saqlanish qonunini* nomidagi qonunini.

SI da zaryad birligi sifatida kulon ( $Kl$ ) qabul qilingan. Kulon hisobida ifodalangan elementar zaryad  $e=1,6 \cdot 10^{-19} Kl$  ga teng bo'ladi.

Kuzatishlarni ko'rsatishicha, bir xil ishorali zaryadlangan jismlar bir-birini itaradi, qarama-qarshi ishorali zaryadlangan jismlar esa o'zaro tortishishadi. Nuqtaviy zaryadlar deb ataluvchi zaryadlarning o'zaro ta'sir kuchi kattaligini 1785-yilda fransuz fizigi Sharl Kulon o'z tajribalari asosida aniqladi:

*Vakuumdagi ikki nuqtaviy elektr zaryadning o'zaro ta'sir kuchi har bir zaryad kattaliklari ko'paytmasiga to'g'ri va zaryadlar orasidagi masofaning kvadratiga teskarli proporsionaldir, ya'ni*

$$F = K \frac{q_1 q_2}{r^2} \quad (9.2)$$

bu yerda,  $K$  – proporsionallik koeffitsiyenti bo'lib, u SI sistemasida quyidagiga teng bo'ladi:

$$K = \frac{1}{4\pi\epsilon_0}$$

bu yerda,  $\epsilon_0 = 8,85 \cdot 10^{-12} Kl^2/Nm^2 = 8,85 \cdot 10^{-12} F/m$ .

*Elektr doimysi deb ataladi.*

Agar zaryadlarning o'zaro ta'siri bir jinsli va izotrop muhitda bo'lsa, Kulon qonuning ko'rinishi quyidagicha bo'ladi:

$$F = \frac{1}{4\pi\epsilon_0} \cdot \frac{q_1 q_2}{\epsilon r^2} \quad (9.3)$$

bu yerda,  $\epsilon$  – birliksiz kattalik bo‘lib, *muhitning dielektrik singdiruvchanligi* deb yuritiladi.

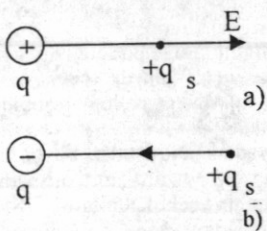
Kulon qonunining vektor ko‘rinishi quyidagicha bo‘ladi:

$$\vec{F}_{12} = \frac{1}{4\pi\epsilon_0} \cdot \frac{q_1 q_2 \vec{r}_{12}}{r^2} \quad (9.4)$$

bu yerda,  $\vec{F}_{12}$  –  $q_2$  zaryad tomonidan  $q_1$  zaryadga ta’sir yo‘nalishi ko‘rsatiladi,  $\vec{r}_{12}$  –  $q_1$  dan  $q_2$  ga o’tkazilgan radius vektor,  $r = |\vec{r}_{12}|$ .

## 9.2. Elektr maydon va uning kuchlanganligi

Kulon qonuna asosan, bir-biridan ma’lum masofada turgan zaryadlar *fazo orqali* o’zaro ta’sirlashadi. *Elektr zaryad atrofidagi elektr kuchlar ta’siri sezildigan fazo sohasi bu zaryadning elektr maydoni deb ataladi.*



9.1-rasm.

Elektr maydonning xususiyatlarini o’rganish uchun «sinov zaryadi» tushunchasi kiritiladi. «Sinov zaryadining» miqdori mumkin qadar kichik bo‘lishi kerak, chunki u o‘z maydoni bilan tekshirilayotgan maydonning xususiyatlarini o‘zgartira olmasin. Zaryad  $+q$  ga nisbatan holati radius – vektor  $\vec{r}$  bilan aniqlangan nuqtaga sinov zaryadi ( $+q_s$ ) joylashtiraylik (9.1-rasm).

Bu zaryadga quyidagicha Kulon kuchi ta’sir qilganini topamiz.

$$F = \frac{1}{4\pi\epsilon_0} \cdot \frac{qq_s}{r^2} \cdot \frac{\vec{r}}{r} \quad (9.5)$$

$F$  nisbat birlik musbat zaryadga ta’sir qiluvchi kuchni xarakterlaydi, bu kuch  $q_c$  sinash zaryadi kattaligiga bog‘liq bo‘lmaydi. Shuning uchun bu nisbatni elektr maydonini belgilovchi kattalik sifatida qabul qilib,  $E$  bilan belgilaymiz

$$\vec{E} = \frac{F}{q_c} = \frac{4}{4\pi\epsilon_0} \cdot \frac{q}{r^2} \cdot \frac{\vec{r}}{r} \quad (9.6)$$

(9.6) munosabatdagi  $\vec{E}$  vektor kattalik *elektr maydonning kuchlanganligi* deb ataladi.

Demak, *elektr maydonning ixtiyoriy nuqtasidagi maydon kuchlanganligi deganda, shu nuqtaga olib kirilgan birlik zaryadga ta’sir etuvchi kuch bilan ifodalanuvchi fizik kattalik tushuniladi.*

Elektr maydon kuchlanganligi vektor kattalik bo‘lib, uning yo‘nalishi maydonning tekshirilayotgan nuqtasiga olib kirilgan birlik musbat zaryadga ta’sir

etuvchi kuchning yo'nalishi bilan aniqlanadi (9.1-rasm). Agar  $q$  zaryad musbat bo'lsa,  $E$  yo'nalishi maydonning tekshirilayotgan nuqtasini birlashtiruvchi to'g'ri chiziq bo'ylab zaryaddan tashqariga yoki  $q$  manfiy bo'lganda, zaryad tomoniga yo'nalgan bo'ladi.

SI da elektr maydon kuchlanganligining birligi nyuton taqsim kulon ( $N/Kl$ ) yoki volt taqsim metr ( $V/m$ ) deb qabul qilingan.

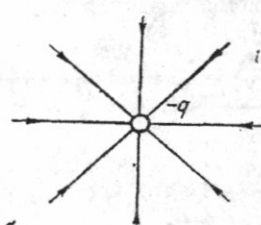
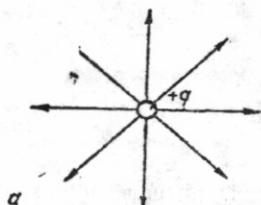
Agar elektr maydonini bir necha zaryad vujudga keltirayotgan bo'lsa, natijaviy maydonning kuchlanganligi alohida zarralar hosil qilgan elektr maydon kuchlanganliklarining vektor yig'indisiga teng bo'ladi, ya'ni:

$$E = E_1 + E_2 + \dots E_n \sum_{i=1}^n E_i \quad (9.7)$$

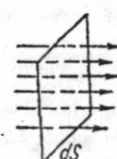
(9.7) ifoda *maydonlar superpozitsiyasi (qo'shish) prinsipini* ifodalaydi.

### 9.3. Kuchlanganlik chiziqlari. Gauss teoremasi

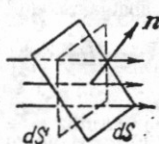
Elektr maydonni grafik usulda tasvirlash uchun *kuchlanganlik chiziqlari* kattaligi kiritiladi. Kuchlanganlik chiziqlarini quyidagi ikki shartga asoslanib o'tказiladi:



9.2-rasm.



9.3-rasm.



6

1. Kuchlanganlik chizig'ining ixtiyoriy nuqtasiga o'tkazilgan urinma elektr maydonning shu nuqtadagi kuchlanganlik vektorining yo'nalishi bilan mos tushishi kerak.

2. Chiziqlar zichligini tanlashda chiziqlarga perpendikular joylashgan birlik yuzadan o'tayotgan chiziqlar soni  $E$  vektorning son qiymatiga teng bo'lishi kerak.

Elektr maydon kuch chiziqlarining boshi va oxiri mavjud bo'lib, ular musbat zaryaddan boshlanib manfiy zaryadda tugaydi.

Agar elektr maydonining hamma nuqtalarida  $E$  kuchlanganlik bir xil bo'lsa, elektr maydoni bir jinsli deyiladi.

9.2 a va b rasmlarda musbat va manfiy nuqtaviy zaryadlarning elektr maydoni tasvirlangan. Nuqtaviy zaryadlarning kuchlanganlik chiziqlari radial to'g'ri chiziqlardan iborat bo'lib musbat zaryad sirtidan boshlanib manfiy zaryad sirtida tugaydi yoki musbat zaryaddan chiqib cheksizlikkacha yoyilib ketadi.

Elektr maydonida joylashgan biror sirtni kesib o'tayotgan kuch chiziqlari soni maydonning shu sirt orqali o'tayotgan *kuchlanganlik oqimi*  $\Phi$  deyiladi.

Endi  $\Phi$  ning qiymatini aniqlaylik. Buning uchun kuchlanganlik chiziqlarining yo'nalishiga perpendikular qilib joylashtirilgan  $dS$  elementar yuzachani olaylik (9.3a-rasm).  $dS$  yuzani kesib

o'tayotgan kuchlanganlik chiziqlarini soni  $EdS$  ga teng.  $EdS$  ifoda  $dS$  yuzadan o'tayotgan kuchlanganlik vektorining oqimi deyiladi. Agar sirt kuchlanganlik chiziqlariga perpendikular bo'lmasa va maydon kuchlanganligi uning turli sohalarida turlicha bo'lsa, u holda sirtni har birida  $E$  maydon kuchlanganligi doimiy bo'ladi deb hisoblash mumkin bo'lgan  $dS$  kichik yuzachalarga bo'lish kerak. Bunda elementar yuza orqali o'tayotgan kuchlanganlik oqimi quyidagiqa teng bo'ladi:

$$d\Phi = E dS' = E dS \cos \alpha = E_n dS \quad (9.8)$$

Bu yerda,  $\alpha$  – kuchlanganlik chizig'i bilan  $dS$  yuzaga o'tkazilgan normal  $n$  orasidagi burchak.  $dS'$  esa  $dS$  yuzaning kuchlanganlik chiziqlariga perpendikular bo'lgan tekislikka proyeksiysi. U holda butun yuza orqali o'tayotgan maydon kuchlanganligi oqimi  $d\Phi$  elementar oqimlarining yig'indisi bilan ifodalanadi. Buni integrallash amali orqali quyidagicha yozamiz:

$$\Phi = \oint_S d\Phi = \int_S E_n dS \quad (9.9)$$

$E$  vektorining radiusi  $r$  bo'lgan sferik sirt orqali oqimini topaylik. (9.6) ni eslasak,

$$E_n = |E| = \frac{1}{4\pi\epsilon_0} \frac{q}{r^2}$$

ikkinchi tomondan,  $r$  radiusli sferik sirtning to'liq yuzi  $4\pi r^2$  ga teng. Natijada

$$\Phi = \oint_S E_n dS = \frac{1}{4\pi\epsilon_0} \frac{q}{r^2} \cdot 4\pi r^2 = \frac{q}{\epsilon_0} \quad (9.10)$$

Bu ifoda bitta nuqtaviy zaryadni o'rab turgan sferik sirt orqali o'tuvchi  $E$  vektorining oqimini ifodalaydi. Endi biror yopiq sirt ichiga qiyatlari ixtiyoriy bo'lgan  $q_1, q_2$  va hokazo nuqtaviy zaryadlar joylashgan bo'lsin.

Maydonlarning supperpozitsiya prinsipiغا muvofiq (9.7) ga asosan:

$$E_n = E_{n1} + E_{n2} + \dots + E_{n\kappa} \sum_{i=1}^{\kappa} E_{ni} \quad (9.11)$$

(9.11) va (9.9) lardan foydalanib, quyidagini hosil qilamiz:

$$\Phi = \oint_S E_n dS = \oint_S \sum_{i=1}^{\kappa} E_{ni} dS = \sum_{i=1}^{\kappa} \oint_S E_{ni} dS \quad (9.12)$$

Bu ifoda  $i$  nuqtaviy zaryad tufayli vujudga kelgan  $E_{ni}$  – elektr maydon kuchlanganligi vektorining shu zaryadni o'rab turuvchi ixtiyoriy berk  $S$  sirt orqali oqimini ifodalaydi. Yuqoridagi (9.10) munosabatga asosan:

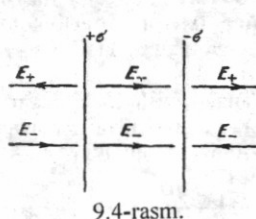
$$\oint_S E_{ni} dS = \frac{q_i}{\epsilon_0}$$

Buni e'tiborga olib (9.12) ni quyidagicha yozamiz:

$$\Phi = \oint_S E_n dS = \frac{1}{\epsilon_0} \sum_{i=1}^n q_i \quad (9.13)$$

Bu ifoda *Gauss teoremasi deb ataladi*. Bu teoremani quyidagicha ta'riflash mumkin: *elektr maydon kuchlanganlik vektorining ixtiyoriy shakldagi berk sirt orqali oqimi shu sirt ichida joylashgan zaryadlar algebraik yig'indisining  $\epsilon_0$  ga bo'lgan nisbatiga tengdir*.

Gauss teoremasidan foydalanib, zaryadning sirt zichligi  $+\sigma$  bo'lgan tekis zaryadlangan cheksiz tekislikning elektr maydon kuchlanganligini topaylik, u



9.4-rasm.

$$E = \frac{\sigma}{2\epsilon_0} \quad (9.14)$$

ga teng bo'ladi, bu yerda,  $\sigma = \frac{q}{S}$  zaryad sirt zichligidir. Ikkita o'zaro parallel tekis zaryadlangan cheksiz tekisliklarning oralig'idagi elektr maydon kuchlanganligi

$$E = E_+ + E_- = \frac{\sigma}{2\epsilon_0} + \frac{\sigma}{2\epsilon_0} = \frac{\sigma}{\epsilon_0} \quad (9.15)$$

bo'ladi. Demak, natijaviy maydon ikkala zaryadlangan tekislik tufayli vujudga kelgan maydonlarning yig'indisidan iborat bo'lar ekan (9.4-rasm). Bu ikki tekislik orasidagi maydonning barcha nuqtalarida  $E$  ning qiymati va yo'nalishi bir xil bo'lgani uchun bu maydonni *bir jinsli maydon* deb ataladi.

#### 9.4. Elektrostatik maydon kuchlarining ishi. Potensial

Qo'zg'almas nuqtaviy  $q$  zaryad maydonida joylashgan  $q'$  zaryadni 1 dan 2 nuqtaga ko'chirishda maydon kuchlarining bajargan ishini hisoblaylik. Uzunligi  $dl$  teng bo'lgan elementar yo'lda bajarilgan ish (9.5-rasm).

$$dA = F dl \cos\alpha = \frac{1}{4\pi\epsilon_0} \cdot \frac{qq'}{r^2} dl \cos\alpha = \frac{1}{4\pi\epsilon_0} \cdot \frac{qq'}{r^2} dr$$

teng bo'ladi. Bu yerda  $dr = dl \cos\alpha$ . 1-2 nuqtalar orasidagi yo'lda bajarilgan ishni topamiz:

$$A = \int_1^2 dA = \frac{qq'}{4\pi\epsilon_0} \int_{r_1}^{r_2} \frac{dr}{r^2} = \frac{1}{4\pi\epsilon_0} \left( \frac{qq'}{r_1} - \frac{qq'}{r_2} \right) \quad (9.16)$$

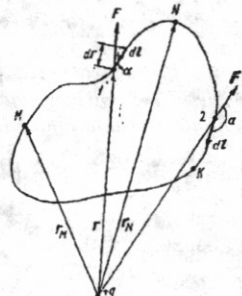
Mexanika qismidan ma'lumki, maydon kuchlarining yopiq yo'lda bajargan ishi nolga teng, ya'ni

$$\oint q'E_i dl \cos\alpha = 0$$

bu yerda,  $E_i$  -  $E$  vektorning elementar ko'chish  $dl$  yo'nalishiga bo'lgan proaksiyasidir (integral belgisidagi aylana yopiq kontur bo'yicha integral olinayotganligini ko'rsatadi). Ishni ifodalovchi integralni nolga tenglashtirib, o'zarmas kattalik  $q'$  ni qisqartirsak, quyidagi munosabatga ega bo'lamiz:

$$\oint_{\ell} E_i d l = 0 \quad (9.17)$$

bu munosabat istalgan yopiq kontur uchun bajarilishi kerak.



9.5-rasm.

Demak, (9.17) munosabatdan ko'rindiki, elektr maydon-potensial maydondir va bu maydon kuchlanganlik vektorining ixtiyoriy berk kontur bo'yicha sirkulatsiyasi nolga teng bo'ladi.

Yuqorida mulohazalardan foydalanim, (9.16) formula orqali ifodalangan ishni  $q'$  zaryad maydonining 1 va 2 nuqtalaridagi potensial energiyalari farqi sifatida ifodalash mumkin.

$$A_{12} = \frac{1}{4\pi\epsilon_0} \frac{qq'}{r_1} - \frac{1}{4\pi\epsilon_0} \frac{qq'}{r_2} = W_{P1} - W_{P2}$$

Bundan 1 va 2 nuqtalarda joylashgan  $q'$  zaryadning  $q$  zaryad maydonidagi potensial energiyasi:

$$W_{P1} = \frac{1}{4\pi\epsilon_0} \frac{qq'}{r^1}; \quad W_{P2} = \frac{1}{4\pi\epsilon_0} \frac{qq'}{r_2}$$

teng ekanligi kelib chiqadi. Umumiy holda  $q'$  maydonni ixtiyoriy nuqtasida joylashganda uning potensial energiyasi

$$W_P = \frac{1}{4\pi\epsilon_0} \frac{qq'}{r} \quad (9.18)$$

Turli  $q', q''$  va hokazo sinash zaryadlari maydonning muayyan nuqtasida,  $W_P, W_P''$  va hokazo energiyaga ega bo'ladi. Lekin barcha zaryadlar uchun  $W_P / q'$  nisbatan bir xil bo'ladi. Quyidagi kattalik

$$\varphi = \frac{W_P}{q'} \quad yoki \quad \varphi = \frac{1}{4\pi\epsilon_0} \frac{q}{r} \quad (9.19)$$

**potensial deb ataladi.**

Agar elektr maydon zaryadlar sistemasi tomonidan vujudga kelayotgan bo'lsa, natijaviy potensial tekshirilayotgan nuqtadagi potensiallarining algebraik yig'indisiga teng bo'ladi.

$$\varphi = \varphi_1 + \varphi_2 + \dots + \varphi_i \quad (9.20)$$

(9.19) va (9.20) foydalanim, quyidagini hosil qilamiz:

$$\varphi = \frac{1}{4\pi\epsilon_0} \sum_{i=1}^n \frac{q_i}{r_i} \quad (9.21)$$

(9.19) dan foydalanim

$$W_P = q \cdot \varphi \quad (9.22)$$

hosil qilamiz. Demak, maydon kuchlarining  $q$  zaryad ustida bajargan ishini potensial farqi orqali ifodalash mumkin:

$$A_{12} = W_{P1} - W_{P2} = q(\varphi_1 - \varphi_2) \quad (9.23)$$

yoki

$$\varphi_\infty = 0 \quad \text{bo'lsa,} \quad A_\infty = q \varphi \quad (9.24)$$

Bundan foydalani, potensialni quyidagicha ta'riflash mumkin: *elektr maydon ixtiyoriy nuqtasining potensiali deganda shu nuqtadan birlik musbat zaryadni cheksizlikka ko'chirish uchun lozim bo'ladi*gan ish bilan xarakterlanuvchi kattalik tushuniladi.

*Elektr maydonning kuchlanganligi bilan potensiali o'rtaсидаги bog'lanishni* ko'rib chiqaylik. Agar  $q'$  sinov zaryadini maydon kuchlari ta'sirida  $dr$  masofaga uzoqlashtirilsa, bajarilgan ish  $F$   $dr$  ga teng bo'ladi. Bu ish  $q'$  zaryadning potensial energiyasini  $dW_P$  qadar kamayishiga olib keladi. Shunday qilib, (9.18) tenglamani e'tiborga olsak

$$F dr = -dW_P$$

yoki

$$F = \frac{dW_P}{dr}$$

Bu ifodani har ikkala tomonini ko'chirilayotgan zaryad miqdori  $q'$  ga bo'lsak:

$$\frac{F}{q'} = -\frac{d\left(\frac{dW_P}{q'}\right)}{dr}$$

bundan

$$E = -\frac{d\varphi}{dr} \quad (9.25)$$

ifodani hosil qilamiz. (9.25) dagi  $\frac{d\varphi}{dr}$  ifoda *potensial gradienti* deb ataladi, ya'ni (*grad*  $\varphi$ ), u holda (9.25)ni quyidagicha yozishimiz mumkin:

$$E = -\text{grad } \varphi \quad (9.26)$$

Shunday qilib, *elektr maydon kuchlanganligi potensialning teskari ishora bilan alingan gradientiga teng ekan*. Bu yerda manfiy ishora  $E$  ni olingan potensiali kamayib boradigan tomonga yo'nalganligini ko'rsatadi.

### Savollar

1. Elektr zaryadning saqlanish qonuni va zaryadlarning o'zaro ta'sir kuchini aniqlashda Kulon tajribasini izohlang.

- Elektr maydoni va maydon kuchlanganligi kattaligini xarakterlang, tenglamalarin ifodalang.
- Kuchlanganlik chiziqlari elektr maydonini qanday usulda tasvirlashga imkon beradi va ular qanday shartlarga asoslanib o'tkaziladi.
- Ixtiyoriy shakldagi berk sirt orqali o'tayotgan elektr maydon kuchlanganlik oqimini Gauss teoremasidan foydalaniib aniqlang.
- Elektrostatik maydonda zaryadni ko'chirishda bajarilgan ishni, potensial, potensial energiya va potensial gradientlari bilan bog'lanishlarini ko'rsating.

### Masalalar

**29-masala.** Massasi  $m=1g$  va zaryadi  $q=10^{-8} KI$  bo'lgan sharcha potensiali  $\varphi_A = 600V$  li A nuqtadan  $\varphi_B = 0$  potensiali B nuqtaga tomon harakatlanmoqda. Agar sharchaning B nuqtadagi tezligi  $v_B = 20sm/s$  ga teng bo'lsa, uning A nuqtadagi tezligi qanday bo'lgan?

$$\text{Berilgan: } v_B = 20sm/s = 20 \cdot 10^{-2} m/s$$

$$\begin{aligned} m &= 1g = 1 \cdot 10^{-3} kg \\ q &= 10^{-8} KI \end{aligned}$$

$$\underline{\varphi_A = 600V}$$

$$v_A \sim ?$$

**Yechish.** Musbat zaryadlangan sharcha elektr maydonida katta potensialdan kichik potensialga tomon (ya'ni maydon bo'ylab) harakatlanib, maydon kuchlari ta'sirida tezlashadi va uning kinetik energiyasi ortadi. Energiyaning saqlanish va bir turdan ikkinchi turga aylanish qonunidan sharcha kinetik energiyasining ortishi  $\Delta W$  maydon kuchlari bajargan ishga teng bo'lishi kerak:

$$\text{Biroq } \Delta W = W_B - W_A = \frac{mu_B^2}{2} - \frac{mv_A^2}{2}, \text{ bu yerda, } W_A \text{ va } W_B$$

sharchaning mos ravishda B va A nuqtalardagi kinetik energiyasi. Shu bilan birga  $A = q(\varphi_A - \varphi_B)$  muvofiq quyidagini yozish mumkin:

$$\frac{mv_B^2}{2} - \frac{mv_A^2}{2} = q(\varphi_A - \varphi_B)$$

bundan

$$v_A = \sqrt{v_B^2 - \frac{2q}{m}(\varphi_A - \varphi_B)} = \sqrt{4 \cdot 10^{-2} - \frac{2 \cdot 10^{-8}}{10^{-3}} 600} = 0,167 m/s$$

**30-masala.** Matematik mayatnik  $l=1$  m uzunlikdagi ipak ipga osilgan zaryadi  $q = 2 \cdot 10^{-8} KI$  bo'lgan  $m=0,1g$  massali sharchadan iborat bo'lib, u kuch chiziqlari yuqoriga vertikal yo'nalgan  $E=9,4kV/m$  kuchlanganlikli, bir jinsli maydonga joylashtirilgan. Agar sharchaga ta'sir etuvchi kuch og'irlik kuchidan katta

bo'lsa, mayatnik qanday T davr bilan tebranadi? Mayatnik  $T_0 = 2\pi\sqrt{\frac{l}{g}}$  davr bilan tebranishi uchun maydon kuchlanganligi  $E$  qanday bo'lishi kerak?

**Berilgan:**  $m=1 \cdot 10^4 \text{ kg}$ ,  $q=2 \cdot 10^{-8} \text{ Kl}$ ,  $T_0 = 2\pi\sqrt{l/g}$   
 $\underline{l=1 \text{ m}, E=9,4 \cdot 10 \text{ kV/m}, g=9,8 \text{ m/s}^2}$   
 $T=?$   $E=?$

**Yechish.** Sharchaga elektr maydon tomonidan yuqoriga vertikal yo'nalgan  $\vec{F} = q \vec{E}$  kuch ta'sir etadi: Masala shartiga ko'ra sharchaning  $p = m \vec{g}$  og'irlik kuchi  $\vec{F}$  kuchiga nisbatan kichik ( $p < E$ ) bo'lganligi uchun muvozanat holatda sharcha vertikal tortilgan ipning yuqorigi uchida joylashgan bo'ladi. Agar sharcha erkin bo'lsa,  $\vec{F}$  va  $\vec{p}$  kuchlarning teng ta'sir etuvchisi Nyutonning ikkinchi qonuniga asosan  $ma = qE - mg$  bo'lib, bundan  $a = \frac{qE - mg}{m}$  tezlanish ham sharchaning holatiga bog'liq emas. U vaqtida maydondagi mayatnikning tebranish davrni topish uchun uning formulasidagi  $g$  ni  $a$  bilan almashtirish kerak, ya'ni:

$$T = 2\pi\sqrt{\frac{l}{g}} = 2\pi\sqrt{\frac{ml}{qE - mg}}$$

son qiymatlarini o'rniga qo'yib hisoblansa, quyidagi hosil bo'ladi.

$$T = 2\pi\sqrt{\frac{ml}{qE - mg}} = 2 \cdot 3,14 \sqrt{\frac{10^{-6} \cdot 1}{2 \cdot 10^{-8} \cdot 9,4 \cdot 10^4 - 10^{-4} \cdot 9,8}} = \frac{6,28}{3} = 2,09 \text{ s} .$$

Yuqoridagi formula  $T = T_0$  bo'lгanda  $a = g$  bajarilib, undan

$$T_0 = 4\pi^2 \frac{l}{g} = 4\pi^2 \frac{ml}{qE_0 - mg}, \text{ bundan } E_0 = \frac{2mg}{q}, \text{ son qiymatlarini}$$

qo'yib hisoblaymiz:

$$E_0 = \frac{2mg}{q} = \frac{2 \cdot 10^{-4}}{2 \cdot 10^{-8}} = 9,8 \cdot 10^4 \frac{\text{N}}{\text{Kl}}$$

**31-masala.** Zaryadlangan yassi kondensator plastinkalari orasiga slyuda plastinka ( $\epsilon = 6$ ) qo'yilgan. Kondensatordagi elektr maydoni kuchlanganligi  $E = 1000 \text{ kV/m}$  bo'lгanda, bu plastinkaga qanday bosim ta'sir qiladi?

**Berilgan:**  $\underline{\epsilon = 6, E = 1000 \text{ kV/m}}$   
 $\underline{p=?}$

**Yechish.** Slyuda plastinkasiga ta'sir qiladigan bosim kondensatorning turli ishorali zaryadlangan plastinkalarining o'zaro tortishish kuchi  $F$  tufayli yuzaga keladi va u quyidagiga teng bo'ladi:

$$p = \frac{F}{S},$$

bu yerda,  $S$  – har bir plastinkaning yuzi. Binobarin, turli ishorali zaryadlangan ikkita parallel plastinkalarning yuza birligiga to'g'ri keladigan tortishish kuchini aniqlash zarur. Buning uchun kondensator plastinkalaridan birini  $E_1$  elektr maydoni kuchlanganligini hosil qiluvchi, boshqasini esa bu maydonda bo'lgan  $q$  zaryad deb

qabul qilamiz. Bunda  $E = \frac{F_0}{q_0}$  formulaga muvofiq, birinchi plastinkaning ikkinchi

plastinkaga ta'sir kuchi  $F = qE_1 = \sigma_2 SE_1$ , bundan plastinkalarning yuza birligiga to'g'ri keladigan tortishish kuchi (ya'ni  $p$  bosim) quyidagiga teng bo'ladi:

$$\frac{E}{S} = p = \sigma_2 E,$$

Bunda,  $\sigma_2$ -ikkinchi plastinka zaryadining sirt zichligi. Biroq

$E = \frac{\sigma}{2\epsilon_0}$  formulaga muvofiq  $E_1 = \frac{\sigma_1}{2\epsilon_0 \epsilon}$ , bu yerda,  $\sigma_1$  – birinchi plastinka

zaryadining sirt zichligi. Kondensator uchun  $\sigma_1 = \sigma_2 = \sigma$  ekanligini hisobga olgan holda quyidagini yozish mumkin:

$$p = \frac{\sigma_2}{2\epsilon_0 \epsilon}.$$

$E = \frac{\sigma}{\epsilon_0}$  formulaga muvofiq.  $E = \frac{\sigma}{\epsilon_0 \epsilon}$  bo'lgani uchun  $\sigma = \epsilon_0 \epsilon E$ ,

bo'ladi, binobarin,

$$p = \frac{\epsilon_0 \epsilon E}{2} = \frac{8,85 \cdot 10^{-12} \cdot 6 \cdot 10^{12}}{2} = 26,5 N/m^2.$$

**32-masala.** Moyga botirilgan ( $\epsilon = 4$ ) sharning potensiali  $\varphi = 4500 M$  va zaryadning sirt zichligi  $\sigma = 1,13 \cdot 10^{-5} Kl/m^2$ . Quyidagilarni toping: sharchani, a)  $r$  radiusini; b)  $q$  zaryadini; v)  $C$  sig'imini; g)  $W$  energiyasini.

**Berilgan:**  $\epsilon = 4$ ,  $\varphi = 4500 V$ ,  $\sigma = 1,13 \cdot 10^{-5} Kl/m^2$

$r \sim?$   $q \sim?$   $C \sim?$   $W \sim?$

**Yechish.** a)  $C = \frac{q}{\varphi}$  ga asosan  $\varphi = \frac{q}{C}$ , biroq sharning zaryadi

$q = \sigma S = \sigma 4\pi r^2$  (bu yerda,  $S$  – sharning yuzi)  $C = 4\pi\epsilon_0 r$  formulaga  
muvofig sharning sig'imi  $C = 4\pi\epsilon_0 \sigma r$ . Shuning uchun

$$\varphi = \frac{4\pi\sigma r^2}{4\pi\epsilon_0 \sigma r} = \frac{r\sigma}{\epsilon_0 \epsilon}$$

bundan

$$r = \frac{\epsilon_0 \epsilon \varphi}{\delta} = 1,4 \cdot 10^{-2} m \quad \text{b)} \quad q = 4\pi r^2 \sigma = 2,8 \cdot 10^{-8} Kl$$

$$\text{v)} \quad C = \frac{q}{\varphi} = 6,2 \cdot 10^{-12} f \quad \text{g)} \quad W = \frac{C\varphi}{r} = 6,3 \cdot 10^{-5} J.$$

## X bob. ELEKTR MAYDONIDA O'TKAZGICHALAR

### 10.1. O'tkazgichda zaryadlarning taqsimlanishi

O'tkazgichlar, asosan, metallardan yasaladi. Bunday o'tkazgichlarning boshqa o'tkazgichlar va dielektriklardan farqi shundan iboratki, ularda zaryad tashuvchilar **erkin, elektronlar** hisoblanadi. O'tkazgichlar tarkibida musbat va manfiy zaryadlar o'zaro teng bo'ladi. Tenglik buzilib o'tkazgichda musbat zaryadlar ortib ketsa, bu o'tkazgich musbat zaryadlanib qoladi va aksincha manfiy zaryadlar ortiq bo'lsa, manfiy zaryadlangan hisoblanadi. Zaryadlar taqsimoti o'tkazgichlarning shakliga bog'iqliq bo'ladi:

- zaryadlar o'tkazgichlarni sirti bo'ylab taqsimlanadi, uchli joylarda sirt zichligi kattaroq bo'ladi;
- o'tkazgichlarning ichki qismlarida zaryadlar bo'lmaydi,  $\sigma = 0$ .

O'tkazgichga  $q$  zaryad berilsa, u qisqa vaqt ichida o'tkazgichning sirti bo'ylab tekis taqsimlanadi va zaryadlar muvozanati vujudga keladi.

Bunday hollarda quyidagi shartlar bajariladi:

- 1.O'tkazgich ichidagi barcha nuqtalarda maydon kuchlanganligining qiymati nolga teng bo'ladi ( $E = 0$ ). (9.25) muvofiq o'tkazgich ichidagi potensial o'zgarmas bo'lishi kerak ( $\phi = \text{const}$ ).

2.Maydon kuchlanganligining o'tkazgich sirtiga yaqin nuqtalardagi yo'nalishi sirtga o'tkazilgan normalga mos bo'lishi kerak. ( $E = E_k$ ). Zaryadlar muvozanatda bo'lganda jism ichidagi nuqtalarda maydon bo'lmaganligi uchun sirt orqali o'tayotgan **elektr siljish vektori** ( $D = \epsilon_0 \epsilon E$ ) ning oqimi nolga teng. Gauss teoremasiga muvofiq, sirt ichidagi zaryadlarning algebraik yig'indisi ham nolga teng bo'lishi kerak.

Muvozanat holatida ortiqcha zaryadlar bo'lmagan uchun o'tkazgich ichida tanlangan biror hajmdagi moddaning olib tashlanishi, ya'ni bo'sh, kavak joyni qoldirilishi zaryadlarning muvozanatlari joylashishiga ta'sir qilmaydi. Shunday qilib, ortiqcha zaryad ichi bo'sh o'tkazgichda ( $m$ : sferada) xuddi yaxlit o'tkazgichda ( $m$ : sharda) taqsimlanganday, ya'ni tashqi sirt bo'yicha taqsimlanadi. Bunday o'tkazgichlar sirti yaqinidagi maydon kuchlanganligi (9.15) ga asosan

$$E = \frac{\sigma}{\epsilon_0 \epsilon}$$

teng bo'ladi, bu yerda,  $\epsilon$  – o'tkazgichni o'rabi turgan muhitning nisbiy dielektrik singdiruvchanligidir. O'zaro itarishi tufayli zaryadlar bir-birlaridan mumkin qadar uzoqroq joylashishiga harakat qiladi, natijada uchli joylarda, bo'rtib turgan joylarda zaryadlar zichligi katta bo'ladi.

Zaryadlanmagan o'tkazgichni elektr maydoniga kiritilsa, undagi zaryad tashuvchilar harakatga keladi. Musbat zaryad tashuvchilar **E vektor yo'nalishi bo'yicha, manfiy** zaryad tashuvchilar esa **qarama-qarshi yo'nalishda** harakat qiladi. Natijada o'tkazgichning uchlari qarama-qarshi ishorali zaryadlar vujudga kelib, bu zaryadlar **induksiyalangan** zaryadlar deb ataladi.

Zaryadlarni sirt bo'yicha taqsimlanishidan foydalanib, ichi bo'sh sferik sirtlarda juda katta miqdorda zaryad toplash mumkin, bunday qur'ilmalardan birini Van-de-Graaf generatori deb ataladi. Van-de-Graaf generatorida suva va Yer orasida bir necha million volt potensiallar farqini vujudga keltirish mumkin. Van-de-Graaf

generatori zaryadli zarrachalarni tezlatishda keng qo'llaniladi.

### 10.2. O'tkazgichning elektr sig'imi. Kondensatorlar

Bizga ma'lumki, (9.21) asosan, o'tkazgichga qancha ko'p zaryad miqdori bera boshlasak, uning potensiali ham shu darajada ortib boradi, ya'ni

$$q = C \varphi \quad (10.1)$$

bu yerda,  $S$  – o'tkazgichning elektr sig'imi deb ataladi. Elektr sig'imi o'tkazgichning shakli, o'chamlari va tashqi sharoitlarga bog'liq kattalikdir. (10.1) quyidagicha ko'rinishda yozaylik:

$$C = \frac{q}{\varphi} \quad (10.2)$$

(10.2) dan foydalanib elektr sig'imga quyidagicha ta'rif beriladi: *yakkalangan o'tkazgichning elektr sig'imi shu o'tkazgichning potensialini bir birlikka oshirish uchun zarur bo'ladigan zaryad miqdori bilan ifodalanuvchi fizik kattalikdir.*

SI da elektr sig'iminig o'chov birligi

$$|C| = \frac{K}{B} = F$$

*farada* deb ataladi. *Bir farada shunday o'tkazgichning elektr sig'imi ekanki, bu o'tkazgichga 1 Kl zaryad berilganda uning potensiali IV ga ortadi.*

$$1F = 9 \cdot 10^{11} \text{ sm}$$

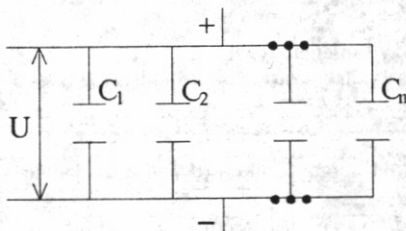
Bundan ko'rindaniki,  $1F$  juda katta birlik bo'lib, u radiusi  $9 \cdot 10^9 \text{ m}$  ga teng, ya'ni bu Yer radiusidan 1500 marta katta ( $R_{cr} = 6,4 \cdot 10^6 \text{ m}$ ) radiusli yakkalangan sharning elektr sig'imidir. Shu sababli amalda faradaning ulushlariga teng birliliklardan:

$$1 \text{ mikrofarada (MkF)} = 10^{-6} \text{ F}$$

$$1 \text{ nanofarada (nF)} = 10^{-9} \text{ F}$$

$$1 \text{ pikofarada (pF)} = 10^{-12} \text{ F}$$

foydalanamiz.



10.1-rasm.

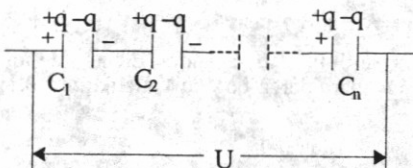
Yakkalangan o'tkazgichlarning sig'imi kichik bo'ladi. Masalan, Yer sharning sig'imi bor-yo'g'i 700  $\text{mF}$  ga teng bo'ladi. Lekin amalda ko'p zaryad yig'a oladigan qurilmalar kerak bo'ladi. Bu qurilmalarning eng soddasи *yassi kondensatordir*, ya'ni har xil ishorali, bir xil miqdordagi zaryad bilan zaryadlangan ikki parallel qoplamaidan iborat. Kondensatorning sig'imi

deganda, zaryadi  $q$  ga proporsional bo'lib, qoplamlar orasidagi potensiallar farqiga teskari proporsional kattalikka aytildi, ya'ni:

$$C = \frac{q}{\varphi_1 - \varphi_2} = \frac{q}{U} \quad (10.3)$$

*kondensatorning elektr sig‘imi uning qoplamlari orasidagi potensiallar fargini bir birlikka oshirish uchun zarur bo‘lgan elektr zaryadi bilan ifodalanuvchi kattalikdir.* Bu yerda

$$\varphi_1 - \varphi_2 = U \quad \text{yoki} \quad U = Ed \quad (10.4)$$



10.2-rasm.

keyinchalik **kuchlanish** deb yuritiladi,  $d$  – qoplamlar orasidagi masofa  $E$  – qoplamlar orasidagi maydon kuchlanganligidir.

$$E = \frac{\sigma}{\epsilon_0 \epsilon} = \frac{q}{\epsilon_0 \epsilon S} \quad (10.5)$$

Bu ifodada  $S$  – qoplamaning yuzi,  $\sigma$  – qoplamadagi zaryadning sirt zichligi,  $\epsilon$  – qoplamlar orasidagi muhitning dielektrik

singdiruvchanligi. (10.4) va (10.5) dan foydalanib (10.3) ni quyida-gicha yozamiz:

$$C = \frac{q}{U} = \frac{q}{\frac{qd}{\epsilon_0 \epsilon S}} = \frac{\epsilon_0 \epsilon S}{d} \quad (10.6)$$

Bu ifoda yassi kondensatorning elektr sig‘imdir.

Elektr sig‘imini kattaroq yoki kichikroq qilishni ta’minlash uchun kondensatorlar parallel yoki ketma-ket ulanadi.

Kondensatorlarni parallel ulanganda (10.1-rasm) ularning sig‘imlari qo’shiladi, ya’ni:

$$C = \sum_{i=1}^n C_i \quad (10.7)$$

Kondensatorlarni ketma-ket ulanganda elektr sig‘imining teskari ifodasi alohida kondensator elektr sig‘imlari teskari qiyatlarining yig‘indisiga teng.

$$\frac{1}{C} = \sum_{i=1}^n \frac{1}{C_i} \quad (10.8)$$

### 10.3. Elektrostatik maydon enerjiyasi

(9.24) ga asosan cheksizlikdan  $dq$  elementar zaryadni ko‘chirishda elektr maydon kuchlariga qarshi bajarilgan ish

$$dA = \varphi d q \quad (10.9)$$

(10.9) teng bo‘ladi. (10.1) tenglikni e’tiborga olsak, (10.9)ni quyidagicha yozamiz:

$$dA = \varphi d(C\varphi) = C\varphi d\varphi. \quad (10.10)$$

O’tkazgich potensialini  $\varphi$  ga yetkazish uchun bajarilishi kerak bo‘lgan ishni integrallashdan foydalanib aniqlaylik:

$$A = \int_0^\varphi C\varphi d\varphi = \frac{C\varphi^2}{2} \quad (10.11)$$

Bu zaryadlangan o'tkazgich energiyasidir, bu energiyani quyidagicha ifodalash mumkin:

$$W = \frac{C\phi^2}{2} = \frac{q^2}{2C} = \frac{q\phi}{2} \quad (10.12)$$

(10.3) ifodadan foydalanib, (10.12) quyidagicha o'zgartirib yozamiz:

$$W = \frac{CU^2}{2} = \frac{qU}{2} = \frac{q^2}{2C} \quad (10.13)$$

(10.13) ifoda zaryadlangan kondensator energiyasidir.

Endi yassi kondensator qoplamlari orasida mujassamlashgan elektrostatik maydon energiyasi ( $W_e$ ) ni aniqlaylik. (10.4) va (10.6) lardan foydalanib, (10.13)ni quyidagicha yozamiz:

$$W_e = \frac{1}{2} \frac{\epsilon_0 \epsilon S}{d} E^2 d^2 = \frac{\epsilon_0 \epsilon}{2} E^2 S d \quad (10.14)$$

bu yerda,  $Sd=V$  qoplamlar orasidagi hajmga teng bo'ladi. (10.14)ni hajm ( $V$ )ga bo'lsak, birlik hajmga to'g'ri keluvchi **elektr maydon energiyasini** topamiz:

$$W_e = \frac{W}{V} = \frac{\epsilon_0 \epsilon}{2} E^2 \quad (10.15)$$

Bu kattalik **elektr maydon energiyasining zichligi** deyiladi.

### Savollar

1. Elektr maydoniga o'tkazgichlar kiritilsa, zaryadlar taqsimoti nimalarga bog'liq?
2. Zaryadlarni o'tkazgich bo'ylab tekis taqsimlanishi va muvozanatining vujudga kelish shartlarini keltiring.
3. Elektr sig'imi deb nimaga aytildi va uning o'chov birliklarini aytинг?
4. Kondensatorlarni parallel va ketma-ket ulanishini ko'rsating.
5. Elektr maydon energiyasini va energiya zichligini ifodalang.

### Masalalar

**33-masala.** Yassi kondensator qoplamlarini orasi birday  $d=0,5$  mm qalinlikdagi shisha ( $\epsilon_1 = 7$ ) slyuda ( $\epsilon_2 = 6$ ) va parafillangan qog'oz ( $\epsilon_3 = 2$ ) dan iborat dielektriklar bilan to'ldirilgan. Agar kondensator qoplamlarining yuzi  $S = 200sm^2$  bo'lsa, kondensatorning elektr sig'imi  $S$  topilsin.

**Berilgan:**  $d = 0,5mm$ ,  $S = 200sm^2 = 2 \cdot 10^{-2} m^2$

$$\epsilon_0 = 8,85 \cdot 10^{-12} F/m, \epsilon_1 = 7, \epsilon_2 = 6, \epsilon_3 = 2$$

---


$$S \sim ?$$

**Yechish.** Agar yassi kondensator qoplamlariga parallel qilib yupqa metall plastinkalarini kiritilsa, u holda uning sirtlarida teng kattalikdagi qarama-qarshi ishorali zaryad paydo bo'ladi. Shuning uchun ham, qoplamlari orasida dielektrik plastinkalarini bo'lgan kondensatorning elektr sig'imini bu plastinka sirtlariga yupqa

metall qatlamlar siljigan deb faraz qilib, aniqlash mumkin. Bu holda o'zaro ketma-ket ulangan kondensator batareyasi hosil bo'slib, ularning elektr sig'implari

$$c_1 = \frac{\epsilon_0 \epsilon_1 S}{d}; c_2 = \frac{\epsilon_0 \epsilon_2 S}{d}; c_3 = \frac{\epsilon_0 \epsilon_3 S}{d} \quad \text{bo'lgani uchun kondensatorning}$$

$$\text{umumiyl elektr sig'imi: } \frac{1}{c} = \frac{1}{c_1} + \frac{1}{c_2} + \frac{1}{c_3} = \frac{d}{\epsilon_0 S} \left( \frac{1}{\epsilon_1} + \frac{1}{\epsilon_2} + \frac{1}{\epsilon_3} \right)$$

$$\text{Bundan } c = \frac{\epsilon_0 \epsilon_1 \epsilon_2 \epsilon_3 S}{(\epsilon_1 \epsilon_2 + \epsilon_1 \epsilon_3 + \epsilon_2 \epsilon_3) d} \text{ son qiymatlarini o'rinalriga qo'yib hisoblaymiz}$$

$$c = \frac{\epsilon_0 \epsilon_1 \epsilon_2 \epsilon_3 S}{(\epsilon_1 \epsilon_2 + \epsilon_1 \epsilon_3 + \epsilon_2 \epsilon_3) d} = \frac{8,85 \cdot 10^{-12} \cdot 7 \cdot 6 \cdot 2 \cdot 2 \cdot 10^{-2}}{(7 \cdot 6 + 7 \cdot 2 + 6 \cdot 2) 5 \cdot 10^4} = \\ = \frac{8,85 \cdot 168 \cdot 10^{-14}}{0,8 \cdot 5 \cdot 10^{-4}} = 437 \cdot 10^{-12} F = 437 pF.$$

**34-masala.** Agar qoplamarining yuzasi  $S = 100 \text{ sm}^2$  bo'lsa, ikkita dielektrik qatlamlari qalinligi  $d_1 = 2 \text{ mm}$  bo'lgan chinni va qalinligi  $d_2 = 1,5 \text{ mm}$  bo'lgan ebonit yassi kondensatorning elektr sig'imi  $S$  ni aniqlang:

$$\text{Berilgan: } d_1 = 2 \text{ mm} = 2 \cdot 10^{-3} \text{ mm},$$

$$d_2 = 1,5 \text{ mm} = 1,5 \cdot 10^{-3} \text{ mm}$$

$$S = 100 \text{ sm}^2 = 10^{-2} \text{ m}^2$$

$$s \sim ?$$

**Yechish.** Ta'rifga ko'ra kondensatorning sig'imi  $c = \frac{q}{U}$  bunda,  $q$  – kondensator qoplamaridagi zaryad,  $U$  – qoplamar potensiallari farqi. Bu tenglikka kondensatordagi umumiyl potensiallar farqi  $U$  – ni dielektrik qatlamlaridagi kuchlanish yig'indisi  $U_1 + U_2$  bilan almashtirib quyidagini olamiz:

$$c = \frac{q}{(U_1 + U_2)} \quad (1)$$

$$q = \sigma S, U_1 = E_1 d_1 = \frac{D}{\epsilon_0 \epsilon_1} d_1 \text{ va } U_2 = E_2 d_2 = \frac{D}{\epsilon_0 \epsilon_2} d_2$$

ekanligini e'tiborga olib, (1) tenglamani

$$c = \frac{\sigma S}{\frac{D}{\epsilon_0 \epsilon_1} d_1 + \frac{D}{\epsilon_0 \epsilon_2} d_2} . \quad (2)$$

ko'rinishda yozish mumkin. Bunda  $\sigma$  – qoplamlardagi zaryadning sirt zichligi,  $E_1$  va  $E_2$  mos ravishda dielektriklarning birinchi va ikkinchi qatlamlaridagi maydon kuchlanganliklari;  $D$  – dielektriklardagi maydonning elektr siljishi.

(2) tenglikning surat va maxrajini  $\epsilon_0$  ga ko'paytirib  $D = \sigma$  ekanligini hisobga olsak,

$$c = \frac{\epsilon_0 S}{\frac{d_1}{\epsilon_1} + \frac{d_2}{\epsilon_2}} .$$

hisoblash o'tkazsak,

$$c = \frac{8,85 \cdot 10^{-12} 100 \cdot 10^{-4}}{1 \cdot \frac{2 \cdot 10^{-3}}{5} + 1,5 \cdot 10^{-3} \cdot \frac{1}{3}} F = 9,83 \cdot 10^{-11} F = 98,3 pF .$$

**35-masala.**  $s_1 = 3 \text{ mkF}$  sig'imi kondensator  $U_1 = 40 \text{ V}$  potensiallar farqigacha zaryadlangan. Tok manbai uzilgandan keyin  $s_2 = 5 \text{ mkF}$  elektr sig'imi kondensator zaryadlanmagan boshqa kondensator bilan parallel ulangan. Ikkinci kondensatorni ulash paytida vujudga kelgan uchqunni hosil qilishga sarflangan  $\Delta W$  energiya aniqlansin.

Berilgan:  $c_1 = 3 \text{ mkF} = 3 \cdot 10^{-6} \text{ F}$ ,  $c_2 = 5 \text{ mkF} = 5 \cdot 10^{-6} \text{ F}$ ,  $U_1 = 40 \text{ V}$

$$\Delta W \sim ?$$

**Yechish.** Uchqun hosil qilish uchun sarflangan energiya.

$$\Delta W = W_1 - W_2 , \quad (1)$$

bunda,  $W_1$  – birinchi kondensatorning, unga ikkinchi kondensator ulaguncha bo'lgan energiyasi.  $W_2$  – birinchi va ikkinchi kondensatorlardan tashkil topgan batareyaning

energiyasi. (1) tenglikka zaryadlangan kondensatorning energiyasi  $W = \frac{1}{2} c U^2$

ni qo'yib va parallel ulangan kondensatorlarning umumiyligi elektr sig'imi, alohida kondensatorlar elektr sig'imirining yigindisiga tengligidan quyidagini olamiz:

$$\Delta W = \frac{c_1 U_1^2}{2} - \frac{(c_1 + c_2) U_2^2}{2} . \quad (2)$$

bunda,  $S_1$  va  $S_2$  – birinchi va ikkinchisi kondensatorlarning elektr sig'imir;  $U_1$  – birinchi zaryadlangan kondensatorlarning potensiallar farqi;  $U_2$  – kondensator batareyasi qisqichlaridagi potensiallar farqi.

Ikkinci kodensator ulangandan keyin ham zaryad oldingidek qolganini hisobga olib,  $U_2$  potensiallar farqini quyidagicha ifodalaymiz.

$$U_2 = \frac{q}{c_1 + c_2} = \frac{c_1 U_1}{c_1 + c_2} ;$$

$U_2$  ning bu ifodasini (2) formulaga qo'yib,

$$\Delta W = \frac{c_1 U_1^2}{2} - \frac{(c_1 + c_2)c_2}{2(c_1 + c_2)^2} U_1^2 .$$

Oddiy o'zgartirishdan keyin quyidagini topamiz:

$$\Delta W = \frac{1}{2} \frac{c_1 \cdot c_2}{c_1 + c_2} U_1^2 .$$

$$\Delta W = 1,5 \cdot 10^{-3} J = 1,5 mJ .$$

## XI bob. O'ZGARMAS ELEKTR TOKI

### 11.1. Elektr tokining mavjudlik sharti va uning asosiy xossalari

Zaryadli zarrachalarning ma'lum bir yo'nalishida tartibli harakati *elektr toki* deb ataladi. «Tok» — «oqim» degan ma'noni anglatadi. Elektr tokini metallarda erkin elektronlarning harakati, elektrolitlarda ionlarning gazlarda esa ionlar bilan elektronlarning harakatini hosil qiladi.

*Tokning yo'nalishi uchun shartli ravishda musbat zaryadlarning harakat yo'nalishi qabul qilingan. O'tkazgichlar ichida elektr maydoni sababli hosil bo'lgan elektr tokiga o'tkazuvchanlik toki deb ataladi.*

O'tkazuvchanlik tokini hosil qilgan erkin elektronlarning harakatini bevosita kuzatib bo'lmaydi. Lekin o'tkazgichdagi *tokning mavjudligini* uning ta'siri yoki u vujudga keltilg'an hodisalariga qarab quyidagicha aniqlash mumkin:

1. Tok o'tayotganda o'tkazgich qiziydi.
2. Tokning magnit qanotchalariga ta'siri.
3. Elektr toki o'tganda muddaning kimyoviy tarkibi o'zgarishi.

Tokning tabiatidan qat'i nazar, uni ifodalovchi asosiy kattalik sifatida *tok kuchi* qabul qilingan. O'tkazgichning kesim yuzidan *dt* vaqt davomida dq zaryad miqdori o'tayotgan bo'lsa, bunday tokning kuchi:

$$I = \frac{dq}{dt} \quad (11.1)$$

ga teng bo'ladi. Uni quyidagicha ta'riflash mumkin: *o'tkazgichning ko'ndalang kesim yuzidan vaqt birligi ichida o'tgan elektr zaryadiga n. lqdr jihatdan teng bo'lgan fizik kattalikka tok kuchi deb ataladi.*

Vaqt o'tishi bilan miqdori va yo'nalishi o'zgarmaydigan tokka *o'zgarmas tok deb ataladi*. Yuza birligidan o'tayotgan tok kuchiga tok zichligi deb yuritiladi.

$$j = \frac{I}{S} \quad (11.2)$$

O'tkazgichning bir birlik ko'ndalang kesim yuzidan o'tgan tokning kuchiga miqdor jihatdan teng bo'lgan fizik kattalikka tok zichligi deyiladi. Agar elektr toki ikki xil ishorali zaryadlarning tartibli harakati tufayli vujudga kelayotgan bo'lsa, tok zichligining ifodasini quyidagicha ko'rinishda yozish mumkin:

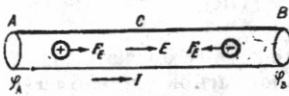
$$j = q^+ n^+ u^+ + q^- n^- u^- \quad (11.3)$$

bunda,  $q^+$  va  $q^-$  mos ravishda musbat va manfiy tok tashuvchilarining zaryad miqdorlari,  $n^+$  va  $n^-$  ularning konsentratsiyasi (ya'ni bir-birlik hajmdagi soni),  $u^+$  va  $u^-$  esa ularning tartibli harakatidagi o'rtacha tezliklari.

SI da tok kuchining o'lchov birligi amper (A) bo'lib, u asosiy birlik sifatida qabul qilingan. Tok zichligi birligi amper taqsim metr kvadrat ( $A/m^2$ ).

### 11.2. Elektr yurituvchi kuch va kuchlanishi

Biror o'tkazgich olib, bu o'tkazgichning  $A$  va  $V$  uchlarida turli ishorali ortiqcha musbat va manfiy zaryadlar bilan ta'minlanganligini nazarda tutib, bu o'tkazgich bo'ylab o'tkazgichning uchlarida hosil bo'lgan  $\varphi_A - \varphi_V$  potensiallar ayirmasi uning ichida potensial tushishi tomonga yo'nalgan elektr maydoni hosil bo'lishini



11.1-rasm.

tekshiraylik. Bu maydon kuchlari ta'sirida musbat zaryadlar  $A$  dan  $V$  ga qarab, manfiy zaryadlar esa  $V$  dan  $A$  ga qarab tartibli harakatga keladi va natijada o'tkazgich bo'ylab elektr toki oqa boshlaydi. Ammo bu holat uzoq vaqt davom etmaydi, chunki zaryad tashuvchilarning harakati o'tkazgich ichidagi maydonni tezlik bilan yo'qolishiga va tokning to'xtashiga olib keladi.

O'tkazgichda uzluksiz ravishda elektr toki mayjud bo'lishi uchun maxsus qurilma bo'lishi va uning ichida hamma vaqt turli ismli zaryadlar ajralib turishi hamda musbat zaryadlar  $A$  uchiga, manfiy zaryadlar esa  $V$  uchiga ko'chib turishi zarur. Bunday qurilmani *tok manbai deyiladi*. Tok manbaida zaryadlarni ajratuvchi kuchlar elektrostatik xususiyatiga ega bo'imasligi kerak, chunki elektr kuchlar turli ismli zaryadlarni ajratmaydi, balki faqat birlashtirishi mumkin. Shuning uchun tok manbaida zaryadlarni ajratuvchi kuchlar *begona*, ya'ni *tashqi kuchlar* deb yuritiladi. Tok manbalarida zaryadlarni ajratish jarayonida mexanik, kimyoviy, ichki va boshqa turdag'i energiyalar elektr energiyasiga aylanadi. Masalan, o'zgarmas tok generatorida bu kuchlar magnit maydon energiyasi va yakorning aylanishidagi mexanik energiya, elektrofar mashinasida mexanik energiya, termoelementda ichki energiya, akkumulator va galvan elementda – kimyoviy reaksiyalar energiyasi, yarimo'tkazgich fotoelementda yorug'lik energiyasi hisobiga hosil qilinadi. Shunday qilib, tok manbai o'tkazgichning  $A$  va  $V$  uchlari uzlusiz ravishda har xil ismli zaryadlar bilan ta'minlab turadi. Ammo tok manbai ichida zaryadlarning ajralishiga, birinchidan, musbat qutbdan manfiy qutbga yo'nalgan ichki elektr maydoni va ikkinchidan, tok manbai ichida ionlarni harakatiga elektrotolitning (yopishqoqligi) qarshiligi to'sqinlik qiladi. Shu tariqa tashqi elektr ajratuvchi kuchining bajargan  $A$ , ishi tok manbai ichidagi elektr maydoni kuchlariga qarshi bajariladi, u holda

$$\frac{A_T}{q} = \epsilon \quad (11.4)$$

kattalik tok manbaining *elektr yurituvchi* kuchi deyiladi. U quyidagicha ta'riflanadi: *tok manbaining elektr yurituvchi kuchi (EYUK) tashqi kuchlar ta'sirida birlik musbat zaryadli manbani o'z ichiga olgan berk zanjir bo'ylab ko'chirishda bajarilgan ish bilan xarakterlanadi*.

SI da EYUK birligi qilib volt ( $V$ ) qabul qilingan:  $1V$  - shunday tok manbaining EYUK ki, u manbani o'z ichiga olgan berk zanjir bo'ylab  $1Kl$  zaryadni ko'chirishda 1J ish bajariladi. Ochiq zanjirdagi tok manbaining EYUK manbaning qutblaridagi potensiallar farqiga teng:

$$\epsilon = \varphi_A - \varphi_B \quad (11.5)$$

Tashqi elektr zanjiri bilan tutashtirilgan tok manbai qutblaridagi potensiallar ayirmasi tok manbaining *kuchlanishi* deyiladi.

Yopiq zanjir uchun birinchidan, kulon kuchlari ta'sirida birlik musbat zaryadni  $A$  dan  $V$  gacha ko'chirishda bajarilgan ish shu ikki nuqta orasidagi potensiallarning farqi ( $\varphi_A - \varphi_V$ ) ga teng. Ikkinchidan, tashqi kuchlar ta'sirida birlik musbat zaryadni zanjirning tekshirilayotgan qismida ko'chirishda bajarilgan ish zanjirning shu qismidagi manbaining EYUK  $\epsilon_{AB}$  ga teng. Shuning uchun kuchlanish

$$U_{AB} = (\varphi_A - \varphi_B) + \epsilon_{AB} \quad (11.6)$$

teng bo'ladi. Agar  $\varepsilon_{AB} = 0$  bo'lsa,

$$U_{AB} = (\varphi_A - \varphi_B)$$

bo'ladi.

Kuchlanish ham, xuddi EYUK kabi volt ( $V$ )da o'lchanadi.

### 11.3. Om qonuni. O'tkazgichning qarshiligi

Om qonuni juda ko'p tajribalar natijasi asosida qashf etilgan qonundir. Uning to'g'riliq boshqa kishilar tomonidan o'tkazilgan ko'pgina tajribalarda ham isbotlangan. 1826-yili nemis fizigi Om quyidagi qonunni yaratdi: bir jinsli metall o'tkazgichdan o'taytgan tok kuchi ushbu o'tkazgichning uchlaridagi kuchlanishga to'g'ri proporsional:

$$I = \frac{1}{R} U \quad (11.7)$$

bu yerda,  $R$  – o'tkazgichning elektr qarshiligidir. (11.7) tenglama zanjirning bir *qismi uchun Om qonunini ifodalaydi*. Qarshilik birligi  $Om$  deb qabul qilingan. O'tkazgichning uchlaridagi kuchlanish  $IV$  bo'lganda  $1A$  tok kuchi o'tadigan o'tkazgichning elektr qarshiligi  $1\text{ Om}$  ga teng bo'ladi. Elektr qarshilikka teskari bo'lgan kattalik

$$G = \frac{1}{R} \quad (11.8)$$

*elektr o'tkazuvchanlik deb* ataladi, uning o'lchov birligi *simens (Sm)*.  $1Sm$  - elektr qarshiligi  $1\text{ Om}$  bo'lgan o'tkazgichning elektr o'tkazuvchanligidir.

Metall o'tkazgichning tokka ko'rsatadigan qarshiligi erkin elektronlarning metaldagi kristall panjara ionlari bilan to'qnashishlari tufayli hosil bo'lgani uchun qarshilik o'tkazgichning shakli, o'lchamlari va uning qanday materialdan yasalganligiga bog'liq bo'ladi. Omning tadqiqotlariga muvofiq, bir jinsli silindrsimon o'tkazgich uchun o'tkazgichning qarshiligi uning  $l$  uzunligiga to'g'ri proporsional va ko'ndalang kesim yuzi  $S$  ga teskari proporsional

$$R = \rho \frac{l}{S} \quad (11.9)$$

bu yerda,  $\rho$  – o'tkazgichning *solishtirma elektr qarshiligi*. U o'tkazgich materialining tabiatiga bog'liq kattalikdir. Solishtirma elektr qarshilikka teskari bo'lgan:

$$\sigma = \frac{1}{\rho} \quad (11.10)$$

kattalikni o'tkazgichning *solishtirma elektr o'tkazuvchanligi* deb ataladi. Solishtirma elektr qarshilikning o'lchov birligi –  $Om$  metr ( $Om.m$ );  $1\text{ Om.m}$  – ko'ndalang kesimi  $1m^2$ , uzunligi  $1m$  bo'lganda  $1\text{ Om}$  elektr qarshilikka ega bo'lgan o'tkazgichning solishtirma elektr qarshiligidir.

Solishtirma elektr o'tkazuvchanlikning o'lchov birligi simens taqsim metr ( $Sm/m$ );  $1\text{ Sm/m}$  – ko'ndalang kesimi  $1m^2$ , uzunligi  $1m$  bo'lganda  $1Sm$  elektr o'tkazuvchanlikka ega bo'ladigan o'tkazgichning solishtirma elektr o'tkazuvchanligidir.

O'tkazgichning qarshiligi va solishtirma qarshiligi haroratga bog'liq bo'ladi. Harorat ortishi bilan metall panjarasidagi ionlarning issiqlik harakati tezlashadi va elektronlarning tartibli harakatini qiyinlashtiradi. Shuning uchun metallarning qarshiligi harorat ortishi bilan ortadi. Tajribalarni ko'sratishicha barcha metallarning qarshiligi harorat bilan chiziqli bog'langandir:

$$R = R_0(1 + \alpha t) \quad (11.11)$$

bu yerda,  $R_0$  – o'tkazgichning  $0^{\circ}\text{C}$  dagi qarshiligi,  $t$  – harorat,  $\alpha$  – *qarshilikning harorat koefitsiyenti*, sof metallar uchun:

$$\alpha \approx \frac{1}{273} \text{ grad}^{-1}$$

Termodinamik harorat  $T$  dan foydalaniib, (11.11)ni quyidagicha yozamiz:

$$R = \alpha R_0 T \quad (11.12)$$

O'tkazgichning qarshiligi, asosan, solishtirma qarshilikning o'zgarishi hisobiga o'zgaradi. Agar (11.11) formulaga  $R = \rho \frac{l}{S}$  va  $R_0 = \rho_0 \frac{l}{S}$  qiymatlari qo'yilsa, solishtirma qarshilikning haroratga bog'lanishini ifodalovchi formula hosil bo'ladi:

$$\rho = \rho_0(1 + \alpha t) \quad (11.13)$$

Binobarin, solishtirma qarshilik ham haroratga chiziqli bog'langandir. Lekin ayrim sof metallarning solishtirma qarshiligi absolut nolga yaqin haroratdayoq keskin nolga aylanishi ma'lum bo'ldi. O'ta o'tkazuvchanlik deb nom olgan bu hodisani birinchi marta 1911-yilda gollandiyalik fizik Kamerling-Onnes simobni suyuq geliyda sovutganda simobning qarshiligi dastlab asta-sekin kamayib, so'ngra harorat 4,1  $K$  ga yetganda sakrab birdaniga nolga tushib qolganligini aniqlagan.

Elektr zanjiri ko'pincha turli usullar bilan ulangan bir necha qarshiliklardan iborat bo'lishi mumkin. Qarshiliklar zanjirga o'zaro ketma-ket va parallel ulanadi.

Ketma-ket ulangan qarshiliklarning umumiyligi qarshiligi alohida olingen qarshiliklarning algebraik yig'indisiga teng, ya'ni:

$$R_{\kappa,\kappa} = R_1 + R_2 + \dots + R_n = \sum_{i=1}^n R_i. \quad (11.14)$$

O'zaro parallel ulangan qarshiliklardan tuzilgan zanjir qarshiligining teskari qiymati har bir alohida olingen qarshiliklar teskari qiymatlarining algebraik yig'indisiga teng, ya'ni:

$$\frac{1}{R} = \frac{1}{R_1} + \frac{1}{R_2} + \dots + \frac{1}{R_m} = \sum_{i=1}^m \frac{1}{R_i}. \quad (11.15)$$

#### 11.4. Zanjirning bir jinsli bo'lmagan qismi uchun Om qonuni

Zanjirning bir jinsli bo'lmagan qismida tok manbai ishtirot etadi. Shuning uchun zanjirning umumiyligi elektr qarshiligi ( $R_{un}$ ) ni hisoblaganda tok manbaining *ichki qarshiligi*  $r$  ni ham hisobga olishga to'g'ri keladi. Generatorda r ichki qarshilik deb chulg'aamlar qarshiligi, galvanik elementda esa elektrolit eritmasi (musbat va manfiy ionlar harakatiga bo'lgan qarshilik) va elektrodlarning qarshiligi tushuniladi.

(11.6) dan foydalanim zanjirning bir jinsli bo'lmagan qismi uchun  $Om$  qonunini quyidagi ko'rinishda ifodaylik:

$$I = \frac{U_{AB}}{R_{um}} = \frac{(\varphi_A - \varphi_B) +}{R + r} \quad (11.16)$$

(11.16) ni odatda,  $Om$  ning umumlashtirilgan qonuni deb ham ataladi, chunki uni elektr zanjirning ixtiyoriy qismi uchun qo'llash mumkin. (11.16) ifodada  $\varphi_1 = \varphi_2$  bo'lsa, berk zanjir uchun  $Om$  qonuning ifodasi quyidagi ko'rinishga keladi.

$$I = \frac{\text{---}}{R + r} \quad (11.17)$$

bundagi  $E$  – berk zanjirdagi barcha EYUK larning algebraik yig'indisi,  $R+r$  esa zanjirdagi umumiylar qarshilik.

(11.17) tenglik berk zanjir uchun  $Om$  qonuning matematik ifodasi bo'lib, u quyidagicha ta'riflanadi:

*Berk zanjirdan o'tayotgan tokning kuchi manbaning elektr yurituvchi kuchiga to'g'ri proporsional va zanjirning to'la qarshiligidagi teskari proporsionaldir.* (11.9), (11.10) lardan foydalanim,  $Om$  qonunlarining differensial ko'rinishini ifodaylik. Buning uchun o'tkazgichning qarshiligi  $R = \rho \frac{dl}{dS}$  ni hisoblaganda elementar uzunlik  $dl$  va elementar yuza  $dS$  ni kiritaylik. U holda o'tkazgich uchlaridagi kuchlanishni  $U=Edl$  deb, undan o'tayotgan tok kuchini esa  $I = jdS$  ga teng deb olamiz. Bularni zanjirning bir jinsli qismi uchun  $Om$  qonuni (11.7) ifodasiga qo'ysak:

$$jdS = \frac{Edl}{\rho \frac{dl}{dS}} = \frac{dS}{\rho dl} Edl$$

yoki

$$j = \frac{1}{\rho} E \quad (11.18)$$

hosil bo'ladi. Bu yerdagi  $\sigma = \frac{1}{\rho}$  teng ekanligini hisobga olsak (11.18) ifoda quyidagi ko'rinishga keladi:

$$j = \sigma E \quad (11.19)$$

Bu ifoda zanjirning bir jinsli qismi uchun *Om qonuning differensial ko'rinishidir*. Agar zanjirning tekshirilayotgan qismi bir jinsli bo'limasa, u holda zanjirda Kulon kuchlari bilan bir qatorda tashqi kuchlar ham ishtirot etadi. U holda zanjirning *bir jinsli bo'lmagan qismi uchun Om qonuning differensial ko'rinishi* quyidagicha yoziladi:

$$j = \sigma(E + E_T) \quad (11.20)$$

bundagi  $E_T$  – zanjirning tekshirilayotgan qismidagi tok manbalari ta'sir etayotgan tashqi kuchlar maydonining kuchlanganligidir.

### 11.5. Joul - Lens qonuni

Tajribalardan ma'lumki, o'tkazgichdan tok o'tganda hamma vaqt mazkur o'tkazgich qiziydi. Uning qizishga sabab shuki, o'tkazgich bo'ylab harakatlanayotgan elektronlarning kinetik energiyasi elektronni o'tkazgich kristall panjarsining ioni bilan har bir to'qnashishida issiqlikka aylanadi. **Joul** va **Lens** mustaqil ravishda o'z tajribalarida o'tkazgichdan tok o'tishi natijasida undan ajralib chiqqan issiqlik miqdori o'tkazgichning qarshiligiiga, tok kuchining kvadratiga va tokning o'tib turish vaqtiga proporsional ekanligini topdilar:

$$dQ = I^2 R dt = \frac{U^2}{R} dt \quad (11.21)$$

Bu munosabat Joul-Lens qonunini ifodalaydi. (11.21) ifoda o'z navbatida o'tkazgichning ko'ndalang kesimidan  $dt$  vaqt ichida  $Idt$  zaryadni ko'chirishda tokning bajargan ishiga teng bo'ladi:

$$dA = dQ = I^2 R dt = \frac{U^2}{R} dt \quad (11.22)$$

Elektr tokining quvvati esa quyidagi:

$$N = \frac{dA}{dt} = IU = I^2 R = \frac{U^2}{R} \quad (11.23)$$

ifodaga teng bo'ladi. (11.18) dan foydalanib (11.21) ni quyidagicha yozamiz:

$$dQ = RI^2 dt = \frac{\rho dl}{ds} (jdS)^2 dt = \rho j^2 dl ds dt \quad (11.24)$$

Agar  $dl \cdot ds = dv$  o'tkazgichning issiqlik ajralayotgan hajmi ekanligini hisobga olsak,

$$dQ = \rho j^2 dV \cdot dt \quad (11.25)$$

(11.24) ni  $dv dt$  ga bo'lsak, o'tkazgichning birlik hajmdan birlik vaqtida ajralib chiqqan issiqlik miqdorini xarakterlovchi kattalikni topamiz. Bu kattalik **tok issiqlik quvvatining zichligi deb ataladi**.

$$w = \frac{dQ}{dvdt} = \rho j^2 \quad (11.26)$$

(11.18) va (11.19) ifodalardan foydalanib, (11.25) ni quyidagicha yozamiz:

$$w = jE = \sigma E^2 \quad (11.27)$$

Bu ifoda Joul-Lens qonunining **differensial ko'rinishidir**.

### 11.6. Kirxgof qoidalari

Yuqorida biz berk zanjirdan iborat tarmoqlanmagan, eng sodda elektr zanjirlarini ko'rdik. Tarmoqlanmagan zanjirning barcha qismlarida tok kuchi bir xil bo'ladi. Tarmoqlanmagan zanjirlarni (tok kuchi, E.Y.U.K ni va qarshiligini aniqlash) *Om* qonunlari yordamida osongina hisoblash mumkin.

Tarmoqlangan elektr zanjiri ancha murakkab bo'ladi. Kirxgof qoidalari tarmoqlangan murakab zanjir qismlarini hisoblashda qo'llilaniladi. Tarmoqlanmagan zanjir berk konturning alohida qismlarida tok kuchlari kattalik va yo'nalish jihatdan

turlicha bo'lishi mumkin.

Elektr zanjirining kamida uchta o'tkazgich tutashgan nuqtasi ***tugun*** deyiladi. Tugunga kelayotgan toklarni *musbat* ishora bilan, tugundan ketayotgan toklarni esa manfiy ishora bilan olinadi. Kirxgofning birinchi qoidasiga asosan; ***tugunda uchrashuvchi toklarning algebraik yig'indisi nolga teng***, ya'ni 11.2-rasmdagi elektr tugun uchun:

$$\sum_{i=1}^n I_i = I_1 + I_2 + I_3 - I_4 - I_5 = 0 \quad (11.28)$$

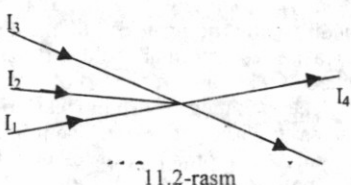
$$\text{yoki } I_1 + I_2 + I_3 = I_4 + I_5$$

Kirxgofning ikkinchi qoidasi tarmoqlanmagan zanjirning berk konturiga tegishli. Biror murakkab tarmoqlanmagan elektr zanjiridan ixtiyoriy AVSD berk konturni ajratib olaylik (11.3-rasm). Bu kontur ixtiyoriy yo'nalishda aylanganda qo'shni tugunlar orasidagi zanjir qismlari uchun Om qonuni (11.16) ni qo'llaymiz. Bunda quyidagi shartlarga rioya qilish kerak:

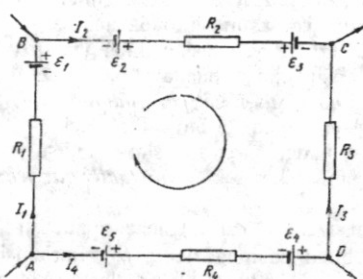
1)zanjirning har bir qismidagi qarshilik ( $R$ ) deganda shu qismdagi barcha tashqi va ichki qarshiliklari yig'indisi tushuniladi;

2)zanjirning ayrim qismlari-dagi tokning yo'nalishi konturni aylanish yo'nalishi bilan mos tushsa, bunday tokni musbat, aks holda manfiy deb hisoblanadi;

3)zanjirdagi tok manbalarining manfiy qutbidan musbat qutbi tomon yurish konturni aylanish yo'nalishi bilan mos tushsa, manbaning EYUK musbat ishora bilan aks holda manfiy



11.2-rasm



11.3-rasm.

ishora bilan olinadi.

Shunday qilib, yuqoridaqilarni hisobga olib ABCD kontur uchun quyidagilarni yozaylik:

$AB$  qism uchun.

$$I_1 R_1 = \varphi_A - \varphi_B + \varepsilon_1$$

$BC$  qism uchun.

$$I_2 R_2 = \varphi_B - \varphi_C + \varepsilon_2 - \varepsilon_3$$

$CD$  qism uchun.

$$-I_3 R_3 = \varphi_C - \varphi_D$$

$DA$  qism uchun.

$$-I_4 R_4 = \varphi_D - \varphi_A - \varepsilon_4 - \varepsilon_5$$

Bu tengliklarni hadlab qo'shsak:

$$I_1 R_1 + I_2 R_2 - I_3 R_3 - I_4 R_4 = \varepsilon_1 + \varepsilon_2 - \varepsilon_3 - \varepsilon_4 - \varepsilon_5 \quad (11.29)$$

yoki  $I$  va  $\varepsilon$  lar algebraik kattaliklar ekanligini hisobga olib, (11.28)-ni quyidagi ko'rinishda yozamiz:

$$\sum_i I_i R_i = \sum_i \varepsilon_i \quad (11.30)$$

Bu munosabat Kirxgof ikkinchi qoidasining matematik ifodasıdır, u quyidagicha ta'riflanadi: *tarmoqlanmagan elektr zanjirning berk konturida tok kuchlarining bu konturning tegishli qismlari qarshiliklariiga ko'paytmalarining algebraik yig'indisi ushbu konturdagi barcha EYUK larning algebraik yig'indisiga teng.*

Kirxgofning ikkinchi qoidasini o'zgaruvchan tok zanjiriga ham tatbiq qilish mumkin.

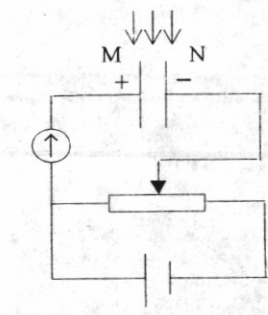
### 11.7. Gazlarda elektr toki

Elektr tokning gazlar orqali o'tishiga *gaz razryadi* deyiladi. Metallar va elektrolitlar tok tashuvchilar har doim mavjuddir, ularga berilgan elektr maydoni mavjud zaryadlarni faqat tartibga soladi. Gazlar esa normal holda izolator hisoblanadi, ularda tok tashuvchilar bo'lmaydi.

Gazlar orqali elektr tokining o'tishini tekshirish uchun 11.4-rasmda tasvirlangan elektr zanjirining chizilmasini tuzaylik. Zanjir orqali elektr tok oqimini ta'minlamoqchi bo'lsak, *M* va *N* elektrodlar oralig'iga zaryad tashuvchilar vujudga keltirish kerak. Gazda zaryad tashuvchilar vujudga keltirishning ikki usulidan foydalananiz:

a) gazlarda zaryad tashuvchilar tashqi ta'sirlar natijasida holsi qilinsa, bunday holda kuzatiladigan elektr tokni *nomustaqil gaz razryadi deyiladi*;

b) agar zaryad tashuvchilar elektr maydon ta'sirida vujudga kelsa, shu hodisa tufayli kuzatiladigan elektr tokni *mustaqil gaz razryadi deyiladi*.



11.4-rasm.

*Nomustaqil gaz razryadi* gazlarni yuqori haroratgacha qizdirish bilan, ultrabinafsa yoki rentgen nurlari ta'siri bilan, shuningdek,  $\alpha$ ,  $\beta$ ,  $\gamma$  nurlanishining ta'siri ostida yuzaga kelishi mumkin. Bu hol *M* va *N* elektrodlar orasidagi gaz molekulalarining ionlashuviga olib keladi. Ionlashishda gaz molekulalaridan, odatda, bitta elektron uzib chiqariladi, buning natijasida molekulalari *musbat ion* bo'lib qoladi. Uzilib chiqqan elektron juda oz muddat erkin qolishi mumkin yoki darhol gazning neytral molekulalaridan biriga birlashadi va bu molekulani *manfly ionga aylantiradi*. Gazdagi ionlashish jarayoni sababchisi bo'lgan tashqi dalillar ionizator deb ataladi. Shunday qilib, ionlashgan gazda musbat ionlar ham, manfly ionlar ham, erkin elektronlar ham bo'ladi. Gazda ionlanish bilan birga ionlarning rekombinatsiyalanish o'zaro qo'shilishi jarayoni ham boradi.

Tashqi elektr maydoni bo'lganida ionlashgan gazda turli ismli ionlarning qarama-qarshi yo'nalishdagi harakati va elektronlarning harakati tufayli tok vujudga keladi.

Ionizator ta'siri to'xtaganda gaz ionlarining konsentratsiyasi darhol nolgacha kamayadi va tok to'xtaydi.

*Mustaqil gaz razryadi* vaqtida o'z-o'zidan ionlashish jarayonlari tashqi ionizator ta'sir qilmasdan, balki kuchli elektr maydonlar ta'sirida zaryad tashuvchilar vujudga kelishi tufayli sodir bo'ladi. Elektrodlar zaryad

tashuvchilarning hosil bo'lishini ta'minlovchi quyidagi asosiy jarayonlar bilan tanishib o'taylik.

**1). Zarbdan ionlanish.** Tabiiy sharoitlarda gazda hamma vaqt ham oz miqdorda erkin elektronlar va ionlar bo'ladi, ular kosmik nurlar va atmosferada, tuproqda, suvda bo'ladigan radiaktiv moddalarni nurlanishi ta'sirida hosil bo'lishi mumkin.  $10^3 - 10^5 \text{ V/m}$  elektr maydonlarida bu zarrachalarni shunday tezliklarga gacha tezlatish mumkinki, ularning kinetik energiyasi ionlanish ishidan katta bo'lib ketadi va ular neytral molekulalar bilan to'qnashib, bu molekulalarni ionlashtiradi. Hosil bo'lgan elektron va ionlar ham maydon ta'sirida tezlashib, o'z navbatida, ular ham yangi neytral molekulalarni ionlanitiradi va hokazo. Shu tariqa gazda ionlanish niyoyatda katta qiymatlarga erishadi. Gazning bunday o'z-o'zidan ionlanishi **zarbdan ionlanish deyiladi**.

**2). Ikkilamchi elektron emissiya.** Maydon ta'sirida tezlashtirilgan musbat ionlar metall katodiga urilib, **katoddan elektronlarni urib chiqaradi**, bu elektronlar o'z navbatida maydon tomonidan tezlashtirilib, neytral molekulalarni ionlashtiradi. Bu hodisa ikkilamchi elektron emissiya deyiladi.

**3). Avtoelektron emissiya.** Bu hodisa niyoyatda kuchli elektr maydonlarda ( $E \sim 10^8 \text{ V/m}$ ) sodir bo'ladi. Bunda niyoyatda kuchli elektr maydon metallardan elektronlarni yubil oladi, deyish mumkin.

**4). Fotoionlanish.** Gaz molekulalari zarbdan ionlanish natijasida vujudga kelgan ion uyg'ongan holatda bo'lishi mumkin. Bu ion uyg'ongan holatdan o'zining dastlabki holatiga o'tganda qisqa to'lqinli nur chiqariladi. Bunday nur energiyasi molekulalarning ionlanishiga yetarli bo'lib qolganda, fotoionlanish hodisasi ro'y beradi.

**5). Termoelektron emissiya.** Katodni yetarli darajada qizdirilishi natijasida undan elektronlarni uchib chiqishi tufayli elektronlar to'plami vujudga keladi.

Endi mustaqil gaz razryadining ba'zi turlari bilan tanishaylik.

**1.Toj razryad.** Bir jinsli bo'lgan, ya'ni notekei elektr maydonlarda bo'lgan normal bosimli gazda elektrodlar o'tkir qismalarining yaqinida **toj razryad** kuzatiladi. Toj razryad gaz molekulalarning kuchli elektr maydonida katta tezliklarga gacha tezlatilgan elektronlari va ionlarining zarbdan ionlanishi tufayli yuzaga keladi, bunday kuchli elektr maydonlar elektrodlarning o'tkir uchli qismalarda vujudga kelishi ma'lum.

Toj razryad, masalan, yuqori kuchlanishli simlar yaqinida, machtalar uchlari va boshqa o'tkir uchli simlar yaqinida hosil bo'ladi. Yashin qaytargichning ishlashi toj razryadga asoslangan. Atmosferada momaqaldiryoq bo'lgan vaqtida hosil bo'ladigan kuchli elektri maydoni yashin qaytargichning uchida toj razryadi vujudga keltiradi va binolarni yashin zarbdan muhofaza qiladi.

**2.Uchqunli razryad.** Induksion g'altak chulg'aming ikki uchi orasidagi kuchlanish niyoyatda katta ( $3 \cdot 10^6 \text{ V/m}$ ) bo'lganda, gazning turkisi zarbdan ionlanishi natijasida qisqa vaqtli razryad – yashindir. Yashin bulutlar orasida yoki bulut bilan Yer oralig'iда katta potensiallar farqi vujudga kelishi natijasida paydo bo'ladi. Uchqun razryad yaqinidagi gaz yuqori ( $10^4 \text{ °C}$ ) haroratlarga gacha qizydi va keskin kengayadi. Yashinning uzunligi 50 kilometrgacha, tok kuchi 20 000 A gacha yetadi, yashin  $10^{-6}$  sekund davom etadi, shuning uchun uning tovushi, ya'ni momaqaldiryoq juda kuchli bo'ladi.

**3.Yoy razryad.** Yoy razryad bir-biriga yaqin joylashgan ikki elektrod (ko'mir yoki metall) orasida 40 V yaqin kuchlanishda vujudga keladi. Atmosfera bosimida uning harorati 2500 – 4000 °C bo'ladi. Yoy razryad vaqtida tok kuchi ~ 3000 A dan

katta bo'lishi mumkin. Yoy razryad cho'g'langan katodning termoelektron emissiyasidan yuzaga keladi. Yoy razryad 1802-yilda V.V.Petrov tomonidan kashf qilingan. Yoy razryaddan metallarni payvandlashda, maxsus po'latlarni eritish (yoy pechi), yoritishda (yoy projektor) va boshqa sohalarda qo'llaniladi.



11.5-rasm.

nurlanuvchi A ustun (*musbat ustun*) ko'rinishida bo'ladi (11.5-rasm), faqat katod yaqinidagi kichik V sohagina nurlanmay qoladi (*katod qorong'i fazasi*). Nurlanish qo'zg'algan molekulalarni vujudga keltiradi. Nurlanishning rangi gaz tabiatiga bog'liq bo'ladi, masalan, neon-qizil, argon-ko'kish, geliy-sariq rangdagi nurlanishni beradi.

Yolqin razryad musbat ionlarning katoddan urib chiqqargan elektronlarining zarbidan ionlashuvi tufayli hosil bo'ladi. Katod yaqinida bu elektronlar maydon ta'sirida hali tezlashib ulgurmagan bo'ladi. Yolqin razryadning xususiyatlardan kunduzgi yorug'lik lampalarida, ko'rgazmalarni yoritish, bezash maqsadlarida foydalaniлади.

#### 11.8. Plazma

Mustaqil razryadning ba'zi turlarida gazning ionlashishi darajasi juda yuqori bo'ladi. Yuqori darajada ionlashgan kichik hajmda elektroneytral bo'lgan gaz *plazma* deb ataladi. Agar gazning barcha molekulalari ionlashgan bo'lsa, ya'ni ionlashganlik darajasi birga teng bo'lsa, to'liq ionlashgan plazma deyiladi. Boshqa hollarda qisman ionlashgan plazma bilan ish ko'riladi.

Plazma moddaning alohida holatidir. Bir necha o'n million gradius haroratga ega bo'lgan Quyosh va boshqa yulduzlarni tashkil qilgan moddalar plazma holatda bo'ladi. Plazmani ikki usul bilan hosil qilish mumkin.

1.O'ta yuqori haroratlarga qizdirilgan gaz molekulalari o'zarlo to'qashuvi tufayli ionlanish sodir bo'ladi. Masalan,  $T \geq 10\,000\ K$  da har qanday jism plazma holatda bo'ladi. Yuqori haroratda hosil bo'lgan plazma *yuqori haroratli plazma deyiladi*.

2. Gaz razryadi natijasida hosil bo'lgan plazma *gaz razryadli plazma deyiladi*. Gaz razryadli plazma elektronlari va ionlari gaz razryadini vujudga keltirayotgan elektr toki manbaidan doimo energiya olib turadi. Natijada ionlar va elektronlarning haroratlari keskin farq qiladi, chunki elektronlar elektr maydonida ko'proq tezlashadi. Masalan, yolqin razryadda elektronlar harorati –  $10\,000\ K$  bo'lsa, ionlar harorati  $\sim 2000K$  dan ortmaydi.

Plazma zarralari, oddiy gaz molekulalariga o'xshash tartibsiz harakatda bo'ladi. Plazma elektromagnit maydon bilan ta'sirlashgani uchun radio to'lqlarlarni qaytaradi.

Plazmada tok tashuvchilar konsentratsiyasi juda katta. Shuning uchun plazmaning elektr o'tkazuvchanlik xossasi yaxshi. Plazmada elektronlarning harakatchanligi ionlarga nisbatan taxminan uch marta katta, shu sababli plazmada tokni, asosan, elektronlar hosil qiladi.

Hozirgi paytda plazmadan ikki yo'nalishda foydalaniш mo'ljallanyapti:

1) boshqariluvchi termoyadro reaksiyalarida;

## 2) magnitogidrodinamik generatorlarda (MGDG).

### Savollar

- Elektr tokining mavjudlik shartini u vujudga keltirgan hodisalarga qarab qanday aniqlash mumkin?
- Agar elektr toki ikki xil ishorali zaryadlarning tartibli harakati tufayli vujudga kelayotgan bo'lsa, tok zichligini ifodasi qanday ko'rinishda bo'ladi?
- O'tkazgichda uzluksiz ravishda elektr toki mavjud bo'lishi uchun qanday qurilma bo'lishi va uning ichida hamma vaqt turli ismli zaryadlarni ajratib turuvchi qanday kuchlar bo'ladi?
- Elektr yurutuvchi kuch (EYUK), potensial va kuchlanishlar orasida qanday bog'lanish bor?
- Om qonunlarini bir-jinsli va bir jinsli bo'limgan elektr zanjirlari uchun ifodalang va ularni differensial ko'rinishini keltirib chiqaring.
- Qarshilikni o'tkazgichning o'lchamlariga, temperaturaga bog'liqligini ifodalang va o'ta o'tkazuvchanlik hodisasini aniqlashda moddalarni turiga qarab temperatura sohasini o'zgarishini tushuntiring.
- Joul-Lens qonunini ta'riflang va uning differensial ko'rinishini keltiring.
- Tarmoqlanmagan va tarmoqlangan zanjirlar uchun Kirxgof qoidalarini ifodalang, ta'riflarini aytинг.
- Mustaqil va nomustaqlil gaz razryadlari hosil qilishda ionizator va elektr maydonlarini ta'sirini xarakterlang.
- Yuqori darajada ionlashgan kichik hajmda elektroneytiral bo'lgan gaz, ya'ni plazma qanday hosil qilinadi va uni qanday tutib turiladi, shuningdek, plazmadan qanday maqsadlarda foydalilanadi?

### Masalalar

**36-masala.** Elektr stansiyasining klemmalaridagi kuchlanish  $U_0 = 6600V$ .

Iste'molchi  $l = 10$  km uzoqlikda joylashgan. Agar tok kuchi liniyada  $I=20 A$  va simlarda kuchlanish tushishi 3% bo'lsa, ikki simli uzatish liniyasi qurish uchun olinadigan mis simning ko'ndalang kesim yuzi  $S$  qancha bo'lishi kerak? Misning solishtirma qarshiligi  $\rho = 1,7 \cdot 10^{-8} \text{ Om} \cdot \text{m}$ .

**Berilgan:**  $U_0 = 6600V$ ,  $l = 10 \text{ km} = 10^4 \text{ m}$

$I = 20 A$ ,  $k = 3\%$

$$\rho = 1,7 \cdot 10^{-8} \text{ Om} \cdot \text{m}$$

$S \sim ?$

**Yechish.**  $R = \rho \frac{l}{S}$  formulaga muvofiq  $S = \rho \frac{2l}{R}$  bu yerda,  $R$ -simining qarshiligi. Om qonuniga muvofiq  $U = IR$ . Biroq shartga ko'ra  $U = 0.03 U_0$ .

$$U \text{ holda } R = \frac{0.03 U_0}{I} \text{ va}$$

$$S = \frac{2l\rho I}{0.03 U_0} = \frac{2 \cdot 10^4 \cdot 1,7 \cdot 10^{-8} \cdot 20}{0.03 \cdot 6600} = 3,4 \cdot 10^{-5} \text{ m}^2 = 34 \text{ mm}^2.$$

**37-masala.** Cho'g'lanma lampochka volfram tolasining qarshiligi  $t_1=20^\circ\text{C}$  temperaturada  $R_1=40 \text{ Om}$ . ga, uning  $t=0^\circ\text{C}$  temperaturadagi  $R_0$  qarshiligi topilsin. Agar cho'g'lanma lampochka  $U=120\text{V}$  kuchlanishi tok manbaiga ulanganda tolasidan  $I=0.3\text{A}$  tok o'tsa, qizigan volfram tolasining  $R_2$  qarshiligi va  $t_2$  – temperaturasi topilsin. Volfram uchun qarshilikning temperatura koefitsiyenti  $\alpha = 4,6 \cdot 10^{-3} \text{ grad}^{-1}$

**Berilgan:**  $t=20^\circ\text{C}$ ,  $R_1=40 \text{ Om}$ ,  $U=120\text{V}$ ,  $I=0.3\text{A}$ ,

$$\alpha = 4,6 \cdot 10^{-3} \text{ grad}^{-1}$$

$$\underline{R_0 \sim ? \ R_2 \sim ? \ t_2 \sim ?}$$

**Yechish.** Temperatura juda katta bo'lgan intervallarda o'tkazgich  $R$  – qarshiligi  $t$  temperaturaga chiziqli bog'liq bo'ladi, ya'ni  $R = R_0(1 + \alpha t)$ , bunda,  $R_0$  – o'tkazgichning  $t=0^\circ\text{C}$  temperaturadagi qarshiligi,  $\alpha$  – qarshilikning temperatura koefitsiyentidir.

U vaqtida  $t_1=20^\circ\text{C}$  temperaturadagi volfram tolasining qarshiligi  $R_2 = R_0(1 + \alpha t_2)$ , bundan  $R_0$  ni topib hisoblaymiz.

$$R_0 = \frac{R_1}{1 + \alpha t_1} = \frac{40}{1 + 4,6 \cdot 10^{-3} \cdot 20} = \frac{40}{1,092} = 36,63 \text{ Om}.$$

Om qonuniga asosan yonib turgan cho'g'lanma lampochka volfram tolasining qarshiligi quydagiga teng bo'ladi:

$$R_2 = \frac{U}{I} = \frac{120}{0,3} = 400 \text{ Om}$$

Ikkinchi tomondan qizigan tolanning qarshiligi  $R_2 = R_0(1 + \alpha t_2)$ , undan tolanning  $t_2$  temperatursini topib hisoblaymiz:

$$t_2 = \frac{R_2 - R_0}{\alpha R_0} = \frac{400 - 36,63}{4,6 \cdot 10^{-3} \cdot 36,63} = \frac{363,37 \cdot 10^3}{4,6 \cdot 36,63} = 2157^\circ\text{C}.$$

**38-masala.** Ko'ndalang kesim yuzi  $S=0,5 \text{ sm}^2$  bo'lgan metall o'tkazgichdan  $I=3\text{A}$  tok o'tadi. Agar metalldagi erkin elektronlarning konsentratsiyasi  $n = 4 \cdot 10^{28} \text{ m}^{-3}$  teng bo'lsa, elektronlar dreyfining o'rtacha tezligi  $v_{o'rt}$  topilsin.

Elektronning zaryadi  $e = 1,6 \cdot 10^{-19} \text{ Kl}$  ga teng.

**Berilgan:**  $S=0,5 \text{ sm}^2$ ,  $I=3\text{A}$ ,  $n = 4 \cdot 10^{28} \text{ m}^{-3}$

$$\underline{e = 1,6 \cdot 10^{-19} \text{ Kl}}$$

$$\underline{v_{o'rt} \sim ?}$$

**Yechish.** Metallarning elektron o'tkazuvchanlik nazariyasiga asosan o'tkazgichdan o'tayotgan elektr tokining zichligi  $j = \frac{I}{S}$  metallardagi erkin

elektronlarning zaryadi  $e$ , konsentratsiyasi  $n$  va elektronlar dreyfinining o'rtacha tezligi  $j=enV_{o'rt}$ . Bundan topish kerak bo'lgan elektronlar dreyfinining o'rtacha tezligi quyidagicha topiladi

$$v_{o'rt} = \frac{j}{en} = \frac{I}{enS}.$$

Son qiymatlarini o'mriga qo'yib hisoblaymiz:

$$v_{o'rt} = \frac{1}{enS} = \frac{3A}{1,6 \cdot 10^{-19} \cdot 4 \cdot 10^{28} \cdot 0,5 \cdot 10^{-4}} = 0,94 \cdot 10^{-4} m/s = 94 mkm/s.$$

**39-masala.** Qarshiliqi  $R=20$  Om bo'lgan o'tkazgichdagi tok kuchi  $\Delta t = 2s$  vaqt davomida chiziqli qonunga binoan  $I_0=0$ dan  $I_{\max}=6A$  gacha ortadi. O'tkazgichda birinchi va ikkinchi sekundlarda ajralib chiqqan  $Q_1$  va  $Q_2$  issiqlik miqdori hamda bu issiqlik miqdorlarining nisbati  $Q_1 / Q_2$  aniqlansin.

**Berilgan:**  $\Delta t = 2s$   $I_0=0$ ,  $I_{\max}=6A$ .

$R=20$  Om

$Q_1 \sim ?$   $Q_2 \sim ?$   $Q_1 / Q_2 \sim ?$

**Yechish.**  $Q=I^2Rt$  Joul-Lens qonuni o'zgarmas tok ( $I=\text{const}$ ) uchun qo'llanilishi mumkin. Agar o'tkazgichdagi tok kuchi o'zgaruvchan bo'lsa, yuqoridagi qonun faqat vaqtning cheksiz kichik oralig'i uchungina o'rini va

$$dQ = I^2 R dt \quad (1)$$

ko'rinishda yoziladi.

bu yerda, tok kuchi  $I$  vaqtning qandaydir funksiyasi bo'ladi.

Bu holda

$$I = kt \quad (2)$$

bunda,  $k$ -proporsionallik koefitsiyenti bo'lib, tok kuchi orttirmasining bu ortish ro'y bergan vaqt oralig'i nisbatiga tengdir :

$$k = \frac{\Delta Y}{\Delta t}$$

(2) tenglikni hisobga olganda (1) tenglama

$$dQ = k^2 R t^2 dt \quad (3)$$

ko'rinishda bo'ladi.

Chekli  $\Delta t$  vaqt oralig'iда ajralgan issiqlik miqdorini aniqlash uchun (3) ifodani  $t_1$  dan  $t_2$  gacha oraliqda integrallash kerak:

$$Q = k^2 R \int_{t_1}^{t_2} t^2 dt = \frac{1}{3} k^2 R (t_2^3 - t_1^3)$$

Birinchi sekunda ajralib chiqqan issiqlik miqdorini aniqlashda integrallash chegaralari  $t_1=0$ ,  $t_2=1s$  bo'ladi va natijada  $Q_1=60J$ .

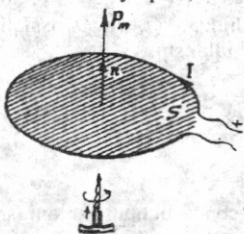
Ikkinchi sekunda esa integrallash chegaralari  $t_1=1s$ ,  $t_2=2s$  bu holda.  $Q_2=420J$ , ya'ni ikkinchi sekundda birinchi sekunddagiga nisbatan 7 marta ko'p issiqlik miqdori ajraladi.

## XII bob. MAGNIT MAYDON

### 12.1. Magnit maydon va uning xarakteristikasi

XVIII asrdayooq fransuz fizigi Arago tomonidan chaqmoq razryadi natijasida temir buyumlarning magnitlanishi, kompasning esa magnitsizlanish hodisasi o'z kitoblarida bayon etilgan edi. Bu hodisa magnit hodisalari bilan elektr hodisalari o'rtaida bog'liqlik mavjudligini ko'rsatar edi. Bunday farazning to'g'ri ekanligini 1820-yilda daniyalik fizik Ersted o'z tajribasida to'g'ri tokning magnit strelkasiga ta'siri orqali tasdiqladi. Tinch turgan zaryad magnit strelkasiga ta'sir qilmaydi, faqat harakatlanayotgan elektr zaryadlarigina magnit ta'siriga egadir.

Shunday qilib, harakatlanayotgan elektr zaryadlari atrofida maydonning yana



12.1-rasm.

bir turi – **magnit maydoni** hosil bo'lishi aniqlandi. Elektrostatik maydonni tekshirganimizda biz «sinov» zaryadidan foydalangan edik. Endi magnit maydonini tekshirishda magnit strelkasidan yoki «sinov konturi» deb ataladigan tokli berk konturdan foydalananimiz (12.1-rasm). Konturning xarakteristikasi sifatida konturidan o'tayotgan tok kuchi  $I$  bilan kontur yuzi  $S$  ko'paytmasiga miqdorin teng bo'lgan va konturning musbat normali bo'ylab yo'nalgan vektordan foydalaniadi, ya'ni

$$\vec{P}_m = I S \vec{n} \quad (12.1)$$

vektorni konturning **magnit momenti deb ataladi**. 12.1 dagi  $\vec{n}$  – musbat normal yo'nalishdagi birlik vektordir. Parma qoidasidan foydalansak, parma dastasining aylanma harakati yo'nalishi konturdagi tokning yo'nalishi bilan mos tushsa, uning ilgarilanma harakati yo'nalishi esa kontur yuziga o'tkazilgan musbat normalning yo'nalishini ko'rsatadi (12.1-rasm).

Sinov konturini magnit maydoniga kiritganimizda maydon konturga yo'naltiruvchi ta'sir ko'rsatib, uni musbat normal bilan ma'lum yo'nalishini burishini ko'ramiz. Agar konturni normal yo'nalishi bilan maydon yo'nalishi mos kelmaydigan qilib joylashtirsak, konturni muvozanat holatga qaytaruvchi aylanma moment hosil bo'ladi. Momentning kattaligi normal bilan maydon yo'nalishi orasidagi burchakka bog'liq bo'lib, burchak  $\pi/2$  teng bo'lganda aylantiruvchi moment o'zining maksimal  $M_{maks}$  qiymatiga erishadi. Magnit maydonning berilgan nuqtasiga  $R_m$  ning qiymatlari turlicha bo'lgan sinov konturlarini navbatna-navbat kirmsat, ularga ta'sir etadigan aylantiruvchi momentlarning maksimal qiyatlari  $|M_{maks}|$  ham turlicha bo'ladi. Lekin  $M_{maks}/R_m$  nisbat barcha konturlar uchun bir xil bo'lganligidan, uni maydonning miqdoriy xarakteristikasi deb qarash mumkin.

Har bir sinov konturiga ta'sir etuvchi  $|M_{maks}|$  ni  $|R_m|$  ga nisbati, magnit maydonning ayni nuqtasi uchun o'zgarmas kattalik bo'lib, **magnit induksiya vektori** ( $V$ ) deb ataladi.

$$B = \frac{M_{maks}}{P_m} \quad (12.2)$$

Magnit induksiya vektori  $V$  ning yo'nalishi  $M$  va  $R_m$  yo'nalishlari bilan quyidagicha bog'langan

$$M = [P_m B] \quad (12.3)$$

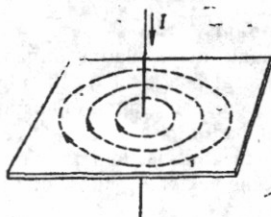
Magnit induksiya vektorining SI dagi birligi **Tesla (T)** deb ataladi.

$$1Tl = \frac{1N \cdot m}{1A \cdot m^2} = 1 \frac{N}{A \cdot m}$$

(12.2) ga binoan magnit maydonning induksiya vektorini quyidagicha ta'riflash mumkin.

*Magnit maydonning biror nuqtasidagi induksiya vektori deb, maydonning shu nuqtasiga kiritilgan, magnit momenti bir-birlikka teng bo'lgan «sinov konturi» ga ta'sir qiluvchi maksimal aylantiruvchi kuch momentiga miqdor jihatdan teng bo'lgan fizik kattalikka aytildi.*

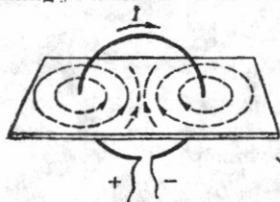
Magnit maydonni grafik usulda tasvirlash uchun **magnit induksiya chiziqlaridan** foydalaniлади. Magnit induksiya chiziqlari deb shunday egri chiziqlarga aytildiki, uning har bir nuqtasida magnit induksiya vektori urinma ravishda yo'nalgandir.



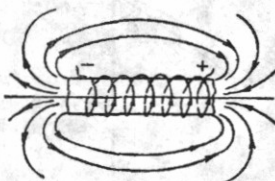
12.2-rasm.

Magnit induksiya chiziqlarining zichligi, ya'ni magnit induksiya vektoriga perpendikular joylashgan bir-birlik yuza orqali o'tuvchi induksiya chiziqlarining soni, maydonning ushbu sohasidagi magnit induksiya vektorining miqdorini belgilaydi. Maktab fizika kursidan ma'lumki, yupqa qatlam qilib temir qipiqlari sepilgan kardondan vertikal o'tkazilgan to'g'ri tok atrofida vujudga kelgan magnit maydoni

markazi vertikal o'qda yotgan konsentrik aylanalardan iborat bo'ladi (12.2-rasm). Magnit induksiya chiziqlarining yo'nalishini aniqlashda parma qoidasidan foydalananiz: agar o'ng parmaning ilgarilama harakati tokning yo'nalishi bilan mos tushsa, parma dastasining aylanish yo'nalishi magnit induksiya chiziqlarining yo'nalishini ko'rsatadi.



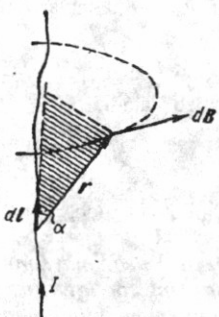
12.3-rasm.



12.4-rasm.

Aylana shaklidagi tokli o'tkazichig atrofidagi temir qipiqlari konsentrik aylanalar hosil qilmasdan, berk yopiq chiziqlar bo'ylab joylashadi (12.3-rasm).

Bu holda aylanma tok uchun parma qoidasini quyidagicha qo'llash mumkin: agar parma dastasini aylanma tok yo'nalishida aylantirsak, parmaning ilgarilama



12.5-rasm.

chiziqlardan iborat bo'ldi.

harakati aylanma tok ichidagi magnit induksiya chiziqlarining yo'nalishini ko'rsatadi.

Endi 12.4-rasmda ko'rsatilgan g'altakdan o'tayotgan tokni umumiy o'qqa ega bo'lgan aylanma toklar sistemasi deb qarab, uning magnit maydonining grafik tasvirini ko'raylik. G'altakning ichki qismida magnit induksiya chiziqlari g'altak o'qiga parallel chiziqlardan iborat bo'ladi.

G'altak uchlariga yaqinlashgan sari magnit maydon induksiya chiziqlari egri chiziqlarga aylanadi va g'altakning tashqarisida o'zaro tutashib yopiq chiziqlarga aylanadi.

Shunday qilib, har qanday tokli o'tkazgichlarning shakkalaridan qat'iy nazar, bu o'tkazgichlar atrofida hosil bo'lgan magnit induksiya chiziqlari berk chiziqlardan iborat bo'ladi.

### 12.2. Bio-Savar-Laplas qonuni

Bio va Savar har xil shakldagi toklarning magnit maydonlarini o'rghanar ekanlar. ular barcha hollarda magnit induksiyasi o'tkazgichdagi tok kuchi  $I$  ga to'g'ri proporsional, o'tkazgichdan magnit induksiyasi aniqlanadigan masofa  $r$  ning kvadratiga esa teskari proporsional ekanligini aniqladilar. Laplas, Bio va Savar tajribalarining natijalarini analiz qilib, istalgan tokning magnit maydonini, tokning alohida elementar bo'lakchalari hosil qilgan maydonlarning vektor yig'indisi sifatida hisoblash mumkinligini aniqladi, ya'ni

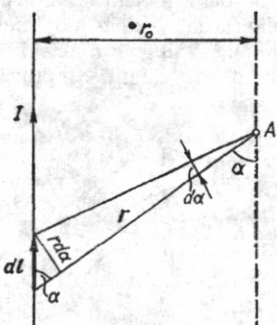
$$B = B_1 + B_2 + B_3 + \dots + B_n = \sum_{i=1}^n B_i \quad (12.4)$$

(12.4) ifoda bir necha elementar toklar tufayli vujudga kelgan magnit induksiya vektorning *superpozitsiya prinsipi* deyiladi. Har bir tok elementi (12.5-rasm) vujudga keltirgan maydonning magnit induksiyasi

$$dB = \frac{\mu_0 I |dlr|}{4\pi r^2} \quad (12.5)$$

munosabat bilan aniqlanadi.  $dB$  ning modulini quyidagicha yozamiz:

$$dB = \frac{\mu_0}{4\pi} \cdot \frac{Idl \sin \alpha}{r^2} \quad (12.6)$$



12.6-rasm.

ifodalaydi. (12.5) va (12.6) larda  $r$  – tok elementidan magnit induksiyasi aniqlanayotgan nuqtaga o'tkazilgan radius-vektor,  $\alpha$  – o'tkazgichning elementar bo'lagi  $dl$  bilan r orasidagi burchak;  $\mu_0 = 4\pi \cdot 10^{-7} \text{ N/A}^2$  bo'lib, **magnit doimiysi** deb ataladi.

Bio-Savar-Laplas qonunining ba'zi tatbiqlarini ko'raylik.

1. Cheksiz uzun to'g'ri o'tkazgichdan o'tayotgan I tok tufayli vujudga kelgan maydonning  $A$  nuqtadagi magnit induksiyasi  $V$  ni hisoblaylik.  $V$  ning qiymati  $dB$  lar modullarining yig'indisidan iborat bo'ladi. (12.5) dan foydalansak:

$$B = \int dB = \frac{\mu_0 I}{4\pi} \cdot \int \frac{dl}{r^2} \sin \alpha \quad (12.7)$$

12.6-rasmdan  $r = \frac{r_0}{\sin \alpha}$ ;  $dl = \frac{rd\alpha}{\sin \alpha} = \frac{r_0 d\alpha}{\sin^2 \alpha}$  ekanligini aniqlab uni (12.7) ga qo'syak:

$$B = \frac{\mu_0}{4\pi} I \int_0^{\pi} \frac{r_0 d\alpha \sin^2 \alpha \sin \alpha}{\sin^2 \alpha r_0^2} = \frac{\mu_0}{4\pi} I \frac{1}{r_0} \int_0^{\pi} \sin \alpha d\alpha = \frac{\mu_0 I}{2\pi r_0} \quad (12.8)$$

hosil bo'ladi.

Demak, cheksiz uchun to'g'ri tokning magnit induksiyasi o'tkazgichdan o'tayotgan tok kuchiga to'g'ri proporsional va induksiyasi o'lchanayotgan nuqtaning o'tkazgichdan uzoqligiga teskari proporsional ekan.

2. I tok o'tayotgan  $R$  radiusli aylana shakldagi o'tkazgichning markazidagi magnit maydon induksiyasi

$$B = \frac{\mu_0}{2\pi} \frac{I}{R} \quad (12.9)$$

teng bo'ladi.

3. G'altak (markazlari umumiy o'qda yotuvchi bir-biri bilan ketma-ket ulangan aylanma toklar yig'indisidir) ichidagi magnit maydonning induksiyasi

$$B = \mu_0 n_0 I \quad (12.10)$$

bo'ladi. Bundagi  $n_0 = n/l$  g'altakning birlik uzunligidagi o'ramlar soni,  $n_0$  I ko'paytma esa birlik uzunlikdagi amper-o'ramlar soni deb ataladi.

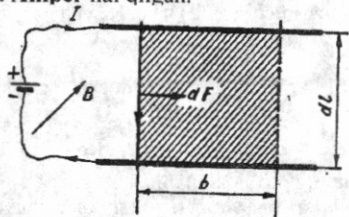
4. Toroid (G'altakni egib halqa shakliga keltirilgani) ichidagi  $V$  quyidagi formula bilan aniqlaydi:

$$B = \mu_0 \frac{n}{2\pi r} I \quad (12.11)$$

Bunda  $l=2\pi r$  toroid uzunligi  $r$  – halqa markazidan barcha o'ramlar markazlarigacha bo'lgan masofa.

### 12.3. Magnit maydondagi tokli o'tkazgichga ta'sir qiluvchi kuch. Amper kuchi

Magnit maydonidagi tokli o'tkazgichga ta'sir qiluvchi kuchlarni aniqlash masalasini fransuz olimi Amper hal qilgan.



12.7-rasm.

Magnit maydonning tokli o'tkazgichga ta'sir qiluvchi kuchini quyidagi qurilma yordamida kuzatish mumkin (12.7-rasm).  $dl$  uzunlikdagi tokli o'tkazgichni bir jinsli magnit maydonida ( $V=\text{const}$ ) erkin ko'cha oladigan qilib o'rnataylik. Rasmda tasvirlanganidek, ikkita metall sterjenlar ustiga ko'ndalang qilib joylashtirilgan  $dl$  o'tkazgichdan tok o'tkazaylik. Bu tokli o'tkazgichga chizma tekisligiga perpendikular ravishda yo'nalgan magnit maydonining ta'sir etuvchi Amper kuchining qiymati

$$dF_A = I [Bdl] \quad (12.12)$$

ifoda bilan, uning moduli esa

$$dF_A = I Bdl \sin \alpha \quad (12.13)$$

tenglama bilan aniqlanadi. Bunda  $\alpha$  -  $dl$  bilan V vektor orasidagi burchak (12.12) va (12.13) munosabatlari Amper kuchini ifodalaydi. Bu kuchning yo'naliш 4 $dl$  elementning ko'chish yo'naliшi bilan mos tushganligi uchun bajarilgan ish

$$dA = dF_A b = I \cdot Bdl \cdot b \quad (12.14)$$

$dl \cdot b = dS$  deb olsak, (12.14) quyidagi ko'rinishni oladi:

$$dA = I \cdot BdS = I \cdot d\Phi \quad (12.15)$$

bunda,  $dF$  - kontur yuzi  $dS$  ni kesib o'tayotgan magnit oqimidir.

Amper kuchi  $d\vec{F}_A$  o'tkazgich va magnit maydon induksiya vektori  $\vec{B}$  yotgan tekislikka perendikular yo'nalgan bo'lib, uning yo'naliшni quyidagi chap qo'l qoidasi bilan aniqlanadi.

*Agar chap qo'lning ochiq kaftiga  $\vec{B}$  induksiya vektorining o'tkazgich uzunligi  $dl$  ga perpendikular tashkil etuvchisi tushayotganda, to'rt barmoq tokning yo'naliш bilan mos tushsa, bosh barmoq o'tkazgichga ta'sir qiluvchi  $dF_A$  Amper kuchining yo'naliшini ko'rsatadi.*

#### 12.4. Lorens kuchi

Biz 12.3 da magnit maydonidagi tokli o'tkazgichga ta'sir etuvchi kuch, ya'ni Amper kuchi bilan tanishib o'tdik, lekin Amper kuchining paydo bo'lish sabablariga e'tibor bermadik.

Magnit maydonidagi tokli o'tkazgichga ta'sir etuvchi kuch harakatlanuvchi alohida zaryadlarga ta'sir etuvchi kuchlar yig'indisidan iborat, bundan esa ta'sir zaryadlardan ular harakatlanayotgan o'tkazgichlarga berilishi mumkin degan fikrni Lorens berdi. Shuning uchun Amper qonuni (12.12) dan foydalaniib, **magnit maydonida harakatlanayotgan zaryadga ta'sir etuvchi kuchni** topaylik. O'tkazgichdan o'tayotgan tok kuchi (11.2) va (11.3) ga asosan:

$$I = jS = qnuS \quad (12.16)$$

ekanini eslab, (12.16) ni har ikkala tomonini  $dl$  ga ko'paytiraylik, u holda quyidagini olamiz:

$$Idl = qun S dl = qu nd V \quad (12.17)$$

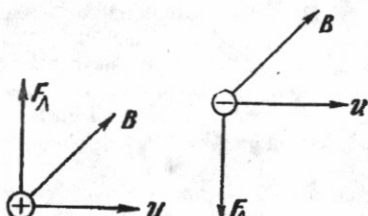
bu yerda,  $s$  - o'tkazgichning ko'ndalang kesim yuzi,  $n$  - o'tkazgichning birlik hajmidagi zaryad tashuvchilarining soni,  $u$  - zaryad tashuvchining tartibli harakat tezligi,  $q$  - uning zaryadi,  $dV = S dl$  - o'tkazgich elementining hajmi. Agar  $n \cdot dV$  ni,

$dV$  hajmdagi zaryad tashuvchilarning sonini  $dn$  deb belgilasak (12.17) quyidagicha yoziladi:

$$Idl = qudn \quad (12.18)$$

Bu ifodani Amper kuchi bilan solishtirib

$$dF = [uB]qdn \quad (12.19)$$



12.8-rasm.

ifodani hosil qilamiz.

(12.19) ifoda  $dn$  dona harakatlanuvchi zaryad tashuvchiga magnit maydon tomonidan ta'sir etuvchi kuchni xarakterlaydi.

Bir dona zaryad tashuvchiga ta'sir etuvchi kuch **Lorens kuchi** deb ataladi:

$$F_l = \frac{dF}{dn} = q [uB] \quad (12.20)$$

Lorens kuchining yo'nalishi ham

Amper kuchiga o'xshab, chap qo'l qoidasi bilan aniqlanadi (12.3 ga qarang).

### 12.5. Zaryadli zarralarning magnit maydonagi harakati. Siklotron

Magnit maydonga kirgan zaryadli zarralarning bir necha holini ko'raylik.

1. Zaryadli zarraning harakat yo'nalishi magnit induksiyasi chiziqlari bo'ylab sodir bo'lganda,  $u$  va  $V$  vektorlari orasidagi burchak  $\alpha = 0$  yoki  $\alpha = \pi$  ga teng. Bunda  $F_l = 0$  bo'ladi. Demak, bu holda magnit maydon zaryadli zarraga ta'sir qilmaydi.

2. Agar  $u$  va  $V$  orasidagi burchak  $\alpha = \pi/2$  yoki  $3\pi/2$  ga teng bo'lsa,  $F_l = quB$  bo'ladi. Bunda kuch ta'sirda zarra aylana bo'ylab harkatlanadi. Aylana radiusi  $R$  ni Lorens kuchini markazdan qochma kuchga tenglab topamiz:

$$quB = \frac{mu^2}{R} \text{ bundan } R = \frac{mu}{qB} \quad (12.21)$$

ekanligi kelib chiqadi.

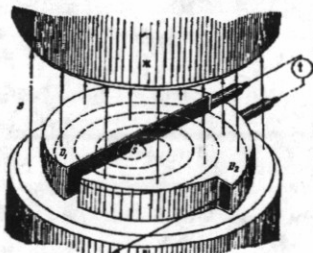
(12.21) dagi  $m$  – zarraning massasi,  $q$  – zarraning zaryadi.

Zarraning aylanish davri

$$T = \frac{2\pi R}{u} = \frac{2\pi}{u} \cdot \frac{mu}{qB} = \frac{2\pi}{(q/m)B} \quad (12.22)$$

va  $V$  ning aniq qiymatlarini bilsak  $q/m$  ni aniqlash mumkin bo'ladi.

3. Zarra tezligi magnit maydon yo'nalishi bilan ixtiyorli  $\alpha$  burchak tashkil etsin. Bu vaqtida harakatlanayotgan zarralarga magnit maydon ko'sratadigan ta'sirdan siklik tezlatgichlar (siklotron, sinxotron, sinxofazotron), magnitogidrodinamik generatorlarda foydalaniлади.



12.9-rasm.

Siklotron zaryadlangan elementar zarralar (elektron, proton, alfa va boshqa shu kabi zarralar)ni yorug'lik tezligi  $S = 3 \cdot 10^8 \text{ m/s}$  ga yaqin tezliklarga qurilma. Bunday zarralar atom yadrolarini o'rganishda, radioaktiv izotoplar olishda va shunga o'xshash maqsadlarda foydalaniladi.

Siklotronning asosiy qismi kuchli elektromagnitdir. Bu elektromagnit qutblari orasida yarim doira shaklidagi yassi silindr-vakuum kamerasi joylashgan. Bu kamera **duant** deb ataluvchi  $D_1$  - simon ikki bo'lak  $D_1$  va  $D_2$  lardan iborat. Duantlar elektrodlar vazifasini ham o'taydi. Ular o'zgaruvchan kuchlanishli yuqori chastotali generatorning qutbligiga ulangan. Shuning uchun duantlar navbatma-navbat goh musbat, goh manfiy zaryadlanib turadi. Elektr maydon faqat duantlar oralig'i dagi tirkishdagina mavjud bo'ladi. Tezlatilishi lozim bo'lgan zaryadli zarralar kameraliga maxsus qurilma (rasmda  $S$  deb belgilangan) orqali kiritiladi.

Kamera kiritilgan musbat zaryadli zarralardan birining harakatini kuzataylik. Zarra darhol manfiy zaryadlangan duant tomon tortiladi. Duant ichida zarraning harakat yo'nalishga perpendikular bo'lgan magnit maydon zarrani aylanma orbita bo'ylab harakatlanishiga majbur etadi. Zarra yarim aylanani bosib o'tgach, yana duantlar oralig'i dagi tirkishga yetib keladi. Lekin o'tgan vaqt ichida maydon yo'nalishini o'zgartirgan bo'ladi. Shuning uchun zarra ikkinchi duant tomon tortilib tezlashadi. Ikkinchi duant ichida yarim aylanani bosib o'tadi va ya'nini tirkishga yetib keladi. Bu yerda uchinchi marta tezlashadi va hokazo.

Har safardan so'ng zarraning tezligi va orbitasining radiusi ortib boradi. Shunday qilib, zarraning trayektoriyasi spiralsimon yoyilib boradi. Zarra duantlar chetiga juda katta tezlikda yetib keladi va undan og'diruvchi elektrod ta'sirida tashqariga katta kinetik energiya bilan uchib chiqadi. Masalan, proton siklotron yordamida  $25 \text{ MeV}$  energiyagacha tezlatilishi mumkin.

### Savollar

1. Magnit maydoni va uni xarakterlovchi kattaliklar –magnit momenti ( $m$ ), magnit induksiya vektori ( $B$ ) va aylantiruvchi momentlarni maksimum qiymatlari ( $M_{\max}$ ) orasidagi bog'lanishni ifodalanligi.
2. Magnit induksiya chiziqlarining yo'nalishini aniqlashda qanday qoidadan foydalanamiz va u qanday ta'riflanadi.
3. Bio-Savar-Laplas qonuni qanday ifodalanadi va uning ba'zi tatbiqlarini ko'rsating.
4. Magnit maydonidagi tokli o'tkazgichga ta'sir qiluvchi Amper kuchi va magnit maydonida harakatlanayotgan zaryadga ta'sir etuvchi Lorens kuchlari o'rtaida qanday umumiylig mavjud hamda ularning yo'nalishlari qanday qoida bilan aniqlanadi?
5. Siklotronning tuzilishi, ishlash prinsipi va undan qanday maqsadlarda foydalanish mumkinligini aytинг.

### Masalalar

- 40-masala.** Uzunligi  $l=20\text{sm}$  va diametri  $D=5\text{sm}$  g'altak tayyorlash kerak, uning hosil qiladigan magnit maydon kuchlanganligi  $H=1008 \text{ A/m}$  bo'lsin. Quyidagilarni hisoblang: a) bu g'altaklarning  $I_n$  amper – o'ramlari sonini; b) agar u diametri  $d=0,5\text{mm}$  bo'lgan mis simdan tayyorlangan bo'lsa, g'altak uchlariga beriladigan  $U$  potensiallar ayirmasini toping. Misning solishtirma qarshiligi  $\rho=1,71 \cdot 10^8 \text{ Om m}$ .

**Berilgan:**  $I=20\text{sm}$ ,  $D=5\text{sm}=0,05\text{m}$ ,  $H=1008 \text{ A/m}$ ,  
 $d=0,5\text{mm}=0,5 \cdot 10^{-3} \text{ m}$ ,  $\rho=1,71 \cdot 10^8 \text{ Om m}$   
 $I_n \sim ?, U \sim ?$

**Yechish.** a) g'altak ichidagi magnit maydon kuchlanganligini hisoblash formulasiga muvofiq  $H = \frac{In}{l}$ , bu yerda,  $n$  – g'altak o'ramlari soni,  $I$  – undagi tok kuchi.  $U$  holda  $In=Hl=1008\text{A}/\text{m} \cdot 0,2\text{m} = 201,6\text{A}=201,6$  amper-o'ram (12.2 ga qarang).

b) Om qonuniga ko'ra  $U = IR = I\rho \frac{l}{S}$  bu yerda,  $R$  – simning qarshiligi,

$$S = \frac{\pi d^2}{4} \text{ – simning ko'ndalang kesim yuzi}, \quad h = \pi Dn \text{ – simning uzunligi, shuning uchun}$$

$$U = \frac{4\rho D(In)}{d^2} = \frac{4 \cdot 1,71 \cdot 10^8 \cdot 0,05 \cdot 201,6}{25 \cdot 10^{-8}} = 2,76V.$$

**41-masala.** Magnit maydon kuch chiziqlariga  $\alpha = 30^\circ$  burchak ostida joylashgan  $l=0,25\text{m}$  uzunlikdagi to'g'ri o'tkazgichga  $F_A=3\text{N}$  kuch bilan ta'sir qiladi. Agar o'tkazkichdagi tok kuchi  $I=30\text{A}$  bo'lsa, magnit maydonining  $V$  induksiyasi topilsin.

**Berilgan:**  $\alpha = 30^\circ$ ,  $F_A=3\text{N}$   
 $l=0,25\text{m}$ ,  $I=30\text{A}$   
 $B \sim ?$

**Yechish.** Amper qonuniga binoan, magnit maydonidagi tokli o'tkazgichga  $F_A = II B \sin \alpha$  kuch ta'sir qiladi. Bundan izlanayotgan magnit maydonining  $V$  induksiya vektori quydagicha topiladi.

$$B = \frac{F_A}{Il \sin \alpha}.$$

bunda,  $I$  – o'tkazgichdan o'tayotgan tokning kuchi,  $l$  – o'tkazgichning uzunligi,  $\alpha$  – magnit kuch chiziqlari bilan o'tkazgich orasidagi burchak. Oxirgi ishchi formulaga kirgan barcha fizik kattaliklarning qiymatlarini o'mniga qo'yib hisoblashni bajaramiz:

$$B = \frac{F_A}{Il \sin \alpha} = \frac{3}{30 \cdot 0,25 \cdot \sin 30^\circ} = \frac{1}{10 \cdot 0,25 \cdot 0,5} = 0,8Tl.$$

**42-masala.** Induksiyasi  $B=10^{-3}\text{Tl}$  bo'lgan bir jinsli magnit maydonda  $R=1,5\text{sm}$  radiusli aylana bo'ylab harakatlanyotgan elektronning  $V$  tezligi topilsin. Elektron massasi  $m=9,1 \cdot 10^{-31}\text{kg}$  va zaryadi  $e=1,6 \cdot 10^{-19}\text{Kl}$  ga teng.

**Berilgan:**  $R=1,5 \cdot 10^{-2}\text{m}$ ,  $B=10^{-3}\text{Tl}$ ,

$$m=9,1 \cdot 10^{-31}\text{kg}, e=1,6 \cdot 10^{-19}\text{Kl}$$

$V \sim ?$

**Yechish.** Magnit maydonda harakatlanayotgan elektronga ta'sir qiluvchi natijali kuch  $F_A = evB \sin \alpha$  Lorens kuchi va markazga intilma kuch  $F_{m,i} = \frac{mv^2}{R}$  dan iborat bo'lgani uchun elektronning harakat trayektoriyasi aylanadan iborat bo'ladi. Demak,

$$evB \sin \alpha = \frac{mv^2}{R}$$

bunda,  $I$ -elektronning zaryadi,  $m$  – uning massasi,  $v$  – esa harakat tezligi,  $R$  – harakat trayektoriyasining egrilik radiusi.  $\alpha$  – elektron harakat yo'nalishi bilan magnit maydon kuch chiziqlari orasidagi burchak.

Yuqoridagi tenglikdan elektron tezligini topsak,

$$v = \frac{eBR \sin \alpha}{m}$$

Masalada berilgan kattaliklarning son qiymatlarini o'rniga qo'yib  $v$  ni topamiz:

$$v = \frac{eBR \sin \alpha}{m} = \frac{1,6 \cdot 10^{-19} \cdot 10^{-3} \cdot 1,5 \cdot 10^{-2} \sin 90^\circ}{9,1 \cdot 10^{-31}} = \\ = \frac{1,6 \cdot 1,5 \cdot 10^7}{9,1} = 0,264 \cdot 10^7 \frac{Js}{kgm} = 2,64 \cdot 10^6 \frac{m}{s}$$

**43-masala.** Magnit qutblari orasida joylashtirilgan  $r=10$  sm radiusli sim o'ramga  $M_{max}=6,5 \text{ mN}$  maksimal mexanik moment ta'sir qilmoqda. O'ramdag'i tok kuchi  $I=2A$ . Magnit qutblari orasidagi maydonning magnit induksiyasi  $B$  aniqlansin. Yer magnit maydonining ta'siri inobatga olinmasin.

**Berilgan:**

|                                 |        |
|---------------------------------|--------|
| $M_{max}=6,5 \text{ mN}$        | $I=2A$ |
| $r=10 \text{ sm}=0,1 \text{ m}$ |        |
| $B \sim ?$                      |        |

**Yechish.** Magnit maydon induksiyasi  $B$  ni magnit maydonidagi tokli o'ramga ta'sir etuvchi mexanik momentning ifodasidan aniqlash mumkin:

$$M = P_m B \sin \alpha \quad (1)$$

Agar mexanik momentining maksimal qiymati  $\alpha = \frac{\pi}{2}$  da ( $\sin 90^\circ = 1$ ) bo'lishini hamda  $P_m = IS$  ekanligini hisobga olsak, (1) formula quyidagi ko'rinishini oladi.

$$M_{max} = IBS$$

Bundan  $S = \pi r^2$  ekanligini hisobga olib, quyidagini topamiz

$$B = \frac{M_{max}}{\pi r^2 I} \quad (2)$$

(2) formulaga binoan hisoblash o'tkazamiz  $B = 104 \text{ mTl}$ .

### XIII bob. ELEKTROMAGNIT INDUKSIYA

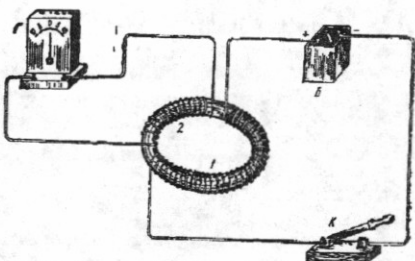
#### 13.1. Elektromagnit induksiya hodisasi

Ersted elektr toki yordamida magnit maydon olinishini tajribada ko'rsatdi. Ersted tajribalari haqida xabar topgan ingliz fizigi M.Faradey aytilgan bog'lanishining ikkinchi tomonini – magnit hodisalari bilan elektr hodisalari orasida bog'lanishni axtarishga kirishdi. Faradey izlanishlari 10 yil davom etdi. U sabotmatonat va tirishqoqlik bilan juda ko'p mehnat qildi, timmay izlandi va nihoyat, magnit maydon yordamida elektr toki olishga tuyassar bo'ldi. Faradey bu tokni induksion tok deb atadi. Faradey tajribalari bilan tanishaylik.

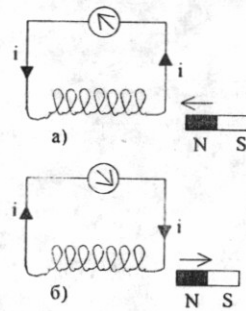
1. Agar doimiy magnit berk o'raklı g'altak ichiga kiritilsa yoki undan chiqarilsa (13.1-rasm), konturda induksion tok hosil bo'ladi: doimiy magnitning  $N$  qutbi g'altakka yaqinlashganda galvanometrning streklasi bir tomoniga, magnit g'altakdan uzoqlashtirilganda esa qarama-qarshi tomoniga og'adi, bu induksion tokning yo'naliishi o'zgarganidan dalolat beradi. Magnit qancha kuchli, uning harakati qancha tez va g'altak o'ramlari qancha ko'p bo'lsa, induksion tokning qiymati shuncha katta bo'ladi. Magnitning ikkinchi  $S$  qutbi bilan ham yuqoridagi tajribani qaytarish mumkin.

2. Bitta g'altakka bir-biridan izolatsiyalangan ikki sim o'ralgan bo'lsin. Birinchi o'ram kalit ( $K$ ) orqali tok manbai ( $B$ ) ga ulangan. Ikkinchi g'altakning uchlari esa galvanometr ( $G$ ) ga ulangan. Birinchi o'ramni tok manbaiga ularash va uzish vaqtida ikkinchi o'ramda qisqa muddatli induksion tok qayd qilingan. Bu hodisaga **elektromagnit induksiya** deb ataladi. Keyinchalik Faradey elektromagnit induksiya hodisasini yuqoridagidek turli xil variantlarda amalga oshirdi. Faradey tajribalarini tahlii qilib quyidagi xulosaga keldi.

**Induksion tok berk konturdan o'tuvchi magnit induksiya oqimining o'zgarishi tusayli vujudga keladi.** Induksion tokning qiymati magnit oqimining o'zgarish tezligi  $\frac{d\Phi}{dt}$  ga bog'liqdir.



13.2-rasm.

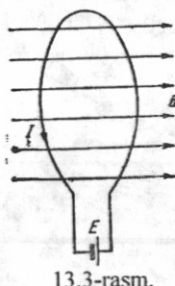


13.1-rasm.

1833-yilda Lens induksiya tokining yo'naliishini aniqlaydigan umumiy qoidani tajriba yo'li bilan topdi, bu qoida **Lens qoidasi deb ataladi:** *Yopiq konturda hasil bo'lgan induksion tok shunday yo'nalgan bo'ladi, uning xususiy magnit maydoni bu tokni vujudga keltirayotgan magnit induksiya oqimining o'zgarishiga to'sqinlik qiladi.* Biz ko'rgan barcha hollarda induksion tokning yo'naliishi Lens qoidasiga mos kelayotganini ko'rish

mumkin. Masalan, 1 konturdagi tok ortganda (13.2-rasm) ikkinchi kontur orqali o'tayotgan induksiya magnit oqimi ortadi.

Bu vaqtida ikkinchi konturda hosil bo'lgan induksion tokning xususiy magnit maydoni birinchi konturning magnit maydoniga qarama-qarshi yo'nalgan bo'ladi. Bundan induksion tokning yo'nalishi birinchi g'altakda oqayotgan asosiy tokka qarama-qarshi yo'na-lishda ekanligi kelib chiqadi. Induksion tokning yo'nalishini galvanometr strelkasini o'ng yoki chapga og'ishi orqali aniqlash mumkin. Magnitning shimoliy qutbini g'altakdan uzoqlashtirilganda (13.1b-rasm) kontur orqali o'tayotgan magnit induksiya oqimi kamayadi. Bu kamayishini oldini olish uchun induksiya tokining xususiy maydoni, endi asosiy tokning maydoniga mos yo'nalishi kerak. Bunda parma qoidasiga muvofiq induksion tok soat strelkasi yo'nalishida bo'ladi. Shunday qilib, yuqoridagilardan xulosa qilib, Lens qoidasini yana ham soddaroq ta'riflash mumkin: ***Yopiq konturda hosil bo'lgan induksion tok shunday yo'nalganki, induksiyalovchi magnit oqimi ko'payayotganda induksion tokning xususiy magnit oqimi uni kamaytirishga va aksincha, kamayayotganda uni ko'paytirishga intiladi.***



13.3-rasm.

*shunday yo'nalganki, induksiyalovchi magnit oqimi ko'payayotganda induksion tokning xususiy magnit oqimi uni kamaytirishga va aksincha, kamayayotganda uni ko'paytirishga intiladi.*

Endi umumiyroq holdan foydalanib induksion elektr yurituvchi kuchni aniqlaylik. EYUK  $\epsilon$  bo'lgan manbaga ulangan ixtiyoriy shakldagi konturni magnit maydoniga joylashtiraylik (13.3-rasm).

Bu manbaning  $dt$  vaqt ichidagi bajargan to'liq ishi:

$$\epsilon dA = Idt \quad (13.1)$$

bo'ladi. Bu ishning bir qismi elektr qarshiligi  $R$  bo'lgan konturdan Joul issiqligi ( $dQ$ ) sifatida ajralib chiqadi:

$$\epsilon dA_1 = dQ = I^2 R dt \quad (13.2)$$

ikkinchi qismi esa magnit maydonidagi tokli konturni bir vaziyatdan boshqa vaziyatga ko'chirishda sarf bo'ladi. Bunda bajarilgan ish (12.15) ga asosan:

$$dA_2 = Id\Phi \quad (13.3)$$

teng bo'ladi. Energiyaning saqlanish qonuniga asosan:

$$\epsilon dA = dA_1 + dA_2$$

yoki

$$Idt = I^2 R dt + Id\Phi \quad (13.4)$$

Bu tenglamaning har ikki tomonini  $Idt$  ga hadlab bo'lsak:

$$\epsilon = IR + d\Phi/dt$$

bundan

$$I = \frac{\epsilon - \frac{d\Phi}{dt}}{R} = \frac{\epsilon + \left( -\frac{d\Phi}{dt} \right)}{R} \quad (13.5)$$

Bu ifodani EYUK  $\epsilon$  bo'lgan tok manbaidan tashqari, yana kontur bilan chegaralangan yuza orqali o'tuvchi magnit induksiya oqimining o'zgarishi tufayli

paydo bo'lgan qo'shimcha  $\left(-\frac{d\Phi}{dt}\right)$  EYUK li kontur uchun *Om* qonuni ifodasi deb qarash mumkin. Ana shu qo'shimcha EYUK *induksiya elektr yurituvchi kuchidir*:

$$\mathcal{E}_i = -\frac{d\Phi}{dt} \quad (13.6)$$

Shunday qilib, Faradey xulosasiga muvofiq induksiya elektr yurituvchi kuchi magnit induksiya oqimining o'zgarish tezligiga proporsional bo'lib chiqdi. Bu ifodani *Faradey -Maksvell qonuni* deb ataladi. *Faradey -Maksvell qonuni kontur yuzi orqali o'tuvchi magnit oqimining har qanday o'zgarishi uchun o'rinnlidir*.

Induksiya elektr yurituvchi kuchining SI dagi birligi:

$$\begin{aligned} \mathcal{E}_{ind} &= \frac{[\Phi]}{[t]} = \frac{\mathbf{Vb}}{\mathbf{S}} = \frac{T_l \cdot m^2}{S} \\ T_l &= \frac{V \cdot S}{m^2} \\ \mathcal{E}_{ind} &= \frac{V \cdot S}{m^2} \cdot \frac{m^2}{s} = V \end{aligned}$$

kelib chiqadi.

Demak, kontur yuzi orqali o'tuvchi magnit oqim 1 Vb/s tezlik bilan o'zgarsa, konturda vujudga kelayotgan induksiya elektr yurituvchi kuchi 1V ga teng bo'ladi:

$$1V = \frac{1Vb}{S}$$

### 13.2. O'zinduksiya va o'zaroinduksiya

Elektr toki oqayotgan har qanday o'tkazgich o'zining «xususiy» magnit maydonida joylashadi. Shuning uchun konturdan oqayotgan tok kuchining o'zgarishi natijasida xuddi shu konturning o'zida elektromagnit induksiyasi ro'y beradi. Bu hodisani *o'zinduksiya hodisasi* deyiladi.

Konturdan o'tayotgan tok tufayli vujudga kelgan magnit oqimi tok kuchiga proporsional bo'ladi, ya'ni:

$$\Phi = L I \quad (13.7)$$

bu yerda,  $L$  – konturning induktivligi, u konturning shakli va o'lchamlari hamda muhitning magnit singdiruvchanligiga bog'liq kattalikdir. SI da induktivlikning birligi – *genri (Gn)* deb ataladi.

$$|L| = \frac{|\Phi|}{|I|} = \frac{B6}{A} = Gn$$

Demak,  $1Gn$  shunday g'altakning induktivligi, bu g'altakdan  $1A$  o'zgarmas tok o'tganda vujudga keladigan magnit oqimi  $1 Vb$  bo'ladi. Uzunligi  $l_1$  o'ramlar soni  $n$  bo'lgan g'altakning induktivligi

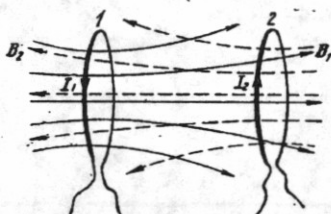
$$L_c = \mu_0 \mu \frac{n^2}{l} S \quad (13.8)$$

ifoda bilan aniqlanadi.

Konturning induktivligi o'zgarmas bo'lgan hol uchun o'zinduksiya EYUK

$$\mathcal{E}_{uzind} = \frac{d\Phi}{dt} = -L \frac{dI}{dt} \quad (13.9)$$

ifoda bilan aniqlanadi. Demak, *induktivligi 1Gn bo'lgan konturdan o'tayotgan tok kuchi I sekundda 1A ga o'zgarsa, konturda 1V o'zinduksiya EYUK vujudga keladi.*



13.4-rasm.

Tokning boshqa (qo'shni) konturda o'zgarish tufayli shu konturning o'zida induksion tokni hosil qilinishi *o'zaro induksiya* deb ataladi. Ikkita kontur olaylik (13.4-rasm).

Birinchi konturdan oqayotgan tok kuchining  $dI_1$  ga o'zgarishi ikkinchi kontur yuzini kesib o'tayotgan magnit oqimi

$$d\Phi_{21} = L_{21} dI_1 \quad (13.10)$$

ga o'zgaradi. Bu esa o'z navbatida ikkinchi konturda

$$\mathcal{E}_2 = -\frac{d\Phi_{21}}{dt} = -L_{21} \frac{dI_1}{dt} \quad (13.11)$$

induksiya EYUK ni vujudga keltiradi. Xuddi shuningdek, ikkinchi konturdan oqayotgan tok kuchining  $dI_2$  ga o'zgarishi tufayli birinchi kontur yuzini kesib o'tayotgan magnit oqimi

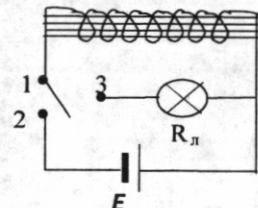
$$d\Phi_{12} = L_{12} dI_2 \quad (13.12)$$

ga o'zgaradi. Natijada

$$\mathcal{E}_1 = -\frac{d\Phi_{12}}{dt} = -L_{12} \frac{dI_2}{dt} \quad (13.13)$$

induksiya EYUK vujudga keladi.

$L_{12}$  va  $L_{21}$  lar konturlarning o'zaro induktivligi deb ataladi. Tajribalar va nazariya ham  $L_{12} = L_{21}$  ekanligini isbotlaydi.



13.5-rasm.

### 13.3. Magnit maydon energiyasi

13.5-rasmida ko'rsatilgan zanjirini qarab chiqaylik. Avval kalit bilan 1 va 2 klemmalarini ulasak, elektr yurituvchi kuchi  $\epsilon$  bo'lgan tok manbai va induktivligi  $L_s$  bo'lgan g'altakdan iborat zanjir vujudga keladi. Bu zanjirdan o'tayotgan tok kuchi  $I$  ga teng bo'lganda, (12.10) asosan g'altak ichidagi magnit maydon induksiyasi:

$$B = \mu_0 \mu I \frac{n}{l} \quad (13.14)$$

ifoda bilan aniqlanar edi. Bunda,  $n - g$ ‘altakdagisi o‘ramlar soni,  $I - g$ ‘altakning uzunligi.

Endi 1 va 2 uzib 1 va 3 klemmalarni ulasak, induktivligi  $L_c$  va aktiv qarshiligi  $R_t$  dan iborat berk kontur vujudga keladi. Bu tajribada zanjir manbadan uzilganda elektr lampochka yona boshlaydi. Buning sababi shundan iboratki,  $L_c$  da o‘zinduksiya EYUK ta’sirida yuzaga kelgan tok lampa orqali o’tadi. Ammo lampaning yonishi uzoq vaqt davom etmaydi. Tok kuchi juda tez kamayadi. Tok kuchi  $I$  bilan birga magnit maydon induksiysi  $V$  ham kamayadi. Bu hodisada lampa cho‘g‘lanish tolasining qizishi  $g$ ‘altak magnit maydoni energiyasi hisobiga bo‘ladi. Bu energiyani hisoblash uchun zanjirdagi tok kuchining nolgacha kamayish vaqtida o‘zinduksiya EYUK tomonidan bajarilgan ishni hisoblash kerak. Bu tokning  $dt$  vaqtida bajargan ishi

$$dA = \varepsilon_{uzind} I \cdot dt = \frac{d\Phi}{dt} = I \cdot dt = -I d\Phi \quad (13.15)$$

ga teng. Lekin  $g$ ‘altakdan o‘tuvchi to‘la oqimning o‘zgarishi (13.10) ga asosan  $dF = L dI$  bo‘lgani uchun

$$dA = -L IdI \quad (13.16)$$

Bu ifodani tok kuchining o‘zgarish chegaralarida, ya’ni  $I$  dan  $0$  gacha bo‘lgan intervalda integrallasaki. zanjirni uzish vaqtida yo‘qolgan magnit maydon energiyasi hisobiga bajarilgan ishni, ya’ni joul issiqligiga aylangan ( $R_t$  lampochkada) energiyani topamiz:

$$A = \int_1^0 dA = - \int_1^0 L IdI = \frac{LI^2}{2} \quad (13.17)$$

Demak, magnit maydon energiyasi

$$W_m = \frac{LI^2}{2} \quad (13.18)$$

ifoda bilan aniqlanadi. (13.8) va (13.14) dan foydalanim, (13.18)ni quyidagicha yozamiz:

$$W_m = \mu_0 \mu I \frac{n^2 S}{l} \left( \frac{Bl}{\mu_0 \mu n} \right)^2 = \frac{B^2}{2\mu_0 \mu} Sl = \frac{B^2}{2\mu_0 \mu} V \quad (13.19)$$

bu yerda,  $V = Sl$   $g$ ‘altakning hajmidir. (13.19) ni  $V$  ga bo‘lsak, birlik hajmga mos keluvchi magnit maydon energiyasini quyidagicha yozamiz:

$$w_m = \frac{W_m}{V} = \frac{B^2}{2\mu_0 \mu} \quad (13.20)$$

Bu ifodani **magnit maydon energiyasining zinchligi** deb ataladi.

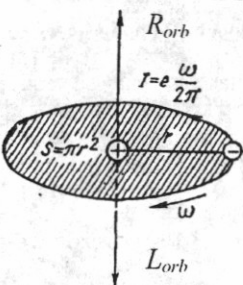
#### 13.4. Moddalarning magnit xossalari

**Moddaning magnitlanishi.** Shu vaqtgacha biz magnit maydonini vakuumda o‘rganib keldik. Endi magnit maydoniga moddani qanday ta’sir ko‘rsatishini o‘rganaylik. Agar magnit maydoniga biror modda olib kirsak, bu modda magnitlanib o‘zining xususiy magnit maydoni  $V$  ni vujudga keltiradi.

U vaqtida natijaviy magnit maydon induksiyasi quyidagidan iborat bo'ladi:

$$B = B_0 + B'$$
 (13.21)

bu yerda,  $B_0$  – tashqi magnit maydon induksiyasi. Moddalarning magnit xususiyatlarini har tomonloma o'rganish maqsadida barcha moddalar uchun «magnetik» degan fizik tushuncha kiritiladi. Magnetiklarning xossalari ularning atomlari tarkibidagi proton, neytron va elektronlar bilan aniqlanadi.



13.6-rasm.

13.6-rasmda  $r$  radiusli orbita bo'ylab  $v$  tezlik bilan harakatlanayotgan elektron tasvirlangan. Elektronning burchak tezligi  $\omega = v / r$  bo'ladi. 1

sekundda yadro atrofida  $\frac{\omega}{2\pi}$  marta aylanayotgan elektronning bu harakati tok kuchi

$$I = e \frac{\omega}{2\pi}$$
 (13.22)

teng bo'lgan aylanma tokka ekvivalentdir. Bunday mikro aylanma tok magnit momentining moduli quyidagicha topiladi:

$$P_{orb} = I \cdot S = \frac{\omega}{2\pi} \pi r^2 = \frac{e \omega r^2}{2}$$
 (13.23)

Bu magnit moment elektronning orbita bo'ylab harakati tufayli vujudga kelayotganligi uchun uni **orbital magnit momenti** deb ataladi.  $r$  – radiusli orbita bo'ylab  $v$  tezlik bilan harakat qilayotgan elektron qiymati

$$L_{orb} = mvr = m\omega r^2$$
 (13.24)

ga teng bo'lgan **orbital mexanik momentga** ham ega bo'ladi, bu yerda,  $m$  – elektronning massasi  $R_{orb}$  va larning yo'naliishlari qarama-qarshi  $R_{orb}$  ning  $L_{orb}$  nisbatli **elektronning orbital giromagnitik nisbati** deyiladi va  $G_{orb}$  deb belgilanadi:

$$G_{orb} = \frac{P_{orb}}{L_{orb}} = \frac{e}{2m}$$
 (13.25)

Orbital mexanik momentdan tashqari elektron xususiy mexanik moment spin ( $L_{sp}$ ) ga hamda unga mos ravishda **xususiy magnit moment** ( $R_{sp}$ ) ga ham ega. Elektron spinining absolut qiymati quyidagi ifoda bilan aniqlanadi:

$$L_{sp} = \frac{\sqrt{3}}{2} \hbar$$
 (13.26)

bu yerda,  $\hbar$  – Plank doimisi ( $\hbar = 1,05 \cdot 10^{-34}$  J.s). Elektron spin magnit momentining absolut qiymati:

$$P_{sp} = \sqrt{3} \frac{e\hbar}{2m} = \sqrt{3} \mu_s$$
 (13.27)

ifoda bilan aniqlanadi. Bu ifodadagi

$$\mu_s = \frac{e\hbar}{2m} = 0,927 \cdot 10^{-23} J/Tl \quad (13.28)$$

*kattalik Bor magnetoni deb ataladi.* Elektronning spin giromagnitik nisbati:

$$G_{sp} = \frac{P_{sp}}{L_{sp}} = \frac{e}{m} \quad (13.29)$$

orbital giromagnit nisbatdan ikki marta katta. Elektron spinning xususiyati shundan iboratki, u magnit maydonda faqat ikki yo'nalishiga ega bo'ladi:

1. Magnit induksiya vektori  $V$  ga parallel. Bu holda spin va spin magnit momentlarining  $V$  yo'nalishiga proyeksiyalari mos ravishda

$$(L_{sp})_B = +1/2 h \quad (13.30)$$

$$(P_{sp})_B = -\mu_B \quad (13.31)$$

qiymatlariga ega bo'ladi.

2. Magnit induksiya vektori  $V$  ga antiparallel. Bu holda

$$(L_{sp})_B = -1/2 h \quad (13.32)$$

$$(P_{sp})_B = +\mu_B \quad (13.33)$$

Atom yadrosining tarkibidagi proton va neytronlarning magnit momentlari elektronning spin magnit momentidan taxminan ming marta kichik bo'lganligi uchun atomning magnit momenti atom tarkibidagi elektronlarning orbital va spin magnit momentlarining vektori yig'indisidan iborat deb hisoblash mumkin, ya'ni:

$$P_{at} = \sum P_{orb} + \sum P_{sp} \quad (13.34)$$

Tashqi maydon ta'sirida magnetiklar turlicha magnitlanadilar. Magnetiklarning magnitlanganlik darajasini xarakterlash uchun **magnitlanish vektori**  $J$  dan foydalaniлади:

$$J = \frac{\Delta P_{at}}{\Delta V} \quad (13.35)$$

bunda,  $\Delta V$  – magnetikning magnitlanish vektori aniqlanayotgan nuqtasi atrofidagi elementar hajm.

Bir jinsli magnitlangan magnetik uchun magnitlanish vektori birlik hajmdagi atomlar magnit momentlarining vektor yig'indisiga teng:

$$j = \frac{\sum \Delta P_{ati}}{V}$$

SI da magnitlanish vektorining birligi

$$|J| = \frac{|\Delta P_{at}|}{|\Delta V|} = \frac{A \cdot m^2}{m^3} = \frac{A}{m} \quad ,$$

bilan ifodalanadi.

**Magnetiklarning turlari.** Magnitlanish vektori  $J$  va magnit maydon kuchlanganligi  $N$  orasida quyidagicha bog'lanish bor:

$$H = \frac{B}{\mu_0} - j \quad (13.36)$$

ikkinci tomondan

$$j = \chi_m H \quad (13.37)$$

bu yerda,  $\chi_m$  – magnetikning magnit xususiyatlarini ifodalovchi kattalik bo'lib, *magnit qabul qiluvchanlik deyildi*.

$J$  va  $N$  larning o'lchov birliklari bir xil bo'lgani uchun  $\chi_m$  o'lchamsiz kattalikdir.

$\chi_m$  musbat va manfiy qiymatlarga ega bo'la oladi.

$J$  ning (13.37) ifodasini (13.36) ga qo'yosak:

$$H = \frac{B}{\mu_0} - \chi_m H$$

yoki

$$H = \frac{B}{\mu_0(1 + \chi_m)} \quad (13.38)$$

bundan,

$$1 + \chi_m = \mu \quad (13.39)$$

*muhitning magnit singdiruvchanligi deyildi*. (13.39) belgilash asosida (13.38) ifodani quyidagicha yozish mumkin:

$$H = \frac{B}{\mu_0 \mu} \quad (13.40)$$

Demak, izotrop muhitda magnit maydon kuchlanganlik vektori magnit induksiya vektori bilan bir xil yo'nalishga ega va modul jihatdan undan  $\mu_0 \mu$  marta kichik bo'ladi. Magnetikning magnit singdiruvchanligi  $\mu$  o'lchamsiz kattalik u magnetikdagagi magnit maydonni vakuumdagiga qaraganda necha marta farqlanishini ifodalaydi.

*Barcha magnetiklar o'zlarining magnit qabul qiluvchanliklarining ishorasi va qiymatlariga qarab uch sinfga bo'lingan*:

1) **diamagnetiklarda**  $\chi_m < 0$  bo'ladi. Bu sinfga oid bo'lgan moddalarda, masalan, fosfor, otingugurt, surma, uglerod, simob, oltin, kumush, mis kabi elementlar, shuningdek, suv va ko'pgina organik birikmalarda magnit maydon bir oz susayadi ( $\mu = 1 + \chi_m < 1$ );

2) **paramagnetiklarda**  $\chi_m > 0$  bo'ladi. Bu sinfga kiruvchi kislorod azot, aluminiy, platina, volfram kabi elementlarda magnit maydon bir oz kuchayadi ( $\mu = 1 + \chi_m > 1$ );

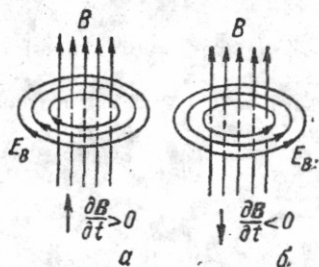
3) **ferromagnetiklarda**  $\chi_m \gg 1$  bo'ladi. Bu sinfga kiruvchi temir, nikel, kobalt kabi metallarda va ularning qotishmalarida magnit maydon juda zo'rayib ketadi.

Shunday qilib, magnitlanish vektori  $j$  yo'nalish jihatidan  $N$  ga mos kelishi (para va ferromagnetiklarda) va qarama-qarshi tomonga yo'nalgan bo'lishi mumkin (diamagnetiklarda).

### 13.5. Elektromagnit maydon uchun Maksvell tenglamalari

1863-yilda Maksvell yagona elektromagnit maydon nazariyasini ishlab chiqdi, bu nazariyaga muvofiq, o'zgaruvchan elektr maydoni, o'zgaruvchan magnit maydonini, o'zgaruvchan magnit maydoni esa, o'zgaruvchan elektr maydonini vujudga keltiradi. Bu ikkala o'zgaruvchan maydonlar uyurmali xarakteriga ega, ya'ni vujudga keltirayotgan maydonning kuch chiziqlari, vujudga kelayotgan maydonning kuch chiziqlari bilan konsentrik o'rabi olingan. Natijada o'zaro o'ralgan elektr va magnit maydonlar sistemasi hosil bo'ladi.

Magnit maydon induksiyasi chiziqlarining yo'naliishi shu maydonning vujudga kelishiga sababchi bo'layotgan **elektr maydon induksiya vektorining vaqt davomida o'zgarishini ifodalovchi**  $\frac{\partial D}{\partial t}$  vektorining yo'naliishi bilan o'ng vint qoidasi asosida bog'langan (13.7-rasm).

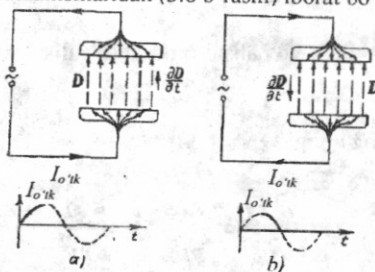


13.7-rasm.

Elektr maydon kuchayib borayotgan bo'lsa,  $D$  vektorining vaqt o'tishi bilan o'zgarishini xarakterlovchi  $\frac{\partial D}{\partial t}$  vektorining yo'naliishi  $V$  vektorining yo'naliishi bilan mos keladi. Aksincha, elektr maydon susayayotgan bo'lsa,  $\frac{\partial D}{\partial t}$

vektorining yo'naliishi  $D$  vektorining yo'naliishiga qarama-qarshi bo'ladi. Elektr maydonning o'zgarishi va bu o'zgarish tufayli vujudga kelayotgan

magnit maydon orasidagi miqdoriy bog'lanishni topish uchun Maksvell **siljish toki** deb ataladigan tushunchani kiritadi. Siljish toki bilan yaqinroq tanishish maqsadida yassi kondensatorlari zanjirdan o'zgaruvchan tok oqqandagi jarayonlarni tekshiraylik. U holda kondensator plastinkalarini birlashtiruvchi o'tkazgichlar orqali o'tkazuvchanlik toki o'tadi, lekin plastinkalar oraliq'idagi dielektrikdan o'tmaydi. U holda o'zgaruvchan tokning zanjir bo'ylab oqishi kondensatorning zaryadlanishlari (13.8 a-rasm) va razryadlanishlaridan (3.8 b-rasm) iborat bo'ladi.



13.8-rasm.

Maksvell tashqi zanjirda oquvchi o'tkazuvchanlik toki kondensator ichida alohida tok – **siljish toki bilan tutashadigan** o'z g'oyasini ilgari surdi, siljish toki

elektr maydon induksiya vektorining o'zgarish tezligi  $\left(\frac{\partial D}{\partial t}\right)$  proporsional va tashqi zanjirdagi o'tkazuvchanlik tokiga teng bo'ladi.

Zanjirdan o'tayotgan tokning oniy qiymati I bo'lsin, kondensator qoplamlaridagi zaryadning sirt zichligini  $\sigma = \frac{q}{S}$  deb olaylik. U holda kondensator plastinkasi ichidagi o'tkazuvchanlik toki zichligining qiymati

$$j_{utk} = \frac{I}{S} = \frac{dq}{S} \frac{1}{dt} = \frac{d}{dt} \left( \frac{q}{S} \right) = \frac{d\sigma}{dt}$$

yoki

$$j_{utk} = \frac{d\sigma}{dt} \quad (13.41)$$

bo'ladi.

Ikkinchisi tomonidan shu momentdagи plastinkalar oralig'idagi elektr maydon kuchlanganligining qiymati

$$E = \frac{\sigma}{\epsilon_0 \epsilon}$$

teng edi.

Maydonning elektr induksiyasi esa

$$D = \epsilon_0 \epsilon E = \epsilon_0 \epsilon \frac{\sigma}{\epsilon_0 \epsilon} = \sigma \quad (13.42)$$

ga teng. Vaqt o'tishi bilan plastinkalardagi zaryadning sirt zichligi o'zgaradi. Bu esa plastinkalar oralig'idagi elektr maydon induksiyasi qiymatining o'zgarishiga sababchi bo'ladi, ya'ni:

$$\frac{\partial D}{\partial t} = \frac{d\sigma}{dt} \quad (13.43)$$

Hamma vaqt  $\frac{\partial D}{\partial t}$  ning yo'nalishi o'tkazuvchanlik tokining yo'nalishi bilan

bir xil bo'ladi.  $\frac{\partial D}{\partial t}$  ning birligi

$$\frac{\partial D}{\partial t} = \frac{K_l}{m^2} \cdot \frac{1}{c} = \frac{A}{m^2}$$

bo'ladi.

$\frac{\partial D}{\partial t}$  kattalik Maksvell gipotezasiga asosan, siljish tokining zichligidir, ya'ni:

$$j_{silj} = \frac{\partial D}{\partial t} \quad (13.44)$$

Shunday qilib, o'zgaruvchan tok zanjirida o'tkazgichlardagi o'tkazuvchanlik tokining chiziqlari kondensator plastinkalari oraliq'idagi siljish tokining chiziqlariga ulanib ketadi.

Maksvell nazariyasining asosini uning nomi bilan ataladigan to'rtta tenglama tashkil etadi.

1. Qo'zg'almas zaryad  $q$  atrofidagi fazoda elektr maydon hosil qiladi. Bu maydon potensial maydondir. Bu maydon kuchlanganlik vektori  $E_q$  ning ixtiyoriy berk kontur bo'yicha sirkulatsiyasi nolga teng:

$$\oint_l q dl = 0 \quad (13.45)$$

Ugormaviy elektr maydon kuchlanganligi  $E_V$  ning chiziqlari doimo berk. Shuning uchun,  $E_V$ -vektorining ixtiyoriy berk kontur bo'yicha sirkulatsiyasi noldan farqli

$$\oint_l E_{Bl} dl = - \int_S \left( \frac{\partial B}{\partial t} \right)_n dS \quad (13.46)$$

Natijaviy maydon kuchlanganligi  $E_q$  va  $E_V$  maydon kuchlanganliklarning yig'indisidan iborat bo'lishi kerak, ya'ni

$$E = E_q + E_B$$

(13.45) va (13.46) tenglamalarni qo'shsak,

$$\oint_l E_l dl = - \int_S \left( \frac{\partial B}{\partial t} \right)_n dS. \quad (13.47)$$

Bu ifodaning chap tomonidagi integral ixtiyoriy berk kontur bo'yicha, o'ng tomonidagi integral esa shu konturga tiralgan ixtiyoriy sirt bo'yicha olinadi. **Bu Maksvellning birinchi tenglamasidir.**

2. Magnit maydon harakatdagi zaryadlar atrofidagina emas, balki fazoning vaqt davomida o'zgarib turuvchi elektr maydon mayjud bo'lgan barcha sohalarida ham vujudga keladi. O'zgaruvchan elektr maydon induksiyasi vektorining o'zgarish tezligini xarakterlovchi  $\frac{\partial D}{\partial t}$  kattalikni siljish tokining zichligi  $j_{silj}$  deb yuritilishi bilan yuqorida tanishdik (13.44) qarang). Agar zanjirdagi to'liq tok zichligini  $j_T$  deb belgilasak,

$$j_T = j_{utk} + j_{silj} = j_{utk} + \frac{\partial D}{\partial t} \quad (13.48)$$

hosil bo'ladi. (13.48) dan foydalansak, magnit maydon kuchlanganlik vektorining ixtiyoriy berk kontur bo'yicha sirkulyatsiyasi uchun quyidagini yozamiz:

$$\oint_l H_l dl = - \int_S \left( j_{utk} + \frac{\partial D}{\partial t} \right)_n dS \quad (13.49)$$

Bu ifoda **Maksvellning ikkinchi tenglamasi** deb ataladi. U magnit maydon kuchlanganlik vektori  $N$  ning ixtiyoriy berk kontur bo'yicha sirkulatsiyasi, shu konturga tiralgan ixtiyoriy  $S$  – sirtini teshib o'tuvchi makroskopik va siljish toklarinig algebraik yig'indisiga tengligini ko'rsatadi.

3. Elektr induksiya vektori  $D$  ning ixtiyoriy berk sirt orqali oqimi shu sirt ichidagi barcha erkin zaryadlarning algebraik yig'indisiga teng:

$$\oint D_n dS = \int_V q dV \quad (13.50)$$

bundagi  $\rho$  – berk sirt ichida joylashgan zaryadlarning hajmiy zichligi. **Bu Maksvellning uchinchi tenglamasidir.**

4. Magnit maydon qanday usul bilan hosil qilinmasin magnit induksiya chiziqlari doimo berk bo'ladi. Shuning uchun umumiyl holda:

$$\oint B_n dS = 0 \quad (13.51)$$

**Bu Maksvellning to'rtinchchi tenglamasidir.** Yuqoridagi to'rtta tenglama integral ko'rinishdagi Maksvell tenglamalaridir.

Endi Maksvell tenglamalarini differensial ko'rinishini yozaylik:

$$rot E = -\frac{\partial B}{\partial t} \quad (13.52)$$

$$rot H = j_{atk} + \frac{\partial B}{\partial t} \quad (13.53)$$

$$div D = \rho \quad (13.54)$$

$$div B = 0 \quad (13.55)$$

Maksvellning bu tenglamalari tabiat qonunlarining ifodasidir.

### Savollar

1. O'z tajribalariga asoslanib, Faradey induksion tokning qiymatini qanday aniqladi?
2. Lens induksion tokning yo'nalishini qanday tajriba asosida aniqladi?
3. Induksion EYUK hosil bo'lishini energiyani saqlanish qonuniga asosan tushuntiring.
4. O'z induksiya va o'zaroinduksiya hodisasi deganda nimani tushunasiz, o'zinduksiya EYUK ifodasini keltirib chiqaring?
5. Magnit maydon energiyasini va energiya zichligini ifodasini yozing.
6. Moddalarning magnit xossalari ni xarakterlovchi kattaliklar magnitlanish vektori, magnit qabul qiluvchanlik va magnit maydon kuchlanganligi orasida qanday bog'lanish bor?
7. Moddalarning diamagnetik, paramagnetik va ferramagnetik xususiyatlarini uch sinfga bo'linishining asosiy sababini ko'rsating.
8. Maksvellning elektromagnit maydon uchun yaratgan tenglamalarining integral va differensial ko'rinishlarini ifodalang.
9. Elektr maydonining o'zgarishi tufayli vujudga kelgan magnit maydon va elektr maydon orqasidagi miqdoriy bog'lanishini ifodalovchi Maksvell siljish toki deganda nimani tushunasiz?

### Masalalar

**44-masala.** Magnit induksiyasi  $B=0,5Tl$  bo'lgan bir jinsli magnit maydonga kuch chiziqlariga  $\alpha = 60^0$  burchak ostida joylashgan  $S=25\text{sm}^2$  sirt orqali o'tuvchi magnit induksiya oqimi  $\Phi$  topilsin.

$$\begin{aligned}\text{Berilgan: } & B=0,5 \text{ Tl}, \alpha = 60^0 \\ & S=25\text{sm}^2=2,5 \cdot 10^{-3} \text{m}^2 \\ & \Phi \sim ?\end{aligned}$$

**Yechish:** Biror  $S$  sirt orqali o'tuvchi magnit induksiya oqimi  $F$  ushbu formuladan aniqlanadi:

$$\Phi = BS \cos \alpha \quad (1)$$

bunda,  $\alpha$  – magnit induksiya vektori  $\vec{B}$  va sirt  $S$  ga o'tkazilgan  $\vec{n}$  normal orasidagi burchak.

Masalada berilgan kattaliklarning son qiymatlarini o'rniga qo'yib hisoblab chiqamiz:

$$\begin{aligned}\Phi &= BS \cos \alpha = 0,5Tl \cdot 2,5 \cdot 10^{-3} \cos 60 = 12,5 \cdot 10^{-7} \cdot 0,5 = \\ &= 0,625 \cdot 10^{-3} Vb = 6,25 \cdot 10^{-4} Vb.\end{aligned}$$

**45-masala.** Induksiya  $V=0,5 \text{ Tl}$  bo'lgan magnit maydonda  $l=50\text{sm}$  uzunlikdagi sterjen  $v = 4ayl / s$  chastota bilan tekis aylanmoqda. Aylanish o'qi sterjenning bir uchidan o'tib, magnit maydonning kuch chiziqlariga parallel yo'nalgan bo'lsa, sterjenning uchlarida hosil bo'lgan induksion EYUK ning qiymati topilsin.

$$\begin{aligned}\text{Berilgan: } & V=0,5Tl, l=50\text{sm}, \\ & v = 4ayl / s\end{aligned}$$

$$\mathcal{E}_i \sim ?$$

**Yechish.** Faradeyning elektromagnit induksiya qonuniga binoan induksion EYUK quyidagiga teng:  $\mathcal{E}_i - \frac{\Delta \Phi}{\Delta t}$

Sterjenning har bir aylanishida kesib o'tgan magnit induksiya oqimi quyidagicha bo'ladi.

$$\Phi = BS = B\pi d^2$$

Agar sterjenning  $\Delta t$  vaqt oralig'ida  $\Delta N$  marta aylansa, magnit induksiya oqimining o'zgarish  $\Delta \Phi = \Phi \cdot \Delta N = B\pi d^2 \cdot \Delta N$ , uni (1) formulaga qo'yib topamiz:

$$\mathcal{E}_i = \frac{\Delta \Phi}{\Delta t} = -\pi B e^2 \frac{\Delta N}{\Delta t} = -\pi B e^2 v$$

Bunda  $v = \frac{\Delta N}{\Delta t}$  sterjenning aylanish chastotasi. Kattaliklarning son

qiymatlarini (3) ga qo'yib hisoblaymiz:

$$|\mathcal{E}_i| = \pi B e^2 v = 3,14 \cdot 0,5 \cdot 0,25 \cdot 4 = 1,57 V.$$

**46-masala.** Uzunligi  $l=40$  sm, ko'ndalang kesim yuzi  $S=4\text{sm}^2$  va o'ramlar soni  $N=800$  bo'lган g'altakning induktivligi  $L$  topilsin. G'altak o'zagi materialining nisbiy magnit singdiruvchiligi  $\mu = 500$  ga teng.

Berilgan:  $l=0,4$  m,  $S=4\text{sm}^2 = 4 \cdot 10^{-4} \text{m}^2$ ,  $N=800$ ,  $\mu = 500$ ,

$$\underline{\mu_0 = 12,56 \cdot 10^{-7} \text{Gn/m}}$$

$$\underline{L \sim ?}$$

**Yechish.** Uzun g'altakning induktivligi  $L$  quyidagi formula bilan aniqlanadi.

$$L = \mu_0 \mu n^2 V \quad (1)$$

bunda,  $n = \frac{N}{l}$  g'altakning uzunligi borligi mos kelgan o'ramlar soni,  $l$  g'altakning uzunligi,  $V = lS$  g'altakning hajmi,  $S$  uning ko'ndalang kesim yuzi.  
Agar  $n$  va  $V$  ning ifodalari (1) ga qo'yilsa, ishchi formula kelib chiqadi.

$$L = \mu_0 \mu n^2 V = \mu_0 \mu \frac{N^2}{l^2} l S = \mu_0 \mu \frac{N^2}{l} S \quad (2)$$

(2) dagi kattaliklarning qiymatlarini o'rniiga qo'yib chiqamiz:

$$L = \mu_0 \mu \frac{N^2}{l} S = 12,56 \cdot 10^{-7} \cdot 500 \frac{64 \cdot 10^4}{0,4} \cdot 4 \cdot 10^2 = 0,4 \text{Gn}$$

**47-masala.** Tokli g'altakning nikel o'zagini kesim yuzi  $S=20\text{sm}^2$  orqali o'tgan magnit induksiya oqimi  $\Phi = 1,256 \cdot 10^{-2} \text{Vb}$  ga teng. Agar g'altak ichidagi bir jinsli magnit maydonning kuchlanganligi  $H = 2,5 \cdot 10^4 \text{A/m}$  ga teng bo'lsa, nikelning shu sharoitdagi nisbiy singdiruvchanligi  $\mu$  topilsin.

Berilgan:  $S=20\text{sm}^2 = 2 \cdot 10^{-3} \text{m}^2$ ,  $\Phi = 1,256 \cdot 10^{-2} \text{Vb}$ ,

$$\underline{H = 2,5 \cdot 10^4 \text{A/m}}, \underline{\mu_0 = 12,56 \cdot 10^{-7} \text{Gn/m}}$$

$$\underline{\mu \sim ?}$$

**Yechish.** G'altak o'zagining ko'ndalang kesim yuzi  $S$  orqali o'tayotgan magnit induksiya oqimi

$$\Phi = BS = \mu_0 \mu HS$$

bunda,  $B$  – magnit maydonning induksiyasi  $H$  – kuchlanganligi  $\mu_0$  – magnit doimisi. Oxirgi formuladan g'altak o'zagi materialini nisbiy magnit singdiruvchanligi  $\mu$  ni aniqlab, uni son qiymatini hisoblab topamiz:

$$\mu = \frac{\Phi}{\mu_0 HS} = \frac{1,256 \cdot 10^{-2}}{1,256 \cdot 10^{-7} \cdot 2,5 \cdot 2 \cdot 10^{-3}} = 200$$

**48-masala.** Uzunligi  $l=0,4\text{m}$  ga, ko'ndalang kesim yuzi  $S=2\text{sm}^2$  ga va uzunlik birligiga mos kelgan o'ramlar soni  $n=25$   $1/\text{sm}$  ga teng bo'lgan o'zaksiz g'altak cho'lg'amlaridan  $I=0,8\text{A}$  tok o'tayotgan bo'lsa, g'altak ichida hosil bo'lgan magnit maydonining energiyasi  $W_m$  topilsin.

**Berilgan:**  $l=0,4\text{m}$ ,  $S=2\text{sm}^2$ ,  $n=25$   $1/\text{sm}$ ,  $I=0,8\text{A}$ .

$$\frac{\mu_0 = 12,56 \cdot 10^{-7} \text{Gn/m}, \mu = 1}{W_m \sim ?}$$

**Yechish.** Induktivligi  $L$  ga teng g'altakdan tok o'tayotganda unda hosil bo'lgan magnit maydonning energiyasi  $W_m$  quyidagi formuladan aniqlanadi.

$$W_m = \frac{LI^2}{2} \quad (1)$$

G'altakning induktivligi  $L$  uzunlik birligiga mos kelgan  $n=2ds$  o'ramlarga  $V=IS$  hajmga va muhitining magnit xususiyati, ya'ni absolut magnit singdiruvchanligi

$\mu_a = \mu_0 \mu$  ga bog'liq bo'lib, u quydagiga teng.

$$L = \mu_a n^2 V = \mu_0 \mu n^2 l S \quad (2)$$

bunda,  $\mu_0$  – magnit doimisi,  $\mu$  – muhitning nisbiy magnit singdiruvchanligi. Induktivlik  $L$  ning ifodasini (1) formulaga qo'yilsa, quydagi ishchi formula kelib chiqadi.

$$W_m = \frac{LI^2}{2} = \frac{\mu_0 \mu n^2 l S I^2}{2} \quad (3)$$

(3) formulaga son qiymatlarini qo'yib hisoblashni bajaraylik:

$$W_m = \frac{12,56 \cdot 10^{-7} \cdot 1 \cdot 625 \cdot 10^4 \cdot 0,4 \cdot 2 \cdot 10^{-4} \cdot 0,64}{2} = 2 \cdot 10^{-4} \text{J}.$$

**49-masala.** Uzunligi  $l=50\text{sm}$  va ko'ndalang kesim yuzi  $S=2\text{sm}^2$  bo'lgan o'zakning induktivligi  $L = 2 \cdot 10^{-7} \text{Gn}$ . Tok kuchi  $I$  qanday bo'lganda g'altak ichidagi magnit maydoni energiya zichligi  $\omega = 10^{-3} \text{J/m}^3$  bo'ladi.

**Berilgan:**  $l=50\text{sm}$ ,  $S=2\text{sm}^2 = 2 \cdot 10^{-4} \text{m}^2$ ,

$$\frac{L = 2 \cdot 10^{-7} \text{Gn}, \omega = 10^{-3} \text{J/m}^3}{I \sim ?}$$

**Yechish.**  $W_m = \frac{\mu_0 \mu H^2}{2}$  formulaga muvofiq

$$w = \frac{\mu_0 \mu H^2}{2} \quad (1)$$

bu yerda,  $H = \frac{In}{l}$  g'altak ichida magnit maydonning kuchlanganligi,  $n$  – g'altak

o'ramlar soni (13.8) formulaga ko'ra  $L = \frac{\mu_0 \mu n^2 S}{l}$  bundan

$$\mu_0 \mu = \frac{Ll}{Sn^2} \quad (2)$$

$H$  va  $\mu_0 \mu$  ning ifodalarini (1) formulaga qo'yib tok kuchini topamiz:

$$I = \sqrt{\frac{2eSw}{L}} = \sqrt{\frac{2 \cdot 0,5 \cdot 2 \cdot 10^{-4} \cdot 10^{-3}}{2 \cdot 10^{-7}}} = 1 \sqrt{\frac{J}{Gn}} = 1A.$$

## 4. TEBRANISHLAR VA TO'LQINLAR

### XIV bob. MEXANIK VA ELEKTROMAGNIT TEBRANISHLAR

#### 14.1. Mexanik garmonik tebranishlar tenglamasi

Biror moddiy nuqtaning muvozanat vaziyatidan goh bir tomonga, goh ikkinchi tomonga harakatlanishi davriy takrorlanadigan jarayon **tebranma harakat** deb ataladi. Harakatning bu turini biz tabiatda, texnikada juda ko'p uchratamiz. Masalan, soat mayatnigining, kamerton shoxchalarining, telefonlarning membranalari tebranishlari, bug' dvigatellari va ichki yonuv dvigatellarining porshenlari harakatlarni olish mumkin. Tebranishlarning eng oddiy turi **garmonik tebranishdir**. Jismning harakat trayektoriyasini vaqt bo'yicha o'zgarishi sinus yoki kosinuslar qonuni bo'yicha o'zgaradigan tebranishlarga **garmonik tebranishlar** deyiladi.

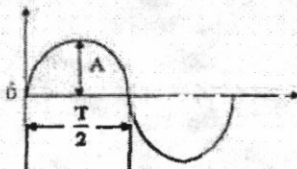
$$x = A \sin(\omega t + \alpha)$$

yoki

$$x = A \cos(\omega t + \alpha) \quad (14.1)$$

Bunda,  $x$  – jismning siljishi,  $A$  – jismning muvozanat holatidan maksimal siljishi bo'lib, **uni tebranish amplitudasi deyiladi**. Sinus yoki kosinusning eng katta qiymati birga teng bo'lgani uchun  $X_{maks}=A$  bo'ladi;  $(\omega t + \alpha)$  – garmonik tebranishning fazasi,  $\alpha$  – tebranishning boshlang'ich fazasi deyiladi;

$\omega = \frac{2\pi}{T}$  berilgan tebranish uchun doimiy bo'lib, garmonik tebranishning siklik chastotasi deyiladi.  $\alpha=0$  bo'lgan hol uchun (14.1) tenglama bilan ifodalangan garmonik tebranishlar grafigi 14.1-rasmda tasvirlangan.



14.1-rasm.

Tebranma harakat qilayotgan jismning muvozanat vaziyatdan eng chetga chiqishi **siljish** deb ataladi. Jismning bitta to'liq tebranishi amalga oshishi uchun ketgan vaqt **davr (T)** deb ataladi.

Tebranuvchi jism bitta davr ichida to'rtta amplitudaga teng bo'lgan yo'lni bosib o'tadi. Agar t vaqtida jism n marta tebrangan bo'lsa, uning davri

$$T = \frac{t}{n} (c) \quad (14.2)$$

ga teng bojadi. Birlik vaqt davomidagi tebranishlar stmoni

$$V = \frac{1}{T} \left[ \frac{1}{c} = 1 \Gamma \mu \right] \quad (14.3)$$

**chastota** deyiladi. SI da davr **sekund(s)** arddi, chastota esa **Gerslarda. (Gc)**

o'chanadi. Siklik va chiziqli chastotalar orasida quyidagicha bo'lanish bor:

$$\omega = 2\pi\nu \quad (14.4)$$

bunda  $\nu$  - sekund ichida to'la tebranishlar sonini ifodalaydi.

Tebranayotgan jismga ta'sir etuvchi kuch siljishga proporsionaldir, lekin kuch siljishga teskar yo'nalgan:

$$F = -kx \quad (14.5)$$

Agar tebranayotgan po'lat sharcha prujinaga osilgan bo'lsa,  $k$  - prujinaning *bikirligi* deyiladi. (14.5) munosabat tebranma harakat uchun **Guk** qonuni deb yuritiladi. Nyuton ikkinchi qonunidan foydalansak, (14.5) quyidagi ko'rinishda yoziladi:

$$ma = -kx \quad (14.6)$$

Bu yerdagi  $a = \frac{d^2x}{dt^2}$  teng ekanligini e'tiborga olsak, (14.6) ifoda quyidagi ko'rinishiga keladi:

$$m \frac{d^2x}{dt^2} = -kx \text{ yoki } \frac{d^2x}{dt^2} + \frac{k}{m}x = 0 \quad (14.7)$$

Bunda *kvam* musbat kattaliklar bo'lganligi uchun

$$\frac{k}{m} = \omega_0^2 \quad (14.8)$$

belgilasak, (14.7) ifoda

$$\frac{d^2x}{dt^2} + \omega_0^2 x = 0 \quad (14.9)$$

ko'rinishni oladi. (14.9) ifoda ikkinchi tartibili differensial tenglama bo'lib, uning yechimi

$$x = A \cos(\omega_0 t + \alpha) \quad (14.10)$$

ko'rinishda bo'ladi. Bu ifoda (14.1) tenglamaning o'zginasidir, bu yerda,  $A$  - amplituda,  $x$  - siljish,  $(\alpha)_0 t + \alpha$  - tebranish fazasi,  $a$  - boshlang'ich fazasidir.

Demak, yuqorida bayon etilgan fikrlarni umumlashtirib, garmonik tebranishga yana quyidagi ta'rif o'rini bo'ladi: *Jismning siljishga proporsional, muvozanat vaziyati tomon yo'nalgan kuch ta'sirida sodir bo'luvchi tebranishlarni garmonik tebranishlar* deyiladi. (14.10), dagi  $\omega_0$  - tebranishning **xususiy** siklik chastotasi deb ataladi.

Xususiy tebranish davri ( $T_0$ ) bilan  $\omega_0$ ning munosabati quyidagicha ifodalanadi:

$$\omega_0 = \frac{2\pi}{T_0} \quad (14.11)$$

## 14.2. Elektromagnit garmonik tebranishlar

Yuqori chastotali o'zgaruvchan toklarni **elektr tebranishlari** sifatida qabul qilish mumkin. Lekin hech qanday manekin generatorlar  $10^4$   $Gc$  chastotali o'zgaruvchan tok hosil qila olmaydi, chunki buning uchun generatorning yakori sekundiga million marta aylanishi kerak, bunday generator hali yaratilgani yo'q. Shuning uchun, elektr tebranishlarning generatori va yuksak chastotali

elektromagnit to'lqinlar manbai sifatida **tebranish konturidan** foydalanish maqsadga muvofiq bo'ladi.

Kondensator va induktiv g'altakdan tashkil topgan zanjir **tebranish konturi** deb nomlangan. Elektr maydonni kondensator qoplamlari orasida, magnit maydonni esa induktiv g'altak yordamida vujudga keltiriladi. Bunda elektr maydon energiyasi magnit maydon energiyasiga va aksincha, magnit maydon energiyasi elektr maydon energiyasiga aylanib, elektromagnit tebranishlar hosil bo'ladi.

Konturda elektr tebranishlar hosil qilish uchun dastlab kondensatorni zaryadlaymiz (14.2 a-rasm.), kondensatordagi zaryadlar g'altak tomonga oqib kondensator zaryadsizlana boshlaydi. Kondensator zaryadsizlangan sari uning elektr maydoni zaiflashadi, g'altakning magnit maydoni kuchaya boradi. Magnit maydonning o'sishi kondensator to'liq zaryadsizlangunca davom etib, g'altakda o'zindusiya EYUK hosil bo'lishga sababchi bo'ladi.

Kondensator to'liq zaryadsizlanganda g'altakdagagi tok maksimal bo'ladi (14.2b-rasm). Bu vaqtida elektr maydonning energiyasi

$$\left( W_e = \frac{cu^2}{2} \right)$$

to'lig'icha g'altakning magnit maydon energiyasi

$$\left( W_m = \frac{1}{2} LI^2 m \right)$$

ga aylanadi. Vaqt o'tishi bilan magnit maydon zaifashib, g'altakda o'zindusiya EYUK vujudga keladi. Induksion tokni yo'nalishi dastlabki tok yo'nalishida bo'ladi, natijada kondensator qayta zaryadlanadi. Bu momentda magnit maydon energiyasi elektr maydon energiyasiga aylanadi, biroq bu holda elektr maydonning yo'nalishi (14.2 d - rasmga qarang) boshlang'ich holatdagi elektr maydon yo'nalishiga teskari bo'ladi. So'ngra yana kondensatorning zaryadlanishi va konturda teskari yo'nalishda elektr tokning oqishi kuzatiladi. Bu tok g'altakdan o'tib unda magnit maydon hosil qiladi. Magnit maydonning yo'nalishi bu holda (14.2 e-rasm) oldingi holdagiga qarama - qarshidir.

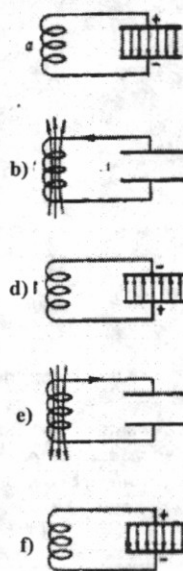
Keyin magnit maydon energiyasi hisobiga o'zindusiya toki vujudga keladi va kondensator qoplamlari orasida dastlabki yo'nalishdagi kabi elektr maydon (14.2 f-rasm) hosil bo'ladi. Shunday qilib, konturda bitta to'liq tebranish tugallanadi, bu hoi o'z navbatida konturda ma'lum Tdavrga ega bo'lgan elektromagnit tebranishlari hosil bo'lganligini ko'rsatadi. Konturda tok davrning birinchi yarmida bir yo'nalishda, davrning ikkinchi yarmida esa qarama - qarshi yo'nalishda oqadi.

Agar tebranishlar ideal konturda ( $R=0$ ) hosil bo'lyapti deb faraz qilsak, elektr yoki magnit maydon energiyalari boshqa tur energiyalarga aylanmaydi. Tebranishlar sodir bo'layotgan vaqtida konturga tashqi kuchlanish berilmaganligi uchun

kondensatordagi kuchlanish tushishi

$$\left( U_c = \frac{q}{C} \right)$$

va g'altakdagagi kuchlanish



14.2-rasm.

tushishi esa  $\left( U_L = L \frac{dI}{dt} = L \frac{d^2q}{dt^2} \right)$  bo'ladi. Bu kuchlanish tushishlarining yig'indisi nolga teng bo'iishi kerak, ya'ni

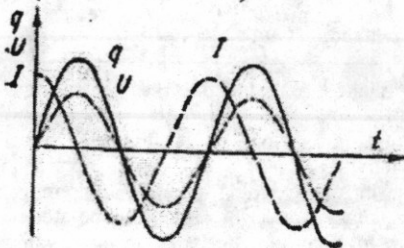
$$\left( L \frac{d^2q}{dt^2} + \frac{q}{c} = 0 \right) \quad (14.12)$$

Bu ifodani  $L$  ga bo'lsak va

$$\left( \omega_0 = \frac{1}{\sqrt{LC}} \right) \quad (14.13)$$

deb belgilasak, (14. 2) munosabat quyidagi ko'rinishga keladi

$$\left( \frac{d^2q}{dt^2} + \omega_0^2 q = 0 \right) \quad (14.14)$$



14.3-rasm.

Bu tenglamaning yechimi

$q = q_m \cos(\omega_0 t + \phi)$  (14.15)  
ko'rinishida bo'ladi. Bu ifodadan shu narsa ko'rinaradiki, kondensator qoplamalaridagi zaryad miqdori garmonik qonun bo'yicha o'zgaradi (14.3-rasm) u holda kondensatordagi kuchlanish

$$U = \frac{q}{c} = \frac{q_m}{c} \cos(\omega_0 t + \phi) = U_m \cos(\omega_0 t + \phi) \quad (14.16)$$

ifoda bilan aniqlanar ekan, u ham garmonik qonun bo'yicha o'zgaradi (14.3 - rasm).

Zanjirdagi tok kuchi ham garmonik qonun bo'yicha o'zgaradi:

$$I = \frac{dq}{dt} = \omega_0 q_m \sin(\omega_0 t + \phi) = I_m \cos(\omega_0 t + \phi + \frac{\pi}{2}) \quad (14.17)$$

Demak, tok kuchi zaryad va kuchlanishdan fazalar bo'yicha  $\frac{\pi}{2}$  ga farq qiladi

(14.3-rasm).

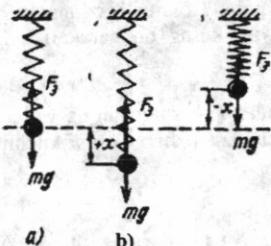
Tebranish davri uchun quyidagi formulani yozish mumkin.

$$T = \frac{2\pi}{\omega_0} = 2\pi\sqrt{LC} \quad 14.18$$

Bu tenglama *Tomson formulasi* deb yuritiladi. Elektromagnit tebranishlarni uzlusiz hosil qilish uchun kondensatorni biror moslama bilan zaryadlab turish zarur. Bunday moslama sifatida 1886-yilda Gers induksiya g'altagidan foydalangan. Hozirda esa so'rnmas elektromagnit tebranishlari hosil qilish uchun elektron lampa va yarimo'tkazgichli tranzistordan foydaliladi.

### 14.3. Mayatniklar

Muvozanat vaziyati atrofida goh u yon, goh bu yon tebranma harakat qiladigan qattiq jism **mayatnik** deb ataladi. Prujinali, matematik va fizik mayatniklarning tebranishi qonuniyatlari bilan tanishib o'taylik.



14.4-rasm.

**1. Prujinali mavatnik.** Prujinaga osilgan  $m$  – massali sharchadan iborat sistemani qarab chiqaylik (14.4-rasm). Muvozanat holatida  $mg$  og'irlik kuchi  $F_e$  elastik ( $F_e = -kx$ ) kuchi bilan muvozanatlashadi. Tashqaridan ta'sir bo'limguncha mayatnik o'zining muvozanat vaziyatini saqlayveradi. Agar sharchani pastga  $x > 0$  masofaga tortib uni muvozanat vaziyatdan chiqarsak (14.4b-rasm), yukning og'irlik kuchi 14.4-rasm. Prujinaning elastiklik kuchidan kichik bo'lib qoladi,  $F_e$  kuchi esa muvozanat vaziyat tomon yo'nalgan bo'ladi. ( $F_e < 0$ ). Sharcha muvozanat vaziyatga yetsa, inersiya tufayli harakatni davom ettiradi, natijada  $x < 0$  bo'lganda kuch ( $F_e > 0$ ) bo'ladi, (14.4 d-rasm) prujina siqiladi. Bu holda yukka ta'sir etuvchi natijaviy kuch, yana muvozanat vaziyat tomon yo'nalgan bo'ladi. Shu tariqa muvozanat vaziyatdan chiqarilgan prujinali mayatnikning tebranishlari amalga oshadi. (14.8) va (14.11) ifodalardan foydalabanib, prujinali mayatnikning tebranish davri uchun

$$T_n = 2\pi \sqrt{\frac{m}{k}} \quad (14.19)$$

formulani hosil qilamiz.

**2. Matematik mayatnik.** Cho'zilmaydigan vaznsiz ipga osilgan og'irlik kuchi ta'sirida vertikal tekislikdagи aylana yoyi bo'ylab tebranma oladigan moddiy nuqta **matematik mayatnik** deyiladi.

Mayatnik ipi vertikal vaziyatda bo'lsa, shargachaga ta'sir etuvchi og'irlik kuchi

( $\overrightarrow{mg}$ ) ipning taranglik kuchi ( $\overrightarrow{F}_R$ ) bilan muvozanatlashadi. Lekin mayatnik muvozanat vaziyatidan biror  $\phi$  burchakka og'dirilganda og'irlik kuchi ( $\overrightarrow{mg}$ ) va ipning taranglik kuchi ( $\overrightarrow{F}_R$ ) bir to'g'ri chizqda yotmaydi. Natijada ularning teng ta'sir etuvchi kuchi  $\overrightarrow{F}_R = \overrightarrow{mg} + \overrightarrow{F}_R$  hosil bo'ladi. Mayatnik o'ng tomonga og'gan holda (14.5 b-rasm)  $\overrightarrow{F}$  chap tomonga yo'nalgan, mayatnik chap tomonga og'gan holda (14.5 d-rasm)  $\overrightarrow{F}$  o'ng tomonga yo'nalgan bo'ladi.

Demak,

$$F = -mg \sin \varphi \quad (14.20)$$

Bu kuch ta'sirida sharcha  $l$  radiusli aylana yoyi bo'ylab muvozanat vaziyati tomon harakatlanadi. Mayatnikning bu harakati aylanma harakat dinamikasining asosiy tenglamasi

$$I_{\varepsilon} = M \quad (14.21)$$

bilan xarakterlanadi. Bunda,  $I$  – sharchaning aylanishi o'qiga nisbatan inersiya momenti,  $\varepsilon$  – uning burchak tezlanishi,  $M$  esa  $F$  kuchning O o'qqa nisbatan momenti bo'lgani uchun

$$Im = ml^2, \varepsilon = \frac{d^2\varphi}{dt^2}, M = -mgL \sin \varphi$$

ifodalardan foydalanim, (14.21) ni quyidagi ko'rinishda yozish mumkin:

$$ml^2 \frac{d^2\varphi}{dt^2} = -mgl \sin \varphi \text{ yoki } \frac{d^2\varphi}{dt^2} + \frac{g}{l} \sin \varphi = 0 \quad (14.22)$$

$\varphi$  burchak kichik bo'lganda. Sing qom. taqrriban  $\varphi$  bilan almashtirish mumkin. Natijada (14.22) ifoda

$$\frac{d^2\varphi}{dt^2} + \frac{g}{l} \varphi = 0$$

ko'rinishga keladi:

$$\frac{g}{l} = \omega_0^2 \quad (14.23)$$

belgini kirtsak,

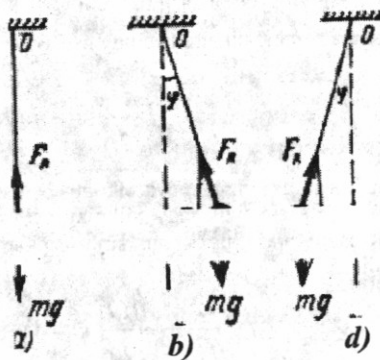
$$\frac{d^2\varphi}{dt^2} + \omega_0^2 \varphi = 0 \quad (14.24)$$

tenglamani hosil qilamiz. Bu tenglamaning yechimi

$$\varphi = \varphi_0 \cos(\omega t + \alpha) \quad (14.25)$$

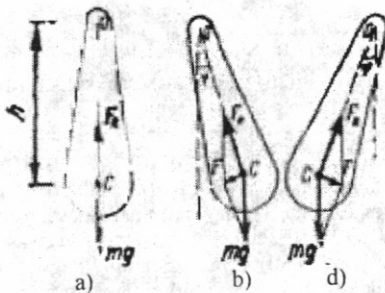
ko'rinishda bo'ladi. (14.25)dan foydalanim, matematik mayatnik tebranish davri

$$T_M = \frac{2\pi}{\omega_0} = 2\pi \sqrt{\frac{l}{g}} \quad (14.26)$$



14.5-rasm.

Demak, kichik og'ish burchaklarda matematik mayatnikning tebranish davri mayatnik uzunligining kvadrat ildiziga to'g'ri proporsional, erkin tushish tezlanishining kvadrat ildiziga teskari proporsional bo'lib mayatnik tebranishlarining amplitudasiga va massasiga bog'liq emas. Shuningdek, matematik mayatnikning tebranish tekisligi o'zgarishsiz qoladi.



14.6-rasm.

**3. Fizik mayatnik** — deganda inersiya markazidan o'tmaydigan gorizontal qo'zg'almas aylanish o'qi atrofida og'irlik kuchi ta'sirida harakatlana oladigan qattiq jism tushuniladi. Aylanish o'qi fizik mayatnikning osilish o'qi deb ataladi. Fizik mayatnikning inersiya markazi ( $S$ ) dan osilish o'qiga o'tkazilgan perpendikular ( $OS$ ) vertikal chiziq bilan mos tushgan holda mayatnik muvozanat vaziyatda bo'ladi. Muvozanat vaziyatdan biror burchakka og'dirilganda (14.6 b yoki 14.6 d = rasm)  $mg$  va  $\vec{F}_R$  kuchlarning teng ta'sir etuvchisi fizik mayatnikni

muvozanat vaziyati tomon qaytarishga intiluvchi  $\overline{F}$  kuchdir. Fizik mayatnikning harakati uchun aylanma harakat dinamikasining asosiy tenglamasi

$$I \frac{d^2\varphi}{dt^2} = -mgh \sin \varphi \quad (14.27)$$

tarzida yoziladi. Bu yerda,  $I$  – fizik mayatnikning osilish o'qiga nisbatan inersiya momenti,  $m$  – massasi,  $h$  – esa fizik mayatnikning osilish o'qi va inersiya markazi orasidagi masofa. Kichik tebranishlar uchun  $\sin\alpha=\varphi$  ekanligini hisobga olsak, 14.27 quyidagicha yoziladi:

$$\begin{aligned} \frac{d^2\varphi}{dt^2} + \frac{mgh}{I} \varphi &= 0 \\ \frac{d^2\varphi}{dt^2} + \omega_0^2 \varphi &= 0 \end{aligned} \quad (14.28)$$

(14.28) tenglamaga

$$\omega_0^2 = \frac{mgh}{I} \quad (14.29)$$

belgilash kiritdik.

Shunday qilib, fizik mayatnikning tebranish davri

$$T_\varphi = \frac{2\pi}{\omega_0} = 2\pi \sqrt{\frac{I}{mgh}} \quad (14.30)$$

formula bilan aniqlanadi. (14.26) va (14.30) larni solishtirib

$$l_k = \frac{I}{mn} \quad (14.31)$$

fizik mayatnikning keltirilgan uzunligi ( $l_k$ ) ni topamiz. Shunday qilib, fizik mayatnikning keltirilgan uzunligi shunday matematik mayatnikning uzunligidan iboratki, bu mayatnikning tebranish davri berilgan fizik mayatnikning tebranish davriga teng bo'ladi.

(14.19), (14.26) va (14.30) lar asosida quyidagi xulosaga kelamiz: prujinali mayatnik, matematik va fizik mayatniklar uchun umumiyl xususiyati shundan iboratki, mayatniklarning kichik tebranishlarida, ya'ni gormonik tebranishlar sodir bo'layotganda tebranish davri, amplitudaga bog'liq emas. Mayatniklarning bu xossasi **izoxronik** deb ataladi. Bu ko'rib o'tilgan mayatniklar texnikasining turli sohalarida qo'llaniladi.

#### 14.4. Bir xil yo'nalishdagi tebranishlarni qo'shish

Yo'nalishlar va chastotalari bir xil, lekin amplituda va boshlang'ich fazalari turlicha bo'lgan ikkita gormonik tebranishlarning qo'shilishini qarab chiqaylik. Tebranuvchi jismning x siljishi  $x_1$  va  $x_2$  siljishlarning yig'indisidan iborat bo'ladi:

$$x_1 = A_1 \cos(\omega_1 t + \alpha_1) \quad x_2 = A_2 \cos(\omega_2 t + \alpha_2) \quad (14.32)$$

Bu tebranishlarni qo'shishda amplitudaning vektorlar diagrammasidan foydalananamiz. Vektorlarning qo'shish qoidasiga binoan A vektorni chizaylik. Bu vektorni x o'qiga proeksiyasi, qo'shiluvchi vektorlar proeksiyalarning yig'indisiga teng, ya'ni

$$x = x_1 + x_2$$

ekanligini (14.7-rasm)dan ko'rish qiyin emas.

Demak, A vektor natijaviy tebranish amplitudasidir. Bu vektor ham  $A_1$  va  $A_2$  vektorlar kabi  $\omega_b$  burchak tezlik bilan aylanadi.

A ning qiymatini esa kosinuslar teoremasidan foydalanim topish mumkin.

$$A^2 = A_1^2 + A_2^2 - 2A_1 A_2 \cos(\alpha_2 - \alpha_1) = A_1^2 + A_2^2 - 2A_1 A_2 \cos(\alpha_2 - \alpha_1) \quad (14.33)$$

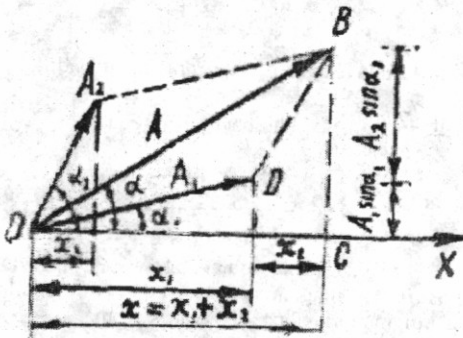
$\alpha$  ning qiymati OVS uchburchaklardan aniqlaymiz:

$$\operatorname{tg} \alpha = \frac{BC}{OC} = \frac{A_1 \sin \alpha_1 + A_2 \sin \alpha_2}{A_1 \cos \alpha_1 + A_2 \cos \alpha_2} \quad (14.34)$$

Shunday qilib, gormonik tebranishlarni vektorlar yordamida tasvirlash usuli, bir necha tebranishlarni qo'shilishi, vektorlarning qo'shish qoidasiga keltirishga imkon berar ekan. Demak, natijaviy tebranma harakat ham  $\omega_b$  chastota bilan qo'shiluvchi tebranishlar yo'nalishida amalga oshuvchi gormonik tebranish bo'ladi, uning tenglamasi

$$x = A \cos(\omega_b t + \alpha) \quad (14.35)$$

bo'lib, A va  $\alpha$  ning qiymatlari (14.33) va (14.34) ifodalar bilan aniqlanadi.



14.7-rasm.

#### 14.5. O'zaro perpendikular tebranishlarni qo'shish O'zaro perpendikular tebranishlarning tenglamalari

$$x = A_1 \cos(\omega_b t + \alpha_1)$$

$$y = A_2 \cos(\omega_b t + \alpha_2) \quad (14.36)$$

ko'rinishida yoziladi. Bunda  $A_1$  va  $A_2$ ,  $\alpha_1$  va  $\alpha_2$  mos ravishda birinchi va ikkinchi tebranishlarning amplitudalari va boshlang'ich fazalari.

(14.36) tenglamalar ustida bir qator matematik amallar bajarib, t ni yo'qotsak, moddiy nuqta natijaviy harakati trayektoriyasining tenglamasini hosil qilamiz:

$$\frac{x^2}{A_1^2} + \frac{y^2}{A_2^2} - \frac{2xy}{A_1 A_2} \cos(\alpha_2 - \alpha_1) = \sin^2(\alpha_2 - \alpha_1) \quad (14.37)$$

Bu tenglamani quyidagi xususiy hollar uchun tatbiq qilaylik:

1).  $\alpha_2 - \alpha_1 = 0$ , ya'ni  $\alpha_1 - \alpha_2 = \alpha$  bo'lsin. U holda (14.37) quyidagicha ko'rinishga keladi:

$$\frac{x^2}{A_1^2} + \frac{y^2}{A_1^2} - \frac{2xy}{A_1 A_2} o \quad yoki \quad \left( \frac{x}{A_1} - \frac{y}{A_2} \right)^2 = 0$$

bundan

$$y = \frac{A_2}{A_1} x \quad (14.38)$$

**to'g'ri chiziq** tenglamasini hosil qilamiz.

2).  $\alpha_2 - \alpha_1 = \pm\pi$  bo'lsin. U holda (14.37) tenglama

$$\frac{x^2}{A_1^2} + \frac{y^2}{A_2^2} + \frac{2xy}{A_1 A_2} = 0 \quad yoki \quad \left( \frac{x}{A_1} + \frac{y}{A_2} \right)^2 = 0$$

ko'rinishga keladi. Bundan:

$$y = -\frac{A_2}{A_1} x \quad (14.39)$$

hosil qilamiz. (14.39) ifoda ham **to'g'ri chiziq** tenglamasidir.

$$\alpha_2 - \alpha_1 = \pm \frac{\pi}{2} \text{ bo'lsin. U holda (14.37) ifoda}$$

$$\frac{x^2}{A_1^2} + \frac{y^2}{A_2^2} = 1 \quad (14.40)$$

ko'rinishga keladi. Bu ifoda yarim o'qlari ( $A_1$  va  $A_2$ ) OX va OU o'qlar bo'yicha yo'nalgan **ellipsning** tenglamasidir. Agar qo'shiluvchi tebranishlar amplitudalarining qiyatlari teng bo'lsa, (ya'ni  $A_1 = A_2$ ) natijaviy harakat trayektoriyasi aylanadan iborat bo'ladi.

#### 14.6. Garmonik tebranishlar energiyasi

Biz yuqorida mayatniklarni tebranish jarayonida ularning kinetik energiyasi potensial energiyaga va aksincha, potensial energiya esa kinetik energiyaga aylanib turishiga e'tibor qilmadik. Endi garmonik tebranishlar energiyasini aniqlaylik. Massasi  $m$  bo'lgan moddiy nuqta elastik kuch ta'sirida garmonik tebranma harakat qiladi.

$$F = -kx$$

Harakat davomida moddiy nuqta ma'lum bir tezlikka erishadi, demak, u ma'lum kinetik energiyaga ega bo'ladi.

$$W_k = \frac{1}{2} m v^2$$

Lekin garmonik tebranma harakat qilayotgan moddiy nuqtaning tezligi uchun

$$v = \frac{dx}{dt} = \frac{d}{dt} [A \cos(\omega_0 t + \alpha)] = -A \omega_0 \sin(\omega_0 t + \alpha) \quad (14.41)$$

ifoda hosil bo'ladi. U holda kinetik energiya formulasi:

$$W_k = \frac{1}{2} m \omega_0^2 A^2 \sin^2(\omega_0 t + \alpha) \quad (14.42)$$

ko'rinishda yoziladi.

Potensial energiya qiymati esa

$$W_p = \int_0^x |F| dx = \int_0^x kx \, dx = \frac{1}{2} kx^2 = \frac{1}{2} kA^2 \cos^2(\omega_0 t + \alpha) \quad (14.43)$$

(14.42) va (14.43) lardagi sinus va kosinusning maksimal qiymati 1 ga teng.

Shuning uchun kinetik va potensial energiyalarining maksimal qiymatlari quyidagicha:

$$W_k = \frac{1}{2} m \omega_0^2 A^2, \quad (14.44)$$

$$W_p = \frac{1}{2} kA^2 \quad (14.45)$$

Garmonik tebranma harakat qilayotgan moddiy nuqtaning ixtiyoriy vaziyatdagi to'liq energiyasi kinetik va potensial energiyalar yig'indisidan iborat:

$$W = W_k + W_p = \frac{1}{2} m \omega_0^2 A^2 \sin^2(\omega_0 t + \alpha) + \frac{1}{2} kA^2 \cos^2(\omega_0 t + \alpha)$$

(14.8) dan  $k = m \omega_0^2$  teng ekanligini eslasak, to'liq energiya uchun

$$W = \frac{1}{2} m \omega_0^2 A^2 \quad \text{yoki} \quad W = \frac{1}{2} kA^2 \quad (14.46)$$

formulani hosil qilamiz.

Buni (14.44) va (14.45) bilan taqqoslab, quyidagi xulosaga kelamiz:  
tebranuvchi sistemaning ixtiyoriy vaziyatdagи to'liq energiyasi o'zgarmaydi va u  
kinetik yoki potensial energiyaning maksimal qiymatiga teng bo'ladi.

#### 14.7. So'nuvchi va majburiy tebranishlar. Rezonans

**So'nuvchi tebranishlar.** Agar mayatnik muvozanat vaziyatdan chiqarilib, so'ngra qo'yib yuborilsa, u holda mayatnik faqat unga dastlabki berilgan energiya tufayli ancha vaqt tebranib turadi. Mayatnikning bunday tebranishlari erkin tebranishlar yoki xususiy tebranishlar deyiladi. Amalda havoning qarshiligi va ishgalanishining mavjudligi mayatnik tebranishlar amplitudasini vaqt o'tishi bilan kamayishiga olib keladi. Vaqt o'tishi bilan amplitudasi kamayib boradigan tebranishlar so'nuvchi tebranishlar deyiladi.

Kichik tezliklarda havoning qarshilik kuchi tezlikka proporsional, lekin unga teskari yo'nalgan bo'ladi:

$$F_k = -r \nu = -r \frac{dx}{dt} \quad (14.47)$$

bu yerda,  $r$  — qarshilik koefitsiyenti deb ataladi.

Tebranayotgan jism uchun Nyutonning ikkinchi qonunidan foydalansak, natijada so'nvchi tebranishni xarakterlaydigan tenglama

$$m \frac{d^2 x}{dt^2} = -kx - r \frac{dx}{dt} \quad (14.48)$$

ko'rinishida yoziladi. Bu tenglamaning ikki tomonini m ga bo'lsak va

$$\frac{k}{m} = \omega_0^2; \frac{r}{m} = 2\beta \quad (14.49)$$

belgilashlardan foydalansak, quyidagi munosabatni hosil qilamiz:

$$\frac{d^2 x}{dt^2} + 2\beta \frac{dx}{dt} + \omega_0^2 x = 0 \quad (14.50)$$

Bu tenglamaning yechimi  $\beta < \omega_0$  bo'lgan holda quyidagicha bo'ladi:

$$x = A_0 e^{-\beta t} \cos(\omega_c t + \alpha) \quad (14.51)$$

Bundagi  $\frac{\partial D}{\partial t} - \frac{d\sigma}{dt}$  so'nvchi tebranish chastotasi, uning qiymati

$$\omega_c = \sqrt{\omega_0^2 - \beta^2} \quad (14.52)$$

munosabat bilan aniqlanadi. Faqat bitta xususiy holda, ya'ni  $\beta = \frac{r}{2m} = 0$

bo'lgan holda  $\omega_c = \omega_0$  bo'ladi. So'nvchi tebranish davri ( $T_c$ ) esa xususiy tebranish davri ( $T_0$ ) dan katta:

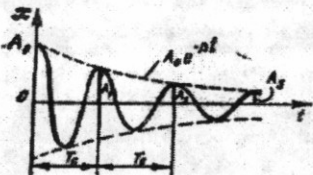
$$T_c = \frac{2\pi}{\omega_c} = \frac{2\pi}{\sqrt{\omega_0^2 - \beta^2}} > T_0 = \frac{2\pi}{\omega_0} \quad (14.53)$$

so'nvchi tebranishlarning amplitudasi esa vaqt o'tishi bilan

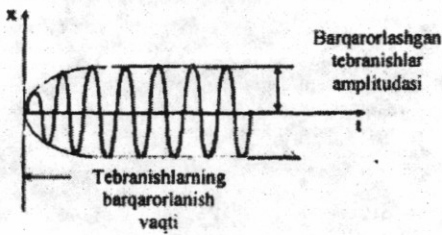
$$A = A_0 e^{-\beta t} \quad (14.54)$$

qonun bo'yicha kamayib boradi (14.8-rasm). Bunda  $A_0$  — boshlang'ich amplituda,  $\beta$  esa so'nish koefitsiyenti deb ataladi.

Amplitudaning kamayib borishi 14.8-rasmda punktir chiziq bilan tasvirlangan.



14.8-rasm.



14.9-rasm.

**Majburiy tebranishlar.** Mayatnikning tebranishlari so'nmasligi uchun atrof-muhitga ketayotgan energiyani uzlusiz qayta tiklab turish kerak, ya'ni mayatnikka davriy o'zgarib turuvchi kuch bilan ta'sir qilib turish kerak. Davriy ravishda o'zgarib turadigan bunday tashqi kuchni **majbur etuvchi kuch** deb ataladi.

Moddiy nuqtaga garmonik qonun bo'yicha o'zgaruvchi

$$F = F_0 \cos \omega t$$

kuch ta'sir etsin. Dinamikaning ikkinchi qonuniga asosan, moddiy nuqtaning mazkur holdagi harakat tenglamasini quyidagicha yozishimiz mumkin:

$$m \frac{d^2x}{dt^2} = -kx - r \frac{dx}{dt} + F_0 \cos \omega t$$

yoki

$$\frac{d^2x}{dt^2} + 2\beta \frac{dx}{dt} + \omega_0^2 x = \frac{F_0}{m} \cos \omega t \quad (14.55)$$

(14.55) tenglamaning xususiy yechimi esa majbur etuvchi kuch chastotasi  $\omega$  bilan sodir bo'ladijan tebranishlarni aks ettiradi. Bu tebranishlarni moddiy nuqtaning majburiy tebranishlari deyiladi (14.9-rasm).

Moddiy nuqtaning xususiy tebranishlari majbur etuvchi kuch ta'sir eta boshlagan dastlabki paytda vujudga keladi va ekspotensial qonun bo'yicha so'nadi. (14.55) tenglamaning izlanayotgan yechimi:

$$X = A \cos(\omega t + \alpha) \quad (14.56)$$

munosabat bilan aniqlanadi. Bundagi  $A$  majburiy tebranishlar amplitudasi, uning qiyimatini:

$$A = \frac{F_0}{m\sqrt{(\omega_0^2 - \omega^2)^2 + 4\beta^2\omega^2}} \quad (14.57)$$

formula yordamida hisoblash mumkin.  $A$  esa majbur etuvchi kuch va majburiy tebranish fazalarining farqi, uning qiymati:

$$\operatorname{tg} \alpha = -\frac{2\beta\omega}{\omega_0^2 - \omega^2} \quad (14.58)$$

formula yordamida hisoblanadi.

**Rezonans hodisasi.** Agar  $\omega=0$  bo'lganda, ya'ni majbur etuvchi kuchning qiymati o'zgarmaganda (14.57) ifodadan

$$A = \frac{F_0}{m\omega_0^2} = \frac{F_0}{K} \quad (14.59)$$

kelib chiqadi.  $\omega \rightarrow \infty$  bo'lsa, (14.57) ga asosan, amplituda nolga intiladi (14.10-rasm) dan ko'rinaridiki,  $\omega$  ning biror oraliq qiymatida amplituda maksimal qiymatga erishadi. Bu hodisa, ya'ni majbur etuvchi kuch chastotasining biror aniq qiymatida majburiy tebranishlar amplitudasining keskin ortib ketishi **rezonans hodisasi** deb ataladi.

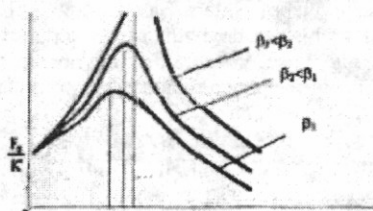
Rezonans hodisasi amalga oshgan holdagi majbur etuvchi kuchning chastotasini **rezonans chastotasi** deb, amplitudaning maksimal qiymatini esa **rezonans amplituda** deb ataladi. Rezonans hodisasi ro'y berganda (14.57) ifoda maksimal qiymatga erishadi, ammo bu holda mazkur ifodaning maxraji minimal qiymatga erishishi lozim. Shuning uchun (14.57) ning maxrajidan  $\omega$  bo'yicha hosila olib, uni nolga tenglashtiraylik:

$$\begin{aligned} & -2(\omega_0^2 - \omega^2)2\omega + 8\beta^2\omega = 0 \\ \text{yoki} \quad & -(\omega_0^2 - \omega^2) + 2\beta^2 = 0 \\ \text{bundan} \quad & \omega = \omega_p = \sqrt{\omega_0^2 - 2\beta^2} \end{aligned} \quad (14.60)$$

Rezonans chatotasining bu qiymatini (14.57) qo'ysak, rezonans amplituda qiymatini topamiz:

$$A_p = \frac{F_0}{2m\beta\sqrt{\omega_0^2 - \beta^2}} \quad (14.61)$$

A



14.10-rasm.

Demak, rezonans chastota va rezonans amplituda  $\beta$ ga bog'liq.  $\beta$  kamaygan sari  $\omega$  ortib boradi va xususiy tebranishlar chastotasi ( $\omega$ ) ga yaqinlashib boradi.  $\beta=0$  bo'lganda esa rezonans amplitudaning qiymati cheksiz katta bo'lib ketadi. Real holatda rezonans amplituda chekli qiymatga ega bo'ladi, chunki real sharoitda  $\beta \neq 0$  bo'ladi.

#### 14.8. To'lqin jarayonlar. Yassi sinusoidal to'lqin

Agar muhitning (havo, suv, prujina, arqon va boshqalarning) qandaydir bir nuqtasini tebranma harakatga keltirilsa, u holda biror vaqt o'tishi bilan bu muhitning boshsqa nuqtalari ham tebrana boshlaydi, ya'ni tebranish butun muhitga tarqaladi. Biroq muhitning nuqtalari tebranish manbalaridan tobora uzoqlashib borgan sari keyingi nuqtalarning tebranma harakati dastlabkisidan kechikadi, ya'ni muhitning har bir nuqtasining tebranishi oldingi nuqta tebranishidan fazaga jihatdan orqada qoladi.

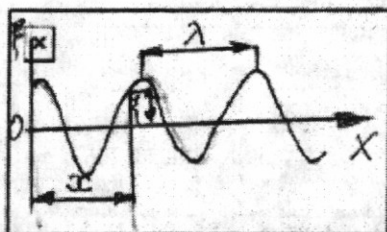
Tebranishlarning fazoda tarqalishi *to'lqin harakati* deyiladi. Tebranishlarning muhitda tarqalish jarayoni *to'lqin* deb yuritiladi. To'lqin tarqalayotgan vaqtida muhitning zarralari to'lqin bilan birga siljimasdan, balki o'zining muvozanat vaziyati atrofida tebranadi. To'lqinning tarqalish yo'nalishi **nur** deb, ixtiyoriy t vaqtida tebranishlar yetib kelgan muhit zarralarining geometrik o'rinni esa *to'lqin fronti* deb ataladi. O'z navbatida, to'lqin frontini muhitning tebranayotgan zarralarining tebranishi hali boshlanmagan zarralardan ajratib turuvchi chegaraviy sirt tarzida tasavvur qilish mumkin. To'lqin frontining shakli muhit xossalari, tebranish manbaining shakli va o'lchamlariga bog'liq. Masalan, nuqtaviy tebranish manbaidan tarqalayotgan to'lqinlarning fronti *sferik shaklda* bo'ladi. Undan tarqalayotgan to'lqinlar esa *sferik to'lqinlar* deb nom olgan. Agar tebranish manbai tekislik shaklida bo'lsa, manbaga yaqin sohalardagi to'lqin fronti ham tekislikdan iborat bo'ladi. Shu sababli bu to'lqinlar *yassi to'lqinlar* deb ataladi. Ikkala holda ham nur to'g'ri chiziq bo'lib, u to'lqin frontiga perpendikular bo'adi. Zarralarning tebranishi to'lqin tarqalayotgan yo'nalishiga nisbatan qanday yo'nalgaligiga qarab to'lqinlar *bo'ylama* va *ko'ndalang* to'lqinlarga bo'linadi.

Agar muhit zarrasining tebranishi to'lqinning tarqalish yo'nalishida sodir bo'lsa, bunday to'lqinlarga *bo'ylama to'lqinlar* deyiladi. Bo'ylama to'lqinda misol qilib siqilgan prujinaning tebranishlari, toyush to'lqinlari va boshqalarni olish mumkin. Bo'ylama to'lqinlar elastik moddada qattiq, suyuq va gazsimon jismlarda yuzaga kelishi mumkin.

Agar muhit zarrasining tebranishi to'lqinning tarqalish yo'nalishiga perpendikular bo'lsa, bunday to'lqinlarga *ko'ndalang to'lqinlar* deyiladi. Ko'ndalang to'lqinlarga misol qilib suv yuzasida hosil bo'lgan va arqon bo'ylab yo'nalgan to'lqinlarni olish mumkin. Aslida ko'ndalang to'lqinlar faqat qattiq jismlardagina yuzaga keladi. Suyuqlik va gazlarda ko'ndalang to'lqinlar hosil bo'lmaydi, chunki gaz va suyuqliklarda elastik kuchlar vujudga kelmaydi. Suyuqlikning sirti ustida gap ketganda bunday deb bo'lmaydi, chunki suyuqlik sirtida ko'ndalang to'lqinlar tarqaladi, bu holda shaklning elastikligini og'irlilik kuchlari va sirt hamda taranglik kuchlari ta'minlab turadi. Shunday qilib, ko'ndalang to'lqin tarqalish yo'nalishida muhit zarralarining do'ng'lklari va chuqurliklari, bo'ylama to'lqinda esa muhit zarrachalarining zichlashishi va siyraklanishi davriy hosil bo'la boradi. To'lqin to'siqqa duch kelganda qaytadi, bir muhitdan ikkinchi muhitga o'tganda esa sinadi.

Bir tebranish davri davomida to'lqinning tarqalish masofasi *to'lqin uzunligi*

deyiladi. Boshqacha aytganda, to'lqin uzunligi, to'lqinning bir xil fazada tebranayotgan ikki yaqin nuqtalari orasidagi masofadir.



14.11-rasm.

Agar tebranish davrini  $T$  bilan, to'lqin uzunligini  $\lambda$  bilan belgilasak, u holda to'lqin tezligi quyidagicha aniqlanadi:

$$u = \frac{\lambda}{T} = \lambda v \quad (14.62)$$

Bunda,  $v$  – tebranish chastotasi.

To'lqin tarqalish jarayonida manbadan tobora uzoqroqda joylashgan muhit zarralari tebrana boshlaydi. Bu jarayonda to'lqin, xuddi o'zini vujudga keltilgan manbadan «yugurib qochayotgandek» tuyuladi. Shu boisdan uni *yugurvuchi to'lqin* deb ataladi. Biror 0 nuqtadan  $x$  masofa uzoqlikdagi (14.11-rasm) zarraning ixtiyoriy

$t$  – vaqtidagi siljishi manbaga bevosita tegib turgan zarraning  $t = \frac{x}{u}$  vaqtidagi siljishiga teng bo'ladi, ya'ni

$$\xi = A \cos \omega \left( t - \frac{x}{u} \right) \quad (14.63)$$

Bu ifoda *yugurvuchi to'lqin tenglamasi* deb ataladi. U to'lqin tarqalayotgan muhit ixtiyoriy zarrasining muvozanat vaziyatdan siljishi ( $\xi$ )ni vaqt ( $t$ ) va zarraning tebranish manbaidan uzoqligi ( $x$ )ning funksiyasi sifatida aniqlanadi. (14.63) tenglamaga  $t$  va  $x$  ga nisbatan simmetrik ko'rinish berish uchun *to'lqin soni* deb ataluvchi  $k$  - kattalikni kiritamiz:

$$k = \frac{2\pi}{\lambda} \quad (14.64)$$

(14.62) va (14.64) dan to'lqin soni  $k$ , aylanish chastotasi  $\omega$  va to'lqinning faza tezligi u orasida quyidagicha munosabat bor degan xulosa chiqadi:

$$u = \frac{\omega}{k} \quad (14.65)$$

(14.63)dagi u ning (14.65) qiymat bilan almashtirib va ichiga  $\omega$  ni kiritib, *yassi to'lqin* uchun quyidagi ko'rinishdagi tenglamani topamiz:

$$\xi = A \cos (\omega t - kx) \quad (14.66)$$

Bu  $x$  – ning kamayishi tomoniga qarab tarqaluvchi to'lqin tenglamasidir.  $r$  –

radiusli sferik to'lqin tenglamasini (14.66) ga o'xshatib quyidagi ko'rinishda yozishimiz mumkin:

$$\xi = \frac{A}{2} \cos \omega \left( t - \frac{r}{u} \right) \quad (14.67)$$

yoki

$$\xi = \frac{A}{2} \cos(\omega t - kr)$$

bundan  $r$  – radiusli to'lqin sirtida yotuvchi zarralar  $\omega \left( t - \frac{r}{u} \right)$  faza, bilan tebranadi, degan xulosaga kelamiz.

#### 14.9. Fazaviy va gruppaviy tezliklar

Yassi to'lqin fronti tekislikdan iborat bo'lib, bu tekislikning barcha nuqtalari bir xil fazada tebranadi. Shuning uchun bu yassi to'lqin fronti *bir xil fazalar tekisligi* deyish mumkin. U holda (14.63) to'lqin tenglamasida

$$\omega \left( t - \frac{x}{u} \right) = \text{const}$$

bo'lishi kerak. Bundagi  $\omega$  o'zi doimiy kattalik bo'lgani uchun

$$t - \frac{x}{u} = \text{const} \quad (14.68)$$

ko'rinishida yozish mumkin. Bu (14.68) tenglik vaqt  $t$  bilan bir xil fazalar tekisligining koordinatasini  $x$  orasidagi bog'lanishni ifodalaydi. Zarralaming ox o'qi bo'ylab harakat tezligini topish uchun (14.68) dan differentialsolamiz

$$\frac{dt}{u} - \frac{1}{u} dx = 0$$

bundan

$$u = \frac{dx}{dt} \quad (14.69)$$

Bu ifodani fazoviy tezlik deb yuritiladi. To'lqinlarning fazoviy tezliklari faqatgina muhitning xossalaliga bog'liq bo'lib, to'lqinning parametrlari (chastotasi, davriga, shuningdek, to'lqin uzunligi) ga bog'liq emas. Masalan, berilgan muhitda turli chastotali to'lqinlar bir xil fazoviy tezlikda tarqalishi mumkin. Lekin ba'zi sirt bo'ylab yo'nalgan to'lqinlar borki, bularning fazaviy tezliklari chastotalariga bog'liq bo'ladi. *To'lqinlar fazaviy tezligining chastotaga bog'liqligini ifodolovchi hodisaga to'lqinlar dispersiyasi* deb ataladi.

Chastotalari turlicha bo'lgan bir necha to'lqinlar yig'indisini *to'lqinlar guruhi* yoki *to'lqin «paketi»* deb ataladi. «Paket»ning tezligi uning tarkibiga kirgan to'lqinlarning birortasini ham tezligiga mos kelmaydi. Bunday hollarda *guruhi tezlik* tushunchasidan foydalanamiz.  $\lambda$  dan  $\lambda + d\lambda$  to'lqin uzunliklar sohasida «paket»ning guruhi tezligi quyidagicha ifodalananadi:

$$u_r = u - \lambda \frac{du}{d\lambda} \quad (14.70)$$

Bu munosabat tezlikning to'lqin uzunlikka bog'liqligini ifodalashi  $\left( \frac{du}{d\lambda} \right)$

bilan fazaviy tezlikdan farqlanadi.

«Paket» tarkibiga kirgan barcha to'lqinlar bir xil tezlik bilan tarqalganda, ya'ni

$\left( \frac{du}{d\lambda} \right) = 0$  bo'lган holda dispersiya hodisasi kuzatilmaydi. Bu vaqtida guruhiy va fazaviy tezliklar o'zaro ( $u_g = u$ ) teng bo'lib, aynan bir xil qiyomatga ega bo'ladi.

#### 14.10. To'lqinlar interferensiyasi. Turg'un to'lqinlar

Agar muhitda bir vaqtini o'zida bir nechta to'lqin tarqalayo'tgan bo'lsa, ular bir-birlari bilan uchrashgandan so'ng ham xuddi o'zidan boshqa to'lqin mavjud bo'lmasagandek, mustaqil o'z tarqalishini davom ettiraveradi. Bu hodisa to'lqinlar *superpozitsiya prinsipi* deyiladi.

Chastotalari bir xil va fazalar farqi o'zgarmas bo'lган to'lqinlarni *kogerent* to'lqinlar, manbalarni esa *kogerent manbalar* deyiladi. Kogerent to'lqinlarning qo'shilishida, ularning bir-birini kuchaytirishi yoki zaiflashtirish hodisasi, to'lqinlar *interferensiyasi* deyiladi.

Tebranish fazalarini mos ravishda ( $\alpha + \phi_1$ ) va ( $\alpha + \phi_2$ ) larga teng bo'lган ikkita nuqtaviy manbalardan tarqalayotgan to'lqinni tekshiraylik.

$$\xi = \frac{A_1}{r_1} \cos(\omega t + \phi_1 - kr_1)$$

$$\xi = \frac{A_2}{r_2} \cos(\omega t + \phi_1 - kr_2) \quad (14.71)$$

bu yerda,  $A_1$  va  $A_2$  to'lqinlarning tekshirayotgan nuqtadagi amplitudalari,  $\kappa$  – to'lqin soni,  $r_1$  va  $r_2$  to'lqin manbalaridan berilgan nuqttagacha bo'lган masofa.

Quyidagi shart bajarilganda to'lqinlar bir-birini kuchaytiradi.

$$k(r_1 - r_2) - (\alpha_1 - \alpha_2) = \pm 2\pi n \quad (n = 0, 1, 2, \dots) \quad (14.72)$$

Quyidagi shart qanoatlantirilganda esa

$$k(r_1 - r_2) - (\alpha_1 - \alpha_2) = \pm 2\pi \left( n + \frac{1}{2} \right) \quad (n = 0, 1, 2, \dots) \quad (14.73)$$

to'lqinlar bir-birini zaiflashtiradi.

Demak, agar to'lqinlarning yo'l farqi yarim to'lqin uzunliklarining juft sonidan iborat bo'lsa, berilgan nuqtada maksimum, agar yo'l farqi yarim to'lqin uzunliklarining toq sonidan iborat bo'lsa, berilgan nuqtada minimum kuzatiladi.

To'lqinlar interferensiyasining boshqa muhim holi bir to'g'ri chiziq bo'ylab qarama-qarshi tomonga yo'nalgan ikki kogerent to'lqinni qo'shishdan iboratdir. Chastotalari va amplitudulari bir xil bo'lган ikki yassi to'lqin bir-biriga qarab harakatlanganda uchrashhib, natijada turg'un to'lqin vujudga keladi.

Bu to'lqinlarning tenglamalarini yozaylik:

$$\xi_1 = A \cos \omega \left( t - \frac{x}{u} \right); \quad \xi_2 = A \cos \omega \left( t + \frac{x}{u} \right) \quad (14.74)$$

Bu tenglamalarni qo'shamiz va kosinuslar teoremasi asosida o'zgartirishlar kiritamiz:

$\xi = \xi_1 + \xi_2 = A \left[ \cos \omega \left( t - \frac{x}{u} \right) + \cos \omega \left( t + \frac{x}{u} \right) \right] = 2A \cos \omega \frac{x}{u} \cos \omega t$ ; bu yerdagi  $\omega = \frac{2\pi}{T}$  va  $uT = \lambda$  ekanligini eslasak, yuqoridagi ifodani

$$\xi = 2A \cos 2\pi \frac{x}{\lambda} \cos \omega t \quad (14.75)$$

ko'rinishda yozamiz. (14.75) ifoda *turg'un to'lqin* tenglamasidir. Undan ko'riniib turibdiki, turg'un to'lqin chastotasi, uchrashayotgan to'lqinlarning chastotasiga teng bo'lib, amplitudasini vaqtga bog'liq bulmasdan x koordinataga bog'liq:

$$A_t = 2A \cos 2\pi \frac{x}{\lambda} \quad (14.76)$$

$$2\pi \frac{x}{\lambda} = \pm n\pi \quad (n = 0, 1, 2, \dots)$$

shartni qanoatlantiruvchi nuqtalarda turg'un to'lqin amplitudasining maksimal qiymati  $2A$  ga teng bo'ladi. Bu nuqtalar turg'un to'lqinning *do'ngliklari* deb ataladi. (14.12 -rasm) 14.76) ga asosan do'ngliklarning koordinatalari uchun

$$x = \pm n \frac{\lambda}{2} \quad (n = 0, 1, 2, \dots) \quad (14.77)$$

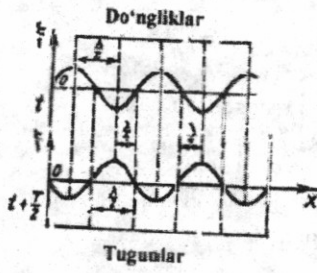
ifodani hosil qilamiz.

$$2\pi \frac{x}{\lambda} = \pm \left( n + \frac{1}{2} \right) \pi \quad (n = 0, 1, 2, \dots)$$

shartni qanoatlantiruvchi nuqtalarda esa turg'un to'lqin amplitudasini nolga teng bo'ladi. Bu nuqtalar *turg'un to'lqinining tugunlari* deb ataladi (14.12 - rasm). Bundan tugunlarning koordinatalari

$$x = \pm (2n+1) \frac{\lambda}{2} \quad (n = 0, 1, 2, \dots) \quad (14.78)$$

ifoda bilan aniqlanishini topamiz. 14.12 - rasmdan ko'rindik, do'ngliklar va tuguniar bir-biridan to'lqinning chorak uzunligiga teng masofada joylashadi.



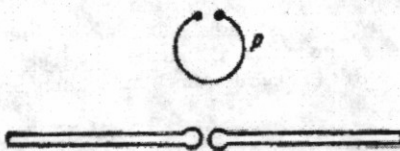
14.12-rasm.

### 14.11. Elektromaglit to'lqinlar. Umov vektori

14.2 da tebranish konturida elektromagnit to'lqinlar hosil qilish va unda elektr hamda magnit maydon energiyalarining bir-biriga aylanishlarini o'rganib chiqdik. Bu hodisa kontur atrofidagi fazoda energiyaning juda oz qismi elektromagnit to'lqin

sifatida tarqalishi mumkinligini ko'rsatadi. Tebranish konturining davri qanchalik kichik bo'sha, kontur energiyasining shunchalik ko'proq qismi elektromagnit to'lqin sifatida tarqaladi. Tomson formulasiga ( $T = 2\pi y/Zc$ ) asosan tebranish davrini kichraytirish uchun tebranish konturidagi induktivlik va sig'im qiyamatlarini kamaytirish lozim yoki tebranish chastotasini orttirish kerak. Elektromagnit to'lqinlarni tarqatish uchun Gers ochiq konturidan, ya'ni *Gers vibratoridan* foydalanish maqsadga muvofiqdir.

Vibratorning ikkala qismi dastlab o'zgaruvchan tok manbaidan yuqoriroq potensiallar farqi vujudga kelguncha zaryadlanadi. Potensiallar farqi yetarlicha yuqori bo'lganda vibratorning ikkala qismi oralig'ida uchqun yuz berib zanjirning ikkala qismini ulaydi. Keyin vibrator yangitdan zaryadlanadi va jarayon takrorlanaveradi.



14.13-rasm.

Elektromagnit to'lqinlarini qayd qilish uchun *rezonator* (r)dan foydalanish mumkin (14.13-rasm). Elektromagnit to'lqinning differensial tenglamasi quyidagicha yoziladi:

$$\frac{\partial^2 E}{\partial x^2} + \frac{\partial^2 E}{\partial y^2} + \frac{\partial^2 E}{\partial z^2} = \frac{1}{u^2} \frac{\partial^2 E}{\partial t^2} \quad (14.79)$$

$$\frac{\partial^2 H}{\partial x^2} + \frac{\partial^2 H}{\partial y^2} + \frac{\partial^2 H}{\partial z^2} = \frac{1}{u^2} \frac{\partial^2 H}{\partial t^2} \quad (14.80)$$

bundagi  $u$  — elektromagnit to'lqinning fazaviy tezligi bo'lib, uning qiymati quyidagi munosabat bilan aniqlanadi :

$$u = \frac{1}{\sqrt{\mu_0 \epsilon_0} \sqrt{\mu \epsilon}} , \quad (14.81)$$

bunda,  $\mu$  - muhitning magnit singdiruvchanligi va  $\epsilon$  - dielektrik singdiruvchanligi birga teng. Shuning uchun vakuumda elektromagnit to'lqinlarining tarqalish tezligi

$$c = \frac{1}{\sqrt{\mu_0 \epsilon_0}} \quad (14.82)$$

munosabat bilan topiladi. Bu ifodani e'tiborga olib (14.81)ni quyidagicha yozamiz.

$$u = \frac{c}{\sqrt{\mu \epsilon}} \quad (14.83)$$

Maksvell nazariyasiga asosan elektromagnit to'lqinlar ko'ndalang to'lqinlardir. A va N vektorlar o'zaro perpendikular bo'lib, ular to'lqinning tarqalish tezligi u ga perpendikular tekislikda yotadi (14.14-rasm). Elektromagnit to'lqinda A va N

vektorlarining tebranishlari doimo bir xil fazada sodir bo'ladi. o x yo'nali shida tarqalayotgan  $\omega$  chastotali elektromagnit to'lqin tenglamasi quyidagicha yoziladi:

$$E = E_m \cos(\omega t - kx + \varphi_0) \quad (14.84)$$

$$H = H_m \cos(\omega t - kx + \varphi_0) \quad (14.85)$$

bundagi  $E_m$  va  $H_m$  – mos ravishda E va N vektorlarning amplituda qiyatlari,  $k = \frac{\omega}{u} = \frac{2\pi}{\lambda}$  to'lqin sni,  $\varphi_0$  – koordinatasi  $x=0$  bo'lgan nuqtadagi tebranishlarning boshlang'ich fazasi.

Elektromagnit maydon energiyasi, elektr va magnit maydon energiyalarining zichligi yig' indisidan iborat:

$$W = W_e + W_m = \frac{\epsilon_0 \epsilon E^2}{2} + \frac{\mu_0 \mu H^2}{2} \quad (14.86)$$

bir momentda elektr va magnit maydon energiyalarining zichliklari biday bo' ladi. ya'ni :

$$W_e = W_m$$

buni e'tiborga olib (14.86) ni quyidagi ko'rinishda yozamiz:

$$W = 2W_e = 2W_m = \epsilon_0 \epsilon E^2 = \mu_0 \mu H^2 \quad (14.87)$$

Bundan

$$\sqrt{\epsilon_0 \epsilon} E = \sqrt{\mu_0 \mu} H$$

ekanligi kelib chiqadi yoki buni (14.87) ga qo'ysak,

$$W = \sqrt{\epsilon_0 \mu_0 \epsilon \mu} EH \quad (14.88)$$

natijani olamiz.

Energiya oqimining zichligini S bilan belgilasak.

$$S = Wu = EH$$

$$S = [EH] \quad (14.89)$$

S vektorni *Umov - Poyting vektori* deb ataladi.

### Savollar

1. Garmonik tebranishlar deb nimaga aytildi va uni tavsiflovchi kattaliklarni ifodalang.
2. Tebranayotgan jismga ta'sir etuvchi kuchni Guk qonuni orqali izohlang.
3. Elektr tebranishlarning generatori va yuksak chastotali elektromagnit to'lqinlar manbai sifatida foydalanish mumkin boigan tebranish konturini tuzilishi va ishlash prinsipini ko'rsating.
4. Tebranish konturida hosil bo'lgan elektir tebranishlarning tebranish davri T ning Tomson formulasi orqali ifodalang.
5. Mayatniklarning turlarini va ularning tebranish qonunyatlarini aniqlang.

6. Bir xil yo'nalishdagi va o'zaro perpendikular tebranishlarni qo'shishda qanday natijalarga erishiladi.
7. Garmonik tebranishlar energiyasi tenglamasini keltirib chiqaring va ifodalovchi kattaliklarni ta'riflang.
8. So'nuvchi tebranishlarning amplitudasini vaqt o'tishi bilan monoton ravishda kamayib borishini tushuntiring.
9. Majburiy tebranishlar va rezonans hodisasini vujudga kelish sabablarini izohlab bering.
10. Yugiruvchi to'lqin va sferik to'lqin tenglamalarni yozing va ulardagi xarakterlovchi kattaliklarni ajratib ko'rsating.
11. To'lqin interferensiyasining hosil bo'lish shartlarini ifodalang.
12. Turg'un to'lqin tenglamasini yozing va turg'un to'lqin qanday hosil qilinishini ko'rsating.
13. Elektromagnit to'lqinlarini hosil qilishda va tarqatishda Gers vibratoridan qanday foydalaniqgan?
14. Elektromagnit to'lqinin differensial tenglamasini yozing.

### Masalalar

**50-masala.** Tebranish konturi har bir plastinkasinining yuzi  $S=100\text{sm}^2$  bo'lgan havo kondensatori va induktivligi  $L = 10^{-5}\text{Gn}$  bo'lgan g'altakdan iborat konturdagi elektr tebranishlar davri  $T=10^{-7}\text{s}$ . Kondensator plastinkalari orasidagi masofani aniqlang.

**Berilgan:**  $S=100\text{sm}^2 = 100 \cdot 10^{-4} \text{m}^2$

$$\underline{L = 10^{-5}\text{Gn}, \quad T = 10^{-7}\text{s}}$$

d~?

**Yechish.** Tomson formulasi (14-8) ga muvofiq

$$C = \frac{T^2}{4\pi^2 L}$$

Ikkinchisi tomondan yassi kondensatorning  $C = \frac{\epsilon_0 \epsilon S}{d}$  sig'imi bu yerda  $\epsilon_0 = 8,85 \cdot 10^{-12} \Phi/\text{m}$  elektr doimiysi,  $\epsilon = 1$  havoning nisbiy dielektrik singdiruvchanligi S ning ifodasi bo'lgan ikki tenglikning o'ng qismlarini o'zaro tenglab, quydagini hosil qilamiz:

$$d = \frac{4\pi^2 \epsilon_0 \epsilon LS}{T^2} = \frac{4 \cdot 3,14^2 \cdot 8,85 \cdot 10^{-12} \cdot 10^{-5} \cdot 10^{-2}}{10^{-14}} = 3,5 \cdot 10^{-3} \text{m} = 3,5 \text{mm}.$$

**51-masala.** Moddiy nuqtaning tebranishi  $x=0,25\sin\left(\pi t + \frac{\pi}{2}\right)m$  qonun

bo'yicha bajariladi. Tebranish amplitudasi A, davri T, siklik chastotasi  $\omega$  boshlang'ich fazasi  $\phi_0$  maksimal tezligi  $v_{\max}$  va maksimal tezlanishi  $v_{\max}$  topilsin.

$$x = 0,25 \sin\left(\pi t + \frac{\pi}{2}\right) m$$

**Berilgan:**  $A \sim ?$   $T \sim ?$   $\omega \sim ?$   $\varphi_0 \sim ?$   $v_{max} \sim ?$   $a_{max} \sim ?$

**Yechish.** Topilishi kerak bo'lgan kattaliklarni aniqlash uchun tebranishning tenglamasini garmonik tebranishning umumiy ko'rinishidagi tenglamasi bilan solishtiramiz:

$$x = A \sin\left(\frac{2\pi}{T}t + \varphi_0\right) m$$

Bu ikki tenglama taqqoslanishidan quyidagi kelib chiqadi: tebranishning amplitudasi  $A=0,25m$ ; davri  $\frac{2\pi}{T}t = \pi$  bundan  $T=2s$ ; siklik chastotasi

$$\omega = \frac{2\pi}{T} = \frac{2\pi}{2} = 3,14 rad/s; \text{ boshlang'ich fazasi } \varphi_0 = \frac{\pi}{2}$$

Tebranishning tezligi  $v$  va tezlanishi  $a$  mos ravishda siljish funksiyasining birinchi va ikkinchi tartibli hosilasidan iborat bo'lgani uchun:

$$v = \frac{dx}{dt} = 0,25\pi \cos\left(\pi t + \frac{\pi}{2}\right) \text{ bo'lib,} \quad v_{max} = 0,25\pi m/s = 0,785 m/s.$$

$$\text{Shunday qilib, } v_{max} = 0,785 m/s \quad a = \frac{d^2x}{dt^2} = \frac{dv}{dt} = -0,25\pi^2 \sin\left(\pi t + \frac{\pi}{2}\right) \text{ bo'lib,}$$

$$a = -0,25\pi^2 m/s^2, a = -0,25 \cdot 3,14^2 m/s^2 = -2,46 m/s^2. \text{ Shunday qilib, } a = -2,46 m/s^2.$$

**52-masala.** Tebranish konturi  $C=48\text{mF}$  sig'imi kondensator va  $L=1,2\text{mGn}$  induktivlikli g'altakdan tuzilgan bo'lsa, konturning xususiy tebranish chastotasi  $v_x$  topilsin.

**Berilgan:**  $C=48\text{mF}=48 \cdot 10^{-6} \Phi$ ,  
 $L=1,2\text{mGn}=12 \cdot 10^{-4} \text{Gn}$

$$v_x \sim ?$$

**Yechish.** Konturning tebranish chastotasi  $v = \frac{1}{T}$ , bunda  $T$  – konturning xususiy tebranish davri, Tompson formulasidan aniqlanadi, chunki konturning xususiy tebranishida g' altakning qarshiligi hisobga olinmaydi. Shuning uchun:

$$T = 2\pi \sqrt{LC}$$

bunda,  $L$  – g'altakning induktivligi,  $C$  – kondensatorning sig'imi.

Davr  $T$  ning ifodasi yuqoridaagi formulaga qo'yilsa, quyidagi ishchi formula kelib chiqadi:

$$V_x = \frac{1}{2\pi\sqrt{LC}}$$

Kattaliklarning son qiymatlarini o'mniga qo'yib, hisoblashni bajaramiz:

$$V_x = \frac{1}{2\pi\sqrt{LC}} = \frac{1}{2 \cdot 3,14 \sqrt{12 \cdot 10^{-4} \cdot 481 \cdot 10^{-6}}} = \frac{1}{6,28 \cdot 24 \cdot 10^{-5} s} = 663 Gs$$

**53-masala.**  $m=5$  g massali moddiy nuqta  $v=0,5 Gts$  chastota bilan garmonik tebranadi. Tebranish amplitudasi  $A=3 sm$ . 1) nuqtaning siljishi  $x=1,5$  sm bo'lgan vaqtagi tezligi  $v$ ; 2) nuqtaga ta'sir etuvchi maksimal kuch  $F_{kuch}$ ; 3) tebranayotgan nuqtaning to'liq energiyasi W aniqlansin.

**Berilgan:**  $v=0,5 Gts$ ,  $m=5$  g =  $5 \cdot 10^{-3} kg$ ,  $A=3 sm$ ,  $3 \cdot 10^{-2} m$   
 $x=1,5 sm = 1,5 \cdot 10^{-2} m$

**Yechish.** 1)garmonik tebranish tenglamasi quyidagi ko'rinishga ega

$$x = A \cos(\omega t + \varphi) \quad (1)$$

Tezlik formulasini esa siljishidan vaqt bo'yicha birinchi tartibli hosila olib topamiz:

$$v = \frac{dx}{dt} = -A\omega \sin(\omega t + \varphi) \quad (2)$$

Tezlikni siljish orqali ifodalash uchun (1) va (2) tenglamalardan vaqtini yo'qotish kerak. Buning uchun har ikkala tenglamani kvadratga ko'tarib, birinchisini A ga, ikkinchisini  $A^2 \omega^2$  ga bo'lamiz va ularni qo'shamiz:

$$\frac{x^2}{A^2} + \frac{v^2}{A^2 \omega^2} = 1 \quad yoki \quad \frac{x^2}{A^2} + \frac{v^2}{4\pi^2 v^2 A^2} = 1$$

Oxirgi tenglamani  $v$  ga nisbatan yechib, quyidagini topamiz:

$$v = \pm 2\pi v \sqrt{A^2 - x^2}$$

Shu formula bo'yicha hisoblashni bajarsak

$$v = \pm 8,2 sm/s$$

2) nuqtaga ta'sir etuvchi kuchni Nyutonning ikkinchi qonuniga binoan topamiz:

$$F = ma \quad (3)$$

Bunda  $\ddot{x}$  — nuqtaning tezligidan vaqt bo'yicha hosila olib topiladigan tezlanishi

$$a = \frac{dv}{dt} = -A\omega \cos(\omega t + \varphi) \quad yoki \quad a = -4\pi^2 v^2 A \cos(\omega t + \varphi)$$

tezlanishning ifodasini (3) formulaga qo'ysak:

$$F = -4\pi^2 v^2 m A \cos(\omega t + \varphi)$$

Bundan kuchni maksimal qiymati .

$$F_{max} = 4\pi^2 v^2 m A$$

Bu tenglamaga  $\pi$ ,  $v$ ,  $m$  va  $\omega$  kattaliklarning qiymatlarini qo'ysak,

$$F_{max} = 1,49 m N$$

3) tebranayotgan nuqtaning to'liq energiyasi istalgan vaqt oraliq'i uchun kinetik va potensial energiyalarning yig'indisiga tengdir.

To'liq energiyani hisoblashning eng soda yo'li uni kinetik energiya potensial energiya maksimal qiymatga erishganda hisoblashdir. Bu vaqtida potensial energiya nolga teng bo'ladi (yoki kinetik energiya). Shuning uchun ham tebranayotgan nuqtaning to'liq energiyasi  $W$  maksimal kinetik energiya  $W_{k\max}$  ga teng bo'ladi:

$$W = W_{k\max} = \frac{1}{2}mv^2 \max \quad (4)$$

Maksimal tezlik (2) formulaga asosan  $\sin(\omega t + \varphi) = -1$  qo'yib

$$V_{\max} = 2\pi v A$$

Tezlikning ifodasini (4) formulaga qo'ysak

$$W = 2\pi^2 mv^2 A^2$$

Kattaliklarning qiymatlarini bu formulaga qo'yib hisoblaymiz:

$$W = 2 \cdot (3,14)^2 \cdot 5 \cdot 10^{-3} \cdot (0,5)^2 \cdot (3 \cdot 10^{-2})^2 J = 22,1 \cdot 10^{-6} J = 22,1 mkJ$$

**54-masala.**  $x_1 = A_1 \cos \omega(t + \tau_1); x_2 = A_2 \cos \omega(t + \tau_2)$  tenglamalar bilan ifodalanadigan, bir xil yo'naliqli ikkita tebranish qo'shiladi. Bunda  $A_1 = 1$  sm,

$$A_2 = 2 \text{sm}, \tau_1 = \frac{1}{6} s, \tau_2 = \frac{1}{2} s, \omega = \pi s^{-1}$$

1) qo'shiluvchi tebranishlarning boshlang'ich fazalari  $\varphi_1$  va  $\varphi_2$  lar aniqlansin;

2) natijaviy tebranishning amplitudasi  $A$  va boshlang'ich fazasi  $\varphi$  topilsin.

Natijaviy tebranishning tenglamasi yozilsin.

**Berilgan:**  $A_1 = 1 \text{ sm} = 1 \cdot 10^{-2} \text{ m}, A_2 = 2 \text{ sm} = 2 \cdot 10^{-2} \text{ m},$

$$\tau_1 = \frac{1}{6} s, \tau_2 = \frac{1}{2} s, \omega = \pi s^{-1}$$


---

$$\varphi_1 \sim ?, \varphi_2 \sim ?, \varphi \sim ? A \sim ?$$

**Yechish.** 1. Garmonik tebranishning tenglamasi

$$x = A \cos(\omega t + \varphi) \quad (1)$$

ko'rinishga ega. Masala shartida berilgan tenglamalarni (1) ko'rinishga keltiramiz

$$x_1 = A_1 \cos \omega(t + \tau_1); x_2 = A_2 \cos \omega(t + \tau_2) \quad (2)$$

(2) ifodadan (1) tenglik bilan solishtirishdan birinchi va ikkinchi tebranishlarning boshlang'ich fazalarini topamiz:

$$\varphi_1 = \omega \tau_1 = \frac{\pi}{6} \text{ rad} \quad \text{va} \quad \varphi_2 = \omega \tau_2 = \frac{\pi}{2} \text{ rad}$$

2) natijaviy tebranishning amplitudasi  $A$  ni aniqlash uchun kosinuslar teoremasidan foydalanamiz (14.4)

$$A = \sqrt{A_1^2 + A_2^2 + 2A_1 A_2 \cos \Delta \varphi} \quad (3)$$

bu yerda,  $\Delta\varphi$  – qo'shiluvchi tebranishlarning fazalar farqi  $\Delta\varphi = \varphi_2 - \varphi_1$  bo'lganligidan,  $\varphi_2$  va  $\varphi_1$  larning topilgan qiymatlarini o'rniغا qo'ysak,

$$\Delta\varphi = \frac{\pi}{3} \text{ rad}$$

$A_1, A_2$  va  $\varphi_1, \varphi_2$  larning qiymatlarini (3) formulaga qo'yib hisoblasak,

$$A=2,65 \text{ sm}$$

Natijaviy tebranishning boshlang'ich fazasi tangensini (14.4) dagi 14.7 rasmdan aniqlaymiz

$$\operatorname{tg} \varphi = \frac{A_1 \sin \varphi_1 + A_2 \sin \varphi_2}{A_1 \cos \varphi_1 + A_2 \cos \varphi_2} \text{ bundan boshlang'ich faza}$$

$$\varphi = \operatorname{arctg} \frac{A_1 \sin \varphi_1 + A_2 \sin \varphi_2}{A_1 \cos \varphi_1 + A_2 \cos \varphi_2}$$

$A_1, A_2$ ,  $\varphi_1$  va  $\varphi_2$  larning qiymatlarini qo'yamiz va hisoblaymiz:

$$\varphi = \operatorname{arctg} \left( \frac{5}{\sqrt{3}} \right) = 70,9 = 0,394\pi \text{ rad.}$$

**55-masala.** Moddiy nuqta bir paytning o'zida tenglamalari

$$x = A_1 \cos \omega t \quad (1)$$

$$y = A_2 \cos \frac{\omega}{2} t \quad (2)$$

ko'rinishda bo'lgan ikkita o'zarlo tik garmonik tebranishda ishtirok etadi. Bunda  $A_1=1\text{sm}$ ,  $A_2=2\text{sm}$ ,  $\omega=\pi\text{s}^{-1}$ . Nuqta trayektoriyasining tenglamasi topilsin.

**Berilgan:**  $A_1 = 1\text{sm} = 1 \cdot 10^{-2} \text{ m}$ ,  $A_2 = 2\text{sm} = 2 \cdot 10^{-2} \text{ m}$ ,  $\omega = \pi\text{s}^{-1}$   
Trayektoriya tenglamasi ~?

**Yechish.** Nuqta trayektoriyasining tenglamasini topish uchun, berilgan (1) va (2) tenglamalaridan  $t$  vaqtini yo'qotamiz. Bu maqsadda  $\cos\left(\frac{\alpha}{2}\right) = \sqrt{\frac{1}{2}(1 + \cos \alpha)}$  formulasidan foydalanamiz. U holda  $\alpha = \omega t$ , shuning uchun

$$y = A_2 \cos \frac{\omega}{2} t = A_2 \sqrt{\frac{1}{2}(1 + \cos \omega t)}$$

(1) formulaga binoan  $\cos \omega t = \frac{x}{A_1}$  ekanligidan, trayektori tenglamasi

$$y = A_2 \sqrt{\frac{1}{2}(1 + \frac{x}{A_1})} \quad (3)$$

hosil bo'lgan ifoda o'qi OX o'qi bilan mos keluvchi parabola tenglamasidir.

## 5. OPTIKA. YORUG'LIKNING TO'LQIN VA KVANT TABIATI

### XV bob. YORUG'LIKNING TO'LQIN TABIATI

#### 15.1. Yorug'likning interferensiysi

##### Yorug'likning tabiatи.

XVII asning oxirida yorug'likning tabiatи haqida ikkita o'zaro qarama-qarshi nazariya maydonga keldi: bulardan birinchisi, Nyuton yaratgan **korpuskular nazariya** va ikkinchisi, Gyuygensning to'lqin nazariyasidir. Yorug'likning korpuskular nazariyasiga binoan, yorug'lik juda katta tezlik bilan tarqaluvchi juda kichik moddiy zarrachalar (korpuskulalar) oqimidan iboratdir. Yorug'likning **rang ta'siri korpuskulalarning o'chami** bilan tushuntirilgan: eng yirik korpuskulalar qizil rangli nurni, eng maydalari esa binafsha rangli nurni hosil qildi.

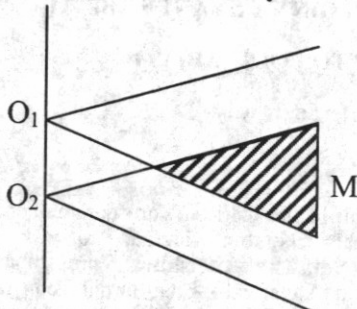
Yorug'likning to'lqin nazariyasiga muvofiq yorug'lik elastik muhitdan iborat bo'lgan fazoda katta tezlik bilan tarqaluvchi **to'lqindan** iborat. Bu nazariyaga muvofiq yorug'likning qaytish va sinish qonunlari barcha to'lqinlar uchun o'rinali bo'lgan qonunlar asosida tushuntiriladi. Yorug'likning **rangi** uning **to'lqin uzunligiga** bog'liq. Qizil rangli nurning to'lqin uzunligi ( $\lambda_q=76 \cdot 10^{-7}$  m) eng katta bo'lib, binafsha nurniki esa ( $\lambda_b=38 \cdot 10^{-7}$  m) eng kichik. Har ikkala nazariyaga ham ba'zi yorug'lik hodisalariga oid qonuniyatlarini, masalan, yorug'likning qaytish va sinish qonunlarini qoniqarli tushuntirib berdi. Biroq yorug'likning interferensiysi, difraksiysi va qutblanishi singari hodisalarini bu nazariyalar tushuntira olmadi.

XVIII asning oxirigacha ko'pchilik fiziklar Nyutonning korpuskular nazariyasini afzal ko'rib keldilar. XIX asning boshlarida ingliz fizigi Yung va Freneling tadqiqotlari tufayli to'lqin nazariya ancha rivojlandi. Gyuygens – Yung - Frenel to'lqin nazariyasini o'sha vaqtida ma'lum bo'lgan barcha yorug'lik hodisalarini, shu jumladan, yorug'likning interferensiysi, difraksiysi va qutblanishini ham muvaffaqiyatli tushuntirib berdi. 1873-yilda ingliz olimi Maksvell yorug'lik bo'shlidiqda  $s=3 \cdot 10^8$  m/s tezlik bilan tarqaluvchi elektromagnit to'lqindan iborat ekanligini nazariy asoslab berdi. Shunday qilib, yorug'likning elektromagnit to'lqin nazariyasi yaratildi. Bu nazariya G.Gers tajribalarida tasdiqlandi. Yorug'likning tabiatи haqidagi **to'lqin nazariya** rivojlanib, **yorug'likning elektromagnit nazariyasiga** aylandi.

Biroq XIX asning oxiriga kelib, to'lqin nazariya bilan tushuntirib bo'lmaydigan tadqiqotlar – fotoeffekt, Kompton effekti, absolut qora jismrlarning issiqlik nurlanishi va boshqa hodisalar paydo bo'ldi. Ularni 1905-yilda Eynshteyn tomonidan yaratilgan **yorug'likning kvant nazariyasi** tushuntirib berdi. Shunday qilib, yorug'likning tabiatи haqida yangi nazariya – **kvant nazariyasi** maydonga keldi. Kvant nazariyasi ma'lum ma'noda Nyuton korpuskular nazariyasini qayta tikkadi. Biroq fotonlar korpuskulardan farq qiladi: barcha fotonlar yorug'lik tezligiga teng tezlik bilan harakatlanadi va foton tinch holatda massaga ega emas. Keyinchalik kvant nazariyasi ham Bor, Shredinger, Dirak va boshqa olimlar tomonidan yanada rivojlantirildi.

Shunday qilib, (elektromagnit) to'lqin va korpuskular (kvant) nazariya bir-birini rad etmaydi, balki bir-birini to'ldiradi, bu bilan yorug'lik hodisalarining **ikki yoqlama holatini** aks ettiradi.

**Yorug'lik interferensiyasi.** Ikki yoki undan ortiq to'lqinlarning tebranish chastotasi bir xil va faza farqlari doimiy bo'lsa, bunday to'lqinlar **kogerent to'lqinlar** deb ataladi. Ikki yoki bir nechta kogerent yorug'lik to'lqinlari ustma-ust tushganda, fazoda yorug'lik oqimlarining qayta taqsimlanishi ro'y beradi va natijada intensivlikning bir joyda maksimumi, boshqa joyda minimumi kuzatiladi. *Yorug'likning interferensiya deb, o'zaro kogerent to'lqinlarning qo'shilishi natijasida yorug'lik to'lqinlarining fazoni turli nuqtalarida kuchayishi yoki susayishi hodisasiaga atiladi.*



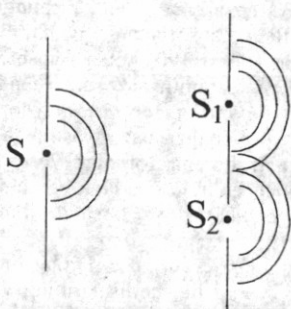
15.1-rasm.

uchun bitta manba nurlantirayotgan to'lqinni ikkiga bo'lish usuli ishlataladi. Bunda to'lqinlar turli optik yo'lni o'tganlaridan so'ng qo'shiladilar va interferension manzara kuzatiladi. Aytaylik,  $O_1$  va  $O_2$  nuqtalarda to'lqin ikkita kogerent to'lqining ajralyapti (15.1-rasm). Interferension manzara kuzatilayotgan  $M$  nuqtaga borguncha  $n_1$  sindirish ko'satkichli muhitda birinchi to'lqin  $I_1$  yo'l o'tadi, ikkinchi to'lqin  $n_2$  sindirish ko'satkichli muhitda  $I_2$  yo'l o'tadi. Agar  $O_1$  va  $O_2$  nuqtalarda tebranish fazasi  $\alpha$  bo'lsa,  $M$  nuqtada birinchi to'lqin  $A_1 \cos \omega \left( t - \frac{l_1}{v_1} \right)$ , ikkinchi to'lqin

$A_2 \cos \omega \left( t - \frac{l_2}{v_2} \right)$  ni vujudga keltiradi; bu yerda,  $v_1=s/n_1$ ,  $v_2=s/n_2$  birinchi va ikkinchi to'lqinlarning fazoviy tezliklari, ikki kogerent to'lqinlar uchun faza farqi:

$$\delta = \omega \left( \frac{l_2}{v_2} - \frac{l_1}{v_1} \right) = \frac{2\pi}{\lambda_0} (l_2 n_2 - l_1 n_1) = \frac{2\pi}{\lambda_0} (L_2 - L_1) = \frac{2\pi}{\lambda_0} \Delta$$

bu yerda,  $\lambda_0$  – vakuumdagi to'lqin uzunligi.



15.2- rasm.

*Yo'lning geometrik uzunligi  $l$  ning muhitining sindirish ko'satkichi  $n$  ga ko'paytmasi yo'lning optik uzunligi  $L$  deb ataladi.  $\Delta=L_2-L_1$  esa yo'lning optik uzunliklar farqi deyiladi.*

Agar yo'lning optik farqi vakuumdagi to'lqinning butun soniga:

$$\Delta = \pm m \lambda_0 \quad (m = 0, 1, 2, \dots) \quad (15.1)$$

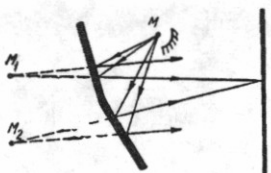
va  $\delta = \pm 2m\pi$  bo'lsa  $M$  nuqtada qo'zg'alayotgan tebranishlar bir xil fazoda bo'ladi. (15.1) ifoda interferensiya maksimumi arti deb ataladi.

Agar

$$\Delta = \pm(2m+1) \frac{\lambda_0}{2} \quad (m = 0, 1, 2, \dots) \quad (15.2)$$

bo'lsa,  $\delta = \pm(2m+1)\pi$  bo'ladi va  $M$  nuqtadagi to'lqin fazolari qarama-qarshi bo'ladi: (15.2) ifoda interferensiya minimum sharti deyiladi.

**Yorug'lilik interferensiyasini kuzatish usullari.** Yorug'lilik interferensiyasini kuzatish uchun kogerent yorug'lilik dastasi bo'lishi kerak. Lazerlar ( $10^{-3}$  s davomida kogerent bo'la oladi) ixtiro qilinishidan oldin yorug'lilik dastasi ikkiga bo'linar va so'ngra ular qo'shilib interferensiyon manzara hosil qilinad edi. Bundagi ba'zi usullarni ko'rib chiqaylik.

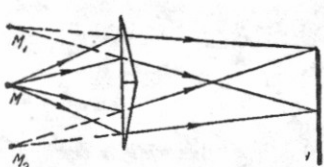


15.3 -rasm.

**Yung usuli.** Bunda ikkita kichik tirkishi bo'lgan ekran yordamida yorug'lilikni «ikkiga ajratish» mumkin (15.2-rasm).  $S_1$  yorug'lilik manbai ekranning tirkishlarida yorug'lilikning  $S_1$  va  $S_2$  ikkilamchi manbalarini hosil qildi. Asosiy  $S$  manba nurlanayotgan to'lqinlarning fazalari ham shunga mos holda xuddi shunday o'zgaradi, ya'ni  $S_1$  va  $S_2$  manbalar nurlanayotgan to'lqinlarda fazalar ayirmasi hamma vaqt o'zgarishsiz qoladi – bu manbalar kogerent bo'ladi.

**Frenel ko'zgulari.** Kogerent manbalar hosil qilishning ikkinchi usuli bir-biriga  $180^\circ$  ga yaqin  $\alpha$  burchak ostida o'rnatilgan ikkita yassi ko'zgudan yorug'lilikning qaytishiga asoslangan (15.3-rasm). Bu hodisada yorug'lilikning  $M$  asosiy manbaning  $M_1$  va  $M_2$  tasvirlari kogerent manbalarini bo'ladi.

**Frenel prizmasi.** U ikkita bir xil sindirish burchaklari kichkina bo'lgan va asoslari birlashtirilgan prizmalardan iborat (15.4-rasm).  $M$  manbadan tarqalgan nur prizmalarda sinib,  $M_1$  va  $M_2$  manbalaridan chiqayotgan kogerent nurlardek tarqaladi. Ekranda bu kogerent nurlar qo'shilib interferensiya hosil bo'ladi.



15.4-rasm.

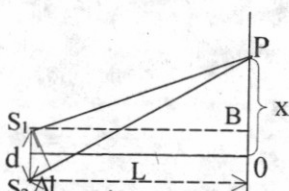
**Ikki manba beradigan interferension manzarani hisoblash.**  $S_1$  va  $S_2$  kogerent (15.5-rasm) manbalar hosil qilayotgan va  $R$  nuqtada qo'shilayotgan yorug'lilik to'lqinlarning interferensiyasini ko'raylik. Agar nurlar yo'lning ayirmasi  $\Delta l = S_1 P - S_2 P$  ga to'lqinlarning butun soni joylashtirilsa, ya'ni

$$\Delta l = n\lambda = 2n \frac{\lambda}{2} \quad (n = 1, 2, 3, \dots) \quad (15.3)$$

bo'lsa,  $R$  nuqtada yorug'lilikning maksimumi kuzatiladi, agar

$$\Delta l = (2n+1) \frac{\lambda}{2} \quad (15.4)$$

bo'lsa,  $R$  nuqtada yorug'lilikning minimumi hosil bo'ladi. Endi monoxromatik yorug'lilikning  $S_1$  va  $S_2$  kogerent manbalarining ekranda hosil qilgan interferensiya manzarasi qanday bo'lishi aniqlaylik. Bu manbalar orasidagi masofa  $d$ ,



15.5-rasm.

manbalardan ekrangacha bo'lgan masofa L bo'lsin, shu bilan birga  $d < L$  bo'lsin (15.5-rasm).

$S_1$  va  $S_2$  lardan barobar uzoqlikdagi  $\theta$  nuqtadan interferensiya maksimumlari kuzatiladigan nuqtalargacha bo'lgan X masofani aniqlaylik.

RS  $S_1$  va RBS $_1$  to'g'ri burchakli uchburchaklardan:

$$PS_1^2 = L^2 + \left( x + \frac{d}{2} \right)^2$$

$$PS_2^2 = L^2 + \left( x - \frac{d}{2} \right)^2$$

bundan  $PS_1^2 - PS_2^2 = 2xd$  yoki  $(PS_1 - PS_2)(PS_1 + PS_2) = 2xd$  biroq

$$PS_1 - PS_2 = \Delta I; \quad PS_1 + PS_2 = 2L$$

Demak,  $\Delta I \cdot 2L = 2xd$ , bundan

$$x = \frac{L \cdot \Delta I}{d} \quad (15.5)$$

kelib chiqadi. (15.3),(15.4) va (15.5) formulalarni nazarga olib, yorug'lik maksimumlari  $\theta$  nuqtada  $x = n\lambda \frac{L}{d}$  masofalarda hosil bo'lishini, minimumlari esa

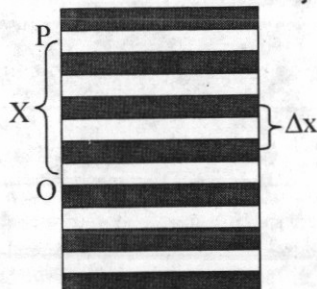
$x = (2n+1)\frac{\lambda L}{2d}$  masofada hosil bo'lishini aniqlaymiz. Bu maksimum va

minimumlar mos ravishda bir-biriga parallel yorug' va qorong'i yo'llar ko'rinishida bo'ladi.  $n=0$  ga tegishli bo'lgan markaziy maksimum  $\theta$  nuqtadan o'tadi. Qo'shi maksimumlar (yoki minimumlar) orasidagi masofa

$$\Delta x = \frac{\lambda L}{d} \quad (15.6)$$

ga teng bo'ladi.

Shunday qilib, yorug'lik ikki kogerent manbalari ekranda hosil qilgan interferensiya manzarasi yorug' va qorong'u yo'llarning navbatlashib joylanishidan iborat bo'ladi (15.6-rasm).



15.6-rasm.

(15.6) formulaga asosan yorug'lik to'lqinining uzunligi  $\lambda$  ni  $d$ ,  $L$  va  $\Delta x$  kattalikning o'lchangan qiymatlariga ko'ra tajribada aniqlash mumkin. Agar monoхromatik bo'lмаган, masalan, oq yorug'likdan foydalanganda interferensiya maksimumlari (15.6) formulaga muvofiq, har bir to'lqin uzunligi uchun bir-biriga nisbatan siljigan bo'ladi va hamma yorug'lik yo'llari kamalak rangiga ega bo'lib qoladi.

## 15.2. Yupqa qatlamlardagi yorug'lik interferensiysi

Yupqa shaffof plastinkaga 1,2 nurlar tushayotgan bo'lsin (15.7-rasm). E nuqtaga tushgan 1 nur qisman qaytadi va u 1' deb belgilanadi, qisman sinib ED yo'nalishda davom etadi. Singan nur plastinkaning ostki tekisligiga yetib borgach, qisman sinib plastinkadan havoga chiqadi. Boshqa qismi esa DS yo'nalishda plastinka ichiga qaytadi. Qaytgan bu nur plastinkaning ustki tekisligidan qisman qaytadi, qisman sinib havoga chiqadi (nurning bu qismi 1'' deb belgilangan). Lekin S nuqtaga yassi yorug'lik to'lqinining ikkinchi nuri ham tushadi. 2 nuring plastinka ustki tekisligidan qaytgan qismi (15.7-rasmida 2' deb belgilangan) va 1'' nur interferensiyalashadi, chunki plastinkaning ustki va ostki tekisliklaridan qaytgan bu nur o'zaro kogerentdir. Plastinkaning ustki va ostki tekisliklaridan qaytgan nurlarning interferensiyalashishi natijasida yorug'lik intensivligining maksimumi,

$$2d\sqrt{n^2 - \sin^2 i} + \frac{\lambda_0}{2} = 2k \frac{\lambda_0}{2} \quad (k = 0, 1, 2, \dots) \quad (15.7)$$

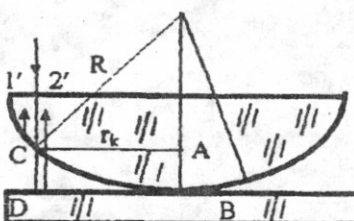
shart bajarilganda, minimum esa

$$2d\sqrt{n^2 - \sin^2 i} + \frac{\lambda_0}{2} = (2k+1) \frac{\lambda_0}{2} \quad (k = 0, 1, 2, \dots) \quad (15.8)$$

shart bajarilganda kuzatiladi. Maksimum shart bajarilganda plastinka yuzining barcha qismi  $\lambda_0$  to'lqin uzunlikli nuring rangiga bo'yalgandek bo'ladi.

### Nyuton halqlari

Monoxromatik yorug'lik dastasi linzaning tekis sirtiga normal tushayotgan bo'lsin (15.8-rasm). Shu nurlardan biri – birinchi nur S nuqtaga yetib borgach, qisman qaytadi, qisman havo qatlami ichiga kirib boradi. Nuring bu ikkinchi qismi D nuqtadan qaytadi. 1' va 2' nurlar o'zaro kogerent, ular ustma-ust tushib, interferensiyalashadi. Natijada konsetrik halqlar kuzatiladi. Bu **halqlar** Nyuton halqlari deb ataladi. Yorug' halqlarning radiuslari



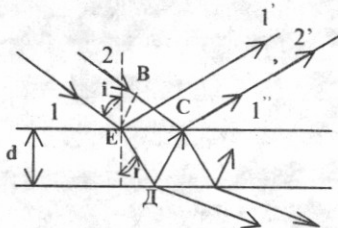
15.8-rasm.

$$(r_k)_{\max} = \sqrt{\kappa \lambda_0 R} \quad (15.9)$$

ifoda bilan, qorong'i halqlarning radiusi esa

$$(r_k)_{\min} = \sqrt{(\kappa - 1/2) \lambda_0 R} \quad (15.10)$$

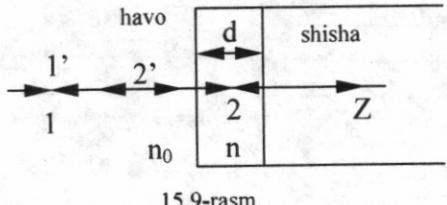
ifoda bilan aniqlanadi.



15.7-rasm.

### 15.3. Yorug'lik interferensiyasining qo'llanishi

Yorug'lik interferensiysi optik asboblarning sifatini yaxshilash va qaytaruvchi qatlamlar olish uchun ham qo'llaniladi. Hozirgi zamon optik asboblarining obyektivlarda ko'plab linzalar bo'ladi. shuning uchun ularda yorug'likning qaytishi va yorug'lik oqimining isrofi ko'p bo'ldi. Bularni yo'qotish uchun linza sirtiga sindirish ko'rsatgichi linza muddasining sindirish ko'rsatkichidan kichik bo'lgan yupqa qatlam qoplanadi (15.9-rasm).



15.9-rasm.

Havo qatlam va shisha qatlam chegaralarida yorug'likning qaytishi tufayli 1' va 2' kogerent nurlarning interferensiysi ro'y beradi. Qatlam qalinligi  $d$ , sindirish ko'rsatkichi  $n$  va shishaning sindirish ko'rsatgichi  $n_{sh}$  ni shunday tanlab olish mumkinki, interferensiyanaluvchi

nurlar bir-birini so'ndiradi. Bunda ularning amplitudalari teng optik yo'l farqi  $(2m+1)\lambda_0/2$  ga teng bo'lishi kerak. Hisoblarning ko'rsatishicha  $n = \sqrt{n_{sh}}$  bo'lganda amplitudalar teng bo'lar ekan,  $n_{sh} > n > n_0$  bo'lganligi uchun ikkala sirtda yarim to'lqin uzunligi yo'qotiladi va yorug'lik tik tushganda,

$$2nd = (2m+1) \frac{\lambda_0}{2} \quad (15.11)$$

bo'ladi. Bu yerda,  $nd$  – qatlamning optik qalinligi. Odatda,  $m=0$  uchun

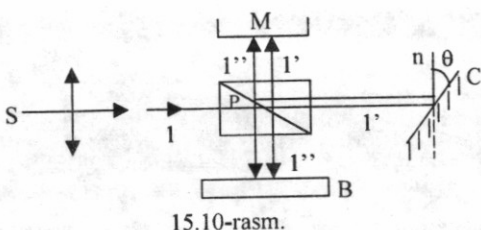
$$nd = \frac{\lambda_0}{4} \quad (15.12)$$

bo'ladi. Shunday qilib,  $n = \sqrt{n_{sh}}$  bo'lganda va qatlamning optik qalinligi  $\frac{\lambda_0}{4}$  ga teng bo'lganda, interferensiya natijasida qaytgan nurlarning so'nishi va o'tgan nurlar intensivligining ortishi kuzatiladi. Optik sistemaning ravshanlashuvi ana shundan iborat.

### 15.4. Interferometrlar

Interferensiya manzarasi interferensiyanaluvchi to'lqinlarning yo'llari ayirmasiga juda sezgir bo'ladi: yo'llar ayirmasining kichik o'zgarishlarda uzunliklar va burchaklarini aniq o'lchash uchun, shuningdek, shaffof muhitlarning sindirish ko'rsatkichlarini aniqlash uchun ishlataladigan asboblarning tuzilishi shunga asoslangan. Sanoatda interferometrlar metall va boshqa silliqlangan detal sirlarning silliqligini tekshirishda keng qo'llaniladi.

Sirlarning mikroskopik notekisliklarini payqash va o'lchash uchun ishlataladigan **Linnik mikrointerferometrining ishi misolida interferometrlar bilan tanishaylik.**

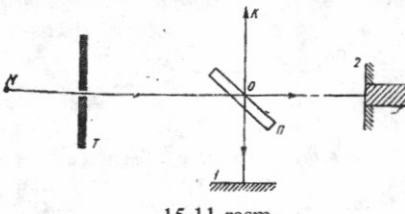


15.10-rasm.

Monoxromatik yorug'lik nurlarining (to'lqin uzunligi  $\lambda$  bo'lgan)  $S$  dastasi yarim shaffof  $R$  qatlamga (shisha kub diogonal kesimiga surtilgan yupqa kumush qatlamga) tushadi (15.10-rasm). Bu nurlardan birining yo'lini ko'raylik. Yarim shaffof qatlama 1 nur «ikkiga ajraladi»: qisman qatlam orqali o'tadi va  $S$  ko'zguga tushadi ( $I'$  nur), qisman undan qaytadi va tekshirilayotgan  $V$  sirtiga tushadi ( $I''$  nur). So'ngra  $I'$  nur ko'zgu va yarim shaffof qatlamdan qaytgandan so'ng va  $I''$  nur tekshirilayotgan sirdan qaytib, yarim shaffof qatlamdan o'tgandan so'ng  $M$  mikroskopga tushadi. Bu nurlar kogerent nurlardir, shuning uchun ular interferensiyanadidi, ularning interferensiya manzarasi mikroskopning ko'rish maydonida ko'rinish turadi.

Endi Maykelson interferometrining ishlash prinsipi bilan tanishaylik (15.11-rasm).  $M$  manbadan chiqayotgan monoxromatik yorug'lik nurlari yarim shaffof  $P$  plastinkaga tushadi. Bu plastinkadan nur qisman qaytadi, qisman o'tadi. Qaytgan va o'tgan nurlar o'zaro perpendikular ravishda joylashgan 1 va 2 ko'zgulardan orqaga qaytadi. 1 ko'zgudan qaytgan nur  $P$  plastinkadan qisman o'tib,  $OK$  yo'nalishda kuzatuvchi tomon yo'nalgan. 2 ko'zgudan qaytgan nur  $P$  dan qaytib, u ham  $OK$  bo'ylab yo'nalgan. Bu nur birinchi nur bilan interferensiyalashishi tufayli ekranda qorong'i va yorug' yo'llardan iborat bo'lgan interference manzara namoyon bo'ladi.

Agar ko'zgulardan biriga, masalan, 2 ko'zguga deformatsiyasi o'rganilayotgan jism yopishtirilgan bo'lsa, deformatsiya tufayli jism ko'zgu bilan birga  $\lambda_0/2$  masofaga  $P$  plastinka tomon siljisin. Keyin 1 ko'zguga tushib qaytgan nur  $2\lambda_0/2$  teng kamroq yo'l yuradi. Yo'llar farqi tufayli ekranda interference manzara hosil bo'ladi va u to'liq bir yo'lga siljigan bo'ladi. Bu esa o'z navbatida jism deformatsiyasining kattaligi haqida ma'lumot beradi.

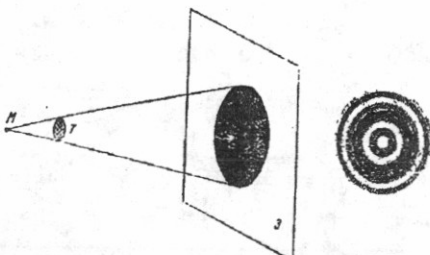


15.11-rasm.

### 15.5. Yorug'lik difraksiyasi. Gyuygens – Frenel prinsipi

**Yorug'lik nurlarining shaffof bo'lmagan to'siqlaridan egilib o'tib geometrik soya sohasiga o'tish hodisasiiga, difraksiya deb ataladi.** Difraksiya so'zi lotincha «difraksio», «egilib o'tish» ma'nosini beradi. Difraksiya hodisasini kuzatish uchun quyidagi tajribani qilaylik.  $M$  dan tarqalayotgan monoxromatik yorug'lik nurining yo'liga disk shaklidagi  $T$  to'siq joylashtiraylik (15.12-rasm). Nur to'g'ri chiziq bilan tarqalgani uchun  $T$  to'siqning  $E$  ekrandagi soysi – doira shaklidagi qorong'i soha kuzatilishi kerak. Lekin to'siqdan ekrangacha masoфа to'siq o'lchamidan ko'p marta katta bo'lgan holda ekranda ketma-ket joylashgan yorug' va qorong'i konsentrifik halqlar kuzatiladi (15.12 b-rasm). **Gyuygens principiga asosan**, bu hodisa quyidagicha tushuntiriladi: *to'lqin frontining har bir nuqtasini ikkilamchi to'lqinlarning manbalari*

**deb hisoblash mumkin.** Frenel esa Gyuygens prinsipini takomillashtirib, bu ikkilamchi to'lqinlarning manbalarini kogerent manbalar deb va fazoning ixtiyoriy nuqtasidagi tebranishi bu nuqtaga yetib kelgan ikkilamchi kogerent to'lqinlar interferensiyalashishining natijasi deb qarash lozim, degan fikri berdi. Bu **prinsipi Gyuygens – Frenel prinsipi** deb yuritila boshlandi.



15.12-rasm.

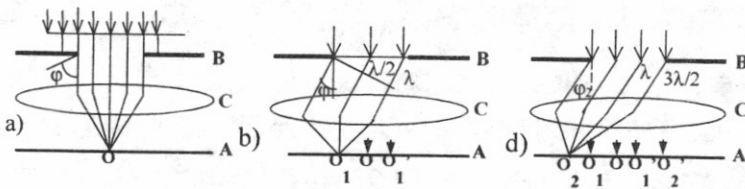
Difraksiya hodisalari ikki sinfga bo'linadi. To'siqqa tushayotgan nurlar parallel dastasini hosil qilgan va difrakcion manzara manbadan chesizlikda mujassamlashgan holdagi difraksiyalarni Fraunhofer tekshirgan. **Shuning uchun bu hodisalar Frangofer difraksiyasi deyiladi.** To'siqqa tushayotgan sferik to'lqin frontiga ega bo'lgan yorug'lik difraksiyasini Frenel o'rgangan. **Shuning uchun bu sinfga oid difraksiyalrani Frenel difraksiyasi deyiladi.**

### 15.6. Frenel zonalari. Fraunhofer difraksiyasi. Difrakcion panjara

Difraksiya manzarasi odadta shu'lalanuvchi tor tirkishlar yordamida hosil qilinadi. Shuning uchun yorug'likning bir tirkishdan, ikki tirkishdan va ko'p parallel tirkishlardan difraksiyasisini ko'rib chiqaylik. Tirkishlarga perpendikular bo'lgan parallel nurlar dastasidan, Fraunhofer difraksiyasi hosil bo'ladi:

#### a) bir tirkishdan bo'ladigan difraksiya.

To'g'ri to'rt burchaklı tor tirkishli  $\lambda$  ekranga parallel monokromatik nurlar dastasi normal holda tushayotgan bo'lsin. Tirkishdan dastlabki yo'nalişida o'tayotgan barcha nurlar  $S$  linza yordamida linzaning fokal tekisligida joylashgan  $A$  ekranning  $O$  nuqtasiga to'planadi. Bu hodisada barcha nurlar yo'l ayirmasi  $O$  ga teng bo'ladi.  $O$  nuqta orqali tirkishga parallel yorug' yo'l o'tadi. Endi difraksiya tufayli tirkishdan o'tgan nurlarning faqat dastlabki yo'nalişida emas, balki bu yo'nalişdan turli  $\varphi$  burchaklarga burilishini nazarga olamiz.  $\varphi$  burchak **difraksiya burchagi** deb ataladi.



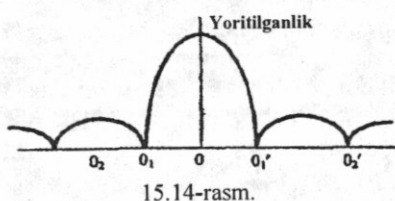
15.13-rasm.

Tirkishdan shunday  $\varphi = \varphi_1$  burchak ostida difraksiyalanuvchi nurlari dastasini ko'raylikki, dastaning chekka nurlari orasidagi yo'l ayirmasi  $\Delta l$  yorug'lik to'lqinining uzunligiga teng bo'lsin.  $\Delta l = 2 \frac{\lambda}{2}$  (15.13 b-rasm). Bunda butun dastani

**Frenel zonasi deb ataladi.** Frenel zonalarini shunday I va II zonalarga ajratish mumkinki, bu zonalar uchun I zonaning har bir nuri bilan II zona mos nurining yo'l

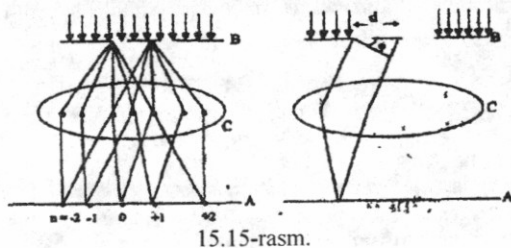
ayirmasiga  $\lambda/2$  ga teng bo'ladi. Linza yordamida  $O_1$  nuqtadan o'tgan to'g'ri chiziqda to'plangan, bu nurlar interferensiyanadi va o'zaro so'nadi. Natijada  $O_1$  orqali yo'l - **difraksiya minimumi o'tadi** (bu hol  $O_1$  ga simmetrik bo'lgan  $O'_1$  da ham ro'y beradi).

$\varphi = \varphi_2$  burchak ostida difraksiyalanuvchi boshqa nurlar dastasining chekka nurlar orasidagi  $\Delta l$  yo'l ayirmasi  $3\lambda/2$  ga teng bo'lsin (15.13 d-rasm). Bu holda butun dastani uchta I, II, III Frenel zonalariga ajratish mumkin. Ikki qo'shni zonaning (I, II) bir-birini so'ndirishi tushunarli (chunki bu zonalarning nurlari orasidagi yo'l ayirmasi  $\lambda/2$  ga teng) III zona esa so'nmaydi va  $O_2$  nuqtadan o'tuvchi chiziqda difraksiya maksimumini beradi.  $O_2$  nuqtaga simmetrik bo'lgan  $O'_2$  nuqtadan o'tuvchi to'g'ri chiziqda shunday maksimum paydo bo'ladi.  $O_2$  va  $O'_2$  maksimumlarning yoritilganligi  $O$  maksimumning yoritilganligidan ancha kam bo'ladi (15.14-rasm).



soniga mos burchaklar bilan difraksiyalanuvchi nurlar dastasi difraksiya minimumlari hosil qiladi. Bu maksimumlarni hosil qiluvchi nurlarning difraksiya burchaklari ortishi bilan maksimumlarni yoritilganligi kamayadi.

*Natijada bir tirkishdan hosil qilinadigan difraksiya manzarasi markazi yorug' yo'ldan har ikki tomonda simmetrik joylashgan qorong'i va yorug' yo'llarning navbatlashishidan iborat.*



qoladi. Agar  $V$  ekran orasida  $S$  yig'uvchi linza qo'yilgan bo'lsa, u holda linzaning fokal tekisligida joylashgan.  $A$  ekranda difraksiya manzarasi vujudga keladi, bu difraksiya manzarasi ikki jarayonning, ya'ni yorug'likning har bir ayrim tirkishdan interferensiysi natijasidir. Biroq bu manzaraning asosiy xususiyatlari ko'proq ikkinchi jarayon bilan aniqlanadi.

15.15-rasmdagi ikki parallel nurlar yo'llarining ayirmasi  $\Delta l = d \sin \varphi$ . Agar bu ayirma

$$d \sin \varphi = n\lambda \quad (15.13)$$

shartni qanoatlantirsa, ekranda interferension maksimum kuzatiladi. Agar

b) Ikki va ko'p parallel tirkishlardan hosil bo'lgan difraksiya. Parallel monoxromatik nurlar dastasi bir-biridan  $d$  masofada joylashgan ikkita parallel tirkishi bo'lgan  $V$  ekranga perpendikular tushayotgan bo'lsin (15.15-rasm). Bunda bu tirkishlar yorug'likning kogerent manbalari bo'lib

$$d \sin \varphi = (2n+1) \frac{\lambda}{2} \quad (15.14)$$

*bo'lsa, interferension minimum kuzatiladi.*

Maksimumlarning mumkin bo'lgan soni,  $\sin\varphi \leq 1$  ligidan

$$n \leq \frac{d}{\lambda} \quad (15.15)$$

bo'ladi.

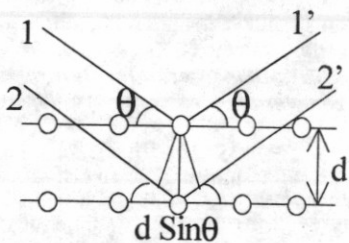
Yorug'likning bir-biriga yaqin joylashgan ko'plab parallel tirqishlar to'plamidan difraksiyalanganida ham difraksiya manzarasining ko'rinishi ikki tirqishdan difraksiyalanishdagi ko'rinishda bo'ladi. *Faqat maksimumlar ravshanroq va torroq, ularni ajratib turgan minimumlar esa keng va amalda butunlay qorong'i ko'rinati. Bunday qurilma difrakcion panjara deyildi. d masofa panjaraning davri (doimisi)* deyiladi. Difrakcion panjaralar shisha plastinka yoki metall ko'zgu sirtiga shtrixlar (tirnashlar) chizish yo'li bilan tayyorlanadi. Difrakcion panjara bilan yorug'lik to'lqin uzunligini aniqlash mumkin.

### 15.7. Rentgen nurlari difraksiysi

Difrakcion manzarani kuzatilishi uchun panjara doimisi, tushayotgan yorug'likning to'lqin uzunligi bilan bir xil tartibda yoki kichik bo'lishi kerak. Tabiiy

fazoviy panjara, ya'ni kristallarning panjara doimiysi  $\sim 10^{-10}$  m tartibida bo'ladi. Ko'rindigan yorug'likning to'lqin uzunliklari esa atigi  $(4\div 7,5) \cdot 10^{-7}$  m ni tashkil qiladi xolos. Demak, kristall panjarada vujudga kelishi mumkin bo'lgan difrakcion manzarani oq yorug'likdan foydalanib, hosil qilib bo'lmaydi.

Nemis fizigi M.Laue kristallarda difraksiyanı rentgen nurlari ( $\sim 10^{-12}\div 10^{-8}$  m) yordamida kuzatish mumkinligini



15.16-rasm.

birinci bo'lib ko'rsatdi. Rentgen nurlari kristall orqali o'tganda ham, undan qaytganda ham difrakcion manzara kuzatiladi. Parallel rentgen nurlar dastasi kristallga kristall panjaraning tugunlari (atomlar) orqali o'tgan parallel tekisliklarga  $\theta$  sirpanish burchagi ostida tushayotgan bo'lsin. Bunday atom tekisliklarini rentgen nurlarini qisman o'tkazib, qisman qaytaruvchi yarim shaffof ko'zgu deb qarash mumkin.

*Rentgen nurlar dastasi (1,2)  $\theta$  - sirpanish burchagi ostida kristallga tushmoqda va 1', 2' ikkilamchi to'lqin sifatida tarqalmoqda va interferensiyalanmoqda (15.16-rasm).*

Intensivlik maksimumlari – difrakcion maksimumlar

$$2d \sin \theta = m\lambda \quad (m=1,2,3,\dots) \quad (15.16)$$

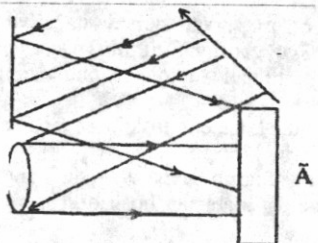
shart bajarilganda kuzatiladi, bu yerda,  $d$  – atom tekisliklari orasidagi masoфа, (15.16) munosabat **Vulf – Bregg** formulasi deb ataladi. Bu formuladan foydalanib, kristallarning atom tekisliklari orasidagi masoфа ( $d$ ) ni aniqlash mumkin. Bu uslub *rentgen strukturaviy tahlil* deb ataladi. Bu usuldan elektronlar va neytronlardan foydalanib amalga oshirilishi mumkin bo'lgan elektronografiya,

neytronografiyalardan foydalaniladi.  $d$ ,  $\theta$  va  $m$  ni bilgan holda rentgen nurlarning to'lqin uzunligi  $\lambda$  ni aniqlash mumkin.

### 15.8. Golografiya

Golografiya yunoncha «holo» «to'lqin», «grarh» «yozaman» so'zlaridan tashkil topgan bo'lib, u buyumlarning tashqi ko'rinishini «yozib olish» ning maxsus usulini anglatadi. Bu usul 1977-yilda D.Gabor tomonidan kashf qilingan. Golografiyaning mohiyati buyumdan kelayotgan nurlanishning to'lqin frontini fotoplastinkaga qayd qilish (yozib olish), so'ng buyumning tasvirini vujudga keltirish maqsadida bu frontni tiklashdan iborat.

Golografiyanı fotografiyadan farqi nimada ekanligini quyidagicha ifodalaymiz.



15.17-rasm.

tasvirlari esa unchalik aniq bo'lmaydi. Masalan, bino oldida turgan odamning fotografik tasvirida odam gavdasi berkitib turgan bino qismini fotografiyaga turlicha vaziyat-lardan qaragan bilan bari bir ko'rib bo'lmaydi. Bundan tashqari, binoni odamdan qanchalik uzoqda joylashganligini ham aniqlab bo'lmaydi. Bino va odamning tasvirlari bitta tekislikda ko'rindi.

Fotoplastinkada buyumning ayrim nuqtalaridan qaytgan nurlarning nisbiy intensivliklari qayd qilinadi. Bu nurlar fazalari orasidagi munosabatni fotoplastinkaning qorayishiga hech ta'siri yo'q. Vaholanki, fazalar orasidagi munosabat buyumning ayrim nuqtalarini fotoplastinkadan uzoqliklariga bog'liqdir.

Demak, buyumdan qaytgan nurlarning faqat amplitudalarigina emas, balki fazalarini ham fotoplastinkada qayd qilish usulini topish lozim. Bu usul **golografiyadir**, golografiya to'lqin optikasining asosiy qonunlari – interferensiya va difraksiya qonunlaridan foydalanish asosida vujudga keladi.

Kogerent yorug'lik dastasi ikkiga ajratilib (15.17-rasm), uning bir qismi buyum ( $B$ )dan qaytib fotoplastinka ( $A$ )ga tushadi. *Bu to'lqinni signal to'lqin yoki buyum to'lqin deyiladi*. Ikkinci qism esa qaytargich plastinka ( $K$ )dan qaytib fotoplastinkaga tushadi. *Uni tayanch to'lqin deyiladi*. Bu ikki guruh kogerent to'lqinlar fotoplastinkada qo'shilib interferension manzara hosil qiladi. Fotoplastinkaga ishllov berilgandan so'ng oshkor bo'ladigan bu interferension manzara **gologramma** deyiladi. Gologrammada buyumdan qaytgan to'lqinlarda, ya'ni buyum to'lqinlarining amplituda hamda fazalari to'g'risidagi axborotlar qayd qilingan. Haqiqatan, buyum va tayanch to'lqinlarning fazalari bir xil bo'lsa, bu to'lqinlarning amplitudalari qo'shiladi. Shuning uchun pozitiv gologrammaning bunday nuqtalari shaffofroq (negativ gologrammada esa xiraroq) bo'ladi. Buyum va tayanch to'lqinlar fazalari mos bo'lmasdan tarzda yetib kelgan gologrammada nuqtalar esa qorong'iroq bo'lди.

Tasvirni tiklash uchun hologramma avvalgi holatiga joylashtiriladi va uni «tayanch» to'lqin bilan yoritiladi. Natijada interferensiyon strukturadagi difraksiya tufayli buyum to'lqinning nusxasi tiklanadi.

Golografiyaning ajoyib xususiyatlardan yana biri shundaki, hologrammaning kichik bir bo'lakchasi ham butun hologrammadan foydalangandek tasvirni beraveradi. Chunki buyumning har bir nuqtasidan sochilayotgan sferik nuqtalar hologrammaning barcha yoritilayotgan yuziga yetib keladi; o'z navbatida hologrammaning har bir nuqtasiga buyumning barcha nuqtalaridan to'lqinlar keladi. Shuning uchun hologrammaning har bir kichik bo'lakchasi buyum to'g'risida to'liq axborot mavjuddir.

### Savollar

- Yorug'likning tabiatini haqida ikkita «o'zaro qarama-qarshi» nazariya, ya'ni Nyuton yaratgan korpuskular nazariya va Gyugensning to'lqin nazariyasining kelishmovchiliklarini barham topishida Yung va Frenel tadqiqotlarining ahamiyatini aytib bering.
- Yorug'lik interferensiyanini kuzatishda kogerent to'lqin manbaalarining rolini aytинг va interferensiyanini kuzatish shartlarini ko'rsating.
- Yorug'lik interferensiyanini kuzatish usullarini bayon qilishda Yung usuli, Frenel ko'zgusi va Frenel prizmalarining kogerent manbalar hosil qilishini chizma yordamida ko'rsating.
- Interferometrlarning sanoatda qo'llanilishi va vazifalarini aytинг, Maykelson interferometrining ishlash prinsipini tanishtiring.
- Yorug'lik difraksiyansini kuzatishda Gyugens-Frenel prinsipining ahamiyatini aytинг.
- Tirqishlarga perpendekular bo'lgan parallel nurlar dastasidan, Fraunhofer difraksiyasi hosil bo'lishini tushuntiring.
- Nemis fizigi M.Laue kristallarda rentgen nurlarining difraksiyansini kuzatganligini va Lauegrammani taqdim etganini izohlab bering.
- Golografiyanı fotografiyadan farqi nimada ekanligini izohlang.

### Masalalar

**56-masala.** Frenel ko'zgulari bilan o'tkazilgan tajribada yorug'lik manbaining mavhum tasvirlari orasidagi masofa  $d=0.5$  mm, ekrangacha bo'lgan masofa  $L=5$  m ga teng. Yashil yorug'likda ekrannda interferensiya yo'llari bir-biridan  $\Delta x=5$  mm masofada hosil bo'ladi. Yashil yorug'likning to'lqin uzunligi  $\lambda$  ni toping.

$$d = 0,5 \text{ mm} = 0,5 \cdot 10^{-3} \text{ m},$$

Berilgan:  $L = 5 \text{ m}$ ,  $\Delta x = 5 \text{ mm} = 5 \cdot 10^{-3} \text{ m}$

$$\lambda \sim ?$$

**Yechish:** Masalaning sharti 15.1 dagi 15.3–15.6-rasmlarga mos keladi. (15.5)

formulaga muvofiq qo'shni interferensiya yo'llari orasidagi masofa  $\Delta x = \frac{\lambda L}{d}$ . U vaqtida

$$\lambda = \frac{\Delta x d}{L} = \frac{5 \cdot 10^{-4} \cdot 5 \cdot 10^{-3}}{5} = 5 \cdot 10^{-7} = 0,5 \text{ mkm}.$$

**57-masala.** Sindirish ko'rsatkichi  $n=1,4$  bo'lgan moddadan juda yupqa pardal qoplangan qalin shisha plastinkaga monoxromatik yorug'lilik ( $\lambda=0,6 \text{ mkm}$ ) parallel dastasi normal tushadi. Qaytayotgan yorug'lilik interferensiya natijasida maksimal susaygan. Yupqa pardanining qalinligi  $d$  aniqlansin.

Berilgan:  $n_1 = 1,00029$

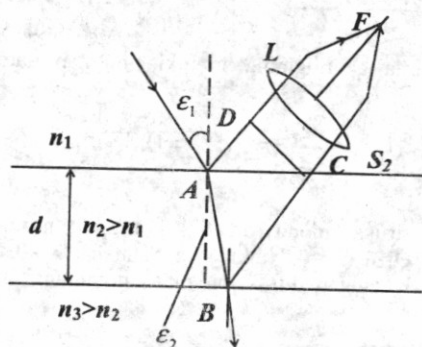
$$n_n = 1,4, n_3 = 1,5$$

$$\lambda = 0,6 \text{ mkm} = 0,6 \cdot 10^{-6} \text{ m}$$

$$d \sim ?$$

**Yechish:** Yupqa pardaga tushayotgan yorug'lilik to'lqi-nidan ingichka SA dastani ajratamiz.

Tushish burchagi  $E_1 \neq 0$  bo'lgan hol uchun bu nurning yo'li (15.18) rasmida ko'rsatilgan. A va B nuqtalarga tushayotgan dasta qisman qaytadi va qisman sinadi. Yorug'lilikning qaytgan AS<sub>1</sub> va BCS<sub>2</sub> dastalari yig'uvchi L linzaga tushadi, uning F fokusida kesishishadi va o'zaro interferensiyanadi. Havoning sindirish ko'rsatkichi ( $n_1=1,00029$ ) yupqa pardaga moddasining sindirish



ko'rsatkichi ( $n_2=1,4$ ) dan kichik, u esa o'z navbatida shishanining sindirish ko'rsatkichi ( $n_3=1,5$ ) dan kichik bo'lganligidan, har ikkala holda ham qaytish to'lqin tushayotgan muhitiga qaraganda optik jihatdan zichroq muhitda ro'y beradi.

Shuning uchun ham AS<sub>1</sub> yorug'lilik dastasining tebranish fazasi A nuqtadan qaytganida  $\pi$  radianga o'zgaradi va xuddi shuningdek, BCS<sub>2</sub> yorug'lilik dastasining tebranish fazasi ham B nuqtadan qaytishda  $\pi$  radianga o'zgaradi. Natijada bu yorug'lilik dastalari linzaning F fokusida kesishishidagi interferensiya natijasi xuddi na u va na bu dastanining tebranish fazalarida hech qanday o'zgarish bo'lmagandek ro'y beradi.

Ma'lumki, yupqa pardalardagi interferensiya yorug'lilikning maksimal susayish sharti interferensiya qaytishida kiruvchi to'lqinlarning optik yo'l farqi toq sondagi

$$\text{yarim to'lqinlarga teng bo'lishi kerakligidan iboratdir: } \Delta = (2k+1) \frac{\lambda}{2}$$

Rasmdan ko'rinish turibdiki, optik yo'l farqi

$$\Delta = \ell_2 n_2 - \ell_1 n_1 = (|AB| + |BC|) n_2 - |AD| n_1.$$

Binobarin, yorug'lilik intensivligining minimumlik sharti quyidagi ko'rinishni oladi.

$$(|AB| + |BC|)n_2 - |AD|n_1 = (2k+1)\frac{\lambda}{2}$$

Agar  $E_1$  burchak nolga intilgan holda kamayib borsa, unda  $AD \rightarrow 0$  va  $|AV| + |VS| \rightarrow 2d$  bunda, d-yupqa pardaning qalinligi  $E_1 = 0$  chegarada quyidagiga ega bo'lamiz:

$$\Delta = 2dn_2 = (2k+1)\frac{\lambda}{2},$$

bundan qidirilayotgan yupqa pardaning qalinligi

$$d = \frac{(2k+1)\lambda}{4n_2},$$

$k=0,1,2,3,\dots$  deb olib, yupqa parda qalinligining mumkin bo'lgan qator qiyamtlarini olamiz:

$$d_0 = \frac{\lambda}{4n_2} = 0,111 \text{ mkm}; \quad d_1 = \frac{3\lambda}{4n_2} = 3d_0 = 0,33 \text{ mkm}.$$

**58-masala.** Difraksiyon panjara sirtiga monoxromatik yorug'lik normal tushayapti. Panjaraning davri 2 mkm. Qizil ( $\lambda_1=0,7$  mkm) va binafsha ( $\lambda_2=0,41$  mkm) yorug'liklar uchun shu panjara beradigan difraksiyon maksimumning eng katta tartibini aniqlang.

$$d = 2 \text{ m km} = 2 \cdot 10^{-6} \text{ m}$$

$$\text{Berilgan: } \lambda_1 = 0,7 \text{ m km} = 7 \cdot 10^{-7} \text{ m}$$

$$\underline{\lambda_2 = 0,41 \text{ m km} = 4,1 \cdot 10^{-7} \text{ m}}$$

$$m_{\max} \sim ?$$

**Yechish:** Difraksiyon panjara bosh maksimumlarining vaziyatini aniqlaydigan formuladan difraksiyon maksimum tartibi m ni aniqlaymiz:

$$m = (d \sin \varphi) / \lambda, \quad (1)$$

bunda, d – panjara davri;  $\varphi$ -difraksiya burchagi;  $\lambda$  – monoxromatik yorug'likning to'lqin uzunligi.  $\sin \varphi$  birdan katta bo'la olmagani uchun m soni  $d/\lambda$  dan katta bo'la olmaydi. Ya'ni

$$m \leq \frac{d}{\lambda}. \quad (2)$$

(2) formulaga kattaliklarning qiymatini qo'yib hisoblaymiz:

$$m \leq 2/0,7 = 2,86 \quad (\text{Qizil nurlar uchun})$$

$$m \leq 2/0,41 = 4,88 \quad (\text{Binafsha nurlar uchun})$$

Maksimumlar tartibi butun sonlarga teng bo'lishini inobatga olsak, qizil yorug'lik uchun  $m_{\max}=2$  va binafsha uchun  $m_{\max}=4$  bo'ladi.

**59-masala.** Difraksiyon panjara  $N$  ga yorug'lik nurlari normal tushmoqda. Goniometrning ko'rish trubasini biror  $\phi$  burchakka burganda ko'rish maydonida uchinchi tartibli ( $n=3$ ) spektrda  $\lambda=0,44 \text{ mkm}$  chiziq ko'rindi. Xuddi shu burchak ostida ko'rinvuchi spektr chegarasida ( $0,4 \text{ mkm}$  dan  $0,7 \text{ mkm}$  gacha) yotuvchi  $\lambda_x$  to'lqin uzunliklarga mos keluvchi biror boshqa spektral chiziqlarni ko'rish mumkinmi?

$$n = 3, \quad \lambda = 0,44 \text{ mkm} = 0,44 \cdot 10^{-6} \text{ m},$$

$$\text{Berilgan: } \lambda = (0,4 - 0,7) \text{ mkm} = (0,4 - 0,7) \cdot 10^{-6} \text{ m}$$

$$\lambda_x \sim ?$$

**Yechish:** Difraksiya panjarasiga qo'llash mumkin bo'lgan (15.13) formulaga muvofiq (15.7 ga qarang) shunday yozish mumkin.

$$d \sin \phi = n \lambda = n_x \lambda_x,$$

bu yerda,  $d$  – panjara  $L$  davri,  $n_x$  esa  $\lambda_x$  spektral chiziq bo'lishi mumkin bo'lgan spektrning tartibi. U holda

$$\frac{n_x}{n} = \frac{\lambda}{\lambda_x}.$$

Biroq shartga ko'ra  $\lambda/\lambda_x$  nisbat  $\frac{0,44}{0,4} = 1,1$  dan  $\frac{0,44}{0,7} = 0,63$  gacha chegarada,

ya'ni

$$0,63 < \frac{\lambda}{\lambda_x} < 1,1$$

o'zgaradi. Bundan  $0,63 < \frac{n_x}{n} < 1,1$  yoki  $n=3$  ekanligini e'tiborga olsak,

$$1,89 < n_x < 3,3.$$

$n_x$  butun son, shuning uchun ikki hol bo'lishi mumkin:  $n_x=2$  va  $n_x=3$ . Biroq  $n_x=3$  bo'la olmaydi, chunki  $n$  ham 3 ga teng; spektrning bitta tartibiga tegishli bo'lgan chiziqlar ustma-ust tusha olmaydi (qo'shilma olmaydi).

Demak,  $n_x=2$ . U holda  $\lambda_x = \lambda \frac{n}{n_x} = 0,44 \frac{3}{2} = 0,66 \text{ mkm}$ . bu qizil rangga

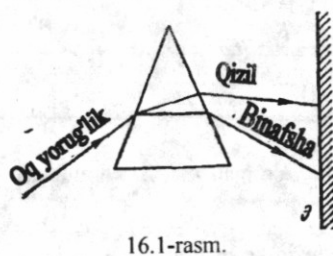
mos keladi;  $\lambda=0,44 \text{ mkm}$  ko'k rangga mos keladi.

Shunday qilib, uchinchi tartibli spektrning ko'k rangi ( $\lambda=0,44 \text{ mkm}$ )ga ikkinchi tartibli spektrning qizil rangi ( $\lambda=0,44 \text{ mkm}$ ) qo'shiladi.

## XVI bob. YORUG'LIKNING ELEKTROMAGNIT TABIATI

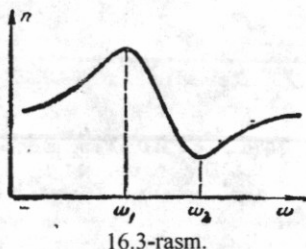
### 16.1. Yorug'lik dispersiyasi

*Moddalar sindirish ko'rsatgichining yorug'lik to'lqin uzunligi (chastotasi) ga bog'liqligi yorug'likning dispersiyasi deyiladi.*

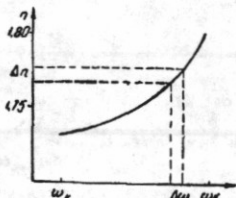


16.1-rasm.

Nyuton tajribalar asosida yorug'lik dispersiyasini kashf etdi. Nyuton prizmaga tushayotgan «oq yorug'lik» qizildan binafshagacha rangdagi yorug'lik spektrga ajralishini aniqladi (16.1-rasm.). Tajribalardan shular ma'lum bo'ldiki, turli moddalardan yasalgan prizmalarda bir xil chastotali ( $\omega = \text{const}$ ) nurlar turlicha burchakka og'adi: yoki bir xil chastotalar intervali  $\Delta\omega = \omega_2 - \omega_1$  ga mos bo'lgan spektr qismining kengliklari turli prizmalarda turlicha bo'ladi.



16.3-rasm.



16.2-rasm.

Chastota ortishi bilan moddaning sindirish ko'rsatkichi ham ortib borsa, ya'ni  $\frac{\Delta n}{\Delta \omega} > 0$  bo'lsa, bu moddadagi yorug'likning dispersiyasi **normal dispersiya deyiladi** (16.2-rasm). Agar chastota ortishi bilan moddaning sindirish ko'rsatkichi kamaysa (16.3-rasm), ya'ni  $\frac{\Delta n}{\Delta \omega} < 0$  bo'lsa, bunday moddadagi yorug'lik dispersiyasini **anomal dispersiya** deyiladi.

Shisha uchun oq yorug'lik sohasining barcha qismlarida normal dispersiya, ultrabinafsha va infraqizil sohalarning ba'zi qismlarida **anomal dispersiya** kuzatiladi.

### 16.2. Dispersianing elektron nazariyasi

Dispersianing elektron nazariyasinи mulohaza qilar ekanmiz, yorug'likni elektromagnit to'lqin, modda tuzilishini esa elektron nazariya asosida tassavur qilish yetarli. Elektron nazariyaga asosan jism elektronlar va ionlardan tashkil topgan. Ular yorug'lik ta'sirida harakatga keladi. Yorug'lik to'lqinlarining tebranishlari  $\sim 10^{15} \text{ Gc}$  chastotalarda sodir bo'ladi. Elektromagnit maydonning bunchalik tez o'zgarishini massalari yetarlicha kichik bo'lgan elektronlargina sezishga ulguradi.

Shuning uchun yorug'lik to'lqinining jismga ta'sirini hisoblashda yorug'likning elektronga ta'sirini hisoblash bilan chegaralansa bo'ladi.

Elektromagnit to'lqin jismdan o'tayotganda  $-e$  zaryadli har bir elektroniga elektr kuchi ( $\vec{F}_e = -e\vec{E}$ ) va Lorens kuchi ( $F_l = -e[uB]$ ) bilan ta'sir qiladi.

$$\vec{F} = \vec{F}_e + \vec{F}_l = -e(\vec{E} + [v\vec{B}]) \quad (16.1)$$

Lorens kuchi elektr kuchidan juda kichik bo'lganligi sababli uni hisobga olmasa ham bo'ladi. U holda (16.1) ni ko'rinishi quyidagicha bo'ladi,

$$\vec{F} = -e\vec{E} = -e\vec{E}_0 \cos \omega t \quad (16.2)$$

bunda,  $\vec{E}_0$ ,  $\vec{E}$  ning amplituda qiymati,  $\omega$  – to'lqinning siklik chastotasi. Birinchi yaqinlashganda  $F$  kuch (16.2) faqat eng tashqi elektronlarni siljitadi, deb hisoblash mumkin. Lekin bu elektron bilan atomning qolgan qismi orasidagi kvazielastik kuch mavjudki, u elektronni avvalgi vaziyatiga qaytarishga harakat qiladi. Bu kuch  $x$  siljishga proporsionaldir:

$$F_{qayt} = -\kappa x,$$

u holda elektron harakati uchun Nyuton 2-qonunini quyidagicha yozish mumkin.

$$m \frac{d^2x}{dt^2} = -\kappa x - eE_0 \cos \omega t \quad (16.3)$$

$$\text{yoki } \frac{d^2x}{dt^2} = -\frac{\kappa}{m}x - \frac{e}{m}E_0 \cos \omega t$$

$$\frac{d^2x}{dt^2} = -\omega_0^2 x - \frac{e}{m}E_0 \cos \omega t; \quad \omega_0^2 = \frac{\kappa}{m} \quad (16.4)$$

(16.4) tenglamaning yechimi

$$x = x_0 \cos \omega t \quad (16.5)$$

ko'rinishda bo'ladi, (16.5) dan vaqt bo'yicha birinchi tartibli va ikkinchi tartibli hosila olamiz:

$$x' = -x_0 \omega \sin \omega t,$$

$$x'' = -\omega^2 x_0 \cos \omega t,$$

Buni hisobga olsak, (16.4) quyidagi ko'rinishni oladi:

$$-\omega^2 x_0 \cos \omega t = -\omega_0^2 x_0 \cos \omega t - \frac{e}{m} E_0 \cos \omega t$$

bunda,

$$x_0(\omega^2 - \omega_0^2) = \frac{e}{m} E_0$$

yoki

$$x_0 = \frac{\frac{e}{m} E_0}{\frac{\omega^2}{\omega_0^2} - 1} = -\frac{\frac{e}{m} E_0}{\frac{\omega_0^2}{\omega^2} - 1} \quad (16.6)$$

ifodani hosil qilamiz.

Ikkinchisi tomondan elektromagnit to'lqin ta'sirida elektronning siljishi tufayli hosil bo'lgan sistemani elektr dipoli deb qarash mumkin. Bu dipolning yelkasi  $x$  siljishga teng. Agar  $x_0$  maksimal siljish bo'lsa, dipol momenti  $R_e = -ex_0$  ga teng.

Moddaning birlik hajmdagi atomlar sonini  $N$  deb belgilasak, qutblanish vektori  $R$  ning qiymati

$$P = NP_e = \frac{N \frac{e^2}{m} E_0}{\frac{\omega_0^2}{\omega^2} - 1} \quad (16.7)$$

ko'rinishni oladi.

Kuchlanganligi  $E_0$  bo'lgan maydondagi modda uchun  $R$  dielektrik singdiruvchanligi ( $\epsilon$ ) bilan quyidagicha bog'langan:

$$P = (\epsilon - 1) \epsilon_0 E_0$$

U holda (16.7) dan

$$\frac{N \frac{e^2}{m} E_0}{\frac{\omega_0^2}{\omega^2} - 1} = (\epsilon - 1) \epsilon_0 E_0 \quad (16.8)$$

$$\epsilon = 1 + \frac{N \frac{e^2}{m}}{\epsilon_0 (\omega_0^2 - \omega^2)} \quad (16.9)$$

ekanligi kelib chiqadi. Maksvell nazariyasiga asosan dielektrik singdiruvchanligi  $\epsilon$ , magnit singdiruvchanligi  $\mu$  bo'lgan muhitda elektromagnit to'lqinining tarqalish tezligi

$$u = \frac{c}{\sqrt{\epsilon \mu}} \quad (16.10)$$

bo'ladi. Moddaning sindirish ko'rsatkichi esa

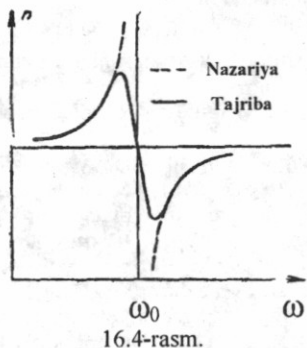
$$n = \frac{c}{u} = \sqrt{\epsilon \mu}, \quad \mu = 1 \quad \text{bo'lsa,}$$

$$n = \sqrt{\epsilon} \quad (16.11)$$

ifoda hosil bo'ladi. (16.10) dan foydalanim (16.11)ni quyidagi ko'rinishda yoza olamiz:

$$n = \sqrt{1 + \frac{N}{\epsilon_0} \cdot \frac{\frac{e^2}{m}}{\omega_0^2 - \omega^2}} \quad (16.12)$$

(16.12) formula asosida hisoblangan  $n$  ning qiymatlarini  $\omega$  ga bog'liqlik grafigi 16.4 -rasmida tasvirlangan.

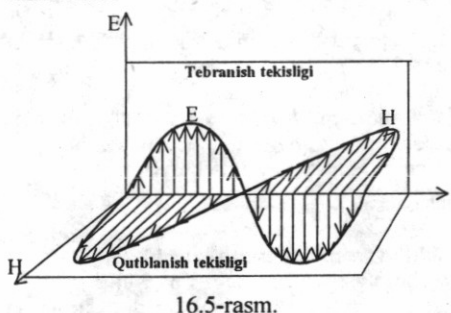


16.4-rasm.

ko'rayoutgan holda «ishqalanish» elektromagnit to'lqinining bir qismini muhitda utilishi tufayli vujudga keladi.

### 16.3. Yorug'likning qutblanishi. Tabiiy va qutblangan yorug'lik

Interferensiya va difraksiya hodisalari ham ko'ngdalang, ham bo'ylama to'lqinlar uchun kuzatiladi. Shu bilan birga shunday hodisalar borki, ular uchun yorug'lik to'lqinining ko'ngdalang to'lqin ekanligi alohida ahamiyatga egadir. Bunday hodisalar qatoriga yorug'likning qutblanishi ham kiradi. Ixtiyoriy yorug'lik manbasi (Quyosh va sham) dan tarqalayotgan yorug'lik nurlari deganda, shu manbaning atomlaridan chiqayotgan yorug'lik to'lqinlarining aralashmasi tushuniladi.



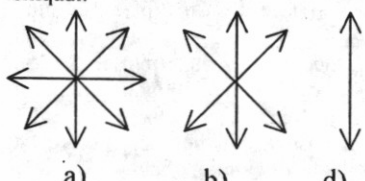
16.5-rasm.

tebranadigan tekislikni tebranish tekisligi va  $\vec{H}$  - vektori tebranadigan tekislikni qutblanish tekisligi deb ataladi (16.5-rasm). Qutblanish hodisasini to'la yoritish uchun  $\vec{E}$  to'g'risida fikr yuritish yetarlidir. Buning sababi, birinchidan, Maksvell

Soddalik uchun tebranayotgan elektr dipoli nurlanishini qarasak, u turli tomonga elektromagnit to'lqinlar chiqarishini, bunda, elektromagnit to'lqin nurlanish yo'nalishi  $\vec{r}$  ga perpendikular, dipol o'qi tekisligida  $\vec{E}$  kuchlanganlik vektorining tebranishini ko'ramiz. Magnit maydon kuchlanganligi vektori  $\vec{H}$  va  $\vec{E}$  o'zaro perpendikular tekislikda tebranadi.  $\vec{E}$  vektor

nazariyasiga binoan  $\vec{E}$  tebranayotgan tekislikka perpendikular tekislikda, albatta,  $\vec{H}$  ham tebranadi, ikkinchidan moddalarga  $\vec{E}$  ning ta'siri  $\vec{H}$  ta'siridan ko'ra ko'proq bo'lar ekan.  $\vec{E}$  yorug'lik vektor deb ataladi. Yorug'lik manbaining o'lchamlari qanchalik kichik bo'lmasin, undagi «nurlangichlar» soni niyoyat ko'p bo'ladi. Boshqacha aytganda, har onda manbadagi milliardlab atomlar to'lqin nurlatishni tugallasa, milliardlab atomlar to'lqin chiqarishni boshlaydi.

Demak, biror jism nurlanayotgan yorug'likda yorug'lik vektori turli yo'naliishlarda bir xil ehtimollikda tebranadi.  $\vec{E}$  ning turli yo'naliishlarda bir xil taqsimlanganligi nurlanayotgan atomlar sonining ko'pligidan, amplituda qiymatlarining tengligi, har bir atom nurlanish intensivligini bir xilligidan kelib chiqadi.



16.6-rasm.

Bunday yorug'lik – tabiiy yorug'lik deyiladi (16.6 a-rasm). Tebranish yo'naliishlari biror usul bilan tartibga keltirilgan yorug'lik qutblangan yorug'lik deyiladi. Biror yo'naliishdagidagi tebranishlari boshqa yo'naliishdagidagi tebranishlarga qaraganda ko'proq bo'lsa, yorug'lik qisman qutblangan yorug'lik deyiladi (16.6 b-rasm).

$\vec{E}$  - vektorining tebranishlari faqat bitta tekislikda sodir bo'ladigan yorug'lik yassi (chiziqli) qutblangan yorug'lik deyiladi (16.6 d-rasm). Yuqorida ko'rib o'tilgan davriy tebranayotgan dipoldan nurlanayotgan elektromagnit to'lqin, yassi qutblangan yorug'likka misol bo'la oladi.

Qutblanish darajasi sifatida

$$P = \frac{I_1 - I_2}{I_1 + I_2} \quad (16.13)$$

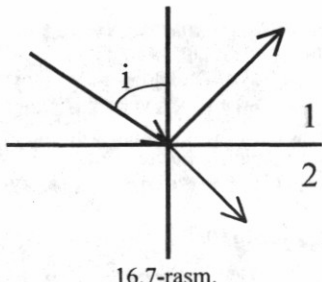
qabul qilingan. Bu yerda  $I_1$ ,  $I_2$  – ikki bir-biriga perpendikular yo'naliishdagidagi yorug'lik intensivligi. Tabiiy yorug'likda bo'lgani uchun  $I_1=I_2$  va  $R=0$  bo'ladi, yassi qutblangan yorug'lik uchun  $I_2=0$  va  $R=1$  bo'ladi.

Yuqorida ko'rib o'tilgan nurlanayotgan atomni har doim dipolning tebranishiga keltirib bo'lmaydi. Dipol nurlanishidan tashqari kvadrupol va boshqa multipollikdagi nurlanishlar mavjud. Bu holda nurlanayotgan yorug'lik bitta tekislikda tebranyapti deb bo'lmaydi va uni endi perpendikular tekisliklarda qutblangan, fazalaridan siljigan ikkita tebranish yig'indisi sifatida qarash mumkin. Eng oddiy holda bunday nur aylana, umumiy holda esa ellips bo'ylab qutblangan bo'ladi, ya'ni  $\vec{E}$  vektor aylana yoki ellips chizadi.

#### 16.4. Yorug'likning qaytishida va sinishida qutblanishi

Tabiiy yorug'lik nuri ikki dielektrik chegarasiga tushayotgan bo'lsin (masalan, havodan shishaga). Bunda nuring bir qismi qaytadi, bir qismi sinadi. Tajribalar qaytgan va singan nurlar qisman qutblanganligini ko'rsatadi. Qaytgan nurda tushish tekisligiga perpendikular yo'naliishdagidagi tebranishlar ko'proq ekanligiga, singan nurda tushish tekisligiga parallel tebranishlar ko'pligi aniqlandi.

Qutblanish darjası nurning tushish burchagiga va sindirish ko'rsatkichiga bog'liq. Shotlandiyalik olim Bryusterning aniqlashicha (16.7-rasm),



16.7-rasm.

$$\operatorname{tg} i = n_{21} \quad (16.14)$$

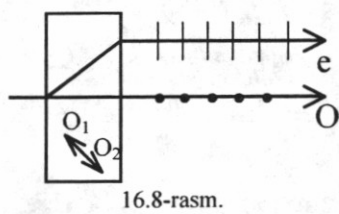
munosabatdan topiladigan  $i$  burchaklarda qaytgan nur to'la yassi, singan nur esa qisman qutblangan bo'lar ekan. Masalan, shisha uchun ( $n=1,53$ ) Bryuster burchagi  $56^\circ$  ga yaqin. Demak, tabiiy yorug'lik nuri shisha plastinkaga  $56^\circ$  burchak hosil qilib tushirilsa, qaytgan nur tushish tekisligiga perpendikular yo'nalişda to'la qutblangan bo'ladi.

Yorug'lik Bryuster burchagi ostida tushganda qaytgan va singan nurlar o'zaro perpendikular bo'ladi. Singan nurning qutblanish

darajasini har safar Bryuster burchagi ostida tushirib oshirish mumkin.

### 16.5. Nurning ikkilanib sinishi. Kristallning optik o'qi

Fizik xususiyatlari yo'nalişlarga bog'liq bo'lmagan muhit **izotrop muhit**, yo'nalişlarga bog'liq bo'lgan muhit esa **anizotrop muhit** deyiladi. Izotrop muhit (masalan, shisha plastinka) da yorug'likning sinish qonuniga bo'ysunadi. Agar island shpatiga yorug'lik tushsa, kristalдан ikki bir-biriga va tushayotgan nurga parallel nur chiqadi. Agar tushayotgan nur kristallga perpendikular bo'lsa ham, singan nur ikkiga bo'linadi. **Bu nurlardan birining elektr tebranishlari kristallning optik o'qiga perpendikular bo'ladi: bu nur oddiy nur (0) deb ataladi. Ikkinci nurning elektr tebranishlari esa bosh optik o'qqa parallel bo'ladi: bu nur g'ayri oddiy nur (e) deyiladi** (16.8-rasm).



16.8-rasm.

Kubik sistemaga kiruvchi kristallardan boshqa hamma kristallar nurni ikkilantirib sindirish xossasiga ega. Bu hodisa bиринчи bo'lib island shpatida Bartolini tomonidan aniqlangan. Bu hodisa yorug'likning anizotrop kristallarda turli yo'nalişlarda  $\epsilon_x, \epsilon_y$  lar har xil bo'lishi mumkinligi bilan bog'liq. Demak, sindirish ko'rsatkichlari

$$(n_x = \sqrt{\epsilon_x}, \quad n_y = \sqrt{\epsilon_y}) \text{ ham har xil.}$$

Shuning uchun nur kristallga tushganda turli burchak ostida sinadi. Kristallarda shunday yo'naliş borki, bu yo'nalişda yorug'lik tarqalganda nurning ikkilanib sinishi kuzatilmaydi. **Bu yo'naliş kristallning optik o'qi deyiladi.** Agar kristall optik o'qqa perpendikular yo'nalişda qirqlisa, shu qirraga normal tushayotgan nur bir xil tezlik bilan tarqaladi. Tabiiy nur optik o'q bo'ylab kyetganda yorug'lik qutblanmaydi.

### 16.6. Qutblovchi prizmalar. Malyus qonuni

Tabiiy yorug'likdan qutblangan yorug'lik olish uchun shunday sharoit yaratish kerakki, bunda, yorug'lik to'lqinining  $\vec{E}$  vektori muayyan aniq bir yo'naliş bo'ylab tebranadigan bo'lsin. Bunday sharoitlar qutblovchi prizmalar (polarizatorlar)da mavjud bo'ladi. Prizmalar ikki turga bo'linadi.

1. Faqat yassi qutblangan nur olinadigan.
2. Bir-biriga perpendikular tekisliklarda qutblangan ikkita nur beradigan prizmalar.

Eng avvalo, Bryuster qonuni asosida ko'p qavatlari kristallardan foydalanib (16.9-rasm) qutblagich yasash mumkinligiga qanoat hosil qilish kerak.

Qutblovchi prizmalar to'la ichki qaytish hodisasi asoslanib ishlaydi. Bunday prizmalarining tipik misoli Nikol prizmasidir.

Nikol prizmasi ikki island shpatidan qilingan  $AV$  chiziq bo'ylab kanada balzami ( $n = 1,55$ ) kley bilan birlashtirilgan qurilmadir. Tabiiy nur kristall ichida oddiy ( $n_o = 1,66$ ) va g'ayri oddiy ( $n_c = 1,51$ ) nurlarga bo'linadi. Oddiy nur kanada balzamidan to'la qaytadi va qoraytirilgan VS sirtda yutiladi. Kristalldan g'ayri oddiy nur chiqadi (16.10-rasm).

Anizotrop muhitlarda nur ikkiga bo'linishidan tashqari turlicha yutiladi. *Dixroizm deb ataluvchi bu hodisa tufayli ikki nurdan biri to'la yutiladi.* Masalan, turmalin kristallida oddiy nurning yutilishi koeffitsiyenti g'ayri oddiy nikidan bir necha marta katta. Qalinligi 1 mm bo'lgan turmalin plastinkasida oddiy nur yutilib, faqat g'ayri oddiy nur chiqadi. Bu esa dixroizmli kristallardan qutblagich sifatida foydalanish imkoniyatini beradi.

Qutblagich sifatida polaroidlar keng qo'llaniladi. Polaroid yupqa selluloid pylonkasidan iborat bo'lib, unga gerapaitit ingichka kristallari kiritilgan bo'ladi. Gerapaititing 0,1 mm qalinlikdagi plastinkasi oddiy nurni to'la yutadi.

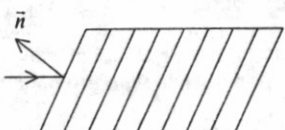
*Agar bir turmalin plastinkasi orqasiga ikkinchi turmalin plastinkasi joylashtirilsa, birinchisi qutblagich, ikkinchisi tahlilchi (analizator) deyiladi.* Ikkinci kristallga tushayotgan yorug'lik intensivligini  $I_o$ , chiquvchi yorug'lik intensivligini  $I$  deb belgilasak,

$$I = I_o \cos^2 \alpha \quad (16.15)$$

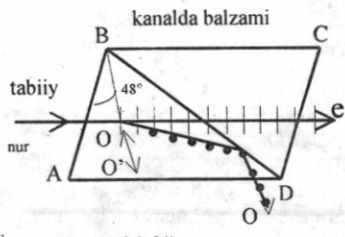
tabiiy yorug'lik intensivligi  $I_1$  bo'lsa,  $I_o = I_1/2$  dir. (16.15) dagi  $\alpha$  – kristallarning optik o'qlari orasidagi burchak (16.15) ifoda Malyus qonunini ifodalaydi.

### 16.7. Yorug'likning sochilishi

Tiniq bo'limgan muhitlarda, ya'ni optik jihatdan bir jinsli bo'limgan muhitda ham yorug'lik difraksiyasi kuzatiladi. Bunday muhitlarga aerosollar (bulut, tutun, tuman), emulsiya, kolloidli eritmalar va hokazolar kiradi, ya'ni mayda zarrachalar suzib yurgan muhitlar kiradi. Yorug'lik bunday muhitdan o'taytib tartibsiz joylashgan bir jinsli bo'limgan joylardan, zarralardan difraksiyalanadi va hamma yo'nalishda bir xil intensivlik beradi, bunda, aniq bir difraksiyon manzara hosil bo'lmaydi. *Bu hodisa tiniq bo'limgan (xira) muhitda, yorug'likning sochilishi deb ataladi.* Misol uchun, Quyosh nurining ingichka dastasi changli havodan o'taytib sochiladi va ko'rindigan bo'lib qoladi.

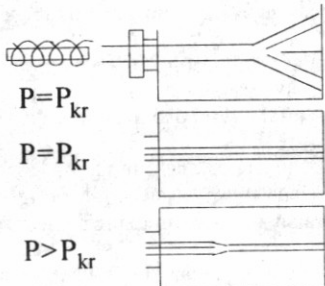


16.9-rasm.



16.10-rasm.

imkoniyatini beradi.



16.11-rasm.

Yorug'likning sochilishi begona zarralari bo'lмаган тоza muhitlarda ham kuzatilishi mumkin. L.I.Mandelstham bu hodisani muhitning sindirish ko'rsatgichining doimiy emasligi bilan, ya'ni nuqtadan nuqtaga o'tganda o'zgarishi bilan tushuntiradi. Keyinchalik M.Smoluchovskiy bunga sabab molekulalar xaotik issiqlik harakati tufayli yuzaga keladigan zichlikning fluktuatsiyalari bo'lishi mumkinligini ko'rsatdi. Bunga sabab yangi muhit anizotropigli bo'lishi mumkin. Bunday sochilishlar **molekulalar sochilishi** deb ataladi. Osmon rangining ko'kligi molekulyar sochilishi bilan tushuntiriladi. D.Relye bo'yicha sochilgan yorug'lik intensivligi  $I \sim \lambda^4$ , shuning uchun havo rang, ko'k nurlar sariq va qizil nurlarga nisbatan ko'p sochiladi va osmon havorang (ko'k) bo'lib ko'rindi. Zichlik va intensivlik fluktuatsiyalari harorat ortishi bilan ortadi. Shuning uchun yozda osmon rangi qishdagidan ko'ra to'yinganroq bo'ladi.

### 16.8. Nochiziqiy optika elementlari

Lazerlar ixtiro qilinganidan so'ng optikada bir qator yangi yo'naliishlar paydo bo'ldi. Bunday hodisalar qatoriga turli muhitlardagi optik hodisalarning yorug'lik intensivligiga bog'liqligi kiradi. Bu hodisalar **nochiziqiy** optikaning yaratilishiga sabab bo'ldi.

Lazer yaratilishidan oldingi optik jarayonlarda yorug'lik intensivligiga bog'liq optik hodisalar kuzatilmas edi. Quvvati  $10^8\text{-}10^{10} \text{ Vt/sm}^2$  bo'lgan yorug'lik dastalari bilan o'tkazilgan tajribalarda yorug'lik intensivligiga bog'liq bo'lgan qator yangi optik effektlar kuzatildi. Ulardan ba'zilarini ko'rib o'taylik.

**O'z-o'zidan fokuslanish.** Parallel yorug'lik oqimi muhitda tarqalganda, difraksiya hodisasi tufayli chekka sohalarga ham tarqaladi. Agar muhit suyuqlik yoki kristall bo'lsa, bunday holat bo'lmasligi ham mumkin ekan.

Shunday tajribalardan birida (16.11-rasm) rubin lazeri ( $\lambda=6943 \text{ A}$  – qizil soha) ning qizil dastasi  $F$  filtrni va dumaloq diafragmadan o'tgandan so'ng shaffof suyuqlik, masalan, **nitrobenzolga** tushadi. Quvvat  $R \sim 0,5 \text{ Vt}$  bo'lganda odatdagи chiziqli optika qonunlariga binoan difraksion manzara hosil bo'ladi.

Quvvat  $R_{kr} \sim 20 \text{ kVt}$  ga teng bo'lsa, yorug'lik chetga tarqalmasdan dasta bo'lib tarqaladi.  $R > R_{kr}$  da dasta muhitda siqilib  $R \sim \frac{1}{\sqrt{P}}$  o'z-o'zidan fokuslanadi. Buning sabababi muhit sindirish ko'rsatkichi yorug'lik intensivligi ortib borishi bilan ortishidir:

$$n = n_0 + n_1 E^2 \quad n_0 = \sqrt{\epsilon_0} \quad (16.16)$$

Bunda nur egallagan soha optik jihatdan zikh bo'lib qoladi va dasta fokuslanadi.

Lazer nurining intensivligi ma'lum chegaraviy intensivlikdan katta bo'lsa, asosiy chastota ( $\omega$ ) ga yo'ldosh sifatida hosil bo'ladigan spektrlar satellitlarning intensivligi ortib ketar ekan va asosiy chastotali chiziqli intensivligiga teng bo'lib qolar ekan. Satellitlar ham ortib ketar ekan hamda  $\omega \pm 2\Omega$ ;  $\omega \pm 3\Omega$ ;  $\omega \pm 4\Omega$  va hokazo

komponentlar paydo bo'lar ekan. Ayniqsa, bu hodisa rubin lazer nurini siqilgan gaz (vodorod, azot) da sochilishida yorqin namoyon bo'ladi. Intensivlik  $10^8 - 10^9 \text{ Vt/sm}^2$  yetganda, sochilgan nur tarkibidagi komponentlar shu darajada ko'payadiki, tushayotgan qizil bo'lgan nur chiqishda oq yorug'likka aylanadi. Shunday qilib, muhit bilan ta'sirlashish natijasida yorug'likning spektral tarkibi ham o'zgaradi.

### Optik garmonikalarni generatsiyalash.

Intensiv lazer nuri suyuqlik va kristallarda sochilaganda spektrining yo'ldosh komponentlari bilan birgalikda tushuvchi yorug'lik chastotasi  $\omega$  ga karrali bo'lgan  $2\omega, 3\omega, \dots$  - optik garmonikalar ham generatsiyalanishi aniqlangan. Ba'zi kristallarda optik garmonikalarning intensivligi shu darajada katta bo'ladi, ularga nurlarning 30 - 50 % quvvati to'g'ri keladi. Misol uchun rubin lazerining kuchli nur dastasi qvarsdan o'tganda lazer nuri to'lqin uzunligiga to'g'ri keluvchi nur ( $\lambda=6943 \text{ A}$ ) bilan birga  $\lambda/2 = 3471 \text{ A}$  ga teng bo'lgan ultrabinafsha nur borligi aniqlangan.

Xuddi shuningdek, ko'zga ko'rinnmaydigan infraqizil ( $\lambda=10600 \text{ A}$ ) neodim lazer yorug'lik dastasi kristallga tushirliganda, chiqishda ikkinchi garmonika ko'rinvuchi ko'k sohaga to'g'ri keladi ( $\lambda_2 = 5330 \text{ A}$ ).

Bundan tashqari, kuchli dasta ta'sirida muhit shaffofligi ham o'zgarar ekan. Kuchsiz intensivlikda shaffof bo'lgan muhit, kuchli intensivlikda shaffof bo'lmay qolar ekan. Boshqa muhitlarda aksi bo'lishi mumkin. Kuchli yorug'lik ta'sirida fotoeffektning qizil chegarasi buzilar ekan. Fotoeffektning ionlashtirish energiyasidan 2-3 ba'zida 6-7 marta kam energiyali fotonlar bilan amalgalashirilishi mumkin.

Shunday qilib, yorug'lik intensivligining ortishi ma'lum optik hodisalarining yangi qirralarini va yangi effektlarni ochish imkonini berdi. Bunda intensivlik  $I$   $\text{Vt/sm}^2$  dan  $\sim 10^{10} - 10^{11} \text{ Vt/sm}^2$  gacha, ya'ni  $10^9 - 10^{10}$  marta ortadi. Bu hodisalarini birlashtiruvchi umumiy narsa: ularning tabiatini intensivlikka bog'liqligidir. Bu effektlarning aksariyat ko'pchiligidagi intensivlik chegarasi mavjud.

### Savollar

1. Yorug'lik dispersiyasi deb nimaga aytildi? Nyuton tajribalari orqali tushuntiring.
2. Normal va anomal dispersiya qanday shartlar asosida moddaning sindirish ko'rsatgichi bilan yorug'lik chastotasi orasidagi bog'lanishni ifodalaydi.
3. Dispersiyaning elektron nazariyasini tushuntirishda yorug'likning elektrongra ta'sirini hisoblash bilan chegaralansa bo'ladi mi?
4. Yorug'lik to'lqinining ko'ndalang to'lqin ekanligi, yorug'likning qutblanishini izohlash qanday ahamiyatga ega?
5. Nurning ikkilanib sinishini tushuntirishda, elektr tebranishlarini kristallning optik o'qiga munosabati qanday bo'ladi?
6. Tabiiy yorug'likdan qanday qilib, yassi qutblangan yorug'lik olish mumkin?
7. Nikol prizmasida nur yo'lini ko'rsating va qanday nurlar chiqishini izohlang?
8. Malyus qonunining ifodasini yozing va ikki turmalin plastinkalarning vazifasini eslatib o'ting.
9. Xira muhitda va toza muhitlarda yorug'likning sochilishi qanday tushuntiriladi?

### Masalalar

**60-masala.** Suvning sirtiga to'lqin uzunligi  $\lambda_0 = 700 \text{ nm}$  bo'lgan qizil yorug'lik nurlari tushmoqda. Suvning qizil yorug'lik nurlari uchun absolut sindirish ko'rsatgichi  $n=1,331$  ga teng bo'lsa, bu nuring suvdagi to'lqin uzunligi  $\lambda$  topilsin. Suv tubida turgan kishi qanday rangli yorug'lik nurini ko'radi? Yorug'likning vakuumda tarqalish tezligi  $s=3 \cdot 10^8 \text{ m/s}$

$$\lambda_0 = 700 \text{ nm} = 700 \cdot 10^{-9} \text{ m} = 7 \cdot 10^{-7} \text{ m},$$

Berilgan:  $n = 1,331, c = 3 \cdot 10^8 \text{ m/s}$

$$\lambda \sim ?$$

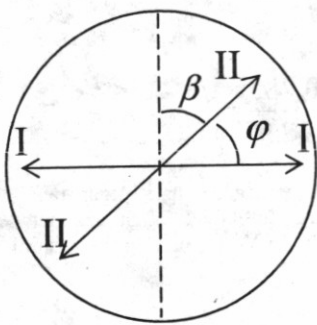
**Yechish:** Yorug'lik nurining vakuumdagi to'lqin uzunligi  $\lambda = \frac{c}{V}$  bo'lib,

bunda,  $s$  – yorug'likning tarqalish tezligi,  $V$  – uning chastotasi. Yorug'lik nuri bu muhitdan boshqa muhitga o'tganda, uning chastotasi o'zgarmay qolib, tarqalish tezligi va to'lqin uzunligi o'zgaradi. Agar yorug'lik nurining suvdagi tarqalish tezligi  $v$  va to'lqin uzunligi  $\lambda$  bo'lsa,  $\lambda = \frac{v}{V}$  bo'ladi, bundan

$\vartheta = \frac{c}{n} \text{ va } V = \frac{c}{\lambda_0}$  bo'lgani uchun quyidagi ishchi formula kelib chiqadi:

$$\lambda = \frac{\vartheta}{V} = \frac{c/n}{c/\lambda_0} = \frac{\lambda_0}{n} = \frac{7 \cdot 10^{-7}}{1,331} = 5,26 \cdot 10^{-7} \text{ m} = 526 \text{ nm}$$

To'lqin uzunligi  $\lambda=526 \text{ nm}$ . ga teng bo'lgan yorug'lik nuri qizil emas, yashil nurdan iborat bo'ladi. Lekin suv tubidagi kishi yashil nurni emas, qizil nurni ko'radi, chunki inson ko'zining rangni ajratishi yorug'likning to'lqin uzunligiga qarab emas, balki to'lqinning chastotasiga qarab belgilanadi.



**61-masala.** Qutblagichga tusha-yotgan yassi qutblangan monoxromatik yorug'lik dastasi unda to'la utilib qolmoqda. Yorug'lik dastasi yo'liga kvars plastinkasi qo'yilganda qutblagichdan chiqayotgan yorug'likning intensivligi unga tushayotgan yorug'likning intensivligining yarmiga teng bo'lib qoladi. Kvars plastinkasining minimal qalinligini aniqlang. Qutblagichda yorug'likning yutilishini va qaytishini hisobga olmang. Kvarsning aylantirish doimisi  $\alpha=48,9 \text{ grad/mm}$  deb oling.

16.12-rasm.

$$\text{Berilgan: } \frac{\alpha = 48,9 \text{ grad} / mm,}{d \sim ?} \quad \frac{I}{I_0} = \frac{1}{2}.$$

**Yechish:** Qutblagichda (16.12-rasm) yorug'likning to'la tutilib qolishi unga tushayotgan qutblangan yorug'likning tebranish tekisligi (1-1) qutblagichning o'tkazish tekisligiga (16.12-rasmda shtrix chiziq) perpendikular ekanligini bildiradi. Kvars plastinkasining kiritilishi yorug'lik tebranish tekisligini

$$\varphi = \alpha \cdot d \quad (1)$$

burchakka burlishiga olib keladi, bunda,  $d$  – plastinkaning qaliligi.

Qutblagichdan o'tganda yorug'lik intensivligining necha marta kamayganligini bilgan holda, qutblagich o'tkazish tekisligi bilan unga tushayotgan yassi qutblangan yorug'lik tebranish tekisligining yangi yo'nalishi (II-II) orasida hosil bo'lgan burchak  $\beta$  ni aniqlaymiz. Buning uchun Malyus qonunidan foydalanamiz:

$$I = I_0 \cos^2 \beta,$$

$\beta = \frac{\pi}{2} - \varphi$  ekanligini nazarda tutsak,

$$I = I_0 \cos^2 \left( \frac{\pi}{2} - \varphi \right)$$

yoki

$$I = I_0 \sin^2 \varphi. \quad (2)$$

(1) ni hisobga olsak, (2) tenglikdan

$$\alpha d = \arcsin \sqrt{I/I_0}$$

ni hosil qilamiz. Bundan plastinkaning izlanayotgan qaliligini topamiz:

$$d = \left( \frac{1}{\alpha} \right) \arcsin \sqrt{\frac{I}{I_0}}.$$

Sistemaga kirmagan birliklarda hisoblashni bajarsak:

$$d = \frac{1}{48,9} \arcsin \sqrt{1/2} mm = \frac{0,785}{48,9} = 16 m km.$$

**62-masala.** Agar qutblagich (polarizator) va analizator orqali o'tgan tabiiy yorug'likning intensivligi 4 marta kamaygan bo'lsa, qutblagich bilan analizator asosiy tekisliklari orasidagi  $\alpha$  burchak nimaga teng? Yorug'likning yutilishini hisobga olmang.

$$\text{Berilgan: } \frac{I/I_T = 4 \text{ marta}}{\alpha \sim ?}$$

**Yechish:** Yorug'lik qutblagichdan o'tganda intensivligi ikki marta kamayadi.

Shuning uchun  $I_0 = \frac{1}{2} I_T$ , bu yerda,  $I_t$  – tabiiy yorug'likning intensivligi.  $I_0$  – qutblagich orqali o'tgan yorug'likning intensivligi.

Yorug'lik analizatordan o'tganda intensivligi Malyus qonuniga muvofiq kamayadi, ya'ni

$$I = I_0 \cos^2 2,$$

bu yerda,  $I$  – analizator orqali o'tgan yorug'likning intensivligi, biroq masalaning

shartiga ko'ra  $I = \frac{1}{4} I_T$ . Shuning uchun

$$\frac{1}{4} I_T = \frac{1}{2} I_0 \cos^2 \alpha,$$

bundan

$$\cos \alpha = \frac{\sqrt{2}}{2} \quad va \quad \alpha = 45^\circ.$$

**63-masala.** Qisman qutblangan yorug'lik dastasi nikol orqali qaraladi. Dastlab nikol shunday o'rnatiladiki, uning o'tkazish tekisligi chiziqli qutblangan yorug'likning tebranish tekisligiga parallel bo'ladi. Nikol  $\varphi=60^\circ$  ga burilganda u o'tkazayotgan yorug'lik intensivligi  $k=2$  marta kamayadi. Berilgan qisman qutblangan yorug'likning tashkil etuvchilari bo'lmish tabiiy va chiziqli qutblangan yorug'liklar intensivliklarining nisbati  $I_0/I_q$  hamda yorug'lik dastasining qutblanish darajasi aniqlansin.

$$\text{Berilgan: } \frac{\varphi = 60^\circ}{I_0 / I_q \sim ?} \quad k - 2 \text{ marta} \quad P \sim ?$$

**Yechish:** Tabiiy yorug'lik intensivligi  $I_T$  ning qutblangan yorug'lik intensivligi  $I_q$  ga nisbatini quyidagi mulohazalardan topamiz. Nikolning dastlabki holatida u chiziqli-qutblangan yorug'likni to'la va tabiiy yorug'likning yarmini o'tkazadi. Bunda o'tkazilgan yorug'likning to'la intensivligi

$$I_1 = I_q + \frac{1}{2} I_T.$$

Nikolning ikkinchi holatida esa o'tkazilgan qutblangan yorug'likning intensivligi Malyus qonuni bilan aniqlanadi, o'tkazilgan tabiiy yorug'likning intensivligi esa birinchi holdagidek, nikolga tushayotgan tabiiy yorug'lik intensivligining yarmiga teng. Ikkinchi holda to'la intensivlik

$$I_2 = I_q \cos^2 \alpha + \frac{1}{2} I_T.$$

Masalaning shartiga ko'ra.  $I_1 = k I_2$  yoki

$$I_q + \frac{1}{2} I_T = k \left( I_k \cos^2 \alpha + \frac{1}{2} I_T \right).$$

Bunga burchak  $\varphi$ ,  $k$  larning qiymatlarini qo'yib hisoblaymiz:

$$I_T/I_q = 1 \text{ yoki } I_T = I_q,$$

ya'ni berilgan dastada tabiiy va qutblangan yorug'likning intensivliklari o'zaro teng.

Qisman qutblangan yorug'likning qutblanish darajasi

$$P = \frac{I_{\max} - I_{\min}}{I_{\max} + I_{\min}} \quad (1)$$

munosabat bilan aniqlanadi, bunda,  $I_{\max}$  va  $I_{\min}$  nikoldan o'tkazilgan yorug'likning mos ravishda maksimal va minimal intensivliklari.

Maksimal intensivlik  $I_{\max} = I_1 = I_q + \frac{1}{2} I_T$  yoki  $I_T = I_q$  ekanligi hisobga olinsin,

$$I_{\max} = \frac{3}{2} I_q$$

Minimal intensivlik nikolning o'tkazish tekisligi chiziqli qutblangan yorug'likning tebranish tekisligida tik yo'nalgan holatiga mos keladi. Nikolning bunday holatida qutblangan yorug'lik to'la yutiladi va nikol orqali faqat tabiiy yorug'lik intensivligining yarmigina o'tadi. To'la intensivlik quyidagi tenglik bilan ifodalanadi:

$$I_{\min} = \frac{1}{2} I_T = \frac{1}{2} I_q$$

$I_{\max}$  va  $I_{\min}$  larning topilgan ifodalarini (1) formulaga qo'yib natijani olamiz:

$$P = \frac{\frac{3}{2} I_q - \frac{1}{2} I_q}{\frac{3}{2} I_q + \frac{1}{2} I_q} = \frac{1}{2}$$

Shunday qilib, yorug'lik dastasining qutblanish darajasi  $P = \frac{1}{2}$ .

## XVII bob. YORUG'LIKNING KVANT TABIATI

### 17.1. Issiqlik nurlanishi. Absolut qora jism nurlanishidagi qonuniyatlar

Yuqorida bo'limlarda ta'kidlaganimizdek, elektromagnit nurlanishi elektr zaryadlarining, xususan, moddaning atomlari va molekulalari tarkibiga kiruvchi zaryadlarning tebranishi sabab bo'ladi. Masalan, molekulalar va atomlarning tebranma va aylanma harakati infraqizil nurlarni, atomda elektronlarning muayyan ko'chishlari ko'rindigan va infraqizil nurlanishni, erkin elektronlarning tormozlanishi esa rentgen nurlanishini vujudga keltiradi.

*Tabiatda elektromagnit nurlanishning eng keng targalgan turi issiqlik nurlanishi bo'lib, u moddaning atomlari va molekulalarining issiqlik harakati energiyasi, ya'ni moddaning ichki energiyasi hisobiga hosil bo'lib, nurlanayotgan jismning sovishiga olib keladi.* Issiqliknинг nurlanishida energiya taqsimoti haroratga bog'liq: past haroratda issiqlik nurlanishi, asosan, infraqizil nurlanishidan, yuqori haroratlarda ko'rindigan va ultrabinfafsha nurlanishdan iborat.

Har qanday jism o'z nurlanishi bilan birga atrofdagi jismlar chiqarayotgan nur energiyasining bir qismini yutadi. *Bu jarayon nur yutish deyiladi. Biror yuza orqali o'tayotgan F oqim deb vaqt birligi ichida shu yuzadan o'tayotgan nurlanish energiyasi tushuniladi.*

$$F = \frac{dW}{dt} \quad (17.1)$$

Nurlanish oqimi  $F$  biror plastinkaga tushayotgan bo'lsin. Bu oqim qisman qaytadi ( $F_q$ ), qisman jismda yutiladi ( $F_{yu}$ ), qolgan jismdan o'tadi ( $F_o$ ), ya'ni

$$F_q + F_{yu} + F_o = F \quad (17.2)$$

$F_q/F = \rho$  – jismning nur qaytarish qobiliyati;

$F_{yu}/F = a$  – jismning nur yutish qibiliyati;

$F_o/F = d$  – jismning nur o'tkazish qobiliyati.

Bu belgilardan foydalaniib (17.2) ni quyidagicha yozamiz:

$$\rho + a + d = 1 \quad (17.3)$$

Nisbatan qalinroq bo'lgan jismlar uchun  $d=0$ , u holda (17.3) quyidagi ko'rinishni oladi.

$$\rho + a = 1 \quad (17.4)$$

Tajribalarni ko'rsatishicha  $\rho$  va  $a$  ning qiymatlari  $\lambda$  va  $T$  larning funksiyasidir

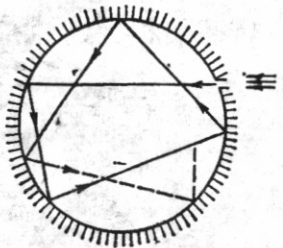
$$\rho_{\lambda,T} + a_{\lambda,T} = 1 \quad (17.5)$$

Umuman,  $\rho_{\lambda,T}$  va  $a_{\lambda,T}$  larning qiymatlari 0 dan 1 gacha o'zgaradi,

1)  $\rho_{\lambda,T} = 1, a_{\lambda,T} = 0$  nur to'la qaytariladi (absolut oq jism).

2)  $\rho_{\lambda,T} = 0, a_{\lambda,T} = 1$  nur to'la yutiladi (absolut qora jism).

Tabiatda absolut oq jism ham, absolut qora jism ham bo'lmaydi. Har qanday jism tushayotgan nurlanishning bir qismini yutsa, qolgan qismini qaytaradi. Farqi shundaki, ba'zi jismlar ko'proq qismini yutib ozrog'ini qaytarsa, boshqa jismlar



17.1-rasm.

aksincha ko'prog'ini qaytarib, ozrog'ini yutadi. Masalan, qorakuya uchun  $\lambda=0,40+0,75 \text{ mkm}$  sohada  $a_{\lambda,T}=0,99$ .

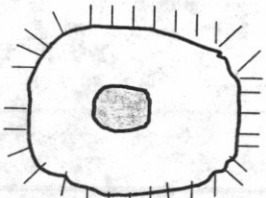
*Nur yutish qobiliyati hamma to'lqin uzunliklar uchun bir xil va birdan kichik bo'lgan jism kulrang jism deb ataladi.*

$$a_{\lambda,T} = a_T = \text{const} < 1 \quad (17.6)$$

Odatda, o'zining xususiyatlari bilan absolut qora jismdan kam farq qiladigan Mixelson taklif etgan modeldan foydalilanildi (17.1-rasm). Bunday model juda kichik teshigi bo'lgan berk to'lqin uzunligdagi nur teshik orqali kovakka kirib ko'p marta qaytib, nur energiyasining bir qismi yutiladi, natijada nur energiyasining juda kichik ulushigina kovakdan qaytib chiqishi mumkin. Shuning uchun bunday modelning nur yutish qobiliyati 1 ga juda yaqin bo'ladi.

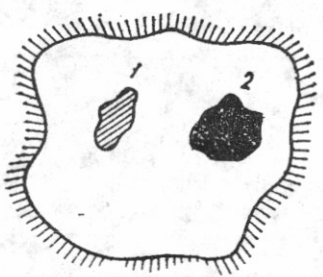
Bu modelda nur qaytarish va nur yutish qobiliyatidan tashqari  $T$  haroratdagagi jismning birlik sirtidan birlik vaqtida nurlanayotgan elektromagnit to'lqinlarning energiyasini ifodalaydigan kattalik –  $T$  haroratdagagi jismning **nur chiqarish qobiliyati yoki energetik yolqinligi** ( $e_t$ , orqali belgilanadi va  $Vt/m^2$ , ( $J/m^2$ ) bilan o'chanadi) degan tushuncha

kovak idishdan iborat. Ixtiyoriy qolgach, uning ichki devoridan



17.2-rasm.

kiritiladi. Bundan tashqari,  $\lambda$  to'lqin uzunlikli,  $T$  – haroratdagagi jism nur chiqarish qobiliyati  $e_{\lambda T}$  dan foydalilanildi. Absolut qora jism nur chiqarish qobiliyati  $E_{\lambda T}$  bilan belgilanadi.



17.3 -rasm.

deb yuritiladi. Endi qobiq ichida 2 ta (17.3-rasm) bir xil haroratdagagi jism bo'lsin. Agar jismlardan biri ko'proq yutayotgan bo'lsa, bu jismning harorati ortib ketadi. Buning evaziga 2 – jismning harorati kamayib ketishi kerak. Lekin bu termodinamikaning 2 – qonuniga ziddir. Aytaylik 1 – jism oddiy, 2 – jism absolut qora jism bo'lsin:

**nur chiqarish  $1 e_T$ ;  $2 E_T$**

**nur yutish  $\alpha_T$  ; 1**

1-jism, 2-jism nurlantirgan energiyaning  $\alpha_T$  qismini, ya'ni  $\alpha_T E_T$  energiyani yutadi. Demak, 1-jism uchun  $e_T = \alpha_T E_T$ , 2-jism 1-jism chiqargan  $e_T$  energiyani va bu jism qaytargan  $(1 - \alpha_T)E_T$  energiyani yutadi, ya'ni 2-jism uchun  $E_T = e_T + (1 - \alpha_T)E_T$ .

Bulardan

$$\frac{e_T}{\alpha_T} = E_T \quad (17.7)$$

Bu Kirxgofning integral qonunidir: har qanday jismning muayyan haroratdagi to'la nur chiqarish va nur yutish qobiliyatining nisbati o'zgarmas kattalik bo'lib, u ayni haroratdagi absolut qora jismning to'la nur chiqarish qibiliyatiga teng.

Agar ikkala jism oraliqiga  $\lambda$  dan  $\lambda + d\lambda$  gacha to'lqin uzunlikdagi nurlanishni o'tkazib, qolganlarini qaytarib yuborgan filtrga joylashtirsak, Kirxgofning differensial qonunini olamiz,

$$\frac{e_{\lambda,T}}{\alpha_{\lambda,E}} = E_{\lambda,T} \quad (17.8)$$

*Ixtiyoriy jismning nur chiqarish va nur yutish qobiliyatlarining nisbati bu jismning tabiatiga bog'liq bo'lmay, barcha jismlar uchun to'lqin uzunlik va haroratning universal funksiyasiidir va u absolut qora jismning nur chiqarish qobiliyati  $E_{\lambda,T}$  ga tengdir.*

Issiqlik nurlanish nazariyasining eng asosiy vazifasi absolut qora jism uchun  $E_{\lambda,T}$  ning ko'rinishini topishdir.

*Absolut qora jismning to'la nur chiqarish qobiliyati haroratning 4 darajasiga proporsionaldir*

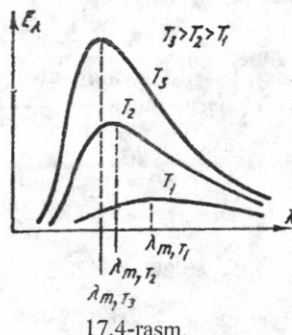
$$E_T = \sigma T^4 \quad (17.9)$$

bunda,  $\sigma$  – Stefan-Bolsman doimiysi ( $\sigma = 5,67 \cdot 10^{-8} \text{ Vt/m}^2 \text{K}^4$ ) (17.9) ifoda **Stefan-Bolsman qonuni deb ataladi**.

Bu formulani Stefan tajriba natijalarini tahlil qilish natijasida topdi, lekin xato qilib ixtiyoriy jism uchun o'rinci deb hisobladi. Bolsman esa bu qonunni termodinamik usul asosida topdi va absolut qora jism uchun o'rinci ekanligini ko'rsatdi. Ba'zi ishlarda bu qonun ixtiyoriy jism uchun o'rinci ko'rinishini topishga harakatlar bo'ldi:  $E_T = BT^n$  lekin V ham n ham turli xil haroratlar uchun turli bo'lib chiqaveradi. 17.4-rasmda absolut qora jism nur chiqarish qobiliyatining to'lqin uzunligiga bog'liqligi (spektral taqsimoti) turli  $T$  lar uchun keltirilgan.

1. Unda absolut qora jism nurlanish spektri uzlusizligi.

2. Har bir haroratga oid bo'lgan nurlanishning energetika taqsimotini ifodalovchi egri chiziqda aniq maksimum



bo'lib, u harorat oshgan sari qisqa to'lqin sohasiga siljishi ko'rinish turibdi.

*Vinning siljish* qonuni deb ataladigan qonun ana shu maksimumlar asosida ta'riflanadi: *absolut qora jism nur chiqarish qobiliyatining maksimumga mos keluvchi  $\lambda_m$  to'lqin uzunligining temperatura ko'paytmasi o'zgarmas kattalikdir:*

$$\lambda_m T = b \quad (17.10)$$

bunda,  $v$  – Vin doimiysi,  $v = 2,898 \cdot 10^3 m \cdot K$  (17.10) dan ko'rindaniki,  $T$  qancha yuqori bo'lsa,  $\lambda_m$  shuncha kichikroq qiymatga ega bo'ladi, ya'ni harorat oshgan sari absolut qora jism nur chiqarish, qibiliyatining maksimumi qisqa to'lqin uzunliklar sohasiga siljydi.

17.4-rasmda grafikni tushuntirish uchun ko'p urinishlar bo'lgan. Bulardan Vin termodynamik mulohazalar asosida

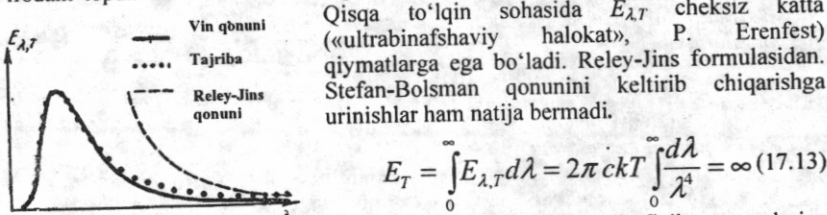
$$E_{\lambda,T} = \frac{\alpha}{\lambda^\beta} e^{-\frac{\beta}{\lambda T}} \quad (17.11)$$

ifodani hosil qiladi. Bunda  $\alpha$  va  $\beta$  – tajribalardan foydalanib tanlanadigan doimiylardir. Vin taklif etgan (17.11) ifoda qisqa to'lqin uzunliklar sohasida yaxshi mos keladi. Lekin katta to'lqin uzunliklar sohasida Vin formulasi  $E_{\lambda,T}$  uchun tajribadagidan kichikroq qiymatlarni beradi.

Reley va Jins issiqlik nurlanishiga statistik fizika uslublaridan foydalanib, absolut qora jism nur chiqarish qibiliyatini uchun

$$E_{\lambda,T} = \frac{2\pi c k T}{\lambda^4} \quad (17.12)$$

ifodani topdi. Bu ifoda katta to'lqin uzunliklar sohasida tajriba bilan mos keladi.



17.5-rasm.

Reley-Jins ifodasi klassik fizika qonunlariga qat'iy amal qilgan holda chiqarilgan bo'lib, u muhim tajribalar natijalarini tushuntirishga qodir emasligini ko'rsatadi. Shunda Maks Plank (1900)- bu yerda, klassik fizika asosida kamchiliklar bor degan xulosaga keladi va o'z gipotezasini ilgari surdi: ya'ni **jismlarning nurlanishi uzlusiz emas, balki alohida kvantlar sifatida chiqariladi**. Har bir nurlanish kvantining egnergiyasi:

$$\varepsilon = h\nu = h\frac{c}{\lambda} \quad (17.14)$$

ga teng. Bunda  $\nu = \frac{c}{\lambda}$  nurlanishning chastotasi  $h$  – Plank doimiysi ( $h=6,62 \cdot 10^{-34}$  J.s).

(17.14) ga asosan  $\lambda \rightarrow 0$  da kvant energiyasi shu darajada ortib ketadiki, natijada

jism issiqlik harakatining energiyasi, hatto bittagina kvant chiqarishga ham yetmaydi va  $E_{\lambda,T}$  ning qiymati keskin kamayib ketadi.

Issiqlik nurlanishi uchun Plank:

$$E_{\lambda,T} = \frac{2\pi hc^2}{\lambda^5} \cdot \frac{1}{e^{\frac{hc}{\lambda kT}} - 1} \quad (17.15)$$

formulani chiqardi. **Bu formula Plank formulasi deb** ataladi. Bu formula tajribada olingan natijalarini to'la tushuntiradi va undan absolut qora jism nurlanishi uchun olingan hamma qonunlar kelib chiqadi. Bundan 1. Stefan-Bolsman qonunini olish uchun (17.15)ni to'lqin uzunlikning 0 dan  $\infty$  gacha intervalida integrallaymiz:

$$E_T = \int_0^\infty E_{\lambda,T} d\lambda = 2\pi hc^2 \int_0^\infty \frac{d\lambda}{\lambda^5 (e^{\frac{hc}{\lambda kT}} - 1)} \quad (17.16)$$

Hisoblashlarni bajarish uchun yangi o'zgartiruvchilarni kiritaylik:

$$x = \frac{\lambda kT}{hc}; \lambda = \frac{hc}{\kappa T} x; d\lambda = \frac{hc}{\kappa T} dx;$$

Bularni (17.16) ga qo'yasak:

$$E_T = 2\pi hc^2 \left( \frac{\kappa T}{hc} \right)^4 \int_0^\infty \frac{dx}{x^5 (e^{\frac{1}{x}} - 1)}$$

ifodani hosil qilamiz. Bundagi integral  $\pi^4/15$  ga teng. Shuning uchun

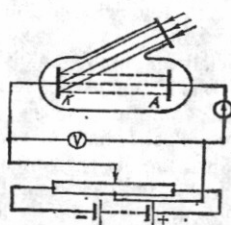
$$E_T = \frac{2\pi^5 \kappa^4}{15 c^2 h^3} T^4 = \sigma T^4$$

Bu ifodada

$$\sigma = \frac{2\pi^5 \kappa^4}{15 c^2 h^3} \quad (17.17)$$

Stefan-Bolsman doimiyisidir.

2. Plank formulasidan Vinning siljish qonunini topish uchun maksimumga mos keluvchi  $\lambda_m$  ni topish kerak, buning uchun



17.6 -rasm.

$$\frac{dE_{\lambda,T}}{d\lambda} = 0$$

Hosila olib nolga tenglashtirib, olingan tenglamani yechsak,

$$\lambda_m = \frac{hc}{4,97 \kappa T}$$

ko'rinishda bo'ladi. Bu ifodani

$$\lambda_m T = \frac{hc}{4,97 \kappa} \quad (17.18)$$

shaklga yozib, uning o'ng tomondagi hadni

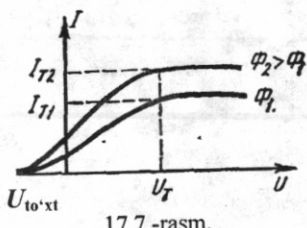
$$\epsilon = \frac{hc}{4,97\kappa}$$

tenglab hisoblash mumkin.

## 17.2. Fotoeffekt va uning qonunlari

*Yorug'lik ta'sirida jismidan elektronlarning ajralib chiqish hodisasiga fotoeffekt deb ataladi.* Bu hodisani birinchi bo'lib, 1887-yilda G.Gers kuzatgan. Biroq uning xossalarni har tomonlama chuqur o'rgangan va qonunlar yaratgan olim, rus fizigi A.G.Stoletovdir. 1898-yilda Lenard va Tomsonlar fotoeffekt natijasida katoddan ajralib chiquvchi zarralar elektronlardan iborat ekanligini zarralarning magnit maydonida og'ishga asoslanib aniqladilar.

Fotoeffekt hodisasini kuzatish uchun havosi so'rib olingen shisha idish ikki metall elektrod-katod va anodlar tashqi ampermestr zanjiriga ulangan (17.6-rasm). O'tkazilgan tajribalar natijasida 17.7-rasmda tasvirlangan volt-amper xarakteristikasi olingen.



17.7 -rasm.

Fotoeffektning 4 ta asosiy qonuni bor:

1. Muayyan fotokatodga tushayotgan yorug'likning spektral tarkibi o'zgarmas bo'lsa, fototokning to'yinish qiymati yorug'lik oqimiga to'g'ri proporsional (17.7-rasm).

2. Muayyan fotokatoddan ajralib chiqayotgan fotoelektronlar boshlang'ich tezliklarining maksimal qiymati yorug'lik intensivligiga bog'liq emas. Yorug'likning to'lqin uzunligi o'zgarsa, fotoelektronlarning maksimal tezliklari ham o'zgaradi.

3. Har bir fotokatod biror «qizil chegara» mavjud bo'lib, undan kattaroq to'lqin uzunlikli yorug'lik ta'sirida fotoeffekt vujudga kelmaydi.  $\lambda_k$  ning qiymati yorug'lik intensivligiga mutlaqo bog'liq emas, u faqat fotokatod materialining kimyoiyi tabiatiga va sirtining holatiga bog'liq.

4. Yorug'likning fotokatodga tushishi bilan fotoelektronlarning hosil bo'lishi orasida sezilarli vaqt o'tmaydi.

Fotoeffektning I-qonunini to'lqin nazariyasi asosida tushuntirish mumkin. Lekin to'lqin nazariyaga 2, 3 va 4-qonunlarni tushuntirishga ojizlik qiladi.

To'lqin nazariyaga asosan fotokatodga tushayotgan intixiyoriy to'lqin uzunlikdagi yorug'likning intensivligi ortgan sari ajralib chiqayotgan fotoelektronlarning energiyasi ham ortishi kerak edi. Ammo fotoelektronlarning energiyasi yorug'lik intensivligiga mutlaqo bog'liq emas.

Ikkinchidan, to'lqin nazariyaga asosan, elektron metalldan ajralib chiqishi uchun kerakli energiyani har qanday yorug'likdan olishi mumkin, ya'ni yorug'likning to'lqin uzunligining ahamiyati yo'q. Faqat yorug'lik intensivligi yetarlicha katta bo'lishi lozim. Lekin to'lqin uzunligi «qizil chegaradan» katta bo'lgan yorug'likning intensivligi har qancha katta bo'lsa ham, fotoeffekt vujudga kelmaydi. Aksincha, to'lqin uzunligi «qizil chegaradan» kichik bo'lgan yorug'lik kelmaydi. Ammo zaif intensivligi niyoyatda zaif bo'lsa ham fotoeffekt kuzatiladi. Ammo zaif intensivligi niyoyatda yorug'lik tushayotgan taqqirda, to'lqin nazariyaga asosan yorug'lik to'lqinlari tashib kelgan energiyalar hisobiga metalldagi elektron ma'lum miqdordagi energiyani jamg'arib olishi kerak, chunki bu energiya elektronning

metalldan chiqishi (ya'ni chiqish ishi  $A_{ch}$ ) uchun yetarli bo'lgandagina fotoeffekt sodir bo'ladi. Hisoblashlarning ko'satishicha intensivligi juda kam bo'lgan yorug'likdan  $A_{ch}$  ga yetarli energiyani elektron jamg'arib olishi uchun soatlab ba'zan sutkalab vaqt kerak bo'ladi. Tajribalarda esa metallga yorug'likning tushishi va fotoelektronlarning vujudga kelishi orasida  $10^{-9}$  s vaqt o'tadi. xolos.

Demak, yorug'likning to'lqin nazariyasi va fotoeffekt orasida yuqorida bayon qilingan mos kelmasliklar mavjud. Bu kamchiliklarning sabablarini aniqlash uchun 1905-yilda A.Eynshteyn yorug'likni kvant nazariyasini taklif qildi. Eynshteyn Plank nazariyasini yorug'likka nisbatan qo'llab, yorug'lik kvantlar tariqasida nurlanibgina qolmay, balki yorug'lik energiyasining tarqalishi ham, yutilishi ham, kvantlashgan bo'lishini ta'kidladi.

**Bunda yorug'lik fotonlar (yorug'lik zarralari) sifatida qaraladi.**  $h\nu$  energiyaga ega bo'lgan foton o'z energiyasini metalldag'i elektronga beradi. Agar bu energiya yetarlicha katta bo'lsa, metalldan elektron ajralib chiqadi. Energianing qolgan qismi esa metalldan tashqariga chiqib olgan elektronlarning maksimal kinetik energiyasi sifatida namoyon bo'ladi. Buni

$$h\nu = A_{ch} + \frac{mv_{maks}^2}{2} \quad (17.19)$$

ko'rinishda ifodalash mumkin. **Bu tenglama Eynshteyn tenglamasi deb ataladi.** Eynshteyn tenglamasi fotoeffektning barcha qonunlarini tushuntira oladi. Xususan «qizil chegarasi» uchun (17.19) ga asosan, elektronning metalldan chiqish ishning qiymatiga teng, ya'ni:

$$h\nu_k = A_{ch} \quad (17.20)$$

Bu tenglama fotoeffektning «qizil chegarasi»ni aniqlaydi.

**Foton.** Foton energiyasi  $\epsilon = h\nu$  energiya va massaning ekvivalentlik qonuni  $w = mc^2$  dan foydalanib, foton massasi uchun quydagini yozamiz:

$$m_F = \frac{\epsilon}{c^2} = \frac{h\nu}{c^2} \quad (17.21)$$

Yorug'lik fotonining boshqa zarralardan farqlanuvchi maxsus xususiyati shundan iboratki, foton tinchlikdagi massaga ega emas. Foton faqat harakatlanish jarayonidagina mavjud bo'lib, uning tezligi yorug'lik tezligiga teng.

Har qanday harakatlanayotgan zarra kabi foton ham impulsiga ega bo'ladi:

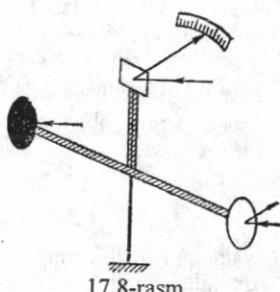
$$P_F = m_F c = \frac{h\nu}{c^2} c = \frac{h\nu}{c} \quad (17.22)$$

Shunday qilib, barcha zarralar kabi foton ham energiya ( $\epsilon = h\nu$ ) massa ( $m_F = h\nu/c^2$ ) va impuls ( $P_F = h\nu/c$ ) bilan ifodalanadi.

**Yorug'lik bosimi.** Maksvell nazariyasiga binoan jism sirtiga tushayotgan har qanday elektro magnit to'lqin jismiga bosim beradi:

$$P = w(1 + \rho) \quad (17.23)$$

bu yerda,  $w$  – sirtiga tushayotgan yorug'lik dastasi energiyasining hajmi zichligi,  $\rho$  – sirtning yorug'lik qaytarish koefitsiyenti. Yorug'lik



17.8-rasm.

bosimini birinchi bo'lib, 1900-yilda P.N.Lebedev tajribada aniqladi: yengilgina buriladigan parrakning qanotlaridan biri qoraytirilgan, ikkinchisi esa yaltiroq qilib yasalgan (17.8-rasm).

Bu qanotlarni navbatma-navbat yoritish natijasida hosil bo'ladigan parrakning buralishlari taqqoslanadi. Yaltiroq sirt uchun  $\rho=1$ . Shuning uchun

$$P_{ya} = w(1 + \rho) = 2w.$$

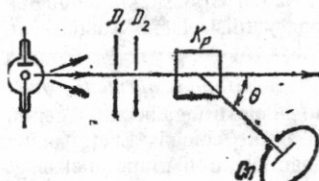
Yorug'likni to'la yutuvchi qoraytirilgan sirt uchun  $\rho=0$  natijada

$$P_{yo} = w(1 + \rho) = w \text{ nisbati}$$

$$\frac{P_{ya}}{P_{yo}} = 2. \quad (17.24)$$

Tajriba bu natijani tasdiqladi.

Yorug'lik bosimini kvant tasavvurlar asosida ham tushuntirish mumkin.



17.9-rasm.

**Kompton effekti.** Yorug'likning korpuskular xossalari Kompton effektida yorqin namoyon bo'ladi. 1923-yilda amerikalik fizik Kompton yengil atomli moddalarda monoxromatik rentgen nurlarining sochilishini o'rganayotib sochilgan nurlanish tarkibida birlamchi to'lqin uzunlikli nurlanish bilan birga kattaroq to'lqin uzunlikli nurlanish borligini aniqladi. Tajribalar  $\Delta\lambda = \lambda' - \lambda$  farq tashuvchi nurlanishning to'lqin uzunligi  $\lambda$ , sochuvchi jismga bog'liq bo'lmay, faqat sochilish burchagi  $\theta$  ga bog'liqligini ko'rsatadi:

$$\Delta\lambda = \lambda' - \lambda = 2K \sin^2 \frac{\Theta}{2} \quad (17.25)$$

bundagi  $K$  – kompton doimiysi deb ataladi va  $K = 2,41 \cdot 10^{-12} m$  teng. 17.9-rasmda ko'rsatilgan  $D_1$ ,  $D_2$  diafragmalardan o'tgan ingichka rentgen nurlari  $K$ , kristallga tushadi. Sochilgan nurlanishni  $S_n$  spektrograf yordamida tekshirish mumkin. Nurlanish yo'naliishi ( $\theta=0$ )  $\lambda$  o'zgarmaydi, boshqa yo'naliishlarda  $\Delta\lambda \sim \sin^2 \theta/2$ .

Shunday qilib, Kompton effekti deb nurlanish (rentgen,  $\gamma$ -nurlanish) moddaning erkin elektronlarida sochilishi natijasida to'lqin uzunligining ortishiga aytildi.

To'lqin nazariya nuqtayi nazaridan bu hodisani tushuntirib bo'lmaydi. Elektron yorug'lik to'lqinni ta'sirida shu chastotasiga teng chastota bilan tebranishi va shu chastotaga teng to'lqin nurlantirishi kerak.

Kvant nuqtayi nazariiga ko'ra rentgen fotonlarining kristall elektronlari bilan ta'sirlashganda yuqoridaq ifoda hosil bo'ladi  $K = h/m_0c$ . Hisob-kitoblar  $K$  uchun yuqoridaq son qiymatini, ya'ni  $h$ ,  $m_0$  va  $s$  larning qiymatlariidan foydalanib,  $K = 2,426 \cdot 10^{-12} m$  hosil bo'ladi. Demak, nazariy ( $K = h/m_0c$ , ya'ni

$$\Delta\lambda = 2 \frac{h}{m_0 c} \sin^2 \frac{\Theta}{2} \quad (17.25)$$

munosabat mos kelib, fotonlarning mavjudligini isbotlovchi dalil bo'lib xizmat qiladi.

### Savollar

- Absolut qora jism nurlanishidagi asosiy qonuniyatlarini izohlab bering.
- Qora jism nurlanishida energiyaning to'lqin uzunliklari bo'yicha taqsimot egriliginin maksimumi temperaturaga qanday bog'langan?

3. Plank gipotezasi nimadan iborat? Kvant nazariyasining klassik nazariyasidan asosiy farqi nimada?
4. Kvantlar gipotezasini qaysi hodisalar tasdiqlaydi?
5. Foton qanday xossalarga ega?
6. Fotoeffektning asosiy qonunlarini aytинг va ularni kvant tassavurlar asosida tushuntirib bering.
7. Fotoeffektning «qizil chegarasi» nima?
8. Fotoeffektning barcha qonunlarini tushuntira oladigan Eynshteyn tenglamasi ifodasini yozing.
9. Kompton tajribasining g'oyasini, eksperimental qurilmasi sxemasini va natijalarini tushuntiring.

### Masalalar

**64-masala.** Qora jism nurlanish spektrida energiyaning maksimal qiymatiga to'g'ri kelgan to'lqin uzunligi  $\lambda_0=0,58$  mkm. Jism sirtining  $R_e$  energetik yorituvchanligini aniqlang.

Berilgan:  $\frac{\lambda_0 = 0,58 \text{ m km}}{R_e \sim ?}$

Yechish: Stefan-Bolsman qonuniga ko'ra absolut qora jismning energetik yorituvchanligi  $T$  termodinamik temperaturaning to'rtinchidagi darajasiga proporsional va u quyidagicha ifodalananadi:

$$R_e = \sigma T^4, \quad (1)$$

bunda,  $\sigma$  – Stefan-Bolsman doimiysi.  $T$  – termodinamik temperatura. Vinning siljishi qonuni yordamida temperatura  $T$  ni hisoblash mumkin:

$$\lambda_0 = \nu T, \quad (2)$$

bunda,  $\nu$  – Vin doimiysi. (2) va (1) formuladan foydalanib,

$$R_e = \sigma (\nu / \lambda_0)^4$$

formulani hosil qilamiz. Hisoblaymiz:

$$R_e = 5,67 \cdot 10^{-8} \left( \frac{2,90 \cdot 10^{-3}}{5,8 \cdot 10^{-7}} \right)^4 V_t / \text{m}^2 = 3,54 \cdot 10^7 V_t / \text{m}^2$$

$$= 35 \cdot 4 M V_t / \text{m}^2.$$

**65-masala.** Nur chiqarishi sababli Yer o'z sirtining har bir kvadrat metr sirtidan 1s da o'rtacha 91 J energiya yo'qtadi. Yerni absolut qora jism deb qabul qilib, sirtning o'rtacha temperaturasini  $T_{\text{ni}}$  va nurlanayotgan energiya maksimumiga to'g'ri kelgan to'lqin uzunlik  $\lambda_m$  ni aniqlang.

$$t = 1 \text{ s}$$

Berilgan:  $\frac{W = 91 J}{T \sim ? \quad \lambda_m \sim ?}$

**Yechish:** Stefan-Bolsman qonuni asosan

$$E_T = \sigma T^4,$$

bunda,  $E_T = 91 \text{ J/(m}^2\cdot\text{s)}$  – Yerning nur chiqarish qobiliyati,  $\sigma$  – Stefan-Bolsman doimiysi. U vaqtida

$$T = \sqrt[4]{\frac{E_T}{\sigma}} = \sqrt[4]{\frac{91}{5,67 \cdot 10^{-8}}} = 200K = -73^\circ C.$$

Vin qonuni (17.10) ga muvofiq

$$\lambda_m T = b,$$

bunda,  $b$  – Vin doimiysi. Shuning uchun:

$$\lambda_m = \frac{b}{T} = \frac{2,898 \cdot 10^{-3}}{200} = 1,45 \cdot 10^{-5} \text{ m} = 14,5 \text{ m km} \cdot$$

Shunday qilib, Yer nur chiqarish qobiliyatining maksimumi spektrning uzun to'lqin (infraqizil) qismiga to'g'ri keladi.

**66-masala.** Seziy to'lqin uzunligi  $\lambda=400 \text{ nm}$  bo'lgan binafsha nur bilan yoritilganda uning sirtidan uchib chiqqan elektronlarning kinetik energiyasi  $W_K$  va tezligi  $v$  topilsin. Seziydan elektronning chiqish ishi  $A=1,7 \cdot 10^{-19} \text{ J ga}$ , yorug'likning tarqalish tezligi  $s=3 \cdot 10^8 \text{ m/s}$  ga va Plank doimiysi  $h=6,625 \cdot 10^{-34} \text{ J.s}$  ga va elektronning massasi  $m=9,1 \cdot 10^{-31} \text{ kg.ga teng}$ .

$$\begin{aligned} \text{Berilgan: } & \lambda = 400 \text{ nm} = 4 \cdot 10^{-7} \text{ m}, \quad A = 1,7 \cdot 10^{-19} \text{ J}, \\ & c = 3 \cdot 10^8 \text{ m/s}, \quad h = 6,625 \cdot 10^{-34} \text{ J.s}. \\ & W_K \sim ? \quad v \sim ? \end{aligned}$$

**Yechish:** Fotoeffekt uchun Eynshteyn formulasini yozamiz:

$$h\nu = \frac{m\nu^2}{2} + A \quad \text{yoki} \quad \frac{m\nu^2}{2} = h\nu - A,$$

bunda,  $\nu = \frac{c}{\lambda}$  teng, u holda

$$W_K = \frac{hc}{\lambda} - A = \frac{6,625 \cdot 10^{-34} \cdot 3 \cdot 10^8}{4 \cdot 10^{-7}} - 1,7 \cdot 10^{-19} = 5 \cdot 10^{-9} \text{ J.}$$

Fotoelektronning  $W_K$  kinetik energiyasini bilgan holda uning  $v$  tezligini hisoblaymiz:

$$v = \sqrt{\frac{2W_K}{m}} = \sqrt{\frac{2,5 \cdot 10^{-9}}{9,1 \cdot 10^{-31}}} = \sqrt{1,1 \cdot 10^{12}} = 1,05 \cdot 10^6 \text{ m/s.}$$

**67-masala.** Elektronning chiqish ishi  $A=3,6 \cdot 10^{-19} \text{ J bo'lgan Kaliy uchun fotoeffekt «qizil chegarasi»ga mos kelgan to'lqin uzunligi } \lambda_0 \text{ topilsin. Yorug'lik tarqalish tezligi } s=3 \cdot 10^8 \text{ m/s va Plank doimiysi } h=6,625 \cdot 10^{-34} \text{ J.s.}$

$$\begin{aligned} \text{Berilgan: } & A = 3,6 \cdot 10^{-19} \text{ J}, \quad c = 3 \cdot 10^8 \text{ m/s}, \quad h = 6,625 \cdot 10^{-34} \text{ J.s.} \\ & \lambda_0 \sim ? \end{aligned}$$

**Yechish:** Fotoeffektning «qizil chegarasi»ga mos kelgan fotonning energiyasi  $E = h\nu_0$  elektronning metalldan chiqish ishi A ga sarf bo‘ladi, ya’ni:

$$h\nu_0 = A$$

bunda,  $V_0 = \frac{c}{\lambda_0}$  bo‘lganligi uchun  $\frac{hc}{\lambda_0} = A$  bo‘lib, undan  $\lambda_0$  ni topib,

hisoblaylik:

$$\lambda_0 = \frac{hc}{A} = \frac{6,625 \cdot 10^{-34} \cdot 3 \cdot 10^8}{3,6 \cdot 10^{-19}} = 5,096 \cdot 10^{-7} m.$$

**68-masala.** Kompton hodisasi tufayli erkin elektron bilan to‘qnashgan foton  $\theta = 90^\circ$  burchakka sochilgan. Sochilgan fotonning energiyasi  $E_2 = 0,4 \text{ MeV}$ . Fotonning sochilgunga qadar bo‘lgan energiyasi  $E_1$  ni aniqlang.

Berilgan:  $\theta = 90^\circ, E_2 = 0,4 \text{ MeV}$

$$E_1 \sim ?$$

**Yechish:** Fotonning dastlabki energiyasini aniqlash uchun Kompton formulasidan foydalanimiz:

$$\Delta\lambda = 2 \frac{h}{m_0 c} \sin^2 \frac{\theta}{2}, \quad (1)$$

bunda,  $\Delta\lambda$  - erkin elektronidan sochilishi tufayli foton to‘lqin uzunligining o‘zgarishi;  $h$  – Plank doimiysi;  $m_0$  – elektronning tinch holatdagi massasi;  $s$  – yorug’likning vakuumdagi tezligi;  $\theta$  – fotonning sochilish burchagi. (1) formulani quyidagicha ifodalaymiz: a)  $\Delta\lambda$  ni  $\lambda_2 - \lambda_1$  ga almashtiramiz; b)  $E = hc/\lambda$  formuladan foydalanim,  $\lambda_1$  va  $\lambda_2$  to‘lqin uzunliklarni mos ravishda fotonning  $E_1$  va  $E_2$  energiyalari bilan ifodalaymiz. U holda (1), a) va b) lardan foydalanimib quyidagini topamiz:

$$22 \frac{hc}{E_2} - \frac{hc}{E_1} = \frac{hc}{m_0 c^2} 2 \sin^2 \frac{\theta}{2}$$

hc ga qisqartirib, bu formuladan izlanayotgan  $E_1$  energiyani topamiz:

$$E_1 = \frac{\frac{E_2 m_0 c^2}{m_0 c^2 - E_2 2 \sin^2 \left( \frac{\theta}{2} \right)}}{E_0 - E_2 \sin^2 \left( \frac{\theta}{2} \right)} = \frac{E_2 E_0}{E_0 - E_2 \sin^2 \left( \frac{\theta}{2} \right)} \quad (2)$$

bunda,  $E_0 = m_0 c$  – elektronning tinch holatdagi energiyasi. (2) formula bo‘yicha hisoblashlarni sistemaga kirmagan birliklarda bajarish qulay. Elektron uchun  $E_0 = 0,511 \text{ MeV}$  bo‘lgani uchun

$$E_1 = \frac{0,4 \cdot 0,511}{0,511 - 2 \cdot 0,4 \cdot \sin^2 \left( \frac{90}{2} \right)} \text{ MeV} = 1,85 \text{ MeV}.$$

## 6. ATOM MOLEKULA VA QATTIQ JISMLAR KVANT FIZIKASI

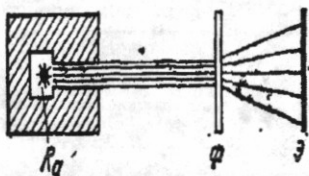
### XVIII bob. ATOM TUZILISHINING BOR NAZARIYASI

#### 18.1. Atomning Rezerford modeli

Uzoq tarixdan ma'lumki, bizning ongimizdan tashqarida yashayotgan obyektiv borliq, ya'ni materiya atomlardan tashkil topgan. O'sha davrdan atomga materiyaning bo'linmas eng kichik zarrasi deb qaralgan edi. Shuning uchun ham atom grekcha «atomos» so'zidan olingan bo'lib, «bo'linmas» degan ma'noni anglatadi.

XIX asr oxiriga kelib atomning murakkab tuzilganligi tajribalardan ayon bo'lib qoldi. Ayniqsa, bu 1896-yilda fransuz olimi A.Bekkerl uran tuzlari qandaydir noma'lum nurlanish manbai ekanligini aniqlagandan so'ng yaqqol bo'lib qoldi. Bu nurlanish keyinchalik radioaktiv nurlanish nomini oldi. Radioaktiv nurlanish atom tarkibiga musbat va mansiy zaryadlangan zarralar kirishi mumkinligini ko'rsatdi. Atomning tuzilishi haqidagi birinchi atom modelini 1904-yilda ingliz olimi J.J.Tomson (1856–1940) yaratdi. Bu modelga binoan atom shar shaklida bo'lib, uning butun hajmida zaryadlar bir tekis taqsimlangan. Shu musbat zaryadlar orasida elektronlar ham joylashgan bo'lib, ularning soni musbat zaryadlar soniga teng bo'lgani uchun atom neytral hisoblanadi. Elektron muvozanat vaziyatidan siljiganda uni muvozant vaziyatiga qaytaruvchi elastik kuchga o'xshash kuch hosil bo'ladi. Shu kuch ta'sirida elektron garmonik tebranma harakat qiladi. Maksvell elektromagnit to'lqin nazariyasiga asosan elektron atomda tebranma harakat qilgani uchun atom monoxromatik elektromagnit to'lqin sochadi.

Bu elektromagnit to'lqin chastotasi elektronning tebranish chastotasiga to'g'ri keladi. Tomson shu atom modeli bilan atomning nurlanish spektri chiziqli bo'lishini tushuntirib berdi. G.N.Lorens, Tomsonning bu atom modeli asosida yorug'lik dispersiyasining elektron nazariyasini yaratdi. Bu nazariya normal va anomal dispersiyalarini tushuntirib berdi. O'z vaqtida Tomson modeli fizikada muhim rol o'yaydi. Ammo bu model uzoq yashamadi. Ingliz olimi Rezerfordning radioaktiv moddalaridan chiquvchi  $\alpha$ -zarrachalarini yupqa metall qatlamidan o'tganda sochilishini o'rganib, 1911-yilda atom tuzilishining yangi modelini yaratdi.  $\alpha$  – zarrachalar bilan ta'sirlashayotgan moddaning atom tuzilishini bilish uchun oldin  $\alpha$  – zarrachanining o'zini tabiatini bilish kerak. Shuning uchun Rezerford  $\alpha$  – zarrachani zaryadini massasini va tezligini aniqladi. Rezerford va Geyger radioaktiv moddadan chiqayotgan  $\alpha$  – zarrachalarini Faradey silindriga to'plab, elektrometr yordamida uning zaryadi musbat bo'lib, ikki elektron zaryadiga teng ekanligini aniqladi.



18.1-rasm.

$\alpha$  – zarrachalarini magnit maydonida og'ishiga qarab, 4 ta vodorod atomi massasiga, ya'ni geliy atomini massasiga tengligi aniqladi. Radioaktiv moddadan uchib chiqayotgan  $\alpha$  – zarrachalarining tezligi  $10 \text{ m/s}$  atrofida bo'lib, ular ancha katta kinetik energiyaga ega. Rezerford  $\alpha$  – zarrachalar yo'liga kichkina yumaloq tirqishli to'siq qo'yib, tirqishdan  $\alpha$  – zarrachalar dastasini qalinligi  $1 \text{ mkm}$ . ga

yaqin bo'lgan oltin yaprog'i (folga) tomon yo'naltirdi. Rezeford tajribasining sxemasi 18.1-rasmida tasvirlangan.

Qo'rg'oshin bo'lagini ichidagi kichik bo'shliqda radioaktiv manba – radiy joylashtirilgan, manbadan barcha yo'naliishlarda alfa zarrachalar chiqadi. Lekin qo'rg'oshindagi tirkish yo'naliishidan boshqa barcha yo'naliishlarda alfa zarrachalar yutiladi. Tirkishdan chiqqan  $\alpha$  – zarrachalar dastasi  $F$  oltin yaprog'ga perpendikular ravishda tushadi. Yaprog'dan o'tgan zarrachalar fluoressensiyalananuvchi qatlam bilan qoplangan ( $E$ ) ekranga tushgan nuqtalarda chaqmoqchalar vujudga keladi. Bu chaqmoqchalarni kuzatish asosida  $\alpha$  – zarrachalarning yaprog'dan o'tish jarayonidagi sochilish to'g'risida axborot olindi. Kuzatuvchilarning ko'rsatishicha  $\alpha$  – zarrachaning aksariyati o'z yo'naliishlarini o'zgartirmaydi yoki juda kichik burchaklarga og'adi. Lekin zarralarning bir qismi yetarlicha katta burchaklarga og'adi. Hatto orqasiga qaytgan  $\alpha$  – zarrachalar ham kuzatilgan (18.2-rasm). Tajriba natijalarini tushuntirish uchun Rezerford atom tuzulishini quyidagicha faraz qildi: *atomning niyoyat kichik sohasida musbat zaryad joylashgan, uning atrofidagi atomning barcha sohasi esa manfiy zaryadli elektronlar bulutidan iborat bo'lib, bu elektronlarning to'liq zaryadi musbat zaryada miqdorai teng*.

Atom markaziga yaqinroq masofadan o'tayotgan  $\alpha$  – zarracha (18.2-rasmida 1 deb belgilangan) markazdan uzoqroq masofadan o'tayotgan  $\alpha$  – zarracha (rasmida 2 deb belgilangan)ga nisbatan kattaroq burchakka og'adi, chunki  $\alpha$  – zarracha bilan atom markazi orasidagi Kulon itarish kuchi masofaga teskari proporsionaldir. To'ppa to'g'ri markaz tomon kelayotgan alfa-zarracha (rasmida 3 deb belgilangan) esa kulon kuchi ta'sirida sekinlashib to'xtaydi, so'ng orqasiga qaytadi.

Rezerford yugoridagi tajriba natijalari asosida atomning **yadro modelini** yaratdi. Bu modelga binoan atom markazida musbat zaryadlangan **yadro** («mag'iz» degan ma'noni anglatadi) joylashgan. Yadro bilan elektronlar o'zaro ta'sirlashishi natijasida elektronlar yadro atrofida aylana shaklidagi orbitalar bo'ylab aylanma harakat qiladilar. Yadro kuchlari maydoni markazga intilma kuch vazifasini bajaradi. Yadro atrofida aylanayotgan elektron uchun Nyutoning III qonuni quyidagi ko'rinishda yoziladi:

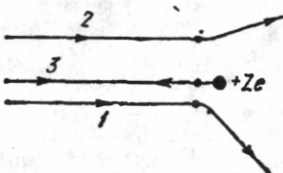
$$\frac{e^2}{4\pi\epsilon_0 r^2} = \frac{m_e v^2}{r} \quad (18.1)$$

bu yerda,  $v$  – elektronning orbitadagi tezligi,  $e$  – elektron zaryadi,  $r$  – orbita radiusi. Elektronlarning umumiy zaryadi, yadroda musbat zaryadlarning umumiy zaryadiga teng bo'lgani uchun atom elektr zaryadiga ega emas.

Rezerford tajribaga va atom yadro modeliga asoslanib atom zaryadini va o'Ichamini aniqlashga muvaffaq bo'ldi. Yadroning zaryadi elektron zaryadiga karrali bo'lib,

$$q = +Ze$$

ekanligi aniqlandi. Bu yerda  $Z$  – elementning Mendeleyev davriy sistemasidagi tartib raqami. Rezerford ana shu narsaga aniqlik kiritadiki, elementning davriy



18.2 -rasm.

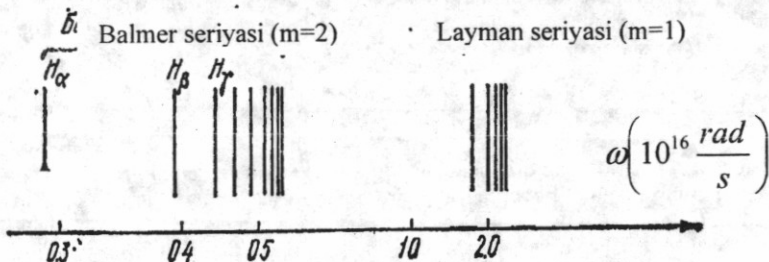
sistemadagi o'rni Mendeleyev ko'rsatganidek, uning atom massasi bilan emas, balki yadro zaryadi bilan aniqlanadi. Rezeford ayrim elementlarning davriy sistemadagi o'rniga tuzatishlar kiritdi, ya'ni ularning tartib raqamlarini o'zgartiradi. Rezeford tadqiqotlari yadro o'lchami ( $2 \cdot 10^{-13} \text{ sm}$ ) ni aniqlashga imkon berdi.

Ammo atom tuzilishi to'g'risidagi Rezeford modeli klassik fizika qonunlari doirasida joylashmaydi. Bu model yadro atrofida aylanayotgan elektronning orbitasi nima sababdan turg'un ekanligiga ham javob bera olmaydi. Elektron yadro atrofida aylanar ekan ma'lum tezlanishga ega bo'ladi, shuning uchun atomdan elektromagnit nurlanish chiqib turishi kerak. Bunday nurlanish energiyaning uzluksiz kamayib borishi bilan birgalikda sodir bo'lganidan, elektron spiral bo'ylab harakatlanib, astasekin yadroga yaqinlashib borishi va oxiri yadroga tushushi lozim. Elektron yadroga yaqinlashgan sari, elektronning aylanish chastotasi shu bilan birga elektromagnit nurlanish chastotasi ham uzluksiz o'zgara borishi kerak. Bu klassik fizika nuqtayi nazaridan atom tutash nurlanish spektrini beradigan *turg'unmas* (uzoq yashamaydigan) sistemadan iborat degan fikrni tug'diradi. Ma'lumki, bunday hol kuzatilmaydi, atom turg'unligicha qoladi. Atom sochilayotgan yorug'lik spektri ham uzluksiz bo'lmay, balki chiziqlidir. Bunday chiziqli spektrga misol qilib vodorod atomi spektrini olish mumkin. Atomlar spektri nima sababdan chiziqli bo'lishini ham Rezeford atom yadro modeli tushuntirib bera olmaydi. Demak, klassik mexanika va elektrodinamikaga asoslanib yaratilgan Rezeford atom nazariyasi atom ichida sodir bo'ladijan jarayonlarni tushuntirishga ojiz ekan. Shundan keyin daniyalik fizik Nils Bor M. Plankning kvant energiyasi haqidagi ta'limotini va tajribada kuzatilgan vodorod atomi spektral seriyalarini o'rganib, atom tuzilishining yangi nazariyasini yaratdi.

### 18.2. Vodorod atomi spektridagi qonuniyatlar

Atom tuzilishini o'rganishda 1860-yilda nemis olimlari G. Kirxgof (1824–1887) va R. Bunzen (1840–1898)lar tomonidan yaratilgan spektral analiz usuli muhim rol o'ynaydi.

1885-yilda Shveytsariyalik maktab fizika o'qituvchisi Balmer ko'zga ko'rindigan sohada vodorod atomining spektral chiziqlarining joylashish vaziyatida ma'lum qonuniyat borligini sezdi. Balmerning aniqlashicha, to'lqin uzunlikni kamayishi bilan ular orasidagi masofa ham kamayib borar ekan.



18.3-rasm.

Vodorod atomi nurlanishning spektrini o'rganish natijasida spektridagi chiziqlar tartibsiz emas, balki guruhlardan tarzida (bu guruhlarni chiziqlar seriyalari deb atash odat bo'lgan) ma'lum qonuniyat bilan joylashganligi aniqlanadi. 18.3-rasmida

vodorod atomi spektrining ko'rinvuchan va ultrabinafsha qismlari tasvirlangan. Vodorod atomi spektridagi barcha chiziqlar chastotalarini quyidagi umumiylashgan Balmer formulasi bilan ifodalasa bo'ladi:

$$\omega = R \left( \frac{1}{m^2} - \frac{1}{n^2} \right) \quad (18.2)$$

(18.2) formuladagi  $R$  – Ridberg doimiysi deb ataladi, uning qiymati  $2,07 \cdot 10^{16}$  rad/s ga teng.  $m$  ning qiymati esa Layman seriyasi uchun 1, Balmer seriyasi uchun 2, Pashen seriyasi uchun 3, Breket seriyasi uchun 4, Pfund seriyasi uchun 5 ga teng. Ayrim seriyalardagi chiziqlarning chastotalari (18.2) ifodaga  $n=m+1; m+2; m+3; \dots$  qiymatlarni qo'yish natijasini vujudga keltiriladi. Masalan, Balmer seriyasi uchun  $m=2$ . Shuning uchun  $n=3; 4; 5; \dots$  qiymatlarga mos ravishda 18.3-rasmda tasvirlangan  $N_\alpha$ ,  $N_\beta$ ,  $N_\gamma$  chiziqlarning chastotalari hosil bo'ladi.  $N_\alpha$  chiziq qizil rangga ega,  $N_\beta$  chiziq havo rang,  $N_\gamma$  chiziq ko'k rangga mos keladi. Bu seriyaning qolgan qismlari spektrning ultrabinafsha qismida yotadi.

Atomlarning nurlanish (va nur yutish) spektrlarining chiziqli xarakteri atomning energiyani istalgan miqdorda emas, balki aniq porsiyalar-kvantlaridagina chiqarishini yoki yutishini bildiradi. Bundan shu kelib chiqadiki, atom aniq (diskret) energetik holatlardagina bo'la oladi; atom bir energetik holatdan boshqa energetik holatga o'tishda boshlang'ich va oxirgi holatlardagi energiyalarning ayirmasiga teng kvant energiyani nurlantirishi yoki yutishi mumkin.

### 18.3. Bor postulatlari

Atomning energetik holatlarining diskretnligi to'g'risidagi tasavvurga tayanib. N.Bor 1913-yilda Rezerfording atom modeliga o'sha vaqtida tajribada kuzatilgan vodorod atomi spekttri va nurlanishni kvanti tushunchalarini mohirlik bilan umumlashtirib, atomning yangi nazariyasini yaratdi. Bor bu nazariyani yaratishda absolut qora jismning nurlanishini tushuntirib bergen Plankning energiya kvanti haqidagi gipotezasini atomdagi elektronlarga tatbiq etib, elektronlar ixtiyoriy orbitalarda aylanmasdan faqat ruxsat etilgan orbitalar bo'yicha aylanadilar degan xulosaga keldi. Bunday xulosa natijasida u atom spektrining chiziqli bo'lishi sababini osongina tushuntirib berdi. Bundan tashqari, Bor elektronning ruxsat etilgan orbitalar radiuslarining ham qanday aniqlanishini topdi. Bor o'zining atom nazariyasiga isbotsiz qabul qilinuvchi uch postulatni asos qilib oldi. Bu postulatlar quyidagicha ta'riflanadi.

**I postulat.** Atom yetarlicha uzoq vaqt turg'un holatlarda bo'lishi mumkin, bu holatlardagi atom energiyasining qiymatlari  $W_1, W_2, W_3, \dots, W_n$  diskret qatorni tashkil etadi. Atom ana shu turg'un holatlarini birida bo'lishi mumkin xolos. Atomning turg'un holatiga elektronning turg'un orbitalarda aylanishi mos keladi. Elektronlar turg'un orbitalarda aylanganda atom yorug'lik sochmaydi va yutmaydi.

**II postulat.** Atomdagi elektron ixtiyoriy orbitalar bo'ylab aylanmasdan impuls momenti Plank doimiyisiga karrali bo'lgan orbitalar bo'ylab aylanadilar:

$$L_n = m_e v r_n = n \hbar \quad (18.3)$$

bu yerda,  $n=1, 2, 3, \dots$ , qiymatlarni oladi. U elektronning orbita tartib raqamini ko'rsatadi,  $m_e$  – elektronning massasi,  $v$  – elektronning orbita bo'ylab harakatidagi chiziqli tezligi,  $r_n$  – orbita radiusi,  $\hbar=h/2\pi=1,055 \cdot 10^{-34}$  Js.

**III postulat.** Atom energiyasi  $W_n$ , bo'lgan bir turg'un holatdan energiyasi  $W_m$  bo'lgan ikkinchi turg'un holatga o'tganda energiyaning bitta kvanti chiqariladi yoki yutildi. Bu kvantring chastotasi quyidagi

$$\omega = \frac{W_n - W_m}{\hbar} \quad (18.4)$$

munosabat bilan aniqlanadi.  $W_m < W_n$  shart bajarilsa, kvant nurlantiriladi,  $W_m > W_n$  bo'lganda esa kvant yutildi.

Elektron yuqori orbitadan quyi orbitaga tushsa, atom yorug'lik kvanti sochadi. Elektron quyi orbitadan yuqori orbitaga chiqishi uchun esa tashqaridan yorug'lik kvanti yutadi.

Masalan, elektron energiyasi katta bo'lgan 2-orbitadan, energiyasi kichik bo'lgan 1-orbitaga tushganda atomdan sochilgan yorug'lik kvanti energiyasi elektronni orbitadagi energiyalarining ayirmasiga teng:

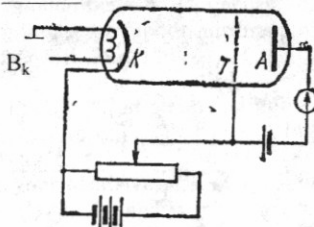
$$h\nu = W_2 - W_1$$

sochilgan yorug'lik chastotasi  $\nu = \frac{W_2 - W_1}{h}$  bo'ladi.

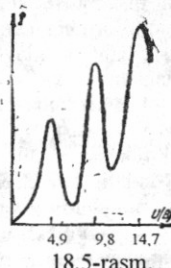
#### 18.4. D.Frank va G.Gers tajribasi

Nemis fiziklari D.Frank va G.Gers tomonidan 1914-yilda amalga oshirilgan tajriba atomdag'i turg'un holatlarni, ya'ni diskret energetik sathlarning mayjudligini tasdiqladi. Bu tajribaning sxemasi 18.4-rasmda tasvirlangan. Bunda havosi so'rib olingan shisha idish ichiga 13Pa bosim ostida simobning bug'lari qamalib, idishning ikki chetiga katod ( $K$ ) va anod ( $A$ ) joylashtirilgan. Katod bilan anod orasiga metall to'r ( $T$ ) elektrod o'rnatilgan.

Qizdirilgan katoddan uchib chiqqan termoelektronlar katod bilan to'r oralig'idagi elektr maydon ta'sirida tezlatiladi. Katod va to'r orasidagi potensiallar farqi U bo'lsa, to'r dan o'tayotgan elektronning energiyasi  $eU$  bo'ladi. To'r bilan anod orasiga elektronlarni to'xtatuvchi uncha katta bo'limgan (-0,5V)  $U_g$  manfiy kuchlanish beriladi. Agar elektron katod va to'r oralig'ida simob atomi bilan noelastik to'qnashmasa, u bemalol bu kuchsiz maydonni yengib anodga yetib keladi.



18.4-rasm.



18.5-rasm.

Aksincha, simob atomi bilan noelastik to'qnashsa energiyasini yo'qotgan elektron to'xtatuvchi maydonni yenga olmaydi va to'rga tushadi. Elektronlar simob atomlari bilan noelastik to'qnashgan vaqtida atomlar qo'zg'algan holatga o'tadi. Bor atom nazariyasiga ko'ra, har bir atom ma'lum bir qo'zg'algan holatga o'tishi uchun u aniq bir qiymatga ega bo'lgan energiya olishi kerak. Buning natijasida atom bilan

noelastik to'qnashgan elektronlarning energiyasi bir tekisda kamaymasdan, diskret holda yoki boshqacha aytganda me'yorlangan holda aniq bir energiya bo'lagi miqdorigacha o'zgarishi kerak. To'rغا tushayotgan elektronlar qanchalik ko'p bo'lsa, anod zanjiriga ulangan galvonometr qayd qilayotgan tok shunchalik kamayib ketadi. Tezlatuvchi potensial  $U$  ning qiymati reostat yordamida o'zgartirilishi mumkin.  $U$  ning qiymatiga bog'liq ravishda anod tokining o'zgarishini ifodalovchi egri chiziq 18.5-rasmida tasvirlangan. Grafikdan ko'rinish turibdi, anod toki potensial  $4.9V$  ga yetgancha bir tekis ortib boradi va keyin birdaniga kamayib ketadi. So'ngra  $9.8V$  va  $14.7V$  potensiallarda ham anod tokining maksimumlari kuzatiladi. Anod tokini  $4.9V$ ;  $9.8V$  va  $14.7V$  potensiallarda keskin kamayib ketishiga energiyasi  $4.9eV$ ,  $2.4.9 eV$  va  $3.4.9 eV$  bo'lgan elektronlarni simob atomlari bilan noelastik to'qnashishi sabab bo'ladi.

Frank va Gerslarning bu tajribasi atomlar energiyasi uzluksiz holda emas, balki diskret holda o'zgarishini ko'rsatib, Bor atom nazariyasining to'g'riligini tasdiqladilar. Endi anod toki maksimumlarini hosil bo'lish jarayonini to'liqroq ko'rib o'taylik. Elektronlar energiyasi  $4.9eV$  ga yetguncha simob atomlari bilan elastik to'qnashadi, biroq bunday to'qnashuvda elektronlarning energiyasi o'zgarmaydi. Shuning uchun kuchlanish  $4.9V$ ga yetguncha anodga kelayotgan elektronlar soni ortib boradi, bu esa anod tokni ortishiga sabab bo'ladi.  $T$ -to'rdagi kuchlanish  $4.9V$ ga yetganda elektronlar  $4.9eV$  energiyaga ega bo'ladi, bunday energiyali elektronlar simob atomi bilan noelastik to'qnashadi, ya'ni atomga urilgan elektron atomdagи elektronni kichikroq energiyali orbitadan kattaroq energiyali orbitaga o'tkazib, energiyasining ko'p qismini atomga beradi. Energiyasi kamaygan bunday elektronlar anodgacha yetib bora olmaydi, ularni to'r ushlab qoladi. Natijada anod toki keskin kamayadi. Kuchlanishni yana ortira borsak, anod toki ham yana ortib boradi, kuchlanish  $2.4.9 V$ ga yetganda, yana elektronlarni atomlar bilan noelastik to'qnashishi sodir bo'ladi, natijada anod toki yana birdaniga kamayadi. Bunday hol keyingi  $3.4.9 V$  va h.k. kuchlanishlarda ham sodir bo'ladi.

### 18.5. Bor nazariyasiga ko'ra vodorod atomi spektri

Vodorod atomida zaryadi  $e$  ga ega bo'lgan yadro, ya'ni proton atrofida bitta elektron harakatlanadi. Vodorod elektroni radiusi  $r_n$  bo'lgan orbitada tutib turuvchi markazga intilma kuch va elektron bilan yadroning o'zaro tortishidagi Kulon kuchidan iboratdir, ya'ni :

$$\frac{m_e v^2}{r_n} = \frac{e^2}{4\pi \epsilon_0 r_n^2} \quad (18.5)$$

bunda,  $m_e$  – elektron massasi,  $v$  – uning tezligi. Bu elektronning impuls momenti esa orbitaning kvantlash qoidasiga asosan, (18.3) shartni qanoatlantirishi kerak. (18.3) va (18.5) ifodalarni birlgilikda yechsak, vodorod atomidagi elektron uchun turg'un orbitalarning radiuslari

$$r_n = \frac{4\pi \epsilon_0 \hbar^2}{m_e e^2} n^2 \quad (18.6)$$

ifoda bilan aniqlanadi. Bundagi  $n$  – asosiy kvant son deb ataladi va u  $1, 2, 3, \dots$  musbat sonlarga teng bo'ladi.

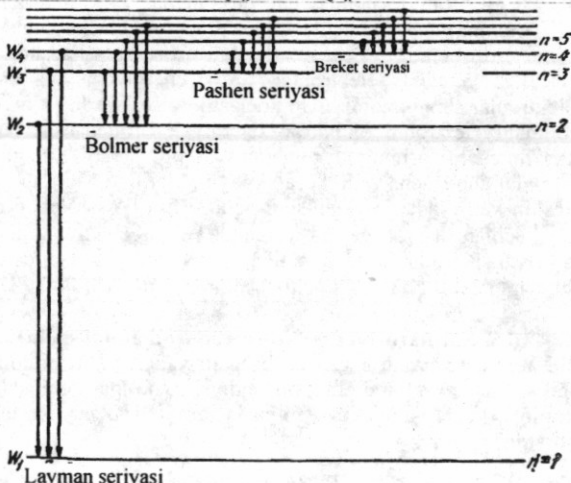
Bu orbitalarga mos keluvchi turg'un holatlarda vodorod atomining to'liq energiyasi elektronning kinetik energiyasi va elektronning yadro bilan o'zaro ta'sir energiyalarining yig'indisidan iborat:

$$W_n = \frac{m_e v^2}{2} - \frac{e^2}{4\pi\epsilon_0 r_n} \quad (18.7)$$

Ikkinchchi tomondan (18.5) ifodaning ikkala tomonini  $\frac{r_n}{2}$  ga ko'paytirsak, u

$\frac{m_e v^2}{2} = \frac{e^2}{8\pi\epsilon_0 r_n}$  ko'rinishga keladi. Bundan foydalanib (18.7)ni quyidagicha yozamiz:

$$W_n = \frac{e^2}{8\pi\epsilon_0 r_n} - \frac{e^2}{4\pi\epsilon_0 r_n} \quad (18.8)$$



18.6 -rasm.

(18.8) ifodadagi  $r_n$  o'mniga uning (18.6) bilan aniqlanuvchi qiymatini qo'ysak, vodorod atomining turg'un holatlari xarakterlovchi energetik sathlarning qiymatlarini hisoblash imkonini beradigan quyidagi ifodani hosil qilamiz:

$$W_n = -\frac{m_e e^4}{32\pi^2 \epsilon_0^2 \hbar^2 n^2}; \quad (n=1,2,3,\dots) \quad (18.9)$$

bu ifodani Gauss birliklar sistemasi bo'yicha hisoblasak,

$$W_n = -\frac{m_e e^4}{2\hbar^2 n^2}; \quad (n=1,2,3,\dots) \quad (18.10)$$

ixcham ko'rinishga keladi. Bu formula yordamida hisoblangan energetik sathlari 18.6-rasmida gorizontal chiziqlar shaklida tasvirlangan. Vodorod atomining normal turg'un holatida elektron eng quyi energetik sathda, ya'ni asosiy kvant son  $n = 1$  qiyamatiga mos keladigan sathda joylashgan bo'ladi. Agar atomga tashqaridan biror energiya berilsa, elektron  $n = 2; 3; 4; \dots$  qiyatlariga mos bo'lgan energetik sathlarning birortasiga ko'tariladi. Atomning bu holatlarini uyg'ongan holatlar deb ataladi. Uyg'ongan holatdan normal holatga qaytayotgan atom elektromagnit nurlanish kvantini chiqaradi. Agar elektron  $n = 4$  bilan xarakterlanuvchi holatda bo'lsa, u normal ( $n = 1$ ) holatga birdaniga yoki  $n = 3; 2$  holatlar orqali ham qaytishi mumkin. Lekin har o'tishda nurlanadigan fotonning energiyasi boshlang'ich va oxirgi sathlar energiyalarining farqiga teng bo'ladi. Shu tariqa Bor nazariyasi vodorod spektridagi seriyalarning fizik ma'nosini oydinlashtirdi. Bundan tashqari, Bor nazariyasi Ridberg doimiyini ham hisoblash imkonini berdi; vodorod atomi n holatdan m holatga o'tishda nurlanadigan elektromagnit to'lin chastotasi

$$\omega = \frac{W_n + W_m}{\hbar} = \frac{m_e e^4}{32\pi^2 \epsilon_0^2 \hbar^3} \left( \frac{1}{m^2} - \frac{1}{n^2} \right) \quad (18.11)$$

bo'ladi. Bu ifodani umumlashgan Balmer formulasi bilan solishtirsak, Ridberg doimiyisi

$$R = \frac{m_e e^4}{32\pi^2 \epsilon_0^2 \hbar^3} \quad (18.12)$$

ekanligini topamiz. (18.12) ga kiruvchi barcha doimiyalar qiyatlarini qo'ysak, hosil bo'lgan kattalik Ridberg doimiyisining tajribada topilgan qiyamatiga juda mos keladi.

Lekin Bor nazariyasi spektral chiziqlar intensivligini hisoblashda ojizlik qiladi. Ikkinchchi kamchiligi, vodorodsimon atomlar (ya'ni yadroсининг zaryadi  $+Ze$ , lekin bittagina elektroni bo'lgan ionlar, masalan:  $Ne^+$ ,  $Li^{++}$ ,  $Be^{+++}$  va h.k.) dan tashqari birorta ham atomning qonuniyatlarini mutlaqo tushuntira olmaydi. Buning boisi shundaki, Bor nazariyasi yarim klassik, yarim kvant nazariyadan iboratdir. Lekin Bor nazariyasi atom fizikasi fanining rivojida katta rol o'yynaydi, ya'ni mikro dunyo hodisalariga klassik fizika qonunlarini qo'llash mumkin emasligini ko'rsatdi.

### Savollar

- Atomning Rezerford modeli bilan klassik fizika orasidagi asosiy ziddiyatlarni ko'rsating.
- Bor postulatlarni ta'riflang va uni Rezerfordning atom tuzilishi va yadroviy modelini kvant xarakterini birlashtirishdagi ahamiyatini tushuntirib bering.
- Balmer formulasinusini Bor postulatlari asosida tushuntiring.
- Bor atom nazariyasini tasdiqlovchi qanday tajribalarini bilasiz?
- Bor nazariyasining qanday kamchiliklari bor?
- Qanday prinsip asosida vodorodning spektral chiziqlari seriyalarga birlashtirilishini tushuntiring.

### Masalalar

**69-masala.** Bor nazariyasidan foydalananib, vodorod atomidagi elektronning  $n = 3$ -ga orbitasining radiusi  $r_n$  va bu orbitasidagi tezligi  $\vartheta$ , topilsin. Masala  $n=3$  holi uchun yechilsin. Plank doimiyisi  $n=6,625 \cdot 10^{-34}$  J·s va elektr doimiyisi  $\epsilon_0 = 8,85 \cdot 10^{-12}$

F/m ga, elektronning massasi  $m_e = 9,1 \cdot 10^{-31}$  kg.ga va zaryadi  $e = 1,6 \cdot 10^{-19}$  Kl.ga teng.

**Berilgan:**  $m_e = 9,1 \cdot 10^{-31}$  kg,  $e = 1,6 \cdot 10^{-19}$  Kl,  $\mathcal{E}_0 = 8,85 \cdot 10^{-12}$  Kl<sup>2</sup>/N m<sup>2</sup>

$h = 6,625 \cdot 10^{-34}$  J s,  $n = 3$

$$r_3 \sim ? \quad \vartheta_3 \sim ?$$

**Yechish.** Vodorod atomi protoni va uning atrofida aylanayotgan elektronning

o'zaro ta'sir Kulon kuchi:  $F_x = \frac{1}{4\pi \mathcal{E}_0} \frac{e^2}{r_n^2}$ , markazga intilma kuch

$$F_{m,i} = \frac{m_e \vartheta_n^2}{r_n} \text{ dan iborat, ya'ni}$$

$$\frac{1}{4\pi \mathcal{E}_0} \cdot \frac{e^2}{r_n^2} = \frac{m_e \vartheta_n^2}{r_n} \quad (1)$$

bunda,  $\mathcal{E}_0$  – elektr doimiysi,  $m_e$  – elektronning massasi va  $e$  – uning zaryadi,  $r_n$  – elektron orbitasining radiusi,  $\vartheta_n$  – elektronning orbitadagi tezligi.

Borning ikkinchi postulatiga asosan: «Elektron impuls momenti  $(m_e, \vartheta_n)$

r<sub>n</sub>) karali  $h/2\pi n$  ga, ya'ni  $n \frac{h}{2\pi}$  ga teng bo'lgan orbita bo'ylab harakatlana oladi».

Binobarin,

$$m_e \vartheta_n r_n = n \frac{h}{2\pi} \quad (2)$$

bunda,  $n=1,2,3,\dots$  orbitaning tartib raqamidir. Bundan  $n$  – orbitadagi elektronning tezligi:

$$\vartheta_n = n \frac{h}{2\pi m_e r_n} \quad (3)$$

ga teng bo'ladi. Buni o'rniga (1) (2) (3) dan foydalanib, orbitaning radiusi  $r_n$  ni aniqlaymiz:

$$\frac{e^2}{4\pi \mathcal{E}_0 r_n^2} = \frac{m_e n^2 h^2}{r_n 4\pi^2 m_e^2 r_n^2} \text{ yoki } \frac{e^2}{\mathcal{E}_0} = \frac{n^2 h^2}{\pi m_e r_n^2}$$

Bundan izlanayotgan orbitaning radiusi  $r_n$  quyidagiga teng bo'ladi:

$$r_n = n^2 \frac{h^2 \mathcal{E}_0}{\pi m_e e^2}$$

Buni yuqoridagi ifodaga qo'yib, orbitadagi elektronning tezligi  $\vartheta_n$  ni topamiz:

$$\vartheta_n = \frac{nh}{2\pi m_e} \cdot \frac{1}{r_n} = \frac{nh}{2\pi m_e} - \frac{\pi m_e e^2}{n^2 h^2} = \frac{1}{n} \frac{e^2}{2h}$$

Masala shartiga ko'ra n=3 bo'lgan holni hisoblab chiqamiz:

$$r_3 = n^2 \frac{h^2 \epsilon_0}{\pi m_e e^2} = 3^2 \frac{6,625^2 \cdot 10^{-68} \cdot 8,85 \cdot 10^{-12}}{3,14 \cdot 9,1 \cdot 10^{-31} \cdot 1,6^2 \cdot 10^{-38}} = 4,78 \cdot 10^{-10} m$$

$$\vartheta_3 = \frac{1}{n} \frac{e^2}{2h E_0} = \frac{1}{3} \frac{1,6^2 \cdot 10^{-38}}{2 \cdot 6,625 \cdot 10^{-34} \cdot 8,85 \cdot 10^{-12}} = 7,3 \cdot 10 m/s.$$

**70-masala.** Vodorod atomidagi elektron to'rtinchi energetik sathdan ikkinchisiga o'tdi. Nurlangan fotonning energiyasi aniqlansin.

**Berilgan:**  $\frac{n_1 = 2, n_2 = 4}{E \sim ?}$

**Yechish:** Foton energiyasini aniqlash uchun vodorodsimon ionlarni serial formulalaridan foydalanimiz

$$\frac{1}{\lambda} = R Z^2 \left( \frac{1}{n_1^2} - \frac{1}{n_2^2} \right), \quad (1)$$

bu yerda,  $\lambda$  – fotonning to'lqin uzunligi; R – Ridberg doimiysi; z – yadro zaryadining nisbiy birligi ( $z=1$ da formula vodorod seriyasiga mos keluvchi formulaga aylanadi);  $n_1$  – elektron o'tgan orbita nomeri;  $n_2$  – elektronning boshlang'ich holatdagi orbita nomeri ( $n_1$  va  $n_2$  asosiy kvant sonlar).

Foton energiyasi  $E$  quyidagicha aniqlanadi:

$$E = \frac{hc}{\lambda}.$$

(1) formulani chap va o'ng tomonini « $hc$ »ga ko'paytirib foton energiyasini aniqlash formulasini topamiz:

$$E = R h c z^2 \left( \frac{1}{n_1^2} - \frac{1}{n_2^2} \right)$$

Ionizatsiyalash energiyasi  $E_i = R h c$  ekanligini hisobga olib

$$E = E_i z^2 \left( \frac{1}{n_1^2} - \frac{1}{n_2^2} \right)$$

hisoblashni bajaramiz.

$E_i = 13,6 \text{ eV}$  (jadvalda beriladi);  $z=1$ ;  $n_1=2$ ;  $n_2=4$ ;

$$E = 13,6 \cdot 1^2 \left( \frac{1}{2^2} - \frac{1}{4^2} \right) eV = 13,6 \cdot \frac{3}{16} eV = 2,55 eV.$$

**71-masala.** Vodorod atomining birinchi Bor orbitasidagi elektronning burchak tezligi  $\omega$  va aylanish davri  $T$  ni toping.

**Berilgan:**  $n=1, m=9 \cdot 10^{-31} \text{ kg}, e=1,6 \cdot 10^{-19} \text{ C},$   
 $h=6,625 \cdot 10^{-34} \text{ J}\cdot\text{s}, E_0=8,85 \cdot 10^{-12} \text{ KJ}^2/\text{Nm}^2,$   
 $\omega \sim ?, T \sim ?$

**Yechish.** Bor postulati (18,3)ga ko'ra,

$$mv r = n \frac{h}{2\pi} \quad (1)$$

bu yerda,  $m$  – elektron massasi,  $r$  – orbita radiusi,  $\vartheta$  – shu orbitada elektronning chiziqli tezligi,  $h$  – Plank doimiysi,  $n=1$  – birinchi orbitaga mos kelgan kvant soni  $\vartheta=\omega r$  ekanligini e'tiborga olsak, ushbu formulani yozamiz:

$$m\omega r^2 = n \frac{h}{2\pi} \quad (2)$$

formulaga muvofiq  $r = n^2 \frac{E_0 h^2}{\pi m e^2}$  (3) ( $\hbar = \frac{h}{2\pi}$ ), bunda,  $e$  – elektron zaryadi,  $E_0$  – elektr doimiysi (3)ni (2)ga qo'yib, quyidagini olamiz:

$$\omega = \frac{\pi m e^4}{2 E_0 n^3 h^3} = \frac{3,14 \cdot 9,1 \cdot 10^{-31} \cdot (1,6 \cdot 10^{-19})^4}{2(8,85 \cdot 10^{-12})^2 (6,625 \cdot 10^{-34})^3} = 4,4 \cdot 10^{16} \text{ rad/s}.$$

Elektronning aylanish davrini quyidagi munosabatdan topamiz:

$$T = \frac{2\pi}{\omega} = \frac{6,28}{4,4 \cdot 10^{16}} = 1,4 \text{ s}.$$

**72-masala.** Vodorod atomi birinchi infraqizil seriyasidagi (Pashen seriyasi) ikkinchi chiziqqa mos keluvchi foton energiyasi  $\mathcal{E}$  aniqlansin.

$$\begin{array}{c} E_i = 13,6 \text{ eV}, n_1 = 3, m = 2, n_2 = 5 \\ \hline \text{Berilgan: } \quad \mathcal{E} \sim ? \end{array}$$

**Yechish.** Elektronning bir orbitadan boshqasiga o'tishida vodorod atomi chiqaradigan foton energiyasi

$$\mathcal{E} = E_i \left( \frac{1}{n_1^2} - \frac{1}{n_2^2} \right) \quad (1)$$

bunda,  $E_i$  – vodorod atomining ionlash energiyasi;  $n_1=1,2,3$  elektron o'tadigan orbitaning tartib raqami (18.6-rasmga qarang);  $n_2=n_1+1$ ;  $n_1=2, \dots$ ;  $n_1+m$  elektron tark etadigan orbitaning tartib raqami;  $m$  – mazkur seriyadagi spektral chiziqning tartib raqami. Pashen seriyasi uchun  $n=3$ ; shu seriyadagi ikkinchi chiziq uchun  $m=2$ ,  $n_2=m_1+m=3+2=5$  son qiymatlarni (1)ga qo'yib fotonning energiyasini topamiz:

$$\mathcal{E} = 13,6 \left( \frac{1}{3^2} - \frac{1}{5^2} \right) = 8,7 \text{ eV}.$$

### 19.1. De-Broyl gipotezasi. Elektronlar difraksiysi

Yuqorida ko'rib o'tganimizdek, yorug'lik korpuskular va to'lqin xossasiga ega. Yorug'likning to'lqin xossaga ega ekanligini yorug'lik Interferensiyasi, yorug'lik difraksiysi, yorug'lik dispersiyasi va boshqa optik hodisalar tasdiqlaydi. Yorug'likning korpuskular tabiatini yoki boshqacha aytganda yorug'likning kvant tabiatini nurlanish qonunlari, fotoeffekt hodisasi, Kompton effekti va boshqa qator optik hodisalar tasdiqlaydi.

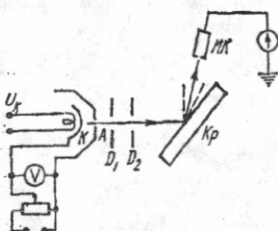
Yorug'likning bu dualistik xususiyatlarini yanada rivojlantirib 1924-yilda Lui de-Broyl (1892-1987) korpuskular – to'lqin tabiat faqat yorug'lik zarrachalari (fotonlari)gagina xos bo'lib qolmasdan, balki bunday ikki yoqlamalik elektronga va har qanday boshqacha mikrozarrachalarga ham taalluqli degan gipotezani ilgari surdi. Boshqacha aytganda, de-Broyl gipotezasiga asosan, korpuskular – to'lqin dualizmi elektromagnit nurlanishdeklari, har qanday boshqacha modda zarralari uchun ham tegishlidir. U holda foton uchun yozilgan quyidagi

$$P = \frac{h\nu}{c} = \frac{h}{\lambda}$$

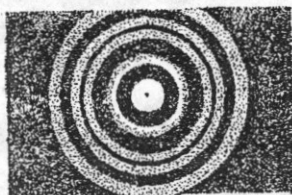
munosabatni modda zarralari uchun ham qo'llash mumkin. Agar massasi  $m$ , tezligi  $\nu$  ga, impulsi  $r = m\nu$  teng bo'lgan biror modda zarrasida harakatlanish jarayonida uzunligi

$$\lambda = \frac{h}{p} = \frac{h}{m\nu} \quad (19.1)$$

bo'lgan to'lqin tabiat namoyon bo'lishi kerak, degan xulosaga kelindi. (19.1) ifodani *de-Broyl to'lqin uzunligi* deb ataladi. De-Broyl gipotezasi bilan tanishgan, Eynshteyn: agar bu gipoteza to'g'ri bo'lsa, elektronlar uchun difraksiya hodisasi kuzatilishi lozim degan fikrni aytди.



19.1-rasm.



19.2-rasm.

1927-yilda Devisson va Jermerlar elektronlar ustida tajriba o'tkazib Eynshteyn fikrini tasdiqlashdi.

Qizdirilgan K katoddan chiqqan termoelektronlar katod va A anod oraliq'idagi elektr maydon ta'sirida tezlatiladi. Elektronlar dastasi  $D_1$  va  $D_2$  diafragmalardan o'tib  $Kp$  kristalliga, undan sochilib ionizatsion kamera ( $IK$ ) ga tushadi (19.1-rasm). Ionizatsion kamerada hosil bo'lgan tok galvanometr orqali o'lchanadi. Ionizatsion kamerani uyon-buyon siljitim yordamida turli burchaklarda sochilayotgan elektronlarni qayd qilish imkoniyati mavjud. Lekin tajriba shuni ko'rsatdi,

sochilish burchagining o'zgarishi bilan ionizatsion kameradagi tok kuchi monoton ravishda o'zgarmasdan, balki bir qator maksimumlar kuzatildi. Nikel kristali bilan o'tkazilgan tajribada elektronlarni tezlatuvchi potensiallar farqi  $54 V$  bo'lгanda sochilish burchagi  $\alpha=50^\circ$  qiymatida maksimum kuzatiladi. Agar shu tajriba elektronlarni o'rniga rentgen nurlari bilan o'tkazilsa, difraksiyon maksimum,  $\alpha=50^\circ$  da kuzatilishi uchun rentgen nurining to'lqin uzunligi  $1,67 \cdot 10^{-10} m$  bo'lishi lozim. Ikkinchini tomonidan (19.1) asosida elektronlar uchun de-Broyl to'lqin uzunligini hisoblasak,  $\lambda=1,67 \cdot 10^{-10} m$  qiymatni hosil qilamiz. Bu natija de-Broyl gipotezasi to'g'riliqini tasdiqladi. Keyinchalik de-Broyl gipotezasi to'g'riliqi ko'p olimlarning tajribalarida ham isbotlandi. Masalan, rus olimi P.S.Tartakovskiy katta tezlikdagi elektronlarni yupqa ( $d=1 \text{ mkm}$ ) metall qatlidan o'tkazib, bu elektronlar hosil qilgan difraksiya manzarasining rasmini fotoqog'ozga tushirdi (19.2-rasm).

1948-yilda V. Fabrikant, B.Biberman va N.Sushkinlar nihoyatda zaif intensivlikdagi elektronlar oqimi bilan tajriba o'tkazib, to'lqin xususiyatlar elektronlar oqimi uchungina emas, balki ayrim elektronlarni uchun ham tegishlidir degan xulosani isbot qilishdi. Xulosa qilib aytganda, de-Broyl, gipotezasi bir qator tajribalarda tasdiqlandi va u to'lqin mexanikasining yaratilishida muhim rol o'yndidi.

## 19.2. Geyzenbergning noaniqliklar munosabati

Elektronning to'lqin xossasini ochilishi unga oddiy zarracha sifatida emas, balki to'lqin xossasiga ega bo'lган murakkab bir borliq sifatida qarash kerakligini ko'rsatadi. Uni o'chami, aniq trayektoriyasi haqida gapirish qiyin. Elektron fotondan farqli zaryadiga ega bo'lib, uni fazodagi vaziyati va taqsimlanishi boshqa zarrachalar bilan, masalan, atomda yadro bilan o'zaro ta'sirlashishiga bog'liq bo'ladi.

Klassik mexanikada moddiy nuqta bir vaqtning o'zida aniq koordinataga, impuls va trayektoriyaga ega bo'ladi.

Mikrozarra to'lqin xossaga ega bo'lGANI uchun u klassik mexanikadagi zarrachadan farq qiladi. Asosiy farq shundaki, mikrozarrachani trayektoriyasi bo'lmaydi. Bundan tashqari, uni aniq koordinata va impulsi haqida ham gapirish mumkin emas. Masalan, mikrozarrachaning impulsini to'lqin uzunligi orqali ifodalashimiz mumkin. Ammo mikrozarracha to'lqin xossaga ega bo'lGANI uchun u fazoda anchha katta oraligini egallaydi va koordinatasining noaniqligi katta bo'ladi. Demak, zarrachaning impulsi aniq bo'lsa, uni koordinatasi noaniq qoladi. Aksincha mikrozarranni koordinatasini aniq hisoblasak, uning impulsining noaniqligi  $\Delta r$  ortadi. ya'ni  $\Delta x \rightarrow 0$  bo'lгanda  $\Delta r \rightarrow \infty$  bo'ladi.

1927-yilda nemis olimi Werner Geyzenberg (1901–1976) mikrozarrachalarning to'lqin xossasini hisobga olib, ularning impuls va koordinatalarini bir xil aniqlik bilan hisoblab bo'lmaydi degan xulosaga keldi va o'zining noaniqliklar munosabati qonunini yaratdi.

Mikrozarranning impuls va koordinatasini aniq o'chab bo'lmasligi o'chov asboblari aniqlik darajasiga bog'liq bo'lmasdan mikrozarranning to'lqin xossasidan kelib chiqadi.

Agar mikrozarranning fazodagi koordinatalarini  $X, U, Z$  va impulsining o'qlardagi proyeksiyalari  $R_x, R_u, R_z$  desak, Geyzenberg noaniqlik munosabatlariغا ko'ra koordinata noaniqligini impuls noaniqligiga ko'paytmasi Plank doimiyasidan kichik bo'lmaydi, ya'ni:

$$\begin{aligned}\Delta X \cdot \Delta P_x &\geq h \\ \Delta Y \cdot \Delta P_y &\geq h \\ \Delta Z \cdot \Delta P_z &\geq h\end{aligned}\quad (19.2)$$

Demak, koordinata noaniqligi impuls noaniqligiga ko'paytmasi doimo  $h$  dan katta bo'ladi. Impuls koordinatalar juda katta aniqlikda o'lchanganda ularning ko'paytmasi  $h$  teng bo'lishi mumkin. (19.2) munosabatlardan ko'rindan, koordinatalarni juda katta aniqlikda o'lchab, uni noaniqligi  $X$  ni juda kichik bo'lishiga ( $\Delta X=0$ ) erishish mumkin. Ammo bu vaqtida mikrozarra impulsini noaniqligi  $R$  ortib ketadi ( $r=\infty$ ). Doimo  $\Delta X$  ni  $\Delta R$  ga ko'paytmasi Plank doimiysi  $h$  dan katta bo'ladi. Bundan zarraning impulsi va koordinatasini bir xil aniqlikda o'lchab bo'lmasligi kelib chiqadi.

Bundan tashqari, mikrozarraning energiyasi va vaqtini o'lchashdagi noaniqliklar uchun quyidagi munosabat ham mavjud:

$$\Delta W \cdot \Delta t \geq h \quad (19.3)$$

Bu ifodadan yashash vaqtி  $\Delta t$  bo'lgan zarrani energiyasi aniq bir  $W$  qiymatga ega bo'lmasligi kelib chiqadi. Zarraning yashash vaqtி kamayishi bilan uning energiyasining noaniqligi ortadi.

Shunday qilib, noaniqliklar munosabatlari inson irodasiga bog'liq bo'limgan o'zaro bog'lanishlarni ifodalaydi. Shuning uchun ham bu munosabatalarni *tabitning obyektiv qonuni deb qaramoq lozim*.

### 19.3. To'lqin funksiya va uning statistik ma'nosi. Shredinger tenglamasi.

De-Broyl gipotezasini tajribada tasdiqlanishi, mikrozarralarning impuls va koordinatalarini aniqlashda noaniqlik munosabatlarini bajarilishi va boshqa qator tajribalar kvant mexanikasini yaratilishiga olib keldi.

Kvant mexanikasini yaratilish davri 1900-yilda M. Plank tomonidan yorug'lik kvanti haqidagi gipotezani ixtiro qilinishi davridan boshlab 1920-yillarni oxirigacha bo'lgan vaqtini o'z ichiga oladi. Kvant mexanikasini yaratishga avstriyalik fizik E. Shredinger, nemis fizigi V. Geyzenberg va angliyalik fizik P. Diraklar katta hissa qo'shgan. Bu mexanikada faqat mikroobyektlardagina aniq kuzatiladigan kvant tasavvurlar o'z aksini topganligi uchun uni, odatda, *kvant mexanikasi* deb ham ataladi.

Yorug'likning kvant nazariyasiga ko'ra difraksiya manzarasining intensivligi, o'sha joyga tushayotgan kvantlar soni bilan aniqlanadi. Shuningdek, difraksiya manzarasining ma'lum nuqtasiga mos kvantlar soni yorug'lik to'lqini amplitudasining kvadrati  $E^2 m$  bilan aniqlanadi. Bitta kvant uchun to'lqin amplitudasining kvadrati uni fazoning u yoki bu nuqtasiga tushish ehtimolligini bildiradi.

Mikrozarralarda kuzatiladigan difraksiya manzarasi ham ma'lum yo'nalishlar bo'yicha zarralar oqimini bir xilda taqsimlanganligiga bog'liq. Ma'lum yo'nalishga ko'p sondagi zarralar to'g'ri kelsa, boshqa yo'nalishga kam sonli zarralar to'g'ri keladi.

To'lqin nazariyaga ko'ra difraksiya maksimumga de-Broyl to'lqinining eng katta intensivligi mos keladi. Fazoning qayeriga ko'p sonli zarralar tushayotgan bo'lsa, o'sha joyda de-Broyl to'lqinining intensivligi ham katta bo'ladi. Boshqacha

aytganda mikrozarralardan hosil bo'ladigan difraksiya manzarasi zarralarning fazoning o'sha joyiga tushish ehtimolligiga bog'liq.

Kvant nazariyasining o'ziga xos tomoni shundaki, mikrozarralarning xossalarini o'rganishda ehtimolliklar qonuniyatlaridan foydalaniadi. De-Broyl to'lqini ehtimolliklar to'lqinidan iborat deb qarash, ya'ni zarrani fazoda topilish ehtimolligi to'lqin qonuniyat bilan o'zgaradi deyish xato bo'lar edi. Chunki bunday bo'lganda zarrani fazoda topilish ehtimolligi manfiy qiymat ham oladi. Ehtimollikni manfiy bo'lishi ma'noga ega emas.

1926-yilda M.Borning ko'rsatishicha to'lqin qonuniyat bilan ehtimollik o'zgarmasdan, balki ehtimollikning amplitudasi o'zgaradi. Ehtimollikning amplitudasi fazoning koordinatalari va vaqtga bog'liq bo'lgan ( $x, u, z, t$ ) to'lqin funksiya orqali ifodalanadi. Ehtimollik amplitudasi mavhum bo'lishi mumkin. Shuning uchun ehtimollik uning modulining kvadratiga proporsional:

$$W = |\psi(x, y, z, t)|^2 \quad (19.4)$$

Demak, de-Broyl to'lqini amplitudasining kvadrati fazoning ayni nuqtasida mikrozarraning qayd qilish ehtimolligini xarakterlaydi. Shunday qilib, mikrozarrani holatini to'lqin funksiya bilan ifodalash statistik yoki boshqacha aytganda ehtimollik xarakteriga ega. To'lqin funksiya qiymatini kvadrati zarrani t vaqt momentida fazoning tomonlari  $x$  va  $x+dx$ ,  $u$  va  $u+dy$ ,  $z$  va  $z+dz$  sohasida topilish ehtimolligini ko'rsatadi.

Kvant mexanikasida zarrani holati butunlay yangicha, ya'ni zarranining ham to'lqin, ham korpuskular xusuiyatini o'zida mujassamlashtirgan to'lqin funksiyasi orqali ifodalanadi. Zarrani hajmining dv bo'lakchasi bo'lish ehtimolligi

$$dW = |\psi|^2 dV \quad (19.5)$$

ko'rinishda ifodalanadi. Bunda  $\psi$ - funksiya qiymatining kvadrati

$$|\psi|^2 = \frac{dW}{dV}$$

ehtimollik zichligini bildiradi. Bu yerda shuni nazarda tutish kerakki,  $\psi$ - funksiyaning o'zi fizik ma'noga ega bo'lmasdan, uni qiymatining kvadrati fizik ma'noga ega bo'lib,  $|\psi|^2$  ni haqiqiy  $\psi$  va mavhum  $\psi^*$  funksiyalarining ko'paytmasi tarzida ifodalanadi:

$$|\psi|^2 = \psi \cdot \psi^*$$

Zarrani  $V$  hajm bo'lagida t vaqtida topilish ehtimolligini hisoblash uchun ehtimolliklarni qo'shish teoremasiga asosan  $V$ -hajm bo'yicha integrallash kerak:

$$W = \int_V dW = \int_V |\psi|^2 dV$$

Agarda zarra haqiqatan ham mayjud bo'lsa, uni butun  $V$  hajmda bo'lish ehtimolligi 1 ga teng bo'ladi. Shu holda  $\psi$ - funksiya normallar deb ataluvchi shartni qanoatlantiradi, ya'ni

$$\int \psi^2 dV = 1 \quad (19.6)$$

bo'ladi. Bundan tashqari, to'lqin funksiyaning fizik ma'nosidan kelib chiquvchi quyidagi shartlar ham bajarilishi kerak:

a)  $\psi$ -funksiya chekli bo'lishi kerak, chunki mikrozarrani qayd qilish ehtimolligi birdan katta bo'la olmaydi;

b)  $\psi$ -funksiya bir qiyamli bo'lishi kerak, chunki mikrozarrani fazoning biror nuqtasida qayd qilish ehtimolligining qiymati bir nechta bo'lishi mumkin emas;

d)  $\psi$ -funksiya uzlusiz bo'lishi kerak, chunki mikrozarrani qayd qilish ehtimolligi sakrashsimon xarakterda o'zgarmaydi.

$\psi$ -funksiyani 1926-yilda Shredinger tomonidan taklif etilgan va uning nomi bilan ataladigan tenglama yechib topiladi.

$$-\frac{\hbar^2}{2m} \left( \frac{\partial^2 \psi}{\partial X^2} + \frac{\partial^2 \psi}{\partial Y^2} + \frac{\partial^2 \psi}{\partial Z^2} \right) + U\psi = i\hbar \frac{\partial \Psi}{\partial t} \quad (19.7)$$

bunda,  $m$  – mikrozarranning massasi,  $U$  – mikrozarranning potensial energiyasi,  $\hbar$  – Plank doimiysi,  $i = \sqrt{-1}$  – mavhum birlik.

(19.7) da  $\psi$ -funksiyadan vaqt bo'yicha olingan hosilali had qatnashayotgani uchun uni vaqt ishtirok etgan Shredinger tenglamasi deb ataladi. Bu tenglamada mikrozarraga ta'sir etuvchi kuchlar potensial funksiya  $U(x, u, z, t)$  orqali aks ettilgan, ya'ni mikroza potensial energiyasining qiymati fazoning turli nuqtalaridagina emas, balki fazoning ayni nuqtasida ham vaqtning turli onlarida turlichadir.

Lekin mikrodunyoda sodir bo'ladi aksariyat hodisalarda mikrozarranning potensial energiyasi vaqtga oshkor bog'liq bo'lmaydi (turg'un holatlar uchun). Bu holda  $\psi$  - funksiya ikkita ko'paytuvchiga ajralib, biri faqat koordinatalarga, ikkinchisi faqat vaqtga bog'liq bo'ladi:

$$\psi(x, y, z, t) = \Psi(x, y, z) \cdot \varphi(t) \quad (19.8)$$

Natijada bir qator matematik amallardan so'ng (19.7) tenglamani quyidagi ko'rinishga keltirish mumkin:

$$\frac{\partial^2 \Psi}{\partial x^2} + \frac{\partial^2 \Psi}{\partial y^2} + \frac{\partial^2 \Psi}{\partial z^2} + \frac{2m}{\hbar^2} (W - U)\Psi = 0 \quad (19.9)$$

Bu tenglamada  $W$  – mikrozarranning to'liq energiyasi. (19.9) ifoda vaqt ishtirok etmagan turg'un holat uchun Shredinger tenglamasidir. Kvant mexanikasining ko'p masalalarini yechishda shu (19.9) tenglamadan foydalaniladi. Differensial tenglamalar nazariyasidan ma'lumki, Shredinger tenglamasiga o'xshash tenglamalar har doim ham yechimiga ega bo'lavermaydi. U faqat energiyaning ma'lum bir aniq qiyamatidagina xususiy yechimiga ega bo'ladi. Topilgan  $W$  energiyaning qiymati uzlusiz yoki diskret bo'lishi mumkin.

Biz ham ayrim masalalarni yechishda shu tenglamaning tatbiqlarini ko'rib chiqaylik.

**1. Shredinger tenglamasini erkin zarralar uchun tatbiqi.** Agar zarra erkin, unga hech qanday tashqi kuchlar ta'sir etmayotgan bo'lsa, uning potensial

energiyasi nol ( $U=0$ ) teng bo'lib, to'liq energiyasi uning kinetik energiyasidan iborat bo'ladi. Masalani soddalashirish uchun zarra koordinatining  $X$  o'qqa parallel holda harakatlanmoqda deb olamiz. Uni koordinatalaridan olingan xususiy hosilalari nolga teng bo'lib, Laplas operatorida bitta had qoladi:

$$\Delta\psi = \frac{\partial^2\psi}{\partial x^2}$$

Bu holda Shredinger tenglamasi soddalashib, quyidagi ko'rinishni oladi:

$$\frac{\partial^2\psi}{\partial x^2} + \frac{2m}{\hbar^2} W\psi = 0 \quad (19.10)$$

(19.10) ko'rinishdagi Differensial tenglamaning xususiy yechimi yassi to'lqin tenglama ko'rinishida bo'ladi:

$$\psi(x,t) = A\sin(\omega t - kx) \quad (19.11)$$

Bunga ishonch hosil qilish uchun (19.11) ifodani va  $\frac{\partial^2\psi}{\partial t^2}$  ni (19.10) ga qo'yib

ko'ramiz.

$$-k^2 A\sin(\omega t - kx) + \frac{2m}{\hbar^2} W \sin(\omega t - kx) = 0$$

bundan

$$k = \frac{1}{\hbar} \sqrt{2mW} \quad (19.12)$$

ekanligini topamiz,  $\sqrt{2mW} = P$  bo'lgani uchun

$$k = \frac{P}{\hbar} \quad (19.12a)$$

kelib chiqadi. Ko'rinish turibdiki, hosil qilingan bu ifoda de-Broyl formulasining o'zginasidir. Bu Shredinger tenglamasidan de-Broyl formulasini kelib chiqishini bildirmaydi. Aslida buni teskarisi Shredinger, o'zida de-Broyl to'lqinini mujassamlashtirgan tenglamani izlab topgan.

(19.12)ni boshqacha ko'rinishda ham yozish mumkin.

$$W = \frac{\hbar^2 k^2}{(2m)} = \frac{P_x^2}{(2m)} \quad (19.13)$$

(19.13) dan ko'rinaldiki, erkin zarraning energiyasi har qanday qiymatni olishi mumkin. Ya'ni uni energiyasining spektri uzlusizdir. Bu to'lqin soni k ni va zarraning impulsi  $R_x$  ni uzlusiz holda o'zgarishidan kelib chiqadi.

Shunday qilib, erkin zarra kvant mexanikasida yassi monoxromatik de-Broyl to'lqini (19.11) bilan ifodalanadi. Bunday zarrani fazoning har qanday nuqtasida topilish ehtimolligi bir xil va vaqtga bog'liq bo'lmay, amplitudaning kvadratiga teng:

$$|\psi|^2 = \psi \cdot \psi^* = A^2$$

Shredinger tenglamasi erkin zarraning energiyasiga hech qanday chegara qo'ymaydi. Ya'ni uni energiyasi kvantlanmaydi, u har qanday qiyatni olishi mumkin. Agar zarra bog'langan bo'lisa, uning energiyasi kvantlanishi mumkin. Masalan, atomdagi elektron yadroga bog'langan bo'lgani uchun uni energiyasi uzlukli qiyatlarni oladi, ya'ni kvantlanadi.

**2.Cheksiz chuqur potensial o'rada zarra.** Zarra kengligi  $\alpha$  bo'lgan cheksiz chuqur potensial o'rada harakatlanayotgan bo'lsin. O'rani devorlari cheksiz baland bo'lgani uchun zarracha undan tashqariga chiqsa olmaydi. Uni koordinatasi  $0 \leq x \leq a$  qiyatlarni olishi mumkin. Zarra o'raning devorlariga urilib, undan qaytishi natijasida devorlar orasida to'g'ri chiziqli trayektoriya bilan harakat qilishi mumkin. Zarraning bu o'rada potensial energiyasi manfiy va cheskizdir ( $U=-\infty$ ). Agar elektron o'rada chiqqan taqdirda ham, uning potensial energiyasi nol bo'lib, u erkin zarraga aylanadi. Shunday qilib,  $a$  kenglikdagi cheksiz chuqur potensial o'rada zarraning potensial energiyasi uchun

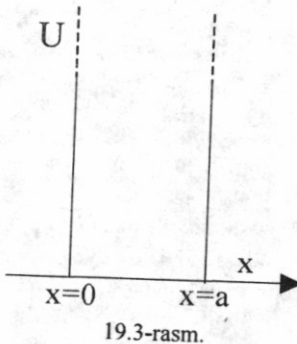
$$U(x) = \begin{cases} -\infty, & x < 0 \\ 0, & 0 \leq x \leq a \\ \infty, & x > a \end{cases}$$

shartni yozish mumkin. Bunday potensial o'raning grafigi 19.3-rasmda ko'rsatilgan. Bu o'rada harakatlanayotgan  $m$  – massali mikrozarra uchun Shredinger tenglamasi quyidagi ko'rinishda yoziladi:

$$\frac{\partial^2 \psi}{\partial X^2} + \frac{2m}{\hbar^2} (W - U) \Psi = 0 \quad (19.14)$$

O'rani devorlari cheksiz baland bo'lgani uchun zarra o'rada tashqariga chiqsa olmaydi. Shuning uchun zarrani o'rada tashqarida bo'lish ehtimolligi nolga teng.

O'rani chetlarida  $x=0$  va  $x=a$  bo'lganda to'lin funksiya ham nolga aylanadi. Ya'ni chegaraviy shart  $\psi(x)=\psi(a)=0$  bo'ladi. O'rani ichidagi zarra uchun Shredinger tenglamasi



$$\frac{\partial^2 \psi}{\partial X^2} + \frac{2m}{\hbar^2} W \Psi = 0 \quad \text{yoki}$$

$$\frac{\partial^2 \psi}{\partial X^2} + k^2 \Psi = 0 \quad (19.15)$$

ko'rinishda bo'ladi. Bu yerda

$$k^2 = \frac{2mW}{\hbar^2} \quad (19.16)$$

(19.15) ko'rinishdagi Differensial tenglamaning umumiylar yechimi  
 $\psi(x) = A \sin kx + B \cos kx$  tenglamadan iborat bo'ladi. Agar yuqorida qegevaviy shartdan  $\psi(0)=0$  bo'lishi uchun  $V=0$

ekanligini hisobga olsak, (19.15) tenglamani yechimi

$$\psi(x) = A \sin kx \quad (19.17)$$

bo‘ladi,  $X=a$  ekanligini e’tiborga olsak, (19.17) ifoda

$$\psi(a) = A \sin ka$$

ko‘rinishni oladi. Yuqoridagi chegaraviy shart, ya’ni  $\psi(a) = A \sin ka = 0$  bo‘lishi faqat  $k a = n\pi$  ( $n=1,2,3,\dots$ ) bo‘lganda bajariladi. Demak,

$$k = \frac{n\pi}{a} \quad (19.18)$$

(19.18) ni (19.16) ga qo‘yib, zarraning energiyasi uchun

$$W = \frac{n^2 \hbar^2 \pi^2}{2ma^2}, \quad (n=1,2,3,\dots) \quad (19.19)$$

ifodani topamiz.

Bu ifodadan quyidagi xulosa kelib chiqadi: potensial o‘radagi mikrozarraning energiyasi intiyoriy qiymatlarga emas, balki qator diskret qiymatlarga ega bo‘lishi mumkin (19.4-rasm). Wning kvantlashgan bu qiymatlarini energetik sathlar deb, mikrozarraning energetik sathini aniqlovchi  $n$  son esa **kvant son** deb ataladi. Shunday qilib,  $W$  ning faqat (19.19) ifoda bilan aniqlanuvchi qiymatlarga Shredinger tenglamasi yechimga ega bo‘lar ekan. Energiyaning bu qiymatlarini  $W$  ning **xususiy qiymatlari deb**, tenglamaning ularga mos kelgan yechimlarini esa **masalaning xususiy funksiyalari** deb ataladi.

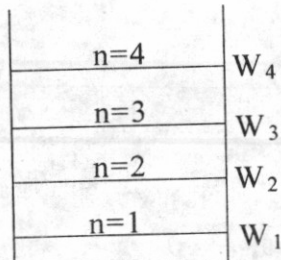
Endi (19.19) dan foydalanim, qo‘sni  $W_n$  va  $W_{n+1}$  energetik sathlarning bir-biridan uzoqligini topaylik:

$$\Delta W = W_{n+1} - W_n = \frac{\pi^2 \hbar^2}{2ma^2} (2n+1) \quad (19.20)$$

Bu ifodadan foydalansak, kengligi atom o‘lchamiga mos keluvchi ( $a \sim 10^{-10} m$ ) potensial o‘radagi elektron ( $m_e \sim 10^{-30} kg$ ) energiyasining xususiy qiymatlari uchun

$$\Delta W \approx \frac{3,14^2 \cdot 1,05^2 \cdot 10^{-68}}{2 \cdot 10^{-30} 10^{-20}} (2n+1) J = 0,34 \cdot 10^2 (2n+1) eV$$

ekanligini topamiz. Bu holda energetik sathlarning diskretligi juda aniq namoyon bo‘ladi. Biron ( $a = 10^{-2} m$ ) bo‘lgan potensial o‘ra uchun, molekula massasi  $\sim 10^{-26} kg$  deb hisoblasak, u holda  $\Delta W = 0,34 \cdot 10^{-18} (2n+1) eV$  ni hosil qilamiz. Bu holda energetik sathlar shunchalik zinch joylashgan bo‘ladiki, ularni uzlusizga yaqin deb hisoblasa ham bo‘ladi. Aslida, energetik spektr faqat  $a \rightarrow \infty$  dagina ( $W=0$ ) uzlusiz qiymatga ega bo‘ladi.



19.4-rasm.

Energetik sathlarning joylashuvi haqida mulohaza qilish uchun (19.20)ni (19.19) ga nisbatini olib,

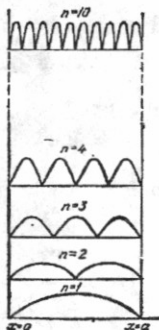
$$\frac{\Delta W}{W_n} = \frac{2n+1}{n^2} \quad (19.21)$$

munosabatni hosil qilamiz.  $n$  ning ancha katta qiyamatlarida kasr suratidagi 1 ni hisobga olmasa ham bo'ladi, natijada  $\Delta W/W_n \approx 2/n$  hosil bo'ladi. Demak,  $n$  kattalashgan sari  $\Delta W$  ning qiymati  $W_n$  ga nisbatan kichiklashib boradi. Natijada energetik sathlar bir-biri bilan tutashadigan darajada yaqinlashib ketadi. Boshqacha qilib aytganda, kvant sonining katta qiyamatlarida kvant mexanikasining xulosalarini klassik fizikada olingen natijalarga mos kelishi kerak. Bu qoida Bor tomonidan aniqlangan bo'lib, uni **moslik prinsipi** deb ataladi. Klassik fizikaga ko'ra o'rada zarraning barcha holatlari bir xil ehtimollikda bo'ladi. Kvant mexanikasida bu hodisa quydagicha tahlil qilinadi. Shredinger tenglamasining yechimi, ya'ni n

kvant sonining bizni qiziqtiruvchi qiyatlari uchun to'lqin funksiyalarini topib,  $|\Psi|^2$  ning grafigini chizish kerak. 19.5-

rasmda  $|\Psi|^2$  ning x ga bog'liqlik grafigi  $n$  ning turli qiyatlari uchun tasvirlangan.

Rasmdan ko'rinadiki,  $n=1$  holatda zarrani qayd qilish ehtimolligi o'raning o'rtasida maksimumga erishadi.  $n=2$  holatda esa zarrani o'ra devorlariga yaqin nuqtalarda va o'raning o'rtasida topib bo'lmaydi, chunki bu nuqtalarda  $|\Psi|^2=0$ . Bu holatda zarraning qayd qilish ehtimolligi o'raning ikki nuqtasida maksimumga erishadi.  $n=3$  holatda esa zarrani qayd qilish ehtimolligi uchta maksimumga erishadi.  $n$  ning ancha katta qiyamatlarida ehtimollik maksimumlarini xarakterlovchi do'ngliklar ham ortib boradi, ammo bu do'ngliklarning hammasi  $\Delta x = a$  kenglikda joylashishi kerak.  $n$  kattaroq bo'lgani sari do'ngliklar bir-biri bilan tutashadigan darajada yaqin joylashadi, ya'ni zarrani qayd qilish ehtimolliklari bir xil bo'lgan nuqtalar soni ortib boradi.



19.5-rasm.

maksumumlarini xarakterlovchi do'ngliklar ham ortib boradi, ammo bu do'ngliklarning hammasi  $\Delta x = a$  kenglikda joylashishi kerak.  $n$  kattaroq bo'lgani sari do'ngliklar bir-biri bilan tutashadigan darajada yaqin joylashadi, ya'ni zarrani qayd qilish ehtimolliklari bir xil bo'lgan nuqtalar soni ortib boradi.

#### 19.4. Kvant mexanikasida garmonik ossillator

Klassik va kvant nazariyasining ko'p masalalarini yechishda elastik kuchga o'xshash kuch ta'sirida tebranma harakat qiluvchi sistema model sifatida foydalilanadi va uni **chiziqli garmonik ossillator deb ataladi**. Prujinali, fizik va matematik mayatniklar garmonik ossillatorlarga misol bo'la oladi. Garmonik ossillatorning potensial energiyasi

$$U = \frac{m\omega_0^2 x^2}{2} \quad (19.22)$$

formula bilan aniqlanishi bizga ma'lum. Bu yerda  $\omega_0$  – ossillatorning xususiy chastotasi,  $m$  – ossillatorning massasi. (19.22) bog'lanish grafigi paraboladan yoki boshqacha aytganda parabola shaklidagi «potensial» o'rada iborat bo'ladi.

Ossillatorning to'liq energiyasi uni potensial va kinetik energiyalarining yig'indisiga teng va u vaqt o'tishi bilan o'zgarmaydi:

$$W = W_K + U = \frac{m\omega_0^2 A^2}{2} \quad (19.23)$$

Bu ifoda energiyaning saqlanish qonunini ifodalaydi. Energianing saqlanish qonuniga ko'ra to'liq energiya ossillatorga berilgan dastlabki energiyaga teng bo'ladi. Ossillatorning to'liq energiyasi uni tebranishi davomida potensial va kinetik energiya orasida turlicha taqsimlanadi. Agar 19.6-rasmida ko'rsatilgan grafikda to'liq energiyaga mos joydan gorizontal chiziq o'tkazsak, bu chiziq koordinatalari  $x = \pm A$  bo'ladi, bu yerda,  $A$  – ossillatorning tebranish amplitudasi. Ossillator  $-A$ ,  $+A$  oraliqidan chiqqa olmaydi. Agar u bu oraliqidan chiqadi desak, uning potensial energiyasi to'liq energiyadan hem katta bo'lib, energianing saqlanish qonuni buziladi. Demak, klassik ossillator chegaralangan fazo sohasida tebranadi.

Kvant mexanikada *chiziqli garmonik ossillator-kvant ossillator deb ataladi*. *Kvant ossillatorga misol qilib*, kristall panjara tugunida tebranma harakat qilayotgan atomni, molekulani va umuman olganda tebranma harakat qilayotgan har qanday mikrozarrani olish mumkin. Kvant ossillatori uchun Shredinger tenglamasi quyidagicha yoziladi:

$$\frac{\partial^2 \psi}{\partial X^2} + \frac{2m}{\hbar^2} \left( W - \frac{m\omega_0^2 x^2}{2} \right) \psi = 0 \quad (19.24)$$

Bu yerda  $U = \frac{m\omega_0^2 x^2}{2}$  ossillatorning potensial energiyasi,  $W$  – ossillatorning to'liq energiyasi.

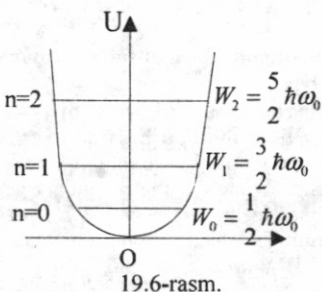
Differensial tenglamlar nazariyasidan ma'lumki, (19.24) ko'rinishdagi differensial tenglama energianing

$$W_n = \left( n + \frac{1}{2} \right) \hbar \omega_0, \quad (n = 0, 1, 2, \dots) \quad (19.25)$$

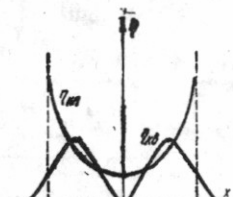
bo'ladigan xususiy qiymatlarida yechimga ega. (19.25) formuladan ko'rinishdiki, kvant ossillator energiyasi diskret qiymatlarni olib o'zgaradi, ya'ni uni energiyasi kvantlanadi. Kvant ossillatorning ham eng kichik energiyasi vertikal devorli potensial o'ra ichidagi zarraning energiyasiga o'xshab, noldan katta bo'ladi. Ossillatorning bu eng kichik energiyasi (19.25) dan

$$n=0 bo'lganda W_0 = \frac{\hbar \omega_0}{2} bo'ladi.$$

Kvant ossillator haqidagi masalaning yechimidan klassik fizikaga xos bo'limgan yangi natija kelib chiqadi. Kvant ossillatori sifatida qaralayotgan zarra



19.6-rasm.



19.7-rasm.

klassik fizika nuqtayi nazaridan mumkin bo'lмаган соҳада ham bo'lishi mumkin. Klassik nuqtayi nazaridan qaraganda zarra (-A va +A) oralig'идан chiqqa olmasligi kerak. Ammo kvant ossillatori parabola shaklidagi potensial o'radan ham tashqariga chiqishi mumkin.

Kvant ossillatorning koordinatalari x dan  $x+dx$  gacha bo'lgan соҳада bo'lish ehtimolligi

$$W_{\kappa\theta}(x)dx = |\psi_n(x)|^2 dx$$

ifoda bilan aniqlanadi.

19.7-rasmda  $n=1$  kvant holati uchun kvant mexanikasidagi ehtimollik zichliklari solishtirilgan. Grafikdan ko'rinish turibdiki, kvant ossillatori klassik fizikaga ruxsat etmagan соҳада ham bo'lishi mumkin. Bu zarraning to'lqin xususiyatidan, bevosita Shredinger tenglamasining yechimidan kelib chiqadi. Bu yechim murakkab bo'lgani uchun biz unga to'xtalmaymiz.

### Savollar

1. De-Broyl gipotezasi nimadan iborat?
2. De-Broyl to'lqin uzunligi ifodasini yozing.
3. De-Broyl gipotezasini isbotlovchi Devisson va Jermerlarni elektronlar ustida o'tkazgan eksperimental qurilmasi sxemasini va natijalarini tushuntiring.
4. Tabiatning obyektiv qonuni deb qaralgan Geyzenberning noaniqliklar munosabatini ifodalang.
5. To'lqin funksiyasi va uning statistik ma'nosini tushuntiring.
6. Vaqt ishtirok etmagan turg'un holat uchun Shredinger tenglamasini yozing.
7. Cheksiz chuqur potensial o'radagi harakatlanayotgan zarra uchun Shredinger tenglamasini yozing.
8. Chiziqli garmonik ossillator qanday model sifatida foydalaniladi?

### Masalalar

**73-masala.** Boshlang'ich tezligini hisobga olmaslik mumkin bo'lgan elektron  $U$  tezlantruvchi potensiallar farqi orqali o'tadi. Ushbu ikki hol uchun 1)  $U_1=51V$  2)  $U_2=510 \text{ kV}$ . De-Broyl to'lqin uzunligi  $\lambda$  topilsin.

$$\frac{U_1 = 51V, \quad U_2 = 510 \text{ kV}}{\lambda \sim ?}$$

**Yechish.** Zarra de-Broyl to'lqininining uzunligi  $\lambda$ , uning impulsi R ga bog'liq va

$$\lambda = \frac{2\pi\hbar}{P} \quad (1)$$

formula bilan aniqlanadi.

Agar zarraning kinetik energiyasi  $W_k$  ma'lum bo'lsa, uning impulsini aniqlanadi.

Norelativistik ( $W_k \ll W_0$  da) va relativistik ( $W_k \approx W_0$  da) hollar uchun impulsning kinetik energiya bilan bog'lanishi mos ravishda quyidagi formulalar bilan ifodalananadi:

$$P = \sqrt{2m_0 W_k}, \quad (2)$$

$$P = \frac{1}{c} \sqrt{(2W_0 + W_k)W_k} . \quad (3)$$

Norelativistik va relyativistik hollar uchun mos ravishda (2) va (3) munosabatlarni hisobga olganda, (1) formula quyidagi ko'rinishda yoziladi:

$$\lambda = \frac{2\pi \hbar}{\sqrt{2m_0 W_k}} , \quad (4)$$

$$\lambda = \frac{2\pi \hbar}{\frac{1}{c} \sqrt{(2W_0 + W_k)W_k}} . \quad (5)$$

Ma'lumki, U tezlantiruvchi potensiallar farqini o'tgan elektronning kinetik energiyasi  $W_k = \frac{1}{2} m_0 c^2$  ekanligini nazarga olamiz.

Birinchi holda  $W_{k1} = \frac{1}{2} m_0 c^2$ ,  $U_1 = 51 \text{ eV} = 0,51 \cdot 10^{-4} \text{ MeV}$ . Bu elektronning tinchlikdagi energiyasi  $W_0 = m_0 c^2 = 0,51 \text{ MeV}$  dan ko'p marta kichik. Demak, (4) formulani qo'llash mumkin.

Hisob-kitobni qisqartirish uchun  $W_{k1} = 10^{-4} m_0 c^2$  ekanligini nazarga olamiz.

Bu ifodani (4) formulaga qo'yib, uni

$$\lambda_1 = \frac{2\pi \hbar}{\sqrt{2m_0 \cdot 10^{-4} m_0 c^2}} = \frac{10^2 \cdot 2\pi \hbar}{\sqrt{2} m_0 c}$$

ko'rinishda yozib olamiz.

$\left[ \frac{2\pi \hbar}{m_0 c} \right]$  Kompton to'lqin uzunligi  $\lambda_s$  ekanligini hisobga olib, quyidagini olamiz

$$\lambda_1 = (10^2 / \sqrt{2}) \lambda_s .$$

$\lambda_s = 2,43 \cdot 10^{-12} \text{ m}$  ekanligidan

$$\lambda_1 = \frac{10^2}{\sqrt{2}} 2,43 \cdot 10^{-12} \text{ m} = 172 \text{ nm} .$$

Ikkinchi holda kinetik energiya  $W_{k2} = (e)U_2 = 510 \text{ keV} = 0,51 \text{ MeV}$ , ya'ni elektronning tinchlikdagi energiyasiga teng. Demak, relativistik formula (5)ni qo'llash kerak.

$W_2 = 0,51 \text{ MeV} = m_0 c^2$  ekanligini hisobga olib (5) formulaga binoan quyidagini topamiz

$$\lambda_2 = \frac{2\pi \hbar}{\frac{1}{c} \sqrt{(2m_0 c^2 + m_0 c^2)m_0 c^2}} = \frac{2\pi \hbar}{\sqrt{3} m_0 c} \text{ yoki } \lambda_2 = \frac{\lambda_s}{\sqrt{3}} .$$

$\lambda_s$  ning qiymatini oxirgi formulaga qo'yib va hisoblab, natijani topamiz:

$$\lambda_2 = 1,4 \text{ pm} .$$

**74-masala.** Vodorod atomidagi elektronning  $W_k$  kinetik energiyasi 10 eV ni tashkil etadi. Noaniqlik munosabatidan foydalananib atomning minimal chiziqli o'chamlari baholansin.

$$\text{Berilgan: } \frac{W_k = 10 \text{ eV}}{\ell \text{ min} \sim ?}$$

**Yechish.** Elektron koordinatasining va impulsining noaniqligi quyidagi munosabat orqali bog'langan.

$$\Delta x \cdot \Delta p \geq \hbar \quad (1)$$

bunda,  $\Delta x$  – elektron koordinatasining noaniqligi;  $\Delta r$  – uning impulsining noaniqligi;  $\hbar$  – Plank doimiysi.

Bu munosabatdan ko'rinish turlibdiki, zarraning fazodagi o'rni qanchalik to'g'ri o'chansa, impulsi va demak, zarraning energiyasi shunchalik noaniq bo'la boradi. Atomning chiziqli o'chami  $\ell$  bo'lsin, unda atom elektroni  $\Delta x = \ell / 2$  noaniqlik soha atrofida bo'ladi. Bu holda (1) noaniqlik munosabatlarini  $\frac{\ell}{2} \cdot \Delta p \geq \hbar$  ko'rinishda yozish mumkin, bundan

$$\ell \geq 2\hbar / (\Delta p) \quad (2)$$

Fizik mantiqqa asosan impulsning noaniqligi  $\Delta p$  har holda impuls  $r$  ning qiymatidan katta bo'lmasligi kerak, ya'ni

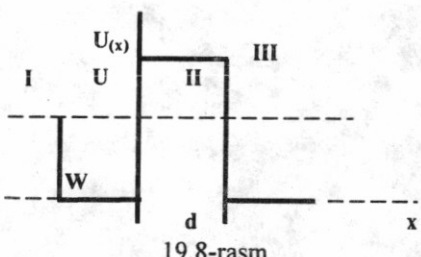
$$\Delta p \leq p$$

Impuls  $r$  endi kinetik energiya  $W_k$  bilan quyidagi munosabat orqali bog'langan  $p = \sqrt{2m W_k}$ .  $\Delta p \approx \sqrt{2m W_k}$  qiymat bilan almashtiramiz (bunday almashtirish  $\ell$  ni orttirmaydi). (2) tengsizlikdan tenglikka o'tib quyidagini olamiz

$$\ell_{\min} = 2\hbar / \sqrt{2m W_k}$$

Son qiymatlarni qo'yamiz va hisoblab natijasini topamiz

$$\ell_{\min} = 124 \text{ nm}$$



**75-masala.**  $W=4,9$  eV energiyali elektron  $x$  o'qining musbat yo'nalishi bo'ylab harakatlanmoqda (19.8-rasm). Potensial to'siqning balandligi  $U=5$  eV. To'siqning qanday  $d$  qalinligida, elektronning to'siq orqali o'tish ehtimolligi  $E=0,2$  bo'ladi?

**Yechish.** Zarraning potensial to'siq orqali o'tish ehtimolligi o'zining fizik ma'nosiga ko'ra shaffoflik koefitsiyenti  $D$  bilan mos keladi ( $W=D$ ). U holda elektronning

to'g'ri burchakli potensial to'siqdan o'tish ehtimolligi quyidagi munosabat bilan ifodalananadi:

$$E = \exp \left[ -\frac{2}{\hbar} \sqrt{2m(U-W)} d \right]. \quad (1)$$

bunda,  $m$  – elektronning massasi (1) ni logariflab, quyidagini olamiz.

$$\ln E = -\frac{2}{\hbar} \sqrt{2m(U-W)d}.$$

Hisoblash qulay bo‘lishi uchun bu tenglikning har ikki tomonini ishoralarini o‘zgartiramiz va  $d$  ni topamiz.

$$d = \frac{\hbar \ln(Y_E)}{2\sqrt{2m(U-W)}}.$$

Bu formulaga kiruvchi kattaliklarni SI birliklarida ifodalaymiz va hisoblaymiz:  
 $d=4,95 \cdot 10^{-10} \text{ m}=0,495 \text{ nm}$ .

(1) formula taxminiy ekanligini va hisob-kitob baholash uchungina qilinayotganligini nazarda tutib,  $d \approx 0,5 \text{ nm}$  deb qabul qilish mumkin.

### 20.1. Vodorod atomining kvant nazariyasi

Bor atom nazariyasining kamchiliklari aniq bo'lib qolgandan keyin atom jarayonlarini to'laligicha tushuntirib beruvchi umumiyligi atom nazariyasini yaratishga harakat boshlandi. Atomning bunday nazariyasini kvant mexanikasi asosida yaratishga kirishildi. Natijada atomning Bor nazariyasida postulat tarzida qabul qilingan elektron energiyasining kvantlanishi Shredinger tenglamasi yechimidan o'z-o'zidan kelib chiqishi ma'lum bo'ldi. Bor atom nazariyasini postulatga tayanib yaratgan bo'lsa, atomning yangi nazariyasida bunga hojat bo'lmadi.

Vodorod atomining asosiy turg'un holati uchun Shredinger tenglamasi qanday ko'rinishda bo'lishini ko'raylik. Vodorod atomida elektronning yadrodan uzoqligi  $r$  deb belgilasak, uning potensial energiyasi  $U = -e^2/4\pi\epsilon_0 r$  bo'ladi. Natijada vodorod atomi uchun Shredinger tenglamasi

$$\frac{d^2\psi}{dx^2} + \frac{d^2\psi}{dy^2} + \frac{d^2\psi}{dz^2} + \frac{2m_e}{\hbar^2} \left( W + \frac{e^2}{4\pi\epsilon_0 r} \right) \cdot \Psi = 0 \quad (20.1)$$

ko'rinishda yoza olamiz.

(20.1) ko'rinishdagi Differensial tenglamani yechish anchagina murakkab matematik amallarni talab qiladi. Shuning uchun tenglamani qanday yechish yo'llariga to'xtalmay, uni tayyor yechimini muhokama qilamiz.

(20.1) tenglama quyidagi ikki holda yechimga ega bo'lishi mumkin: 1)  
 $W > 0$  qiyatlarda

2)  $W < 0$  ning faqat

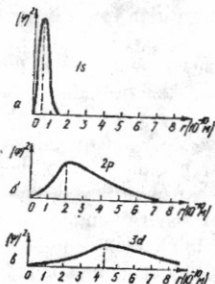
$$W = -\frac{m_e e^4}{32\pi^2 \epsilon_0^2 \hbar^2 n^2}; \quad (n = 1, 2, 3, \dots) \quad (20.2)$$

shartni qanoatlantiruvchi diskret qiyatlarda  $W > 0$  bo'lgan hol yadro yaqinidan o'tib, undan cheksizlikkacha uzoqlashayotgan elektronga,  $W < 0$  bo'lgan hol esa yadroga bog'langan elektronga mos keladi. Demak, Shredinger tenglamasining  $W > 0$  qiyatlardagi yechimlari vodorod atomini emas, balki atom bo'lib birikmagan yadro va fazodagi erkin elektronni aks ettiradi.  $W < 0$  bo'lgan ikkinchi holdagi

yechimlari vodorod atomidagi elektronni aks ettiradi. Elektron vodorod atomidagi energiya qiyatlарини aniqlovchi (20.2) ifoda Borning vodorod atomining nazariyasidan kelib chiqqan (18.9) ifodaning o'zginasidir. Lekin Bor bu formulani postulatga, ya'ni farazlarga asoslanib chiqqangan bo'lsa, kvant mexanikasida esa u Shredinger tenglamasining yechimidan kelib chiqadi. (20.1) tenglamaning yechimlari kvant sonlar deb ataladigan uchta parametrga ega. Birinchisi **asosiy kvant son** deyiladi va n harfi bilan belgilanadi, ya'ni:

$$n = 1, 2, 3, \dots \quad (20.3)$$

20.1-rasm.



ikkinchisi – **orbital kvant soni**,  $l$  harfi bilan belgilanadi, uning yordamida elektron ega bo'la oladigan impuls momentining diskret qiymatlarini quyidagi

$$L = \sqrt{l(l+1)\hbar} \quad (20.4)$$

formula asosida aniqlash mumkin. Orbital kvant soni  $0$  dan  $n-1$  gacha butun musbat qiymatlarga ega bo'la oladi, ya'ni:

$$l = 0, 1, 2, \dots, n-1 \quad (20.5)$$

Uchinchisi – **magnit kvant soni**  $m$  bo'lib,  $u - l$  dan  $0$  orqali  $+l$  gacha bo'lgan butun sonli qiymatlarga ega bo'la oladi, ya'ni:

$$m = -l - (l-1), \dots, -1, 0, +1, \dots, +(l-1) + l \quad (20.6)$$

Magnit kvant soni  $m$  – yordamida elektronning impuls momenti vektori  $L$  ning fazodagi yo'naliishi aniqlanadi  $L$  vektorning  $Z$  yo'naliishiga proyeksiysi:

$$L_z = \pm m\hbar \quad (20.7)$$

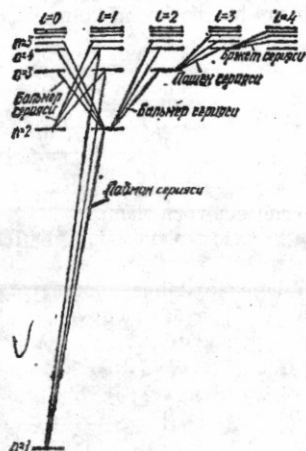
ifoda bilan aniqlanadi.

Vodorod atomidagi elektron energiyasining (20.2) formula bilan aniqlanuvchi har bir qiymatiga bir necha to'lqin funksiya mos keladi, ular bir-biridan  $l$  va  $m$  kvant sonlar bilan farqlanadi. Misol tariqasida  $n = 2$  ga teng bo'lgan holni muhokama qilaylik. Orbital kvant soni  $l$ , (20.5) shartga asosan,  $0$  yoki  $1$  qiymatga ega bo'la oladi.  $l=0$  bo'lganda magnit kvant soni  $m$ , (20.6) shartga asosan faqat  $0$  qiymatini oladi. Bunda elektronning mexanik impuls momenti ham nolga teng bo'ladi. Bu holatda elektron mavjud bo'ladigan fazodagi soha sferik simmetriyaga ega bo'ladi, ya'ni yadro dumaloq elektron buluti bilan o'ralgan deyish mumkin. Elektron bulutini zikh joylari elektron orbitasining birinchi Bor radiusi ( $r_1 = 0,53 \cdot 10^{-10}$  m) ga mos keladi.

Elektron holatlarini belgilashda asosiy kvant sonni raqam bilan, orbital kvant sonni harf bilan ifodalash qabul qilingan.  $l=0$  holatini  $S$  harfi bilan,  $l=1$  holatini  $R$  harfi bilan,  $l=2$  holatini esa  $d$  harfi bilan belgilanadi. Masalan,  $n=1$ ,  $l=0$  holatdagi elektronni  $1s$  deb,  $n=2$ ,  $l=1$  holatdagi elektronni esa  $2r$  deb belgilasa bo'ladi.

Kvant mexanikasida «trayektoriya» tushunchasi ma'noga ega bo'lmaganligi uchun «orbita» tushunchasi ham o'z ma'nosini yo'qtotadi. Lekin kvant mexanikasi elektronning fazani qaysi nuqtasida qayd qilish ehtimolligi haqida axborot bera oladi. 20.1-rasmarda mos ravishda  $1s$ ,  $2r$ ,  $3d$  holatlardagi elektronlarni yadrodan r masofadagi nuqtalarda qayd qilish ehtimolligining zichligini tasvirlovchi grafiklar keltirilgan. Rasmlardan ko'rinishicha, eng katta ehtimollik bilan elektronni qayd qilish mumkin bo'lgan nuqtalarning geometrik o'rinnari Bor orbitalariga mos keladi.

*Is dan boshqa holatlar uyg'ongan holatlar* deyiladi. Atomning asosiy holatdan uyg'ongan holatga yoki quyiroq uyg'ongan holatdan yuqoriroq uyg'ongan holatga o'tkazish uchun unga tashqaridan energiya berilishi lozim. Bu energiyaning miqdori



20.2-rasm.

atomning oxiri va boshlang'ich holatlardagi energiyalarning farqiga teng bo'ladi, albatta. Energiya berish yo'llaridan biri atom tomonidan fotonni yutishdir. Foton yutishga teskari jarayon atomning nur chiqarishidir. Shu narsa ayonki, bu jarayon tufayli atom yuqoriroq uyg'ongan holatdan quyiroq uyg'ongan holatga yoki asosiy holatga o'tadi. Atomning boshlang'ich va oxirgi holatlarining orbital kvant sonlari faqatgina bir birlikka o'zgaradigan, ya'ni  $\Delta l = \pm 1$  bo'ladigan o'tishlarga amalga oshadi. 20.2-rasmda vodorod atomi spektirini kvant mexanikasi tasavvurlari asosida amalga oshishi tasvirlangan.

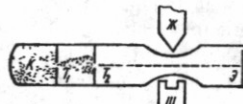
Demak, Shredinger tenglamasi hech qanday qo'shimcha gepotezaga tayanmasdan vodorod atomining barcha xususiyatlarni tushuntira oladi.

## 20.2. Shtern va Gerlax tajribasi. Elektronning spin'i

O.Shtern va V.Gerlxlar tajribada tashqi magnit maydoni ta'sirida atom magnit momentlari fazoda ixtiyoriy yo'naliishlarda emas, balki ruxsat etilgan tayinli yo'naliishlarda joylashishini isbotladilar. Bu tajribada qo'llanilgan qurilma 20.3-rasmda tasvirlangan. Qizdiriladigan K kameradan bug'lanib chiqqan atomlar tasmasimon tirkishli to'siqlar ( $T_1$  va  $T_2$ ) dan o'tgach, dasta shakliga keladi. So'ngra atomlar dastasi niroyat darajada bir jinsli bo'limgan magnit maydondan o'tib E ekranga tushadi. Kuchli bir jinsli bo'limgan magnit maydonni elektro-magnit o'zagining qutblariga maxsus shakl berish bilan hosil qilinadi. Qurilma havosi so'rib olingen maxsus kameraga joylashtirilgan bo'ladi.

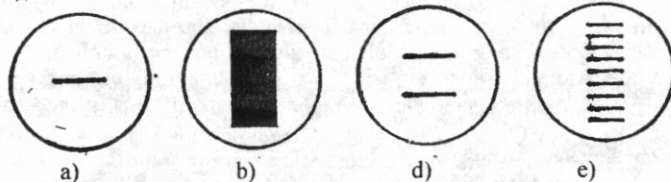
Klassik fizika nuqtayi nazaridan qaraganda atomlar dastasi ekranni bir joyiga tushishi kerak, chunki atomlarning magnit momentlari har qanday qiyamatni olishi mumkin.

Kvant nazariyasiga ko'ra atomlar dastasi umuman bo'laklarga ajralmasligi yoki kamida uchta bo'lakka ajralishi kerak. Vodorod atomi dastasi esa magnit momenti nol bo'lgani uchun umuman, bo'laklarga ajralmasligi kerak edi. Lekin vodorod atomlari dastasi bir jinsli bo'limgan magnit maydondan o'tishda ikkiga ajralib, ekranning ikki nuqtasida to'siqlik tirkishning shakliga o'xshash dog' hosil bo'ladi. Bir valentli  $Na$ ,  $K$ ,  $Ag$  va boshqa atomlar dastasini ham vodorodga o'xshab ikki bo'lakka ajralishi kuzatildi. Buning sababi keyinchalik ma'lum bo'ldi. Umuman, Shtern va Gerlax tajribasi atom magnit momentlarini fazoviy kvantlanishini isbotladi. Agar bir jinsli bo'limgan magnit maydondan  $R$  - holatdag'i ( $l=1$ ) atomlar dastasi o'tkazilsa, ular uch bo'lakka ( $2|l+1=3\rangle$ ) bo'linishini qayd qilinadi. Magnit maydon ta'sir qilmaganda ekranda 20.4,a-rasmdagi tasvir hosil bo'ladi. Demak, bir jinsli bo'limgan magnit maydonda harakatlanayotgan atomlarga ta'sir etuvchi kuch atom magnit momentining yo'naliishiga bog'liq. Bu kuch ta'sirida atomlar ekranning yuqoriroq yoki pastroq qismlariga tushadi. Shuning uchun atomlar dastasida  $R_m$  ning barcha yo'naliishlari mavjud bo'lsa, bu atomlar ekranga tushishi natijasida vujudga kelgan dog'ning shakli 20.4,b-rasmdagidek bo'lishi kerak edi. Tajribalarda esa bunday natijalar mutlaqo kuzatilmadi. Ba'zi hollarda, masalan, simob yoki marganec atomlarining dastalari bilan o'tkazilgan tajribalarda, ekrandagi dog' xuddi hech qanday maydon ta'sir qilmagandek (20.4,a-rasmga q.) shaklga ega bo'ladi. Boshqa hollarda esa atomlar dastasi komponentlarga ajraladi, natijada ekranda bir necha o'zaro parallel chiziqcha shaklidagi dog'lar hosil bo'ladi. Natrivi yoki simob atomlarining dastalari ekranda vujudga keltirilgan manzara 20.4, v-rasmda, temir



20.3-rasm.

atomlarining dastasi qo'llanilgan tajribada kuzatilgan manzara esa 20.4 e-rasmida tasvirlangan.



20.4 -rasm.

Shunday qilib, Shtern va Gerlak tajribasi fazoviy kvantlanish mavjudligini hamda elektronlar va atomlar magnit momentlarining qiymatlari diskret xarakterga egaligini isbotladi.

**Elektron spin.** 1925-yilda amerikalik fiziklar Jorj Ulenbek va Semuel Gaudsmit agar elektron xususiy mehanik va magnit momentlariga ega deb faraz qilinsa, Shtern va Gerlak tajribalarini ham, atomlarning spektral chiziqlarini bo'linishini ham tushuntirish mumkinligini isbotladilar. Klassik fizika nuqtayi nazaridan qaraganda elektron o'z o'qi atrofida aylangandagina xususiy impuls va magnit momentiga ega bo'ladi. Elektron zaryadga ega bo'lishi natijasida magnit momenti vujudga keladi. Elektronning xususiy impuls momentini spin, xususiy magnit momentini spin magnit momenti deb ataladi.

«Spin» inglizcha so'z bo'lib «aylanmoq» degan ma'noni anglatadi. Bu termin ishlatalishiga sabab, o'sha vaqtida elektronni o'z o'qi atrofida aylanuvchi zaryadli sharcha sifatida tasavvur qilingan. Lekin bunday tasavvur noto'g'ri ekanligi keyinchalik ma'lum bo'ldi. Chunki elektron uchun odatdagagi impuls va magnit momenti qiymatini olish uchun u yorug'lik tezlididan yuz martadan ham katta chiziqli tezlikda aylanishi kerak ekan. Bu esa Eynshteyn nisbiylik nazariyasiga zid keladi.

Hozirgi vaqtida elektron spinini aylanishini bildirmaydi, spin xuddi zaryad va massa kabi elektronning impuls momentini bildiruvchi kattalik hisoblanadi.

Elektronning spini uning aylanishi bilan bog'lash noto'g'ri ekanini zaryadsiz zarracha – neytron ham mehanik momentdan tashqari spin magnit momentiga ega bo'lishda ko'rishimiz mumkin.

Elektron spin mehanik momenti ham orbital mehanik momentga o'xshab kvantlanadi, ya'ni

$$L_{sp} = \frac{\sqrt{3}}{2} \hbar \quad (20.8)$$

ga teng. Spinning tanlab olingen yo'nalishi  $z$  ga (masalan, tashqi magnit maydon yo'nalishiga) proyeksiysi faqat kvantlangan qiymatlarga ega bo'la oladi, bu qiymatlar quyidagi formula bilan aniqlanadi:

$$L_{sp,z} = s\hbar \quad (20.9)$$

bunda,  $s$  – spin kvant soni. U  $n, l, m$  kvant sonlardan farqlanib kasr qiymatlarga, ya'ni

$$S = -\frac{1}{2} ; +\frac{1}{2} \quad (20.10)$$

ga ega bo'lishi mumkin. Elektronning spin magnit momentining proyeksiyasi va  $L_{sp.z}$  quyidagi munosabat bilan bog'langan:

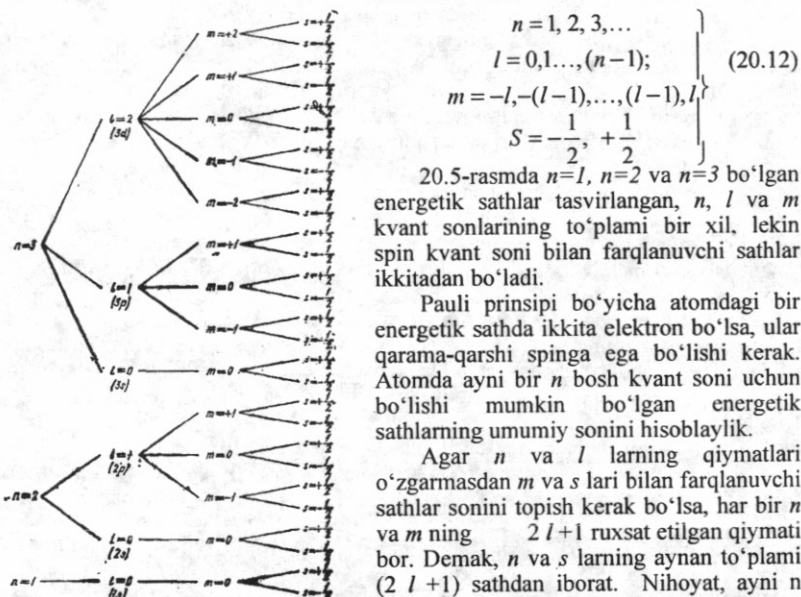
$$\mu_{cz} = -\frac{l}{m_e} L_{sp.z} = -S \frac{l\hbar}{m_e} = \pm \frac{l\hbar}{2m_e} = \pm \mu_B \quad (20.11)$$

Demak, elektron spinini magnit momentining tashqi magnit maydon yo'nalishiga proyeksiyasi faqat ikki qiymatga ega bo'la oladi, uning absolut miqdori Bor magnetoniga teng. Bir valentli  $Na$ ,  $K$ ,  $Ag$  va vodorod atomlari dastasini bir jinsli bo'limgan magnit maydonda ikki komponentaga ajralishining sababi shu taripa elektron spin magnit momenti orqali tushuntiriladi.

### 20.3. Pauli prinsipi

Pauli atom spektralari o'r ganib atomda ma'lum bir holatda  $n$ ,  $l$ ,  $m$ ,  $s$  to'rtala kvant soplari bir xil bo'lgan bittadan ortiq elektroni bo'lishi mumkin emas degan xulosaga keldi.

Demak, kvant mexanikasida atomdag'i energetik sathlar to'rtka kvant son bilan xarakterlanadi:



20.5-rasm.

gacha bo'lgan butun musbat sonlarni egallashi mumkin. Shuning uchun asosiy kvant son  $n$  ning ayni qiymati bilan ifodalanuvchi sathlar soni

$$\sum_{l=0}^{n-1} 2(2l+1) = 2n^2 \quad (20.13)$$

bo'ladi.

Sathlar soni ham elektronlar soniga teng bo'ladi. 20.5-rasmida  $n=1$ ,  $n=2$  va  $n=3$  bo'lgan energetik sathlar tasvirlangan.  $n=1$  bo'lganda sathlar soni 2 ta,  $n=2$  bo'lganligi sathlar soni 8 ta,  $n=3$  bo'lsa, sathlar soni 18 ga teng. Masalan, vodorod atomida  $n=1$  bo'lgan ikkala sath bir xil energiyaga ega yoki  $n=2$  bo'lgan sakkizta sathning hammasi aynan bir xil energiyaga ega bo'ladi (aynigan sathlar hisoblanadi). Lekin ko'p elektronli atomlarda o'zaro ta'sir tufayli sathlar aynishi yo'qoladi va atomdagi energetik sathlarning energiyalari boshqa kvant sonlarga ham bog'liq bo'lib qoladi.

Ko'p elektronli atomlarda ayni bir bosh kvant soni  $n$  ga to'g'ri kelgan elektronlar to'plami elektron qobiqni hosil qiladi. Har bir qobiq  $l$  kvant soniga mos holda qobiqchalarga bo'linadi. Ma'lumki, orbital kvant soni  $l=0$  dan  $n=1$  gacha bo'lgan qiyatmatni qabul qilgani uchun qobiqdagi qobiqchalarni sopi  $n$  tartibida bo'ladi.

Shunday qilib, Pauli prinsipi quyidagicha ta'riflanadi: *Atomdagi  $n$ ,  $\ell$ ,  $m$ , s kvant sonlar to'plami bilan xarakterlanuvchi ixtiyoriy energetik sathda bittadan ortiq elektron bo'lishi mumkin emas.*

#### 20.4. D. I. Mendeleyev elementlar davriy sistemasi

1869-yilda rus olimi D.I.Mendeleyev elementlarning atom massalari bo'yicha ma'lum bir sistemaga solishga erishdi va atom fizikasining asosi bo'lgan tabiatning fundamental qonuni – elementlar davriy sistemasini yaratdi. Agar elementlarning massalarini ortib borishi tartibida joylashtirilsa, ma'lum bir tartib raqami oraliq 'ida, ya'ni *biror davrda*, ularning ko'pgina kimyoviy va fizik xossalarni takrorlanishi ma'lum bo'ldi.

Masalan, litiy bir valentli ishqoriy metall bo'lib, tartib raqami  $Z=3$  ga teng. Yana 8 ta tartib raqamidan keyin kelgan natriy ( $Z=11$ ) ham, undan yana 8 ta raqam keyin joylashgan kали ( $Z=19$ ) ham litiya o'xshab ishqoriy metall hisoblanadi. Bunday ishqoriy metall xossasi 18 tartib raqamdan keyin rubidiy ( $Z=37$ ) va seziyda ( $Z=55$ ) ham takrorlanadi.

Davriy sistema yaratilgan vaqtida 64 ta kimyoviy element borligi ma'lum edi. D.I.Mendeleyev tomonidan katakchalarga davriy sistemadagi elementlar birin-ketin qo'yib chiqarilgandan keyin ayrim katakchalar bo'sh qoldirildi. Mendeleyev bu bo'sh katakchalarni to'ldirish mumkin bo'lgan, hali topilmagan kimyoviy elementlarning xossalarni oldindan aytib berdi. Masalan, shunday yo'l bilan Fransiyada davriy sistemada ruxdan keyin joylashgan galliy elementi kashf etildi. Undan keyin selen (*Se*), germaniy(*Ge*) va boshqa kimyoviy elementlar ham kashf etilib, davriy sistemadagi bo'sh kataklar to'lib bordi. Bulardan tashqari, D.I.Mendeleyev ba'zi elementlarning atom og'irliklarini to'g'riligini tekshirishga muvaffaq bo'ldi. Masalan, *Be* va *U* ning atom og'irliklarini tablitsa asosida hisoblab chiqardi. Keyinchalik ma'lum bo'ldiki, kimyoviy elementning davriy sistemadagi tartib raqami atom yadrosi zaryad sonini yoki yadro atrofidagi elektronlar sonini bildirar ekan. Elementning davriy sistemadagi tartib raqami ortgan sari uni massasi ham, yadro zaryadi ham ortib boradi. Yadro atrofida aylanuvchi elektronlar eng kichik energiyali holatni olishga intilishi natijasida hammasi birinchi Bor orbitasida aylanishlari lozim edi. Agar birorta elektron qo'shilganda ham elementlarning xossalarni unchalik o'zgartirmasligi kerak. Ammo bizga ma'lumki, bitta elektron bilan farq qiluvchi argon ( $Z=18$ ) inert gaz, kали ( $Z=19$ ) irtiborliy metall. Shunday holni kripton ( $Z=36$ ) va rubidiy, ksenon ( $Z=54$ ) va seziy ( $Z=55$ ), radon ( $Z=86$ ) va

fransiy ( $Z=87$ ) juftlarida ham kuzatishimiz mumkin. Bu elementlar bitta elektron bilan farq qilgani holda, birinchilari inert gaz, ikkinchilari esa ishqoriy metallardir.

Atomning tartib raqami ortgan sari uni o'lchami uzluksiz kichiklashib borishi kerak, chunki elektronlar soni ortgan sari Kulon tortishish kuchlari ham ortib boradi.

Lekin amal atomlarning o'lchami bir davr elementlaridan boshqa davr elementlariga o'tganda o'zlusiz holda emas aniq bir qiymatni olgan holda keskin ortib ketadi (20.1-jadval)

20.1-jadval

| II davr elementlari       | <i>Li</i> | <i>Be</i> | <i>B</i>  | <i>C</i>  | <i>N</i> | <i>O</i> | <i>F</i>  |
|---------------------------|-----------|-----------|-----------|-----------|----------|----------|-----------|
| Diametr, $\text{A}^\circ$ | 3,10      | 2,26      | 1,82      | 1,54      | 1,42     | 1,32     | 1,28      |
| III davr elementlari      | <i>Na</i> | <i>Mg</i> | <i>Al</i> | <i>Si</i> | <i>R</i> | <i>S</i> | <i>Cl</i> |
| Diametr, $\text{A}^\circ$ | 3,78      | 3,29      | 2,89      | 2,68      | 2,60     | 2,08     | 1,98      |

Masalan, bunga misol qilib ikkinchi davr oxiridagi fтор (*F*) bilan uchunchi davr boshidagi natriyni olishimiz mumkin. Atom o'lchamini bir davrdan boshqa davrga o'tganda keskin o'zgarib ketishini nima bilan izohlashni Pauli taqsimot prinsipi yaratilguncha biliшmas edi.

Hozirgi vaqtida davriy sistemadagi barcha elementlarning elektronlari Pauli prinsipiga bo'yusungan holda energetik sathlar bo'yicha qanday taqsimlanishi ma'lum. Biz birinchi element vodoroddan boshlaylik. Uning bittagina elektroni bor.

Bu elektron Pauli va minimal energiya prinsipiga asosan  $n=1$ ,  $\ell=0$ ,  $m=0$ ,  $s=-\frac{1}{2}$

kvant sonlar bilan ifodalanuvchi 20.5-rasmida tasvirlangan 1S energetik sathni egallaydi. Gelyi atomida ikkita elektron *1S* holatda spinlari antiparallel bo'lgan holda joylashadi va *1 S<sup>2</sup>* ko'rinishda (1S holatda 2 elektron) yoziladi. Gelyida *K* - qobiq 2ta elektron bilan to'ladi. Natijada davriy sistemadagi 1 davr tugaydi (20.2-jadval).

Litiydagи ( $Z=3$ ) uchinchi elektron Pauli prinsipiga ko'ra to'lgan *K* - qobiqda joylashishi mumkin emas, u  $n=2$  bo'lgan *L* - qobiqdagi eng kichik 2S energetik sathni egallaydi. Litiyda elektronlarni qobiqlar bo'yicha taqsimlanishi *1S<sup>2</sup> 2S* ko'rinishda belgilanadi. To'tinchi element *Ve* - bereliyda ( $Z=4$ ) ikkinchi qobiqdagi 2S qobiqcha to'ladi. Bereliydan keyingi element Bor *V*( $Z=5$ )dan boshlanib *Ne*-neon ( $Z=10$ )gacha bo'lgan oltita elementda *2r* qobiqchani to'lishi tugallanadi. Sistema II davr inert gaz neon bilan tugaydi, neonda *L* - qobiq to'lgan bo'ladi (20.2-jadval).

20.2-jadval

| Davr | <i>Z</i> | Ele-<br>ment | K  |    | L  |    | M  |    |        | N      |        |        |  |
|------|----------|--------------|----|----|----|----|----|----|--------|--------|--------|--------|--|
|      |          |              | 1S | 2S | 2R | 3S | 3R | 3d | 4<br>S | 4<br>R | 4<br>d | 4<br>F |  |
| I    | 1        | <i>H</i>     | 1  |    |    |    |    |    |        |        |        |        |  |
|      | 2        | <i>He</i>    | 2  |    |    |    |    |    |        |        |        |        |  |
| II   | 3        | <i>Li</i>    | 2  | 1  |    |    |    |    |        |        |        |        |  |
|      | 4        | <i>Be</i>    | 2  | 2  |    |    |    |    |        |        |        |        |  |
|      | 5        | <i>B</i>     | 2  | 2  | 1  |    |    |    |        |        |        |        |  |
|      | 6        | <i>C</i>     | 2  | 2  | 2  |    |    |    |        |        |        |        |  |
|      | 7        | <i>N</i>     | 2  | 2  | 3  |    |    |    |        |        |        |        |  |
|      | 8        | <i>O</i>     | 2  | 2  | 4  |    |    |    |        |        |        |        |  |
|      | 9        | <i>F</i>     | 2  | 2  | 5  |    |    |    |        |        |        |        |  |
|      | 10       | <i>Ne</i>    | 2  | 2  | 6  |    |    |    |        |        |        |        |  |

|        |    |           |   |   |   |   |   |    |   |   |  |
|--------|----|-----------|---|---|---|---|---|----|---|---|--|
| III    | 11 | <i>Na</i> | 2 | 2 | 6 | 1 | - |    |   |   |  |
|        | 12 | <i>Mg</i> | 2 | 2 | 6 | 2 | - |    |   |   |  |
|        | 13 | <i>Al</i> | 2 | 2 | 6 | 2 | 1 | 1  |   |   |  |
|        | 14 | <i>Si</i> | 2 | 2 | 6 | 2 | 2 | 2  |   |   |  |
|        | 15 | <i>R</i>  | 2 | 2 | 6 | 2 | 3 | 3  |   |   |  |
|        | 16 | <i>S</i>  | 2 | 2 | 6 | 2 | 4 | 4  |   |   |  |
|        | 17 | <i>Cl</i> | 2 | 2 | 6 | 2 | 5 | 5  |   |   |  |
|        | 18 | <i>Ar</i> | 2 | 2 | 6 | 2 | 6 | 6  |   |   |  |
|        | 19 | <i>K</i>  | 2 | 2 | 6 | 2 | 6 | -  | 1 |   |  |
| I<br>V | 20 | <i>Ca</i> | 2 | 2 | 6 | 2 | 6 | -  | 2 |   |  |
|        | 21 | <i>Se</i> | 2 | 2 | 6 | 2 | 6 | 1  | 2 |   |  |
|        | 22 | <i>Ti</i> | 2 | 2 | 6 | 2 | 6 | 2  | 2 |   |  |
|        | 23 | <i>V</i>  | 2 | 2 | 6 | 2 | 6 | 3  | 2 |   |  |
|        | 24 | <i>Cr</i> | 2 | 2 | 6 | 2 | 6 | 5  | 1 |   |  |
|        | 25 | <i>Mn</i> | 2 | 2 | 6 | 2 | 6 | 5  | 2 |   |  |
|        | 26 | <i>Fe</i> | 2 | 2 | 6 | 2 | 6 | 6  | 2 |   |  |
|        | 27 | <i>Co</i> | 2 | 2 | 6 | 2 | 6 | 7  | 2 |   |  |
|        | 28 | <i>Ni</i> | 2 | 2 | 6 | 2 | 6 | 8  | 2 |   |  |
| V      | 29 | <i>Cu</i> | 2 | 2 | 6 | 2 | 6 | 10 | 1 |   |  |
|        | 30 | <i>Zn</i> | 2 | 2 | 6 | 2 | 6 | 10 | 2 |   |  |
|        | 31 | <i>Ga</i> | 2 | 2 | 6 | 2 | 6 | 10 | 2 | 1 |  |
|        | 32 | <i>Ge</i> | 2 | 2 | 6 | 2 | 6 | 10 | 2 | 2 |  |
|        | 33 | <i>As</i> | 2 | 2 | 6 | 2 | 6 | 10 | 2 | 3 |  |
|        | 34 | <i>Se</i> | 2 | 2 | 6 | 2 | 6 | 10 | 2 | 4 |  |
|        | 35 | <i>Br</i> | 2 | 2 | 6 | 2 | 6 | 10 | 2 | 5 |  |
|        | 36 | <i>Kr</i> | 2 | 2 | 6 | 2 | 6 | 10 | 2 | 6 |  |

Natriydagi  $3S$  va litiydagi  $2S$  – sathlarda bittadan elektron bo‘lgani uchun ularning kimyoviy va fizik xossalari o‘xshash bo‘lib, ishqoriy metallar guruhiga kiradi. Magniyidan ( $Z=12$ ) boshlab  $M$  – qobiqni to‘lishi boshlandi va argonda ( $Z=18$ ) tugaydi. Argon ham  $He$ ,  $Ne$  ga o‘xshab inert gazdir. III davr argon bilan tugaydi.

Kaliy ( $Z=19$ ) optik va kimyoviy xossalari xuddi  $Li$  va  $Na$  atomlariga o‘xshaydi. Bu shundan dalolat beradiki, elektronlarning o‘zaro ta’siri tufayli  $n=4$ ,  $l=0$  holat  $n=3$ ,  $l=2$  holatga qaraganda kichik energiyaga ega bo‘lib qolar ekan. Shuning uchun kaliyning 19 – elektroni  $M$  – qobiqning  $3d$  qobiqchasida joylashmasdan  $N$ -qobiqning  $4S$  qobiqchasida joylashar ekan. Natijada kaliy ham ishqoriy metall bo‘lib qoladi.

Kalsiyning ( $Z=20$ ) spektroskopik va kimyoviy xossalari ham uni 20–elektronni  $4S$  sathda joylashganini ko‘rsatadi. Keyingi 21–element skandiy ( $Sc$ )dan boshlanib  $M$ -qobiqni  $3d$  qobiqchasi ham to‘la boshlaydi va uni to‘lishi  $Zn$ -rux ( $Z=30$ ) tugaydi. Keyingi  $N$ -qobiqni to‘lishi  $Kr$ -kriptonda ( $Z=36$ ) tugaydi.  $Ne$  va  $Ar$  ga o‘xshab, kriptonni ham tashqi  $S$  va  $R$  qobiqchalarini to‘lgan bo‘ladi. IV davr shu kripton-inert gaz bilan tugaydi.

Shunday mulohazalar Mendeleyev jadvalidagi boshqa elementlarga ham tegishli. Yana shuni ham aytib o‘tish kerakki, elementlarning keyingi davrlari ham

ishqoriy metallardan boshlanib, inert gazlarda tugaydi. Keyingi inert gazlarning ham oxiri tashqi  $S$  va  $R$  qobiqchalari to'lgan bo'ladi.

Davriy sistemadagi lantanoidlar deb ataluvchi bir guruh elementlarni (lantandan ( $Z=57$ ) boshlab lyutetsiy ( $Z=71$ )gacha xossalari bir xil bo'lgani uchun bir qatorga, yana aktinoidlar nomini olgan bir guruh elementlarni (aktiniy ( $Z=89$ ))dan boshlab lourensiy ( $Z=103$ )gacha yana bir boshqa qatorga joylashga to'g'ri kelgan. Chunki aktinoidlarning xossalari bir-biriga o'xshash.

Lantanoidlarning xossalari o'xshash bo'lishiga tashqi  $R$  va  $Q$  qobiqlarda bir xil, ya'ni  $6S^2$  va  $7S^2$  sathlarda ikkitadan elektron bo'lishi sabab bo'ladi.

Shunday qilib, davriy sistemadagi elementlarning xossalarni bir-biriga yaqin bo'lishiga ularning tashqi elektron qobig'i o'xshashligi sabab bo'lar ekan. Masalan, inert gazlarning hammasining tashqi qobig'ida 8 tadan elektron bo'ladi. Ya'ni doimo  $S$  va  $R$  qobiqcha elektron bilan to'lgan bo'ladi. Ishqoriy metallarning ( $Li$ ,  $Na$ ,  $K$ ,  $Rb$ ,  $Cs$ ,  $Fr$ )  $S$  – qobiqchasida doimo bittadan elektron, ishqoriy – yer metallariga ( $Be$ ,  $Mg$ ,  $Ca$ ,  $Sr$ ,  $Ba$ ,  $Ra$ )  $S$  – sathda 2 tadan elektron, gologenlarining ( $F$ ,  $Cl$ ,  $Br$ ,  $I$ ,  $At$ ) tashqi qobig'ini to'lishiga bittadan elektron yetishmaydi va hokazo.

## 20.5. Molekulalar. Molekulalar kimyoviy bog'lanishining fizik tabiatи

**Molekula** deb, bir xil yoki har xil element atomlarining kimyoviy birikishidan tashkil topgan va ma'lum bir moddaning **kimyoviy va fizik xususiyatlарини** o'zida mujassamlashtirgan eng kichik zarrachaga aytildi. Masalan, vodorod ( $H_2$ ), kislorod ( $O_2$ ), azot ( $N_2$ ) bir xil atomlardan tuzilgan molekulalardir, osh tuzi molekulasi ( $NaCl$ ) esa har xil atomlardan tashkil topgan molekulaga misol bo'ladi. Molekuladagi atomlarning kimyoviy bog'lanishi ularning tashqi valent elektronlari orqali amalga oshadi. Ko'pincha molekulalarda **kovalent** va **ionli** bog'lanish uchraydi.

**Ionli** (geteropolar) bog'lanishni hosil bo'lishi bilan yaqindan tanishaylik. Ishqoriy metallardagi valent elektron yadro bilan zaif bog'langan. Gologen atomlarida esa tashqi elektron qobig'ini to'lishiga bitta elektron yetishmaydi. Shuning uchun ishqoriy metall atomi bilan gologen atomi yaqinlashganda ishqoriy metallning bitta elektroni gologen atomiga o'tadi. Natijada, ishqoriy metall musbat, gologen atom esa manfiy ionga aylanadi. Bu musbat va manfiy ionlar o'zaro elektrostatik Kulon kuchi bilan o'zaro tortishishi natijasida birikib, molekulani hosil qiladi. Ion bog'lanishlarga  $NaCl$ ,  $KBr$  misol qilishimiz mumkin.

Kovalent bog'lanishli molekulalarga misol qilib  $H_2$ ,  $C_2$ ,  $N_2$  molekulalarni olish mumkin. Bir xil element atomlaridan tashkil topgan molekuladagi bog'lanishni **gomeopolar** (grekcha «gomeo», ya'ni «bir xil» degan so'zdan olingan) **bog'lanish** yoki **kovalent bog'lanish** deyiladi. Kovalent bog'lanishni hosil bo'lishini kvant mechanikasi nuqtayi nazaridan ko'rib chiqaylik. Uning mohiyatini vodorod molekulasi misolida muhokama qilaylik. Alovida joylashgan vodorod atomlaridagi elektronlarning yadro atrofida bo'lish ehtimolligi S holatda ( $I=0$ ) sferik – simmetrik xarakterga ega, boshqacha qilib aytganda yadro atrofidagi «elektron bulutи» biron radiusli sferadan iborat bo'ladi. Agar ikki vodorod atomi bir-biriga Bor radiusicha masofada yaqinlashsa, ikkala atomning elektron bulutlari tutashib ketadi. Buni quyidagicha tushuntirish mumkin; atomlar bir-biriga yaqinlashganda birinchи atom elektroni ikkinchi atom yadrosi atrofida, ikkinchi atom elektroni esa birinchи atom yadrosi atrofida qayd qilish ehtimolligi noldan farqli bo'ladi, bunda, birinchи atomning elektroni yoki ikkinchi atomning elektroni degan so'z ma'nosini yo'qotadi. Bu hol uchun kvant mechanikasidagi bir xil zarrachalarni farq qilmaslik

prinsipi o'rini bo'ladi. Pauli prinsipi bajarilishi uchun molekula hosil qilayotgan ikkita vodorod atomidagi elektronlarning spinlari qaram-qarshi bo'lishi kerak.

Molekula murakkab kvant sistemasi bo'lib, u molekuladagi elektronlarning harakatini, atomlarning tebranma va molekulaning aylanma harakatini hisobga oluvchi Shredinger tenglamasi bilan ifodalanadi. Bu tenglamaning yechimi juda murakkab bo'lgani uchun odatda, uni elektron va yadrolar uchun alohida yechiladi.

Molekulani energiyasi

$$W = W_{el} + W_{teb} + W_{ayl} \quad (20.14)$$

bunda,  $W_{el}$  – elektronlarning yadroga nisbatan harakat energiyasi;

$W_{teb}$  – yadroning tebranma harakat energiyasi;

$W_{ayl}$  – yadroning aylanma harakat energiyasi bo'lib, u molekulaning fazodagi vaziyatini davriy ravishda o'zgarishiga bog'liq bo'lgan energiya.

Tajribadan aniqlanishicha  $W_{el} \approx 1 \div 10 \text{ eV}$ ,

$W_{teb} \approx 10^{-2} \div 10^{-1} \text{ eV}$ ,  $W_{ayl} = 10^{-5} \div 10^{-3} \text{ eV}$  ga teng, ya'ni  $W_{el} > W_{teb} > W_{ayl}$  tengsizlik o'rini bo'ladi. Bu energiyalar o'zaro quyidagi nisbatda taqsimlanadi:

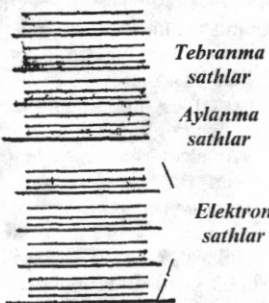
$$W_{el} : W_{teb} : W_{ayl} = 1 : \sqrt{\frac{m}{M}} : \sqrt{\frac{m}{M}}$$

bunda,  $m$  – elektron massasi,  $M$  – molekuladagi yadro massasi,

$$\sqrt{\frac{m}{M}} = 10^{-5} \div 10^{-3}$$

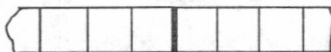
(20.14) ifodaga kiruvchi har bir energiya kvantlangani uchun ular energetik sathlar to'plamidan iborat. Tajriba va nazariyadan aylanma energetik sathlar orasidagi oraliq tebranma harakatga mos keluvchi energetik sathlar orasidagi masofadan kichik, o'z navbatida tebranma harakatga mos keluvchi sathlar orasidagi masoфа bosh kvant soni bilan aniqlanuvchi elektron sathlar orasidagi masofadan kichik. Bu hol 20.6-rasmida yo'g'on, o'rtacha yo'g'onlikdagi va ingichka chiziqlar bilan ikkita elektron sath uchun tasvirlangan.

Molekulalarning tuzilishi va ular energiya sathlarining xususiyatlari kvant o'tishlarda sochilgan nurlanish (yutilish) spektrida, ya'ni molekula spektrida namoyon bo'ladi. Molekulaning nurlanish spektri kvant mexanikasidagi tanlash qoidasiga mos holda (masalan, aylanma yoki tebranma harakatga mos kvant sonining o'zgarishi  $\pm 1$  ga teng bo'lishi kerak) energetik sathlar tarkibi bilan aniqlanadi. Shunday qilib, sathlar orasidagi turli xil o'tishlardan spektrlar hosil bo'ladi. Molekulaning spektral chizig'i chastotasi bir elektron sathdan boshqasiga o'tishiga mos kelishi (elektron spektrlariga) yoki biror tebranma harakatga mos kelgan energetik sathdan ikkisiga o'tishga mos kelishi mumkin. Molekulalar spektri ham chiziqli bo'lib, ular spektrning  $UB$ ,  $IQ$  va ko'zga ko'rinuvchi sohasida joylashishi mumkin. Aylanma sathlar bir-biriga juda yaqin joylashgani uchun molekulalalar spektridagi chiziqlar ham bir-biriga juda yaqin bo'lib, ular hatto



20.6 -rasm.

tutashib ketadi. Molekuladagi atomlar soni ortishi bilan molekula spektiri murakkablashib, faqat keng yo'llar ko'rina boshlaydi.



$\nu_0$   
20.7-rasm

Molekulalar spektrini o'rganish-da 1929-yilda rus olimlari-T.S.Landeberg, L.I.Mandelshtam va hind olimlari – Ch. Raman va K. Krishianlar tomonidan kashf etilgan yorug'likning **kombinatsion sochilish** hodisasi muhim ahamiyatga ega. Bu effekt shundan iboratki, biror moddaga

(gaz, suyuqlik, shaffof kristall)  $\nu_0$  chastotali monoxromatik yorug'lik tushsa, bu moddada sochilgan yorug'lik spektrida  $\nu_0$  chastotali chiziqdandan tashqari uning ikki yonida simmetrik joylashgan qo'shimcha spektral chiziqlar ham hosil bo'ladi (20.7-rasm). Bu qo'shimcha spektral chiziqlarga mos kelgan chastota tushayotgan monoxromatik yorug'lik chastotasi bilan yorug'lik sochayotgan molekulalarning tebranma yoki aylanma o'tishlarida hosil bo'ladiqan nurlanishlar chastotalarning ayirmasiga yoki yg'indisiga teng bo'ladi, ya'n'i

$$\nu_i = \nu_0 \pm \nu_i \quad (20.15)$$

bu yerda,  $\nu_i$  – jism molekulalarining tebranma yoki aylanma o'tishlarida vujudga kelgan nurlanishlar chastotasi.

Kombinatsion sochilish spektridagi chastotasi moddaga tushayotgan yorug'likning chastotasidan kichik bo'lgan chiziqlar qizil yo'ldosh spektrlar, chastotasi  $\nu_0$  dan kattalari esa binafsha yo'ldosh spektrlar deb ataladi. Hosil bo'lgan bu yo'ldosh spektr chastotasi, joylashishi va soni tushayotgan yorug'lik chastotasiga bog'liq bo'lmay, faqat yorug'lik sochilayotgan modda tabiatiga bog'liq bo'lib, uning tarkibili va tuzilishini ifodalaydi. Kombinatsion sochilish hodisasi ko'p atomli murakkab molekulalardagi tebranma va aylanma energetik sathlarni, molekulalarning tuzilishini o'rganishda keng qo'llaniladi. Masalan, neft mahsulotlarining (benzin, yog'lar) tarkibi ana shunday aniqlanadi.

### Savollar

1. Vodorod atomi uchun Shredinger tenglamasini yozing va uni qanday hollarda yechimga ega bo'lishini ko'rsating.
2. Kvant sonlari – asosiy kvant son ( $n$ ), orbital kvant son ( $\ell$ ), magnit kvant son ( $m$ )lar nimalarni ifodalaydi?
3. Elektron spinii deganda nimani tushunasiz? Shtern va Gerlax tajribasini izohlang.
4. Pauli prinsipi bo'yicha atomdagi energetik sathlar to'rtta kvant soni bilan qanday xarakterlanadi?
5. Asosiy kvant soni bilan ifodalanuvchi sathlar sonini aniqlovchi Pauli tenglamasini yozing.
6. D.I.Mendeleyev elementlar davriy sistemasi tabiatning fundamental qonuni sifatida qanday yaratildi?
7. Molekula deb nimaga aytildi?
8. Yorug'likning kombinatsion sochilishi hodisasini tushuntiring.

### Masalalar

**6-masala.** Vodorod atomi  $1s$  holatda turibdi. Elektronning atomda radiusi  $r=0,1\alpha$  bo'lgan sfera ichida bo'lish ehtimolligi E aniqlansin (bunda,  $\alpha$  – birinchi Bor

orbitasining radiusi). Bu holatni tasvirlovchi to'lqin funksiyasi ma'lum deb hisoblanadi.

**Berilgan:**

$$\frac{1s, r = 0,1a}{E \sim ?}$$

**Yechish.** Elektronning  $r, 0, \phi$  koordinatali nuqta atrofidagi  $dV$  hajmda topish ehtimolligi,

$$dE = |\psi_n, \ell, m(r, 0, \phi)|^2 dV$$

tenglik bilan aniqlanadi.

1s holatda to'lqin funksiyasi  $\psi$  sferik, ya'ni faqat  $r$  gagina bog'liq bo'ladi, shuning uchun

$$dE = |\psi_{100}(r)|^2 dV \quad (1)$$

bunda,  $\psi_{100}(r)$  – asosiy holatga mos keluvchi normalashtirilgan xususiy to'lqin funksiyasi:

$$\psi_{100} = \frac{1}{\sqrt{\pi a^3}} e^{-r/a}$$

Funksiya simmetrik bo'lganligidan elektronni  $r$  masofada topish ehtimolligi hamma yo'naliishlarda bir xil bo'ladi. Shuning uchun ham ehtimollikning bir xil zichligiga mos keluvchi  $dV$  hajm elementini  $r$  radiusli va  $dr$  qalinlikdagi sfera qatlarning hajmi ko'rinishda tasavvur qilish mumkin:

$$dV = 4\pi r^2 dr.$$

$\psi_{100}(r)$  va  $dV$  larning ifodalarini hisobga olganda (1) formula quyidagi ko'rinishda yoziladi:

$$dE = \left| \frac{1}{\sqrt{\pi a^3}} e^{-r/a} \right|^2 4\pi r^2 dr = \frac{4}{a^3} e^{-2r/a} r^2 dr.$$

Ehtimollikni hisoblashda uzunlik birligi sifatida birinchi Bor orbitasining radiusi  $a$  ni qabul qilib, atom birliklariga o'tish qulaydir. Agar  $\zeta = r/a$  o'lchamsiz kattalikni kiritsak, u holda

$$r^2 = \zeta^2 a^2, dr = ad\zeta \quad a \quad dE = 4e^{-2\zeta} \zeta^2 d\zeta.$$

$dE$  ni  $r_1=0$  dan  $r_2=0,1a$  gacha (yoki  $\zeta_1=0$  dan  $\zeta_2=0,1$  gacha) chegarada integrallab ehtimollikni topamiz:

$$E = 4 \int_0^{0,1} \zeta^2 e^{-2\zeta} d\zeta.$$

Bu integralni bo'laklab integrallash usuli bilan aniq hisoblanishi mumkin, lekin kichik  $\zeta$  larda ( $\zeta_{\max}=0,1$ )  $e^{-2\zeta}$  ifodani Makleron qatori

$$e^{-2\zeta} = 1 - 2\zeta + \frac{1}{2!} (2\zeta)^2 + \dots$$

ga yoyish va taxminiy hisoblash ham mumkin.

Darajasi birdan yuqori bo'lgan barcha hadlarni ino'lla olmay, integralni

$$E = 4 \int_0^{0,1} (1 - 2\zeta) \zeta^2 d\zeta = 4 \int_0^{0,1} \zeta^2 d\zeta - 8 \int_0^{0,1} \zeta^3 d\zeta$$

ko'rinishda yozamiz.

Birinchi va ikkinchi integrallar mos ravishda quyidagi natijalarni beradi:

$$4 \left[ \frac{\zeta^3}{3} \right]_0^{0,1} = \frac{4}{3} 10^{-3} \quad \text{ba} \quad 8 \left[ \frac{\zeta^4}{4} \right]_0^{0,1} = 0,2 \cdot 10^{-3}$$

Shunday qilib, qidirilayotgan ehtimollik

$$E = 1,33 \cdot 10^{-3} - 0,2 \cdot 10^{-3} = 1,13 \cdot 10^{-3}.$$

**77-masala.** Neptuniy yadrosi  $^{234}_{93}Np$  atomning  $K$  – qobig‘idagi elektronni tutib oldi ( $K$ - tutilishi) va  $\alpha$ - zarrani chiqardi. Bu o‘zgarishlar natijasida qaysi elementning yadrosi hosil bo‘ladi?

$$\text{Berilgan: } \frac{^{234}_{93}Np}{Y \sim ?}$$

**Yechish.** Atomning yadroga eng yaqin bo‘lgan elektron qobig‘idan ( $K$ -qobiq)  $K$  - tutilishda elektron yadro tomonidan tutiladi. Buning natijasida yadroda proton neyronga aylanadi. Yadroda nuklonlarning umumiy soni o‘zgarmaydi, zaryad soni esa bittaga kamayadi. Shuning uchun oraliq yadro  $93-1=92$  zaryad soniga ega bo‘ladi; massa soni esa oldingidek 234 bo‘lib qolaveradi. D.I.Mendeleyev jadvalidan oraliq yadro uranning  $^{234}_{92}U$  izotopi ekanligini aniqlaymiz.

Oraliq yadro  $\alpha$ - zarrani chiqaradi  $\alpha$ - zarra (geliy  $^{1}_2He$  izotopining yadrosi) ikkita proton va ikkita neytrondan iborat bo‘lganligidan, oraliq  $^{234}_{92}U$  yadro  $\alpha$ - zarra chiqarishi natijasida zaryad sonini ikki birlikka va massa sonini to‘rt birlikka kamaytiradi. Shunday qilib, oxirgi yadro  $Z=90$  va  $A=230$  ga ega bo‘lib, u toriyining  $^{230}_{90}Th$  izotopidir.

$$Y = ^{230}_{90}Th$$

**78-masala.** Elektron g‘alayonlangan vodorod atomida  $3r$  – holatda. Atomning asosiy holatga o‘tishida elektronning harakati natijasida vujudga kelgan magnit momentining o‘zgarishi aniqlansin.

$$\text{Berilgan: } \frac{^1_1H, \quad ^3_3P}{\Delta M_e \sim ?}$$

**Yechish.** Magnit momentining o‘zgarishi  $\Delta \mu_e$  ni oxirgi (asosiy) va boshlang‘ich (g‘alayonlangan) holatlari magnit momentlarining farqi sifatida, ya’ni  $\Delta M_e = M_{e_1} - M_{e_2}$  kabi topamiz.

Elektron orbital harakatining magnit momenti faqat orbital kvant soni  $\ell$  ga bog'liq bo'ladi:

$$M_e = M_e \sqrt{\ell(\ell+1)}$$

Bundan, asosiy holatda  $\ell=0$  va  $M_e=0$ , g'alayonlangan (3r) holatda  $\ell=1$  va  $M_e = M_e \sqrt{2}$ . Binobarin, magnit momentining o'zgarishi

$$\Delta M_e = -M_e \sqrt{2}$$

Manfiy ishora mazkur holda magnit momenti kamayganligini ko'rsatadi:

$$M_e = 0,927 \cdot 10^{-23} J/Tl$$

qiymatni qo'yib, natijani olamiz:

$$M_e = 1,31 \cdot 10^{-23} J/Tl.$$

### 21.1. Kvant tizimining statistik tavsifi

Moddalar tartibsiz, issiqlik harakat qiluvchi atom va molekulalardan tashkil topgan. *Moddalarning atom va molekulalari haqidagi ma'lumotlarga asoslanib, ularning makroskopik sistema xossalarni o'rganuvchi fizikaning bo'limiga statistik fizika deyiladi.* Statistik usullar ehtimollar nazariyasini va statistik matematika qonunlariga asoslanadi. Statistik qonunlarni o'rganish natijasida makro sistema xossalarni tekshirish mumkin. Bu tekshirishlar sistema tarkibiga kirgan zarrachalarning ichki xossalari, ularning harakatiga, o'zaro va tashqi muhit (jism) bilan ta'sirlashishlariga bog'liq bo'ladi.

Nyuton mexanikasiga bo'y sunuvchi ko'p sonli zarralardan tashkil topgan makro sistemalarning xossalarni (masalan, gazning energiyasini, uning idish devoriga bosimini, termodynamik jarayonlarda issiqlik, ish va boshqa kattaliklar orasidagi bog'lanishlarni) klassik statistika o'rganadi. Kvant mexanikasi qonunlariga bo'y sunuvchi ko'p sonli mikro zarrachalardan tashkil topgan sistemalarning xossalari (masalan: kristall panjaraning issiqlik sig'imi, qattiq jismlarning issiqlik va elektr o'tkazuvchanligi, issiqlik nurlanishi energiyasi va h.k.lar) ni kvant statistikasi o'rganadi:

Statistik qonuniyatlarni miqdoriy jihatdan tavsiflash uchun ko'p o'lchovli cheksiz fazodan foydalanamiz. Cheksiz fazoni statistikada *fazoviy fazo* deb yuritiladi.

Zarraning fazoviy fazosi deganda olti o'lchovlik fazo tushuniladi, unda uch o'q yordamida zarra koordinatalari va qolgan uch o'q yordamida impuls komponentlari ifodalanadi. Berilgan sistema N zarradan tashkil topgan bo'lsa, fazoviy fazo  $6N$  o'lchovli bo'ladi. O'qlardan  $3N$  tasi sistemadagi barcha zarralar koordinatalarining proyeksiyasiga, qolgan  $3N$  o'qlar esa mos ravishda impulsning proyeksiyalariiga tegishli. Sistema bitta erkinlik darajasi bilan xarakterlarsa, fazoviy fazo ikki o'lchovli, erkinlik darajasi n bo'lsa –  $2n$  o'lchovli bo'ladi.

Agar zarralar koordinatalarini  $q_i (i=1, 2, \dots, 3N)$ , impulsning proyeksiyalarini  $R_i (i=1, 2, \dots, 3N)$  bilan belgilasak,  $6N$  o'lchamli fazoviy fazodagi hajm elementi barcha  $6N$  koordinatalar differensiallarining ko'paytmasi ko'rinishida quyidagicha ifodalanadi:

$$dV = dq_1 \cdot dq_2 \cdots dq_{3N} \cdot dp_1 \cdot dp_2 \cdots dp_{3N} = dq \cdot dp \quad (21.1)$$

Bu hajm qancha katta bo'lsa, sistema holatini ifodalovchi fazoviy nuqtani shu hajm ichida bo'lish ehtimolligi ham shuncha katta bo'ladi, ya'ni :

$$dW(q, p) = f(q, p) dq dp \quad (21.2)$$

Bu ifodadagi  $f(q, r)$  – taqsimot funksiyasi, u sistema holatining ehtimollik zichligi vazifasini bajaradi. Shuning uchun sistemaning amalga oshishi mumkin bo'lgan barcha holatlar ehtimolliklarining yig'indisi 1 ga teng bo'lishi kerak:

$$\int dW(q, p) = \int f(q, p) dq dp = 1 \quad (21.3)$$

(21.3) ifodani ehtimollikni *normalash sharti* deb ataladi. Uning ma'nosi shundan iboratki, agar zarra mavjud bo'lsa, fazoviy fazoning qayeridadir topilishi muqarrar hodisadir. Taqsimot funksiya ma'lum bo'lgan holda sistemaning biror xossasini ifodalovchi x kattalikning o'rtacha qiymatini quyidagicha aniqlash mumkin:

$$\langle x \rangle = \int x(q, p) dW(q, p) = \int x(q, p) f(q, p) dq \cdot dp \quad (21.4)$$

Taqsimot funksiyasini topishga erishish muhim ahamiyatga ega, chunki u makro sistema xossasi  $x$  ning hisoblangan va tajribada aniqlangan qiymatlari bir xil bo'lishini ta'minlashga xizmat qiladi. Endi esa biz kvant va klassik statistikalari orasidagi umumiylikni va farjni oydinlashtirib olaylik.

Yuqorida bayon etilgan fikrlar ham klassik, ham kvant mexanikasi qonunlariga bo'ysunuvchi ko'p sonli zarralardan tashkil topgan sistemalarining xossalarni o'rganiш uchun umumiyyidir. Ular orasidagi farq esa klassik va kvant zarralar holatlarining xossalari bilan belgilanadi:

a) kvant zarralarining holatlari diskret o'zgaradi, klassik zarralariniki esa uzluskiz o'zgaradi;

b) berilgan holatdagi bir xil kvant zarralari (masalan, elektron, protonlar) mutlaqo bir-birlaridan farq qilmaydilar (o'xshash zarralarning o'zaror farqlanmaslik prinsipi), klassik statistikada bir-biridan farqlanadi (o'xshash zarralarning o'zaror farqlanish prinsipi) deb hisoblanadi;

d) kvant zarralari o'zining xususiy mexanik momentiga, ya'ni spiniga ega;

e) kvant zarralari korpuskular – to'lqin xususiyatga ega bo'lganliklari tufayli, noaniqliklar prinsipiga binoan, fazoviy fazodagi hajm elementi  $dq dr \geq h^3$  dan kichik bo'la olmaydi. Binobarin, olti o'lchamli fazoviy fazo elementar bo'lakchasi hajmining qiymati quyidagi ifoda bilan aniqlanadi:

$$(\Delta X \cdot \Delta Y \cdot \Delta Z \cdot \Delta P_X \cdot \Delta P_Y \cdot \Delta Z_Z)_{\min} = h^3 \quad (21.5)$$

f) klassik statistikaga asosan bir vaqtida bitta holatda ixtiyoriy sonli zarralar bo'lishi mumkin. Kvant statistikasi esa mazkur savolga quyidagicha javob beradi:

spinlari  $0$  va  $\pm \frac{\hbar}{2}$  ga juft son marta karrali bo'lgan zarralar, ya'ni **bozonlar** uchun

taqsimot funksiyasi quyidagi ko'rinishga ega va uni  $W_i$  energiyali holatdagi zarralarning o'rtacha soni **Boze-Eynshteyn taqsimoti** deb ataladigan

$$\langle N_i \rangle = \frac{1}{e^{(w_i - \mu)/KT} - 1} \quad (21.6)$$

ifoda yordamida aniqlanadi. Bu ifodadagi  $\mu$  – kimyoviy potensial bo'lib, uning qiymati barcha  $\langle N_i \rangle$  lar yig'indisi sistemadagi zarralar soni  $N$  ga teng (ya'ni  $\sum_i \langle N_i \rangle = N$ ) bo'lishi shartidan aniqlanadi.

Spinlari  $\pm \frac{\hbar}{2}$  ga toq son marta karrali bo'lgan zarralar, ya'ni **fermionlar**

uchun esa taqsimot funksiyasini **Fermi-Dirak taqsimoti** deyiladi.

Fermionlarning energiyalar bo'yicha taqsimoti

$$\langle N_i \rangle = \frac{1}{e^{(w_i - \mu)/KT} + 1} \quad (21.7)$$

munosabat bilan ifodalanadi. **Fermionlar** (Fermi-Dirak taqsimoti o'rinni bo'lgan zarralar) uchun Pauli prinsipi o'rinni bo'ladi, ya'ni bir vaqtning o'zida aynan bir

kvant holatda bittadan ortiq fermion bo'lishi mumkin emas. **Bozonlar** (Boze-Eynshteyn taqsimoti o'rinli bo'lgan zarralar) uchun esa Pauli prinsipi bajarilmaydi, ya'ni bir vaqtning o'zida aynan bir kvant holatda bitta emas, balki ixtiyoriy sondagi bozonlar bo'lishi mumkin. Fermionlardan tashkil topgan sistema (fermi gazi) va bozonlardan tashkil topgan sistema (boze gazi) xossalari klassik statistikaga bo'y sunuvchi sistema (ideal gaz) xossalardan keskin farqlanadi.

## 21.2. Metallardagi elektronlarning kvant statistikasi

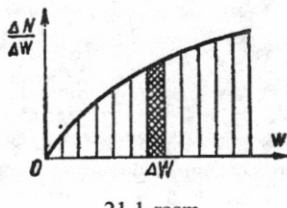
Metallaradagi elektronlarni ikki xilga ajratib o'rganamiz:

1) bog'langan elektronlar kristall panjar tugunlaridagi ion tarkibiga kiradi;

2) erkin elektronlar metalldag'i barcha ionlarga taalluqli. Erkin elektron-lar metall parchasining sirti bilan chegaralangan hajmda harakatlanadi.

Metallarning ko'pchilik xossalari, asosan, erkin elektronlar holati bilan aniqlanadi. Metalldagi erkin elektronlar gazini ideal gaz deb tasavvur etish mumkin.

21.1-rasmida elektron gazi uchun kvant

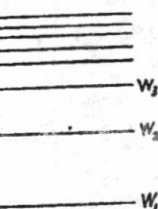


21.1-rasm.

holatlari zichligi  $\frac{\Delta N}{\Delta W}$  ni energiya  $W$  ga bog'liqlik

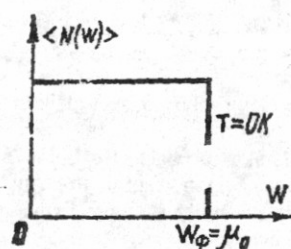
grafigi tasvirlangan. Shtrixlangan yuza energiyalari  $W$  dan  $W+\Delta W$  sohagacha bo'lgan kvant holatlari sonini ifodalaydi. Rasmdan ko'rindiki,  $W$  ortishi bilan birday  $\Delta W$  sohaga mos keluvchi kvant holatlari soni ham ortib boradi. Boshqacha aytganda, kvant holatlarga mos keluvchi energetik sathlar  $W$  kattaroq bo'lganda zichroq joylashadi (21.2-rasm).

Elektron spinii  $\pm \frac{\hbar}{2}$  ga teng bo'lgani uchun ularni



21.2-rasm.

energetik sathlar bo'yicha taqsimlanishi Fermi-Dirak taqsimoti (21.7) ga bo'y sunadi. Agar elektron gazning  $T=OK$  haroratdagi kimyoviy potensialini  $\mu_0$  bilan belgilasak,  $W$  energiyali kvant holatlari elektronlarning o'rtacha soni



21.3-rasm.

$$\langle N(w) \rangle = \frac{1}{e^{(w-\mu_0)/KT} + 1} \quad (21.8)$$

munosabat bilan aniqlanadi. 21.3-rasmida bu funksiyaning  $T=OK$  haroratdagi grafigi tasvirlangan: energiyasi 0 dan  $\mu_0$  gacha bo'lgan holatlari uchun  $\langle N(w) \rangle = 1$ , energiyasi  $\mu_0$  dan katta bo'lgan holatlari uchun  $\langle N(w) \rangle = 0$ . Boshqacha aytganda, OK haroratda  $\mu_0$  dan pastroq energiyali barcha ruxsat etilgan holatlarni elektronlar ishg'ol etgan (bu holatlarning har birida bittadan elektron bor),  $\mu_0$  dan yuqori

energiyalı holatlar esa batamom bo'sh bo'ladi. Demak,  $\mu_0$  – absolut nol haroratdagı metallda erkin elektronlar ega bo'lishi mumkin bo'lgan maksimal energiyadir. Energianing bu qiymatini **Fermi energiyasi** deb ataladi va  $W_f$  bilan belgilanadi.

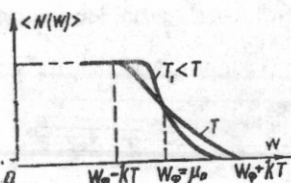
Shuning uchun Fermi-Dirak taqsimoti quyidagi ko'rinishda yozildi:

$$\langle N(w) \rangle = \frac{1}{e^{(w-w_f)/KT} + 1} \quad (21.9)$$

$W_f$  energiyali sathni **Fermi sathi deb ataladi**.

Metallning harorati ortishi bilan elektronlar yuqoriroq energetik sathlarga o'ta boshlaydi, natijada ularning holatlar bo'yicha taqsimlanishi ham o'zgaradi. (21.9) ga asosan,  $T \neq OK$  haroratlar uchun

- $W = W_f$  bo'lganda  $\langle N(w) \rangle$  yarimga teng,
- $W > W_f$  bo'lganda  $\langle N(w) \rangle$  yarimdan kichik,
- $W < W_f$  bo'lganda  $\langle N(w) \rangle$  yarimdan katta.



21.4-rasm.

21.4-rasmda  $\langle N(w) \rangle$  ning  $W$  ga bog'liqlik grafigi tasvirlangan.  $OK$  dan farqli haroratlarda bu grafik  $W$  ning kichik sohasi ( $\sim KT$ ) da 1 dan 0 gacha o'zgaradi.

Metallning harorati oshirilganda metalldagı erkin elektronlarning faqat bir qismigina Fermi sathidan uzog'i bilan  $KT$  qadar pastki energetik sathlarda joylashgan bo'lishi kerak. So'ngra bu elektronlar kristall panjaraning issiqlik tebranishlaridan qo'shimcha energiya olib yuqoriroq energetik sathlarga ko'tarilishi mumkin. Agar

$$KT \geq W_f \quad (21.10)$$

shart bajarilsa, ixtiyoriy erkin elektron kristall panjara bilan energiya almashinish imkoniyatiga ega bo'ladi.

### 21.3. Metallar elektr o'tkazuvchanligining kvant nazariyasi

Zommerfeld Fermi – Dirak statistikasiga asoslangan metallar elektr o'tkazuvchanligi ( $\sigma$ ) ga oid nazariy hisoblashlarni amalga oshirib quyidagi munosabatni hosil qildi:

$$\sigma = \frac{e^2 n l_f}{m v_f} \text{ yoki } \sigma = \frac{e^2 n \tau}{m} \quad (\tau = l_f/v_f) \quad (21.11)$$

Bu ifodadagi  $e$  – elektronning zaryadi,  $n$  – erkin elektronlar konsentratsiyasi,  $l_f$  – Fermi energiyasiga ega bo'lgan elektronning erkin yugurish o'rtacha masofasi,  $v_f$  – fermi energetik sathidagi elektronning issiqlik harakat o'ratacha tezligi,  $\tau$  – relaksatsiya vaqt – deyiladi. bu muvozanat vujudga kelgan vaqtini ifodalaydi. Zommerfeld formulasidagi  $v_f$  – haroratga bog'liq emas, chunki  $W_f$  ning qiyatiga harorat o'zgarishlari ta'sir etmaydi.

Klassik va kvant nazariyalarida erkin yugurish masofasi ( $l_f$ ) turlicha talqin qilinadi. Ma'lumki, klassik nazariyada erkin elektronlar to'plamini elektron gaz deb hisoblanar edi. Bu gazning zarralari – elektronlar o'z yo'lida uchratgan kristall

panjara tugunidagi ionlarga urilib turadi. Metallarning elektr qarshiligi ana shu to‘qnashishlar tufayli paydo bo‘ladi.

Kvant mexanikasiga nuqtayi nazaridan qaraganimizda ideal kristall panjaradagi elektronlar hech qanday to‘siqqa uchramasdan harakat qiladi, buning natijasida metallardagi elektr o‘tkazuvchanlik cheksiz katta bo‘lishi mumkin, lekin kristall panjara hech vaqt ideal sof bo‘lmaydi, chunki panjarada doimo ma’lum darajada nuqsonlar (aralashma va vakansiya) bo‘ladi. Bu nuqsonlar elektronlarning sochilishiga olib keladi, ya’ni ularning tartibli harakatiga to‘sqinlik ko‘rsatadi. Bundan tashqari, panjaraning atomlari ham doimo muvozanat vaziyati atrofida tebranib (issiqlik tebranishi hosil qilib) turadi va erkin elektronlar bilan to‘qnashadi. Bu sabablar metallarda elektr qarshilagini vujudga keltiradi.

Agar metall qancha toza va harorati qancha past bo‘lsa, elektr qarshilik shuncha kam bo‘ladi. Metallarning solishtirma elektr qarshiligi ikki had yig‘indisi tarzida ifodalanadi:

$$\rho = \rho_{teb} + \rho_{aralash} \quad (21.12)$$

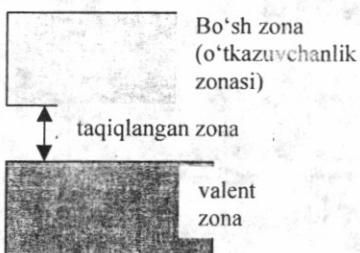
bundagi  $\rho_{teb}$  – panjaraning issiqlik tebranishlari tufayli vujudga keladigan qarshilik,  $\rho_{aralash}$  – aralashma atomlarida elektron to‘lqinlarning sochilishi tufayli vujudga keladigan qarshilik.

Temaperatura ortgan sari elektron to‘lqinlarning panjara issiqlik tebranishlarida sochilishi ortadi, ya’ni elektronlarning erkin yugurish o‘rtacha masofasi  $l_f$  kamayadi, o‘tkazuvchanlik ham kamayadi,  $\rho_{teb}$  ortadi. Harorat  $T \rightarrow 0$  da  $\rho_{teb} \rightarrow 0$  bo‘ladi, ammo  $\rho \rightarrow \rho_{aralash}$ . Odatda,  $\rho_{aralash}$  ni qoldiq qarshilik deb ham yuritildi, chunki u deyarli haroratga bog‘liq bo‘lmagan uchun *OK* da ham uning qiymati o‘zgarmay qoladi.

## 21.4. Yarimo‘tkazgichlar fizikasi

### 1.Kristall jismlar zonaviy nazariyasining elementlari

Elektron nazariyani rivojlanishi natijasida qattiq jismlarning zonaviy nazariyasi ishlab chiqildi. Bu nazariyada qattiq jism kristall xossaga ega deb qaralib, shu kristall panjaralar orasida harakatlanuvchi elektronlarning holatlari o‘rganiladi.



21.5-rasm.

Kristall panjaradagi elektron ham erkin elektronlar kabi panjarada davriy potensial maydonda harakat qiladi. Pauli prinsipiaga asosan kristallardagi elektron-lar ma’lum energetik holatlarda tura oladi. Bu energetik holatlardan energetik zonalarga birikadi. Energetik zonalar esa bir-birlaridan ta‘qilangan (man) etilgan zonalar bilan ajralgan bo‘ladi. 1 sm<sup>3</sup> hajmli kristallda ~10<sup>22</sup> atom mavjud bo‘lib, energetik zona kengligi 1 eV ekanligini e’tiborga olsak, zonadagi

qo‘sni sathlar orasidagi masofa ~10<sup>-22</sup> eV bo‘ladi. Bu masofa shunchalik kichikki, zonadagi sathlar uzliksiz energetik qiymatlarga egadek tuyuladi. Lekin zonadagi energetik sathlar soni chekli ekanligini unutmayslik kerak. Shunday qilib, izolatsiyalangan atomdagи ruxsat etilgan energetik sath o‘miga kristalda ruxsat

etilgan energetik zona vujudga keladi. O'tkazuvchanlik zona valent zonadan taqilangan (man etilgan) zona bilan ajratiladi (21.5-rasm).

Kristalldagi zonalarning energetik sathlarda Pauli prinsipi asosan, ikkitadan ortiq elektron joylashishi mumkin emas. Energetik zonalar amalda uzluksiz spektrni beradi. Bu esa, o'z navbatida elektronni bitta zona bilan chegaralangan energetik sathlarda harakat qila olishini ko'rsatadi, ya'ni berilgan zonadagi elektronlar bir atomdan ikkinchi atomga o'ta olib, hamma atomlar uchun umumiy bo'lib qoladi.

*Energetik zonadagi hamma sathlar elektronlar bilan to'lgan bo'lsa, bunday zonani to'ldirilgan (valent) zona deb ataladi.*

Shunday qilib, kristallarda elektronlar energetik zonalar bo'ylab taqsimlangan bo'ladi.

Elektronlar kristalda past energetik zonadan boshlab yuqori zonalarga qarab to'lib boradi. Zonalardagi elektronlarning taqsimlanishi va man qilingan zonaning kengligiga qarab qattiq jismlar o'tkazgich, yarimo'tkazgich va dielektrik xossalariiga ega bo'ladi (21.5-rasm).

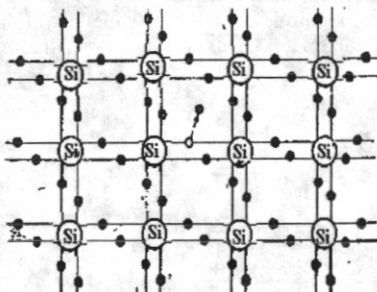
*Valent zonasidagi sathlar elektronlar bilan qisman to'ldirilgan yoki valent va bo'sh (o'tkazuvchanlik) zonalari ustma-ust tushgan qattiq jismlar o'tkazgichlar (metallar) deb ataladi.*

Metall bo'limgan aksariyat qattiq jismlarda valent zonadagi barcha energetik sathlarni elektronlar band etgan bo'ladi. Shuning uchun elektron yuqoriroq energetik sathga ko'tarilishi lozim bo'lsa, faqat o'tkazuvchanlik zonadagi energetik sathga ko'tarilishi kerak. Buning uchun elektr maydon ta'sirida elektron erishayotgan qoshimcha energiya taqilangan zonaning energetik kengligi  $\Delta W$  dan katta bo'lishi kerak.

Demak, bu holda qattiq jismning elektr va optik xossalari taqilangan zonaning energetik kengligi bilan aniqlanadi.

Agar  $\Delta W$  yetarlicha katta bo'lsa va elektr maydon ta'sirida yoki issiqlik harakat energiyasi tufayli elektronlar valent zonadan o'tkazuvchanlik zonaga o'ta olmasa, ya'ni elektronlar valent zonadagi «o'z o'rinalidan» qo'zgol-masa, bunday jismlarni dielektriklar deb ataladi ( $\Delta W > 4eV$ ).

Agar  $\Delta W$  unchalik katta bo'lmasa, qattiq jismning harorati yetarlicha yuqori bo'lganda (OK dan yuqori, xona harorati atrofida ~300K) issiqlik harakat energiyasi tufayli valent zonadagi elektronlarning bir qismi o'tkazuvchanlik zonadagi energetik sathlarga ko'tarilishga qodir bo'ladi, natijada elektr maydon ta'sirida elektronlar o'tkazuvchanlik zonaning yuqoriroq teshiklar esa valent zonaning quyiroq energetik sathlariga ko'tarilishi mumkin va umuman, elektronlar va teshiklar mos zonalarda maydon yo'nalishi ta'sirida erkin elektronlardek harakat qilishlari mumkin. Bunday jismlar yarimo'tkazgichlar deb ataladi ( $\Delta W > 3eV$ ).



21.6-rasm.

## 2. Yarimo'tkazgichlarda elektr o'tkazuvchanlik

Yarimo'tkazgichlar elektr o'tkazuvchanligi bo'yicha metallar bilan dielektriklar orasidagi jismilar guruhiga kiradi va ularda valent zona to'lig'icha elektronlar bilan to'ldirilgan bo'ladi.

Yarimo'tkazgichlar xususiy va aralashmali yarimo'tkazgichlarga bo'linadi.

a) **yarimo'tkazgichlarda xususiy elektr o'tkazuvchanlik.**  $T=OK$  da xususiy yarimo'tkazgichlarning valent zonasini elektronlar bilan butunlay to'lgan bo'ladi, bu holda yarimo'tkazgich sofi dielektrik bo'ladi. Agar harorat  $T \neq O$  bolsa, valent zonaning yuqori sathlaridagi bir qism elektronlar o'tkazuvchanlik zonasining pastki sathlariga o'tadi (21.5-rasm). Bu holda elektr maydoni ta'sirida o'tkazuvchanlik zonasidagi elektronlar va valent zonada hosil bo'lgan bo'sh joylar (teshiklar) harakatga keladilar. Natijada yarimo'tkazgichlarning elektr o'tkazuvchanligi noldan farqli bo'ladi, ya'ni sofi yarimo'tkazgichda erkin elektron va teshik vujudga keladi. Elektr maydon ta'sirida butun kristall bo'ylab elektronlar maydonga teskari yo'nalishadi, teshiklar esa maydon yo'nalishida harakatga keladi. **Bunday elektr o'tkazuvchanlik faqat sofi yarimo'tkazgichlar uchun xos bo'lib, uni xususiy elektr o'tkazuvchanlik deyiladi.** Aslida, sofi yarimo'tkazgichlarning biror joyida kovalent bog'lanishning buzilishi natijasida elektron va teshik vujudga keladi. 21.6-rasmida IV guruh elementi kreminiy ( $S_i$ ) atomining kovalent bog'lanish sxemasi tasvirlangan. Masalan, kristallni qizdirilganda yoki uni yoritilganda yarimo'tkazgich atomining kovalent bog'lanishdagi elektronlari issiqlik harakat energiyasi sofi yarimo'tkazgichdagi kovalent bog'lanishni buzishga yetarli bo'lib qolganda, bu elektron o'z o'rmini tashlab kristall bo'ylab harakat qila boshlaydi. Odatda energiyaning bu qiymatini **aktivlash energiyasi** deb ataladi. Elektron bo'shatgan joy atrofida elektroneytrollik buziladi. Bu yerda manfiy zaryad yetishmagani uchun bo'sh joy (teshik)ning zaryadini **musbat** deb qabul qilinadi. Agar elektron teshik bilan uchrashsa (bu jarayon **rekombinatsiya** deyiladi), u teshik atrofidagi musbat zaryadni neytrallaydi. Demak, sofi yarimo'tkazgichda elektron va teshiklar birgalikda, ya'ni juft bo'lib paydo bo'ladi yoki yo'qoladi.

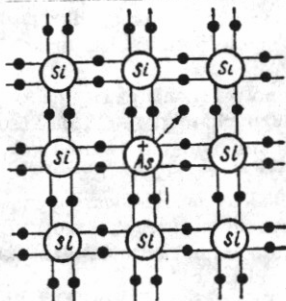
b) **yarimo'tkazgichlarda aralashmali elektr o'tkazuvchanlik.**

Tabiatda sofi yarimo'tkazgich kristalli uchramaydi, ya'ni oz miqdorda bo'lsa ham begona element atomlari aralashgan bo'ladi.

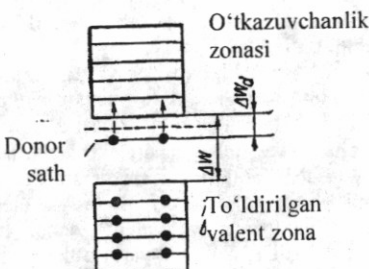
Bu aralashma yarimo'tkazgichlarda juda ko'p o'zgarishlarni vujudga keltirishi mumkin. To'rt valentli kreminiy ( $S_i$ ) dan yoki germaniy ( $Ge$ ) dan tuzilgan kristall panjaraning ba'zi tugunlarda besh valentli atomlar, masalan, fosfor( $R$ ) yoki mishyak ( $As$ ) joylashsin (21.7-rasm). Bu vaqtida aralashma atomlaridan to'rtta elektron ( $Si$ ) yoki ( $Ge$ ) atomlari bilan kovelenit bog'lanishda bo'ladi, beshinchini elektron esa atom bilan juda zaif bog'lanadi. Shuning uchun issiqlik harakat energiyasi ham bu elektronni atomdan ajratib ozod elektron bo'lishiga yetarlidir. Bu elektronlar tok tashuvchilik vazifani bajaradi.

Bunday yarimo'tkazgich **elektroni** yarimo'tkazgich deyiladi. Kiritilgan  $R$  va  $As$  atomlarni donorlar yoki **n - tip** aralashma deyiladi.

Aralashma atomlari tufayli kristall panjaraning maydoni ideal sofi yarimo'tkazgich panjarsining maydonidan farqli bo'ladi. Bu esa taqiqlangan zonada donor sathlarning vujudga kelishiga sabab bo'ladi (21.8-rasm). Masalan, kreminiga mishyak aralashtirilgan bo'lsa,  $\Delta W_d \sim 0,05 \text{ eV}$  bo'ladi.

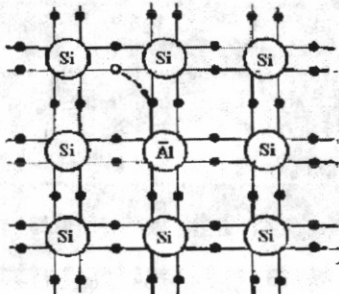


21.7-rasm.



21.8-rasm.

To'rt valentli element atomlaridan iborat bo'lgan kristall panjaraning ba'zi tugunlarda uch valentli element atomlari joylashgan bo'lsin (21.9-rasm). Masalan, sof kremniyga aluminiy ( $Al$ ) qo'shilgan bo'lsa, aluminiyning uchta valent elektroni uchta qo'shni kremniy atomlari bilan kovalent bog'lanishda bo'ladi. To'rtinchik kremniy atomi bilan kovalent bog'lanish to'ldirilmagan bo'ladi, ya'ni bitta elektron uchun bo'sh joy mayjud bo'ladi. Qo'shni kremniy atomlarining birorta elektroni o'z atomidan ajralib bu joyini to'ldiradi. Natijada aralashma atomi atrofidagi bog'lanish to'ladi, lekin elektronni yo'qtogin kremniy atomi atrofida teshik vujudga keladi. Bu teshik ikkinchi kremniy atomidan ajralib chiqqan elektron bilan to'ldirilishi mumkin. Shu tariqa teshik kristall bo'ylab xoatik ravishda ko'chib yurishi mumkin. Agar bu yarimo'tkazgichda elektr maydon hosil qilinsa, teshik elektr maydon kuchlanganlik vektori yo'naliishida ko'chib, yarimo'tkazgichda *teshikli elektr o'tkazuvchanlik* mayjud bo'ladi. Bunday elektr o'tkazuvchanlik  $r$  – tip o'tkazuvchanlik deb ataladi.  $R$  – tip aralashma tufayli taqiqlangan zonada *akteptor sath* vujudga keladi, bu sathga elektron o'tishi uchun lozim bo'lgan energiya  $\Delta W_A$  bilan ifodalanadi (21.10-rasm). Har ikkala holda  $W_F$  – Fermi sathi hisoblanadi.



21.9-rasm



21.10-rasm

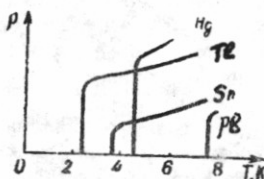
Past haroratlarda yarimo'tkazgichning elektr o'tkazuvchanligi, asosan, aralashmali o'tkazuvchanlikdan iborat bo'ladi. Yuqori haroratlarda esa issiqlik harakat energiyasi valent zonadan elektronlarning o'tkazuvchanlik zonasiga ko'chirishga yetarli bo'lib qoladi, bu hol o'z navbatida xususiy o'tkazuvchanlikni, ya'ni elektron va teshik juftini vujudga keltiradi.

Shunday qilib, yuqoriroq haroratlarda aralashmali va xususiy o'tkazuvchanliklarni hisobga olish kerak bo'ladi. Juda yuqori haroratlarda esa faqat, xususiy o'tkazuvchanlik asosiy o'tkazuvchanlikni tashkil qiladi, chunki aralashmali o'tkazuvchanlikning ulushi juda kam bo'lganligi uchun uni hisobga olmasa ham bo'ladi.

### 21.5. O'ta o'tkazuvchanlik hodisasi

Past haroratlarda ba'zi metallar elektr qarshiliqi bordaniga ( $\rho=0$ ) nolga teng bo'lib qoladi. Bu holni o'ta o'tkazuvchanlik hodisasi deb yuritiladi. Bu hodisani birinchi bo'lib 1911-yilda golland fizigi Kamerling – Onnes tomonidan kashf qilingan. U toza simobning elektr qarshiliqini juda past haroratlarda o'ichash chog'ida  $4.2C$  haroratda simob qarshiliqi bordaniga nolgacha kamayib ketganligini aniqladi. Keyinchalik, ba'zi boshqa metallarda ham o'ta o'tkazuvchanlik hodisasi kuzatildi (21.11-rasm).

Agar o'ta o'tkazuvchan holatda bo'lgan metall halqada tok hosil bo'lsa, keyin manba uzib qo'yilsa, istalgancha uzoq vaqt davomida bu tokning kuchi o'zgarmay qoladi. Haqiqatan ham Komerling – Onnes 7 K haroratdagi qo'rg'oshin ( $R_V$ ) da EYUK ta'siri to'xtatilgandan keyin 4-sutka davomida elektr toki o'tib turganligini kuzatgan.



21.11-rasm.

1933 yilda Meyssner o'ta o'tkazuvchanlikning yana bir xossasini kashf etdi. O'ta o'tkazuvchanlik xususiyatiga ega bo'lgan metallni magnit maydoniga joylashtiraylik va haroratni pasaytirib boraylik.  $T > T_k$  haroratlarda metall ichida magnit maydonidan farqli,  $T < T_k$  esa metalldagi magnit maydon induksiyasi nolga teng ( $V=0$ ) bo'ladi.

1957-yilda Bardin, Kuper va Shrifflerlar tomonidan o'ta o'tkazuvchanlik nazariyasi ishlab chiqildi. Oddiy haroratda o'tkazgich hisoblangan (kumush, mis va oltin) jismilar o'ta

o'tkazuvchanlik xossasiga ega emas, chunki o'ta o'tkazuvchan moddalar uchun elektron-fonon (elektronlarni kristall panjara tebranishlari bilan) o'zaro ta'siri asosiy rol o'ynaydi. Ayniqsa, elektronlarni o'zaro tortishida fononlar katta rol o'ynaydi, ya'ni elektron ma'lum impulsiga ega bo'lgan holatda fonon bilan va u orqali navbatdagi boshqa elektron bilan bog'langan. Agar mana shu elektronlarni orasidagi fononlar orqali tortishish ular orasidagi Kulon itarishishdan katta bo'lsa, o'ta o'tkazuvchanlik vujudga keladi. Shunday qilib, o'ta o'tkazuvchanlikning o'ichoviy bo'lib kuchli *elektron fonon o'zaro ta'siri* hisoblanadi. O'ta o'tkazuvchanlik holatini bog'langan elektronlar jufti (qarama-qarshi yo'nalgan spinli) hosil qiladi, demak bu elektron juftining («Kuper jufti» ning) spin ni nolga teng bo'lib ular bozonni hosil qiladi. Bozonlar esa asosiy holatda to'planishadi va ularni qo'zg'olgan holatga o'tkazish juda qiyin. Bu elektron juftining muvofiqlashgan harakati uzoq vaqt saqlanadi va u elektron juftining muvofiqlashgan harakati o'tkazuvchanlik tokidir. Elektronlar juftining hosil bo'lishi metallning energetik spektirni o'zgarishiga olib keladi.

1986–87-yillarda yuqori haroratlari o'ta o'tkazuvchan moddalar kashf etildi. Ba'zi metalloksid keramik birikmalarda, hattoki, 100 K haroratda ham o'ta o'tkazuvchanlik xususiyati qayd qilindi. **Bu hodisa yuqori haroratlari o'ta o'tkazuvchanlik deb nom oldi.**

## 21.6. Majburiy nurlanish. Optik kvant generatorlari (lazerlar)

«Lazer» so'zi bu qurilmaning ishlash prinsipini aks ettiruvchi ingliz so'zlarining bosh harflaridan tashkil topgan: Light Amlfitsatin by Stimulated Emission of Radiation, ya'ni majburiy nurlanish yordamida yorug'likni kuchaytirish. Lazer bilan bir qatorda **mazerlar** ham yaratildi. **Lazerlar** ko'zga ko'rindigan, infraqizil yoki ultrabinafsha nurlar chiqarsa, **mazerlar** o'ta past chastotali uzoq infraqizil elektromagnit to'lqinlar sohasida ishlaydi. «Mazer» so'zidagi «M» harfi ingliz tilidagi mikroto'lqin (Microwave) so'zining bosh harfidan olingan, qolgan harflar lazer so'ziniki bilan bir xil.

Atom biz yuqorida ko'rib o'tganimizdek, energiya  $W_1$ ,  $W_2$ ,  $W_3$ , ..., bo'lgan kvant holatlarda bo'lishi mumkin. Agar atom  $W_1$  energiyali asosiy 1 holatda bo'lsa, uni tashqi nurlanish ta'sirida  $W_2$  energiyali uyg'ongan yuqori 2 holatga majburan o'tkazish mumkin. Atom uyg'ongan holatda qisqa vaqt ( $\sim 10^{-8}$  s) bo'lgandan keyin u  $h\nu = W_2 - W_1$  energiyali foton chiqarib, o'z-o'zidan tashqi ta'sirsiz spontan holda past energiyali asosiy holatiga qaytishi mumkin.

### *Bu vaqtida chiqarilgan nurlanish spontan nurlanishi deyiladi.*

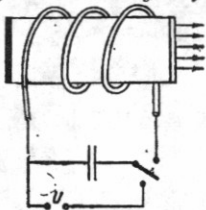
Spontan nurlanishni ehtimolligi qancha katta bo'lsa, atomni uyg'ongan holatda bo'lish vaqt shuncha kichik bo'ladi. Atomlarning spontan nurlanishi bir-biriga muvofiqlashmagan holda turli yo'nalish va vaqtarda sodir bo'ladi. Shuning uchun turli atomlardan chiqayotgan nurlanishlarning tebranish tekisliklari, fazalari, yo'nalishlari turlicha xarakteriga ega bo'ladi, natijada spontan nurlanish kogerent bo'lmaydi. Cho'g'lanma va luminescent manbalaridan doimo spontan nurlanish chiqariladi.

A.Eynshteyn 1916-yilda nazariy tekshirishlar natijasida atomlarning qo'zg'algan holatdan turg'un holatga o'tishi nafaqat o'z-o'zidan (spontan), balki tashqi ta'sir tufayli majburiy (induksiyalangan) bo'lishi ham mumkin degan xulosaga keldi. Bunday majburiy o'tishda vujudga keladigan nurlanishni **majburiy nurlanish** yoki **induksiyalangan nurlanish** deb ataladi. Tashqi ta'sir deganda, atomning boshqa zarralar bilan to'qnashuvi yoki ta'sirlashuvi tushuniladi. Lekin ko'p hollarda majburiy nurlanish shu nurlanishni chastotasiga aynan teng bo'lgan chastotali elektromagnit to'lqin (foton) ta'sirida sodir bo'ladi. Chastotasi boshqacharoq bo'lgan fotonlar sistemaning xususiy tebranishlari bilan rezonanslashmaydi, natijada ularning induksiyalovchi ta'siri ancha kuchsiz bo'ladi. Atomlarning majburiy nurlanishini hosil bo'lishi uchun uyg'ongan atom yaqinidan uchib o'tayotgan foton uni uyg'ongan holatdan yashash vaqtini qisqartirib, quyiroq, energiyali holatga o'tishga majbur qiladi. Bunda atom o'zining nurlanishga induksiyalagan fotonga aynan o'xshash foton chiqaradi. Natijada bir foton ikkita bo'ladi va ular o'z yo'nalishida harakatini davom ettirib, yo'lida uchragan boshqa uyg'ongan atomlarni ham majburiy nurlantirishga uchratadilar. Shu tariqa borgan sari ko'chkisimon ko'payib boradigan fotonlar oqimi hosil bo'lib, moddaga tushayotgan nurlanishni kuchayishiga sabab bo'ladi. Majburiy nurlanish tushuvchi nurlanish bilan kogerent bo'ladi, ya'ni u yerda bir xil chastota, harakat yo'nalishi, faza va qutblanish tekisligiga egadir.

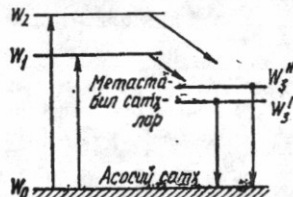
Lekin nurlanish moddadan o'tganda kuchayishiga fotonlarni quyi energetik holatdagi atomlar tomonidan yutilishi xalaqit beradi. A.Eynshteyn ko'rsatishicha, termodinamik muvozanat vaqtida spontan va majburiy nurlanish ehtimolligi o'sha chastotadagi nurlanishni yutilish ehtimolligiga teng. Shuning uchun termodinamik muvozanat vaqtida moddaga tushayotgan nurlanishning yutilishi majburiy

nurlanishdan ustun keladi, natijada yorug'lik moddadan o'tganda intensivligi kamayadi.

Yorug'lik moddaga tushganda, unda kuchayishi uchun sistemani muvozantli bo'Imagan holatini amalga oshirish kerak. Bunday holatda uyg'ongan atomlarning soni uyg'onmagan, turg'un holatdagi atomlar sonidan ko'p bo'lishi kerak. Mana shunday sistemada majbuliy nurlanish ko'chkisimon tarzda kuchayadi.



21.12-rasm.



21.13-rasm.

Ayrim moddalarning atomlarida shunday qo'zg'olgan, lekin nisbatan turg'un holatlar borki, atomlar bu holatda ancha uzoq vaqt ( $10^{-2} - 10^3$  s) bo'la oladi. Bunday holatlar **metastabil** holatlar deyiladi. Atomlarida metastabil holatlari bo'ladigan moddalarga tarkibida 0,005 % xrom ( $Cr$ ) bo'lgan yoqut kristalli ( $Al_2 R_3$ ) misol bo'ladi, ularda alyuminiy atomlarining bir qismini metastabil holatlari bo'lgan xrom atomlari egallagan. Yoqut kristalli yorug'lik bilan yoritilganda xrom ionlari qo'zg'aladi va  $W_1$  sathdan  $W_2$  energetik sathga mos keluvchi holatga o'tadi. Xromning energetik sathlari 21.13-rasmida tasvirlangan. Yoqut silindr shaklida olingan bo'lib, uning asoslari nihoyat darajada silliqlangan. Asoslar kumush bilan shunday qoplanguvchi, chap tomonidagi (21.12-rasm) to'la qaytaruvchanlik xususiyatga ega, o'ng tomonidagi esa qisman shaffof. Silindrsiz yoxut kristallini spiralsimon cho'g'lanma lampa o'rabi olinadi. Bu lampanning nurlanishi yoqut tarkibidaga xrom ionlarini  $W_1$  va  $W_2$  energetik sathlarga ko'taradi (21.13-rasm). Bu uyg'ongan sathlarning yashash davri ancha kichik ( $\sim 10^7$  s), ulardan  $W_3'$  va  $W_3''$  sathlarga o'tish sodir bo'ladi. Bir-biriga yaqin joylashgan bu sathlarning yashash davomiyligi anchagina katta,  $\tau \approx 5 \cdot 10^{-3}$  s. Bu metastabil sathlarda xrom ionlari yig'ilba boradi. Natijada  $W_3'$  va  $W_3''$  sathlardagi ionlar soni W dagi ionlar sonidan ortib ketadi. Kristall o'qi bo'ylab harakatlanayotgan fotonlar esa qaytaruvchi asoslardan ko'p marta qaytadi, bu harakat davomida ko'p sonli majbuliy nurlanishlar vujudga keladi. Natijada fotonlarning kuchli oqimi kristallning qisman shaffof o'ng tomonidagi asosi orqali tashqariga chiqadi. Shundan so'ng manbadan yana energiya olinadi va bayon etilgan ketma-ketlikda yana jarayonlar qaytariladi.

Lazerlar yordamida olingan nurlar yuqori darajada kogerent, dastasi esa nihoyatda ingichka bo'lganligi uchun ular fan va texnikaning turli sohalarda: uzoq masofalardagi radioaloqada, kichik hajmlarda juda yuqori haroratlar hosil qilishda, meditsinada juda nozik jarrohlik operatsiyalarni bajarishda va hokazolarda keng qo'llanilmoqda.

### Savollar

1. Moddalarning atom va molekulalari haqidagi ma'lumotlarga asoslanib, ko'p sonli zarrachalardan tashkil topgan sistemalarning xossalalarini qanday o'rganish mumkin?
2. Fazoviy fazo deganda statistikada nima tushuniladi?

3. Kvant va klassik statistikalari orasida qanday umumiylig va farqlar mavjud?
4. Bozonlar uchun Boze-Eynshteyn taqsimotini, fermioanlar uchun esa Fermi-Dirak taqsimoti tenglamalarini yozing.
5. Nima sababdan Pauli prinsipi fermionlar uchun bajariladi, bozonlar uchun esa bajarilmaydi?
6. Erkin elektronlar bilan metallarning ko'pchilik xossalari qanday aniqlanadi?
7. Metallarning solishtirma elektr o'tkazuvchanligi formulasini yozing va izohlang.
8. Metall, yarimo'tkazgich va dielektriklarning energetik zonalari qanday farqlanadi?
9. Xususiy va aralashmali yarimo'tkazgichlarni bir-biridan qanday farqlanadi?
10. Yarimo'tkazgichlarda Fermi shathing ma'nosini aytинг.
11. Qanday hodisaga o'ta o'tkazuvchanlik hodisisi deb ataladi?
12. Spontan nurlanish deb qanday nurlanishga aytildi?
13. Majburiy nurlanish yoki induksiyalangan nurlanish deb qanday nurlanishga aytildi?
14. Rubinli lazerni ishslash prinsipini tushuntiring, metastabil sathlar vazifasini aytib bering.

### Masalalar

**79-masala.**  $V=20 \text{ sm}^3$  hajmli metall parchasi  $T=0$  haroratda turibdi. Impulslari maksimali impuls  $R_{\max}$ , dan  $0,1R_{\max}$  gacha ko'p farq qilmaydigan erkin elektronlar soni  $\Delta N$  aniqlansin. Fermi energiyasi  $\mathcal{E} = 5 \text{ eV}$ .

Berilgan:  $V=20 \text{ sm}^3 = 2 \cdot 10^{-5} \text{ m}^3$ ,  $T=0$ ,  $\mathcal{E}=5 \text{ eV}$

$$\Delta N \sim ?$$

**Yechish.** Metalldagi erkin elektronlarning impulslar bo'yicha taqsimotini hosil qilish uchun  $T=0$  da erkin elektronlar uchun Fermi taqsimotidan foydalanimiz:

$$dn(\mathcal{E}) = \frac{1}{2\pi^2} \left( \frac{2m}{\hbar} \right)^{3/2} \mathcal{E}^{1/2} d\mathcal{E} \quad (1)$$

$dn(\mathcal{E})$  birlik hajmdagi energiyalari  $\mathcal{E}$  dan  $\mathcal{E}+de$  gacha ( $\mathcal{E} < \mathcal{E}_f$ ) qiyamatlar oralig'ida bo'lgan elektronlar soni bo'lganligidan, u impulslari  $r$  dan  $r+dr$  gacha qiyamatlar oralig'ida bo'lgan birlik hajmdagi elektronlar soni  $dn(r)$  ga teng bo'lishi kerak, ya'ni

$$dn(r) = dn(\mathcal{E}) \quad (2)$$

Bunda quyidagi shartga rioya qilinmog'i lozim. Berilgan  $\mathcal{E}$  energiya ma'lum impuls  $\zeta p$  ( $\mathcal{E} = \frac{p^2}{2m}$ ) ga mos keladi va energiyaning  $d\mathcal{E}$  oralig'iga unga mos keluvchi impulsarning  $dp$  ( $d\mathcal{E} - \frac{p}{mdp}$ ) oralig'i to'g'ri keladi.  $\mathcal{E}^{1/2} = r/(2m)^{1/2}$  ekanligini nazarda tutib, (2) tenglikning o'ng tomonidagi  $dn(\mathcal{E})$  o'rniga yuqorida

keluvchi impulsarning  $dp$  ( $d\mathcal{E} - \frac{p}{mdp}$ ) oralig'i to'g'ri keladi.  $\mathcal{E}^{1/2} = r/(2m)^{1/2}$  ekanligini nazarda tutib, (2) tenglikning o'ng tomonidagi  $dn(\mathcal{E})$  o'rniga yuqorida

olingan munosabatlarga muvofiq  $\varepsilon$  ni  $r$  bilan va  $d\varepsilon$  ni dr bilan almashtirib (1) ifodaga qo'yamiz, ya'ni

$$dn(p) = \frac{1}{2\pi^2} \left( \frac{2m}{\hbar} \right)^{3/2} \cdot \frac{p}{(2m)^{1/2}} \cdot \frac{p}{m} dp,$$

qisqartirishlardan keyin metallardagi erkin elektronlarning  $T=0$  da impulslar bo'yicha qidirilayotgan taqsimotini olamiz:

$$dn(p) = \frac{1}{\pi^2 \hbar^3} p^2 dp$$

Impulslari  $r_{\max} = 0,1 r_{\max}$  dan  $r_{\max}$  gacha oraliqda bo'lgan birlik hajmdagi elektronlar sonini mos chegaraviy qiymatlarda integrallash bilan topamiz:

$$\Delta n = \frac{1}{\pi^2 \hbar^3} \int_{0,9 P_{\max}}^{P_{\max}} P^2 dp = \frac{1}{3\pi^2 \hbar^3} - P_{\max}^2 [1 - (0,9)^3] \text{ yoki}$$

$$\Delta n = \frac{0,2H}{3\pi^2} \cdot \frac{P_{\max}^3}{\hbar^3}.$$

Metallardagi elektronlarning maksimal impulsi  $r_{\max}$  va maksimal energiyasi  $\varepsilon$  ushbu  $P_{\max}^2 = 2m\varepsilon_f$  munosabat orqali bog'langanligini hisobga olib ( $T=0$ da) metalldagi erkin elektronlarning qidirilayotgan soni  $\Delta N$  ni topamiz:

$$\Delta N = \frac{0,271}{3\pi^2 \hbar^3} (2m\varepsilon_f)^{3/2} \text{ yoki } \Delta N = \frac{0,271}{3\pi^2} \left( \frac{3m\varepsilon_f}{\hbar^2} \right)^{3/2} \cdot V$$

$\pi, m, \varepsilon_f, \hbar, V$  kattaliklarning qiymatlarini qo'yib, hisoblab ( $5\text{eV}=8 \cdot 10^{-19}\text{J}$ ),

$\Delta N = 2,9 \cdot 10^{23}$  ta elektronni olamiz.

**80-masala.** Temperaturasi  $T=0\text{K}$  bo'lgan mis metallidagi erkin elektronlarning maksimal Fermi energiyasi  $\varepsilon_F$  hisoblansin. Har bir mis atomiga bittadan valent elektron mos keladi deb olinsin.

$$\begin{array}{c} T = 0\text{K} \quad Cu \\ \hline \text{Berilgan:} \quad \varepsilon_F \sim ? \end{array}$$

**Yechish.** Temperaturasi  $T=0\text{K}$  bo'lgan metalldagi elektronlarning maksimal Fermi energiyasi  $\varepsilon_F$  erkin elektronlar konsentratsiyasi bilan quyidagicha bog'langan:

$$\varepsilon_F = \frac{\hbar^2 (3\pi^2 n^{2/3})}{(2m)} \quad (1)$$

Bunda  $\hbar$  – Plank doimisi;  $m$  – elektron massasi. Masalaning shartiga ko'ra, erkin elektronlar konsentratsiyasi ( $n$ ) atomlar konsentratsiyasiga teng:

$$n = \frac{\rho N_A}{M} , \quad (2)$$

Bunda  $\rho$  -misning zichligi;  $N_A$  – Avagadro doimiysi;  $M$  – molyar massa.

(2) ni (1) ga qo'yib

$$\varepsilon_F = \frac{\hbar^2}{2m} \left( 3\pi^2 \rho \frac{N_A}{M} \right)^{2/3}$$

ifodani hosil qilamiz.

Berilgan kattaliklarni yuqoridagi formulaga qo'yib, hisoblashlarni bajaramiz:

$$\varepsilon_F = \frac{(1,05 \cdot 10^{-34})^2}{2 \cdot 9,110^{-31}} \left[ 3(3,14)^2 \cdot 8,9 \cdot 10^3 \frac{6,02 \cdot 10^{23}}{64 \cdot 10^{-3}} \right]^{2/3} J =$$

$$= 1,18 \cdot 10^{-18} J = 7,4 eV.$$

**81-masala.** Kremniy temperaturasini  $t_1 = 0^\circ C$  dan to  $t_2 = 10^\circ C$  gacha qizdirilganda uning solishtirma elektr o'tkazuvchanligi necha marta oshadi?

$$\text{Berilgan: } \frac{t_1 = 0^\circ C; \quad t_2 = 10^\circ C}{\sigma \sim ?}$$

**Yechish.** Xususiy o'tkazuvchanlik yarimo'tkazichlarning solishtirma elektr o'tkazuvchanligi ( $\sigma$ ) temperatura ( $T$ ) bilan quyidagicha bog'langan.

$$\sigma = \sigma_0 e^{-\Delta E / (2\kappa T)}$$

bunda,  $\sigma_0$  – konstanta;  $\Delta E$  - taqiqlangan zonaning kengligi.

Demak,

$$\frac{\sigma_1}{\sigma_2} = \frac{e^{-\Delta E / 2\kappa T_1}}{e^{-\Delta E / 2\kappa T_2}} = \exp \left[ \frac{\Delta E}{2\kappa} \left( \frac{1}{T_1} - \frac{1}{T_2} \right) \right]$$

Kremniy uchun  $\Delta E = 1,19 B$  ekanini hisobga olsak,

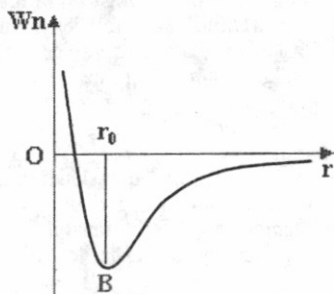
$$\frac{\sigma_1}{\sigma_2} = \exp \frac{1,76 \cdot 10^{-19}}{2(1,38 \cdot 10^{-23})} \left( \frac{1}{273} - \frac{1}{283} \right) = 2,28$$

kelib chiqadi.

## 22.1. Kristallarning tuzilishi

Qattiq jismlarda zarralar (molekulalar, atomlar, ionlar) geometrik jihatdan qat'i tartibda, **kristall panjaralar** hosil qilib joylashgan bo'ladi. Zarralar o'zlarining muvozonat vaziyati yaqinida tebranma harakat qiladilar. Zarralar qattiq jismda bir joyidan ikkinchi joyga o'tishi mumkin, lekin bunday hol juda kam uchraydi. Shuning uchun qattiq jismlarda ham diffuziya bo'ladi, lekin bu duffuziya gaz va suyuqliliklarda qaraganda juda sekin o'tadi.

Moddalarning qattiq, suyuq va gazzimon holatlari orasidagi farqning fizik mohiyatini molekulalarning o'zaro ta'sir potensial egri chizig'i yordamida yana ham aniqroq tushuntirish mumkin.



22.1-rasm.

solishtirish qulayroq bo'lishi uchun  $V$  potensial chuqurning tubi sathidan boshlab qo'yamiz. Agar molekulalar issiqlik harakatining o'rtacha kinetik energiyasi potensial o'ranging chuqurligidan ancha kam ( $W_k \ll W_n(r_0)$ ) bo'lsa, u holda molekulalar potensial o'ranging pastki qismida qolgani holda kichik tebranishlar qila oladi xolos. Bu hol moddaning qattiq holatiga to'g'ri keladi.

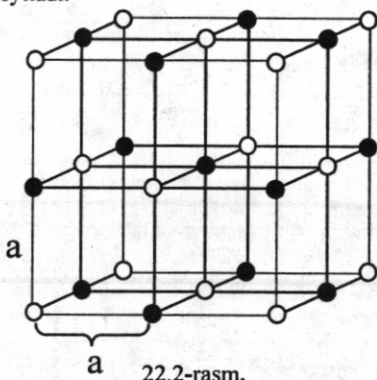
Agar molekulalar issiqlik harakatining o'rtacha kinetik energiyasi potensial o'ranging chuqurligidan bir oz kam bo'lsa ( $W_k << W_p(r_0)$ ), u holda molekulalar ancha katta tebranma harakatda bo'ladi, biroq bari bir potensial o'rada qoladi. Bu hol moddaning suyuq holatiga to'g'ri keladi.

Agar molekulalar issiqlik harakatining o'rtacha kinetik energiyasi potensial o'ranging chuqurligidan ancha katta bo'lsa ( $W_k >> W_n(r_0)$ ), u holda molekulalar bu o'rada chiqib ketadi, o'zaro bog'lanishni yo'qotib, erkin harakatlanadi. Bu hol moddaning gazzimon holatiga to'g'ri keladi (22.1-rasm).

Qattiq jism molekulalari suyuqlik moleklalari qaraganda o'zaro mustahkamroq bog'langani uchun qattiq jism suyuqlikdan farq qilib, o'zinining hajminigina emas, balki shaklini ham saqlaydi. Endi qattiq jism kristall tuzilishini batasilsilroq ko'raylik.

Atomlar orasidagi masofa  $r_0$  bo'lganda tortishish va itarishish kuchlari tenglashdi, ya'ni ularning teng ta'sir etuvchisi nolga, sistemaning potensial energiyasi minimal qiymatga ega bo'ladi, natijada sistema mustahkam muvozonat holatga erishadi. Bu xulosani ko'p sonli atomlar sistemasiga ham umulashtirsak, undagi atomlar bir-biridan bir xil masofada joylashib mustahkam tuzulishga ega bo'lgan kristall jismni hosil qiladi. Kristallning ko'zga tashlanadigan tashqi belgisi

uning to'g'ri geometrik shaklda bo'lishidir. Masalan, osh tuzining eng kichik kristalli kub shaklda, muzning kristalli 6 yoqlı prizma shaklda, olmos kristalli oktayedr (sakkiz qirrali) va hokazo shaklda bo'ladi. Har bir kristall moddani chegaralovchi sirtlari (yoqlari) orasidagi burchak qat'i aniq qiymatga ega bo'ladi (osh tuzida 90°, muzda 120° va hokazo). Kristallar payvand tekisliklari deb atalgan ma'lum tekisliklar bo'ylab oson parchalanib ketadi. Bunda xuddi boshlang'ich shakldagi, ammo kichik o'lchamli kristallchalar hosil bo'ladi. Masalan, osh tuzini va novrot qandini maydalaganda kichik kubchalar va to'g'ri burchakli parallelepipedlar hosil bo'ladi. Bu degan so'z, kristall jismrlarda zarralar (molekulalar, atomlar yoki ionlar) bir-biriga nisbatan *fazoviy yoki kristall panjara* hosil qilgan holda qat'i simmetrik joylashgan demakdir; zarralar joylashgan o'rinnlar *panjaraning tugunlari* deyiladi.



Eng sodda fazoviy panjara osh tuzi (*NaCl*) ning kristall panjarasi bo'la oladi (22.2-rasm). Uning a qirrali elementar yachevkasi (rasmida, u qora chiziqlar bilan ajratilgan) natriyning musbat ionlari va xloring manfiy ionlardan hosil bo'lgan, bu ionlar kubning uchlarida joylashgan.

Fazoviy panjaralarning shakli turlituman bo'lishi mumkin; panjarani hosil qilgan elementar yachevkalar bir-biriga zinch, hech qanday oraliqsiz joylashishi kerak.

1890-yilda E.S. Fyodorov kristall panjaranining barcha shakllarini nazary hisoblab chiqdi va tabiatda faqat 230 xil

kristall panjaralar bo'lishi mumkin ekanligini aniqladi, bu kristall panjaralar 32 xil simmetrik sinfnı hosil qilar ekan. Kristallarni rentgen nurlari yordamida tekshirilishi kristallar simmetrik joylashib kristall panjaralar hosil qilgan zarralar (atomlar, molekulalar yoki ionlar)dan iborat ekanligi tasdiqlandi. Shuningdek, rentgen struktura analizi yordamida tabiatdagi kristall panjaralarining haqiqatan ham 230 turdag'i ko'rinishi bor ekanligi aniqlandi.

*Anizatropiya kristallning ajoyib xususiyatidir; turli yo'nalishlarda kristallning fizik xossalari turlicha bo'ladi.* Masalan, hamma kristallarga mustahkamlik anizatropiyasi xosdir; kristallarning ko'pchiligi issiqlik o'tkazuvchanlik, elektr o'tkazuvchanlik, yorug'lik nurini sindirish va boshqa jihatdan anizatropidir. Fazoviy panjaralarda uzunliklari bir xil, lekin yo'nalishlari turlicha bo'lgan kesmalmada zarralar sonining turlicha bo'lishi kristallar anizatropiyasining asosiy sababchisidir. Kristall panjara zarralarining turli yo'nalishlarda turlicha zichlikda bo'lishi kristallning bu yo'nalishlar bo'ylab boshqa ko'p xossalaringin ham turlicha bo'lishiga sabab bo'ladi.

Kristallar ikki guruhg'a: *monokristall* jismrlar va *polikristall* jismrlarga bo'linadi. Barcha zarralar bir umumiyy fazoviy panjara joylashadigan jism monokristalldir. Monokristall anizatrop bo'ladi. Ko'pchilik minerallar monokristall bo'ladi. Polikristall bir-biriga nisbatan tartibsiz joylashgan ko'plab mayda monokristallchalardan tuzilgan jismidir. Shuning uchun polikristallar izotrop, ya'ni barcha yo'nalishlar bo'yicha bir xil fizik xossalarga ega bo'ladi. Ko'pchilik metallar

polikristall jismlarga misol bo'la oladi, biroq metallni monokristall ko'rnishda ham hosil qilish mumkin.

Kristall panjaraning qanday zarralardan tuzilganligiga qarab panjaralar to'rtta asosiy guruhga bo'lingan: **ion, atom, molekular va metall panjarali kristallar**.

1). **Ion panjarali** kristallar turli ishorali zaryadlangan ionlardan tuzilgan bo'lib, panjarada ionlarni elektr kuchlari tutib turadi. Ko'pchilik kristallar ion panjaralidir (masalan,  $NaCl$ ).

2). **Atom panjarali** kristallar panjara tugunchalarida kimyoviy (kovalent) bog'lanishlar bilan tutib turiladigan neytral atomlardan tuzilgan: qo'shni atomlarda tashqi (valent) elektronlar umumiy bo'ladi. Masalan, grafit, olmos kristallari atom panjaralidir.

3). **Molekulyar panjarali** kristallar – qutbiy (dipol) molekulalardan tuzilgan bo'lib, bu molekulalar ham tugunlarda elektr kuchlari bilan tutib turiladi. Biroq qutbiy molekulalarga bu kuchlar ionlarga ta'sir qilgandan kamroq kuch bilan ta'sir qiladi. Shuning uchun molekulyar panjarali moddalar oson deformatsiyalanadi. Ko'pchilik organik birikmalar (selluloza, rezina, parafin va boshqalar) molekulyar kristall panjaradan tuzilgan bo'ladi.

4). **Metall panjarali** kristallar – erkin elektronlar bilan o'rالgan metallning musbat ionlaridan tuzilgan. Metall panjaraning ionlarini ana shu elektronlar bog'lab turadi. Hozirgi zamondan fizikasi kristall qattiq jismlardan tashqari **amorf jismlarni** ham o'r ganadi. Amorf jismlar polikristallarga o'xshab **izotropdir**. Amorf jismlarga misol qilib, qora mo'm, shisha, smola, kanifol va shunga o'xshashlarni olish mumkin.

Keyingi vaqtarda texnikada **organik amorf** moddalar, ya'ni **polimerlar** keng tarqaldi.

Polimerlarning tipik vakili plastmassalardir. Yuksak elastiklik va mustahkamlik polimerlarning juda muhim xossasi hisoblanadi.

## 22.2. Kristallardagi nuqsonlar

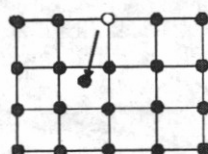
Agar kristall panjarada atomlar barcha kristall yo'nalishlarida bexato davriy ravishda joylashgan bo'lsa, bunday kristall **ideal kristall** deyiladi. Real kristallarda turli sabablarغا ko'ra nuqsonlar uchrab turishi yuqorida qayd etilgan usullar bilan isbotlangan.

Kristall panjaraning nuqsonlari ularning mechanik, issiqlik, elektr va boshqa fizik-kimyoviy xossaligiga katta ta'sir ko'rsatadi. Shuning uchun nuqsonlarning asosiy turlari va hosil bo'lish sirasorlari bilan qisqacha tanishib o'taylik.

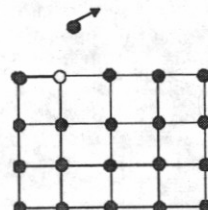
Kristall ichidagi to'planish joyiga qarab nuqsonlar: nuqtaviy, chiziqli va hajmiy nuqsonlarga bo'linadi.

Issiqlik harakati tufayli kristall panjara tugunlaridagi atomlar o'z joylarini tark etib (22.3-rasm) tugunlar orasiga o'tib olsa, bunday nuqsonni nuqtaviy yoki Frenkel nuqsonlari deyiladi.

Atomi ketib qolgan joyni «vakant» joy deb ataladi. «Vakant», ya'ni bo'sh joylar qo'shni tugundagi atomlar tomonidan egallanishi va natijada atomlarning (tugunlarning) kristall bo'y lab estafetali harakati sodir bo'lishi mumkin. Nuqtaviy



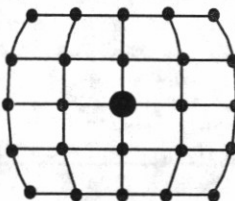
22.3-rasm.



22.4-rasm.

nuqsonlar sirt qatlamlardagi atomlarning birortasini butunlay bug'lanib ketishi yoki bug'langan atom kristall sirtida yangi qatlam tugunini hosil qilishi tufayli ham sodir bo'lishi mumkin (22.4-rasm). **Bunday nuqsonlarni Shottki nuqsonlari deyiladi.** O'z joyini yo'qtgan atomlar «vakant» joylarga yaqinlashganda ularda ushlanib qolishi natijasida «Vakant» joyni to'ldirishi mumkin. Bu hodisani nuqsonlarning **rekombinatsiyasi** deyiladi. Nuqsonlarning hosil bo'lishidan rekombinatsiyalanishgacha o'tgan vaqtini nuqsonlarning **yashash vaqt** deyiladi. Nuqtaviy nuqsonlar kristall panjaraga begona element atomlari kirib qolganda ham hosil bo'ladi. Bunda begona atom tugunlarining biriga yoki ularning oralig'iga joylashishi mumkin. Natijada kristallning shu joyi deformatsiyalanadi (22.5-rasm). **Chegaraviy yoki vintli deb atalgan dislokatsiyalarni chiziqli nuqsonlar** deyiladi. Ular kristallarda tashqi kuchlar ta'sirida noelastik siljish deformatsiyasi sodir bo'lganda kuzatiladi. Tashqi muhit bilan ta'sirlashish natijasida kristall sirtga begona element atomlarining o'tirib qolishi hamda shu tufayli sirtda oksid qatlamlarini hosil bo'lishi sirt nuqsonlariga kiradi. Shuningdek, kristall panjaraning ayrim joylarida fazoviy yo'nalishlarning o'zgarib qolishi tufayli ichki nuqsonlar paydo bo'ladi.

Kristall ichida to'planib qolgan nuqtaviy nuqsonlar, darz ketgan joylar, bo'shlilqlar, stexiometriyaning buzilishi (qattiq eritmalarida) hajmiy nuqsonlarni tashkil etadi.



22.5-rasm.

### 22.3. Fononlar. Kristallarning issiqlik sig'imi

Zarralarning kristall panjara tugunlarida joylashishi, ularning o'zaro potensial energiyasining minimum bo'lishiga mos keladi. Zarralar muvozanat vaziyatidan har qanday yo'nalishida siljiganda zarrani boshlang'ich vaziyatiga qaytarishga intiluvchi kuch paydo bo'ladi, buning natijasida zarra tebranma harakatga keladi. Ixtiyoriy yo'nalishda sodir bo'layotgan tebranishi uchta koordinata o'qlari yo'nalishida bo'layotgan tebranishlarning qo'shilishi deb tasavvur qilish mumkin. Shunday qilib, kristalldagi har bir zarraning uchta tebranma erkinlik darajasi bor, deb hisoblash mumkin. Dyulong va *Pt* qonunining ta'kidlashicha, kristall holatdagi barcha oddiy kimyoiy jismrlarning panjaraviy molar issiqlik sig'imi  $3R$  ga teng. Amalda bu qonun yetarlicha yuqori haroratlardan uchun bajariladi. Past haroratlarda esa kristallarning issiqlik sig'imi kamayadi, harorat *OK* ga yaqinlashganda issiqlik sig'imi ham nolga yaqinlashadi.

Issiqlik sig'imating kvant nazariyasi Eynshteyn tomonidan yaratildi. Debay esa uni takomillashtirdi. Eynshteyn N ta atomdan tashkil topgan kristall panjarani bir-biri bilan bog'liq bo'lмаган  $3N$  garmonik ossillatorga o'xshatdi. Bu ossillatorlarning barchasi birday  $\omega$  chastota bilan tebranishi va energiyasi kvantlangan qiyatlarga egaligini e'tiborga olib Eynshteyn kristall panjaraning issiqlik sig'imi uchun quyidagi formulani hosil qildi:

$$C = \frac{3N\hbar\omega}{(e^{\hbar\omega/KT} - 1)^2} e^{\hbar\omega/KT} \frac{\hbar\omega}{KT^2} \quad (22.1)$$

Bu ifodani yuqori va past haroratlardan uchun muhokama qilaylik.

1. Yuqori haroratlarda (ya'ni  $kT > \hbar\omega$ ) bo'lganda (22.1) ifodaning maxrajidagi

$$e^{\frac{\hbar\omega}{KT}} \approx 1 + \frac{\hbar\omega}{KT} \text{ va sur'atdagi } e^{\frac{\hbar\omega}{KT}} \approx 1 \text{ deb hisoblasak, issiqlik sig'imini}$$

formulasi quyidagi ko'rinishga keladi:

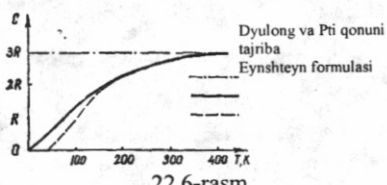
$$C = 3NK \quad (22.2)$$

Bu munosabat Dyulong va Pt qonunining o'zginasidir.

2. Past haroratlarda (ya'ni  $kT < \hbar\omega$ ) bo'lganda (22.1) ifoda maxrajidagi 1 ni e'tiborga olmasak:

$$C = \frac{3N\hbar\omega}{KT^2} e^{-\frac{\hbar\omega}{KT}} \quad (22.3)$$

ifodani hoslil qilamiz. 22.6-rasmida aluminiy uchun issiqlik sig'imining tajribadan olingan va nazariy qiy mattalari asosida chizilgan grafiklari tasvirlangan. Grafikdan ko'rindiki, Eynshteyn nazariysi past haroratlarda issiqlik sig'imining o'zgarishini sifat jihatdan tushuntiradi.



22.6-rasm.

Yuqorida ko'rlikki, kristall jismlarning atomlari o'zaro mustahkam bog'langan holda fazoviy aniq qonuniyatlar bo'yicha joylashib kristall panjarani hoslil qiladi. Undagi biron atom muvozanat holatdan chiqarilsa, uning ta'siri qolgan barcha atomlarga ham uzatiladi, ya'ni panjara qolgan barcha atomning tebranishi barcha yo'naliishlar bo'yicha tarqaladi. Shuning uchun kristallning alohida atomining harakatini kuzatish o'rniga ularning birgalikdagi kollektiv harakatini kuzatish qulay. Atomlarning birgalikda tebranma harakati kristall bo'ylab tarqalayotgan elastik to'lqinlarni hoslil qiladi. Bu to'lqinlarning kristall chegarasidan qaytishi va interferensiyalanishi esa turg'un to'lqinlarni hoslil qiladi. Ularning soni kristallning erkin darajasi  $3N$  ga teng. Bu to'lqinlar kristallda tarqala oladigan tovush to'lqinlaridan iboratdir. Kristall panjara qolgan barcha atomlari – kvant ossillatorlardan birortasini  $\omega_1$  chastota bilan tebranishi tufayli kristall bo'ylab tarqalayotgan tovush to'lqinlarini  $\hbar\omega_1$  energiyali «zarra»lar oqimining vujudga kelishidir, deb tavsif etish mumkin. «Zarra» so'zini qo'shtirnoq ichida yozish o'rniga **kvazizarra** degan so'zdan foydalilanadi. Bu so'z zarrachaga o'xshash degan ma'noni anglatadi. Tovush to'lqiniga mos keluvchi kvazizarraga alohida **fonon** degan nom berilgan.

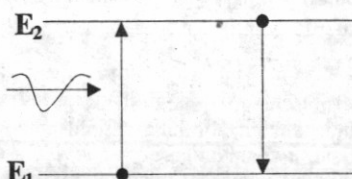
Demak, kvant mexanikasi nuqtayi nazaridan fonon  $E = \hbar\omega$  energiyaga va  $\vec{P} = \hbar\vec{k}$  impulsiga ega bo'ladi. Fononning ko'p xossalari zarraga o'xshaydi, lekin oddiy zarralar (elektron, proton, foton,...)dan farq qilib, fonon vakuumda vujudga kelmaydi. Fononning fotonga o'xshashlik xususiyatlari mavjud. Masalan, elektromagnit nurlanishni juda kichik teshikka ega bo'lgan berk kovak idish (absolut qora jism timsolidagi kovak idish) to'ldirilgan foton gaz deb tasavvur qilingan edi. Kristall panjara tebranishlarini esa kristall bo'lagining sirtlari bilan chegaralangan hajmni to'ldirgan fonon gazi tarzida tasavvur etish mumkin. Fotonlar va fononlar uchun (21.6) dagi  $\mu = 0$ . Shuning uchun Boze-Eynshteyn taqsimoti quyidagi ko'rinishga keladi:

$$\langle N_i \rangle = \frac{1}{e^{\hbar\omega/KT} - 1} \quad (22.4)$$

Boze-Eynshteyn statistikasini fonon gaziga qo'llash tufayli Debay kristall puanjaraning issiqlik sig'imini past haroratlar sohasida tajribaga miqdoriy mos holda tushuntirishga erishdi.

#### 22.4. Myossbauer effekti

1904-yilda Vud natriy (Na) bug'lariga sariq to'lqin uzunligidagi nur tushirganda bu bug'lar huddi shunday to'lqin uzunligidagi nurlar chiqarib shu'lalana boshlashini aniqladi. Keyinchalik simob (*Ng*) va boshqa elementlarda ham shunday hodisalar kuzatildi. Bu hodisani **rezonans nurlanish** va **rezonans yutilish** deb atala boshlandi.



22.7-rasm.

Bunday atomlar asosiy holatdan eng yaqin uyg'ongan holatga o'tganda  $\omega$  chastotaga ega bo'lgan fotonlari  $\Delta E = \hbar\omega$  energiyali nurni intensiv yutadi, so'ngra asosiy holatga qaytishda shunday  $\omega$  chastotali nurlarni chiqaradi (22.7 rasm).

Fluoresensiyaning rezonans yutilishi deb ataladi. Shu sababli rezonans o'tgan yorug'lik yutilishi tufayli susayadi.

Fluoresensiyanı ko'pincha yorug'likning rezonans yutilishi deb ataladi.

Atom yadrolari atomlarning o'zi kabi diskret energiya satrlariga ega. Yadro satrlari orasidagi o'tishlarni  $\gamma$ -nurlar hosil qiladi. Atomlarga ko'rindigan nurlar tushganda hosil bo'ladigan rezonans Fluoresensiya o'xshash, yadrolarga  $\gamma$ -nurlari tushganda ham Fluoresensiya sodir bo'ladi deb o'yash mumkin. Lekin,  $\gamma$ -nurlarda rezonans Fluoresensiya hodisasini kuzatishga uzoq vaqt muvaffaq bo'linmadи.

Noaniqlik munosabatlariiga asosan barcha uyg'ongan energetik yadro satrlari quyidagi energiya qiymatlariga ega bo'ladi:

$$\Delta W = \frac{\hbar}{\Delta t}. \quad (22.5)$$

bu yerda,  $\Delta t$  – yadroni uyg'ongan holatda yashash vaqt:  $\Delta t \rightarrow \infty$  da  $\Delta W = 0$  bu asosiy holatga mos keladi. Yadro uyg'ongan holatdan asosiy holatga o'tish uchun ketgan vaqtida u  $\gamma$ -nurlarini chiqaradi (monoxromatik bo'limgan). Yadrolar tomonidan  $\gamma$ -nurlarining rezonans yutilishi deb shunday  $\gamma$ -nurlar yutilishiga aytildikbi, bu nurlarning  $\omega$  chastotasi, asosiy holat bilan uyg'ongan holatlardan biri orasidagi energiya  $\hbar\omega$  ga teng bo'ladi.

Yadro  $E_2$  uyg'ongan holatdan asosiy holatga o'tganda ( $E_1$ )  $\gamma$ -nurlar.

$$\hbar\omega_{nur} = W_f = W - W_{ya} < W, \quad W = E_2 - E_1 \quad (22.6)$$

bu yerda,  $W_{ya}$  – yadro olgan tepkili energiya. Aksincha, yutilishida esa

$$W_f = \hbar\omega_{yutil} = W + W_{ya} > W \quad (22.7)$$

Yutilish va nurlanish chiziqlarida chastotalar bir-biriga nisbatan

$$\omega_{yutil} - \omega_{nur} = \Delta\omega \quad (22.8)$$

ga siljigan bo'ladi.

Energiya  $\hbar\Delta\omega = 2W_{ya} - \gamma$  kvant nurlanish va yutilishda yadroga beradigan umumiyyat tepki energiyasidir.

Yadroga berilgan  $W_{ya}$  tepki energiya foton impulsi  $P_f$  bo'yicha aniqlanadi. bunda, yutilish va nurlanish vaqtida yadro tegki impulsini  $P_f = P_{ya}$  ni olamiz:

$$W_{ya} = \frac{P_{ya}^{12}}{2M_{ya}} = \frac{P_f}{2M_{ya}} = \left( \frac{\hbar\omega}{c} \right)^2 \cdot \frac{1}{2M_{ya}} \quad (22.9)$$

Shu sababdan alohida yadro uchun rezonans yutilish hodisasi kuzatilmaydi.

Kristall panjaradagi yadrolarda  $\gamma$ -nurlarini yutilishi yoki nurlanishida yadroga beradigan tepki energiya keskin kamayadi, chunki bu holda yadro olgan impuls va tepkili energiya bitta yadroga emas, butun kristall panjaraga beriladi. Kristallning massasi yadro massasidan katta, yutilishda va nurlanishda yo'qoluvchi energiya  $W_{ya}$  juda kichik bo'ladi. Bunday holda  $\gamma$ -fotonlarning rezonans yutilishi va nurlanishi kuzatiladi, bu rezonans ma'lum chastota  $\omega$  ga mos keladi. Buning kengligi tabiiy kenglikka mosdir.

$\gamma$ -nurlarini (tepkili) energiya yo'qotmasdan rezonans nurlanishiga (yutilishiga) Myossbauer effekti deyiladi.

1958-yilda Germaniyalik yosh fizik R.Myossbauer bayon etilgan muammoni hal qilish yo'lini ishlab chiqdi.  $\gamma$ -nurlanish chiqarayotgan yadroning «tepkisi»ni kamaytirish uchun niyohot past haroratlardan foydalandi. Manba va nishon 88K haroratgacha sovutildi. Bunday past haroratlarda kristalldagi yadrolarning issiqlik tebranishlari shu qadar kamayib ketadiki, kristall parchasi faqat mustahkam yagona sistemadek harakatlanishi mumkin, xolos. Bunday kristall tarkibida biror yadro  $\gamma$ -nurlanish chiqarganda «tepkisi»ni shu yadroning o'zi emas, balki yaxlit kristall parchasi oladi.

Natijada nishonga tushayotgan  $\gamma$ -nurlanish energiyasi yadroni uyg'otishga yetarli bo'ladi. Shuning uchun Myossbauer amalga oshirgan tajribalarda  $\gamma$ -nurlanishning rezonans yutilishi kuzatiladi.

### Savollar

1. Kristall jismilar qanday tuzilishga ega va ularni necha turi mavjudligini aytинг?
2. Kristall panjaraning qanday zarralardan tuzilganligiga qarab panjaralar nechta asosiy guruhga bo'lingan, ular qaysilar?
3. Kristallarda qanday nuqsonlar uchraydi?
4. Past va yuqori temperaturalarda kristallarning issiqlik sig'imi qanday bo'ladi?
5. Fonon deganda nimani tushunasiz? Fononning fotonga o'xshashlik xususiyatlarini aytинг.
6. Fonon gaziga Boze-Eynshteyn statistikasini qo'llash tufayli Debay kristall panjaraning issiqlik sig'imi uchun nimaga erishdi?
7. Myossbauer effekti mohiyatini izohlang.

### Masalalar

**82-masala.** Kalsiy kristallining panjara parametri  $a$  va eng yaqin qo'shni atomlar orasidagi masofa  $d$  aniqlansin (panjara qirrasi markazlashtirilgan kubsimon singoniya). Kalsiy kristallining zichligi  $\rho = 1,55 \cdot 10^3 \text{ kg/m}^3$ .

$$\underline{\rho = 1,55 \cdot 10^3 \text{ kg/m}^3}$$

Berilgan:

$$a \sim ? \quad d \sim ?$$

**Yechish.** Kubsimon panjaraning  $a$  parametri eng sodda katakchaning hajmi bilan  $V = a^3$  munosabatda bog'langan.

Boshqa tomondan, eng sodda katakchaning hajmi molar hajmning bir mol kristalldagi eng sodda katakchalar soniga nisbatiga teng:  $V$  uchun keltirilgan ifodalarning o'ng tomonlarini tenglashtirib, quyidagini topamiz:

$$a^3 = V_m / Z_m \quad (1)$$

Kalsiyning molar hajmi  $V_m = \frac{M}{\rho}$  bunda,  $\rho$  – Kalsiyning zichligi,  $M$  – uning molar massasi. Bir moldagi eng sodda katakchalar soni

$$Z_m = N_A / n,$$

bunda,  $n$  – bitta katakchaga to'g'ri keluvchi atomlar soni.

$V_m$  va  $Z_m$  lar uchun keltirilgan formulalarni (1) formulaga qo'yib quyidagini olamiz

$$a^3 = nM / (\rho N_A)$$

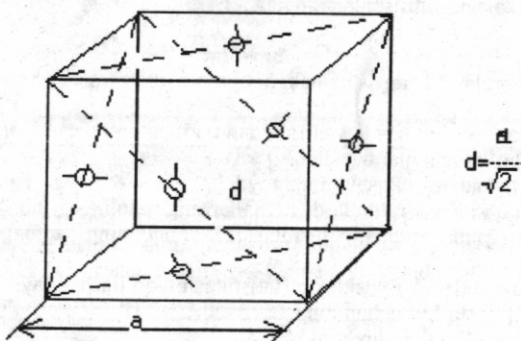
Bundan

$$a = \sqrt[3]{nM / (\rho N_A)} \quad (2)$$

$N=4$  ligini hisobga olib  $n$ ,  $M$ ,  $\rho$  va  $N_A$  kattaliklarning qiymatlarini

(2) formulaga qo'yib, hisoblab topamiz:

$$a = 556 \text{ pm.}$$



22.8-rasm.

Eng yaqin qo'shni atomlar orasidagi d masofa 22.8 -rasmida ko'rinish turgan sodda geometrik mulohazalardan topiladi.

$$d = a / \sqrt{2}$$

Bu ifodaga  $a$  ning oldin topilgan qiymatini qo'ysak,  
 $d=393$  pm.

**83-masala.**  $t_0=0^\circ\text{S}$  da rux tayoqchasining uzunligi  $\ell_{01}=200$  mm, mis tayoqchasining uzunligi esa  $\ell_{02}=201$  mm. Qanday t temperaturada tayoqchalar bir xil uzunlikda bo'ladi? Rux tayoqcha va mis tayoqchaning chiziqli kengayish koeffitsiyentlari mos ravishda

**Berilgan:**  $\alpha_1 = 2,9 \cdot 10^{-5} \text{ grad}^{-1}$  va  $\alpha_2 = 1,7 \cdot 10^{-5} \text{ grad}^{-1}$

$$\underline{t_0 = 0^\circ\text{C}; \ell_{01} = 200\text{mm}; \ell_{02} = 201\text{mm}}$$

$$t \sim ?$$

**Yechish:**  $\ell = \ell_0 (1 + \alpha \cdot t)$  formulaga muvofiq t – temperatura uchun quyidagi tenglikni yoza olamiz:  $\ell_{01}(1 + \alpha_1 t) = \ell_{02}(1 + \alpha_2 t)$  u holda

$$t = \frac{\ell_{02} - \ell_{01}}{\alpha_1 \ell_{01} - \alpha_2 \ell_{02}} = \frac{(201 - 200)^{10^5}}{(2,9 \cdot 200 - 1,7 \cdot 201)} = 420^\circ\text{C}$$

**84-masala.** V=0,51 suvda m=2g osh tuzi eritilgan. Bu eritma uchun t=17°S temperaturadagi bosim R ni toping, tuz molekulalarining dissotsiatsiya darajasini 75% deb oling.

$$V = 0,5l = 0,5 \cdot 10^{-3} \text{ m}^3, m = 2g = 2 \cdot 10^{-3} \text{ kg}$$

**Berilgan:**  $\underline{t = 17^\circ\text{C} = 290K}$

$$P \sim ?$$

**Yechish.** Vant-Goff qonuniga muvofiq, dissotsiatsiyalanmagan eritma uchun

$$P = \frac{CRT}{M}$$

bu yerda,  $C = \frac{m}{V}$  eritmaning konsentratsiyasi, T – uning absolut temperaturasi, M

– erigan modda kilomolining massasi ( $NaCl$  uchun  $M=23$  kg/kmol $+35$  kg/kmol $=58$  kg/kmol $^2$ ) R – universal gaz doimisi.

Molekulalarning dissotsiatsiyasi eritmada zarralar sonining ko'payishiga va bosimning proporsional ravishda ortishiga olib keladi. Shuning uchun dissotsiatsiyani hisobga olgan holda shunday yozish mumkin:

$$P = \frac{mRT}{VM} \cdot 1,75 = \frac{0,002 \cdot 8,32 \cdot 10^2 \cdot 290 \cdot 1,75}{5 \cdot 10^{-4} \cdot 58} = \\ = 2,9 \cdot 10^5 \text{ N/m}^2 \approx 3 \text{ atm.}$$

## 7. YADRO FIZIKASI VA ELEMENTAR ZARRACHALAR

### XXIII BOB. YADRO FIZIKASI ELEMENTLARI

#### 23.1. Atom yadrosining tarkibi. Yadroning massa va zaryad soni

1919-yilda Rezerford azot yadrosini alfa zarralar bilan bombardimon qilganda ulardan vodorod yadrolari ajralib chiqishini kuzatgan. Rezerford bu zarralarni *proton* (yunoncha «birinchi» degan so'zdan olingan) deb atadi. 1932-yilda Rezerfordning shogirdi Chedvik yadro tarkibiga kiruvchi yana bir zarra – *neutronni* aniqladi. 1932-yilda Chedvik kashfiyotidan keyin sovet fizigi D.D. Ivanenko va nemis fizigi V. Geyzenberglar bir-biridan mustaqil ravishda *atom yadrosi protonlar va neutronlardan tashkil topgan* degan fikrni ilgari surdilar. Shu tariqa atom yadrosining proton va neutronli modeli yaratildi. Proton va neutronni yagona nom bilan *nuklon* deb ataladi.

Proton musbat zaryadga ega bo'lib, elektron zaryadiga teng, ya'ni  $q_p = +l = +1,60219 \cdot 10^{-19} C$ , uning tinchlikdagi massasi  $m_p = 1,67265 \cdot 10^{-27} kg$ . Atom va yadro fizikasida *massaning atom birligi (m.a.b.)* kattaligidan keng foydalaniлади. 1 m.a.b. uglerod 12 atomi massasining 1/12 ulushiga, ya'ni  $1,66057 \cdot 10^{-27} kg$ . ga teng. Natijada  $m_n = 1,00727 m.a.b.$  ga teng bo'ladi. Neutron esa elektroneytiral zarra bo'lib, uning tinchlikdagi massasi  $m_n = 1,67495 \cdot 10^{-27} kg = 1,008665 m.a.b.$  ga teng.

Massa va energiyaning ekvivalentli qonumi ( $W=mc^2$ )ga asoslanib, massa  $J$  larda, yoxud  $eV$  larda ( $1J=6,2419 \cdot 10^{18} eV$ ) ham ifodalanadi. Demak,

$$m_p = 1,5033 \cdot 10^{-10} J = 938,28 MeV \quad (23.1)$$

$$m_n = 1,5054 \cdot 10^{-10} J = 939,57 MeV$$

Neytron va protonlar xususiy magnit momentlarga ham ega:

$$\begin{aligned} \mu_n &= -1,91 \mu_{ya} \\ \mu_p &= +2,79 \mu_{ya} \end{aligned} \quad (23.2)$$

Bu ifodadagi  $\mu_{ya}$  – *yadroviy magneton* deb ataladi;  $\mu_{ya}$  – *yadroviy zarralarning magnit momentlarini* o'lchash uchun qo'llaniladigan kattalikdir. Agar Bor magnetonidagi elektron massasi  $m_e$  o'rniغا proton massasi  $m_p$  ni qo'yask,

$$\mu_{ya} = \frac{e\hbar}{2m_p} = 5,0508 \cdot 10^{-27} A \cdot M^2 \quad (23.3)$$

yadroviy magneton ifodasini hosil qilamiz.

D.I. Mendeleyev davriy sisimtemasidagi elementlarning tartib nomeri  $Z$  shu element atomi yadrosining zaryadini aniqlaydi, ya'ni  $q_{ya} = +Ze$ .

Yadro tarkibidagi barcha protonlar soni  $Z$  va barcha neytronlar soqi  $N$  ning yig'indisi, yadrodagи nuklonlar sonini ifodalaydi.

$$Z + N = A \quad (23.4)$$

*yadroning massa soni* deb ataladi.

Kimyoiy elementlarning atom yadrolarini  $X'$  simvol bilan belgilash qabul qilingan, bunda,  $X$  element simvoli,  $A$  – massa soni,  $Z$  – atom tartib nomeri.

Masalan,  $_2He^4$  geliy atom yadrosini,  $_8O^{16}$  kislorod atom yadrosini bildiradi va shu kabilar.

Yadroda protonlar soni bir xil, ammo neytronlar soni har xil atomlar **izotoplar** deyiladi. Masalan, vodorodning uchta izotopi mavjud.  $_1H^1$  (protiy),  $_1H_2^2$  (deyteriy) va  $_1H_2^3$  (tritiy), bu yerda, kimyoiy simvolning pastki o'ng tomoniga neytronlar soni ham yoziladi.

Ya.I. Frenkel nazariyasiga ko'ra atom yadrosini **suyuqlik tomchisiga** o'xshatish mumkin. Suyuqlik tomchisidagi molekulalar o'zaro molekular tutinish kuchlari bilan bog'langani singari yadroni tashkil qiluvchi nuklonlar ham o'zaro alohida tortilish kuchlari – **yadro kuchlari** bilan bog'langan. Ko'pgina elementlar atom yadrolarining barqarorligi yadro kuchlarining nihoyatda ulkan ekanligini ko'rsatadi.

Yadro kuchlari faqat juda kichik masofalardagina ( $10^{-13} \text{ sm}$  tartibida) namoyon bo'ladi. Nuklonlar orasidagi masoфа biroz organda yadro kuchlari nolgacha kamayadi va kulon kuchlari protonlarni ajratib yuboradi (yadroni parchalaydi). Yadro kuchlari gravitatsion va elektr kuchlari bo'imay, alohida turdag'i kuchlardir. Ularning tabiatи va xossalari hali to'liq o'rganilmagan. Hozirgi vaqtida haqiqatga eng yaqin deb yadro kuchlarining **mezon nazariyasini** hisoblashadi; bu nazariyaga muvofiq nuklonlar bir-biri bilan alohida elementlar zarralar – **mezonlarni** almashish yo'li bilan o'zaro ta'sirlashadi.

Bir xil sondagi protonlar va neytronlardan tashkil topgan yengil kimyoiy elementlarning yadrolari, ayniqsa, barqaror bo'ladi. Yadrolari ko'p sonli nuklonlardan tashkil topgan eng og'ir kimyoiy elementlarda (davriy sistemada qo'rg'oshindan keyin joylashgan) yadro kuchlari yadroning barqarorligini ta'minlay olmaydi. Bunday yadrolar o'z-o'zidan parchalanib anch'a yengil elementlarning yadrolariga aylanadi. Bu hodisa tabiiy **radioaktivlik** deb ataladi.

## 23.2. Radioaktivlik

Tabiiy radioaktivlikni 1896-yilda fransuz fizigi Bekkeral kashf qildi. Unifiricha, uran tuzining o'z-o'zidan chiqargan nurlari noshaffof moddalar qatlamanidan o'ta oladigan, gazlarni ionlashtira oladigan, fotoplastinkani qoraytiradigan xususiyatlari bordir. P.Kyuri hamda M.Kyuri Skladovskaya va boshqalar tomonidan keyinchalik o'tkazilgan tadqiqotlar ko'rsatadiki, tabiiy radioaktivlik faqat uran tuzlarigagina xos bo'lib qolmay, balki og'ir kimyoiy elementlarning ko'pchiligiga, jumladan, aktiniy, toriy, poloniya va radiyga ham xosdir. Poloniya va radiyni 1898-yilda Per va Mariya Kyurilar kashf etgan. Bu elementlarning hammasini **radioaktiv elementlar**, ularning chiqarayotgan nurlarini – **radioaktiv nurlar** deb ataladi. Radioaktiv nurlanishga **alfa-nurlar, beta nurlar va gamma-nurlar** deb atalgan uch xil nur kiradi.

1. Alfa-nurlar elektr va magnit maydonlarida og'adi; bu nurlar geliy  $_2Ne^4$  atomi yadrolari oqimidan iborat. Har bir  $\alpha$ - zarracha ikkita elementlar musbat zaryad  $+2e$  ga ega va massa soni 4 ga teng.  $\alpha$  - zarrachalar  $14000 \pm 20000 \text{ km/s}$  tezlikka ega bo'lib,  $4 \pm 9 \text{ MeV}$  kinetik energiyaga ega bo'ladi.  $\alpha$  - zarracha o'z energiyasini atomlarni ionlashga sarflab to'xtaydi; bunda, u moddada mavjud bo'lgan erkin elektronlardan ikkitasini o'ziga qo'shib oladi va geliy atomiga aylanadi.

$\alpha$  - zarrachani havoda o'tgan yo'li  $3-9 \text{ sm}$  ni tashkil qiladi, ularning ionlashtirish qobiliyati esa  $100000-250000$  juft ionga teng. Shunday qilib,  $\alpha$  -

zarrachaning ionlashtrish qobiliyati yuqori, lekin o'tuvchanlik qobiliyati uncha katta emas.

$\alpha$  - zarracha qalinligi  $0,06 \text{ mm}$  bo'lgan aluminiy qatlamida yoki qalinligi  $0,12 \text{ mm}$  bo'lgan biologik to'qima qalinligidagi qatlamda butunlay yutiladi.

2. Beta-nurlar elektr va magnit maydonlarida og'adi; ular **tez elektronlar** oqimidan iborat bo'lib,  $\beta$ -zarrachalar deb ataladi.  $\beta$ -zarrachaning o'rtacha tezligi  $160000 \text{ km/s}$  ga teng.

$\beta$ -nurlanish  $\alpha$ -nurlanishdan farq qilib, **tutash energetik spektrga** ega.  $\beta$ -zarracha havoda  $40 \text{ m}$  gacha, alyuminiyda –  $2 \text{ sm}$ . gacha, biologik to'qimada –  $6 \text{ sm}$ . gacha yuguradi.

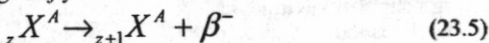
3. Gamma-nurlar – chastotasi juda katta  $-10^{20} \text{ Gs}$ , to'lqin uzunligi esa juda qisqa  $-10^{-12} \text{ m}$  bo'lgan fotonlar oqimidan iborat.  $\gamma$ fotonlar energiyasi  $1 \text{ MeV}$  chamasida bo'лади.

$\gamma$ nurlar eng qattiq elektromagnit nurlar bo'lib, ko'p jihatdan rentgen nurlariga o'xshaydi ular elektr va magnit maydonida og'maydi, yorug'lik tezligi bilan tarqaladi, kristalldan o'tishida difraksiya ro'y beradi.

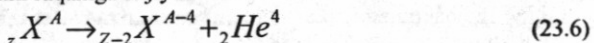
$\gamma$ nurlarning ionlashtirish qobiliyati katta emas, u havoda  $100 \text{ juft ionga}$  ega yo'lni bosadi.

$\gamma$ nurlar eng o'tuvchi nurlardir. Eng qattiq  $\gamma$ nurlar qalinligi  $5 \text{ sm}$  bo'lgan qo'rg'oshin qatlamidan yoki qalinligi bir necha yuz metr bo'lgan havo qatlamidan o'tadi; kishi tanasidan bemalol o'tib ketadi.

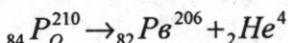
$\beta$ -yemirilishida radioaktiv element davriy sistemada massa sonini o'zgartirmasdan o'ngga bir nomeraga siljiydi:



$\alpha$ -yemirilishida radioaktiv element davriy sistemasida massa sonini 4 ga kamaytirib, chapga ikki raqamga siljiydi:



Масалан,



Radioaktiv yemirilish radioaktiv element atomlarining asta-sekin kamayishiga olib keladi.  $dt$  vaqt ichida yemiriladigan atomlar soni  $dN$ , vaqtga va radioaktiv element atomlarining umumiy soni  $N$  ga proporsionaldir:

$$dN = -\lambda N dt \quad (23.7)$$

bunda,  $\lambda$  - berilgan elementning **yemirilish doimiysi** deb ataladigan proporsionallik koefitsiyenti. Minus ishorasi vaqt o'tishi bilan radioaktiv element atomlar sonining kamayishini ko'rsatadi. (23.7) dan

$$\lambda = -\frac{dN}{N dt}$$

kelib chiqadi, ya'ni yemirilish doimiysi vaqt birligidagi atomlar sonining nisbiy kamayishiga teng.

(23.7) tenglikning  $t=0$  dan  $t$  gacha vaqt oraliq'ida integrallab, quyidagini olamiz:

$$N = N_0 e^{-\lambda t} \quad (23.8)$$

(23.8) munosabatni **radioaktiv yemirilish qonuni** deb ataladi. (23.8) ifodadagi  $N_0$  – boshlang‘ich (ya’ni  $t=0$ ) vaqtgagi radioaktiv moddada mavjud bo‘lgan yadrolar soni,  $N$  – biror  $t$  – vaqtadan so‘ng yemirilmay qolgan yadrolar soni,  $\lambda$  esa **yemirilish doimiyisi deb ataluvchi** kattalik, ko‘pincha  $\lambda$  o‘rniga **yarim yemirilish davri ( $T_{1/2}$ )** deb ataladigan kattalikdan foydalaniлади:  $\lambda$  va  $T_{1/2}$  lar orasida quyidagicha bog‘lanish bor:

$$T_{1/2} = \frac{0,693}{\lambda} \quad (23.9)$$

radioaktiv izotoplarning yarim yemirilish davri  $T_{1/2}$  shunday vaqt oralig‘iki, bu vaqt ichida mavjud radioaktiv yadrolarning yarmi yemiriladi.  $T_{1/2}$  ning qiymatlari turli radioaktiv yadrolar uchun turlicha, masalan, sekundning ulushidan million yillargacha bo‘lishi mumkin.  $T_{1/2}$  ning qiymati tashqi sharoitlarga (harorat, bosim, magnit yoki elektr maydonlarining ta’siriga) va radioaktiv yadrolarni qanday kimyoiyi birikmalar tarkibida ekanligiga bog‘liq emas.

**Radioaktiv manbalar aktivligi birlik vaqtida sodir bo‘ladigan yemirilishlar sonini ifodalaydi.** Uning SI dagi birligi bekerel (Bk) 1 sekunda 1 yemirilish sodir bo‘ladigan radioaktiv manbaning aktivligi 1 Bekkerel bo‘ladi.

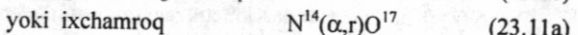
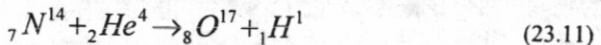
### 23.3. Yadroviy reaksiyalar

Ikki yadro yoki yadro va zarra bir-biri bilan  $10^{15} m$  lar chamasiga yaqinlashganda yadroviy kuchlarning ta’siri tufayli o‘zaro intensiv ta’sirlashadi, natijada yadroviy o‘zgarishlar vujudga keladi. Bu jarayonlarni **yadroviy reaksiya** deb ataladi, yadroviy reaksiyani quyidagicha yozish mumkin:



bunda,  $X$  – boshlang‘ich yadro,  $a$  – reaksiyaga kirishuvchi zarra,  $\sigma$  - yadroviy reaksiyada ajralib chiquvchi zarra,  $U$  – yadroviy reaksiyada vujudga kelgan yadro,  $a$  va  $\sigma$  zarralar – neytron, proton, alfa-zarra, gamma – kvant, yengil yadrolar yoki boshqa elementar zarralar bo‘lishi mumkin.

Birinchi yadroviy reaksiya Rezerford tomonidan azotni  $\alpha$ -zarralar bilan bombardimon qilish jarayonida kislород va proton hosil qilib, amalga oshirilgan, ya’ni



ko‘rinishda ifodalash mumkin.

Barcha yadro reaksiyalarida biror elementar zarracha (masalan,  $\gamma$ -foton) chiqadi. Ko‘pchilik yadro reaksiyalarining mahsulotlari ham radioaktivdir, ular sun’iy radioaktiv izotoplari deb ataladi. Sun’iy radioaktivlik hodisasini 1934-yilda fransuz fiziklari **Frederik va Iren Jolio Kyurilar** kashf qilishgan.

Fosfor  ${}_{15}P^{31}$  ning neytronlarni qo‘sib olish reaksiyasi radioaktiv izotoplarni olishga misol bo‘ladi. Unday qo‘sib olishda  $\gamma$ -foton chiqadi va fosforming radioaktiv izotopi  ${}_{15}P^{32}$  hosil bo‘ladi:



Fosfor izotopining yarim yemirilish davri  $T_{1/2}=14,3$  kunga teng,  $\beta$ -zarralarni chiqarish bilan boradigan izotop yadrosining yemirilishi  $^{16}S^{32}$  oltingugurtni barqaror izotopining hosil bo'lishiga olib keladi:



Yadroviy reaksiyalarda saqlanish qonunlarining bajarilishini ko'raylik.

1. Yadroviy reaksiyaga kirishuvchi zarralarning umumiy zaryadi reaksiyada vujudga kelgan zarralarning umumiy zaryadiga teng.

2. Yadroviy reaksiyaga kirishayotgan zarralardagi nuklonlarning to'liq soni reaksiyadan keyin ham saqlanadi, ya'ni reaksiyada hosil bo'lgan zarralar nuklonlarining to'liq soniga teng bo'ladi (23.1-jadval).

23.1-jadval

| Yadroviy reaksiya                     | Elektr zaryadi  | Nuklonlar soni  |
|---------------------------------------|-----------------|-----------------|
| $N^4 + \alpha \rightarrow O^{17} + R$ | $7+2=8+1$       | $14+4=17+1$     |
| $N^2 + N^2 \rightarrow Ne^3 + n$      | $1+1=2+0$       | $2+2=3+1$       |
| $Li^7 + R \rightarrow Ve^7 + n$       | $3+1=4+0$       | $7+1=7+1$       |
| $S^{32} + n \rightarrow R^{32} + R$   | $16+0=15+1$     | $32+1=32+1$     |
| $Ve^9 + \gamma \rightarrow 2Ne^4 + n$ | $4+0=2\cdot2+0$ | $9+0=2\cdot4+1$ |

3. Yadroviy reaksiyalarda massaning saqlanish qonuni (va energiyaning saqlanish qonuni ham) bajariladi. U holda yadroviy reaksiyaga kirishayotgan zarralarning tinchlikdagi massalari (23.10) ga asosan  $m_x$  va  $m_a$  deb, reaksiyada vujudga kelgan zarralarni esa  $m_u$  va  $m_v$  deb belgilaylik. Ularning kinetik energiyalarini mos ravishda  $T_x$ ,  $T_a$ ,  $T_u$ ,  $T_v$  deb belgilaylik. Natijada reaksiyaga kirishayotgan zarralar to'liq energiyalarining yig'indisi reaksiyada vujudga kelgan zarralar to'liq energiyalarining yig'indisiga tengligini quyidagicha ifodalaymiz

$$m_x c^2 + T_x + m_a c^2 + T_a = m_y c^2 + T_y + m_b c^2 + T_b.$$

Mos hadlarni guruhlasak, bu ifoda quyidagi

$$[(m_x + m_a) - (m_y + m_b)]c^2 = (T_y + T_b) - (T_x + T_a)$$

ko'rinishga keladi.

Yadroviy reaksiyada ajralib chiqadigan yoki yutiladigan energiyani **reaksiya energiyasi** deb ataladi, ya'ni

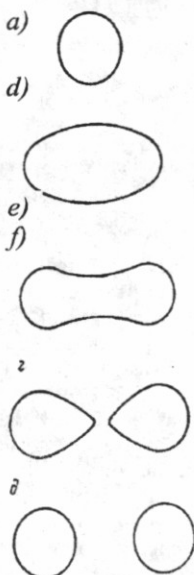
$$Q = [(m_x + m_a) - (m_y + m_b)]c^2 = (T_y + T_b) - (T_x + T_a) \quad (23.14)$$

Agar  $Q > 0$  bo'lsa, zarralar kinetik energiyasining ortishi kuzatiladi. U holda  $(T_x + T_a)$  ning har qanday qiymatida ham **ekzoenergetik reaksiya** amalga oshadi.

Agar  $Q < 0$  bo'lsa, **endoenergetik reaksiya** sodir bo'ladi. Bunda zarralar kinetik energiyasining kamayishi hisobiga ularning tinchlikdagi massalari ortadi. Shuning uchun reaksiyaga kirishayotgan zarralar kinetik energiyalari yetarlicha katta bo'lishi, ya'ni  $(T_x + T_a) = /Q / + (T_u + T_v)$  shart bajarilishi kerak.

### 23.4. Yadrolarning bo'linishi

Faqat uyg'ongan yadroqina ikki qismga bo'linishi yoki parchalanishi mumkin. Yadroni uyg'otish uchun, masalan, uni  $\alpha$ -zarralar yoki protonlar bilan bombardimon qilish usuli bilan unga yetarlicha energiya sarflash kerak bo'ladi. Avval qayt qilinganidek, yadrolarni parchalashning eng yaxshi effektiv quroli neytronlardir, chunki ular elektr jihatdan neytral bo'lgani uchun yadro tomonidan elektrostatik itarish kuchiga duch kelmaydi.

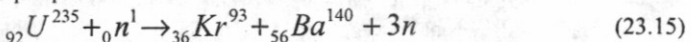


XX asrning 40-yillariga kelib, bir qancha olimlar (E.Fermi, I.Jolio – Kyuri, P.Savich, O.Gan, Shtrasman, O.Frish, L.Maytner) ning tajribalari va nazariy izlanishlari tufayli, neytronlar bilan bombardimon qilingan uran yadrosining bo'linish reaksiyasi kashf qilindi. Yadroning tomchi modeliga asoslanib, bu reaksiyani quyidagicha izohlash mumkin.

Neytron n ni o'ziga qo'shgan uran yadrosi U uyg'ongan bo'lib qoladi va deformatsiyalanadi (23.1-rasm). Agar uyg'onish unchalik katta bo'limasa, u vaqtida yadro  $\gamma$  fotonlar yoki neytron chiqarish yo'li bilan ortiqcha energiyadan qutilib, turg'un holatga qaytadi. Bunda tomchining shakli sharsimondan ellipsoidsimonga, undan yana sharsimonga qaytadi. Agar uyg'onish energiyasi yetarlicha katta bo'lsa, u vaqtida yadroda ikkiga bo'linayotgan suyuqlik tomchisining ikki qismi orasidagi cho'zilishga o'xshash uzunchoq shakl (23.1d-rasmga q.) paydo bo'ladi. Cho'zilayotgan yadroning juda ingichka qismida ta'sir qilayotgan yadro kuchlari endilikda yadroning bir xil ishorali zaryadlangan qismlarining kulon itarishish kuchlariga qarshi tura olmaydi. Natijada cho'zilgan yadro uziladi va qarama-qarshi tomonga katta tezlik bilan uchib ketadigan ikkita «parchaga» yemiriladi. Bundan tashqari, bo'linish vaqtida yadrodan **onyi neytronlar** deb ataladigan 2–3 ta neytron ajralib chiqadi. Oniy neytronlarning ko'pchiligi 1–2 MeV energiyaga ega. Energiyasi 1,5 MeV dan katta bo'lgan neytronlar **tez neytronlar**, energiyasi 1,5 MeV dan oz neytronlar **sekin neytronlar** deb ataladi. Energiyasi juda kichik neytronlar **issiqlik neytronlari** deyiladi.

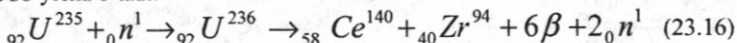
Bo'lingan yadroning parchalari radioaktiv bo'ladi: ular  $\gamma$ -fotonlar,  $\beta$ -zarralar va neytronlar chiqaradi; bu neytronlarni oniy neytronlardan farqlash maqsadida **kechikkan neytronlar** deb ataladi.

Barcha og'ir elementlarning yadrolari neytronlar ta'sirida ikki qismga bo'linish qobiliyatiga ega. Amaliy jihatdan eng muhim bo'linuvchi materiallar uran  $^{92}_{\text{U}}U^{238}$  aktino uran  $^{92}_{\text{U}}U^{235}$ , uranning sun'iy  $^{92}_{\text{U}}U^{233}$  izotopini va plutoni  $^{94}_{\text{Ru}}Ru^{239}$  dir.  $^{92}_{\text{U}}U^{235}$ ,  $^{92}_{\text{U}}U^{233}$  va  $^{94}_{\text{Ru}}Ru^{239}$  yadrolar tez, shuningdek, sekin (jumladan, issiqlik) neytronlar ta'sirida bo'linadi,  $^{92}_{\text{U}}U^{238}$  yadrosi esa faqatgina tez neytronlar ta'sirida bo'linadi. Uran  $^{92}_{\text{U}}U^{235}$  ning uchta neytron chiqarib, kripton va bariy izotoplariiga yemirilishi ehtimolligi ko'proqdir:

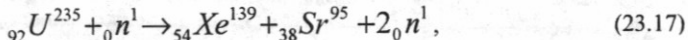


Keyingi tekshirishlar uran yadrosi neytronlar bilan bombardimon qilinganda 80 xil bo'laklar hosil bo'lishini ko'rsatdi. Shu bilan birga massalari nisbati 2:3 bo'lgan bo'laklarga bo'linish eng ehtimolli ekani ma'lum bo'ldi.

Uran yadrosining mumkin bo'lgan bo'linish reaksiyalaridan yana biri quyidagi sxema bo'yicha o'tadi.



Shuningdek,



bu yerda, *Se* – seriylar, *Zr*–sirkoniy, *Xe*–ksenon, *Sr*–stronsiylar davriy sistema elementlарining o'rta qismiga to'g'ri keladi.

Neytronlar ta'sirida bilan bir qatorda, garchi juda oz darajada bo'lsada, og'ir yadrolar o'z-o'zidan bo'linishi ham mumkin; masalan, 1 g uranda bir soatda hammasi bo'lib taxminan 20 tacha o'z-o'zidan yemirilish yuz beradi. Bu hodisani 1940-yilda sovet fiziklari K.A.Petrjak va G.N.Flerov kashf qilganlar.

Uran yadrosining bo'linishida, taxminan, 208 MeV energiya ajraladi, bu energiyaning deyarli 80 %i parchalarning kinetik energiyasi ko'rinishida ajraladi; qolgan 20%i esa parchalarning radioaktiv nurlanish energiyasiga va oniy neytronlarning kinetik energiyasiga to'g'ri keladi.

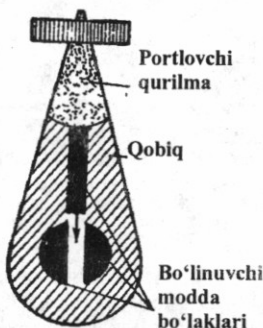
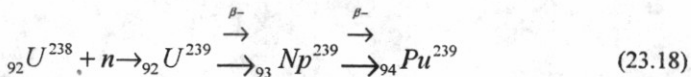
Yadroning bo'linishida surʼat qilingan neytronlarning energiyasi 7-10 MeV dan oshmaydi. Buni yadrolarni bo'linishida ajralib chiqqan energiya bilan solishtirsak, yadrosi bo'linidigan materiallarni juda katta energiya manbai bo'lib xizmat qilishi ko'rindi. Masalan: 1 kg uran – 235 da bo'lgan barcha yadrolarning bo'linishida ajralib chiqqan energiya, taxminan,  $2,3 \cdot 10^7$  kvt·soat ga teng. Buncha energiya miqdori 2000000 kg benzin yoki 2500000 kg tosh ko'mir yonganda ajralishini ko'rsatish mumkin. Shuning uchun xalq xo'jaligida «yadro yoqilg'isidan» foydalanish maqsadga muvofiqdir.

### 23.5. Zanjir reaksiya. Reaktorlar

Yadroning bo'linish energiyasidan foydalanish imkoniyatini amalga oshirish uchun shunday sharoit yaratish kerakki, bu sharoitda reaksiya bir boshlangandan so'ng o'z-o'zidan davom eta olsin, ya'ni reaksiya zanjir xarakteriga ega bo'lsin. Bunday reaksiyani amalga oshirishga, masalan, og'ir Uran – 235 yadroning bo'linishida vujudga keladigan 2-3 dona neytron yordam beradi. Masalan, birinchisi yadro bo'linganda ajralib chiqqan 2-3 neytronning har biri o'z navbatida yangi yadrolarning bo'linishiga sabab bo'ladi. Natijada 6-9 yangi neytronlar vujudga keladi. Bu neytronlar o'z navbatida yana boshqa yadrolarni bo'linishiga imkoniyat yaratadi va hokazo. Bunday reaksiya bo'linishning *zanjir reaksiyasi* deb yuritiladi. Uran – 235 bo'linishining zanjiriy reaksiyasini nazariyasini 1938-yilda Ya.B.Zeldovich va Yu.B.Xaritonlar ishlab chiqishgan.

Uranning har bir yadrosining bo'linishida 2-3 ta neytron paydo bo'lishiga qaramasdan, ularning hammasi ham boshqa yadrolarning bo'linishiga sabab bo'lavermaydi. Neytronlarning bir qismini yadro yoqilg'isida bo'ladigan bo'linmaydigan aralashma yadrolari o'ziga qo'shib olish mumkin, neytronlarning yana bir boshqa qismi yoqilg'i material hajmi sirtidan uning boshqa yadrolari bilan

to'qnashmay chiqib ketishi mumkin. Shuning uchun uran yadrolar bo'linishining zanjiriy reaksiyasi hamma vaqt ham sodir bo'lavermaydi. Zanjir reaksiya yuz berishi uchun biringchidan  $_{92}U^{235}$  izotopning bo'lagi yetarli katta bo'lishi kerak. Uran bo'lagining o'lchamlari yetarli katta bo'lganda bo'linish reaksiyasi davomida ajraluvchi neytronlarning ko'p qismi uran bo'lagining chekkasiga yetguncha reaksiyaga kirishib ulguradi. Uran bo'lagining neytronlari ham zanjir reaksiyaning amalga oshishiga yordam beradi. Umuman, zanjir reaksiyaning rivojlanish tezligi ***ko'payish koeffitsiyenti K ning*** qiymati bilan xarakterlanadi. Ko'payish koeffitsiyenti – biror avlod bo'linishlarida vujudga kelgan neytronlar sonini undan oldingi avlod bo'linishida hosil bo'lgan neytronlar soniga nisbatidir. Agar  $K > 1$  bo'lsa, zanjir reaksiyasi rivojlanadi.  $K < 1$  da reaksiya so'nadi.  $K = 1$  bo'lganda reaksiya bir me'yorda davom etadi. Zanjir reaksiyada uran yoki plutoniyning izotoplardidan foydalaniлади. Масалан, табиий уран таркебида 99. 282 %  $_{92}U^{238}$  изотоп, 0,7121 %  $_{92}U^{235}$  изотоп ва 0,06 %  $_{92}U^{234}$  изотоп бор. Тез нейтронлар та'sirida bu izotoplarning barchasi bo'linadi, sekin neytronlar esa faqat  $_{92}U^{235}$  izotopining bo'linishiga sabab bo'la oladi. Energiyasi 1 MeV dan kichik neytronlar  $U^{238}$  yadrosi tomonidan ham tutilishi mumkin va  $U^{239}$  hosil bo'ladi. Lekin  $U^{239}$  izotop  $\beta$ -yemirilish natijasida  $Nr^{239}$  ga, u esa  $Ru^{239}$  ga aylanadi, ya'ni:

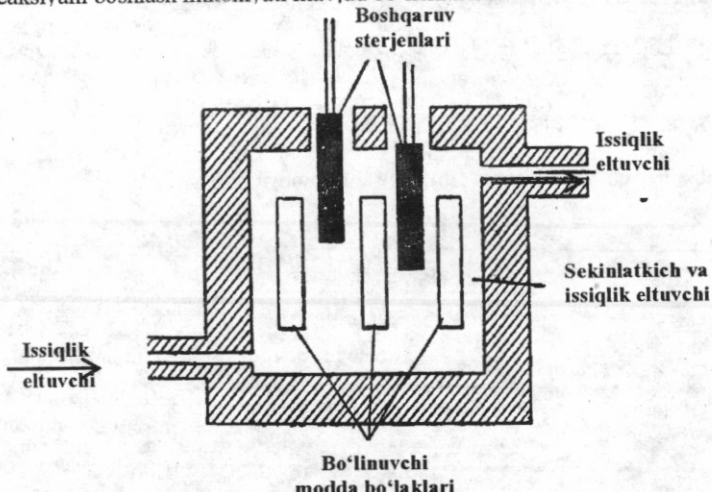


23.2 -rasm.

$m > m_{kr}$  shart bajarilganda  $K > 1$  bo'lsa, zanjir reaksiya boshqarilmaydigan tarzda amalga oshishi atom bombanining portlash jarayonida sodir bo'ladi. Atom bombanining tuzilishi sxematik tarzda 23.2-rasmida tasvirlangan. Unda bo'linuvchi modda ikki yoki ko'proq bo'laklar tarzida tayyorlanadi. Bu bo'lakchalarining umumiyy massasi kritik massasidan katta, lekin har bo'lakchaning massasi kritik massadan kichik. Shuning uchun har bir bo'lakning o'zida bo'linish zanjir reaksiya rivojlanmaydi. Bombaga joylashtirilgan oddiy portlovchi qurilma portlaganda mazkur bo'laklar qo'shilib, zanjir reaksiyani amalga oshishiga sharoit yaratiladi. Bo'linish reaksiyasini boshlab berish uchun kerak bo'ladigan biringchi neytronlar esa bo'linuvchi modda ichida doimo «adashib» yurgan bo'ladi. Масалан, massasi 1 kg bo'lgan uranda spontan bo'linish tufayli sekundiga taxminan 20 neytron vujudga

keladi. Bundan tashqari, kosmik nurlar ta'sirida ham doimo turli zarralar qatori neytronlar ham vujudga kelib turadi. Atom bomba portlaganda juda qisqa vaqt ichida nihoyatda katta energiya ajralib chiqqanligi uchun portlash zonasida harorat bir necha million gradusga yetadi. Bunday issiqlik ta'sirida portlash zonasidagi modda bug'ga aylanadi. O'ta qizigan sharsimon gaz tez kengayishi natijasida juda kuchli zarb to'lqini vujudga kelib o'z yo'lida obyektlarni yemiradi va kuydirib tashlaydi.

Boshqariladigan bo'linish zanjir reaksiyalarini amalga oshirish uchun qo'llaniladigan qurilmanni *yadroviy reaktor* deb ataladi. Bunday qurilmalarda neytronlar ko'payish koefitsiyenti K ning 1 dan ozgina katta qiymatlarida zanjir reaksiyani boshlash imkoniyati mavjud bo'lishi kerak.



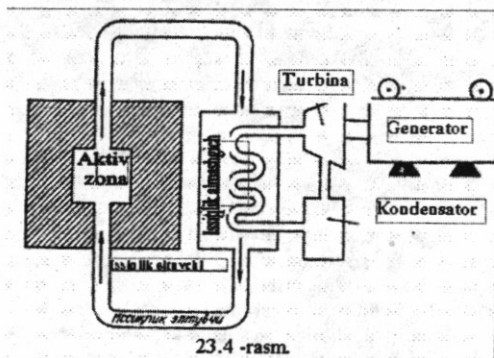
23.3-rasm.

U holda aktiv zonasidagi neytronlar konsentratsiyasi va reaktoring quvvati orta boshlaydi. Kerakli quvvatga erishilganda  $K$  ning qiymatini aynan 1 ga teng qilib turish imkoniyati bo'lishi kerak. Bu holda zanjir reaksiya o'zgarmas tezlik bilan davom etadi, natijada reaktor *statsionar rejinda* ishlay boshlaydi.

Endi biz hozirgi zamon energetiksida keng foydalanilayotgan issiqlik neytronlar ta'sirida ishlaydigan reaktorlar bilan tanishamiz. Reaktoring asosiy elementi – bo'linuvchi moddadir. Zamonaviy reaktorlarda bo'linuvchi modda sifatida  $U^{235}$  izotop bilan boyitilgan tabiiy urandan foydalanamiz. Issiqlik neytronlar  $U^{235}$  ni effektiv ravishda bo'linishiga sababchi bo'ladi. Shuning uchun bo'linish reaksiyasida vujudga kelgan tez neytronlarni sekinlashtirish yo'li bilan issiqlik neytornlarga aylantiriladi. Sekinlatichilar sifatida grafit yoki og'ir suv ( $D_2O$ ) dan, ba'zan esa oddiy suv ( $N_2O$ ) dan ham foydalaniladi. 23.3-rasmida reaktor aktiv zonasining soddalashtirilgan sxemasi sekinlatich modda bilan to'ldirilgan. Sekinlatich ichiga sterjen yoki plastinka shaklida bo'linuvchi modda bo'laklari joylashtiriladi. Zanjir reaksiya tezligini boshqaruvchi sterjenlar yordamida

o'zgartirish mumkin. Bu sterjenlar neytronlarni intensiv ravishda yutadigan materiallar (masalan, bor yoki kadmiy)dan tayyorlanadi. Boshqaruvchi sterjenlarning ko'proq yoki kamroq qismini aktiv zona ichiga kiritish yo'li bilan *K* ning qiymatini o'zgartirishga erishildi.

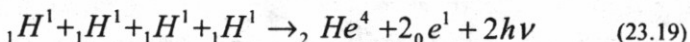
Yadroviy energiyadan foydalananishga asoslangan qurilmalarning asosiy qismi yadroviy reaktorlardir. Misol tariqsida atom elektr stansiya (*AES*) ning ishslash prinsipi bilan tanishaylik. Zanjir bo'linish reaksiyasida ajralayotgan energiya aktiv zonani aylanib yuradigan (23.4-rasm q.) issiqlik eltuvchiga o'tadi. Issiq eltuvchi bu energiyani issiqlik almashgichda suvgaga beradi, natijada suv bug'ga aylanadi. Bug' esa o'z navbatida generatorning trubinasini harakatga keltiradi. Trubinadan o'tgan bug' kondensorda suvgaga aylanib, yana issiqlik almashgichga boradi. Shu tarzda yadroviy energiya elektr energiyaga aylantiriladi.



23.4 -rasm

### 23.6. Termoyadroviy reaksiyalar. Yulduzlar energiyasi

Amerikalik fizik X. Beje 1939-yili Quyosh va yulduzlar energiyasining manbalaridan biri, ular tarkibiga kiruvchi vodoroddan geliy hosil bo'lishi degan gipotezani ilgari surdi, bu reaksiya soddalashtirilgan holda quyidagicha yozilishi mumkin:



bu reaksiyada ajraluvchi energiya  $\Delta E \approx 26 M\ddot{e}B$  ga teng bo'ladi.

Oldingi 23.4 da uran  $-235$  yadrosining bo'linish reaksiyasida  $\Delta E \approx 208 M\ddot{e}B$  energiya ajralishi mumkinligini ko'rib o'tgan edik. Uran yadrosi

uchun har bir nuklonga to'g'ri kelgan energiya  $E_1 = \frac{208}{235} = 0,9 M\ddot{e}B$ ; geliy

yadrosi uchun esa  $E_2 = \frac{26}{4} \approx 6,5 M\ddot{e}B$ . Demak, yengil yadrolar sintezida har

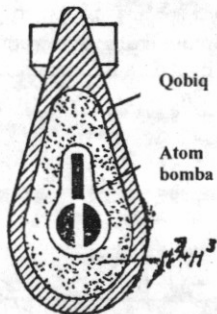
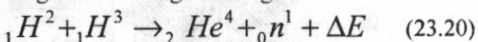
bir nuklonga to'g'ri kelgan energiya og'ir yadrodagiga qaraganda qariyb 7 barobar katta ekan. Shunday qilib, energetika nuqtayi nazaridan yuqoridaqgi har bir nuklonga to'g'ri kelgan energiyalarini solishtirishda, shu narsa ma'lum bo'ldiki, yengil

yadrolar sintezi reaksiyasi, og'ir yadrolarning bo'linish reaksiyasiga qaraganda ko'proq energiya olish imkoniyatini berar ekan.

Ravshanki, ikki yadroning bir yadroga birlashishi uchun ular o'zaro itarishish kuchlarini yengib, bir-biriga  $10^{-15}$  m tartibdag'i masofagacha yaqinlashishi lozim. Demak, birlashayotgan yadrolar kulon itarishish kuchlariga qarshi ish bajara olishi uchun yetarlicha katta kinetik energiyaga ega bo'lishlari kerak, bu sintez reaksiyasi amalga oshirishning zaruriy shartidir.

Vodorod yadrolarning  $10^{-15}$  m masofagacha yaqinlashuvi, faqat bir necha yuz million gradus haroratgacha qizitilgan vodorod plazmasidagina bo'lishi mumkin. Bunday haroratda yadrolarning kinetik energiyasi ular orasidagi elektrostatik itarishish kuchlarini yengishga yetarli bo'ladi. Bunday reaksiyalar *termoyadro reaksiyaları* deb yuritiladi.

Birinchi termoyadro reaksiyasi vodorod bombasida amalga oshirilgan. Unda vodorodning  ${}_1N^2$  (deyteriy) va  ${}_1H^3$  (trityi) izotoplaridan geliy yadrosining sintezi amalga oshirilgan:



23.5-rasm.

Vodorod bombasi suyultirilgan deyteriy bilan trityi aralashmasi to'ldirilgan massiv germetik yopilgan idishdan iborat. Idishning ichki qismi yuqorisiga uncha katta bo'limgan atom bombasi joylashtiriladi, u portlaganda deyteriy bilan trityi aralashmasi bir onda o'nlaracha million graduslargacha qiziydi. Shu tufayli shiddatli termoyadro reaksiyasi vujudga kelib, bu reaksiya vodorod bombasining portlashi bilan tugallanadi. Vodorod bombasining portlash kuchi atom bombasining portlash kuchidan o'n marta kattadir. Agar vodorod bombanining devorlariga  $U^{238}$  izotop (ya'ni tabiiy uran, chunki uning 99 %  $U^{238}$  dir) bilan qoplansa, termoyadroviy reaksiyada ajralib chiqadigan tez neytronlar  $U^{238}$  yadrolarning bo'linishiga sababchi bo'ladi. Buning natijasida bombanining portlash quvvati yanada ortadi (23.5-rasm).

Vodorod bombasidagi termoyadro reaksiyasi boshqarib bo'lmaydi. Boshqaruvchi termoyadro reaksiyasi amalga oshirish uchun  $10^8 K$  tartibdag'i haroratni hosil qilish va uni ushlab turish kerak. Bundan tashqari, olingan gaz plazmasini berilgan hajmda ushlab turish zarur, chunki plazmaning idish devorlariga tegishi uning sovishiga olib keladi.

Optimal yechimlarni topish yo'lidagi fiziklarning uzoq muddatli izlanishlaridan ko'p sonli qiyinchiliklarni yengish borasidagi kurashishlardan so'ng eng istiqbolli yo'nalishlar aniqlanadi. Hozirda bu muammoni hal qilishni ikki yo'nalishi belgilandi: termoyadro reaksiyasi «tokamak» tipidagi qurilmalarda tinch yadro «alangansi» shaklida va yadro yonilg'isi kichik «tabletka»larining «mikroportlashlari» ko'rinishida amalga oshirish.

Birinchi marta sobiq SSSR da yaratilish «Tokamak - 10» tipidagi qurilmada plazmani qizitish uchun kuchli elektr razryadidan, uni ushlab turish uchun esa magnit maydonidan foydalaniadi. «Tokamak»da plazma toroidal kamerada hosil qilinadi. Kamera past bosimli deyteriy ( $N^2$ ) bilan to'ldirilgan. Toroidal kamera

impuls transformatorning ikkinchi o'rami bo'ladi, uning birlamchi o'rami juda katta sig'imli kondensatorlar batareyasiga ulanadi. Kondensatorlar batareyasi transformatorning birlamchi o'rami orqali zaryadsizlanganda toroidal kamerada uyurmaviy elektr maydon yuzaga keladi, u ishchi gazni ionlashtiradi va unda kuchli tok impulsini hosil qiladi. Elektr toki ishchi gazni qattiq qizdiradi. Bir necha o'n million kelvingacha haroratlil plazma hosil bo'ladi.

Bundan tashqari, toroidal kamerada hosil qilingan elektr toki ikkinchi muhim funksiyani bajaradi: uning magnit maydoni elektron va ionlarni plazma ustunida ushlab turadi va bu bilan ularning kamera devorlariga to'g'ridan-to'g'ri tegishiga to'sqinlik qiladi. Plazma shnurining egilishlarga va boshqa mumkin bo'lgan shakl o'zgarishlarga nisbatan turg'un bo'lishi uchun «tokamak»da induksiya chiziqlari plazmadagi tok yo'nalishiga parallel bo'lgan kuchli magnit maydoni hosil qilinadi. Bu stabilizatsiyalovchi toroidal magnit maydonni toroidal kameraning tashqarisidan o'ralgan o'ramlar hosil qiladi. «Tokamak»da yuqori haroratlil plazma 0,06 s gacha ushlab turiladi, bundan bir oz kam vaqt davomida toroidal kamerada geliy sintezi termoyadro reaksiyasi amalga oshadi.

Hozirgi vaqtida xalqaro hamkorlik asosida boshqariladigan termoyadroviy reaksiyani amalga oshirish bo'yicha izlanishlar ham olib borilmoqda.

Shu kunda dunyoning 16 mamlakatida 100 dan ortiq atom elektrostansiya (AES) lar ishlab turibdi. Ularning umumiyligi elektr quvvati  $4 \cdot 10^7$  kVt dan ortiq. Bundan buyon energetik balansda yadroviy energetikaning ulushi ortib boradi. Chunki dunyoda ishlatilayotgan energiyaning taxminan 70 % i neft va gaz yoqish hisobiga olinadi. Borgan sari oshib borayotgan energiya ehtiyojlarini hisobga olsak, neft va tabiiy gaz zapaslari uzog'i bilan 50 yilga yetadi. Ko'mir yoqish hisobiga esa energiya ehtiyojlarini uzog'i bilan 500 yil davomida qondirib turish mumkin. Bu muammoni hal qilishda yadroviy energetikaga, ayniqsa, kelgusida termoyadro reaksiyasiga muhim rol ajratilgan.

## Savollar

1. Atom yadrosi modelini Rezerford tomonidan kashf qilingandan keyin, yadro tarkibi protonlar va neytronlardan tashkil topganini birinchilar qatorida kimlar aniqladi? Nuklon deganda nimani tushunasiz?
2. Yadroning massa soni qanday aniqlanadi va u nimalardan tashkil topgan?
3. Izotoplar deganda nimani tushunasiz? Izotoplarga misollar keltiring.
4. Yadro kuchlari zarralarni qanday kuchlar bilan bog'laydi?
5. Radioaktivlik hodisasi nima? U kim tomonidan kashf etilgan?
6. Radioaktiv  $\alpha$ ,  $\beta$  va  $\gamma$ -nurlarning tabiatini va xossalari qanday?
7. Radioaktiv yemirilishning  $\alpha$  va  $\beta$  - siljish qoidalarini tushuntiring.
8. Radioaktiv elementning yarim yemirilish davri va o'rtacha yashash vaqtini qanday?
9. Qanday jarayonlar yadro reaksiyalarini deyiladi?
10. Yadro reaksiyalarida saqlanish qonunlarini aniq bajarilishini tasdiqlovchi misollar keltiring.
11. Uran-235 izotopining bo'linish reaksiyasini yozing va tushuntirib bering. Bu reaksiyada ajraluvchi energiyaning kattaligini aniqlang.
12. Yadro reaktorining tuzilishi va ishslash prinsipini tushuntiring.
13. Qanday yadro reaksiyasiga termoyadro reaksiyasi deyiladi? Bunday reaksiyaga misol keltiring.

## Masalalar

**85-masala.**  ${}^7_3Li$  yadrosining massa defekti va bog'lanish energiyasi hisoblansin.

$$\text{Berilgan: } \frac{{}^7_3Li}{\Delta m \sim ? \text{ } W \sim ?}$$

**Yechish.** Yadro massasi har doim shu yadroni tashkil etuvchi erkin protonlar va neytronlar massasining yig'indisidan kichik. Yadroning massa defekti  $\Delta m$  shu yadroni tashkil etuvchi nuklonlar (proton va neytronlar) massasining yig'indisidan yadro massasini ayirmasiga teng, ya'ni

$$\Delta m = Zm_0 + (A - Z)m_n - m_{ya}, \quad (1)$$

bunda,  $Z$  – atom nomeri (zaryad soni yoki yadrodaqgi protonlar soni);  $A$ -massa soni (yadrodaqgi nuklonlar soni);  $m_0, m_n, m_{ya}$  – proton, neytron va yadro massalari.

(1) formulani neytral atom massasi  $m_a$  orqali ifodalamiz. Neytral atom massasi yadro massasi va atomdagagi elektronlar massasining yig'indisiga teng

$$m_a = m_{ya} + Zm_e.$$

Bundan

$$m_{ya} = m_a - m_e, \quad (2)$$

(2) ifodani (1) ga qo'yak:

$$\Delta m = Z(m_p + m_e) + (A - Z)m_n - m_a. \quad (3)$$

Massalar son qiymatini jadvallardan olib (3) ifodaga qo'yib:

$$\Delta m = [3 \cdot 1,00783 + (7 - 3) \cdot 1,00867 - 701601]m.a.b = 0,04216m.a.b$$

Massa va energiyaning proporsionallik qonunidan

$$W = \Delta mc^2 \quad (4)$$

$c^2 = 9 \cdot 10^{16} \text{ m}^2/\text{s}^2$ , boshqa birliklar sistemasida  $c^2 = 931 \text{ MeV/m.a.b.}$

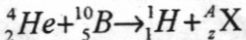
$$W = 931 \Delta m (\text{MeV}) 5 \text{ yoki}$$

$$W = 931 \cdot 0,0421 \text{ MeV} = 39,2 \text{ MeV}.$$

**86-masala.**  $\alpha$  - zarracha bor yadrosi  ${}^{10}_5B$  bilan to'qnashishi tufayli yadroviy reaksiya amalgaga oshdi va natijada ikkita yangi yadro vujudga keldi. Agar birinchi yadro vodorod atomining yadrosi  ${}_1^1H$  bo'lsa ikkinchi yadroning massa soni va tartib nomeri aniqlansin. Yadroviy reaksiya yozilsin va bu reaksiyada ajralib chiqqan energiya topilsin.

$$\text{Berilgan: } \frac{\alpha; {}^{10}_5B; {}_1^1H}{W \sim ?}$$

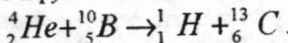
**Yechish.** Noma'lum yadroni X simvoli bilan belgilaymiz.  $\alpha$  - zarracha bu geliy yadroso  ${}_2^4He$  bo'lganligi uchun yadroviy reaksiyani quyidagicha yozish mumkin:



Noma'lum yadrodaq nuklon sonini saqlanish qonunidan aniqlaymiz, ya'ni  $4+10=1+A$ , bundan  $A=13$ . Zaryad saqlanish qonunidan  $2+5=1+Z$ , bundan  $Z=6$ .

Demak, noma'lum yadro bu uglerod atom yadrosining izotopiga  ${}_6^{13}C$  mos keladi.

Endi yadro reaksiyasini to'liq yozish mumkin:



Reaksiya energiyasi ( $W$ ) quyidagi formuladan topiladi:

$$W = 93 l[(m_{He} + m_e) - (m_H + m_c)]$$

Bu yerda birinchi qavs ichida reaksiya boshlanmasdan oldingi yadro massalari, ikkinchi qavs ichida reaksiyadan keyingi yadro massalari ko'rsatilgan. Hisoblash uchun bu formulada yadro massalari o'miga neytral atomlar massalari olinadi. Buni sababini quyidagicha tushuntirish mumkin.

Neytral atom elektron qobig'laridagi elektronlar soni shu atomning zaryad soni  $Z$  ga teng. Reaksiyadan oldingi zaryadlar soni yig'indisi reaksiyadan keyingi zaryadlar soni yig'indisiga teng. Shu sababli geliy va bor atomlaridagi elektronlar soni reaksiyadan keyingi hosil bo'lgan uglerod va vodorod atomlaridagi elektronlar soniga teng. Shu sababli elektronlar massasining ayirmasi o'zaro kompensatsiya lanadi (nolga teng) va formuladan faqat yadrolar massasining ayirmasi qoladi. Atomlar massasini (jadvalga qarang) formulaga qo'yib:

$$W = 93(4.00260 + 10.0129)1.00873 - 13.00335 \text{ MeV} = 4.06 \text{ MeV}$$

**87-masala.** Massasi  $m=0.2$  mkg bo'lgan radioaktiv magniyning  ${}_{7}^{12}Mg$  boshlang'ich aktivligi  $A_0$  aniqlansin,  $t=6$  soat vaqt o'tgandan keyin aktivlik qanday bo'ladi? Magniyning yarim yemirilish davri  $T_{1/2}$  ma'lum deb olinsin.

$$\text{Berilgan: } T_{1/2} = 10 \text{ min} = 600 \text{ s}$$

$$\underline{m = 0,2 \text{ mkg} = 0,2 \cdot 10^{-9} \text{ kg}, \quad t = 6 \text{ soat} = 6 \cdot 3600 \text{ s.}}$$

$$A \sim ?$$

**Yechish.** Izotopning aktivligi A radioaktiv yemirilish tezligini xarakterlaydi, y."dt" vaqt ichida yemirilgan yadrolar soni «dN» bilan o'chanadi, ya'ni

$$A = -dN/dt. \quad (1)$$

Manfiy «-» ishora radioaktiv yadrolar soni N vaqt o'tishi bilan kamayishini bildiradi.

«dN/dt» ni aniqlash uchun radioaktiv yemirilish qonunidan foydalanimiz:

$$N = N_0 e^{-\lambda t}. \quad (2)$$

Bunda  $N_0$  - "t" vaqt momentidagi radioaktiv izotopdagi yadrolar soni;  $N$  - boshlang'ich vaqtidagi ( $t=0$ ) radioaktiv yadrolar soni;  $\lambda$  - radioaktiv yemirilish doimisi.

(2) ifodani vaqt bo'yicha differensiallasak:

$$dN/dt = -\lambda N_0 e^{-\lambda t} \quad (3)$$

(1) va (3) formuladan: Izotopning boshlang'ich vaqtidagi ( $t=0$ ) aktivligi:

$$A = \lambda N_0 e^{-\lambda t} \quad (4)$$

yoki

$$A_0 = \lambda N_0 \quad (5)$$

Radioaktiv yemirish doimiysi  $\lambda$  yarim yemirilish davri  $T_{1/2}$  bilan o'zaro quyidagiicha bog'langan:

$$\lambda = (\ln 2)/T_{1/2} \quad (6)$$

Radioaktiv yadrolar soni  $N_0$  Avagadro doimiysi  $N_A$  va v izotop miqdorining ko'paytmasiga teng:

$$N_0 = v N_A = \frac{m}{M} N_A \quad (7)$$

Bunda m – izotop massasi; M – molar massa.

(6) va (7) ifodalardan foydalansak, (5) va (4) formulalar quyidagi ko'rinishga keladi:

$$A_0 = \frac{m}{M} \frac{\ln 2}{T_{1/2}} N_A \quad (8)$$

$$A = \frac{m}{M} \cdot \frac{\ln 2}{T_{1/2}} N_A e^{-\frac{\ln 2}{T_{1/2}} t} \quad (9)$$

Hisoblashlarni bajaramiz:

$$T_{1/2} = 10 \text{ min} = 600 \text{ s.}$$

$$\ln 2 = 0,692; t=6 \text{ soat} = 2,16 \cdot 10^4 \text{ s}$$

$$A_0 = \frac{0,2 \cdot 10^{-9} 0,693}{27 \cdot 10^{-3} 600} \cdot 6,02 \cdot 10^{23} \text{ Бк} = 5,13 \cdot 10^{12} \text{ Бк} = 5,13 T \text{ Бк}$$

$$A = \frac{0,2 \cdot 10^{-9} 0,693}{27 \cdot 10^{-3} 600} 6,02 \cdot 10^{23} e^{-\frac{0,693}{600} 2,16 \cdot 10^4} \text{ Бк} = 81,3 \text{ Бк}$$

**88-masala.** Uran  $^{235}_{92} U$  da ishlaydigan va quvvati  $R=500000$  kVt bo'lgan atom elektr stansiyasining foydali ish koefitsiyenti  $\eta_1=20\%$ . Toshko'mirda ishlaydigan xuddi shunday quvvatlari issiqlik elektr stansiyasining foydali ish koefitsiyenti  $\eta_2=75\%$ .

Atom elektr stansiyasi yoqilg'isining yillik sarfi massasi  $m_1$  va issiqlik elektr stansiyasi yoqilg'isining yillik sarfi massasi  $m_2$  aniqlansin;  $^{235}_{92} U$  yadrosi bo'linishining har bir aktida  $W_1=200$  MeV energiya ajraladi, Toshko'mirning issiqlik berish qobiliyat  $W_2=2,93 \cdot 10^7 \text{ J/kg}$ .

$$P = 500000 kVt; \eta_1 = 20\%; \eta_2 = 75\%;$$

Berilgan:  $W_1 = 200 MeV; W_2 = 2,93 \cdot 10^7 J/kg$   
 $m_1 \sim ?, m_2 \sim ?$

Yechish. Ushbu belgilashlarni kiritamiz:

$\Delta m - {}^{235}_{92}U$  atomi massasi, n – elektr stansiyasining bir yil ishlashida parchalanadigan uran atomlari soni.

U vaqtida

$$\Delta m = \frac{A}{N} \quad (1)$$

Bunda A=235 kg/kmol -  ${}^{235}_{92}U$  kilomolining massasi va N – Avagadro soni.

Shunday yozish mumkin:

$$m_1 = n \cdot \Delta m = n \frac{A}{N} \quad (2)$$

t=1 yil vaqtida parchalanadigan uranning barcha atomlari ajratadigan energiya aw<sub>1</sub> ga teng. Bu energiyaning foydali ishga sarf bo‘lувчи, ya’ni atom elektr stansiyasining foydali quvvati R ni hosil qiluvchi qismi

$$W_1 = m_1 w_1 \eta_1 \quad (3)$$

Ikkinchi tomonidan

$$W_1 = Pt \quad (4)$$

Bu tengliklarni o‘ng tomonlarini o‘zaro tenglashtirib, ushbuni topamiz:

$$n = \frac{Pt}{w_1 \eta_1} \quad (5)$$

(5) ifodani (2) ga qo‘yib, quyidagini olamiz:

$$m_1 = \frac{PtA}{w_1 \eta_1 N} = \frac{5 \cdot 10^8 (365 \cdot 24 \cdot 60 \cdot 60) 235}{(2 \cdot 10^8 \cdot 1,6 \cdot 10^{19}) \cdot 0,2602 \cdot 10^{23}} = 961 kg$$

Issiqlik elektr stansiyasida 1 yilda yoqiladigan toshko‘mirdan ajraladigan energiya m<sub>2</sub>w<sub>2</sub> ga teng. Bu energiyaning foydali ishni bajarishga ketadigan qismi

$$W_2 = m_2 w_2 \eta_2 = Pt$$

bundan

$$m_2 = \frac{Pt}{w_2 \eta_2} = \frac{5 \cdot 10^8 \cdot 3,15 \cdot 10^7}{2,93 \cdot 10^7 \cdot 0,75} = 7,17 \cdot 10^8 kg$$

$$\text{Shunday qilib, } \frac{m_2}{m_1} = \frac{7,17 \cdot 10^8}{961} = 7,46 \cdot 10^5 \quad \text{nisbatdan yadro}$$

voqilg'ining sarfi massasiga ko'ra, toshko'mirga qaraganda qariyib million marta xichik ekan.

## XXIV bob. ELEMENTAR ZARRALAR

### 24.1. Kosmik nurlar

Yer yuziga kosmosdan kelayotgan nurlarni ***kosmik nurlari*** deb nomlanadi. Bu nurlarni birlamchi va ikkilamchi nurlar tarzida o'rganamiz.

**Birlamchi kosmik nurlarga** Yer atmosferasiga olam fazodan juda katta tezlikda uchib keladigan atom yadrolari oqimi (asosan, protonlar va  $\alpha$ -zarralar) kiradi. Bu yadrolarning havo tarkibiga kiruvchi atomlar yadrolari bilan to'qnashishidan yangi yadrolar va turli elementar zarralar hosil bo'ladi; ularning oqimlari ***ikkilamchi kosmik nurlar*** deyiladi. Birlamchi kosmik nurlarning ancha miqdori atmosferada yutiladi, shuning uchun Yer yuziga, asosan, ular vujudga keltirgan ikkilamchi kosmik nurlar yetib keladi.

Kosmik nurlarni 1912-yilda nemis fiziklari V.Gess, Gokkel va Gyunkellar kashf qilishdi. Bu nurlarning kelib chiqishi sabablarini haligacha aniqlangan emas, bu to'g'rida faqat qator gipotezalar mavjud. Ular orasida haqiqatga yaqinrog'i V.L.Ginzberg va I.S. Sheklovskiyning gipotezasi bo'lib, unda kosmik nurlar o'ta yangi yulduzlamning chaqashida generatsiya qilinadi deb faraz qilinadi.

Birlamchi kosmik nurlar zarralarning o'rtacha kinetik energiyasi taxminan  $10^4$  MeV, ayrim zarralar  $10^{12}$  MeV chamasida energiyaga ega bo'ladi. Bunday zarralarning modda bilan to'qnashishida, asosan, yangi yadro reaksiyalari vujudga keladi.

Ikkilamchi nurlanish ikki komponentdan iborat: birinchisi yumshoq komponenta, u  $8-10$  sm qalinlikdagi qo'rg'oshinda yutiladi, ular elektron pozitron juftlari jalasidagi iborat. Ikkinchisi qattiq komponent  $10$  sm bo'lgan qo'rg'oshindan bernalol o'tib keta oladi, qattiq komponenta mezonlar oqimidan iborat. Mezonlar kosmik nurlar qattiq komponentasining jism bilan ta'sirlashuvini o'rganish tufayli kashf qilindi. Mezonlar massasi elektron massasidan 200 marta kattadir. Musbat va manfiy mezonlar mavjud bo'lib, ular mos ravishda  $\mu^+$  va  $\mu^-$  harflar bilan belgilanadi. Myumezon zamonaliv massa qiymati  $m_\mu \approx 207$  me ga teng. Myumezonlar  $\tau = 2 \cdot 10^{-6}$  s davr ichida

$$\mu^+ \rightarrow e^+ \nu + \tilde{\nu} \quad \text{ea} \quad \mu^- \rightarrow e^- + \nu + \tilde{\nu}$$

sxema bo'yicha yemiriladi.

Kosmik nurlarni o'rganish jarayonida yana bir necha elementar zarralar kashf etildi.

### 24.2. Elementar zarralar

Hozirgi vaqtida barqaror bo'lgan va o'rtacha yashash vaqt  $10^{-7}$  s dan kam bo'lmagan 35 ta elementar zarra mavjud. Bulardan tashqari o'rtacha yashash vaqt  $10^{-22} + 10^{-23}$  s bo'lgan **rezonanslar** deb ataladigan 100 dan ortiq zarralar ham mavjud.

Barcha elementar zarralar tinch holatdagi massasi, elektr zaryadi, o'rtacha yashash vaqt va boshqa ba'zi fizik kattaliklari bilan xarakterlanadi.

Elementar zarralarni ularning tinch holatdagi  $m_0$  massalariga ko'ra quyidagi 4 guruhta ajratish mumkin:

1. Fotonlar ( $m_0=0$ ).
2. Leptonlar yoki yengil zarralar ( $0 < m_0 < m_e$ ).
3. Mezonlar yoki o'rta og'irlikdagi zarralar ( $m_e < m_0 < m_r$ ).

4. Barionlar yoki og'ir zarralar ( $m_r < m_o < m_d$ ).  
 bu yerda,  $m_e$ ,  $m_r$  va  $m_d$  lar mos ravishda elektron, proton va deutron (og'ir vodorod yadrosi) ning tinch holatdagi massalari. Barionlar o'z navbatida yana nuklonlar va giperonlarga bo'linadi.

Hozirgi vaqtida deyarli barcha zarralarning (foton, pinol-mezon va etamezon dan tashqari) antizarralari mavjudligi aniqlandi. Antizarrani belgilash uchun zarraning belgisidan foydaliladi, faqat belgi tepasiga chiziqcha qo'yiladi. 24.1-jadvalda zarralar va ularning antizarralari keltirilgan.

24.1-jadval

| Zarralar nomi       | Belgisi    |                  | Tinchlikdagi massa, MeV | Yashash doimiyligi, s |
|---------------------|------------|------------------|-------------------------|-----------------------|
|                     | zarra      | antizar-ra       |                         |                       |
| Foton               | $\gamma$   |                  | 0                       | Barqaror              |
| Leptonlar           |            |                  |                         |                       |
| elektron            | $e^-$      | $e^+$            | 0,511                   | Barqaror              |
| Myumezon            | $\mu^-$    | $\mu^+$          | 106                     | $2 \cdot 10^{-6}$     |
| neytrino            | $\nu$      | $\tilde{\nu}$    | 0                       | Barqaror              |
| Mezonlar            |            |                  |                         |                       |
| Pi-mezon            | $\pi^+$    | $\pi^-$          | 140                     | $2,6 \cdot 10^{-8}$   |
| Pi-nol-mezon        |            | $\pi^0$          | 135                     | $0,8 \cdot 10^{-16}$  |
| Ka-mezon            | $k^+$      | $k^-$            | 491                     | $1,2 \cdot 10^{-8}$   |
| Ka-nol-mezon        | $K^0$      | $\bar{K}^0$      | 498                     | $10^{-10} - 10^{-8}$  |
| eta-mezon           |            | $\eta$           | 549                     | $2,4 \cdot 10^{-10}$  |
| Barionlar           |            |                  |                         |                       |
| proton              | $\rho$     | $\bar{\rho}$     | 938,2                   | Barqaror              |
| neytron             | $N$        | $\tilde{N}$      | 939,6                   | $0,9 \cdot 10^3$      |
| lyambda-giperon     | $\lambda$  | $\bar{\lambda}$  | 1116                    | $2,5 \cdot 10^{-11}$  |
| sigma-plus-giperon  | $\Sigma^+$ | $\bar{\Sigma}^+$ | 1180                    | $0,8 \cdot 10^{-19}$  |
| sigma-nol-giperon   | $\Sigma^0$ | $\bar{\Sigma}_0$ | 1192                    | $< 10^{-11}$          |
| sigma-minus-giperon | $\Sigma^-$ | $\bar{\Sigma}^-$ | 1197                    | $1,5 \cdot 10^{-10}$  |
| ksi-nol-giperon     | $\Xi^0$    | $\bar{\Xi}^0$    | 1315                    | $3 \cdot 10^{-10}$    |
| ksi-minus-giperon   | $\Xi^-$    | $\bar{\Xi}^-$    | 1321                    | $1,7 \cdot 10^{-10}$  |
| omega-minus-giperon | $\Omega^-$ | $\bar{\Omega}^-$ | 1672                    | $1,3 \cdot 10^{-10}$  |

24.1-jadvaldan ko'rindaniki, barcha zarralar to'rt guruhga joylashtirilgan. Birinchi guruhga o'zining xususiyatlari bilan boshqa zarralardan ajralib turadigan elektromagnit magnit kvanti – foton kiradi.

Elementar zarralardan faqat uchtasi – elektron, proton va neytronlar asosiyidir, atomlar va bizni o'rab olgan butun moddiy olam shu zarrachalardan tuzilgan. Elementar zarraning zaryadi  $+1e$ ,  $-1e$  ga yoki 0 ga teng; ikki  $\pi$  undan ortiq zaryadli zarralar yo'q. Elementar zarralarning ko'pchiligi barqaror emas va ularning ko'pchiligini yashash vaqt nihoyatda qisqadir.

Har bir zarraga (foton va pinol-mezondan tashqari) antizarra mos keladi. Zarra va anti zarraning massasi, elektr zaryadining miqdori bir xil, ammo zaryad ishorasi qarama-qarshidir. Zarra va antizarraga elektron va pozitron (antielektron), proton va antiproton, myu-plus-mezon va myu-minus-mezon lar misol bo'ladi va hokazo.

Zarra antizarra bilan to'qnashganda boshqa elementar zarralarga aylanadi, bunda, ularning ikkalasi ham avvalgi holdagi mavjudligini yo'qotadi. Bu jarayon *juftlar annigilatsiyasi* deb yuritiladi.

Juftlar annigilatsiyasiga proton va antiprotonning pinol-mezonga ( $P + \bar{P} \rightarrow 2\pi^0$ ) aylanishi, elektron va pozitronning fotonlarga ( $e^- + e^+ \rightarrow 2\gamma$ ) aylanishi misol bo'ladi.

Annigilatsiyaga teskari jarayon ham uchraydi, bunday jarayonlar natijasida zarralar va ularga mos antizarralar paydo bo'ladi. Bu jarayon *juftlarning hosil bo'lishi* deb ataladi. Juftlarning hosil bo'lishiga fotonning elektron va pozitronga aylanishi misol bo'la oladi.

$$\gamma \rightarrow e^- + e^+$$

Shunday qilib, bir-biriga aylana olish elementar zarralarning eng xarakterli belgisidir. Elementar zarralar bo'limmaydi, lekin ular bir-biriga aylanish xususiyatiga ega.

### Savollar

- Elementar zarrachalarning hosil bo'lish sabablarini va elementar zarralar fizikasi nimalarni o'rganishini tushuntiring.
- Barcha elementar zarralarning xarakterli xususiyati, ularning bir-biriga aylanishidan iborat ekanini tushuntiring.
- Barcha barqaror elementar zarralarni sanab bering va juftlar annigilatsiyasi nima ekanligini tushuntiring.
- Tarixda kuchli o'zaro ta'sirlanuvchi zarralarning Kvark nazariyasi yaratilishini va bu nazariyani tasdiqlovchi eksperimental tadqiqotlarni gapiring.

### Masalalar

**89-masala.** Proton va neytronlar nechtadan kvarkni o'z ichiga oladi, ular qaysilar?

Berilgan:  $U$  kvark, zaryadi  $+\frac{2}{3}e$

$d$  kvark, zaryadi  $-\frac{1}{3}e$

$R \sim ?$      $n \sim ?$

**Yechish.** 1) Proton uchta kvarklardan – ikkita  $U$  kvark (har birining zaryadi  $+\frac{2}{3}e$  bo'lgan) va bitta  $d$  kvark ( $-\frac{1}{3}e$  zaryadli) dan iborat ekanligi eksperimental tekshirishdan o'tdi. Tajriba natijalarini sinchiklab tahlil qilinganda,

elektr zaryadli protón ichida uch nuqtada bo'lishini va mos holda  $+\frac{2}{3} e$ ,  $+\frac{2}{3} e$  va -

$\frac{1}{3} e$  ga tengligini ko'rsatdi.

2) Kvark nazariyasiga ko'ra neytron ham uchta kvarkdan tuzilgan: bitta U kvark ( $q_u = \frac{2}{3} e$ ) va ikkita d kvark ( $q_d = -\frac{1}{3} e$ ). Shuning uchun u elektr jihatdan neytral.

## FOYDALANILGAN ADABIYOTLAR

1. А.А. Детлаф, Б.М. Яворский. «Курс физики», М.: 1989 г..
2. Кл. Е.Суорс «Необыкновенная физика обикновенных явлений» М.: 1986 г..
3. Г. Линднер «Физика в космосе», М.: 1966 г..
4. М.Я. Куприн «Физика в сельском хозяйстве» М.: «Просвещение», 1985 г..
5. I.V. Savelev «Umumiy fizika kursi», Toshkent, «O'qituvchi» 1973, 1979, 1987. I - III tomlar.
6. Т.И. Трофимова М.: «Висшая школа» 1985 г..
7. О. Axmadjonov «Fizika kursi» Toshkent «O'qituvchi» I tom, 1985; II tom, 1988; III tom 1989-y.
8. О.К. Nazarov, H.Z. Ikramova va K.A. Tursunmetov «Umumiy fizika kursi». Mexanika va molekulyar fizika. Toshkent: «O'zbekiston» 1992 y., 279-bet.
9. A.S. No'monxo'jaev «Fizika kursi» I qism. Mexanika, statistik fizika, termodinamika. Toshkent: «O'qituvchi» 1992-y., 208-bet.
10. X.M. Abduvohidov, T.T.Turg'unov, M.I. Turg'unova «Amaliy fizika» I qism. Toshkent: «O'qituvchi» - 1996 y., 296 bet.
11. M. Ismoilov, P.Xabibullayev, M. Xaliulin «Fizika kursi», Toshkent, «O'zbekiston» 2000, 470-bet.
12. Р.И. Грабовский. «Курс физики» М.: «Висшая школа», 1974, 552 бет.
13. А.С. Шубин. «Курс физики», М.: «Висшая школа», 1976, 479-бет.
14. П.А. Римкевич «Курс физики», М: «Висшая школа», 1975, 463 бет.
15. A.S. Safarov «Umumiy fizika kursi» - elektromagnetizm va to'lqinlar» Toshkent, «O'qituvchi» 1992, II qism.
16. A.O. Rahimov, B.O.Otaqulov «Elektrodinamika va nisbiylik nazariyasi», Toshkent «O'qituvchi» I – II qism 1985-yil.

## MUNDARIJA

|  |           |
|--|-----------|
| <b>SO'Z BOSHI .....</b>  | <b>3</b>  |
| <i>I bob. KINEMATIKA ASOSLARI .....</i>  | <i>8</i>  |
| 1.1. Sanoq sistemasi. Moddiy nuqta kinematikasi .....                                    | 8         |
| 1.2. Moddiy nuqtaning to'g'ri chiziqli harakati .....                                    | 10        |
| 1.3. Moddiy nuqtaning egri chiziqli harakati. Tangensial va normal tezlanishlar .....    | 12        |
| 1.4. Moddiy nuqtaning aylana bo'ylab harakati .....                                      | 14        |
| <i>II bob. DINAMIKANING ASOSIY QONUNLARI .....</i>                                       | <i>19</i> |
| 2.1. Nyutonning birinchi qonuni. Massa va kuch .....                                     | 19        |
| 2.2. Nyutonning ikkinchi qonuni .....  | 20        |
| 2.3. Nyutonning uchinchi qonuni .....  | 21        |
| 2.4. Impuls va uning saqlanish qonuni .....  | 21        |
| 2.5. Moddiy nuqtalar sistemasining massa markazi harakati .....                          | 23        |
| 2.6. Massasi o'zgaruvchi jismning harakat tenglamasi .....                               | 24        |
| <i>III bob. QATTIQ JISM MEXANIKASI .....</i>   | <i>28</i> |
| 3.1. Kuch momenti va impuls momenti .....  | 28        |
| 3.2. Qattiq jismning aylanish o'qiga nisbatan inersiya momenti. Shteyner teoremasi ..... | 29        |
| 3.3. Aylanma harakat qilayotgan qattiq jismning kinetik energiyasi                       | 30        |
| 3.4. Aylanma harakat dinamikasining asosiy qonuni .....                                  | 31        |
| 3.5. Impuls momenti va uning saqlanish qonuni .....                                      | 32        |
| <i>IV bob. ISH, QUVVAT, ENERGIYA .....</i>   | <i>36</i> |
| 4.1. Ish va quvvat .....   | 36        |
| 4.2. Energiya. Energiyaning saqlanish qonuni .....                                       | 37        |
| 4.3. Absolut elastik va noelastik urilishlar .....                                       | 39        |
| <i>V bob. NISBIYLIK NAZARIYASI ELEMENTLARI ..</i>  | <i>48</i> |
| 5.1. Galileyning nisbiylik prinsipi .....  | 48        |
| 5.2. Nisbiylik prinsipining postulatlari .....   | 49        |
| 5.3. Lorens almashtirishlari .....   | 49        |
| 5.4. Relativistik dinamikaning asosiy qonuni .....                                       | 51        |
| 5.6. Klassik mehanikaning qo'llanish chegaralari .....                                   | 53        |
| <i>VI bob. MAKROSKOPIK HOLATLAR .....</i>  | <i>57</i> |
| 6.1. Fizika hodisalarni tekshirishda dinamik, statistik va termodinamik usullar .....    | 57        |
| 6.2. Makroskopik sistema parametrlari .....  | 57        |
| 6.3. Issiqlik harakati .....   | 59        |

|  |     |
|--|-----|
| 6.4. Ideal gazning holat tenglamasi .....  | 59  |
| 6.5. Ideal gaz molekular - kinetik nazariyaning asosiy tenglamasi ..   | 62  |
| 6.6. Gaz molekulalarining tezliklari va energiyalari bo'yicha taqsimlanishiga oid Maksvell qonuni .....  | 63  |
| 6.7. Boltzman taqsimot qonuni .....  | 64  |
| <i>VII bob. TERMODINAMIKA ASOSLARI</i> .....   | 72  |
| 7.1. Ichki energiya .....  | 72  |
| 7.2. Issiqlik miqdori. Issiqlik sig'imi .....  | 73  |
| 7.3. Termodinamikaning birinchi bosh qonuni va uni gaz .....   | 74  |
| izojarayonlariga tatbig'i .....  | 74  |
| 7.4. Issiqlik sig'iming klassik nazariyasi va uning chegaralanganligi .....  | 78  |
| 7.5. Qaytar va qaytmas jarayonlar .....  | 79  |
| 7.6. Termodinamikaning ikkinchi bosh qonuni .....  | 80  |
| 7.7. Carno sikli va uning foydali ish koefitsiyenti .....  | 82  |
| <i>VIII bob. REAL GAZLAR</i> .....   | 86  |
| 8.1. Molekulalar orasidagi o'zaro ta'sir kuchlari .....  | 86  |
| 8.2. Van-der-Vaals tenglamasi .....  | 86  |
| 8.3. Real gazning ichki energiyasi. Joule-Tomson effekti .....   | 88  |
| 8.4. Gazlarni suyultirish .....  | 89  |
| Demak, real gaz uchun Klapeyron-Mendeleev tenglamasini qo'llash bu gazning parametrini hisoblashda anchagina noaniqlikka olib kelar ekan ..... | 92  |
| <i>IX bob. ELEKTROSTATIKA</i> .....  | 93  |
| 9.1. Kulon qonuni .....  | 93  |
| 9.2. Elektr maydon va uning kuchlanganligi .....   | 94  |
| 9.3. Kuchlanganlik chiziqlari. Gauss teoremasi .....   | 95  |
| 9.4. Elektrostatik maydon kuchlarining ishi. Potensial .....   | 97  |
| <i>X bob. ELEKTR MAYDONIDA O'TKAZGICHALAR</i> .....  | 104 |
| 10.1. O'tkazgichda zaryadlarning taqsimlanishi .....   | 104 |
| 10.2. O'tkazgichning elektr sig'imi. Kondensatorlar .....  | 105 |
| 10.3. Elektrostatik maydon energiyasi .....  | 106 |
| <i>XI bob. O'ZGARMAS ELEKTR TOKI</i> .....   | 111 |
| 11.1. Elektr tokining mavjudlik sharti va uning asosiy xossalari ..  | 111 |
| 11.2. Elektr yurituvchi kuch va kuchlanishi .....  | 111 |
| 11.3. Om qonuni. O'tkazgichning qarshiligi .....   | 113 |
| 11.4. Zanjirning bir jinsli bo'lmagan qismi uchun Om qonuni ..   | 114 |

|   |     |
|---|-----|
| 11.5. Joul - Lens qonuni .....  | 116 |
| 11.6. Kirxgof qoidalari .....   | 116 |
| 11.7. Gazlarda elektr toki .....  | 118 |
| 11.8. Plazma .....  | 120 |
| <i>XII bob. MAGNIT MAYDON</i> .....   | 124 |
| 12.1. Magnit maydon va uning xarakteristikasi .....                                   | 124 |
| 12.2. Bio-Savar-Laplas qonuni .....   | 126 |
| 12.3. Magnit maydondagi tokli o'tkazgichga ta'sir qiluvchi kuch.<br>Amper kuchi ..... | 127 |
| 12.4. Lorens kuchi .....  | 128 |
| <i>XIII bob. ELEKTROMAGNIT INDUKSIYA</i> .....  | 133 |
| 13.1. Elektromagnit induksiya hodisasi .....  | 133 |
| 13.2. O'zinduksiya va o'zaroinduksiya .....   | 135 |
| 13.3. Magnit maydon energiyasi .....  | 136 |
| 13.4. Moddalarning magnit xossalari .....   | 137 |
| 13.5. Elektromagnit maydon uchun Maksvell tenglamalari .....                          | 141 |
| <i>XIV bob. MEXANIK VA ELEKTROMAGNIT<br/>TEBRANISHLAR</i> .....                       | 149 |
| 14.1. Mexanik garmonik tebranishlar tenglamasi .....                                  | 149 |
| 14.2. Elektromagnit garmonik tebranishlar .....                                       | 150 |
| 14.3. Mayatniklar .....   | 153 |
| 14.4. Bir xil yo'nalishdagi tebranishlarni qo'shish .....                             | 156 |
| 14.5. O'zaro perpendikular tebranishlarni qo'shish .....                              | 157 |
| 14.6. Garmonik tebranishlar energiyasi .....  | 158 |
| 14.7. So'nuvchi va majburiy tebranishlar. Rezonans .....                              | 159 |
| 14.8. To'lqin jarayonlar. Yassi sinusoidal to'lqin .....                              | 163 |
| 14.9. Fazaviy va gruppaviy tezliklar .....  | 165 |
| 14.10. To'lqinlar interferensiyasi. Turg'un to'lqinlar .....                          | 166 |
| 14.11. Elektromagnit to'lqinlar. Umov vektori .....                                   | 167 |
| <i>XV bob. YORUG'LIKNING TO'LQIN TABIATI</i> .....                                    | 175 |
| 15.1. Yorug'likning interferensiyasi .....  | 175 |
| 15.2. Yupqa qatlamlardagi yorug'lik interferensiyasi .....                            | 179 |
| 15.3. Yorug'lik interferensiyasining qo'llanishi .....                                | 180 |
| 15.4. Interferometrlar .....  | 180 |
| 15.5. Yorug'lik difraksiyasi. Gyuygens – Frenel prinsipi .....                        | 181 |
| 15.6. Frenel zonalari. Fraunofer difraksiyasi. Difraksion panjara .....               | 182 |
| 15.7. Rentgen nurlari difraksiyasi .....  | 184 |

|  |            |
|--|------------|
| <b>15.8. Golografiya.....</b>  | <b>185</b> |
| <b>XVI bob. YORUG'LIKNING ELEKTROMAGNIT TABIATI .....</b> 190                  |            |
| 16.1. Yorug'lik dispersiyasi.....  | 190        |
| 16.2. Dispersiyaning elektron nazariyasi.....                                  | 190        |
| 16.3. Yorug'likning qutblanishi. Tabiiy va qutblangan yorug'lik ..             | 193        |
| 16.4. Yorug'likning qaytishida va sinishida qutblanishi .....                  | 194        |
| 16.5. Nurning ikkilanib sinishi. Kristallning optik o'qi.....                  | 195        |
| 16.6. Qutblovchi prizmalar. Malyus qonuni .....                                | 195        |
| 16.7. Yorug'likning sochilishi .....   | 196        |
| 16.8. Nochiziqiy optika elementlari.....                                       | 197        |
| <b>XVII bob. YORUG'LIKNING KVANT TABIATI.....</b> 203                          |            |
| 17.1. Issiqlik nurlanishi. Absolut qora jism nurlanishidagi qonuniyatlar ..... | 203        |
| 17.2. Fotoeffekt va uning qonunlari .....                                      | 208        |
| <b>XVIII bob. ATOM TUZILISHINING BOR NAZARIYASI .....</b> 214                  |            |
| 18.1. Atomning Rezerford modeli .....  | 214        |
| 18.2. Vodorod atomi spetridagi qonuniyatlar.....                               | 216        |
| 18.3. Bor postulatlari .....   | 217        |
| 18.4. D.Frank va G.Gers tajribasi .....  | 218        |
| 18.5. Bor nazariyasiga ko'ra vodorod atomi spektri.....                        | 219        |
| <b>XIX bob. KVANT MEXANIKASI ELEMENTLARI .....</b> 224                         |            |
| 19.1. De-Brogl gipotezasi. Elektronlar difraksiysi .....                       | 225        |
| 19.2. Geyzenbergning noaniqliklar munosabati .....                             | 226        |
| 19.3. To'lqin funksiya va uning statistik ma'nosi. Shredinger tenglamasi.....  | 227        |
| 19.4. Kvant mexanikasida garmonik ossillator.....                              | 233        |
| <b>XX bob. ATOM VA MOLEKULALAR FIZIKASI .....</b> 239                          |            |
| 20.1. Vodorod atomining kvant nazariyasi .....                                 | 239        |
| 20.2. Shtern va Gerlax tajribasi. Elektronning spin'i .....                    | 241        |
| 20.3. Pauli prinsipi .....   | 243        |
| 20.4. D. I. Mendeleyev elementlar davriy sistemasi .....                       | 244        |
| 20.5. Molekulalar. Molekulalar kimyoviy bog'lanishining fizik tabiatи .....    | 247        |
| <b>XXI bob. KVANT STATISTIKASI ELEMENTLARI .....</b> 253                       |            |
| 21.1. Kvant tizimining statistik tavsifi .....                                 | 253        |

|  |     |
|--|-----|
| 21.2 . Metallardagi elektronlarning kvant statistikasi.....          | 255 |
| 21.3. Metallar elektr o'tkazuvchanligining kvant nazariyasi .....    | 256 |
| 21.4. Yarimo'tkazgichlar fizikasi .....                              | 257 |
| 21.5. O'ta o'tkazuvchanlik hodisasi .....                            | 261 |
| 21.6. Majburiy nurlanish. Optik kvant generatorlari (lazerlar) ..... | 262 |
| <i>XXII bob. QATTIQ JISMLAR FIZIKASI</i>                             |     |
| ELEMENTLARI .....  | 267 |
| 22.1. Kristallarning tuzilishi .....                                 | 267 |
| 22.2. Kristallardagi nuqsonlar .....                                 | 269 |
| 22.3. Fononlar. Kristallarning issiqlik sig'imi .....                | 270 |
| 22.4. Myossbauer effekti .....                                       | 272 |
| <i>XXIII bob. YADRO FIZIKASI ELEMENTLARI .....</i> 276               |     |
| 23.1. Atom yadrosining tarkibi. Yadroning massa va zaryad soni       | 276 |
| 23.2. Radioaktivlik .....  | 277 |
| 23.3. Yadroviy reaksiyalar .....                                     | 279 |
| 23.4. Yadrolarning bo'linishi .....                                  | 281 |
| 23.5. Zanjir reaksiya. Reaktorlar .....                              | 282 |
| 23.6. Termoyadroviy reaksiyalar. Yulduzlar energiyasi .....          | 285 |
| <i>XXIV bob. ELEMENTAR ZARRALAR .....</i> 293                        |     |
| 24.1. Kosmik nurlar .....  | 293 |
| 24.2. Elementar zarralar .....                                       | 293 |
| Foydalanilgan adabiyotlar.....                                       | 297 |

**NO'MONJON SULTANOV**

**FIZIKA KURSI**

Toshkent – «Fan va texnologiya» – 2007.

|                  |                      |
|------------------|----------------------|
| Muharrir:        | <b>M. Mirkomilov</b> |
| Texnik muharrir: | <b>A. Moydinov</b>   |
| Musahhih:        | <b>M. Hayitova</b>   |
| Sahifalovchi:    | <b>A. Shoxamedov</b> |

Bosishga ruxsat etildi: 28.07.07. Bichimi 60x84 1/16. «TimesUZ»  
garniturasi. Ofset usulida bosildi. Shartli bosma tabog‘i 19.  
Nashr bosma tabog‘i 15,2. Adadi 1000, Buyurtma № 45.

«Fan va texnologiyalar Markazining bosmaxonasi»da chop etildi.  
700003, Toshkent shahri, Olmazor ko‘chasi, 171-uy.